

M. Voicu

TEHNICI DE ANALIZĂ

a

stabilității sistemeelor automate

AUTOMATICA

INFORMATICA

ELECTRONICA

MANAGEMENT

SERIA PRACTICĂ



AUTOMATICA

INFORMATICA

ELECTRONICA



MANAGEMENT

BIBLIOTECĂ DE AUTOMATICĂ, INFORMATICĂ, ELECTRONICĂ, MANAGEMENT

SERIA PRACTICĂ

- L. Zamfirescu, I. Oprescu. Automatizarea cupoarelor industriale
I. Papadache. Automatică aplicată, ediția I și a II-a
St. Alexandru. Automatizarea proceselor tehnologice în industria lemnului
G. Raymond. Tehnica televiziunii în cadrul
J. Samuelly, J. Pignarei, A. Sarazin. Instrumentația electronică în fizica nucleară
T. Homos. Capacitatea de producție în construcții de mașini
S. Radu D. Filoiu. Centrale telefoniice automate. Sisteme de comutație
M. Bodea s.a. Tranzistoare cu efect de cimp
D. N. Șapiro. Proiectarea radiorreceptorilor
V. Antonescu, M. Popovici. Ghid pentru controlul statistic al calității producției
N. Stanciu s.a. Tehnica imaginii în cinematografie și televiziune
P. Veseanu, Șt. Pătrașcu. Măsurarea temperaturii în tehnică
T. Penescu, V. Petrescu. Măsurarea presiunii în tehnică
P. Popescu, P. Mihordea. Măsurarea debitului în tehnică
P. Veseanu. Măsurarea nivelului în tehnică
C. Hidoș, P. Isac (coordonator). Studiu muncii, vol. I - VIII
V. Baltac s.a. Calculatorul FELIX C-256. Structură și programare
G. Sonea, M. Siletechi. Creșterea planificată a productivității muncii
R. L. Morris. Proiectarea cu circuite integrate TTL
I. Stăncioiu. Eficiență economică a assimilării de utilaje noi
Ishikawa Kaoru. Controlul de calitate pentru mașini
Magnus Radke. 222 măsuri pentru reducerea costurilor
A. M. Băluțiarov s.a. Culegere de probleme de programare
P. Constantinescu, C. V. Negoiță. Sisteme informatiche, modele ale conducerii și sistemelor conduse
E. S. Buffa. Conducere modernă a producției, vol. I și II
A. Vătășescu s.a. Dispozitive semiconductoare. Manual de utilizare
A. Nădoiu. Măsurarea volumului și cantității lichidelor în industrie
Ch. Jones. Design. Metode și aplicații
Gh. Pisău s.a. Elaborarea și introducerea sistemelor informaticе
C. Hidoș. Analiza și proiectarea circuitelor informaționale în unitățile economice
A. Vătășescu s.a. Circuiti integrate liniare. Manual de utilizare
M. Silisteau s.a. Scheme de televizoare, magnetofoane, picupuri vol. I și 2 ed. a II-a
D. W. Davis. Rețele de interconectare calculatoarelor
V. Pescaru s.a. Fișiere, baze și bănci de date
D. Patriche. Marketing industrial
Gh. Bastiurea s.a. Comandă numerică a mașinilor-unele
N. Sprinceanu, R. Dobrescu, Th. Borangiu. Automatizări discrete în industrie. Culegere de probleme
M. Florescu, s.a. Cibernetică, automatică, informatică în industria chimică
S. Călin, s.a. Optimizări în automatizări industriale
S. Maican. Sisteme numerice cu circuite integrate
I. Ristesu s.a. Manualul muncitorului electronist
M. Simionescu. Proiectarea unității a circuitelor electronice
C. Cluceru. Tehnica măsurărilor în telecomunicații
P. Nifulescu. Electroalimentarea instalațiilor de telecomunicații
R. Rădulescu s.a. Circuiti integrate analogice. Catalog
Şt. Lozeanu s.a. Casetofoane. Depanare. Funcționare
T. Rădulescu s.a. Centrale telefoniice automate
S. Călin, I. Dumitrasche s.a. Reglare numerică a proceselor tehnologice
G. Ionescu s.a. Traductoare pentru automatizări industriale, vol. I
D. Boboc, Ș. Burada, G. Iordăchescu, F. Oprea, G. Slăpcoiu. Cartea operatorului și lucrătorului de întreținere de la panourile și tablourile de comandă echipate cu mijloace de măsurare și automatizare
A. Millea. Cartea metrologului. Metrologie generală

Dr. ing. MIHAIL VOICU

**Tehnici de analiză
a stabilității
sistemeelor
automate**



EDITURA TEHNICĂ

București — 1986

Control științific: dr. ing. Neculai Andrei
Redactor: ing. Mircea Grosu
Tehnoredactor: Elena Geru
Coperta: Simona Dumitrescu

Bun de tipar: 26.07.86. Coli de tipar: 24,5

CZ 62-52:531.391

Tiparul executat sub comanda
nr. 986 la
Intreprinderea Poligrafică
„13 Decembrie 1918”
str. Grigore Alexandrescu nr. 89-97
București,
Republie Socialistă România



STABILITY ANALYSIS TECHNIQUES OF THE AUTOMATIC CONTROL SYSTEMS

(Abstract)

The aim of this book is to present, in a coherent way and from the viewpoint of the automatic control engineer, the most important stability results concerning the mono- and multivariable automatic control systems. It is a tentative to open a bridge between theory and practice by the fact that the major conception reason was to blend the apparent paradox that „nothing is as practical as a good theory“ (Helmholtz) with the didactic precept that „examples are more useful than rules“ (Newton).

Most of the results of the book are devoted to the stability analysis. According to the practical viewpoint that this cannot be purpose by itself, we also approach certain design techniques as a natural continuation of the analysis.

In view of the major outlook, most of the theoretic results are accompanied by proofs and all the examples (about 90) are solved. The book is almost self-contained and the only prerequisite is an elementary course of mathematics for engineers. In this respect, chapter I summarises the principal aspects of the mathematical modelling and, on this basis we introduce the internal and external stability concepts. The subsequent chapters are concerned with the stability analysis techniques for linear (II), nonlinear (III) and multivariable (IV) automatic control systems. For an easier handling of the book, a general scheme of all the stability types and the analysis techniques is available (Annex F). The book is addressed to the engineers, designers, scientists, and students who usually operate with automatic control concepts.

CONTENTS

I. *Essentials of the stability concept:* 1. Mathematical description of the dynamical systems; 2. Input — state — output description; 3. Input — output description; 4. Internal stability; 5. Internal stability of the linear dynamical systems; 6. External stability.

II. *Stability analysis techniques of the linear automatic control systems:* 1. Polynomial domain techniques; 2. Matriceal techniques; 3. Frequency domain techniques.

III. Stability analysis techniques of the nonlinear automatic control systems: 1. Describing function techniques; 2. State plane method; 3. Liapunov direct method (including absolute stability).

IV. Stability analysis techniques of the multivariable automatic control systems: 1. Linear multivariable automatic control systems; 2. Stabilization problem; 3. Nonlinear multivariable automatic control systems (hyperstability).

Annexes: A. Laplace transform; B. Z – transform; C. Vectorial and normed spaces; D. Quadratic and Hermitian forms; Sylvester criterion; E. A Schur's formula; F. A general scheme of the stability types and of the analysis techniques.

Mihai Voiu
Tehnici de analiză a stabilității sistemelor automate. Ed. Tehnică, 1986.

PREFATĂ

Conceptul de stabilitate are, neîndoilenic, o origine intuitiv-experimentală. Formalizarea și caracterizarea lui analitică constituie o preocupare veche a gândirii științifice. Dacă primele aplicații din acest domeniu au avut ca obiect studiul stabilității sistemului solar, o dată cu desăvârșirea mașinismului și cu apariția primelor sisteme automate industriale, stabilitatea devine o problemă tehnică de prim ordin. Abordarea ei pe baze exclusiv experimentale nu a dus la rezultate concluzante, astfel că utilizarea modelelor matematice pentru rezolvarea unor probleme de proiectare a fost singura cale de urmat. Dacă avem în vedere numai două probleme tehnice rezolvate, și anume: stabilitatea hidroturbinelor și stabilitatea mașinii cu abur prevăzută cu reglare automată a turării, tragem concluzia că în epocă ele erau de importanță vitală și că mai mult ca oricind gândirea fizico-matematică a început să determine aspecte majore și totodată subtile ale progresului tehnic în general.

Prezența carte are ca scop cuprinderea într-un cadru unitar și din punctul de vedere al inginerului automatist a celor mai importante rezultate de stabilitate utilizate în domeniul sistemelor automate. Ea este o tentativă de deschidere a unei punji între teorie și practică, prin aceea că încearcă o îmbinare a aparentului paradox că „nimic nu este mai practic ca o teorie bună“ (Helmholtz) cu preceptul, docimologic, conform căruia „exemplile sunt mai utile ca regulile“ (Newton).

O scurtă privire asupra cuprinsului cărții pune în evidență faptul că ea este consacrată în primul rînd analizei stabilității sistemelor automate. Avind în vedere că aceasta, din punct de vedere practic, nu constituie un scop în sine, s-au abordat, în limita spațiului, și unele probleme de sinteză (în sensul proiectării efective), ca o continuare firească a analizei. Prin factură și conținut, carte se adresează îndeosebi inginerilor automatiști (din producție, cercetare-proiectare și învățămînt), precum și altor categorii de specialiști care operează în mod curent cu concepte proprii automaticii și ciberneticii.

Conform scopului cărții, majoritatea rezultatelor teoretice sunt demonstre și toate exemplele sunt rezolvate. Pentru a nu întrerupe cursivitatea, trimiterile bibliografice în text se fac numai dacă este strict necesar. Ca și

În alte domenii ale științei, literatura din domeniul stabilității sistemelor automate este extrem de bogată. În virtutea ideii direcțoare a acestei cărți, bibliografia de la sfîrșitul volumului cuprinde numai o parte din cele mai importante lucrări publicate de-a lungul timpului în domeniul stabilității sistemelor automate. Foarte multe rezultate interesante, de amânat și de nuanțare, nu și-au putut găsi locul meritat între limitele copertilor acestui volum. Oricum, îndrăznim să credem că prezența carte corespunde unei necesități reale, dar desigur ultimul cuvînt în această privință îl vor avea cititorii.

Considerăm ca pe o plăcută îndatorire să ne exprimăm pe această cale sentimentele de gratitudine față de dr. ing. Neculai Andrei, care cu prilejul analizei manuscrisului a formulat o serie de sugestii de ordin general vizînd obținerea în final a unui produs editorial de bună calitate. Una dintre acestea a avut ca rezultat schema de analiză a stabilității sistemelor automate (anexa F), din care transpare un sistem expert dedicat unei atare analize pe baza ansamblului de concepție și rezultate existente în prezența carte și pe care cititorii nu vor întîrzi, sperăm, să o utilizeze cu succes atât pe parcursul studiului, cât și în activitatea profesională.

AUTORUL

Mihail Voicu
Tehnici de analiză a stabilității sistemelor automate.

Cuprins

Prefață	7
Listă de simboluri și notații	14
Capitolul I Fundamentele conceptului de stabilitate	15
1. Descrierea matematică a sistemelor dinamice	15
1.1. Sistem și mediu înconjurător	15
1.2. Modelul matematic al unui sistem dinamic	18
1.3. Tipuri de sisteme dinamice	22
1.4. Exemple de sisteme dinamice	23
1.4.1. Cascadă formată din două recipiente	23
1.4.2. Motor electric de curenț continuu	27
1.4.3. Pod rulant	29
1.4.4. Conductă pneumatică	31
1.4.5. Proces de reinnoire a stocului pieselor de schimb	37
1.4.6. Proces de epurare biologică	39
1.4.7. Sistem automat de urmărire	40
1.4.8. Sistem automat de reglare a temperaturii cu regulator discret	43
2. Reprezentarea intrare-stare-iesire	47
2.1. Sisteme dinamice liniare cu parametri concentrați	47
2.1.1. Sisteme continue și variante în timp	47
2.1.2. Sisteme discrete și variante în timp	49
2.1.3. Sisteme continue și invariante în timp	51
2.1.4. Sisteme discrete și invariante în timp	52
2.2. Sisteme dinamice neliniare cu parametri concentrați	52
3. Reprezentarea intrare-iesire	53
3.1. Sisteme dinamice liniare cu parametri concentrați	53
3.1.1. Sisteme continue și variante în timp	53
3.1.2. Sisteme discrete și variante în timp	54
3.1.3. Sisteme continue și invariante în timp	55
3.1.4. Sisteme discrete și invariante în timp	56
3.2. Sisteme dinamice neliniare cu parametri concentrați	56
4. Stabilitatea internă	58
4.1. Stabilitatea echilibrului	58
4.1.1. Punct de echilibru	58

4.1.2. Exemple (amplificator electronic cu reacție; proces de reinnoire a stocului pieselor de schimb).....	59
4.2. Stabilitatea în sens Liapunov.....	63
4.2.1. Definiții	64
4.2.2. Interpretare geometrică	65
4.2.3. Stabilitatea globală	66
5. Stabilitatea internă a sistemelor dinamice liniare	67
5.1. Stabilitatea internă a sistemelor dinamice liniare variante în timp	67
5.2. Stabilitatea internă a sistemelor dinamice liniare invariante în timp	69
5.2.1. Formă canonica diagonală (Jordan) a unei matrici pătratice	69
5.2.2. Exemple de determinare a formei canonice diagonale (Jordan)	73
5.2.3. Explicitarea matricii e^{At}	77
5.2.4. Sisteme dinamice continue în timp	79
5.2.5. Sisteme dinamice discrete în timp	80
5.2.6. Exemple (cascadă formată din două recipiente; pod rulant; proces de reinnoire a stocului pieselor de schimb)..	82
6. Stabilitatea externă	83
6.1. Definiția stabilității externe.....	83
6.2. Stabilitatea externă a sistemelor dinamice liniare.....	84
6.2.1. Sisteme variante în timp.....	84
6.2.2. Sisteme invariante în timp.....	86
6.3. Controlabilitatea și observabilitatea stării.....	87
6.3.1. Exemplu de sistem stabil IMEM și instabil intern	87
6.3.2. Controlabilitatea stării	90
6.3.3. Observabilitatea stării	94
6.3.4. Proprietăți de invarianță	95
6.3.5. Formă canonica Kalman.....	96
6.4. Stabilitatea IMEM și stabilitatea asimptotică	98
6.4.1. Sisteme dinamice liniare continue și invariante în timp	98
6.4.2. Testarea stabilității IMEM. Gradul de stabilitate	101
6.4.3. Corelația dintre calitatea răspunsului indicial și gradul de stabilitate	103
6.4.4. Sisteme dinamice liniare discrete și invariante în timp	107
6.4.5. Sisteme dinamice liniare variante în timp	109
6.4.6. Aplicație: acordarea regulatoarelor după criteriul modulului	109
Capitolul II Tehnici de analiză a stabilității sistemelor liniare	114
1. Tehnici polinomiale	114
1.1. Sisteme continue în timp	115
1.1.1. Criteriul Nyquist-Mihailov	117
1.1.2. Criteriul Hurwitz	118
1.1.3. Criteriul Routh	122
1.1.4. Domenii parametrice de stabilitate.....	125

1.1.5. Invarianța proprietății Hurwitz.....	131
1.1.6. Stabilitatea structurală a sistemelor automate.....	133
1.1.7. Metoda locului rădăcinilor.....	137
1.1.8. Stabilizarea sistemelor automate.....	147
1.1.9. Aplicație: reglarea automată a unghiului polar al unui generator sincron	153
1.2. Sisteme discrete în timp.....	157
1.2.1. Utilizarea transformării omografice.....	158
1.2.2. Criteriul Schur-Cohn-Jury	159
1.2.3. Criteriul Jury-Blanchard	160
1.2.4. Condiții suficiente de convergență.....	166
1.2.5. Metoda locului rădăcinilor.....	167
1.2.6. Stabilitatea IMEM între punctele de eşantionare.....	168
1.2.7. Aplicație: reglarea automată discretă a temperaturii unui cupitor electric	169
2. Tehnici matriceale	172
2.1. Tehnici de localizare a valorilor proprii prin inegalități ..	174
2.1.1. Discurile lui Gherşgorin	175
2.1.2. Alte rezultate de tip inegalitate.....	180
2.2. Tehnici de localizare a valorilor proprii prin sirul puterilor unei matrici	182
2.2.1. Sisteme discrete în timp	182
2.2.2. Sisteme continue în timp	184
2.3. Tehnici bazate pe matrici asociate	186
2.3.1. Matricea companion a unui polinom	186
2.3.2. Partea simetrică a unei matrici	187
2.3.3. Matricea Hankel asociată unei fracții raționale	189
2.3.4. Matricea Hankel asociată unei perechi de matrici	191
3. Tehnici frecvențiale	194
3.1. Prinzipiul argumentului	194
3.1.1. Integrala pe contur a derivatei logaritmice	194
3.1.2. Variația totală a argumentului	196
3.1.3. Criteriul Cremer-Leohnard	197
3.1.4. Semnificația lui $G(j\omega)$	198
3.2. Criteriul Nyquist	200
3.2.1. Utilizarea locului de transfer	200
3.2.2. Aplicație: alegerea regulatorului unui sistem automat de urmărire	205
3.2.3. Sisteme cu timp mort	208
3.2.4. Utilizarea diagramei Bode	209
3.2.5. Aproximarea funcției de transfer a sistemului deschis	212
3.3. Corecția sistemelor automate	214
3.3.1. Condiții impuse sistemului automat	214
3.3.2. Corecția în domeniul frecvențelor	217
3.3.3. Reglarea în cascadă	222
3.4. Sisteme automate discrete în timp	223
3.4.1. Criteriul Nyquist pentru sisteme discrete	223

Mihai Doriu
Tehnici de analiză și stabilitate a sistemelor automate

Capitolul III	Tehnici de analiză a stabilității sistemelor automate neliniare	226
<i>Mihai Ionescu Tehnici de analiză a stabilității sistemelor automate neliniare Ed. Tehnică POS</i>		
1.	Tehnici bazate pe funcția de desoriere	228
1.1.	Metoda celor două locuri	228
1.1.1.	Definiția funcției de descriere	228
1.1.2.	Calculul aproximativ al funcției de descriere	233
1.1.3.	Structura unui sistem automat neliniar	234
1.1.4.	Oscilații întreținute	235
1.2.	Stabilitatea oscilațiilor întreținute	238
1.2.1.	Oscilații limită	239
1.2.2.	Regula lui Loeb	239
1.3.	Stabilitatea asimptotică a sistemelor automate neliniare	244
1.3.1.	Criteriul Kochenburger	244
1.3.2.	Aplicație: stabilitatea simptotică a unui sistem automat de urmărire	244
1.3.3.	Criteriul Bilharz	246
1.3.4.	Stabilitatea asimptotică în mic	248
1.4.	Problema stabilizării	249
1.4.1.	Possibilități de stabilizare	249
1.4.2.	Utilizarea diagramei Bode	250
1.4.3.	Aplicație: stabilizarea unui sistem automat de reglare a temperaturii	251
2.	Metoda planului stărilor	253
2.1.	Sisteme dinamice autonome de ordinul doi	255
2.1.1.	Portretul de stare	255
2.1.2.	Metoda izoclinelor	257
2.1.3.	Cazul sistemelor liniare	259
2.2.	Sisteme dinamice neliniare de ordinul doi	264
2.2.1.	Portret de stare local și global	264
2.2.2.	Liniarizarea în jurul unui punct de echilibru	265
2.2.3.	Cicluri limită	271
2.2.4.	Aplicație: oscilator electronic RC	276
2.2.5.	Aplicație: servomecanism cu regulator de tip releu	278
2.2.6.	Bifurcația Hopf	280
2.3.	Metoda directă Liapunov	281
3.1.	Sisteme dinamice neliniare autonome și continue în timp	281
3.1.1.	Definiții	281
3.1.2.	Criterii de stabilitate și de instabilitate	282
3.1.3.	Cazul sistemelor dinamice liniare constante	286
3.1.4.	Stabilitatea în primă aproximatie	287
3.2.	Tehnici de construcție a unei funcții Liapunov	288
3.2.1.	Metoda Krasovski	289
3.2.2.	Metoda Ingwersen	290
3.2.3.	Metoda Schultz-Gibson	292
3.2.4.	Determinarea multimii de atracție	293
3.2.5.	Aplicație: sistem automat asimptotic stabil pentru o clasă de neliniarități	296
3.3.	Stabilitatea absolută	299

3.3.1. Problema lui Lurie.....	300
3.3.2. Criteriul Popov	301
3.3.3. Forma grafică a criteriului Popov.....	305
3.3.4. Conjectura Aizerman	307
3.3.5. Criteriul cercului	308
3.3.6. Criteriul Popov pentru sisteme discrete.....	312
3.4.7. Stabilitatea absolută pe componente	314
 Capitolul IV Tehnici de analiză a stabilității sistemelor automate multivariable	 320
1. Sisteme automate multivariable liniare	320
1.1. Tehnici de localizare a polilor.....	322
1.1.1. Determinantul caracteristic	322
1.1.2. Criteriul Rosenbrock	329
1.2. Tehnici frecvențiale	334
1.2.1. Funcțiile caracteristice	334
1.2.2. Criteriul Nyquist generalizat.....	336
1.2.3. Aplicație: servomecanism de precizie.....	340
2. Problema stabilizării	344
2.1. Reacția după stare.....	344
2.1.1. Alocarea valorilor proprii	345
2.1.2. Existența soluției ecuației (2.5).....	350
2.1.3. Aplicatie: stabilizarea unui pod rulant.....	352
2.1.4. Estimarea stării	354
2.2. Reacția după ieșire.....	358
2.2.1. Reacția proporțională după ieșire.....	358
2.2.2. Decuplarea serie	359
3. Sisteme automate multivariable neliniare	361
3.1. Hiperstabilitatea	361
3.1.1. Structura sistemului automat multivarabil.....	361
3.1.2. Definiri și condiții de hiperstabilitate	362
3.2. Sisteme autoadaptive hiperstabile.....	365
3.2.1. Procedeul de autoadaptare.....	365
3.2.2. Sinteza comenzilor de autoadaptare.....	367
3.2.3. Aplicație: sistem de urmărire autoadaptiv hiperstab	369
Anexa A. Transformarea Laplace	372
Anexa B. Transformarea ζ	374
Anexa C. Spații vectoriale (liniare) normate	378
Anexa D. Forme pătratice și hermitice; criteriul Sylvester	379
Anexa E. O formulă a lui Schur	380
Anexa F. Schema analizei stabilității sistemelor automate	381
 Bibliografie	 386

Listă de simboluri și notații

- D** — începutul demonstrației
- — sfîrșitul demonstrației
- N** — mulțimea numerelor naturale
- Z** — mulțimea numerelor întregi
- R** — mulțimea numerelor reale
- R₊** — mulțimea numerelor reale nenegative
- C** — mulțimea numerelor complexe
- Rⁿ** — spațiul vectorilor reali
 n - dimensionali
- Cⁿ** — spațiul vectorilor complecși
 n - dimensionali
- L** — transformarea Laplace directă
- L⁻¹** — transformarea Laplace inversă
- z** — transformarea z directă
- ∈** — simbolul apartenenței
- A⁻¹** — inversa matricii A

- A^T** — matricea transpusă
- det A** — determinantul matricii A
- adj A** — adjuncta matricii A
- diag ()** — matrice diagonală
- ||·||** — simbolul normei
- z̄** — conjugatul numărului complex z
- |z|** — modulul lui z
- Re z** — partea reală a lui z
- Im z** — partea imaginară a lui z
- arg z** — argumentul lui z
- sgn x** — funcția signum (-1 pentru $x < 0$ și +1 pentru $x > 0$)
- f^(k)(t)** — derivata de ordinul k a funcției f(t)
- f^(k)(t)** — derivata generalizată de ordinul k a funcției f(t)

Mihail Voicu
Tehnici de analiză a stabilității sistemelor auto-natură. Ed. Universitară, 1986.

Fundamentele conceptului de stabilitate

1. Descrierea matematică a sistemelor dinamice

1.1. Sistem și mediu înconjurător

În sens fizic larg, prin *sistem* se înțelege un complex unitar, relativ delimitat, printr-o *structură internă*, fără de mediu. Pentru explicitarea acestei afirmații se consideră un sistem dinamic (atributul „dinamic” indică faptul că sistemul evoluează în timp), a cărui schemă funcțional-construcțivă este reprezentată în fig. I.1. Desfășurarea corectă a procesului tehnologic implică rezolvarea simultană a următoarelor două probleme:

a) Să se modifice adevarat debitul Q_t , astfel încât nivelul lichidului în recipientul R să rămână constant în raport cu variația debitului Q_e . Pentru rezolvarea acestei probleme se poate folosi un operator uman sau un regulator automat de nivel. Elementele care concură la realizarea scopului propus — stabilizarea nivelului — acționează într-o ordine și sunt intercorelate. Încălzirea sau răcirea lichidului (prin schimbătorul de căldură SC), în condițiile în care coeficientul de dilatație termică a

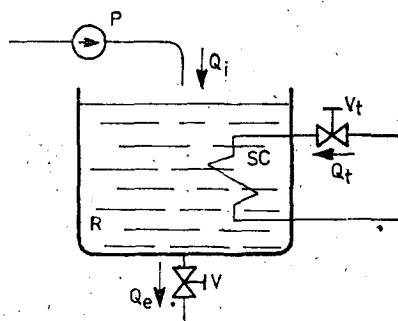


Fig. I.1. Schema prelucrării unui lichid:
 P — pompă; R — recipient; SC — schimbător de căldură; V și V_t — ventile; Q_e și Q_t — debitele lichidului prelucrat; Q_t — debitul agentului termic.

lichidului este mic, nu aparține unității și reprezintă mediu exterior. S-a pus în evidență astfel un sistem.

b) Să se modifice adekvat debitul Q_i al agentului termic astfel încât temperatura lichidului din recipientul R să rămână constantă. Ca și mai sus, pentru rezolvare acestei probleme se poate folosi un operator uman sau un regulator automat de temperatură. Si în acest caz se evidențiază o unitate, respectiv un sistem. De această dată variația nivelului lichidului din recipient aparține unității, deoarece temperatura lichidului depinde și de debitele Q_i și Q_e .

Pe baza acestui exemplu simplu se pot formula următoarele caracterizări relative la noțiunea de sistem:

1° Pentru un sistem este esențial faptul că *părțile sale componente sunt într-o anumită relație*, care constituie totodată criteriul de delimitare față de mediul înconjurător.

2° Părțile sau elementele sistemului au funcții precise și ocupă în cadrul sistemului poziții bine determinate, ceea ce permite să se afirme că sistemul se caracterizează printr-o anumită structură.

3° Între mărimile fizice ale sistemului există *legături de cauzalitate*, concretizate în procesarea *substanței, energiei și informației* în conformitate cu legile generale ale naturii.

4° Legăturile de cauzalitate pot fi astfel ordonate încât în cadrul sistemului să existe *legături inverse* — reacții — (pozitive sau negative). Acest tip special de conexiune (realizabilă și în cazul exemplului din fig. I.1 prin folosirea unui operator uman sau a două regulatoare) este specifică *sistemelor cibernetice* (naturale sau tehnice).

5° *Acțiunea comună* a părților sistemului asigură realizarea unui anumit *scop* — pentru exemplul considerat stabilizarea nivelului sau a temperaturii. Prin reunirea părților sistemul dobîndește *calități noi*, care nu pot fi identificate în părțile sale, luate separat. O astfel de calitate (în cazul sistemului din fig. I.1 este vorba de stabilizarea nivelului și a temperaturii) este aceea determinată de prezența reacției.

6° Realizarea scopului propus se poate face folosind un operator uman sau un regulator automat. Funcțional, cele două soluții au la bază aceeași *structură abstractă* a comunicațiilor între părțile sistemului, respectiv sint *izomorfe*.

7° Noțiunea de sistem este *relativă*, deoarece una și aceeași realitate fizică poate cuprinde diverse sisteme, corelate sau nu între ele.

Pe de altă parte, din punct de vedere practic, sistemele din natură, dar și special cele tehnice, prezintă utilitate dacă posedă următoarele proprietăți principale:

1° Fiind dat un anumit regim de echilibru al mărimilor unui sistem, orice perturbare de scurtă durată a acestui regim este urmată de revenirea naturală a sistemului, în timp, la regimul de echilibru care a precedat perturbarea. Această proprietate, esențială pentru evoluția normală, sau chiar pentru existența marii majorități a sistemelor, se numește *stabilitate*.

2° În sfera cauzalității, fenomenele care au loc în sisteme sunt determinate prin *mărimi-cauze* și pot fi observate prin *mărimi-efecte*. Proprietatea conform căreia pentru orice evoluție dorită a mărimilor-efecte există o evoluție a mărimilor-cauze sub acțiunea cărora sistemul realizează respectiva evoluție a mărimilor-efecte se numește *controlabilitate*.

3° Dacă pentru o anumită evoluție cunoscută a mărimilor-efecte, realizată de sistem sub acțiunea unor mărimi-cauze necunoscute, este posibilă determinarea evoluției respectivelor mărimi cauze, se spune că sistemul are proprietatea de *observabilitate*.

4° Fenomenele care au loc în cadrul sistemelor le caracterizează din punct de vedere structural și parametric. Dacă pe baza cunoașterii evoluției mărimilor-cauze și a evoluției corespunzătoare a mărimilor-efecte se pot determina structura și parametrii sistemului, se spune că acesta posedă proprietatea de *identificabilitate*.

5° Calitățile sistemelor, naturale sau tehnice, se apreciază fie pe baza proprietăților de mai sus, fie, mai ales, pe baza unor indicatori simpli sau sintetici care caracterizează relația dintre mărimile-cauze și mărimile-efecte. Dacă un sistem nu posedă o anumită calitate (nu satisfacă un anumit indicator), dar prin modificări structurale (cu adăugarea unor părți și a unor conexiuni noi) și ajustări parametrice adecvate noul sistem evidențiază calitatea respectivă, se spune că sistemul inițial are proprietatea de *adaptabilitate*. Pentru evitarea eventualelor confuzii, precizăm că, în cazul sistemelor tehnice modificarea structurii și ajustarea parametrilor se pot face definitiv, pentru sistemele cu structură fixă și parametri constanți în timp, sau de câte ori este necesar (prin structuri adecvate de *autoadaptare*), în cazul sistemelor cu structură și parametri variabili în timp.

6° Proprietatea unui sistem de a-și conserva, între limite precizate sau precizabile, o anumită calitate bine definită (dintre cele de mai sus sau altele), în condițiile în care parametrii și/sau structura sistemului se modifică (în mod cunoscut sau nu) între anumite limite admisibile, se numește *robustete*.

Este de la sine înțeles că între proprietățile enumerate mai sus există anumite relații determinate de însuși sistemul natural sau tehnic. Cunoașterea lor, ca și a înseși proprietăților și a calităților sistemelor, sunt de o

mare importanță pentru practica inginerescă în general și pentru conceperea unor sisteme tehnice performante, în special.

Cunoașterea sistemelor reale (naturale sau tehnice) se bazează pe construcția — prin sistematizarea observațiilor, sintetizarea rezultatelor măsurărilor și cunoașterea legilor generale ale naturii — a unei *imagini*, de regulă idealizate și esențializate, a fenomenelor reale. Această imagine a realității reprezintă ea însăși un complex unitar, caracterizat, printr-o structură internă, respectiv un *sistem abstract*. Descrierea sistemului abstract se face cu ajutorul unui model (verbal sau matematic), pe baza căruia se pot explicita proprietățile cunoscute ale sistemului real și predicta altele noi, neevidențiate de observații și măsurări, putindu-se concepe experimente pentru punerea în evidență a respectivei proprietăți noi.

Validarea sistemului abstract, etapă esențială în procesul dinamic-iterativ al cunoașterii sistemelor reale, constă în regăsirea în realitate, prin experimente adecvate, a acestor proprietăți evidențiate de *teoria* care fundamentează sistemul abstract. În aceste condiții un sistem abstract poate fi acceptat sau respins. Criteriile de acceptare sau de respingere, foarte variate în formele lor concrete, se bazează pe erorile admisibile introduse de sistemul abstract în raport cu sistemul real. Reducerea acestor erori implică, pe de o parte, rafinarea procedeelor de obținere a datelor primare (observații și măsurări) și, pe de altă parte, rafinarea mijloacelor de descriere a sistemului abstract. În acest sens are loc atât o continuă diversificare a instrumentației și a metodelor experimentale de studiu al sistemelor reale, cît și o orientare semnificativă, în toate științele, spre utilizarea modelelor matematice pentru descrierea sistemelor abstracte. Este deja de domeniul evidenței că modelele matematice judicios elaborate pot reprezenta satisfăcător sistemele reale și că aceste modele constituie, în numeroase aplicații, principala bază pentru proiectarea și realizarea unor sisteme, tehnice sau de altă natură, cu calitate și prestabilitate. Este un fapt bine știut că, printre aceste calități, *stabilitatea* se situează, în marea majoritate a cazurilor, pe primul loc.

1.2. Modelul matematic al unui sistem dinamic

Un model matematic Σ este în esență un set de ecuații care descrie anumite aspecte ale comportării unui sistem dinamic \mathcal{S} , într-o formă relativ ușor de utilizat și cu o acuratețe acceptabilă în raport cu sistemul \mathcal{S} (o definiție matematic riguroasă a sistemului dinamic abstract a fost dată în [K1]). Pentru explicitarea acestei afirmații, să

considerăm că începând cu un *moment inițial* t_0 se aplică sistemului și o *mărime de intrare* (mărime-cauză: forță, tensiune electrică etc.) $u(t)$, $t \geq t_0$, pe o durată finită de timp, numită *interval de observare*. Pe acest interval de timp se măsoară *mărimea de ieșire* (mărimea-efect: deplasare, curent electric etc.) $y(t)$. Pe baza experimentelor se deduce ușor că $y(t)$ depinde, pe de o parte, de $u(t)$ și, pe de altă parte, de starea inițială a sistemului, caracterizată prin *mărimea de stare* $x(t_0)$. De exemplu, în cazul unui oscilator mecanic, format dintr-un corp greu suspendat de un resort, comportarea sa este complet determinată pentru $t \geq t_0$ de forță perturbatoare aplicată în centrul de greutate al corpului greu și de starea inițială definită prin poziția și viteza aceluiasi centru de greutate la momentul t_0 . Concluzia firească este că din punct de vedere funcțional orice descriere a evoluției sistemului și trebuie să se bazeze pe concepțele de *mărime de intrare*, *mărime de ieșire* și *mărime de stare*.

De asemenea, se constată experimental că evoluția stării $x(t)$, $t \geq t_0$, începând cu $x(t_0)$, sub influența lui $u(\theta)$, $\theta \in [t_0, t]$, nu depinde numai de $u(t)$, ci și de „istoria” influenței intrării asupra stării pe intervalul de observație $[t_0, t]$. Acest fapt, consecință directă a dependenței lui $y(t)$ de starea inițială $x(t_0)$, poate fi pus în evidență foarte ușor cu ajutorul următorului exemplu.

Exemplu 1.1. Se consideră cuadripolul RC din fig. I.2, unde $u(t)$ este tensiunea de intrare (cauza) și $y(t)$ este tensiunea de ieșire (efectul). Este evident că evoluția lui $y(t)$ depinde atât de $u(t)$, cît și de sarcina electrică inițială $x(t_0)$ a capacitorului C. Mai mult, sarcina electrică $x(t)$, $t \geq t_0$, depinde nu numai de $u(t)$, ci și de influența acesteia asupra cuadripolului pe intervalul $[t_0, t]$. Într-adevăr, scriind ecuațiile cuadripolului din fig. I.2, obținem

$$R\ddot{x}(t) + \frac{1}{C}x(t) = \dot{u}(t), \quad (1.1)$$

$$y(t) = \frac{1}{C}x(t), \quad t \geq t_0. \quad (1.2)$$

Pentru $u(t)$ de formă oarecare (funcție continuă pe porțiuni) soluția ecuației diferențiale (1.1) este formată din două componente, și anume

$$\dot{x}(t) = x_l(t) + x_f(t), \quad (1.3)$$

unde $x_l(t)$ este soluția ecuației omogene corespunzătoare ecuației (1.1), care satisfac condiția inițială

$$x_l(t_0) = x(t_0), \quad (1.4)$$

și $x_f(t)$ este soluția particulară a ecuației neomogene (1.1).

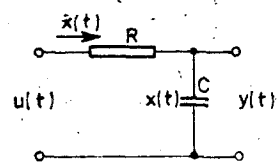


Fig. I.2. Cuadripol RC.
x — sarcina electrică; u, y — tensiuni.

Se știe că

$$x_I(t) = x(t_0) e^{-\frac{1}{RC}(t-t_0)}, \quad t \geq t_0, \quad (1.5)$$

și

$$x_f(t) = v(t) e^{-\frac{1}{RC}(t-t_0)}, \quad t \geq t_0, \quad (1.6)$$

unde $v(t)$ se determină din condiția ca $x_f(t)$ să satisfacă ecuația (1.1) (metoda variației constanțelor).

Înlocuind (1.6) în (1.1), după calcule elementare, se determină $v(t)$ și apoi din (1.6) se obține

$$x_f(t) = \frac{1}{R} \int_{t_0}^t e^{-\frac{1}{RC}(t-\theta)} u(\theta) d\theta, \quad t \geq t_0. \quad (1.7)$$

Soluția ecuației (1.1), conform relațiilor (1.3), (1.5) și (1.7), are expresia

$$x(t) = x(t_0) e^{-\frac{1}{RC}(t-t_0)} + \frac{1}{R} \int_{t_0}^t e^{-\frac{1}{RC}(t-\theta)} u(\theta) d\theta, \quad t \geq t_0. \quad (1.8)$$

Este evident că $x(t)$ depinde de $x(t_0)$ și de $u(\theta)$, $\theta \in [t_0, t]$. Acest ultim fapt corespunde prezenței tensiunii u în integrandul din (1.8).

Prezența integraliei în (1.8) permite să se afirme că sistemul dinamic din fig. I.2 are „memorie”, în sensul că acesta își „amintește” de istoria influenței intrării asupra sa. „Memoria” este continuu selectivă (ponderată prin $e^{-(t-\theta)/RC}$, $\theta \in [t_0, t]$), în sensul că influențele mai vechi ale lui u (θ apropiat de t_0) au un efect mai mic decât influențele recente (θ apropiat de t).

Examinarea dinamicii quadripolului RC ne permite să trageăm concluzia că modelul matematic Σ al unui sistem real este constă din două ecuații: *ecuația de stare și ecuația ieșirii*, adică

$$\dot{x}(t) = f[t, x(t), u(t)], \quad (1.9)$$

$$y(t) = g[t, x(t), u(t)], \quad (1.10)$$

unde $t \in T \subseteq \mathbb{R}$ (T este multimea de timp a sistemului), $x(t) \in X \subseteq \mathbb{R}^n$ (X este multimea de evoluție a stării), $u(t) \in U \subseteq \mathbb{R}^m$ (U este multimea admisibilă a valorilor intrării) și $y(t) \in Y \subseteq \mathbb{R}^p$ (Y este multimea valorilor ieșirii) cu n, m, p numere naturale. Funcțiile f și g sunt funcții vectoriale de dimensiuni adecvate.

Dacă f îndeplinește anumite condiții (vor fi expuse la § 2.2) atunci ecuația (1.9) admite o soluție unică care satisfacă condiția inițială $x(t_0) = x_0 \in X$, de forma

$$x(t) = \varphi(t; t_0, x_0, u_{[t_0, t]}), \quad t \geq t_0, \quad (1.11)$$

unde prin $u_{[t_0, t]}$ se înțelege restricția funcției u la intervalul $[t_0, t] \subseteq T$.

Funcția φ se numește *funcția de tranziție a stăriilor* și în cazul cuadrupolului RC (fig. I.2) are expresia (1.8). Ea satisfacă, lucru ușor de verificat și pentru (1.8), următoarele proprietăți, [K1], [I1]:

1° Consistență

$$\varphi(t_0; t_0, x_0, u(t_0)) = x_0 \text{ pentru orice } (t_0, x_0) \in T \times X. \quad (1.12)$$

2° Compozabilitate

$$\varphi(t_2; t_0, x_0, u_{[t_0, t_1]}) = \varphi(t_2; t_1, \varphi(t_1; t_0, x_0, u_{[t_0, t_1]}), u_{[t_1, t_2]}) \quad (1.13)$$

pentru orice $t_0, t_1, t_2 \in T$, cu $t_0 \leq t_1 \leq t_2$ și orice $x_0 \in X$.

3° Cauzalitate

$$\varphi(t; t_0, x_0, u_{[t_0, t]}) = \varphi(t; t_0, x_0, \tilde{u}_{[t_0, t]}), t \geq t_0, \quad (1.14)$$

- pentru oricărui $(t_0, x_0) \in T \times X$ și pentru orice $u(t), \tilde{u}(t) \in U$, cu $u_{[t_0, t]} = \tilde{u}_{[t_0, t]}$.

În spațiul \mathbf{R}^n ecuației (1.11) îi corespunde o curbă numită *traекторia sistemului* Σ . Starea sistemului parcurge această traectorie atunci cind timpul t crește.

Reprezentarea unui sistem dinamic abstract sub forma (1.9), (1.10), inspirată de metoda coordonatelor generalizate din *mecanica analitică*, numită *repräsentare intrare-stare-iesire*, a dobândit o importanță deosebită în ultimele trei decenii. Acest fapt se datorează unor facilități incontestabile, cum ar fi analiza și sinteza în domeniul timpului cu ajutorul calculatorului electronic (PAC — proiectare asistată de calculator, în engleză CAD — *computer aided design*), în rezolvarea unor probleme de mare complexitate în conducerea proceselor multivariabile (navigația spațială, fisiuarea nucleară etc.).

Examinind expresiile (1.10) și (1.11) se trage concluzia că $x(t)$ poate fi eliminat, astfel că sistemul abstract Σ admite și reprezentarea

$$y(t) = g[t, \varphi(t; t_0, x_0, u_{[t_0, t]}), u(t)], t \geq t_0, \quad (1.15)$$

numită *repräsentare intrare-iesire*. Uzual aceasta are forma unui sistem de n ecuații diferențiale, fiecare de ordin cel mult egal cu n , a cărui soluție este (1.15).

Reprezentarea intrare-iesire folosită inițial intens, în special în domeniul sistemelor automate, revine în actualitate cu evidență după 1980, cu deosebire în cazul sistemelor dinamice liniare invariante în timp, pentru care se poate face uz în mod avantajos de transformările integrale Laplace și Fourier.

1.3. Tipuri de sisteme dinamice

Din cele arătate pînă aici este evident că trebuie să se facă o distincție clară între sistemele dinamice reale și sistemele dinamice abstrakte. Fără a pierde din vedere acest aspect major, din rațiuni de simplificare a limbajului convenim să folosim în cele ce urmează denumirea de *sistem dinamic* pentru modelul matematic al unui sistem dinamic real.

În cadrul acestui subcapitol, pornind de la principiul clasificării dihotomice, se vor prezenta și caracteriza cu ajutorul modelului matematic principalele tipuri de sisteme dinamice.

a). Dacă T este izomorfă cu \mathbf{R} (de exemplu T este un interval) atunci sistemul dinamic Σ se numește *continuu* în timp.

Dacă T este izomorfă cu \mathbf{Z} (mulțimea numerelor întregi) atunci sistemul dinamic Σ se numește *discret* în timp. În acest caz ecuațiile sistemului dinamic pot fi aduse la forma

$$x(k+1) = f[k, x(k), u(k)], \quad (1.16)$$

$$y(k) = g[k, x(k), u(k)], \quad k \in \mathbf{Z}, \quad (1.17)$$

în care x , u , y , f și g au aceleași semnificații ca în cazul sistemului (1.9), (1.10).

b) Dacă X , U și Y sunt spații liniare și funcțiile f și g sunt liniare simultan în argumentele x și u atunci sistemul dinamic Σ se numește *liniar*.

Dacă f și/sau g nu sunt liniare atunci sistemul dinamic se numește *nliniar*.

c) Dacă funcțiile f și g nu depind explicit de timp atunci sistemul dinamic Σ se numește *invariant* în timp (*constant*).

Dacă funcțiile f și/sau g depind explicit de timp atunci sistemul dinamic Σ se numește *variant* în timp.

d) Dacă în cadrul sistemului se pune în evidență o singură variabilă independentă — și anume *timpul* — atunci sistemul dinamic Σ se numește cu *parametri concentrați*. Aceste sisteme sunt descrise de ecuații diferențiale ordinare (în cazul sistemelor continue în timp — de formă (1.9)).

Dacă în cadrul sistemului se pune în evidență și o altă variabilă independentă, diferită de cea temporală, cum ar fi de exemplu o *variabilă spațială*, atunci sistemul dinamic Σ se numește cu *parametri distribuți*. Astfel de sisteme sunt descrise de ecuații cu derivate parțiale (la 1.4.4 se va examina un exemplu tipic).

e) Dacă o mărime oarecare a sistemului este un proces stochastic atunci sistemul dinamic Σ se numește *stochastic*.

Dacă nici o mărime a sistemului nu este proces stohastic atunci sistemul dinamic Σ se numește *determinist*.

Combinind în mod adecvat clasificările de mai sus, se pot defini tipuri mai nuanțate de sisteme dinamice.

Experiența acumulată pînă în prezent în domeniul modelării matematice indică cu suficientă certitudine că, la o analiză foarte precisă, sistemele dinamice reale pot fi caracterizate prin attributele: neliniare, variante în timp și stohastice. Alegerea unui anumit tip de model matematic pentru o anumită realitate presupune esențializarea și chiar idealizarea fenomenelor reale și este în același timp, într-o anumită măsură, arbitrară, în sensul că depinde de posibilitățile de tratare analitică sau numerică, de convențiile stabilite în domeniul științific considerat de preferințele cercetătorului etc. Oricare ar fi însă modelul matematic ales pentru descrierea unui sistem dinamic real, validarea primului în raport cu cel de al doilea, în conformitate cu anumite criterii, este condiția *sine qua non* a valabilității modelului matematic. Numai în aceste circumstanțe analiza și sinteza sistemelor dinamice, bazate pe modelul matematic, pot produce rezultate practice satisfăcătoare (în limitele criteriilor de validare).

Un loc aparte între tipurile de sisteme dinamice îl ocupă sistemele dinamice (continue sau discrete) liniare, invariante în timp, cu parametri concentrați. Acest fapt se explică prin aceea că o categorie foarte largă de sisteme dinamice reale pot fi aproximate satisfăcător de astfel de sisteme și, nu în ultimul rînd, prin existența unei teorii unitare, relativ accesibilă și larg cunoscută, a acestui tip de sisteme dinamice.

1.4. Exemple de sisteme dinamice

1.4.1. Cascadă formată din două recipiente

Schema funcțional-construcțivă a sistemului este reprezentată în fig. I.3. Se cere să se determine sistemul dinamic corespunzător, mărimele de intrare fiind u_1 și u_2 , iar mărimea de ieșire y .

Cu notatiile din fig. I.3 ecuațiile de bilanț volumetric, la momentul t , în cele două recipiente sunt

$$A_1[x_1(t) - x_{10}] = \int_{t_0}^t [u_1(\theta) - \dot{v}(\theta)] d\theta, \quad (1.18)$$

$$A_2[x_2(t) - x_{20}] = \int_{t_0}^t [v(\theta) - y(\theta)] d\theta, \quad (1.19)$$

unde x_{10} și x_{20} sunt nivelele inițiale (la $t = t_0$) în cele două recipiente.

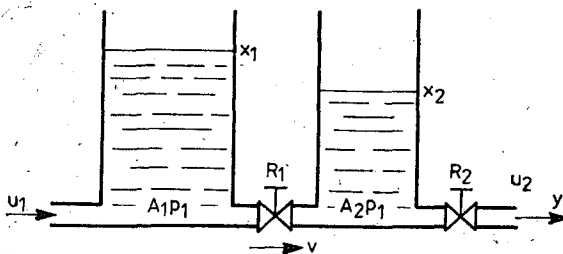


Fig. I.3. Cascadă formată din două recipiente:

A_1, A_2 – lăriile bazelor recipientelor; R_1, R_2 – rezistențele hidraulice ale robinetelor; u_1, v, y – debitele volumétrice; x_1, x_2 – nivelele în recipiente; p_1, p_2, u_2 – presiunile hidrostatice.

Ecuațiile presiunilor hidrostatice, la momentul t , în cele două recipiente au următoarele formăe bine cunoscute

$$p_1(t) = \rho g x_1(t), \quad (1.20)$$

$$p_2(t) = \rho g x_2(t), \quad (1.21)$$

unde ρ este densitatea lichidului și g – accelerația gravitației.

Ecuațiile curgerii, la momentul t , prin robinetele R_1 și R_2 , în aproximatie liniară, sint

$$p_1(t) - p_2(t) = R_1 v(t), \quad (1.22)$$

$$p_2(t) - u_2(t) = R_2 y(t). \quad (1.23)$$

La scrierea ecuațiilor (1.22), (1.23) s-a presupus că lichidul curge laminar și că relația dintre diferența de presiuni și debitul volumetric este de tipul aceleia stabilită de legea lui Ohm pentru circuitele electrice. Ecuațiile (1.22), (1.23) descriu satisfăcător fenomenul de curgere în situația în care viteza de curgere este suficient de mică.

Sistemul conține două elemente conservative, concretizate de coloane de lichid din cele două recipiente. Ca variabile de stare se pot alege în acest caz nivelele x_1 și x_2 . Derivînd ecuațiile (1.18) și (1.19) în raport cu t și eliminînd apoi mărimile p_1, p_2, v și y cu ajutorul relațiilor (1.20) – (1.23) se obțin următoarele ecuații de stare

$$\dot{x}_1 = -\frac{\rho g}{A_1 R_1} (x_1 - x_2) + \frac{1}{A_1} u_1, \quad (1.24)$$

$$\dot{x}_2 = \frac{\rho g}{A_2 R_1} x_1 - \frac{\rho g}{A_2} \left(\frac{1}{R_1} + \frac{1}{R_2} \right) x_2 + \frac{1}{A_2 R_2} u_2. \quad (1.25)$$

Ecuația ieșirii se obține din (1.23) și (1.21) prin eliminarea lui p_2

$$y = \frac{1}{R_2} (\rho g x_2 - u_2). \quad (1.26)$$

Sistemul dinamic (1.24)–(1.26) este continuu, liniar, invariant în timp și cu parametrii concentrați. El poate fi pus sub următoarea formă vectorial-matriceală

$$\begin{bmatrix} \dot{x}_1 \\ \dot{x}_2 \end{bmatrix} = \begin{bmatrix} -\alpha & \alpha \\ b\alpha & -(b+c)\alpha \end{bmatrix} \begin{bmatrix} x_1 \\ x_2 \end{bmatrix} + \begin{bmatrix} d & 0 \\ 0 & c \end{bmatrix} \begin{bmatrix} u_1 \\ u_2 \end{bmatrix}, \quad (1.27)$$

$$y = [0 \quad f\alpha] \begin{bmatrix} x_1 \\ x_2 \end{bmatrix} + [0 \quad -f] \begin{bmatrix} u_1 \\ u_2 \end{bmatrix}, \quad (1.28)$$

unde $\alpha = 1/A_1 R_1$, $b = 1/A_2 R_1$, $c = 1/A_2 R_2$, $d = \rho g$, $f = 1/A_1$, $f = 1/R_2$.

Reprezentarea intrare-ieșire se poate obține prin eliminarea mărimilor x_1 , x_2 , p_1 , p_2 și v între ecuațiile (1.18) – (1.23). Concret, calculele decurg după cum urmează. Se derivează ecuațiile (1.18) – (1.23) în raport cu t și se elimină între acestea, succesiv, \dot{x}_1 , \dot{x}_2 , \dot{p}_1 și \dot{p}_2 . Rezultă

$$\frac{\rho g}{A_1} (u_1 - y) - \frac{\rho g}{A_2} (v - y) = R_1 \dot{v}, \quad (1.29)$$

$$\frac{\rho g}{A_2} (v - y) - \dot{u}_2 = R_2 \dot{y}. \quad (1.30)$$

Se explicitează acum v din (1.30) și se înlocuiește în (1.29). Rezultatul final este următorul

$$\ddot{y} + \alpha(a + b + c)\dot{y} + \alpha^2 acy = \alpha_2 acu_1 - f\ddot{u}_2 - \alpha(a + b)f\dot{u}_2. \quad (1.31)$$

Condițiile initiale $y(t_0)$ și $\dot{y}(t_0)$ se determină cu ajutorul ecuațiilor (1.25), (1.26). Din (1.26) rezultă

$$y(t_0) = \alpha f x_{20} - f u_2(t_0). \quad (1.32)$$

Derivând (1.26) în raport cu t și înlocuind apoi cu (1.25) se obține final

$$\dot{y}(t_0) = \alpha^2 f [bx_{10} - (b + c)x_{20}] + \alpha c f u_2(t_0) - f \dot{u}_2(t_0). \quad (1.33)$$

În practica inginerescă s-a impus și o altă modalitate de reprezentare a relației intrare-ieșire, și anume aceea concretizată de schema

bloc structurală. Obținerea acesteia constă în aplicarea transformării Laplace (v. anexa A), în condiții inițiale nule, ecuațiilor sistemului și explicitarea rezultatelor în conformitate cu relațiile de cauzalitate dintre mărimi. Procedind în acest mod, din (1.18) – (1.23) se obțin ecuațiile

$$X_1(s) = \frac{1}{A_1 s} [U_1(s) - V(s)], \quad (1.34)$$

$$X_2(s) = \frac{1}{A_2 s} [V(s) - Y(s)], \quad (1.35)$$

$$P_1(s) = \rho g X_1(s), \quad (1.36)$$

$$P_2(s) = \rho g X_2(s), \quad (1.37)$$

$$V(s) = \frac{1}{R_1} [P_1(s) - P_2(s)], \quad (1.38)$$

$$Y(s) = \frac{1}{R_2} [P_2(s) - U_2(s)], \quad (1.39)$$

cărora li se asociază respectiv schemele bloc partiile din fig. I.4, a-f. După cum se poate deduce din fig. I.4, convențiile de reprezentare sunt următoarele: mărimele se reprezintă prin segmente orientate, suma-

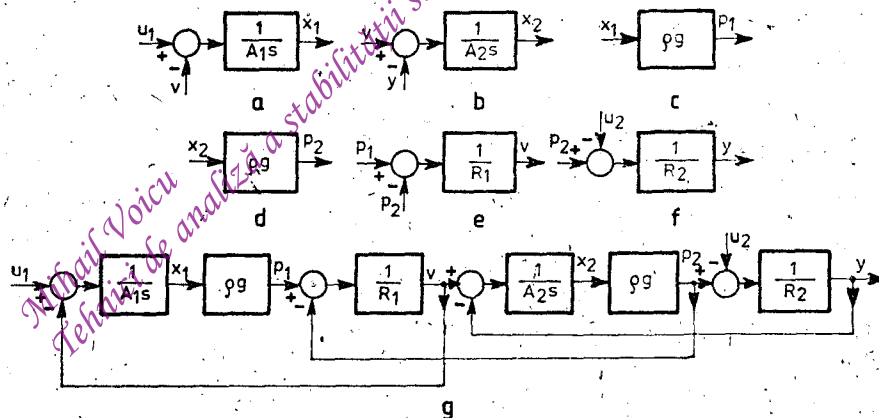


Fig. I.4. Obținerea schemei bloc structurale (g) a cascadei de recipiente pe baza schemelor bloc partiile (a – f) corespunzătoare ecuațiilor (1.34) – (1.39).

toarele — prin cercuri, elementele de transfer — prin dreptunghiuri și săgețile indică sensul transferului informației (cauză → efect). Expresiile scrise în interiorul dreptunghiurilor sunt funcțiile de transfer ale elementelor respective (v. anexa A).

Schela bloc structurală din fig. I.4, g se obține prin asamblarea adecvată a schemelor bloc parțiale (și anume în ordinea *a-c-e-b-d-f*) și trasarea tuturor liniilor corespunzătoare conexiunilor existente între schemele bloc parțiale. Schela din fig. I.4, g are deosebită calitate că pune în evidență, într-o viziune de ansamblu, toate conexiunile existente în cadrul sistemului.

1.4.2. Motor electric de curent continuu

Schela funcțională a sistemului este dată în fig. I.5. Ecuațiile care descriu funcționarea sa sint următoarele

Circuitul indusului:

$$u_1 - e = R_1 x_1 + L_1 \dot{x}_1, \quad (1.40)$$

unde R_1 și L_1 reprezintă rezistența și inducția indusului, u_1 și x_1 sint tensiunea de comandă pe indus și curentul prin indus,

$$e = c_1 \psi x_3, \quad c_1 = \text{constant}, \quad (1.41)$$

este tensiunea contraelectromotoare, ψ — fluxul magnetic produs de inductor și x_3 — viteza unghiulară a indusului.

Circuitul inductorului:

$$u_2 = R_2 x_2 + \dot{\psi}, \quad (1.42)$$

unde R_2 reprezintă rezistența inductorului, u_2 și x_2 sint tensiunea de comandă pe inductor și curentul prin inductor și

$$\dot{\psi} = f(x_2) \quad (1.43)$$

este dependența neliniară a fluxului magnetic de curentul prin inductor (curba de magnetizare).

Partea mecanică:

$$J \ddot{x}_3 = m - u_3, \quad (1.44)$$

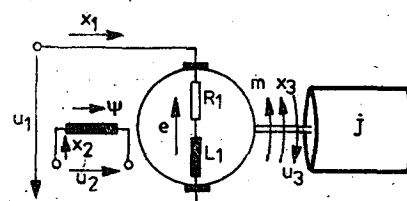


Fig. I.5. Motor electric de c.c. cu excitație separată.

unde J este momentul de inerție al indusului, u_3 – cuplul de sarcină și

$$m = c_2 \psi x_1, \quad c_2 = \text{const.}, \quad (1.45)$$

este momentul activ (cuplul electromagnetic) dezvoltat de motor.

Având în vedere forma ecuațiilor (1.9), (1.10), reprezentarea intrare-stare-iesire se obține imediat, prin utilizarea mărimilor x_1 , x_2 , x_3 drept componente ale vectorului de stare. Vectorul de intrare este format din u_1 , u_2 și u_3 (mărimi externe). Mărimea de ieșire este fixată prin considerante tehnologice. De exemplu în cazul reglării turăției motorului electric, mărimea de ieșire este o tensiune

$$y = c_3 x_3, \quad c_3 = \text{const.}, \quad (1.46)$$

obținută cu ajutorul unui traductor de viteză unghiulară (de exemplu un tahogenerator).

Eliminind e , ψ și m între ecuațiile (1.40) – (1.45) se obține următorul sistem de ecuații diferențiale neliniare de stare:

$$\dot{x}_1 = -\frac{R_1}{L_1} x_1 - \frac{c_1}{L_1} f(x_2) x_3 + \frac{1}{L_1} u_1, \quad (1.47)$$

$$\dot{x}_2 = -\frac{R_2 x_2}{f'(x_2)} + \frac{1}{f'(x_2)} u_2, \quad (1.48)$$

$$\dot{x}_3 = \frac{c_2}{J} x_1 f(x_2) - \frac{1}{J} u_3. \quad (1.49)$$

Obținerea unei forme analitice a reprezentării intrare-iesire este relativ complicată, chiar în cazul adoptării unor ipoteze simplificatoare referitoare la $f(x_2)$. Ca și la exemplul precedent este posibilă obținerea unei scheme bloc structurale în care blocurile liniare sunt caracterizate prin funcțiile lor de transfer. Examînînd ecuațiile (1.40) – (1.46) se constată că în virtutea liniarității, se poate aplica transformarea Laplace ecuațiilor (1.40), (1.42), (1.44) și (1.46). Rezultatele, explicitate în conformitate cu relațiile de cauzalitate între mărimi sunt următoarele:

$$X_1(s) = \frac{1}{L_1 s + R_1} [U_1(s) - E(s)], \quad (1.50)$$

$$\Psi(s) = \frac{1}{s} [U_2(s) - R_2 X_2(s)], \quad (1.51)$$

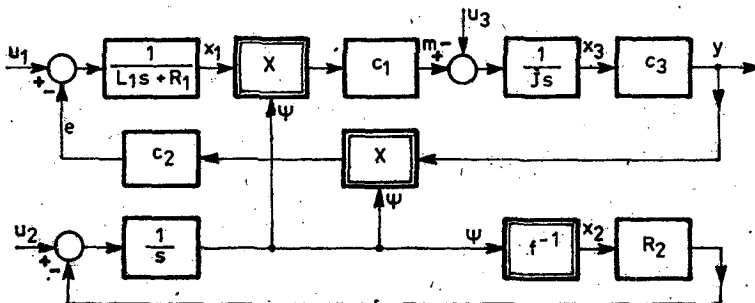


Fig. I.6. Schema bloc structurală a motorului electric de c.c.

$$X_3(s) = \frac{1}{J s} [M(s) - U_3(s)], \quad (1.52)$$

$$Y(s) = c_3 X_3(s). \quad (1.53)$$

Schemele bloc parțiale corespunzătoare ecuațiilor (1.50), (1.52) și (1.53) se reprezintă ca în cazul precedent. Pentru reprezentarea schemei corespunzătoare ecuației (1.51) se face ipoteza că există

$$x_2 = f^{-1}(\Psi), \quad (1.54)$$

unde f^{-1} este funcția inversă a funcției f (se presupune că fenomenele de histerezis magnetic sunt neglijabile, astfel că f reprezintă curba de primă magnetizare, care admite o inversă).

Pentru obținerea schemei bloc structurale — fig. I.6 — se asamblă schemele bloc parțiale corespunzătoare relațiilor (1.50) — (1.54) în conformitate cu relațiile (1.41) și (1.45), reprezentabile și ele prin elemente de înmulțire. S-a făcut convenția că elementele neliniare se reprezintă prin dreptunghiuri cu chenar dublu.

1.4.3. Pod rulant

Schema funcțional-constructivă a sistemului este reprezentată în fig. I.7. Se consideră că toate mișcările au loc numai în planul figurii și că masa m_a a sarcinii și lungimea l a cablului sunt constante. Aceste ipoteze nu sunt limitative. Există cazuri, de exemplu la încărcarea sau descărcarea materialelor granuloase (minereuri etc.), în care acele ipoteze sunt satisfăcute. Ca urmare descrierea evoluției sistemului se poate face numai în coordonatele x și z . Se negligează forțele

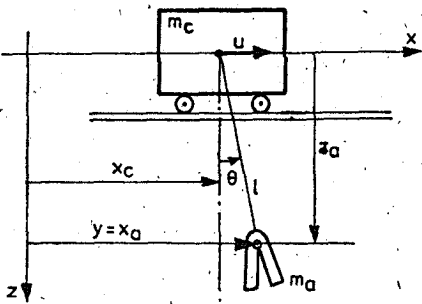


Fig. I.7. Pod rulant:

x_c — poziția căruciorului; $y = x_a$ — poziția apucătorului; m_c, m_a — masele căruciorului și apucătorului; l — lungimea cablului; θ — unghiul de oscilație; u — forța de tractiune.

$$m_a \ddot{z}_a = m_a g - T \cos \theta, \quad (g \text{ — accelerarea gravitației}). \quad (1.57)$$

Relații geometrice:

$$x_a = x_c + l \sin \theta \quad (1.58)$$

$$z_a = l \cos \theta \quad (1.59)$$

Cu ajutorul ecuațiilor (1.58) și (1.59) se pot elimina x_a, z_a și $T \sin \theta$ din ecuațiile (1.55)–(1.57). Dupa calcule relativ simple se obțin ecuațiile

$$(m_a + m_c) \ddot{x}_c - \theta m_a l \cos \theta - \dot{\theta}^2 m_a l \sin \theta = u, \quad (1.60)$$

$$\ddot{x}_c \cos \theta + l \ddot{\theta} + g \sin \theta = 0, \quad (1.61)$$

la care se adaugă ecuația ieșirii

$$y = x_a. \quad (1.62)$$

Pentru simplificarea ecuațiilor (1.60), (1.61), în cazul unghiurilor θ mici, se pot face aproximăriile $\sin \theta \approx \theta$, $\cos \theta \approx 1$ și $\dot{\theta}^2 \approx 0$. În aceste condiții sistemul (1.60)–(1.62) devine

$$(m_a + m_c) \ddot{x}_c + m_a l \ddot{\theta} = u, \quad (1.63)$$

$$\ddot{x}_c + l \ddot{\theta} + g \theta = 0, \quad (1.64)$$

$$y = x_c + l \theta \quad (1.65)$$

de frecare. Se cere să se determine relația dintre forța de tractiune u și poziția $y = x_a$ a apucătorului.

Ecuările sistemului, cu notațiile din fig. I.7, se scriu după cum urmează.

Mișcarea căruciorului:

$$m_c \ddot{x}_c = u + T \sin \theta, \quad (T \text{ — tensiunea în cablul apucătorului}). \quad (1.55)$$

Mișcarea pendulului:

$$m_a \ddot{x}_a = -T \sin \theta \quad (1.56)$$

$$m_a \ddot{z}_a = m_a g - T \cos \theta, \quad (g \text{ — accelerarea gravitației}). \quad (1.57)$$

Relații geometrice:

$$x_a = x_c + l \sin \theta \quad (1.58)$$

$$z_a = l \cos \theta \quad (1.59)$$

Cu ajutorul ecuațiilor (1.58) și (1.59) se pot elimina x_a, z_a și $T \sin \theta$ din ecuațiile (1.55)–(1.57). Dupa calcule relativ simple se obțin ecuațiile

$$(m_a + m_c) \ddot{x}_c - \theta m_a l \cos \theta - \dot{\theta}^2 m_a l \sin \theta = u, \quad (1.60)$$

$$\ddot{x}_c \cos \theta + l \ddot{\theta} + g \sin \theta = 0, \quad (1.61)$$

la care se adaugă ecuația ieșirii

$$y = x_a. \quad (1.62)$$

Pentru simplificarea ecuațiilor (1.60), (1.61), în cazul unghiurilor θ mici, se pot face aproximăriile $\sin \theta \approx \theta$, $\cos \theta \approx 1$ și $\dot{\theta}^2 \approx 0$. În aceste condiții sistemul (1.60)–(1.62) devine

$$(m_a + m_c) \ddot{x}_c + m_a l \ddot{\theta} = u, \quad (1.63)$$

$$\ddot{x}_c + l \ddot{\theta} + g \theta = 0, \quad (1.64)$$

$$y = x_c + l \theta \quad (1.65)$$

Reprezentarea intrare-stare-iesire se obtine foarte usor introducind variabilele de stare: $x_1 = x_c$, $x_2 = \dot{x}_c$, $x_3 = \theta$, $x_4 = \dot{\theta}$. Cu acestea ecuațiile (1.63)–(1.65) pot fi aduse la următoarea formă vectorial-matriceală

$$\begin{bmatrix} \dot{x}_1 \\ \dot{x}_2 \\ \dot{x}_3 \\ \dot{x}_4 \end{bmatrix} = \begin{bmatrix} 0 & 1 & 0 & 0 \\ 0 & 0 & \frac{m_a}{m_c} g & 0 \\ 0 & 0 & 0 & 1 \\ 0 & 0 & -\left(1 + \frac{m_a}{m_c}\right) \frac{g}{l} & 0 \end{bmatrix} \begin{bmatrix} x_1 \\ x_2 \\ x_3 \\ x_4 \end{bmatrix} + \begin{bmatrix} 0 \\ \frac{1}{m_c} \\ 0 \\ -\frac{1}{m_c l} \end{bmatrix} u, \quad (1.66)$$

$$y = [1 \ 0 \ l \ 0] \begin{bmatrix} x_1 \\ x_2 \\ x_3 \\ x_4 \end{bmatrix}. \quad (1.67)$$

Relația intrare-iesire se poate determina aplicind transformarea Laplace ecuațiilor (1.63)–(1.65) după care se elimină $X_c(s)$ și $\Theta(s)$. Se obține

$$Y(s) = G_p(s)U(s), \quad (1.68)$$

în care

$$G_p(s) = \frac{k_p}{s^2(T_p^2 s^2 + 1)} \quad \left(k_p = \frac{1}{m_a + m_c}, \quad T_p = \sqrt{\frac{m_c l}{(m_c + m_a) g}} \right) \quad (1.69)$$

este funcția de transfer a podului rulant.

1.4.4. Conductă pneumatică

Se consideră o conductă cilindrică rectilinie prin care curge un fluid compresibil omogen; conductă este izolată termic; astfel că nu are loc schimb de căldură cu mediul. Se presupune, pentru simplificare, că fluidul curge fără frecare. Se cere să se determine relația dintre presiunea și debitul masic la intrarea în conductă și presiunea și debitul masic la ieșirea din conductă.

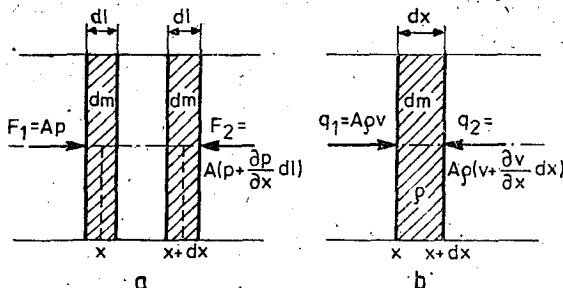


Fig. I.8. Pentru deducerea ecuațiilor (1.91), (1.92).

Pentru deducerea modelului matematic al acestui sistem se utilizează pentru început fig. I.8, a.

Sub acțiunea forței

$$F_1 = Ap, \quad (1.70)$$

unde A este aria secțiunii circulare a conductei și p presiunea în punctul x al conductei, aplicată în centrul de greutate al „discului”, la stînga — fig. I.8, a, acesta se deplasează spre dreapta cu dx . Datorită căderii de presiune $\frac{\partial p}{\partial x}$ de-a lungul conductei, forța care trebuie învinsă în deplasarea „discului” de gaz este

$$F_2 = A \left(p + \frac{\partial p}{\partial x} dl \right). \quad (1.71)$$

Conform legii a II-a a mecanicii mișcarea „discului” de gaz pe distanță dx este guvernată de ecuația

$$dm\ddot{x} = F_1 - F_2, \quad (1.72)$$

unde dm este masa „discului” de gaz.

Fie

$$\rho = \frac{dm}{dV} = \frac{1}{A} \frac{dm}{dl} \quad (1.73)$$

densitatea gazului. Notînd cu $v = \dot{x}$ viteza gazului în conductă, din (1.70) — (1.73) se obține ecuația

$$\rho \frac{dv}{dt} = - \frac{\partial p}{\partial x} \quad (1.74)$$

Viteza v este funcție de timp și de distanță x , astfel că diferențiala ei totală are următoarea formă

$$dv = \frac{\partial v}{\partial x} dx + \frac{\partial v}{\partial t} dt. \quad (1.75)$$

În aceste condiții (1.74) devine

$$\rho \left(v \frac{\partial v}{\partial x} + \frac{\partial v}{\partial t} \right) = - \frac{\partial p}{\partial x}, \quad (1.76)$$

care este binecunoscuta *ecuație a lui Euler* pentru cazul unidimensional.

Termenul $\frac{\partial v}{\partial t}$ constituie acea componentă a accelerării pe care o obține „discul” de gaz ca urmare a căderii de presiune, în timp ce $v \frac{\partial v}{\partial x}$ este acea componentă a accelerării datorată faptului că „discul” de gaz ajunge într-o regiune în care gazul are altă viteză.

În cazul fluidelor incompresibile $\frac{\partial v}{\partial x} = 0$. În cazul fluidelor compresibile, în anumite domenii de curgere, se constată că $\frac{\partial v}{\partial x} \approx 0$, astfel că ecuația (1.76) devine

$$\rho \frac{\partial v}{\partial t} = - \frac{\partial p}{\partial x}. \quad (1.77)$$

Cea de a doua ecuație necesară pentru descrierea sistemului se obține pe baza bilanțului masic pentru fluidul care curge prin două secțiuni ale conductei situate la distanța dx , fig. I.8, b. Dacă în punctul x viteza gazului este v atunci debitul masic de gaz care trece prin secțiunea respectivă este

$$q_1 = A \rho v. \quad (1.78)$$

Întrucit pe distanța dx apare o cădere de viteză $\frac{\partial v}{\partial x}$, prin secțiunea din punctul $x + dx$ trece debitul masic de gaz

$$q_2 = A \rho \left(v + \frac{\partial v}{\partial x} dx \right). \quad (1.79)$$

Diferența debitelor masice q_1 și q_2 se acumulează în „discul” de gaz de lungime dx , ceea ce înseamnă că se poate scrie

$$\frac{dm}{dt} = q_1 - q_2. \quad (1.80)$$

Tinând seama de faptul că

$$dm = \rho A dx, \quad (1.81)$$

din (1.80), prin înlocuirea mărimilor q_1 , q_2 și dm cu ajutorul relațiilor (1.78), (1.79) și (1.81), se obține

$$\frac{d\rho}{dt} = \frac{\partial \rho}{\partial t} = - \rho \frac{\partial v}{\partial x}. \quad (1.82)$$

Cea de a treia ecuație se obține cu ajutorul ecuației de stare a gazului și anume

$$\rho V^n = \rho_0 V_0^n. \quad (1.83)$$

unde n este exponentul adiabatic. Întrucât masa unui volum de gaz cu același număr de molecule este constantă, se poate scrie

$$m = V\rho = V\rho_0. \quad (1.84)$$

În aceste condiții ecuația (1.83) devine

$$\rho \rho^{-n} = \rho_0 \rho_0^{-n}. \quad (1.85)$$

Pentru mici variații ale variabilelor ρ și ρ în jurul valorilor ρ_0 și ρ_0 ecuația (1.85) poate fi aproximată prin relația liniară

$$\rho - \rho_0 = \left(\frac{\partial \rho}{\partial \rho} \right)_{\rho_0} (\rho - \rho_0), \quad (1.86)$$

unde

$$\left(\frac{\partial \rho}{\partial \rho} \right)_{\rho_0} = \frac{\rho_0}{n \rho_0}. \quad (1.87)$$

Înlocuind (1.86) și (1.87) în (1.82) se obține

$$\frac{\partial \rho}{\partial t} = - n \frac{\rho_0}{\rho_0} \rho \frac{\partial v}{\partial x}. \quad (1.88)$$

Pentru determinarea modelului matematic într-o formă concisă se înlocuiește în (1.77) și (1.88)

$$v' = \frac{1}{\rho A} q, \quad (1.89)$$

unde q este debitul masic, și se notează cu

$$c = \sqrt{\frac{n p_0}{\rho_0}} \quad (1.90)$$

viteza sunetului în gazul respectiv la presiunea p_0 .

În acest fel din (1.77) și (1.88) rezultă ecuațiile

$$\frac{\partial p}{\partial x} = - \frac{1}{A} \frac{\partial q}{\partial t}, \quad (1.91)$$

$$\frac{\partial q}{\partial x} = - \frac{A}{c^2} \frac{\partial p}{\partial t}. \quad (1.92)$$

Este evident că acest sistem dinamic este cu parametri distribuiți, deoarece variabilele p și q depind de două variabile independente: timpul t și spațiul x .

Pentru obținerea reprezentării intrare-iesire în cazul unei conducte de lungime l este necesară integrarea ecuațiilor (1.91) și (1.92) în raport cu variabila x . Se aplică în acest scop transformarea Laplace temporală în condiții initiale nule. Procedind astfel și notând $P(x, s) = \mathcal{L}\{p(x, t)\}$ și $Q(x, s) = \mathcal{L}\{q(x, t)\}$ din (1.91) și (1.92) se obține următorul sistem de ecuații diferențiale

$$\frac{dP}{dx} = - \frac{s}{A} Q, \quad (1.93)$$

$$\frac{dQ}{dx} = - \frac{As}{c^2} P. \quad (1.94)$$

Soluția generală a acestui sistem are forma

$$P(x, s) = k_1 e^{-\frac{xs}{c}} + k_2 e^{\frac{xs}{c}}, \quad (1.95)$$

$$Q(x, s) = \frac{1}{z} \left(k_1 e^{-\frac{xs}{c}} - k_2 e^{\frac{xs}{c}} \right), \quad (1.96)$$

unde

$$z = \frac{c}{A} \quad (1.97)$$

este impedanța conductei și k_1, k_2 sunt constante de integrare.

Vom nota cu

$$P_1 = P(0, s), \quad (1.98)$$

$$Q_1 = Q(0, s) \quad (1.99)$$

valorile presiunii și debitului măsic, în transformate Laplace, la începutul conductei și cu

$$P_2 = P(l, s) \quad (1.100)$$

$$Q_2 = Q(l, s) \quad (1.101)$$

valorile presiunii și debitului, în transformate Laplace, la sfîrșitul conductei.

În aceste circumstanțe se pot determina constantele k_1 și k_2 în funcție de condițiile la limite (1.98) și (1.99), astfel că soluția particulară corespunzătoare, după calcule elementare, se obține de forma:

$$P(x, s) = \frac{1}{2} (P_1 + zQ_1) e^{-\frac{xs}{c}} + \frac{1}{2} (P_1 - zQ_1) e^{\frac{xs}{c}}, \quad (1.102)$$

$$Q(x, s) = \frac{1}{2z} (P_1 + zQ_1) e^{-\frac{xs}{c}} - \frac{1}{2z} (P_1 - zQ_1) e^{\frac{xs}{c}}. \quad (1.103)$$

Înlocuind acum $x = l$ și ținând seama de (1.100) și (1.101) se obțin următoarele ecuații:

$$\frac{P_2}{2} (P_1 + zQ_1) e^{-Ts} + \frac{1}{2} (P_1 - zQ_1) e^{Ts}, \quad (1.104)$$

$$\frac{Q_2}{2z} (P_1 + zQ_1) e^{-Ts} - \frac{1}{2z} (P_1 - zQ_1) e^{Ts}, \quad (1.105)$$

unde $T = l/c$ este *timpul mort* al sistemului (durata propagării undelor de presiune de-a lungul conductei).

Prezența în ecuațiile (1.102) și (1.103) a factorilor e^{-Ts} și e^{Ts} , care pun în evidență fenomenul de propagare a oscilațiilor de presiune prin conductă, este tipică pentru sistemele cu transport de substanță, transfer spațial de energie sau transmisie la distanță a informației.

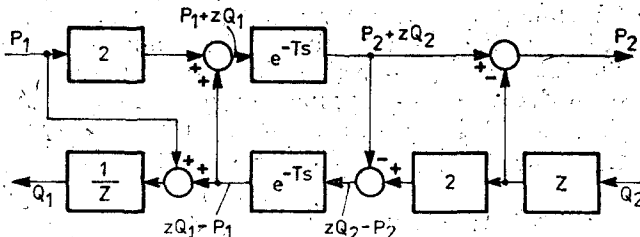


Fig. I.9. Schema bloc structurală a conductei pneumatice.

Dacă se are în vedere destinația practică a unei conducte, în spățiu pentru transportul gazelor, atunci relațiile de cauzalitate sunt următoarele: mărimile cauze sunt presiunea P_1 (care determină curgerea gazului) și debitul masic Q_2 (consumul de gaz la utilizator), iar mărimile efecte sunt presiunea P_2 și debitul masic Q_1 . În aceste circumstanțe ecuațiile (1.104) și (1.105) nu constituie reprezentarea intrare-iesire a sistemului. Obținerea acesteia, de exemplu sub forma schemei bloc structurale, este foarte simplă și constă în următoarele. Se înmulțește (1.105) cu z și rezultatul se adună, respectiv se scade din (1.104). Se obțin, respectiv, următoarele ecuații:

$$P_2 = (P_1 + zQ_1) e^{-Ts} - zQ_2, \quad (1.106)$$

$$Q_1 = \frac{1}{z} [P_1 - (P_2 - zQ_2) e^{-Ts}]. \quad (1.107)$$

Cu ajutorul ecuațiilor (1.106) și (1.107) s-a elaborat schema bloc structurală din fig. I.9.

1.4.5. Proces de reinnoire a stocului pieselor de schimb

Pentru anumite procese de producție este necesară achiziționarea de rulmenți ca piese de schimb care nu pot fi recondiționate, pe măsură ce rulmenții existenți se distrug sau ajung la limita admisibilă de uzură. Pe parcursul înlocuirii rulmenților uzați sau defecti, un anumit tip de rulment are o distribuție foarte variată din punctul de vedere al vechimii celor existenți în funcțiu. Ne propunem să elaborăm un model matematic al acestei distribuții. Se are în vedere un model discret în timp, bazat pe o perioadă de un an. Ipoteza esențială pe care se construiesc cele ce urmează este că se poate defini și determina experimental probabilitatea $p_i \in (0,1)$ ca orice rulment, cu o vechime de i

ani să rămînă în funcțiune cel puțin încă un an. Se mai presupune că după $n + 1$ ani de utilizare orice rulment este înlocuit.

În condițiile precizate, rulmenții în funcțiune într-un an oarecare k ($k \in \mathbb{N}$) pot fi împărțiți în $n + 1$ grupe de „vîrstă”. Fie $x_i(k)$ numărul de rulmenți de „vîrstă” i ($i = 0, 1, \dots, n$) în anul $k \in \mathbb{N}$. După un an de funcționare, în grupa de „vîrstă” $i + 1$ se vor găsi în funcțiune

$$x_{i+1}(k+1) = p_i x_i(k), \quad i = 0, 1, \dots, n-1, \quad (1.108)$$

rulmenți. Numărul de rulmenți cu vechime mai mică de un an în anul $k + 1$ este egal cu numărul $u(k)$ de rulmenți achižiționați și puși în funcțiune în anul k , adică

$$x_0(k+1) = u(k). \quad (1.109)$$

Se observă cu ușurință că ecuațiile (1.108) și (1.109) pot fi puse sub următoarea formă vectorial-matriceală (ecuația de stare)

$$\begin{bmatrix} x_0(k+1) \\ x_1(k+1) \\ x_2(k+1) \\ \vdots \\ x_n(k+1) \end{bmatrix} = \begin{bmatrix} 0 & 0 & 0 & \dots & 0 & 0 \\ p_0 & 0 & 0 & \dots & 0 & 0 \\ 0 & p_1 & 0 & \dots & 0 & 0 \\ \vdots & \vdots & \vdots & \ddots & \vdots & \vdots \\ 0 & 0 & 0 & \dots & p_{n-1} & 0 \end{bmatrix} \begin{bmatrix} x_0(k) \\ x_1(k) \\ x_2(k) \\ \vdots \\ x_n(k) \end{bmatrix} + \begin{bmatrix} 1 \\ 0 \\ 0 \\ \vdots \\ 0 \end{bmatrix} u. \quad (1.110)$$

La aceasta se adaugă desigur ecuația ieșirii, a cărei formă depinde de tipul de informație despre starea sistemului, necesară în anumite condiții. De exemplu aceasta poate fi

$$y(k) = [1 - p_0 \ 1 - p_1 \ \dots \ 1 - p_{n-1} \ 1] \begin{bmatrix} x_0(k) \\ x_1(k) \\ \vdots \\ x_n(k) \end{bmatrix}, \quad (1.111)$$

adică suma tuturor rulmenților care urmează să fie înlocuiți pe durata anului k .

Sistemul dinamic (1.110), (1.111), astfel obținut, este liniar, discret și invariant în timp.

Reprezentarea intrare-ieșire se poate determina relativ simplu utilizând relația de recurență (1.108), conform căreia putem scrie

$$\begin{aligned}x_1(k+n) &= p_0 x_0(k+n-1) = p_0 u(k+n-2) \\x_2(k+n) &= p_0 p_1 x_0(k+n-2) = p_0 p_1 u(k+n-3) \\x_3(k+n) &= p_0 p_1 p_2 x_0(k+n-3) = p_0 p_1 p_2 u(k+n-4) \\&\dots \\x_n(k+n) &= p_0 p_1 p_2 \dots p_{n-1} x_0(k) = p_0 p_1 \dots p_{n-1} u(k-1).\end{aligned}\quad (1.112)$$

Tinind seama acum de (1.111), în care se înlocuiesc ecuațiile (1.112), ecuația intrare-ieșire rezultă de forma

$$\begin{aligned}y(k+n) &= (1-p_0)u(k+n-1) + (1-p_1)p_0 u(k+n-2) + \\&+ (1-p_2)p_0 p_1 u(k+n-3) + \dots + (1-p_{n-1})p_0 p_1 \dots p_{n-2} u(k) + \\&+ p_0 p_1 \dots p_{n-1} u(k-1).\end{aligned}\quad (1.113)$$

1.4.6. Proces de epurare biologică

Apele uzate, rezultate dintr-un anumit proces tehnologic, sunt introduse într-un bazin în scopul epurării pe cale biologică. Dacă oxigenarea apei și de asemenea temperatura și pH-ul sunt menținute între limite adecvate atunci procesul de înmulțire a bacteriilor depoluante depinde în primul rînd de concentrația mediului de cultură (existent în apa uzată). Pe baza observațiilor și măsurărilor experimentale s-a stabilit că rata de înmulțire a bacteriilor (\dot{x}_1/x_1) este proporțională cu concentrația x_2 a mediului de cultură, în situația în care x_2 este mic, și tinde să ajungă la un nivel constant pe măsură ce x_2 crește. O astfel relație poate fi aproximată prin

$$\frac{\dot{x}_1}{x_1} = a \frac{x_2}{x_2 + c}, \quad (1.114)$$

unde a și c sunt două constante pozitive.

De asemenea, experimentele au relevat faptul că viteza de descreștere a concentrației mediului de cultură este proporțională cu viteza de înmulțire a bacteriilor, adică

$$\dot{x}_2 = -\frac{b}{a} \dot{x}_1, \quad (1.115)$$

unde b este o constantă pozitivă.

Așadar sistemul dinamic are forma

$$\dot{x}_1 = a \frac{x_2}{x_2 + c} x_1, \quad (1.116)$$

$$\dot{x}_2 = - b \frac{x_1}{x_2 + c} x_2. \quad (1.117)$$

În condiții normale $u_1 > 0$ (se introduce continuu mediu de cultură) și $u_2 > 0$ (se scoate continuu apă depoluată). În ipoteza că mediu de cultură introdus în bazin are concentrație constantă și că apă depoluată are un grad constant de depoluare, ecuațiile (1.116), (1.117) se corectează după cum urmează

$$\dot{x}_1 = a \frac{x_2}{x_2 + c} x_1 - d_1 u_2, \quad (1.118)$$

$$\dot{x}_2 = - b \frac{x_1}{x_2 + c} x_2 + d_2 u_1, \quad (1.119)$$

unde d_1 și d_2 sunt două constante pozitive.

Evident, sistemul dinamic (1.118)-(1.119) este neliniar și continuu în timp.

1.4.7. Sistem automat de urmărire

Se consideră sistemul automat de urmărire cu schema funcțional-construcțivă din fig. I.10. Elementul de execuție este un servomotor electric asincron bifazat SM , comandat reversibil cu un redresor dublă alternanță format din tranzistorii T_1 și T_2 . Aceștia sunt comandați prin tensiunea de ieșire a unui amplificator de curent continuu (A c.c.), care este elementul de bază al regulatorului. Legea de reglare materializată de regulator este determinată de impedanțele de intrare și de reacție ale A c.c. Utilizarea reacției prin R_s , C_1 de la emitorii tranzistorilor T_1 , T_2 (uzual această reacție se realizează de la ieșirea A c.c.) are calitatea că permite realizarea unui cuplu de pornire al SM mai mare și prin aceasta o creștere a rapidității sistemului. Ca element de prescriere și ca traductor de poziție se folosesc potențiometrele identice P_1 și P_2 (acesta cuplat la axul SM prin reductorul mecanic R_m).

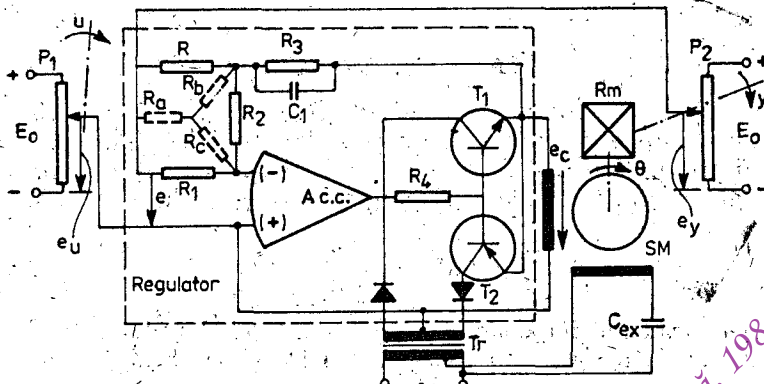


Fig. I. 10. Schema unui sistem automat de urmărire.

Se cere să se determine relația intrare-ieșire a sistemului automat. Funcțiile de transfer ale elementelor componente sunt următoarele:

$$G_{P1}(s) = \frac{E_u(s)}{U(s)} = k_1 \quad (k_1 = \text{const.}), \quad (1.120)$$

$$G_{P2}(s) = \frac{E_y(s)}{Y(s)} = k_2 \quad (k_2 = \text{const.}), \quad (1.121)$$

$$G_{SM}(s) = \frac{\Theta(s)}{E_c(s)} = -\frac{1}{T_1 s (T_2 s + 1)}; \quad (T_1, T_2 - \text{constante}), \quad (1.122)$$

$$G_{Rm}(s) = \frac{Y(s)}{\Theta(s)} = k_2, \quad (k_2 = \text{const.}), \quad (1.123)$$

În ipoteza că amplificatorul de curent continuu (*A c.c.*) are rezistența de intrare suficient de mare și rezistența de ieșire suficient de mică și că funcționarea sa are loc numai în zona de liniaritate, funcția de transfer a regulatorului are expresia, [B1],

$$G_R(s) = \frac{E_c(s)}{E(s)} = -\frac{Z_2(s)}{Z_1(s)} \frac{1}{1 + \frac{Z_1(s) + Z_2(s)}{k_A k_3 Z_1(s)}}, \quad (1.124)$$

în care

$$E(s) = E_u(s) - E_v(s) \quad (1.125)$$

este tensiunea proporțională cu abaterea $U(s) - Y(s)$; $Z_1(s)$, $Z_2(s)$ sunt impedanțele de intrare, respectiv de reacție, k_A este factorul de amplificare al A c.c. și k_3 este factorul de amplificare al redresorului dublă alternanță comandat. În ipoteza $k_A \rightarrow +\infty$ din (1.124) se obține

$$G_R(s) = -\frac{Z_2(s)}{Z_1(s)}. \quad (1.126)$$

Pentru calculul impedanțelor $Z_1(s)$ și $Z_2(s)$ se transformă triunghiul format din R , R_1 și R_2 în stă – fig. I.10, și se obține

$$R_a = \frac{RR_1}{R + R_1 + R_2}, \quad R_b = \frac{RR_2}{R + R_1 + R_2}, \quad R_c = \frac{R_1 R_2}{R + R_1 + R_2}, \quad (1.127)$$

$$\left\{ \begin{array}{l} Z_1(s) = R_a \\ Z_2(s) = R_b + \frac{R_3}{R_3 C_1 s + 1}. \end{array} \right. \quad (1.128)$$

$$\left\{ \begin{array}{l} Z_1(s) = R_a \\ Z_2(s) = R_b + \frac{R_3}{R_3 C_1 s + 1}. \end{array} \right. \quad (1.129)$$

Înlocuind (1.127) în (1.128), (1.129) și acestea în (1.126) rezultă

$$G_R(s) = -k_0 \left(1 + \frac{k}{Ts + 1} \right), \quad (1.130)$$

în care

$$k_0 = \frac{|R_2|}{R_1}, \quad k = \frac{R_3}{R_2} \left(1 + \frac{R_1 + R_2}{R} \right), \quad T = R_3 C_1. \quad (1.131)$$

Conform relațiilor (1.120)–(1.123), (1.125) și (1.126) schema bloc structurală a sistemului automat de urmărire are forma din fig. I.11.

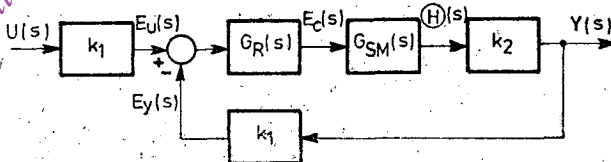


Fig. I.11. Schema bloc structurală a sistemului automat de urmărire.

Relația intrare-ieșire are expresia

$$Y(s) = G_0(s)U(s), \quad (1.182)$$

unde

$$G_0(s) = \frac{k_1 k_2 G_R(s) G_{SM}(s)}{1 + k_1 k_2 G_R(s) G_{SM}(s)} = \frac{k_0 k_1 k_2 (Ts + k + 1)}{T_1 s (T_2 s + 1) (Ts + 1) + k_0 k_1 k_2 (Ts + k + 1)} \quad (1.183)$$

este funcția de transfer a sistemului automat de urmărire.

1.4.8. Sistem automat de reglare a temperaturii cu regulator discret

Schema bloc funcțională a sistemului este reprezentată în fig. I.12, a. Schema funcțională a regulatorului discret are forma din fig. I.12, b.

Operația de *esantionare-memorare* constă în transformarea semnalului continuu $x_a(t)$ într-un șir de valori echidistante

$$x_{ai} = x_a(iT), \quad i = 0, 1, 2, \dots, \quad (1.134)$$

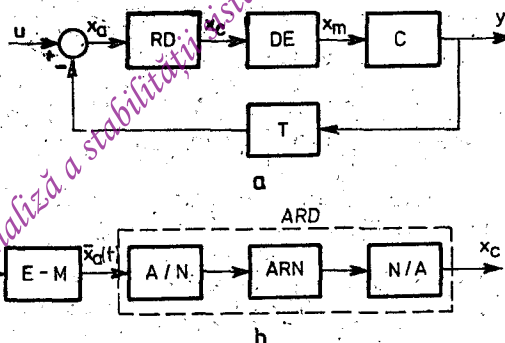


Fig. I.12. a – Schema bloc funcțională a unui sistem de reglare automată a temperaturii; RD – regulator discret; DE – dispozitiv de execuție; C – cuptor electric; T – traductor de temperatură;

b – Structura RD : E-M – element de esantionare-memorare; A/N și N/A – convertoare analog-numeric și numeric-analogic; ARN – algoritm de reglare numerică.

unde $T > 0$ este perioada de eşantionare, care apoi este transformat într-un semnal funcție scară

$$\bar{x}_a(t) = \sum_{i=0}^{\infty} x_{ai} [\sigma(t - iT) - \sigma(t - (i + 1)T)], \quad (1.135)$$

unde $\sigma(t)$ este funcția treaptă unitară (Heaviside).

Din punct de vedere matematic transformarea lui $x_a(t)$ în $\bar{x}_a(t)$ poate fi explicitată prin următoarele operații:

— operația de **δ -eşantionare**, prin care $x_a(t)$ se transformă într-o serie de **δ -impulsuri**:

$$x_a^*(t) = \sum_{i=0}^{\infty} x_{ai} \delta(t - iT), \quad (1.136)$$

unde $\delta(t)$ este impulsul unitar (Dirac), și

— operația de **extrapolare de ordinul zero** prin care $x_a^*(t)$ se transformă în funcția scară $\bar{x}_a(t)$.

În ceea ce privește perioada de eşantionare T , această se alege în funcție de cea mai înaltă pulsărie ω_m din $x_a(t)$, semnificativă din punct de vedere informațional, care trebuie să se regăsească în $x_a^*(t)$ și respectiv în $\bar{x}_a(t)$. Conform teoremei eşantionării (Shannon), [K2], $T \leq \frac{\pi}{\omega_m}$.

La determinarea pulsăriei ω_m , în cazul sistemelor automate discrete, se tine seama de pulsărie maximă semnificativă conținută de mărimea de intrare u și de constanță de timp minimă semnificativă sau de pulsărie proprie maximă semnificativă a sistemului. Uzual $T \leq \frac{\pi}{10 \omega_m}$, dar

la alegerea efectivă a lui T pot interveni și alte condiții, inclusiv condiții de stabilitate (sau de realizare a anumitor performanțe) și condiții tehnologice.

Din (1.135) și (1.136) rezultă că $\bar{x}_a(t)$ poate fi exprimat prin următorul produs de conoluție

$$\bar{x}_a(t) = \int_0^t g_{e0}(\tau) x_a^*(t - \tau) d\tau, \quad (1.137)$$

unde

$$g_{e0}(t) = \sigma(t) - \sigma(t - T) \quad (1.138)$$

este răspunsul la impuls al **extrapolatorului de ordinul zero**.

Apliind transformarea Laplace funcției $g_{e0}(t)$ se obține

$$G_{e0}(s) = \frac{1 - e^{-Ts}}{s}, \quad (1.139)$$

astfel că structura elementului de eșantionare-memorare, echivalent din punct de vedere matematic cu un element de de eșantionare inseriat cu un element de extrapolare de ordinul zero, are forma din fig. I.13.

Algoritmul de reglare discretă (ARD), incorporat într-un regulator discret sau într-un calculator de proces, este descris în general de o ecuație cu diferențe, sau de funcția de transfer în z , $G_R(z)$ (v. anexa B). Dacă se adoptă o lege de reglare de tipul PI (proporcional-integral) atunci algoritmul de reglare discretă are forma

$$x_{ci} = k_r \left(x_{ai} + \frac{T}{T_r} \sum_{j=0}^{i-1} x_{aj} \right), \quad i = 0, 1, 2, \dots, \quad (1.140)$$

unde x_{ci} sunt eșantioanele mărimii de comandă x_c , eșantionată cu perioada T , T_r este constanta componentei integrale și k_r —factorul componentei proporționale. În aceste condiții, funcția de transfer în z a regulatorului discret are expresia

$$G_R(z) = \frac{X_c(z)}{X_a(z)} = \frac{k_r}{a} \frac{z - a}{z - 1}, \quad [a = \frac{T_r}{T + T_r}]. \quad (1.141)$$

Observațiile și măsurările experimentale au arătat, [Z1], că funcționarea unui cupitor electric poate fi satisfăcător aproximată printr-o funcție de transfer de forma

$$G_C(s) = k_c \frac{e^{-T_m s}}{T_c s + 1}, \quad (1.142)$$

în care T_m este timpul mort al cupotorului, T_c — constanta de timp și k_c — factorul de amplificare.

Intrucât T_c are obișnuit valori mari (de ordinul minutelor sau al zecilor de minute), se poate considera că funcțiile de transfer ale dis-

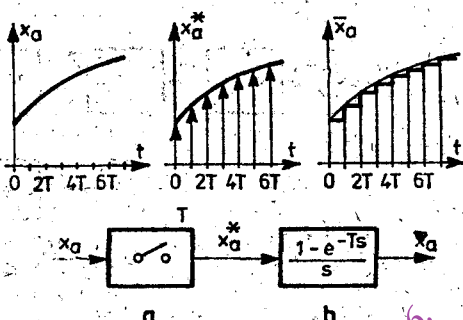


Fig. I.13. Structura elementului de eșantionare-memorare:
a – elementul de șe eșantionare; b – extrapolatorul de ordinul zero.

Mihai Vlăduț
Tehnică de automatiză și informatică

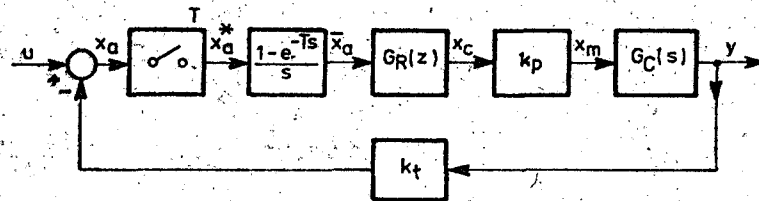


Fig. I.14. Schema bloc structurală a sistemului de reglare automată a temperaturii.

pozitivului de execuție (punte redresoare comandată) și traductorului (termocuplu) au respectiv expresiile

$$G_P(s) = k_p = \text{const.}, \quad (1.143)$$

$$G_T(s) = k_t = \text{const.} \quad (1.144)$$

În această situație schema bloc structurală a sistemului automat de reglare a temperaturii are forma din fig. I.14. Sistemul este format atât din elemente continue, cât și discrete în timp. Pentru unificarea tratării este necesară determinarea funcției de transfer în z a căii directe a sistemului (formată din RD , DE și C , fig. I.12, a). Conform anexei B, funcția de transfer în z se determină după cum urmează:

$$\begin{aligned} G_d(z) &= k_p \left\{ \frac{1 - e^{-Ts}}{s} G_R(z) G_C(s) \right\} + k_p (1 - z^{-1}) G_R(z) \left\{ \frac{1}{s} G_C(s) \right\} = \\ &= k_p \frac{z - 1}{z} \frac{k_r z - a}{a z - 1} \left\{ \frac{1}{s} \frac{k_c e^{-T_m s}}{T_c s + 1} \right\}. \end{aligned}$$

Alegind $T = \frac{T_m}{\alpha}$, $\alpha \in \mathbb{N}$, putem scrie în continuare

$$G_d(z) = \frac{k_p k_r k_c e^{-\alpha}(z - a)}{a T_c z} \left\{ \frac{1}{s} \frac{1}{s + \frac{1}{T_c}} \right\} = \frac{k(z - a)}{z^\alpha (z - 1)(z - b)}, \quad (1.145)$$

în care

$$k = \frac{1 - b}{a} k_r k_p k_c, \quad b = e^{-\frac{T}{T_c}}. \quad (1.146)$$

Relația intrare-iesire are expresia

$$Y(z) = G_0(z)U(z), \quad (1.147)$$

unde

$$G_0(z) = \frac{G_d(z)}{1 + k_t G_d(z)} = \frac{k(z - a)}{z^a(z - 1)(z - b) + k_t k(z - a)} \quad (1.148)$$

este funcția de transfer în z a sistemului automat de reglare a temperaturii.

2. Reprezentarea intrare-stare-iesire

2.1. Sisteme dinamice liniare cu parametri concentrați

2.1.1. Sisteme continue și variante în timp

Orice sistem dinamic liniar, continuu și variant în timp este descris de un set de ecuații *intrare-stare-iesire* de forma

$$\dot{x}(t) = A(t)x(t) + B(t)u(t), \quad (2.1)$$

$$y(t) = C(t)x(t) + D(t)u(t), \quad t \in \mathbb{R}_+, \quad (2.2)$$

unde $x \in \mathbb{R}^n$, $u \in \mathbb{R}^m$, $y \in \mathbb{R}^p$ și $A(t)$, $B(t)$, $C(t)$, $D(t)$ sunt matrici reale, funcții continue de timp, de dimensiuni adecvate.

Orice evoluție a sistemului (2.1), (2.2) sub acțiunea mărimii de intrare $u(t)$ poate fi determinată în mod unic pentru $t \geq t_0$, cu $t_0 \in \mathbb{R}_+$, dacă se cunoaște starea inițială

$$x(t_0) = x_0. \quad (2.3)$$

Soluția generală a ecuației de stare (2.1), în virtutea liniarității, este formată din două componente, și anume

$$x(t) = x_i(t) + x_f(t), \quad (2.4)$$

unde $x_i(t)$ este soluția ecuației omogene

$$\dot{x}(t) = A(t)x(t) \quad (2.5)$$

corespunzătoare ecuației (2.1), soluție care satisfacă condiția inițială (2.3), și $x_i(t)$ este soluția particulară a ecuației neomogene (2.1), care satisfacă condiția inițială $x_i(t_0) = 0$.

După cum este cunoscut, [H1], ecuația (2.5) admite soluția unică

$$x(t) = X(t)x(0), \quad t \in \mathbb{R}_+, \quad (2.6)$$

unde $X(t)$ este o matrice unică, soluția ecuației

$$\dot{X}(t) = A(t)X(t), \quad X(0) = I \text{ (matricea unitate)}. \quad (2.7)$$

Matricea $X(t)$, numită *matricea fundamentală* a sistemului (2.1), (2.2), este nesingulară și coloanele ei sunt soluții ale ecuației omogene (2.5). Vom presupune în cele ce urmează că expresia matricii $X(t)$ este cunoscută, deși nu a fost elaborat un procedeu general de determinare a ei.

În aceste condiții soluția $x_i(t)$ care satisfacă (2.3) are expresia

$$x_i(t) = \Phi(t, t_0)x_0, \quad t \geq t_0, \quad (2.8)$$

unde

$$\Phi(t, t_0) = \dot{X}(t)X^{-1}(t_0), \quad t \geq t_0, \quad (2.9)$$

este *matricea de tranziție* a sistemului (2.1), (2.2).

Pentru determinarea soluției particolare a ecuației (2.1), în cazul în care $u(t)$ este funcție continuă pe porțiuni, se folosește *metoda variației constantelor*. Această soluție este de forma

$$x_f(t) = \Phi(t, t_0)v(t), \quad t \geq t_0, \quad (2.10)$$

unde $v(t)$ este un vector funcție de timp, necunoscut, care se determină din condiția ca (2.10) să fie soluție a ecuației (2.1). Înlocuind (2.10) în (2.1) și ținând seama de (2.9) și de (2.7) se obține

$$\begin{aligned} \dot{X}(t)X^{-1}(t_0)v(t) + X(t)X^{-1}(t_0)\dot{v}(t) &= A(t)X(t)X^{-1}(t_0)v(t) + \\ &+ B(t)u(t), \end{aligned}$$

respectiv

$$\dot{v}(t) = X(t_0)X^{-1}(t)B(t)u(t), \quad t \geq t_0. \quad (2.11)$$

Integrind ecuația (2.11) pe intervalul $[t_0, t]$, înlocuind rezultatul în (2.10) și ținând seama și de (2.9), rezultă

$$x_f(t) = \int_{t_0}^t \Phi(t, \tau)B(\tau)u(\tau)d\tau, \quad t \geq t_0. \quad (2.12)$$

Cu acest rezultat și cu (2.8), în conformitate cu (2.4), soluția ecuației (2.1), care satisfacă condiția inițială (2.3), are următoarea expresie

$$x(t) = \Phi(t, t_0)x_0 + \int_{t_0}^t \Phi(t, \tau)B(\tau)u(\tau)d\tau, \quad t \geq t_0. \quad (2.13)$$

2.1.2. Sisteme discrete și variante în timp

Ecuațiile *intrare-stare-iesire* ale acestui tip de sistem dinamic au următoarea formă

$$x(k+1) = A(k)x(k) + B(k)u(k), \quad (2.14)$$

$$y(k) = C(k)x(k) + D(k)u(k), \quad k \in \mathbb{N}, \quad (2.15)$$

unde $x \in \mathbb{R}^n$, $u \in \mathbb{R}^m$, $y \in \mathbb{R}^p$ și $A(k)$, $B(k)$, $C(k)$ și $D(k)$ sunt matrici reale, funcții discrete de timp, de dimensiuni adecvate.

Ca și în cazul sistemelor continue în timp, orice evoluție a sistemului (2.14), (2.15) sub acțiunea intrării $u(k)$ poate fi determinată în mod unic pentru $k \geq k_0$, $k \in \mathbb{N}$, dacă se cunoaște condiția inițială a stării

$$x(k_0) = x_0. \quad (2.16)$$

Soluția ecuației omogene

$$x(k+1) = A(k)x(k) \quad (2.17)$$

corespunzătoare ecuației (2.14), soluție care satisfacă condiția inițială (2.16), se obține recursiv, folosind chiar ecuația (2.17). Prin substituție repetată putem scrie următoarele:

$$\begin{aligned} x(k_0+1) &= A(k_0)x_0, \\ x(k_0+2) &= A(k_0+1)x(k_0+1) = A(k_0+1)A(k_0)x_0, \\ x(k_0+3) &= A(k_0+2)x(k_0+2) = A(k_0+2)A(k_0+1)A(k_0)x_0, \\ &\dots \\ x(k_0+j) &= A(k_0+j-1)A(k_0+j-2)\dots A(k_0)x_0. \end{aligned} \quad (2.18)$$

Inlocuind $k = k_0 + j$ în ultima relație din setul (2.18), soluția ecuației omogene (2.17) rezultă de forma

$$x_t(k) = \Phi(k, k_0)x_0, \quad k \geq k_0 + 1, \quad (2.19)$$

unde

$$\Phi(k, k_0) = A(k-1) A(k-2) \dots A(k_0), \quad k \geq k_0 + 1, \quad (2.20)$$

este *matricea de tranziție* a sistemului (2.14), (2.15). Această matrice satisfacă prin definiție condiția

$$\Phi(k_0, k_0) = I. \quad (2.21)$$

Este ușor de verificat că

$$\Phi(k+1, k_0) = A(k) \Phi(k, k_0), \quad k \geq k_0. \quad (2.22)$$

Soluția particulară $x_f(k)$ a ecuației neomogene (2.14) se obține în același mod pentru $x_f(k_0) = 0$. Înlocuind $k = k_0 + 1, k_0 + 2, \dots, k_0 + j$, din (2.14), ținând seama de (2.21) și (2.22), se obține următorul șir de egalități:

$$\begin{aligned} x_f(k_0 + 1) &= B(k_0) u(k_0) = \Phi(k_0 + 1, k_0 + 1) B(k_0) u(k_0), \\ x_f(k_0 + 2) &= A(k_0 + 1) x_f(k_0 + 1) + B(k_0 + 1) u(k_0 + 1) = \\ &= \Phi(k_0 + 2, k_0 + 1) B(k_0) u(k_0) + \Phi(k_0 + 2, k_0 + 2) B(k_0 + 1) u(k_0 + 1), \\ x_f(k_0 + 3) &= A(k_0 + 2) x_f(k_0 + 2) + B(k_0 + 2) u(k_0 + 2) = \quad (2.23) \\ &= \Phi(k_0 + 3, k_0 + 1) B(k_0) u(k_0) + \Phi(k_0 + 3, k_0 + 2) B(k_0 + 1) u(k_0 + \\ &\quad + 1) + \Phi(k_0 + 3, k_0 + 3) B(k_0 + 2) u(k_0 + 2), \\ &\dots \\ x_f(k_0 + j) &= \sum_{i=k_0}^{j-1} \Phi(k_0 + j, k_0 + i + 1) B(k_0 + i) u(k_0 + i). \end{aligned}$$

Schimbând $k = k_0 + j$ și $i = k_0 + 1$ în ultima ecuație din setul (2.23), soluția particulară a ecuației neomogene (2.14) rezultă de următoarea formă

$$x_f(k) = \sum_{i=k_0}^{k-1} \Phi(k, i + 1) B(i) u(i), \quad k \geq k_0, \quad (2.24)$$

cu condiția că dacă $k = k_0$ atunci membrul drept din (2.24) este nul.

Soluția ecuației (2.14), care satisfacă condiția inițială (2.16), se obține prin suprapunerea soluțiilor (2.19) și (2.24) (operație legitimă

în virtutea liniarității sistemului (2.14), (2.14)) și este de următoarea formă

$$x(k) = \Phi(k, k_0) x_0 + \sum_{i=0}^{k-1} \Phi(k, i+1) B(i) u(i), \quad k \geq k_0. \quad (2.25)$$

2.1.3. Sisteme continue și invariante în timp

Această categorie de sisteme este descrisă de ecuațiile *intrare-stare-ieșire* (2.1), (2.2), în care matricile A , B , C și D sunt constante (independente de timp). Rezultatele obținute la 2.1.1 sunt, evident, valabile și în acest caz.

Faptul că A este matrice constantă atrage după sine o simplificare importantă a soluției (2.13), datorată faptului că matricea fundamentală $X(t)$ și matricea de tranzitie $\Phi(t, t_0)$ pot fi explicitate analitic.

Vom arăta că dacă A este constantă atunci

$$X(t) = e^{At}, \quad t \in \mathbb{R}_+, \quad (2.26)$$

este soluția ecuației

$$\dot{X}(t) = A X(t), \quad X(0) = I. \quad (2.27)$$

Funcția matriceală e^{At} , $t \in \mathbb{R}_+$, se definește într-o manieră simplă ca fiind suma seriei matriceale de puteri

$$e^{At} = I + At + \frac{1}{2!} A^2 t^2 + \dots + \frac{1}{k!} A^k t^k + \dots, \quad t \in \mathbb{R}_+. \quad (2.28)$$

Înlocuind (2.28) în (2.27) rezultă că aceasta din urmă este verificată. În aceste circumstanțe matricea de tranzitie (2.9) are următoarea expresie

$$\Phi(t, t_0) = \Phi(t - t_0, 0) = e^{A(t-t_0)}, \quad t \geq t_0, \quad (2.29)$$

iar soluția generală (2.13) a ecuației (2.1) devine

$$x(t) = e^{A(t-t_0)} x_0 + \int_{t_0}^t e^{A(t-\tau)} B u(\tau) d\tau, \quad t \geq t_0. \quad (2.30)$$

2.1.4. Sisteme discrete și invariante în timp

Ecuațiile *intrare-stare-iesire* în acest caz au forma (2.14), (2.15), în care matricile A, B, C și D sunt independente de k .

Rezultatele obținute la 2.1.2 rămân valabile și în acest caz, dar pot fi aduse la o formă mai simplă având în vedere că matricea de tranziție (2.20), cu condiția (2.21), are expresia

$$\Phi(k, k_0) = \Phi(k - k_0, 0) = A^{k-k_0}, \quad k \geq k_0. \quad (2.31)$$

În aceste circumstanțe soluția ecuației (2.14) (vezi (2.25)) devine de forma

$$x(k) = A^{k-k_0} x_0 + \sum_{i=k_0}^{k-1} A^{k-i-1} B u(i), \quad k \geq k_0. \quad (2.32)$$

2.2. Sisteme dinamice neliniare cu parametri concentrați

Ecuațiile *intrare-stare-iesire* ale unui sistem dinamic neliniar au forma (1.9), (1.10). Nu există metode generale pentru determinarea soluției ecuației de stare (1.9). În atare condițiile principalele întrebări la care trebuie să se răspundă sunt acelea privitoare la faptul dacă ecuația diferențială (1.9) admite soluții și dacă pentru o anumită condiție inițială soluția corespunzătoare este unică. Răspunsurile la aceste întrebări sunt conținute în următorul enunț.

Teorema de existență și unicitate. Dacă pentru orice $u(t)$, cunoscut pe $[t_0, t] \subseteq T$, f este continuă, satisfacă condiția de mărginire

$$\|f(t, x(t), u(t))\| \leq M, \quad t \in T, \quad x \in X, \quad (2.33)$$

și condiția lui Lipschitz

$$\|f(t, x, u) - f(t, \tilde{x}, u)\| < L \|x - \tilde{x}\|, \quad t \in T, \quad x, \tilde{x} \in X, \quad (2.34)$$

unde M și L sunt două constante pozitive, atunci ecuația (1.9) admite o soluție unică (1.11) care satisfacă condiția inițială $x(t_0) = x_0$. [H1].

În (2.33) și (2.34) cu $\|\cdot\|$ s-a notat o normă pe \mathbb{R}^n (v. anexa C).

În aplicații intervin situații în care f nu satisfacă condițiile enunțate mai sus. Aceste condiții pot fi slăbite pînă la acele care asigură cel puțin existența soluțiilor, cum ar fi de exemplu continuitatea lui f (teorema de existență a lui Peano, [H1]), sau, în cazul în care f este discontinuă în raport cu x , integrabilitatea lui f în raport cu t (soluții în sens Caratheodory, [H2]).

Pentru micile abateri ale variabilelor x și u sistemul (1.9), (1.10) poate fi aproximat prin sistemul liniar (2.1), (2.2). Determinarea matricelor $A(t)$, $B(t)$, $C(t)$ și $D(t)$ se poate face în acest caz prin dezvoltare în serie Taylor în raport cu variabilele x și u a funcțiilor f și g (în ipoteza că acestea sunt derivabile în raport cu x și u) sau utilizând metoda celor mai mici pătrate (în ipoteza că f și g sunt integrabile în raport cu x și u).

Faptul că nu există metode generale pentru determinarea soluției ecuației (1.9) a avut ca urmare dezvoltarea unor *metode aproximative* și a unor *metode calitative* de analiză și de sinteză a sistemelor dinamice neliniare. Toate aceste metode au ca scop, sau pot fi adaptate pentru, analiza stabilității și sinteza unor sisteme cu proprietăți de stabilitate impuse, fără cunoașterea soluției ecuației (1.9).

3. Reprezentarea intrare-ieșire

3.1. Sisteme dinamice liniare cu parametri concentrați

3.1.1. Sisteme continue și variante în timp

În principiu, reprezentarea *intrare-iesire* pentru această categorie de sisteme poate fi determinată cu ajutorul relațiilor (2.13) și (2.2). Rezultatul care se obține este

$$y(t) = C(t)\Phi(t, t_0)x_0 + \int_{t_0}^t \Phi(t, \tau)B(\tau)u(\tau)d\tau + D(t)u(t), \quad t \geq t_0. \quad (3.1)$$

Intrucât manipularea relației (3.1) este grevată de prezența lui x_0 și de $u(\tau)$, $\tau \in [t_0, t]$ nespecificat, se preferă, atât din rațiuni teoretice, cât și practice, utilizarea unei forme particulare a relației (3.1), definită în următoarele condiții standard:

$$\begin{cases} x_0 = 0 \\ u(t) = [1 \ 1 \dots 1]^T \delta(t - \theta), \quad \theta \in [t_0, t], \end{cases} \quad (3.2)$$

unde $\delta(t - \theta)$ este impulsul Dirac (cu θ fixat) și $[.]^T$ reprezintă operația de transpunere a vectorilor.

Înlocuind (3.2) în (3.1) se obține

$$y_\delta(t) = g(t, \theta) [1 \ 1 \dots 1]^T, \quad t \geq \theta, \quad (3.3)$$

unde

$$g(t, \theta) = C(t) \Phi(t, \theta) B(\theta) + D(t) \delta(t - \theta), \quad t \geq \theta, \quad (3.4)$$

este o matrice $(\phi \times m)$, numită *matricea de răspuns la impuls* a sistemului (2.1), (2.2). Orice altă evoluție a sistemului, sub acțiunea unei intrări oarecare și în condiții inițiale nule ($x_0 = 0$), se poate explicita cu ajutorul *produsului de convoluție generalizat*, sub forma

$$y(t) = \int_{t_0}^t g(t, \tau) u(\tau) d\tau, \quad t \geq t_0. \quad (3.5)$$

Rezultatele (3.4) și (3.5) au, după cum se va vedea în subcapitolul 6, o valoare deosebită în studiul stabilității (deși determinarea analitică a matricii $g(t, \theta)$ nu este întotdeauna posibilă).

3.1.2. Sisteme discrete și variante în timp

Procedind ca în paragraful precedent, reprezentarea *intrare-iesire* a sistemului (2.14), (2.15) se obține cu ajutorul relațiilor (2.25) și (2.15). Rezultatul corespunzător este următorul:

$$\begin{aligned} y(k) = & C(k) \Phi(k, k_0) x_0 + C(k) \sum_{i=k_0}^{k-1} \Phi(k, i+1) B(i) u(i) + \\ & + D(k) u(k), \quad k \geq k_0. \end{aligned} \quad (3.6)$$

Matricea de răspuns la impuls se definește în condițiile standard:

$$\begin{cases} x_0 = 0 \\ u(i) = 0, \quad i = k_0, \quad k_0 + 1, \dots, k, \quad i \neq j \\ u(j) = [1 \ 1 \ \dots \ 1]^T, \quad k_0 \leq j \leq k-1. \end{cases} \quad (3.7)$$

În aceste circumstanțe din (3.6) rezultă

$$y_s(k) = g(k, j+1) [1 \ 1 \ \dots \ 1]^T, \quad k \geq j, \quad (3.8)$$

unde

$$g(k, j+1) = C(k) \Phi(k, j+1) B(j), \quad k \geq j, \quad (3.9)$$

este matricea de răspuns la impuls a sistemului (2.14), (2.15), cu precizarea că $g(j, j+1) = 0$.

Orice altă evoluție a sistemului, sub acțiunea unei intrări oarecare și în condiții inițiale nule ($x_0 = 0$), se poate explicita cu ajutorul *convoluției discrete generalizate*, sub următoarea formă

$$y(k) = \sum_{i=k_0}^{k-1} g(k, i+1) u(i) + D(k) u(k), \quad k \geq k_0. \quad (3.10)$$

3.1.3. Sisteme continue și invariante în timp

Invarianța în timp a sistemului (2.1), (2.2) atrage după sine simplificări importante și în reprezentarea *intrare-iesire*. În virtutea invarianței temporale condițiile standard (3.2) se completează cu

$$\theta = t_0 = 0, \quad (3.11)$$

astfel că matricea de răspuns la impuls, ținând seama și de (2.29), are următoarea expresie

$$g(t, 0) = C e^{At} B + D\delta(t), \quad t \in \mathbb{R}. \quad (3.12)$$

O evoluție oarecare a sistemului, în condiții inițiale nule, sub acțiunea intrării $u(t)$, se explicitează prin produsul de convoluție

$$y(t) = \int_0^t g(t - \tau, 0) x(\tau) d\tau, \quad t \in \mathbb{R}_+. \quad (3.13)$$

O altă posibilitate de exprimare a relației *intrare-iesire* a acestui tip de sistem constă în aplicarea transformării Laplace (v. anexa A) ecuațiilor (2.1), (2.2), cu A, B, C și D matrici constante, pentru $u(t) = 0$, $t < 0$ (ceea ce implică $x(-0) = 0$). Procedind în acest mod și eliminând $X(s) = \mathcal{L}\{x(t)\}$ între transformatele Laplace ale ecuațiilor (2.1) și (2.2) cu A, B, C și D matrici constante, se obține următoarea ecuație intrare-iesire

$$Y(s) = G(s)U(s), \quad (3.14)$$

unde

$$G(s) = C(Is - A)^{-1}B + D \quad (3.15)$$

este *matricea de transfer* a sistemului și $U(s) = \mathcal{L}\{u(t)\}$, $Y(s) = \mathcal{L}\{y(t)\}$.

Comparind (3.13) cu (3.14) și ținând seama de teorema transformării produsului de convoluție (anexa A) este ușor de observat că matricea

de transfer este transformata Laplace a matricii de răspuns la impuls, adică

$$G(s) = \mathcal{L}\{g(t, 0)\}. \quad (3.16)$$

3.1.4. Sisteme discrete și invariante în timp

Și în cazul acestor sisteme invariante în timp atrage după sine unele simplificări ale reprezentării *intrare-iesire* (expresia (3.10)). Pentru $j = k_0 = 0$, ținind seama de (2.31), matricea de răspuns la impuls (3.9) are expresia

$$g(k, 1) = g(k - 1, 0) = CA^{k-1}B, \quad k \in \mathbb{N}, \quad (3.17)$$

cu precizarea că $g(0, 1) = g(-1, 0) = 0$.

O evoluție oarecare a sistemului, cu condiții inițiale nule, sub acțiunea intrării $u(k)$, $k \in \mathbb{N}$, se explicitează, în conformitate cu (3.10), prin *convoluția discretă*

$$y(k) = \sum_{i=0}^{k-1} g(k - i - 1, 0) u(i) + Du(k), \quad k \in \mathbb{N}. \quad (3.18)$$

O altă posibilitate de exprimare a relației *intrare-iesire* în cazul sistemelor discrete și invariante în timp constă în aplicarea transformării \mathbb{Z} (v. anexa B) ecuațiilor (2.14), (2.15), în care matricele A , B , C și D sunt independente de k , pentru $k < k_0 = 0$. După eliminarea lui $X(z) = \mathbb{Z}\{x(k)\}$ între cele două ecuații rezultă

$$Y(z) = G(z) U(z), \quad (3.19)$$

unde

$$G(z) = C(Iz - A)^{-1}B + D \quad (3.20)$$

este matricea de transfer în z a sistemului și $U(z) = \mathbb{Z}\{u(k)\}$, $Y(z) = \mathbb{Z}\{y(k)\}$.

Comparind (3.18) cu (3.19) și ținind seama de teorema transformării produsului de convoluție discret (v. anexa B) se observă că

$$G(z) = \mathbb{Z}\{g(k - 1, 0)\} + D. \quad (3.21)$$

3.2. Sisteme dinamice neliniare cu parametri concentrați

Explicitarea reprezentării *intrare-iesire*, urmând aceeași cale ca la sistemele liniare, nu este în general posibilă în cazul sistemelor dinamice neliniare.

Forma ușoară a descrierii *intrare-iesire* a unui sistem dinamic nelinier, obținută prin aplicarea legilor generale ale naturii, este următoarea

$$F(t, y(t), \dot{y}(t), \dots, {}^{(r)}y(t), u(t), \dot{u}(t), \dots, {}^{(q)}u(t)) = 0, \quad t \in T, \quad (3.22)$$

unde F este o funcție vector l -dimensională, u și y au semnificațiile deja cunoscute și l, q, r sunt numere naturale.

Dacă ecuația (3.22) poate fi rezolvată în raport cu ${}^{(r)}y(t)$, atunci reprezentarea *intrare-iesire* are forma

$${}^{(r)}y(t) = \mathfrak{F}(t, y(t), \dot{y}(t), \dots, {}^{(r-1)}y(t), u(t), \dot{u}(t), \dots, {}^{(q)}u(t)), \quad t \in T, \quad (3.23)$$

unde \mathfrak{F} este o funcție vector q -dimensională.

Problema existenței și unicității soluției ecuației (3.23), care satisface condiția inițială

$${}^{(k)}y(t_0) = {}^{(k)}y_0, \quad k = 0, 1, 2, \dots, r-1, \quad t_0 \in T, \quad (3.24)$$

poate fi abordată ca la § 2.2. Pentru aceasta se utilizează transformarea

$$x^{k+1}(t) = {}^{(k)}y(t), \quad k = 0, 1, \dots, r-1. \quad (3.25)$$

În aceste condiții sistemul (3.23) devine

$$\left[\begin{array}{c} \dot{x}^1(t) \\ \dot{x}^2(t) \\ \vdots \\ \dot{x}^r(t) \\ \dot{x}^{r+1}(t) \\ \vdots \\ \dot{x}^r(t) \end{array} \right] = \left[\begin{array}{c} x^2(t) \\ x^3(t) \\ x^4(t) \\ \vdots \\ x^r(t) \\ \mathfrak{F}(t, x^1(t), \dots, x^r(t), u(t), \dot{u}(t), \dots, {}^{(q)}u(t)) \end{array} \right], \quad t \in T. \quad (3.26)$$

4. Stabilitatea internă

Problema *stabilității interne* a sistemelor dinamice este direct legată de continuitatea funcției de tranziție a stărilor

$$x(t) = \varphi(t; t_0, x_0, u_{[t_0, t]}), \quad t \geq t_0, \quad (4.1)$$

care este soluția ecuației de stare (1.9), în raport cu perechea $(t_0, x_0) \in T \times X$, în condițiile în care sistemul este *liber*, adică $u(t) = 0, t \geq t_0$.

Așadar pentru studiul stabilității interne vom avea în vedere sisteme dinamice de forma

$$\dot{x}(t) = f(t, x(t)), \quad t \in \mathbf{R}_+, \quad x \in \mathbf{R}^n, \quad (4.2)$$

unde f satisfac teorema de existență și unicitate de la § 2.2 pentru $t \in \mathbf{R}_+$ și $x \in X \subseteq \mathbf{R}^n$.

4.1. Stabilitatea echilibrului

4.1.1. Punct de echilibru

Dacă există $a \in X$ astfel încât

$$f(t, a) = 0, \quad t \in \mathbf{R}_+, \quad (4.3)$$

atunci $x = a$ se numește *punct de echilibru* (*punct fix sau punct singular*) al sistemului dinamic (4.2). Este evident că pentru orice punct de echilibru al sistemului dinamic ecuația (4.2) admite soluția $x(t) = a, t \in \mathbf{R}_+$.

Noțiunea de punct de echilibru are un sens fizic evident. Pentru sistemul reprezentat în secțiune în fig. I.15, în care S este o suprafață metalică netedă și B o bilă metalică, aflat sub acțiunea gravitației, punctele A_1, A_2 și A_3 sunt puncte de echilibru. Conceptul de stabilitate s-a conturat în sferă intuitivă, în legătură cu comportarea unui sistem real în urma scoaterii sale din starea de echilibru prin condiții inițiale adesea. De exemplu dacă bila B , fig. I.15, se află în punctul A_1 (sau A_3) și la $t_0 \geq 0$ se imprimă bilei o anumită viteză inițială, *suficient de mică*, în evoluția sistemului (pentru $t \geq t_0$) săt posibile următoarele două situații:

- 1° datorită pierderilor de energie, prin frecare, bila revine după un timp oarecare, printr-o mișcare osculatorie amortizată sau aperiodică, în punctul de echilibru A_1 (sau A_3);

2º dacă pierderile de energie prin frecare sunt nule, bila B va executa o mișcare oscillatorie de amplitudine constantă în jurul punctului de echilibru A_1 (sau A_3).

Dacă bila B se află în punctul A_2 și la $t_0 \geq 0$ se imprimă bilei o viteză inițială, oricără de mică, bila nu mai are posibilitatea să revină în A_2 sau să oscileze în jurul lui A_2 și se va deplasa către A_1 sau A_3 .

După cum este cunoscut, punctele A_1 și A_3 se numesc *puncte de echilibru asymptotic stabile* – în cazul revenirii bilei exact în punctul de echilibru, sau *puncte de echilibru stabile* – în cazul oscilațiilor în jurul punctului de echilibru, în timp ce A_2 se numește *punct de echilibru instabil*.

Din exemplul considerat trebuie să reținem că, în esență, conceptul de stabilitate a echilibrului are următoarea formulare: pentru perturbații prin condiții inițiale suficient de mici, evoluția sistemului, scos astfel din starea de echilibru, are loc într-o vecinătate a punctului de echilibru sau chiar către punctul de echilibru.

Sistemele dinamice din natură și în special cele create de om funcționează, în mare majoritate a cazurilor, în puncte de echilibru stabile sau asymptotic stabile. Un aparat, o instalație, un organism, un ecosistem, în general un sistem dinamic real, funcționează în anumite condiții care definesc un anumit echilibru al sistemului. Din cauze mai mult sau mai puțin cunoscute, aceste condiții se pot schimba, atrăgînd după sine modificări, în anumite momente, ale condițiilor inițiale ale sistemului, ceea ce constituie de fapt perturbații ale stării de echilibru a sistemului. Din rațiuni legate de buna funcționare sau chiar de însăși existența sistemului, abaterile de la starea de echilibru nu trebuie să depășească anumite limite și, mai mult, cu creșterea timpului sistemul trebuie să revină în mod natural la starea de echilibru din care a fost perturbat.

4.1.2. Exemple

a) **Amplificator electronic cu reacție.** Se consideră un amplificator electronic cu reacție după ieșire, fig. I.16, a. $G_a(s)$ este funcția de transfer a amplificatorului și $G_r(s)$ este funcția de transfer a reacției.

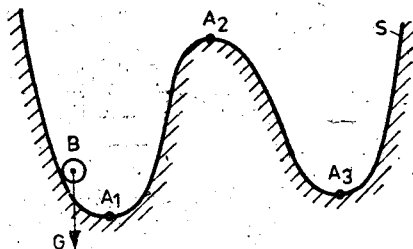


Fig. I.15. Sistem cu trei puncte de echilibru.

1986

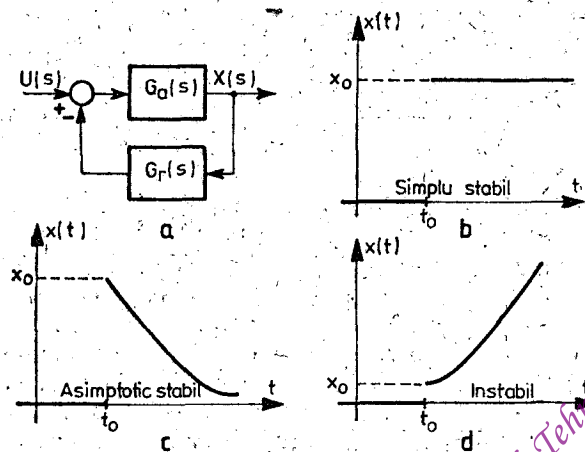


Fig. I.16. Amplificator electronic cu reacție după ieșire (a) și graficul funcției (4.10) pentru $\alpha = 0$ (b), $\alpha > 0$ (c) și $\alpha < 0$ (d).

Dacă amplificatorul este caracterizat, în curent continuu, prin factorul de amplificare k și, în regim sinusoidal, prin banda de treceere $[0, \omega_t]$, atunci comportarea dinamică a amplificatorului în zona de liniaritate poate fi exprimată, într-o primă aproximare, prin

$$G_a(s) = \frac{k}{Ts + 1}, \quad T = \frac{1}{\omega_t}. \quad (4.4)$$

Reacția după ieșire este de tip proporțional, adică

$$G_r(s) = k_r. \quad (4.5)$$

Relația intrare-ieșire, conform fig. I.16, a și relațiilor (4.4), (4.5), se concretizează prin ecuația

$$X(s) = \frac{k}{Ts + k_r k + 1} U(s). \quad (4.6)$$

Eliminând numitorul și trecind la domeniul timpului, pentru $u(t) = 0$, $t < 0$, și $x(-0) = 0$, ecuației (4.6) îi corespunde ecuația de stare

$$\dot{x} = -\alpha x + \beta u, \quad \alpha = \frac{1}{T} (k_r k + 1), \quad \beta = \frac{k}{T}. \quad (4.7)$$

Pentru a examina problema stabilității echilibrului vom presupune că $u(t) = 0$, $t \in \mathbb{R}_+$. În acest caz ecuația (4.3) are forma

$$-\alpha x = 0, \quad (4.8)$$

și admite soluția

$$x = 0, \quad (4.9)$$

care definește punctul de echilibru al sistemului.

Se consideră că sistemul se află în această stare de echilibru și că la $t_0 \geq 0$, într-un mod oarecare (de exemplu prin cuplaje parazite cu alte dispozitive electrice), se alocă sistemului condiția inițială $x_0 \neq 0$. În aceste circumstanțe soluția ecuației (4.7), cu $u = 0$, este

$$x(t) = \begin{cases} 0 & , t < t_0, \\ x_0 e^{-\alpha(t-t_0)} & , t \geq t_0. \end{cases} \quad (4.10)$$

Din punctul de vedere al stabilității echilibrului sunt posibile următoarele trei cazuri.

1° $\alpha = 0$ ($k_r = -\frac{1}{k}$). În acest caz graficul lui $x(t)$ are forma din

fig. I.16, b. Se spune că echilibrul este simplu *stabil* deoarece x rămîne într-o vecinătate a stării de echilibru $x = 0$, abarerea față de aceasta depinzind de x_0 .

2° $\alpha > 0$ ($k_r > -\frac{1}{k}$). Graficul lui $x(t)$ are forma din fig. I.16, c.

Se observă că pe măsură ce t crește, x revine în mod natural la starea de echilibru pe care a părăsit-o în urma perturbării prin condiția inițială. Se spune că punctul de echilibru este *asimptotic stabil*.

3° $\alpha < 0$ ($k_r < -\frac{1}{k}$). Graficul lui $x(t)$ are forma din fig. I.16, d.

Întrucât $|x(t)| \rightarrow +\infty$ pentru $t \rightarrow +\infty$ (revenirea la starea de echilibru nu mai este posibilă oricăt de mic ar fi $|x_0|$), se spune că punctul de echilibru este *instabil*.

Observație. Din practică se știe că un amplificator cu reacție pozitivă ($k_r < -\frac{1}{k}$) funcționează ca un oscilator, fapt care nu a fost pus în evidență la 3°. Această neconcordanță se datorează faptului că modelul matematic (4.7) al amplificatorului electronic este rudimentar. Se va vedea la III.2.2.4 că funcționarea ca oscilator poate fi pusă ușor în evidență utilizând pentru amplificator un model matematic neliniar.

b) Proces de reinnoire a stocului pieselor de schimb. Se consideră procesul analizat la 1.4.5, cu $n = 1$, descris de ecuația de stare

$$\begin{bmatrix} x_0(k+1) \\ x_1(k+1) \end{bmatrix} = \begin{bmatrix} 0 & 0 \\ p_0 & 0 \end{bmatrix} \begin{bmatrix} x_0(k) \\ x_1(k) \end{bmatrix} + \begin{bmatrix} 1 \\ 0 \end{bmatrix} u(k), \quad k \in \mathbb{N}. \quad (4.11)$$

Dacă aprovizionarea cu piese de schimb se face în funcție de stare, conform relației

$$u(k) = \alpha x_1(k), \quad k \in \mathbb{N}, \quad \alpha > 0, \quad (4.12)$$

atunci, înlocuind (4.12) în (4.11), se obține următorul sistem

$$\begin{bmatrix} x_0(k+1) \\ x_1(k+1) \end{bmatrix} = \begin{bmatrix} 0 & \alpha \\ p_0 & 0 \end{bmatrix} \begin{bmatrix} x_0(k) \\ x_1(k) \end{bmatrix}, \quad k \in \mathbb{N}. \quad (4.13)$$

Starea de echilibru a sistemului (4.13) este definită de $x_0 = x_1 = 0$. Dacă la $k_0 \in \mathbb{N}$ sistemul este perturbat prin condițiile initiale $x_0(k_0) > 0$, $x_1(k_0) > 0$, atunci evoluția stării sistemului este următoarea (vezi și 2.1.4)

$$\begin{bmatrix} x_0(k) \\ x_1(k) \end{bmatrix} = \begin{cases} \begin{bmatrix} 0 \\ 0 \end{bmatrix}, & k < k_0, \\ \begin{bmatrix} 0 & \alpha \\ p_0 & 0 \end{bmatrix}^{\frac{1}{2}(k-k_0)} \begin{bmatrix} (x_0(k_0)) \\ x_1(k_0) \end{bmatrix}, & k \geq k_0. \end{cases} \quad (4.14)$$

Efectuând calculele în (4.14) se constată că

$$x_0(k) = \begin{cases} \alpha x_1(k_0) (\alpha p_0)^{\frac{1}{2}(k-k_0-1)}, & k - k_0 \text{ impar}, \\ x_0(k_0) (\alpha p_0)^{\frac{1}{2}(k-k_0)}, & k - k_0 \text{ par}, \end{cases} \quad (4.15)$$

și

$$x_1(k) = \begin{cases} p_0 x_0(k_0) (\alpha p_0)^{\frac{1}{2}(k-k_0-1)}, & k - k_0 \text{ impar}, \\ x_1(k_0) (\alpha p_0)^{\frac{1}{2}(k-k_0)}, & k - k_0 \text{ par}. \end{cases} \quad (4.16)$$

Din punctul de vedere al stabilității sunt posibile și aici următoarele trei cazuri.

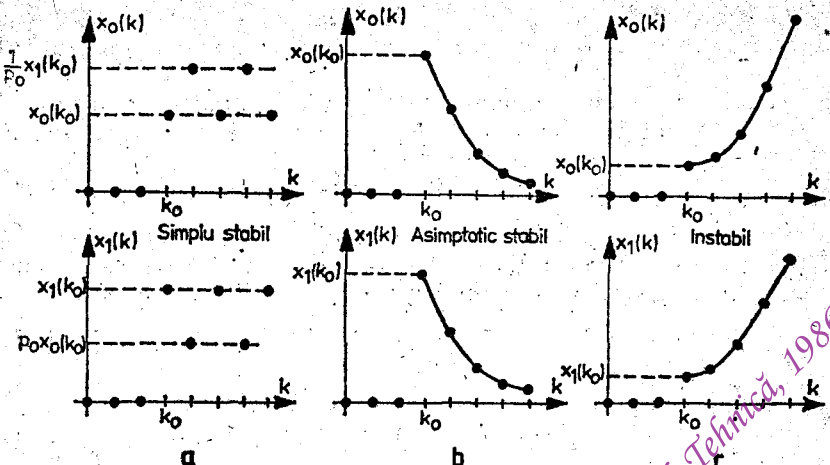


Fig. I.17. Graficele funcțiilor (4.15) și (4.16) pentru $\alpha = 1/\beta_0$ (a), $\alpha < 1/\beta_0$ (b) și $\alpha > 1/\beta_0$ (c).

1° $\alpha\beta_0 = 1$ ($\alpha = \frac{1}{\beta_0}$). În acest caz $x_0(k)$ și $x_1(k)$ nu au limite pentru $k \rightarrow +\infty$ (șirurile $x_0(k)$ și $x_1(k)$ sunt oscilante între valorile $x_0(k_0)$ și $\frac{1}{\beta_0}x_1(k_0)$ și respectiv $x_1(k_0)$ și $\beta_0x_0(k_0)$). Punctul de echilibru este *simplu stabil* — fig. I.17, a.

2° $\alpha\beta_0 < 1$ ($\alpha < \frac{1}{\beta_0}$). În acest caz $\lim_{k \rightarrow \infty} x_0(k) = \lim_{k \rightarrow \infty} x_1(k) = 0$, oricare ar fi $x_0(k_0)$ și $x_1(k_0)$ finiți, ceea ce înseamnă că punctul de echilibru este *asimptotic stabil* — fig. I.17, b.

3° $\alpha\beta_0 > 1$ ($\alpha > \frac{1}{\beta_0}$). De această dată $\lim_{k \rightarrow \infty} x_0(k) = \lim_{k \rightarrow \infty} x_1(k) = +\infty$, oricăr̄ de mici ar fi $x_0(k_0)$ și $x_1(k_0)$. Punctul de echilibru este *instabil* — fig. I.17, c.

4.2. Stabilitatea în sens Liapunov

Conceptul de stabilitate a echilibrului în forma sa intuitivă devine inoperant în cazul sistemelor de ordin superior. O abordare științifică a problemei stabilității a impus formalizarea riguroasă a noțiunilor

din sfera stabilității. S-a ajuns astăzi la o mare diversitate a acestor noțiuni, toate avându-și izvorul în lucrările deschizătoare de drumuri ale lui Liapunov, [L3].

Se consideră sistemul dinamic (4.2), unde f satisfacă condițiile de existență și unicitate a soluției, $t \in \mathbf{R}_+$ și $\|x\| < K < +\infty$ și în plus

$$f(t, 0) = 0, \quad t \in \mathbf{R}_+, \quad (4.17)$$

ceea ce înseamnă că $x = 0$ este punct de echilibru al sistemului. Ipoteza (4.17) nu reduce din generalitate, deoarece dacă $x = a \neq 0$ este punct de echilibru, atunci făcind schimbarea de variabilă dependentă

$$\tilde{x} = x - a, \quad (4.18)$$

sistemul (4.2) devine

$$\dot{\tilde{x}} = \tilde{f}(t, \tilde{x}), \quad t \in \mathbf{R}_+, \quad \tilde{x} \in \mathbf{R}^n, \quad (4.19)$$

unde

$$\tilde{f}(t, \tilde{x}) = f(t, \tilde{x} + a). \quad (4.20)$$

Starea $\tilde{x} = 0$ este punct de echilibru al sistemului (4.19) deoarece $\tilde{f}(t, 0) = f(t, a) = 0, \quad t \in \mathbf{R}_+$.

4.2.1. Definiții

Definițiile care vor urma se vor referi la sistemele dinamice continue în timp. Ele pot fi reformulate, mutatis mutandis și pentru sistemele dinamice discrete în timp. Adaptările necesare se referă desigur la variabila temporală. Întrucât ele nu implică dificultăți majore, considerăm că pot fi realizate ca un exercițiu util, de către cititor.

Definiția 1. Punctul de echilibru $x = 0$ al sistemului (4.2) se numește *stabil* dacă pentru orice scalar pozitiv ϵ există un scalar pozitiv δ astfel încât $\|x_0\| < \delta$ implică $\|x(t)\| < \epsilon, t \geq t_0$.

Definiția 2. Punctul de echilibru $x = 0$ al sistemului (4.2) se numește *asimptotic stabil* dacă el este stabil și în plus

$$\lim_{t \rightarrow \infty} \|x(t)\| = 0. \quad (4.21)$$

Definiția 3. Punctul de echilibru $x = 0$ al sistemului (4.2) se numește *instabil* dacă nu este stabil; aceasta înseamnă că există un $\epsilon > 0$ astfel încât pentru orice $\delta \geq 0$ există un x_0 , cu $\|x_0\| < \delta$, astfel încât

$\|x(t_1)\| \geq \varepsilon$ pentru unii $t_1 > t_0$; dacă acestea au loc pentru orice x_0 , cu $\|x_0\| < \delta$, atunci punctul de echilibru se numește *complet instabil*.

Din definițiile de mai sus rezultă că stabilitatea asimptotică implica stabilitatea (deci un punct de echilibru asimptotic stabil este și stabil) și completa instabilitate implică instabilitatea (un punct de echilibru complet instabil este și instabil).

Avind în vedere relația dintre *definițiile 1 și 2* se introduce și următoarea nuanțare.

* *Definiția 1'*: Punctul de echilibru $x = 0$ al sistemului (4.2) se numește *simplu stabil (neutral stabil)* dacă el este stabil dar nu este asimptotic stabil.

4.2.2. Interpretare geometrică

După cum s-a arătat, soluția $x(t) = x(t; t_0, x_0)$, $t \geq t_0$, a ecuației (4.2) parcurge în \mathbb{R}^n o curbă numită *traiectorie*. În cazul bidimensional ($n = 2$) reprezentarea traiectoriei se face în plan, fiind posibilă o interpretare geometrică simplă a definițiilor de mai sus. Precizăm că o inegalitate de formă $\|x\| \leq \alpha$, unde $\|\cdot\|$ este de exemplu norma euclidiană, are ca imagine în plan un disc mărginit de cercul C_α , cu centrul în origine și rază α .

Dacă originea planului stărilor este un punct de echilibru *stabil* al sistemului (4.2) atunci oricare ar fi cercul C_ε , de rază ε , există în interiorul său un cerc C_δ , de rază $\delta \leq \varepsilon$, astfel încât orice traiectorie care pornește din interiorul lui C_δ ($\|x_0\| < \delta$), cu creșterea nelimitată a timpului, rămîne în interiorul cercului C_ε — fig. I.18, a.

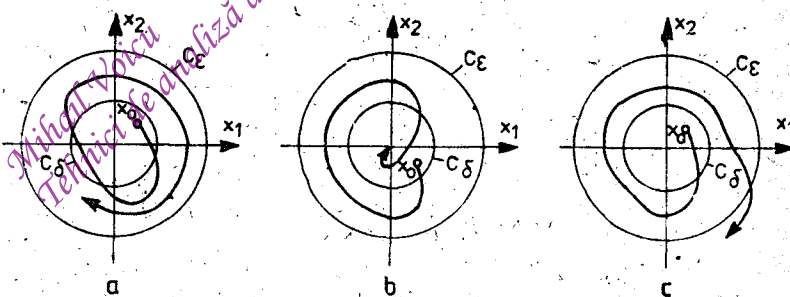


Fig. I.18. Punctul de echilibru $x = 0$ este stabil (simplu stabil) (a), asimptotic stabil (b) și instabil (c).

Dacă originea planului stărilor este un punct de echilibru *asimptotic stabil* al sistemului (4.2) atunci orice traекторie care pornește din interiorul cercului C_s , pe lîngă faptul că rămîne în interiorul cercului C_s , mai satisfac condiția că ea converge către origine atunci cînd timpul crește nelimitat — fig. I.18, b.

O comportare contrară aceleia din fig. I.18, a, respectiv există un cerc C_ϵ astfel încît pentru orice cerc C_s există o traectorie care pornește din interiorul lui C_s și nu rămîne în interiorul cercului C_ϵ , atunci cînd timpul crește suficient de mult, pune în evidență faptul că originea planului stărilor este un punct de echilibru *instabil* al sistemului (4.2) — fig. I.18, c.

În sfîrșit, dacă instabilitatea are loc pentru orice traectorie care pornește din interiorul cercului C_s atunci originea planului stărilor este un punct de echilibru *complet instabil* al sistemului (4.2).

Pentru $n \geq 3$ interpretarea geometrică a definițiilor de la 4.2.1 este asemănătoare cu cea pentru $n = 2$, cu deosebirea că cercurile C_s și C_ϵ se înlocuiesc cu sfere pentru $n = 3$ și cu hipersfere pentru $n \geq 4$.

4.2.3. Stabilitatea globală

Din cele înfățișate anterior rezultă că într-adevăr stabilitatea internă este o problemă de continuitate a soluției $x(t) = x(t; t_0, x_0)$, $t \geq t_0$, a ecuației (4.2) în raport cu perechea (t_0, x_0) . Pornind de la acest fapt se trage concluzia că în cazul stabilității, al stabilității asimptotice sau al instabilității se poate pune problema determinării în mulțimea $\mathbf{R}_+ \times \mathbf{R}^n$ a submultimilor maxime (în sensul cuprinderii tuturor perechilor (t_0, x_0) posibile) pentru care originea spațiului stărilor este respectiv punct de echilibru stabil, asimptotic stabil sau instabil.

Definiția 4. Fie $X_a \subseteq \mathbf{R}^n$, cu $0 \in X_a$. Dacă $x = 0$ este un punct de echilibru asimptotic stabil al sistemului (4.2) pentru orice $t_0 \in \mathbf{R}_+$ și pentru orice $x_0 \in X_a$ și nu este asimptotic stabil pentru orice $x_0 \in \mathbf{R}^n \setminus X_a$ atunci X_a se numește *mulțimea de atracție* a sistemului (4.2), corespunzătoare punctului de echilibru $\dot{x} = 0$.

Definiția 5. Dacă $x = 0$ este punct de echilibru asimptotic stabil (stabil sau instabil) al sistemului (4.2) pentru orice $t \in \mathbf{R}_+$ și pentru orice $x_0 \in \mathbf{R}^n$ atunci punctul $x = 0$ se numește *global asimptotic stabil* (*global stabil* sau *global instabil*).

Conform definiției precedente, globalitatea stabilității asimptotice, a stabilității sau a instabilității implică faptul că punctul de echilibru $x = 0$ al sistemului (4.2) este unic. În aceste cazuri se obișnuiește să se spună că *sistemul (4.2) este asimptotic stabil, stabil sau instabil*.

5. Stabilitatea internă a sistemelor dinamice liniare

În cazul sistemelor dinamice liniare studiul stabilității poate fi abordat direct, utilizând în acest scop soluția sistemului. Se pot stabili pe această cale rezultatele fundamentale care stau la baza tehniciilor de analiză a stabilității acestei categorii de sisteme.

5.1. Stabilitatea internă a sistemelor dinamice liniare variante în timp

Fie sistemul dinamic liniar continuu în timp

$$\dot{x} = A(t)x, \quad t \in \mathbf{R}_+, \quad x \in \mathbf{R}^n, \quad (5.1)$$

unde $A(t)$ este o matrice reală ($n \times n$), cu elemente funcții continue pe \mathbf{R}_+ .

După cum s-a arătat la 2.1.1, soluția care satisfacă condiția inițială $x(t_0) = x_0$, cu $t_0 \in \mathbf{R}_+$ și $x_0 \in \mathbf{R}^n$, are expresia

$$x(t) = \Phi(t, t_0)x_0, \quad t \geq t_0, \quad (5.2)$$

unde $\Phi(t, t_0) = X(t)X^{-1}(t_0)$ este matricea de tranziție și $X(t)$ este matricea fundamentală a sistemului (5.1).

Teorema 1. O condiție necesară și suficientă ca $x = 0$ să fie punct de echilibru stabil al sistemului (5.1) este ca să existe o constantă $M > 0$ astfel încât

$$\|X(t)\| \leq M, \quad t \in \mathbf{R}_+. \quad (5.3)$$

D. Suficiență. Dacă are loc (5.3) atunci, aplicând norma în (5.2), se obține

$$\begin{aligned} \|x(t)\| &= \|X(t)X^{-1}(t_0)x_0\| \leq \|X(t)\|\|X^{-1}(t_0)\|\|x_0\| \leq \\ &\leq M\|X^{-1}(t_0)\|\|x_0\|, \quad t \geq t_0. \end{aligned}$$

Dacă $\|x_0\| < \delta = \varepsilon(M\|X^{-1}(t_0)\|)^{-1}$ atunci $\|x(t)\| < \varepsilon$, $t \geq t_0$, ceea ce este suficient pentru stabilitate.

Necesitatea. Soluția $x = 0$ este stabilă, ceea ce implică $\|x(t)\| < \varepsilon$, $t \in \mathbf{R}_+$, pentru $\|x_0\| < \delta$. În virtutea liniarității rezultă că orice soluție a sistemului (5.1) este mărginită pentru $t \in \mathbf{R}_+$. Întrucât coloanele ma-

tricii fundamentale $X(t)$, sint soluții ale sistemului (5.1) pentru $t \in \mathbb{R}_+$, rezultă că are loc (5.3), unde M este o anumită constantă.

Teorema 2. O condiție necesară și suficientă ca $x = 0$ să fie punct de echilibru asimptotic stabil al sistemului (5.1) este ca

$$\lim_{t \rightarrow \infty} \|X(t)\| = 0. \quad (5.4)$$

D. Suficiența. Întrucât (5.4) implică (5.3) rezultă că (5.4) este suficientă pentru stabilitate. Aplicind norma în (5.2) putem scrie $\|x(t)\| \leq \|X(t)\| \|X^{-1}(t_0)\| \|x_0\|$, $t \geq t_0$. Trecând la limită pentru $t \rightarrow \infty$ în ultima inegalitate, ținând seama de (5.4), rezultă $\lim_{t \rightarrow \infty} \|x(t)\| = 0$.

În conformitate cu definiția 2 de la 4.2.1 ultimul rezultat este suficient pentru stabilitatea asimptotică.

Necesitatea. Dacă $x = 0$ este punct de echilibru asimptotic stabil al sistemului (5.1) atunci (4.21) are loc și pentru $t_0 = 0$, oricare ar fi x_0 , cu $\|x_0\| < \delta$. În virtutea liniarității sistemului (5.1) relația (4.21) are loc și pentru coloanele matricii $X(t)$. Acest fapt implică (5.4).

Desigur că condițiile (5.3) și (5.4) nu se pot aplica practic decât în cazurile în care matricea fundamentală $X(t)$ este cunoscută. Acest fapt nu reduce cîtuși de puțin valoarea teoretică a teoremelor 1 și 2, după cum se va vedea în cele ce urmează.

Teoremele 1 și 2 rămîn valabile, mutatis mutandis, și în cazul sistemelor dinamice liniare discrete și variante în timp de forma

$$x(k+1) = A(k)x(k), \quad k \in \mathbb{N}, \quad x \in \mathbb{R}^n. \quad (5.5)$$

În acest caz matricea fundamentală poate fi determinată din (2.20) pentru $k_0 = 0$. Rezultă

$$X(k) = \Phi(k, 0) = A(k-1)A(k-2) \dots A(0), \quad k \in \mathbb{N}, \quad (5.6)$$

astfel că teoremele 1 și 2 le corespund următoarele rezultate.

Teorema 3. O condiție necesară și suficientă ca $x = 0$ să fie punct de echilibru stabil al sistemului (5.5) este ca să existe o constantă $M > 0$, astfel încît

$$\|X(k)\| \leq M, \quad k \in \mathbb{N}. \quad (5.7)$$

Teorema 4. O condiție necesară și suficientă ca $x = 0$ să fie punct de echilibru asimptotic stabil al sistemului (5.5) este ca

$$\lim_{k \rightarrow \infty} \|X(k)\| = 0. \quad (5.8)$$

5.2. Stabilitatea internă a sistemelor dinamice liniare invariante în timp

Teoremele 1, 2 și teoremele 3, 4 rămân valabile și în cazul sistemelor invariante în timp. Având în vedere formele particulare ale matricilor fundamentale (în cazul continuu – relația (2.26) și în cazul discret – relația (5.6), din care rezultă $X(k) = A^k$, $k \in \mathbb{N}$) și condițiile (5.3), (5.4) și (5.7), (5.8), rezultă că problema stabilității este legată de distribuția valorilor proprii ale matricii A în planul complex.

5.2.1. Forma canonica diagonală (Jordan) a unei matrice pătratice

Fie A o matrice $(n \times n)$, cu elemente reale sau complexe.

Matricea $Is - A$, în care $s \in \mathbb{C}$, se numește **matricea caracteristică a matricii A** . Determinantul

$$\Delta(s) = \det(Is - A) \quad (5.9)$$

este un polinom de gradul n în s și se numește **polinomul caracteristic al matricii A** . Ecuția $\Delta(s) = 0$ se numește **ecuația caracteristică**, iar rădăcinile ei se numesc **valorile proprii ale matricii A** .

Fie P o matrice $(n \times n)$, nesingulară ($\det P \neq 0$).

Matricile A și \tilde{A} legăte prin relația

$$\tilde{A} = PAP^{-1} \quad (5.10)$$

se numesc **matrici asemenea**.

Două matrici asemenea, A și \tilde{A} , au același polinom caracteristic și deci și aceleași valori proprii, adică $\tilde{\Delta}(s) = \Delta(s)$, unde $\tilde{\Delta}(s) = \det(Is - \tilde{A})$. Într-adevăr, putem scrie $\tilde{\Delta}(s) = \det(Is - PAP^{-1}) = \det$

$$[P(Is - A)P^{-1}] = \det P \Delta(s) \det P^{-1} = \Delta(s).$$

În virtutea acestui fapt ne putem propune să determinăm în continuare acea matrice P pentru care matricea A are numărul maxim posibil de elemente nule. Pentru aceasta pornim de la observația că ecuația

$$(I\lambda - A)v = 0, \quad (5.11)$$

unde λ este o valoare proprie a matricii A și v este un vector n -dimensional necunoscut, admite întotdeauna o soluție v , *nenuă*. Această afirmație este adeverată în virtutea faptului că $\det(I\lambda - A) = 0$. Vectorul v se numește **vectorul propriu** al matricii A corespunzător valorii proprii λ .

a) **Cazul valorilor proprii distincte.** Fie $\lambda_1, \lambda_2, \dots, \lambda_n$ valorile proprii distincte ale matricii A . Dacă v_1, v_2, \dots, v_n sunt vectorii proprii corespunzători valorilor proprii $\lambda_1, \lambda_2, \dots, \lambda_n$ atunci v_1, v_2, \dots, v_n sunt liniar independenți între ei. Pentru a demonstra independența liniară a doi vectori oarecare v_i și v_j , $i \neq j$, presupunem prin absurd că există două constante scalare $\alpha_i \neq 0$ și $\alpha_j \neq 0$, astfel încât

$$\alpha_i v_i + \alpha_j v_j = 0, \quad i \neq j. \quad (5.12)$$

Aceasta înseamnă că $A(\alpha_i v_i + \alpha_j v_j) = 0$. Conform definiției (5.11) mai putem scrie

$$\alpha_i A v_i + \alpha_j A v_j = \alpha_i \lambda_i v_i + \alpha_j \lambda_j v_j = 0, \quad i \neq j. \quad (5.13)$$

Explicitând v_i din (5.12) și înlocuindu-l în (5.13) se obține $\alpha_i(\lambda_i - \lambda_j) v_i = 0$, $i \neq j$, ceea ce este imposibil, deoarece $\alpha_i \neq 0$, $\lambda_i \neq \lambda_j$, și $v_i \neq 0$.

În mod analog se poate demonstra că vectorii v_1, v_2, \dots, v_n sunt liniar independenți în totalitatea lor.

Fie matricea

$$V = [v_1 \ v_2 \ \dots \ v_n] \quad (5.14)$$

ale cărei coloane sint vectorii proprii ai matricii A . V se numește *matricea modală* a matricii A . Întrucât coloanele matricii V sunt liniar independente, rezultă că $\det V \neq 0$, deci V este inversabilă.

Vom arăta că înlocuind $P = V^{-1}$ în (5.10) se obține rezultatul căutat.

Pentru aceasta să observăm că relațiile

$$A v_i = \lambda_i v_i, \quad i = 1, 2, \dots, n, \quad (5.15)$$

prin care se definesc vectorii proprii ai matricii A , se pot scrie mai simplu sub următoarea formă matriceală

$$AV = VJ, \quad (5.16)$$

unde

$$J = \text{diag} (\lambda_1, \lambda_2, \dots, \lambda_n) \quad (5.17)$$

este matricea diagonală a valorilor proprii.

Înmulțind (5.16) la stânga cu V^{-1} se obține

$$J = V^{-1} AV. \quad (5.18)$$

Matricea J , asemenea cu A , se numește *forma canonica diagonală* a matricii A .

b) **Cazul valorilor proprii multiple.** Pentru fiecare valoare proprie λ_i , de multiplicitate q_i , $i = 1, 2, \dots, r$, cu $\sum_{i=1}^r q_i = n$, se caută q_i vectori proprii conform definiției (5.1). Dacă acest lucru este posibil pentru toți λ_i , $i = 1, 2, \dots, r$, atunci există n vectori proprii liniar independenti cu care se poate construi matricea modală V . Prin transformarea (5.18) se obține forma canonica diagonală a matricii A . Se poate arăta că o astfel de situație apare în cazul matricilor reale simetrice cu valori proprii multiple.

În cazul în care pentru un λ_i nu se pot determina q_i vectori proprii, atunci nu există o matrice diagonalizatoare P și matricea A nu admite o formă canonica diagonală. Vom arăta că în acest caz matricea A are o formă canonica Jordan, de exemplu cu următoarea structură:

$$J = \begin{bmatrix} \lambda_1 & 1 & 0 & & & & \\ 0 & \lambda_1 & 1 & & & & \\ 0 & 0 & \lambda_1 & & & & \\ & & & \ddots & & & \\ & & & & \lambda_1 & & 0 \\ & & & & & \lambda_2 & & \\ & & & & & & 0 & \\ & & & & & & & \ddots \\ & & & & & & & & \lambda_r & 1 & \\ & & & & & & & & 0 & \lambda_r & \\ & & & & & & & & & \lambda_r & 1 & \\ & & & & & & & & & 0 & \lambda_r & \\ & & & & & & & & & & \ddots & & \\ & & & & & & & & & & & & \end{bmatrix} \quad (5.19)$$

Submatricile delimitate de liniiile întrerupte sunt *blocurile Jordan* corespunzătoare valorilor proprii λ_i , $i = 1, 2, \dots, r$. Unei valori proprii multiple λ_i îi pot corespunde, în general, p_i blocuri Jordan de ordine

$$k_{ij}, \quad i = 1, 2, \dots, p_i, \quad \text{cu } 1 \leq k_{ij} \leq q_i, \text{ astfel încit } \sum_{j=1}^{p_i} k_{ij} = q_i \text{ și } \sum_{i=1}^r q_i = n.$$

După cum se vede din (5.19) blocurile Jordan sunt plasate pe diagonala principală a matricii J , restul elementelor fiind nule.

În esență, pentru determinarea formei canonice Jordan este necesar ca, pentru valoarea proprie λ_i pentru care se pot determina din (5.11) numai $p_i < q_i$ vectorii proprii, să se determine un număr de $q_i - p_i$ vectori proprii generalizați.

Să numește *vector propriu generalizat* al matricii A , corespunzător valorii proprii λ , de multiplicitate q , orice vector v^j , $j = 2, 3, \dots, k$, *menul*, care satisfac ecuația

$$(A - \lambda I) v^{j+1} = v^j, \quad j = 1, 2, \dots, k-1, \quad 2 \leq k \leq q, \quad (5.20)$$

unde v^1 este un vector propriu conform definiției (5.11).

Ca și în cazul vectorilor proprii, se poate arăta că există valori k pentru care vectorii v^1, v^2, \dots, v^k sunt liniar independenți între ei.

Dacă pentru valoarea proprie λ , de multiplicitate q , se pot determina vectorii proprii $v_1^1, v_2^1, \dots, v_p^1$, cu $1 \leq p \leq q$, atunci, conform definiției (5.20), se pot determina pentru λ exact p grupuri de vectori proprii generalizați cu care se pot forma următoarele sisteme de vectori:

$$\{v_1^1, v_1^2, \dots, v_1^{k_1}\}, \{v_2^1, v_2^2, \dots, v_2^{k_2}\}, \dots, \{v_p^1, v_p^2, \dots, v_p^{k_p}\},$$

unde $k_1 + k_2 + \dots + k_p = q$. Cu aceste sisteme de vectori se poate forma o matrice V^0 de dimensiuni $(n \times q)$. Procedind asemănător pentru toate valorile proprii λ_i , $i = 1, 2, \dots, r$, se obțin matricile V^1, V^2, \dots, V^r , respectiv de dimensiuni $(n \times q_1), (n \times q_2), \dots, (n \times q_r)$, cu care se formează matricea modală

$$V = [V^1, V^2, \dots, V^r]. \quad (5.21)$$

Forma canonica Jordan a matricii A se determină tot cu relația (5.18), în care V are forma (5.21). Expresia generală a matricii J este

$$J = \text{diag. } (J_{11}, \dots, J_{1p_1}, J_{21}, \dots, J_{2p_2}, \dots, J_{r1}, \dots, J_{rp_r}), \quad (5.22)$$

unde

$$J_{ij} = \begin{bmatrix} -\lambda_i & 1 & 0 & \dots & 0 \\ 0 & \lambda_i & 1 & \dots & 0 \\ \vdots & \ddots & \ddots & \ddots & \vdots \\ 0 & 0 & 0 & \dots & 1 \\ 0 & 0 & 0 & \dots & \lambda_i \end{bmatrix}, \quad i = 1, 2, \dots, r, \quad j = 1, 2, \dots, p_i, \quad (5.23)$$

sunt *blourile Jordan* de dimensiuni $(k_{ij} \times k_{ij})$, cu

$$\sum_{i=1}^r \sum_{j=1}^{p_i} k_{ij} = \sum_{i=1}^r q_i = n.$$

Mai precizăm că blourile J_{11}, \dots, J_{1p_1} corespund valorii proprii λ_1 , blourile J_{21}, \dots, J_{2p_2} corespund valorii proprii λ_2 și.a.m.d.

Determinarea formei canonice diagonale sau Jordan a matricii A se poate face și fără cunoașterea matricii modale V . În acest scop se determină cei mai mari divizori comuni ai minorilor de ordinul $k = 1, 2, \dots, n$ ai matricii caracteristice $Is - A$. Se obține în acest fel sirul de polinoame

$$\Delta_1(s), \Delta_2(s), \dots, \Delta_{n-1}(s), \Delta_n(s) = \Delta(s). \quad (5.24)$$

Sirul de polinoame (5.24) are evident proprietatea că un polinom oricare este divizibil prin precedentul său.

Polinoamele

$$\delta_1(s) = \frac{\Delta_n(s)}{\Delta_{n-1}(s)}, \quad \delta_2(s) = \frac{\Delta_{n-1}(s)}{\Delta_{n-2}(s)}, \dots, \quad \delta_n(s) = \frac{\Delta_1(s)}{\Delta_0(s)} \quad (5.25)$$

unde $\Delta_0(s) \equiv 1$, se numesc *factorii invarianti* ai matricii A , iar divizorii de forma $(s - \lambda_i)^{k_{ij}}$, unde λ_i este o valoare proprie a matricii A și k_{ij} este puterea maximă a factorului $(s - \lambda_i)$ în respectivul factor invariant, se numesc *divizorii elementari* ai matricii A . Un anumit factor $(s - \lambda_i)$ poate apărea în mai mulți factori invarianti din sirul (5.25), la aceeași putere sau la puteri diferite. Se scriu toți divizorii elementari ai matricii A în ordinea în care apar în toți factorii invarianti (5.25), indiferent dacă ei sunt sau nu sunt diferenți între ei. Unui divizor elementar de forma $(s - \lambda_i)^{k_{ij}}$ îi corespunde în forma canonica Jordan un bloc Jordan de forma (5.23). Dacă $k_{ij} = 1$ blocul (5.23) se reduce la scalarul λ_i .

5.2.2. Exemple de determinare a formei canonice diagonale (Jordan)

a) Să se determine forma canonica diagonală (Jordan) a matricii

$$A = \begin{bmatrix} 1 & 1 & 3 \\ 1 & 5 & 1 \\ 3 & 1 & 1 \end{bmatrix}.$$

Ecuația caracteristică a acestei matrici este

$$\Delta(s) = \det(Is - A) = (s + 2)(s - 3)(s - 6) = 0$$

și valorile sale proprii sunt evident $\lambda_1 = -2$, $\lambda_2 = 3$, $\lambda_3 = 6$.

Vectorii proprii se determină după cum urmează.

$$\begin{bmatrix} 1 & 1 & 3 \\ 1 & 5 & 1 \\ 3 & 1 & 1 \end{bmatrix} \begin{bmatrix} v_{11} \\ v_{12} \\ v_{13} \end{bmatrix} = -2 \begin{bmatrix} v_{11} \\ v_{12} \\ v_{13} \end{bmatrix}.$$

Efectuind calculele în ecuația de mai sus se obține sistemul de ecuații omogene.

$$\begin{cases} 3v_{11} + v_{12} + 3v_{13} = 0 \\ v_{11} + 7v_{12} + v_{13} = 0 \\ 3v_{11} + v_{12} + 3v_{13} = 0. \end{cases}$$

Se observă că a treia ecuație este identică cu prima. Ca urmare, în afară de soluția banală $v_{11} = v_{12} = v_{13} = 0$, care nu se ia în considerare deoarece vectorii proprii sunt, prin definiție *nenuți*, sistemul de mai sus admite o simplă infinitate de soluții nenuze, dependente între ele. Se alege dintre aceste soluții vectorul propriu

$$v_1 = \begin{bmatrix} 1 \\ 0 \\ -1 \end{bmatrix}.$$

Procedind analog pentru $\lambda_2 = 3$, $\lambda_3 = 6$ se determină și următorii doi vectori proprii

$$v_2 = \begin{bmatrix} 1 \\ -1 \\ 1 \end{bmatrix}, \quad v_3 = \begin{bmatrix} 1 \\ 2 \\ 1 \end{bmatrix}.$$

Se formează matricea modală și se determină inversa ei

$$V = \begin{bmatrix} 1 & 1 & 1 \\ 0 & -1 & 2 \\ -1 & 1 & 1 \end{bmatrix}, \quad V^{-1} = -\frac{1}{6} \begin{bmatrix} -3 & 0 & 3 \\ -2 & 2 & -2 \\ -1 & -2 & -1 \end{bmatrix}.$$

Forma canonica diagonală, după cum era de așteptat, este

$$J = -\frac{1}{6} \begin{bmatrix} -3 & 0 & 3 \\ -2 & 2 & -2 \\ -1 & -2 & -1 \end{bmatrix} \begin{bmatrix} 1 & 1 & 3 \\ 1 & 5 & 1 \\ 3 & 1 & 1 \end{bmatrix} \begin{bmatrix} 1 & 1 & 1 \\ 0 & -1 & 2 \\ -1 & -1 & 1 \end{bmatrix} = \begin{bmatrix} -2 & 0 & 0 \\ 0 & 3 & 0 \\ 0 & 0 & 6 \end{bmatrix}.$$

b) Să se determine forma canonica diagonală (Jordan) a matricii

$$A = \begin{bmatrix} 3 & 1 & -1 \\ 0 & 2 & 0 \\ 1 & 1 & 1 \end{bmatrix}.$$

Ecuația caracteristică este

$$\Delta(s) = \det(Is - A) = (s - 2)^3 = 0$$

și valorile proprii sunt evident $\lambda_{1,2,3} = 2$.

Principial, sunt posibile următoarele forme canonice Jordan

$$\begin{bmatrix} 2 & 0 & 0 \\ 0 & 2 & 0 \\ 0 & 0 & 2 \end{bmatrix}, \begin{bmatrix} 2 & 0 & 0 \\ 0 & 2 & 1 \\ 0 & 0 & 2 \end{bmatrix}, \begin{bmatrix} 2 & 1 & 0 \\ 0 & 2 & 1 \\ 0 & 0 & 2 \end{bmatrix}.$$

Vectorii proprii se determină după cum urmează

$$\begin{bmatrix} 3 & 1 & -1 \\ 0 & 2 & 0 \\ 1 & 1 & 1 \end{bmatrix} \begin{bmatrix} v_{11} \\ v_{12} \\ v_{13} \end{bmatrix} = 2 \begin{bmatrix} v_{11} \\ v_{12} \\ v_{13} \end{bmatrix}.$$

Efectuind calculele se obține următorul sistem de ecuații omogene

$$\begin{cases} v_{11} + v_{12} - v_{13} = 0 \\ v_{11} + v_{12} - v_{13} = 0. \end{cases}$$

Se observă că de fapt sistemul este format dintr-o singură ecuație cu trei necunoscute. În afară de soluția banală, acest sistem admite o dublă infinitate de soluții nenule. Se aleg dintre acestea vectorii proprii

$$v_1 = \begin{bmatrix} 0 \\ 1 \\ 1 \end{bmatrix}, \quad v_2 = \begin{bmatrix} 1 \\ 0 \\ 1 \end{bmatrix}.$$

Pentru determinarea celui de al treilea vector se face uz de definiția vectorului propriu generalizat — relația (5.20). Este ușor de observat că numai v_2 generează un vector propriu generalizat (utilizând v_1 în (5.20) se obține un sistem incompatibil), conform ecuației

$$\begin{bmatrix} 3 & 1 & -1 \\ 0 & 2 & 0 \\ 1 & 1 & 1 \end{bmatrix} \begin{bmatrix} v_{31} \\ v_{32} \\ v_{33} \end{bmatrix} = \begin{bmatrix} 1 \\ 0 \\ 1 \end{bmatrix} + 2 \begin{bmatrix} v_{31} \\ v_{32} \\ v_{33} \end{bmatrix}$$

Din aceasta se obține

$$\begin{cases} v_{31} + v_{32} - v_{33} = 1 \\ v_{31} + v_{32} - v_{33} = 1. \end{cases}$$

Se alege că vector propriu generalizat

$$v_3 = \begin{bmatrix} 1 \\ 0 \\ 0 \end{bmatrix},$$

care este independent de v_2 .

Matricea modală și inversa ei sunt

$$V = \begin{bmatrix} 0 & 1 & 1 \\ 1 & 0 & 0 \\ 1 & 1 & 0 \end{bmatrix}, \quad V^{-1} = \begin{bmatrix} 0 & 1 & 0 \\ 0 & -1 & 1 \\ 1 & 1 & -1 \end{bmatrix}.$$

Forma canonica Jordan este

$$J = \begin{bmatrix} 0 & 1 & 0 \\ 0 & -1 & 1 \\ 1 & 1 & -1 \end{bmatrix} \begin{bmatrix} 3 & 1 & -1 \\ 0 & 2 & 0 \\ 1 & 1 & 1 \end{bmatrix} \begin{bmatrix} 0 & 1 & 1 \\ 1 & 0 & 0 \\ 1 & 1 & 0 \end{bmatrix} = \begin{bmatrix} 2 & 0 & 0 \\ 0 & 2 & 1 \\ 0 & 0 & 2 \end{bmatrix}.$$

Acest rezultat, previzibil de la după determinarea vectorilor v_1 și v_3 , poate fi obținut și prin determinarea divizorilor elementari ai matricii A .

Matricea caracteristică are forma

$$\begin{bmatrix} s-3 & -1 & 1 \\ 0 & s-2 & 0 \\ -1 & -1 & s-1 \end{bmatrix}.$$

iar cei mai mari divizori comuni ai minorilor acestei matrici sunt $\Delta_1(s) = 1$, $\Delta_2(s) = s - 2$, $\Delta_3(s) = (s - 2)^3$. Factorii invariante au expresiile $\delta_1(s) = \Delta_3(s)/\Delta_2(s) = (s - 2)^2$, $\delta_2(s) = \Delta_2(s)/\Delta_1(s) = s - 2$, $\delta_3(s) = \Delta_1(s)/\Delta_0(s) = 1$. Este evident că divizorii elementari au forma: $(s - 2)$, $(s - 2)^2$. Ca urmare forma canonica Jordan conține două blocuri Jordan: unul de ordinul 1 și unul de ordinul 2.

5.2.3. Explicitarea matricii e^{At}

Forma canonica diagonală (Jordan) oferă posibilitatea determinării elementelor matricii fundamentale $X(t) = e^{At}$, $t \in \mathbb{R}_+$.

Vom arăta mai întii că pe baza relației (5.18) putem scrie

$$e^{At} = V e^{Jt} V^{-1}, \quad t \in \mathbb{R}_+, \quad (5.26)$$

unde V este matricea modală a matricii A .

Intr-adevăr, făcind uz de definiția (2.28) și de transformarea (5.18), putem scrie

$$\begin{aligned} e^{At} &= \sum_{k=0}^{\infty} \frac{1}{k!} A^k t^k = \sum_{k=0}^{\infty} \frac{1}{k!} (V J V^{-1})^k t^k = \\ &= \sum_{k=0}^{\infty} \frac{1}{k!} \underbrace{V J V^{-1} \cdot V J V^{-1} \cdots V J V^{-1}}_k t^k = \\ &= \sum_{k=0}^{\infty} \frac{1}{k!} V J^k V^{-1} t^k = V \sum_{k=0}^{\infty} \frac{1}{k!} J^k t^k V^{-1} = V e^{Jt} V^{-1}. \end{aligned}$$

În continuare, ținând seama de (5.22), vom arăta că

$$e^{Jt} = \text{diag } (e^{J_{11}t}, \dots, e^{J_{1p_1}t}, \dots, e^{J_{r1}t}, \dots, e^{J_{rp_r}t}), \quad t \in \mathbb{R}_+. \quad (5.27)$$

Intr-adevăr, procedind ca la demonstrația relației (5.26), putem scrie

$$\begin{aligned} e^{Jt} &= \sum_{k=0}^{\infty} \frac{1}{k!} J^k t^k = \frac{1}{k!} [\text{diag } (J_{11}, \dots, J_{1p_1}, \dots, J_{r1}, \dots, J_{rp_r})] \\ &\quad \cdots J_{r1}^k, \dots, J_{rp_r}^k]^k t^k = \sum_{k=0}^{\infty} \frac{1}{k!} \text{diag } (J_{11}^k, \dots, J_{1p_1}^k, \dots, \\ &\quad \dots, J_{r1}^k, \dots, J_{rp_r}^k)^k t^k = \sum_{k=0}^{\infty} \text{diag} \left(\frac{1}{k!} J_{11}^k t^k, \dots, \right. \\ &\quad \left. \dots, \frac{1}{k!} J_{1p_1}^k t^k, \dots, \frac{1}{k!} J_{r1}^k t^k, \dots, \frac{1}{k!} J_{rp_r}^k t^k \right) = \\ &= \text{diag } (e^{J_{11}t}, \dots, e^{J_{1p_1}t}, \dots, e^{J_{r1}t}, \dots, e^{J_{rp_r}t}). \end{aligned}$$

În sfîrșit, vom mai demonstra că

$$e^{J_* t} = \begin{bmatrix} 1 & t & \frac{1}{2!} t^2 & \dots & \dots & \frac{1}{(k-1)!} t^{k-1} \\ 0 & 1 & & \dots & \dots & \frac{1}{(k-2)!} t^{k-2} \\ 0 & 0 & 1 & \dots & \dots & \frac{1}{(k-3)!} t^{k-3} \\ \vdots & \vdots & \vdots & & & \vdots \\ 0 & 0 & 0 & \dots & \dots & t \\ 0 & 0 & 0 & \dots & \dots & 1 \end{bmatrix} e^{\lambda t}, \quad t \in \mathbb{R}^+, \quad (5.28)$$

unde J_* este un bloc Jordan oarecare, de dimensiuni $(k \times k)$, corespunzător valorii proprii λ .

Pentru demonstrație pornim de la observația că pentru orice bloc Jordan putem scrie

$$J_* = I\lambda + M, \quad (5.29)$$

unde I este matricea unitate de dimensiuni $(k \times k)$ și M este o matrice de aceleasi dimensiuni, avind toate elementele nule, cu excepția celor situate pe codiagonala principală (adică pe o paralelă la diagonala principală, imediat la dreapta), care sunt egale cu 1. Se poate arăta ușor că

$$M^2 = \begin{bmatrix} 0 & 0 & 1 & 0 & \dots & 0 \\ 0 & 0 & 0 & 1 & \dots & 0 \\ \vdots & \vdots & \vdots & \vdots & \ddots & \vdots \\ 0 & 0 & 0 & 0 & \dots & 0 \end{bmatrix}, \dots, M^{k-1} = \begin{bmatrix} 0 & 0 & \dots & 1 \\ 0 & 0 & \dots & 0 \\ \vdots & \vdots & \ddots & \vdots \\ 0 & 0 & \dots & 0 \end{bmatrix}, \quad (5.30)$$

$$M^m = 0, \quad m \geq k. \quad (5.31)$$

În aceste condiții, utilizând formula binomului lui Newton, putem scrie

$$\begin{aligned} e^{J_* t} &= \sum_{m=0}^{\infty} \frac{1}{m!} J_*^m t^m = \sum_{m=0}^{\infty} \frac{1}{m!} (I\lambda + M)^m t^m = \\ &= \sum_{m=0}^{\infty} \frac{1}{m!} (I\lambda^m + C_m^1 \lambda^{m-1} M + \dots + C_m^{m-1} \lambda M^{m-1} + \end{aligned}$$

$$\begin{aligned}
 & + M^m) t^m = I \sum_{m=0}^{\infty} \frac{1}{m!} \lambda^m t^m + Mt \sum_{m=1}^{\infty} \frac{1}{(m-1)!} \lambda^{m-1} t^{m-1} + \dots \\
 & \dots + M^{k-1} \frac{t^{k-1}}{(k-1)!} \sum_{m=k-1}^{\infty} \frac{1}{(m-k+1)!} \lambda^{m-k+1} t^{m-k+1} = \\
 & = \left(I + Mt + \dots + M^{k-1} \frac{t^{k-1}}{(k-1)!} \right) e^{\lambda t}.
 \end{aligned}$$

Acest rezultat este identic cu membrul drept din (5.28). Pe parcursul calculelor s-a ținut seama de faptul că $(m!)^{-1} C_m^n = (m!)^{-1} m(m-1) \dots (m-n+1) (n!)^{-1} = [(m-n)! n!]^{-1}$.

5.2.4. Sisteme dinamice continue în timp

Este evident că teoremele 1 și 2 de la §5.1 rămân valabile și în cazul sistemelor dinamice liniare continue și invariante în timp. Din rezultatele (5.3) sau (5.4) și (5.26) – (5.28) se trage concluzia că stabilitatea internă depinde numai de distribuția valorilor proprii ale matricii A în planul complex. Ca atare proprietățile de stabilitate asimptotică, de stabilitate sau de instabilitate ale sistemelor dinamice liniare invariante și continue în timp, de forma

$$\dot{x} = Ax, \quad t \in \mathbb{R}_+, \quad x \in \mathbb{R}^n, \quad (5.32)$$

au caracter global. În acest context se pot enunța următoarele două teoreme, pentru care se va da o demonstrație comună.

Teorema 5. Sistemul dinamic (5.32) este stabil dacă și numai dacă toate valorile proprii ale matricii A au partea reală nepozitivă, iar cele cu partea reală nulă corespund unor blocuri Jordan de ordinul 1.

Teorema 6. Sistemul dinamic (5.32) este asimptotic stabil dacă și numai dacă toate valorile proprii ale matricii A au partea reală negativă.

D. În virtutea relației (5.26), condițiile necesare și suficiente (5.3) și (5.4) sunt echivalente respectiv cu

$$||e^{At}|| \leq M_1, \quad t \in \mathbb{R}_+, \quad (M_1 > 0), \quad (5.33)$$

și

$$\lim_{t \rightarrow \infty} ||e^{At}|| = 0, \quad (5.34)$$

deoarece V și V^{-1} sunt matrici constante.

Tinind seama de explicitarea (5.27) rezultă că (5.33) și (5.34) sunt echivalente respectiv cu

$$||e^{J_{ij}t}|| \leq M_{ij}, \quad t \in \mathbf{R}_+, \quad (M_{ij} > 0), \quad (3.35)$$

$$i = 1, 2, \dots, r, \quad j = 1, 2, \dots, p_i,$$

și

$$\lim_{t \rightarrow \infty} ||e^{J_{ij}t}|| = 0, \quad (3.36)$$

$$i = 1, 2, \dots, r, \quad j = 1, 2, \dots, p_i.$$

În sfîrșit, avînd în vedere (5.28), teoremele 5 și 6 sunt evidente. Într-adevăr, condițiile (5.35) au loc dacă și numai dacă toate valorile proprii ale matricii A au partea reală nepozitivă, iar cele cu partea reală nulă corespund unor blocuri Jordan de ordinul 1 (în (5.28) $k = 1$ pentru $\operatorname{Re} \lambda = 0$; în caz contrar, adică pentru $k > 1$, există elemente ale matricii (5.28) care sunt nemărginite și deci (5.35) nu poate avea loc). De asemenea, condițiile (5.36) au loc dacă și numai dacă toate valorile proprii ale matricii A au partea reală negativă. ■

3.2.5. Sisteme dinamice discrete în timp

Este evident că teoremele 3 și 4 rămîn valabile și în cazul sistemelor dinamice liniare discrete și invariante în timp, de forma

$$x(k+1) = Ax(k), \quad k \in \mathbf{N}, \quad x \in \mathbf{R}^n, \quad (5.37)$$

pentru care matricea fundamentală este

$$X(k) = A^k, \quad k \in \mathbf{N}. \quad (5.38)$$

În acest caz formele echivalente ale condițiilor (5.7) și (5.8) sunt respectiv

$$||A^m|| \leq M, \quad m \in \mathbf{N}, \quad (5.39)$$

$$\lim_{m \rightarrow \infty} ||A^m|| = 0. \quad (5.40)$$

Și aici se poate face uz de forma canonica diagonală (Jordan), respectiv de (5.18). Ca și în cazul precedent, se trage concluzia că proprietățile de stabilitate ale sistemului (5.37) depind numai de distribuția valorilor proprii ale matricii A în planul complex și că stabilitatea asimptotică, stabilitate sau instabilitate sistemelor dinamice liniare discrete și invariante în timp au caracter global.

Vom enunța în continuare două teoreme pentru care vom da o demonstrație comună.

Teorema 7. Sistemul dinamic (5.37) este stabil dacă și numai dacă toate valorile proprii ale matricii A au modulul mai mic sau egal cu unitatea, iar cele de modul unitar corespund unor blocuri Jordan de ordinul 1.

Teorema 8. Sistemul dinamic (5.37) este asimptotic stabil dacă și numai dacă toate valorile proprii ale matricii A au modulul mai mic decât unitatea.

D. În virtutea relației (5.18), condițiile necesare și suficiente (5.39) și (5.40) sunt echivalente respectiv cu

$$||J^m|| \leq M_1, \quad m \in \mathbb{N}, \quad (M_1 > 0), \quad (5.41)$$

și

$$\lim_{m \rightarrow \infty} ||J^m|| = 0, \quad (5.42)$$

deoarece V și V^{-1} sunt matrici constante.

Tinind seama de (5.22), rezultă că (5.41) și (5.42) sunt echivalente respectiv cu

$$||J_{ij}^m|| \leq M_{ij}, \quad m \in \mathbb{N}, \quad (M_{ij} > 0), \quad (5.43)$$

$$i = 1, 2, \dots, r, \quad j = 1, 2, \dots, p_i,$$

și

$$\lim_{m \rightarrow \infty} ||J_{ij}^m|| = 0, \quad (5.44)$$

$$i = 1, 2, \dots, r, \quad j = 1, 2, \dots, p_i.$$

Având în vedere (5.23) și (5.29)–(5.31), teoremele 7 și 8 sunt evidente. Într-adevăr, condițiile (5.43) au loc dacă și numai dacă toate valorile proprii ale matricii A au modulul mai mic sau egal cu unitatea, iar cele de modul unitar corespund unor blocuri Jordan de ordinul 1 ($k = 1$ în (5.23) pentru $||\lambda|| = 1$; în caz contrar, adică pentru $k > 1$, matricea J^m sau $||\lambda|| = 1$ și explicitarea (5.29), este nemărginită pentru $m \in \mathbb{N}$), deoarece

$$\begin{aligned} J^m &= (I\lambda + M)^m = I\lambda^m + C_m^1 \lambda^{m-1} M + C_m^2 \lambda^{m-2} M^2 + \dots + \\ &+ C_m^{m-1} \lambda M^{m-1} + M^m = I\lambda^m + C_m^1 \lambda^{m-1} M + C_m^2 \lambda^{m-2} M^2 + \dots + \\ &+ \dots + C_m^{k-1} \lambda^{m-k+1} M^{k-1}, \quad m \geq k - 1, \end{aligned}$$

ceea ce înseamnă că (5.43) nu poate avea loc). De asemenea, condițiile (5.44) au loc dacă și numai dacă toate valorile proprii ale matricii A au modulul subunitar. ■

5.2.6. Exemple

a) **Cascadă formată din două recipiente.** Examinind ecuația intrare-stare (1.27) a acestui sistem se constată că

$$A = \begin{bmatrix} -a\alpha & a\alpha \\ b\alpha & -(b+c)\alpha \end{bmatrix}, \quad a, b, c, \alpha > 0.$$

Întrucât problema stabilității sistemelor dinamice liniare continue și invariante în timp este, în principiu, o problemă de determinare a localizării valorilor proprii ale matricii A în planul complex, rezultă că practic trebuie să se examineze mai întâi localizarea rădăcinilor polinomului caracteristic $\Delta(s)$. În cazul de față

$$\begin{aligned} \Delta(s) = \det(Is - A) &= \begin{bmatrix} s + a\alpha & -a\alpha \\ -b\alpha & s + (b+c)\alpha \end{bmatrix} = \\ &= s^2 + \alpha(a + b + c)s + a\alpha^2. \end{aligned}$$

Deoarece $\lambda_1 + \lambda_2 = -\alpha(a + b + c) < 0$ și $\lambda_1\lambda_2 = a\alpha^2 > 0$, rezultă că $\operatorname{Re}\lambda_{1,2} < 0$, ceea ce înseamnă, conform teoremei 6, că sistemul considerat este asimptotic stabil.

b) **Pod rulant.** Din ecuația intrare-stare (1.66) se constată că

$$A = \begin{bmatrix} 0 & 1 & 0 & 0 \\ 0 & 0 & \alpha & 0 \\ 0 & 0 & 0 & 1 \\ 0 & 0 & -\beta & 0 \end{bmatrix}, \quad \alpha = \frac{m_a}{m_c} g > 0, \quad \beta = \left(1 + \frac{m_a}{m_c}\right) \frac{g}{l} > 0,$$

și că

$$\Delta(s) = \det(Is - A) = s^2(s^2 + \beta).$$

Este evident că sistemul considerat nu este asimptotic stabil, deoarece $\operatorname{Re}\lambda_{1,2,3,4} = 0$. Pentru a vedea dacă acest sistem este simplu stabil sau instabil este necesar să se determine forma canonică diagonală (Jordan) a matricii A ; cunoașterea numai a localizării valorilor proprii nămafiind suficientă.

Utilizând metoda factorilor invariánți expusă la 5.2.1. b se găsesc divizorii elementari s^2 , $(s - j\sqrt{\beta})$, $(s + j\sqrt{\beta})$. Forma canonică Jordan a matricii A este

$$J = \begin{bmatrix} 0 & 1 & 0 & 0 \\ 0 & 0 & 0 & 0 \\ 0 & 0 & j\sqrt{\beta} & 0 \\ 0 & 0 & 0 & -j\sqrt{\beta} \end{bmatrix},$$

ceea ce înseamnă că valorii proprii duble $\lambda = 0$ ii corespunde un bloc Jordan de ordinul 2. Teorema 5 nu este satisfăcută în acest caz și în consecință sistemul considerat este instabil.

c) Proces de refinoare a stocului pieselor de schimb. Din ecuația intrare-stăre (1.110) rezultă că

$$A = \begin{bmatrix} 0 & 0 & 0 & \cdots & 0 & 0 \\ p_0 & 0 & 0 & \cdots & 0 & 0 \\ 0 & p_1 & 0 & \cdots & 0 & 0 \\ \vdots & \vdots & \vdots & & \vdots & \vdots \\ 0 & 0 & 0 & & p_{n-1} & 0 \end{bmatrix}.$$

După calcule relativ simple se obține

$$\Delta(s) = \det(Is - A) = s^n,$$

ceea ce înseamnă că $\lambda = 0$ este valoarea proprie de multiplicitate n a matricii A . Conform teoremei 8 sistemul considerat este asimptotic stabil.

6. Stabilitatea externă

6.1. Definiția stabilității externe

Un sistem dinamic este suportul unui transfer cauzal *intrare-iesire*. În atare situație, pentru definirea stabilității unui sistem trebuie să se țină seama de evoluțiile posibile ale intrării și ieșirii sistemului. Această idee conduce în mod natural la conceptul de *stabilitate externă* (intrare-iesire).

Există mai multe posibilități de a defini stabilitatea externă. Dintre acestea, în mod preponderent, este folosită noțiunea de *stabilitate intrare-mărginită-ieșire mărginită* (IMEM).

Definiția 1. Sistemul dinamic (1.9), (1.10) se numește *stabil IMEM* dacă pentru orice moment inițial $t_0 \in \mathbb{R}_+$ și pentru starea inițială $x(t_0) = 0$ există o constantă $K > 0$, dependentă de t_0 , astfel încât pentru orice intrare care satisfacă condiția de mărginire

$$||u(t)|| \leq 1, \quad t \geq t_0, \quad (6.1)$$

ieșirea sistemului satisfacă condiția de mărginire

$$||y(t)|| \leq K, \quad t \geq t_0. \quad (6.2)$$

În caz contrar sistemul dinamic (1.9), (1.10) se numește *instabil IMEM*.

Pentru a putea fi luate în considerare mărimi de intrare mărginite de forma $||u(t)|| \leq L$, $t \geq t_0$, unde $0 < L < +\infty$, se face schimbarea de variabilă de intrare $u(t) = \tilde{u}(t)L$; se obține $||\tilde{u}(t)|| \leq 1$, $t \geq t_0$, adică o condiție de formă (6.1):

6.2. Stabilitatea externă a sistemelor dinamice liniare

6.2.1. Sisteme variante în timp

S-a văzut la 3.1.1. că pentru sistemele dinamice liniare continue și variante în timp, tranziția intrare-ieșire se explicitează, pentru stare initială nulă, prin produsul de convoluție generalizat

$$y(t) = \int_{t_0}^t g(t, \tau) u(\tau) d\tau, \quad t \geq t_0, \quad (6.3)$$

unde $g(t, \tau)$, $t \geq \tau \geq t_0$, este matricea de răspuns la impuls a sistemului.

Teorema 1. Sistemul dinamic (6.3) este stabil IMEM dacă și numai dacă există o constantă $M > 0$ astfel încât

$$\int_{t_0}^t ||g(t, \tau)|| d\tau \leq M, \quad t \geq t_0 \geq 0. \quad (6.4)$$

D. Suficiența. Prin ipoteză are loc (6.4). Întrucit $u(t)$ satisfacă (6.1), pe baza ecuației (6.3) putem face evaluările

$$\begin{aligned} ||y(t)|| &< \int_{t_0}^t ||g(t, \tau) u(\tau)|| d\tau \leq \int_{t_0}^t ||g(t, \tau)|| ||u(\tau)|| d\tau \leq \\ &\leq \int_{t_0}^t ||g(t, \tau)|| d\tau \leq M, \quad t \geq t_0 \geq 0, \end{aligned}$$

ceea ce înseamnă că $y(t)$ satisfacă condiția (6.2) cu $K = M$.

Necesitatea. Se presupune prin absurd că (6.3) nu este adevărată. În consecință, pentru orice $K > 0$ există un $t_k > t_0$, dependent de K , astfel încât

$$\int_{t_0}^{t_k} ||g(t, \tau)|| d\tau \geq K. \quad (6.5)$$

Dacă se aplică norma în (6.3) pentru $t = t_k$, ținând seama de (6.5) și făcind uz de norma

$$||y|| = \max_{||v||=1} v^T y,$$

se obține

$$||y(t_k)|| = \max_{||v(t_k)||=1} v^T(t_k) y(t_k) = \int_{t_0}^{t_k} \max_{||v(t_k)||=1} v^T(t_k) g(t_k, \tau) u(\tau) d\tau. \quad (6.6)$$

Întrucit $u(t)$ satisfacă condiția (6.1), îl vom alege astfel încât integrandul din (6.6), care este un scalar, să atingă pentru fiecare τ , cu $t_0 \leq \tau \leq t_k$, și $||u(\tau)|| = 1$, valoarea sa maximă. În aceste condiții integrandul din (6.6) este o normă matricială, astfel că putem scrie

$$\max_{||v(t_k)||=1} \max_{||u(\tau)||=1} v^T(t_k) g(t_k, \tau) u(\tau) = ||g(t_k, \tau)||.$$

Având în vedere acest rezultat și (6.5), din (6.6) obținem

$$||y(t_k)|| = \int_{t_0}^{t_k} ||g(t_k, \tau)|| d\tau \geq K,$$

ceea ce înseamnă că sistemul considerat este instabil IMEM. Acest rezultat este în contradicție cu ipoteza, fapt care demonstrează nevoieitatea.

Este evident că *definiția 1* și *teorema 1* sunt valabile, *mutatis mutandis*, și în cazul sistemelor dinamice liniare discrete și variante în timp a căror tranziție intrare-iesire se explicitează, pentru stare inițială nulă, prin produsul de conoluție discretă generalizat

$$y(k) = \sum_{i=k_0}^{k-1} g(k, i+1) u(i) + D(k) u(k), \quad k \geq k_0, \quad (6.7)$$

unde $g(k, i+1)$, $k \geq i+1$, este matricea de răspuns la impuls a sistemului (v. 3.1.2).

Un enunț adecvat al *teoremei 1* pentru sistemul (6.7) este următorul.

Teorema 2. Sistemul dinamic (6.7), cu $D(k)$ mărginită în normă pentru $k \in \mathbb{N}$, este stabil IMEM dacă și numai dacă există o constantă $M > 0$ astfel încât

$$\sum_{i=k_0}^{k-1} \|g(k, i+1)\| \leq M, \quad k > k_0 \geq 0. \quad (6.8)$$

6.2.2. Sisteme invariante în timp

În cazul sistemelor dinamice liniare invariante în timp ecuațiile (6.3) și (6.7) au respectiv următoarele forme

$$y(t) = \int_0^t g(t-\tau, 0) u(\tau) d\tau, \quad t \in \mathbb{R}_+, \quad (6.9)$$

pentru sistemele continue în timp (v. 3.1.3), și

$$y(k) = \sum_{i=0}^{k-1} g(k-i-1, 0) u(i) + Du(k), \quad k \in \mathbb{N}, \quad (6.10)$$

pentru sistemele discrete în timp (v. 3.1.4).

Enunțurile adaptate ale *teoremelor 1* și *2* sunt următoarele.

Teorema 3. Sistemul dinamic (6.9) este stabil IMEM dacă și numai dacă

$$\int_0^\infty \|g(t, 0)\| dt < +\infty. \quad (6.11)$$

Theoremă 4. Sistemul dinamic (6.10) este stabil IMEM dacă și numai dacă

$$\sum_{k=0}^{\infty} \|g(k, 0)\| < +\infty. \quad (6.12)$$

Având în vedere expresiile analitice ale matricilor de răspuns la impuls $g(t, 0)$, $t \in \mathbb{R}_+$ (relația (3.12)) și $g(k, 0)$, $k \in \mathbb{N}$ (relația (3.17)), este de așteptat că între concepțele de stabilitate internă

și de stabilitate externă să existe anumite relații. Sub aspectele lor cele mai importante, aceste relații vor fi examineate în detaliu la §6.4 pentru cazul sistemelor dinamice liniare invariante în timp. În cele ce urmează ne vom ocupa de dependența relației intrare-iesire de matricile A , B și C .

6.3. Controlabilitatea și observabilitatea stării

În conformitate cu (3.12) condiția (6.11) este echivalentă cu

$$\int_0^{\infty} \|C e^{At} B\| dt < +\infty, \quad (6.13)$$

ceea ce înseamnă că proprietățile de stabilitate internă ale unui sistem dinamic liniar continuu și invariант în timp le determină pe cele de stabilitate externă. De exemplu dacă respectivul sistem este asimptotic stabil atunci el este și stabil IMEM. Această afirmație se bazează pe faptul că dacă A are toate valorile proprii cu partea reală negativă atunci integrandul din (6.13), oricare ar fi norma matriceală utilizată, este o combinație liniară de exponențiale care tind toate la zero atunci cind $t \rightarrow +\infty$. În aceste circumstanțe condiția (6.13) este evident satisfăcută.

După cum vom arăta imediat cu ajutorul unui exemplu, stabilitatea IMEM nu implică stabilitatea asimptotică, deoarece în această configurație intervin într-un mod specific și matricile B , C .

6.3.1. Exemplu de sistem stabil IMEM și instabil intern

Pentru susținerea afirmației de mai sus se consideră sistemul a cărui schemă bloc structurală este reprezentată în fig. I.19. Relația

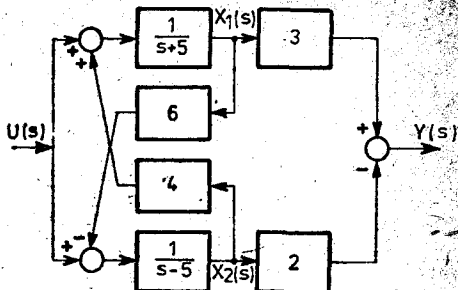


Fig. I.19. Sistem stabil IMEM și instabil intern.

intrare-iesire, în transformate Laplace și cu notațiile din fig. I.19, se exprimă prin următoarele ecuații:

$$\left\{ \begin{array}{l} X_1(s) = \frac{1}{s+5} [U(s) + 4X_2(s)] \\ X_2(s) = \frac{1}{s+5} [U(s) - 6X_1(s)], \end{array} \right. \quad (6.14)$$

$$\left\{ \begin{array}{l} X_1(s) = \frac{1}{s+5} [U(s) + 4X_2(s)] \\ X_2(s) = \frac{1}{s+5} [U(s) - 6X_1(s)], \end{array} \right. \quad (6.15)$$

$$Y(s) = 3X_1(s) - 2X_2(s). \quad (6.16)$$

Rezolvînd sistemul de ecuații (6.14), (6.15) în raport cu $X_1(s)$ și $X_2(s)$ se obține

$$\left\{ \begin{array}{l} X_1(s) = \frac{1}{s+1} U(s) \\ X_2(s) = \frac{1}{s+1} U(s). \end{array} \right. \quad (6.17)$$

$$\left\{ \begin{array}{l} X_1(s) = \frac{1}{s+1} U(s) \\ X_2(s) = \frac{1}{s+1} U(s). \end{array} \right. \quad (6.18)$$

Înlocuind acum (6.17) și (6.18) în (6.16) rezultă următoarea ecuație intrare-iesire

$$Y(s) = \frac{1}{s+1} U(s). \quad (6.19)$$

Așadar funcția de transfer a sistemului este

$$G(s) = \frac{1}{s+1}, \quad (6.20)$$

careia îi corespunde răspunsul la impuls

$$g(t) = \begin{cases} 0 & , t < 0, \\ e^{-t} & , t \geq 0. \end{cases} \quad (6.21)$$

Acesta satisface evident condiția (6.11), ceea ce înseamnă că sistemul considerat este stabil IMEM.

În pofida acestui fapt, sistemul din fig. I.19 nu este asymptotic stabil. Dovedirea acestei afirmații necesită cunoașterea reprezentării intrare-stare-iesire a sistemului.

Alegînd ca variabile de stare mărimile $X_1(s)$ și $X_2(s)$, ecuațiile intrare-stare-iesire se obțin din (6.14)–(6.16). Eliminînd numitorii în (6.14)

și (6.15) și trecind la domeniul timpului, cu condițiile inițiale $x_1(-0) = x_2(-0) = 0$, din (6.14)–(6.16), după calcule elementare, rezultă

$$\begin{bmatrix} \dot{x}_1 \\ \dot{x}_2 \end{bmatrix} = \begin{bmatrix} -5 & 4 \\ -6 & 5 \end{bmatrix} \begin{bmatrix} x_1 \\ x_2 \end{bmatrix} + \begin{bmatrix} 1 \\ 1 \end{bmatrix} u, \quad (6.22)$$

$$y = [3 \ -2] \begin{bmatrix} x_1 \\ x_2 \end{bmatrix}. \quad (6.23)$$

Ecuatia caracteristică a sistemului este

$$\Delta(s) = \det(I_s - A) = s^2 - 1 = 0,$$

ale cărei rădăcini sunt $\lambda_1 = -1$, $\lambda_2 = 1$. Conform celor arătate la 5.2.4, este evident că sistemul din fig. I.19 este instabil intern. Așadar stabilitatea IMEM nu implică stabilitatea asimptotică.

Această „defecțiune” este de natură parametric-structurală și ea poate fi explicată în modul cel mai lîmpede făcînd următoarea schimbare de variabile de stare

$$\begin{bmatrix} \tilde{x}_1 \\ \tilde{x}_2 \end{bmatrix} = V^{-1} \begin{bmatrix} x_1 \\ x_2 \end{bmatrix}, \quad (6.24)$$

unde

$$V = \begin{bmatrix} 1 & 2 \\ 1 & 3 \end{bmatrix}, \quad V^{-1} = \begin{bmatrix} 3 & -2 \\ -1 & 1 \end{bmatrix}$$

sint matricea modală a matricii A și respectiv inversa sa.

Înlocuind (6.24) în (6.22)–(6.23), sistemul considerat se aduce la forma sa canonică diagonală (se folosește această denumire deoarece matricea $\tilde{A} = V^{-1}AV = J$ este diagonală).

$$\begin{bmatrix} \dot{\tilde{x}}_1 \\ \dot{\tilde{x}}_2 \end{bmatrix} = \begin{bmatrix} -1 & 0 \\ 0 & 1 \end{bmatrix} \begin{bmatrix} \tilde{x}_1 \\ \tilde{x}_2 \end{bmatrix} + \begin{bmatrix} 1 \\ 0 \end{bmatrix} u, \quad (6.25)$$

$$y = [1 \ 0] \begin{bmatrix} \tilde{x}_1 \\ \tilde{x}_2 \end{bmatrix}. \quad (6.26)$$

Se constată că în forma sa canonică diagonală sistemul este constituit din două subsisteme, caracterizate prin variabilele de stare \tilde{x}_1 și respectiv \tilde{x}_2 , care sunt total decuplate între ele (în sensul că \tilde{x}_1 nu depinde de \tilde{x}_2 și \tilde{x}_2 nu depinde de \tilde{x}_1). În plus subsistemul caracterizat prin \tilde{x}_2 (și prin valoarea proprie $\lambda_2 = 1$) este decuplat atât în raport cu

intrarea și cu ieșirea. Acest fapt explică complet „defectiunea” semnalată mai sus. Ea este de natură parametric-structurală, fiind generată, pe de o parte, de perechea de matrici A, B , respectiv de *controlabilitatea stării* și, pe de altă parte, de perechea de matrici A, C , respectiv de *observabilitatea stării* sistemului.

6.3.2. Controlabilitatea stării

Definiția 2. Un sistem dinamic se numește de *stare complet controlabilă* dacă există o comandă $u(t)$, $t \in [t_0, t_1] \subset \mathbf{R}_+$, continuă pe porțiuni, care transferă sistemul din orice stare inițială $x(t_0)$, oricare ar fi $t_0 \in \mathbf{R}_+$, în orice stare finală $x(t_1)$, oricare ar fi $t_1 \in \mathbf{R}_+$, finit, cu $t_1 > t_0$.

În caz contrar sistemul dinamic se numește, după caz, de stare *parțial controlabilă* sau de *stare necontrolabilă*.

Pentru a putea caracteriza un sistem dinamic liniar continuu și invariant în timp în conformitate cu *definiția 2*, vom demonstra mai întii două rezultate pregătitoare.

Fie A o matrice $(n \times n)$ și fie

$$\Delta(s) = s^n + \alpha_1 s^{n-1} + \dots + \alpha_{n-1} s + \alpha_n \quad (6.27)$$

polinomul ei caracteristic.

Lema 1 (teorema Cayley-Hamilton). Orice matrice A verifică ecuația matriceală

$$A^n + \alpha_1 A^{n-1} + \dots + \alpha_{n-1} A + \alpha_n I = 0. \quad (6.28)$$

D. Se știe că

$$(Is - A)^{-1} = \frac{1}{\Delta(s)} \text{adj}(Is - A), \quad (6.29)$$

unde

$$\text{adj}(Is - A) = B_1 s^{n-1} + B_2 s^{n-2} + \dots + B_{n-1} s + B_n, \quad (6.30)$$

este matricea adjunctă a matricii caracteristice și B_1, B_2, \dots, B_n sunt matrice constante de dimensiuni $(n \times n)$.

Din (6.29) în care se înlocuiesc (6.27) și (6.30), după calcule elementare, se obține

$$\begin{aligned} (B_1 s^{n-1} + B_2 s^{n-2} + \dots + B_{n-1} s + B_n) (Is - A) &= \\ &= (s^n + \alpha_1 s^{n-1} + \dots + \alpha_{n-1} s + \alpha_n) I. \end{aligned} \quad (6.31)$$

Efectuind calculele în (6.31) și identificind coeficienții matriceali după puterile lui s se obține sirul de egalități

$$\begin{aligned} B_1 &= I \\ -B_1A + B_2 &= \alpha_1 I \\ -B_2A + B_3 &= \alpha_2 I \\ \dots & \\ -B_{n-1}A + B_n &= \alpha_{n-1} I \\ -B_nA &= \alpha_n I. \end{aligned} \quad (6.32)$$

În sfîrșit, înmulțind egalitățile (6.32) la dreapta, respectiv cu matricile $A^n, A^{n-1}, \dots, A, I$ și adunând rezultatele membru cu membru se obține (6.28). ■

Lema 2. Pentru orice matrice A are loc explicitarea

$$e^{At} = \sum_{k=0}^{n-1} f_k(t) A^k, \quad t \in \mathbb{R} \quad (6.33)$$

unde $f_k(t), k = 0, 1, \dots, n-1$, sunt funcții de timp determinabile.

D. Din (6.28) rezultă

$$A^n = \sum_{k=0}^{n-1} \alpha_{n-k}^0 A^k,$$

unde $\alpha_{n-k}^0 = -\alpha_{n-k}$, $k = 0, 1, \dots, n-1$.

Apoi

$$A^{n+1} = AA^n = A \sum_{k=0}^{n-1} \alpha_{n-k}^0 A^k = \sum_{k=0}^{n-1} \alpha_{n-k}^1 A^k,$$

unde $\alpha_n^1 = \alpha_n^0 \alpha_n$ și $\alpha_{n-k}^1 = \alpha_1^0 \alpha_{n-k}^0 + \alpha_{n-k+1}^0$, $k = 1, 2, \dots, n-1$.

Continuind în acest mod se obține

$$A^{n+i} = \sum_{k=0}^{n-1} \alpha_{n-k}^i A^k, \quad i = 0, 1, 2, \dots, \quad (6.34)$$

unde α_{n-k}^i , $k = 0, 1, \dots, n-1$, $i = 0, 1, 2, \dots$, sunt coeficienți determinabili.

Pe de altă parte

$$e^{At} = \sum_{k=0}^{\infty} \frac{1}{k!} t^k A^k = \sum_{k=0}^{n-1} \frac{1}{k!} t^k A^k + \sum_{k=n}^{\infty} \frac{1}{k!} t^k A^k.$$

Schimbând indicele de sumare în ultima sumă de mai sus prin $k = n + i$ și ținând seama de (6.34) putem scrie

$$\begin{aligned} e^{At} &= \sum_{k=0}^{n-1} \frac{1}{k!} t^k A^k + \sum_{i=0}^{\infty} \frac{1}{(n+i)!} t^{n+i} A^{n+i} = \\ &= \sum_{k=0}^{n-1} \frac{1}{k!} t^k A^k + \sum_{i=0}^{\infty} \frac{1}{(n+i)!} t^{n+i} \sum_{k=0}^{n-1} \alpha_{n-k}^i A^k = \\ &= \sum_{k=0}^{n-1} \left(\frac{1}{k!} t^k + \sum_{i=0}^{\infty} \frac{1}{(n+i)!} \alpha_{n-k}^i t^{n+i} \right) A^k. \end{aligned}$$

Cu notația

$$f_k(t) = \frac{1}{k!} t^k + \sum_{i=0}^{\infty} \frac{1}{(n+i)!} \alpha_{n-k}^i t^{n+i} \quad (6.35)$$

se obține rezultatul (6.33).

Cu aceste două rezultate putem aborda problema controlabilității stării unui sistem dinamic liniar continuu și invariant în timp, descris de următoarele ecuații intrare-stare-iesire

$$\dot{x} = Ax + Bu, \quad t \in \mathbb{R}_+, \quad (6.36)$$

$$y = Cx + Du, \quad (6.37)$$

unde $x \in \mathbb{R}^n$, $u \in \mathbb{R}^m$, $y \in \mathbb{R}^p$ și A , B , C și D sunt matrici constante de dimensiuni adecvate.

Fie matricea

$$\mathcal{C} = [B, AB, A^2B, \dots, A^{n-1}B], \quad (6.38)$$

formată din submatricile $A^k B$, $k = 0, 1, \dots, n-1$, și numită *matricea de controlabilitate* a sistemului (6.36), (6.37).

Theoremă 5 (Kalman). Sistemul dinamic (6.36), (6.37) este de stare complet controlabilă dacă și numai dacă

$$\text{rang } \mathcal{C} = n. \quad (6.39)$$

D. Se știe că (6.36) admite soluția

$$x(t) = e^{A(t-t_0)} x(t_0) + \int_{t_0}^t e^{A(t-\tau)} B u(\tau) d\tau, \quad t \geq t_0, \quad (6.40)$$

pentru orice $u(t)$, $t \geq t_0$, continuă pe porțiuni (v. 2.1.3).

Fără a reduce din generalitate vom considera $t_0 = 0$ și $x(t_1) = 0$. În aceste condiții soluția (6.40) devine

$$0 = e^{At_1} x(0) + \int_0^{t_1} e^{A(t_1-\tau)} B u(\tau) d\tau, \quad t_1 > 0.$$

Înmulțind cu e^{-At_1} la stînga și înlocuind $e^{-A\tau}$ cu (6.33) din relația de mai sus se obține

$$\sum_{k=0}^{n-1} A^k B \int_0^{t_1} f_k(-\tau) u(\tau) d\tau = -x(0).$$

Examinînd această ecuație se observă că ea poate fi exprimată și sub următoarea formă

$$[B, AB, A^2B, \dots, A^{n-1}B] \begin{bmatrix} v^0(t_1) \\ v^1(t_1) \\ v^2(t_1) \\ \vdots \\ v^{n-1}(t_1) \end{bmatrix} = -x(0), \quad (6.41)$$

unde

$$v^k(t_1) = \int_0^{t_1} f_k(-\tau) u(\tau) d\tau, \quad k = 0, 1, 2, \dots, n-1,$$

sînt n vectori m -dimensionali, dependenți de $u(\tau)$, $\tau \in [0, t_1]$.

În conformitate cu *definiția 2* este evident acum că proprietatea de controlabilitate completă a stării sistemului (6.36), (6.37) este echivalentă cu faptul că ecuația (6.41) admite o soluție $v^0(t_1), v^1(t_1), \dots, v^{n-1}(t_1)$ pentru orice $x(0) \in \mathbb{R}^n$. Ecuația (6.41), care în fond este un sistem de n ecuații cu mn necunoscute, admite o soluție pentru orice $x(0) \in \mathbb{R}^n$ dacă și numai dacă condiția (6.39) este satisfăcută. ■

6.3.3. Observabilitatea stării

Definiția 3. Un sistem dinamic se numește de *stare complet observabilă* dacă vectorul de stare poate fi determinat complet peste orice interval de timp finit $[t_0, t_1] \subset \mathbb{R}_+$, și $t_1 > t_0$, pe baza cunoașterii complete a intrării $u(t)$ și a ieșirii $y(t)$ peste același interval finit.

În caz contrar sistemul se numește, după caz, de *stare parțial observabilă* sau de *stare neobservabilă*.

Fie matricea

$$\mathcal{O} = \begin{bmatrix} C \\ CA \\ CA^2 \\ \vdots \\ CA^{n-1} \end{bmatrix}, \quad (6.42)$$

formată din submatricile CA^k , $k = 0, 1, \dots, n-1$, și numită *matricea de observabilitate* a sistemului (6.36), (6.37).

Teorema 6 (Kalman). Sistemul dinamic (6.36), (6.37) este de stare complet observabilă, dacă și numai dacă

$$\text{rang } \mathcal{O} = n. \quad (6.43)$$

D. Înlocuind (6.40) – soluția ecuației (6.36), în (6.37) se obține

$$\begin{aligned} y(t) = & Ce^{At-t_0}x(t_0) + C \int_{t_0}^t e^{A(t-\tau)}Bu(\tau) d\tau + \\ & + Du(t), \quad t \geq t_0, \end{aligned} \quad (6.44)$$

care este expresia transferului intrare-ieșire al sistemului (6.36), (6.37) pentru o stare inițială oarecare.

Fără a reduce din generalitate vom considera $t_0 = 0$ și $u(\tau) = 0$, $\tau \in [0, t_1]$. În aceste condiții (6.44) devine

$$Ce^{At}x(0) = y(t), \quad t \in [0, t_1]. \quad (6.45)$$

Înlocuind (6.33) în (6.45) se observă că rezultatul (6.45) poate fi pus sub forma

$$[f_0(t) f_1(t) \dots f_{n-1}(t)] \begin{bmatrix} C \\ CA \\ CA^2 \\ \vdots \\ CA^{n-1} \end{bmatrix} x(0) = y(t), \quad t \in [0, t_1], \quad (6.46)$$

În sfîrșit, se derivează (6.46) în raport cu t , succesiv de $n-1$ ori, calculindu-se de fiecare dată rezultatul pentru $t=0$ ținând seama și de (6.35). Se obține astfel rezultatul echivalent

$$\begin{bmatrix} C \\ CA \\ \vdots \\ CA^{n-1} \end{bmatrix} x(0) = \begin{bmatrix} y(0) \\ y'(0) \\ \vdots \\ y^{(n-1)}(0) \end{bmatrix}. \quad (6.47)$$

Conform definiției 2 este evident că proprietatea de observabilitate completă a stării sistemului (6.36), (6.37) este echivalentă cu faptul că ecuația (6.47) admite o soluție $x(0)$ oricare ar fi membrul drept, vector $n \cdot p$ -dimensional. Ecuația (6.47), care în fond este un sistem de $n \cdot p$ ecuații cu n necunoscute, admite o soluție $x(0)$ oricare ar fi membrul drept, dacă și numai dacă condiția (6.43) este satisfăcută. ■

6.3.4. Proprietăți de invariантă

Ca și polinomul caracteristic al unui sistem dinamic liniar continuu și invariant în timp proprietățile de controlabilitate și de observabilitate a stării au caracter intrinsec, respectiv sunt invariante în raport cu transformările liniare nesingulare ale vectorului de stare.

Pentru a verifica afirmația de mai sus, fie transformarea

$$\tilde{x} = Px, \quad (6.48)$$

unde P este o matrice constantă $(n \times n)$, cu $\det P \neq 0$.

Înlocuind (6.48) în (6.36), (6.37) se obțin ecuațiile

$$\tilde{x} = \tilde{A}\tilde{x} + \tilde{B}u, \quad t \in \mathbb{R}_+, \quad (6.49)$$

$$y = \tilde{C}\tilde{x} + \tilde{D}u, \quad (6.50)$$

în care

$$\tilde{A} = PAP^{-1}, \quad \tilde{B} = PB, \quad \tilde{C} = CP^{-1}, \quad \tilde{D} = D. \quad (6.51)$$

În condițiile (6.51) sistemele (6.36), (6.37) și (6.49), (6.50) se numesc echivalente.

Vom arăta în cele ce urmează că

$$\text{rang } \tilde{\mathcal{C}} = \text{rang } \mathcal{C}. \quad (6.52)$$

Într-adevăr, ținind seama de (6.38) și de (6.51) putem scrie

$$\text{rang } \tilde{\mathcal{C}} = \text{rang } [\tilde{B}, \tilde{A}\tilde{B}, \dots, \tilde{A}^{n-1}\tilde{B}] = \text{rang } [PB, PAP^{-1}PB, \dots,$$

$$\dots, PAP^{-1}PAP^{-1} \dots PAP^{-1}PB] = \text{rang } [PB, PAB, \dots, PA^{n-1}B] =$$

$$= \text{rang } P[B, AB, \dots, A^{n-1}B] = \text{rang } \mathcal{C}.$$

În intregime analog se poate arăta că

$$\text{rang } \tilde{\mathcal{O}} = \text{rang } \mathcal{O}. \quad (6.53)$$

Un alt rezultat interesant în sine și util pentru raționamentele care vor urma este acela că matricea de transfer a unui sistem dinamic de forma (6.36), (6.37) este invariantă în raport cu transformările nesingular ale stării de forma (6.48). Așadar vom arăta că

$$\tilde{G}(s) = G(s). \quad (6.54)$$

Într-adevăr, ținind seama de (3.15) și (6.51) putem scrie succesiv

$$\begin{aligned} \tilde{G}(s) &= \tilde{C}(Is - \tilde{A})^{-1}\tilde{B} + \tilde{D} = CP^{-1}(Is - PAP^{-1})^{-1}PB + \\ &+ D = CP^{-1}[P(Is - A)P^{-1}]^{-1}PB + D = \\ &= CP^{-1}P(Is - A)^{-1}P^{-1}PB + D = \\ &= C(Is - A)^{-1}B + D = G(s). \end{aligned}$$

6.3.5. Forma canonica Kalman

Faptul că proprietățile de controlabilitate a stării și de observabilitate a stării nu depind de baza de vectori în \mathbb{R}^n în care a fost exprimată reprezentarea intrare-stare-iesire a unui sistem dinamic liniar continuu și invariant în timp ne permite să cercetăm implicațiile acestor proprietăți

asupra transferului intrare-iesire al respectivului sistem făcind uz de o transformare adecvată a vectorului de stare. În acest sens s-a și procedat în cazul exemplului de la 6.3.1.

Din punctul de vedere al celor două proprietăți studiate, un sistem dinamic oarecare să se poate descompune în patru subsisteme, și anume: \dot{x}_{cc}^{no} — de stare complet controlabilă și neobservabilă, \dot{x}_{cc}^{co} — de stare complet controlabilă și complet observabilă, care cuprinde și conexiunea directă D_u , \dot{x}_{nc}^{no} — de stare necontrolabilă și neobservabilă și \dot{x}_{nc}^{co} — de stare necontrolabilă și complet observabilă.

În scopul determinării acestor patru subsisteme se folosește transformarea (6.48), cu $P = V^{-1}$, unde V este matricea modală a matricii A , prin care sistemul dinamic (6.36), (6.37) se aduce la forma

$$\tilde{x} = J\tilde{x} + V^{-1}B\dot{u}, \quad (6.55)$$

$$y = CV\tilde{x} + Du, \quad (6.56)$$

numită *forma canonica diagonală (Jordan)* a sistemului (6.36), (6.37). J este forma canonica diagonală (Jordan) a matricii A (v. 5.2.1).

Ecuatiile (6.55), (6.56) au avantajul remarcabil că, în cadrul lor, componentele vectorului canonic de stare \tilde{x} se prezintă la gradul maxim de decuplare reciprocă. Pentru punerea în evidență a celor patru subsisteme se reordonează adecvat componentele vectorului \tilde{x} și se grupează în patru subvectori x_{cc}^{no} , x_{cc}^{co} , x_{nc}^{no} , x_{nc}^{co} corespunzători următoarei explicitări a reprezentării intrare-stare-iesire.

$$\begin{bmatrix} \dot{x}_{cc}^{no} \\ \dot{x}_{cc}^{co} \\ \dot{x}_{nc}^{no} \\ \dot{x}_{nc}^{co} \end{bmatrix} = \begin{bmatrix} A_{11} & A_{12} & A_{13} & A_{14} \\ 0 & A_{22} & 0 & A_{24} \\ 0 & 0 & A_{33} & A_{34} \\ 0 & 0 & 0 & A_{44} \end{bmatrix} \begin{bmatrix} x_{cc}^{no} \\ x_{cc}^{co} \\ x_{nc}^{no} \\ x_{nc}^{co} \end{bmatrix} + \begin{bmatrix} B_1 \\ B_2 \\ 0 \\ 0 \end{bmatrix} u, \quad (6.57)$$

$$= [0 \ C_2 \ 0 \ C_4] \begin{bmatrix} x_{cc}^{no} \\ x_{cc}^{co} \\ x_{nc}^{no} \\ x_{nc}^{co} \end{bmatrix} + Du, \quad (6.58)$$

unde A_{11} , A_{12} etc., B_1 , B_2 și C_2 , C_4 sunt submatrici de dimensiuni adecvate. Ecuatiile (6.57), (6.58) reprezintă *forma canonica Kalman* a sistemului (6.36), (6.37).

Transferul intrare-iesire este realizat numai de subsistemul de stare complet controlabilă și de stare complet observabilă. Acest lucru poate fi demonstrat și cu ajutorul formei canonice Kalman. Vom calcula în

acest scop matricea de transfer a sistemului (6.36), (6.37), care, în baza invariantei matricii de transfer în raport cu transformările liniare ale vectorului de stare, coincide cu matricea de transfer a formei sale canonice Kalman (6.57), (6.58); avem

$$G(s) = \\ = [0 \ C_2 \ 0 \ C_4] \begin{bmatrix} I_1s - A_{11} & -A_{12} & -A_{13} & -A_{14} \\ 0 & I_2s - A_{22} & 0 & -A_{24} \\ 0 & 0 & I_3s - A_{33} & -A_{23} \\ 0 & 0 & 0 & I_4s - A_{44} \end{bmatrix}^{-1} \begin{bmatrix} B_1 \\ B_2 \\ 0 \\ 0 \end{bmatrix} + D,$$

unde I_1, I_2, I_3 și I_4 sunt matricile unitate de ordine adecvate.

Inversa matricii caracteristice se calculează pe submatrici și este tot o matrice superior triunghiulară de submatrici. Ca urmare putem scrie

$$G(s) = \\ = [0 \ C_2 \ 0 \ C_4] \begin{bmatrix} (I_1s - A_{11})^{-1} & X_{12} & X_{13} & X_{14} \\ 0 & (I_2s - A_{22})^{-1} & X_{23} & X_{24} \\ 0 & 0 & (I_3s - A_{33})^{-1} & X_{34} \\ 0 & 0 & 0 & (I_4s - A_{44})^{-1} \end{bmatrix} \begin{bmatrix} B_1 \\ B_2 \\ 0 \\ 0 \end{bmatrix} + D$$

unde X_{12}, X_{13} etc. sunt submatrici de dimensiuni adecvate ale căror expresii nu este necesar să fie calculate, după cum se va vedea mai jos. Efectuând calculele în ultima relație obținem

$$G(s) = C_2(I_2s - A_{22})^{-1}B_2 + D. \quad (6.59)$$

6.4. Stabilitatea IMEM și stabilitatea asimptotică

6.4.1. Sisteme dinamice liniare continue și invariante în timp

Teorema 7. Dacă sistemul dinamic (6.36), (6.37) este asimptotic stabil atunci el este stabil IMEM.

D. S-a văzut că sistemul dinamic (6.36), (6.37) este echivalent cu forma canonica Kalman (6.57), (6.58). Polinomul caracteristic, calculat pe baza acestei forme, are expresia

$$\Delta(s) = \det(I_1s - A_{11}) \det(I_2s - A_{22}) \det(I_3s - A_{33}) \det(I_4s - A_{44}) \quad (6.60)$$

și conform ipotezei toate rădăcinile sale sunt situate în semiplanul $\operatorname{Re} s < 0$. Aceasta înseamnă că și A_{22} are toate valorile proprii în același semiplan.

Pe de altă parte aplicând transformarea inversă Laplace relației (6.59) obținem

$$g(t, 0) = C_2 e^{A_{22}t} B_2 + D\delta(t), \quad t \in \mathbf{R}_+. \quad (6.61)$$

Este evident că $g(t, 0)$ satisfacă condiția (6.11), ceea ce, conform teoremei 3, implică faptul că sistemul dinamic (6.36), (6.37) este stabil IMEM.

Dacă se explicitează matricea inversă din (6.59), matricea de transfer a sistemului dinamic (6.36), (6.37) are forma

$$G(s) = \frac{1}{\Delta_2(s)} C_2 \operatorname{adj}(I_2s - A_{22}) B_2 + D, \quad (6.62)$$

în care

$$\Delta_2(s) = \det(I_2s - A_{22}). \quad (6.63)$$

Elementele matricii $G(s)$ sunt fracții rationale al căror numitor comun este $\Delta_2(s)$. De aici rezultă că polii funcției de variabilă complexă $G(s)$ sunt chiar rădăcinile polinomului $\Delta_2(s)$. Comparând polinomul caracteristic (6.60) al sistemului (6.36), (6.37) cu numitorul comun (6.63) al matricii sale de transfer se trage concluzia că mulțimea polilor sistemului dinamic (6.36), (6.37) este inclusă în mulțimea valorilor sale proprii. Cele două mulțimi coincid numai dacă sistemul respectiv este de stare complet controlabilă și de stare complet observabilă. Această constatare ne duce la următoarele două rezultate:

Teorema 8. Sistemul dinamic (6.36), (6.37) este stabil IMEM dacă și numai dacă toți polii matricii sale de transfer sunt situați în semiplanul $\operatorname{Re} s < 0$.

D. Suficiență. Pentru matricea de transfer (6.62), conform teoremei dezvoltării (anexa A), putem scrie în domeniul timpului

$$g(t, 0) = \sum_{i=1}^r \sum_{j=1}^{q_i} K_{ij} \frac{1}{(q_i - j)!} t^{q_i-j} e^{\lambda_i t} + D\delta(t), \quad t \in \mathbf{R}_+, \quad (6.64)$$

$$K_{ij} = \frac{1}{(j-1)!} \left\{ \frac{d^{j-i}}{ds^{j-i}} [(s - \lambda_i)^{q_i} G(s)] \right\}_{s=\lambda_i}, \quad (6.65)$$

$$i = 1, \dots, r, \quad j = 1, \dots, q_i,$$

unde λ_i sunt polii lui $G(s)$, fiecare de multiplicitate q_i , cu $\sum_{i=1}^r q_i = n_2$, n_2 fiind gradul polinomului $\Delta_2(s)$.

Întrucit $\operatorname{Re} \lambda_i < 0$, $i = 1, \dots, r$, rezultă că (6.11) este satisfăcută și, conform teoremei 3, sistemul dinamic (6.36), (6.37) este stabil IMEM.

Necesitatea. Se știe că

$$G(s) = \int_0^\infty g(t, 0) e^{-st} dt.$$

Corespunzător acestei relații puțem face următoarea evaluare

$$\|G(s)\| \leq \int_0^\infty \|g(t, 0)\| \cdot |e^{-st}| dt.$$

Pentru $\operatorname{Re} s \geq 0$ are loc $|e^{-st}| \leq 1$ și, ținând seama și de (6.11), din inegalitatea precedentă obținem

$$\|G(s)\| \leq \int_0^\infty \|g(t, 0)\| dt < +\infty, \operatorname{Re} s \geq 0.$$

Conform acestui rezultat $G(s)$ este mărginită în semiplanul $\operatorname{Re} s \geq 0$, ceea ce înseamnă că toți polii matricii de transfer $G(s)$ sunt situați în $\operatorname{Re} s < 0$.

Rezultatul cuprins în teorema 8 pune în evidență faptul că stabilitatea IMEM a sistemului dinamic (6.36), (6.37) depinde de distribuția în planul complex a zero-urilor polinomului (6.63). Polinomul $\Delta_2(s)$, care este numitorul comun al elementelor matricii de transfer $G(s)$, se numește *polinomul polilor* sistemului (6.36), (6.37).

Să observăm că am ajuns la polinomul polilor $\Delta_2(s)$ plecind de la reprezentarea intrare-stare-ieșire a sistemului. Dacă un sistem este cunoscut numai pe baza matricii sale de transfer atunci determinarea polinomului polilor este posibilă pe mai multe căi.

1° Prin determinarea formei Smith-Mc Millan a matricii $G(s)$, [I2].

2° Prin determinarea unei realizări minimale (A, B, C, D) a matricii $G(s)$, [I1].

3° Prin determinarea tuturor (adică de toate ordinele) minorilor nenuli ai lui $G(s)$. În acest caz polinomul polilor este cel mai mic multiplu al numitorilor respectivilor minori, [P1].

Teorema 9. Dacă sistemul dinamic (6.36), (6.37) este de stare complet controlabilă, de stare complet observabilă și stabil IMEM atunci el este asimptotic stabil.

D. Conform ipotezelor teoremei, mulțimea valorilor proprii ale sistemului dinamic (6.36), (6.37) coincide cu mulțimea polilor funcției sale de transfer. În baza *teoremei 8* toți polii, respectiv toate valorile proprii ale sistemului, sunt situate în semiplanul $\text{Re } s < 0$. Ca urmare, sistemul dinamic (6.36), (6.37) este asimptotic stabil. ■

Rezultatul precedent este o reciprocă a *teoremei 7*. Fără a mai fi necesare demonstrații mai putem enunța și următoarele reciproce ale *teoremei 7*.

Teorema 10. Dacă sistemul dinamic (6.36), (6.37) este stabil IMEM atunci partea sa de stare complet controlabilă și de stare complet observabilă este asimptotic stabilă.

Teorema 11. Dacă sistemul dinamic (6.36), (6.37) este stabil IMEM și părțile sale de stare necontrolabilă și/sau de stare neobservabilă sunt asimptotic stabile atunci sistemul considerat este asimptotic stabil.

6.4.2. Testarea stabilității IMEM Gradul de stabilitate

Modul în care a fost definită stabilitatea IMEM permite analiza experimentală relativ simplă a proprietăților de stabilitate externă ale sistemelor dinamice. În acest context o problemă de natură teoretică, foarte importantă, este aceea a alegerii tipului de mărime de intrare prin care urmează să se testeze stabilitatea externă.

În mod obișnuit se folosesc semnalul treaptă (funcția lui Heaviside) și semnalul sinusoidal. Vom arăta în continuare în ce măsură testarea cu semnalul treaptă oferă informații nuanțate asupra stabilității externe (sau interne în condițiile *teoremelor 9, 10 și 11*). Testarea cu semnalul sinusoidal va fi abordată în cadrul metodei frecvențiale (v. II.3.2).

Dacă mărimea de intrare a sistemului (6.36), (6.37) este

$$u(t) = [1 \ 1 \ \dots \ 1]^T \ \sigma(t), \quad (6.66)$$

unde

$$\sigma(t) = \begin{cases} 0, & t < 0, \\ 1, & t \geq 0, \end{cases} \quad (6.67)$$

este funcția treaptă unitară, atunci răspunsul sistemului, în transformate Laplace, ținând seama că $\mathcal{L}\{\sigma(t)\} = \frac{1}{s}$, are forma

$$Y(s) = H(s) [1 \ 1 \ \dots \ 1]^T, \quad (6.68)$$

în care s-a notat

$$H(s) = \frac{1}{s} G(s). \quad (6.69)$$

Definiția 4. Matricea $h(t) = \mathcal{L}^{-1}\{H(s)\}$ se numește *matricea indicială* a sistemului dinamic (6.36), (6.37).

Conform teoremei integrării originalului (v. anexa A), relației (6.69) ii corespunde în domeniul timpului următoarea relație

$$h(t) = \int_0^t g(\tau, 0) d\tau, \quad t \in \mathbb{R}_+. \quad (6.70)$$

Teorema 12. Sistemul dinamic (6.36), (6.37) este stabil IMEM dacă și numai dacă $\lim_{t \rightarrow \infty} h(t)$ există și este finită.

D. Ținând seama de (6.64) și (6.70) este evident că pentru $t \rightarrow \infty$ obținem $h(t) \rightarrow \bar{h}$, unde \bar{h} este o matrice cu elemente constante, dacă și numai dacă $\operatorname{Re} \lambda_i < 0$, $i = 1, 2, \dots, r$, respectiv dacă și numai dacă sistemul considerat, conform *teoremei 8*, este stabil IMEM. ■

În conformitate cu *teorema 12* rezultă că matricea indicială poate fi utilizată, în cazul unui sistem stabil IMEM pentru aprecierea apropierii sistemului (6.36), (6.37) de situația de instabilitate IMEM, respectiv a calităților săle de stabilitate IMEM. Această apreciere se face pe baza abaterilor pe care le prezintă elementele matricii indiciale $h(t)$ față de elementele matricii

$$\bar{h} = \lim_{t \rightarrow \infty} h(t). \quad (6.71)$$

Ținând seama de *teorema 8* și de relațiile (6.64) și (6.70) rezultă că, din punct de vedere calitativ, abaterile elementelor matricii $h(t)$ în raport cu cele ale matricii \bar{h} vor fi cu atât mai mari, respectiv gradul de stabilitate IMEM va fi mai redus, cu cit polii matricii de transfer $G(s)$, situații în semiplanul $\operatorname{Re} s < 0$, vor fi mai apropiate de axa imaginară $\operatorname{Re} s = 0$.

Experiența acumulată în domeniul proiectării sistemelor automate arată că asigurarea stabilității IMEM nu este suficientă. În mod obișnuit trebuie să se asigure prin proiectare o anumită rezervă de stabilitate IMEM, respectiv o anumită distanță minimă α_{min} a polilor matricii de transfer $G(s)$ față de axa imaginară a planului complex. Această măsură, pe lângă faptul că asigură o comportare corespunzătoare a sistemului, previne pierderea stabilității datorită:

- variației parametrilor sub influență factorilor de mediu sau la îmbătrânirii materialelor;

- erorilor sistematice și aleatoare care intervin în evaluarea valorilor parametrilor pe care se bazează proiectarea;
- liniarizării neliniarităților;
- toleranțelor elementelor constructive ale sistemului real.

Gradul de stabilitate IMEM este prin definiție distanța α dintre axa imaginară a planului complex și polul lui $G(s)$ cel mai apropiat de ea. Evident, prin proiectare trebuie să se asigure ca $\alpha > \alpha_{\min}$.

Proprietatea unui sistem dinamic de a rămâne asimptotic stabil sau stabil IMEM, în condițiile în care parametrii și/sau structura sa se modifică (sau sunt incerte) între anumite limite admisibile, se numește *stabilitate structurală* (internă sau externă).

În general, proprietatea unui sistem dinamic de a-și conserva între limite precizate sau precizabile, o anumită calitate, bine definită (de exemplu $||h(t) - h_a(t)|| \leq \epsilon(t)$, $t \in \mathbf{R}_+$, unde $\epsilon(t)$ este eroarea admisă a lui $h(t)$ în raport cu matricea indicială $h_a(t)$), în condițiile în care parametrii și/sau structura sa se modifică (sau sunt incerte) între anumite limite, se numește *robustete*.

6.4.3. Corelația dintre calitatea răspunsului indicial și gradul de stabilitate

Pentru simplificarea expunerii vom considera în continuare un sistem dinamic liniar, continuu și invariant în timp, cu o intrare și o ieșire, descris de funcția de transfer

$$G(s) = K \frac{\prod_{j=1}^m (s - \beta_j)}{\prod_{i=1}^n (s - \alpha_i)}, \quad m < n, \quad (6.72)$$

unde α_i sunt polii și β_j sunt zerourile lui $G(s)$, iar K este un factor de proporționalitate. Se presupune că $\alpha_i \neq \beta_j$, $i = 1, \dots, n$, $j = 1, \dots, m$.

Vom determina răspunsul indicial al acestui sistem în ipoteza că α_i sunt distincți, cu $\operatorname{Re} \alpha_i < 0$, și $\beta_j \neq 0$, utilizând teorema dezvoltării (v. anexa A). În conformitate cu (6.69) și (6.72) putem scrie

$$h(t) = \mathcal{L}^{-1} \left\{ G(s) \frac{1}{s} \right\} = A_0 + \sum_{k=1}^n A_k e^{\alpha_k t}, \quad t \in \mathbf{R}_+, \quad (6.73)$$

unde

$$A_0 = \lim_{t \rightarrow \infty} h(t) = \lim_{s \rightarrow 0} sG(s) \frac{1}{s} = (-1)^{m-n} K \frac{\beta_1 \dots \beta_m}{\alpha_1 \dots \alpha_n}, \quad (6.74)$$

$$A_k = (s - \alpha_k) G(s) \left. \frac{1}{s} \right|_{s=\alpha_k} = K \frac{\prod_{j=1}^m (\alpha_k - \beta_j)}{\prod_{\substack{i=1 \\ i \neq k}}^n (\alpha_k - \alpha_i)}, \quad (6.75)$$

$$k = 1, 2, \dots, n.$$

Din analiza relațiilor (6.73) – (6.75) rezultă că abaterile lui $h(t)$ în raport cu $\bar{h} = A_0$ nu depind numai de distribuția polilor α_i ci și de distribuția zerourilor β_j în planul complex.

Caracterizarea calității răspunsului indicial se face ușual pe baza unor indicatori numiți *indicatori ai performanțelor sistemului*. Sunt posibile două evoluții tipice ale răspunsului indicial: oscilatoriu amortizat și aperiodic.

Răspunsul indicial oscilatoriu amortizat se caracterizează, din punctul de vedere al gradului de stabilitate, prin următorii indicatori:

— *suprareglarea*, definită prin

$$\sigma = \frac{h_{\max} - \bar{h}}{\bar{h}}, \quad (6.76)$$

— *durata regimului tranzitoriu* t_s , care este durata pînă cînd $h(t)$ intră definitiv în zona de 5% a valorii staționare \bar{h} , adică are loc

$$0,95 \bar{h} \leq h(t) \leq 1,05 \bar{h}, \quad t \geq t_s. \quad (6.77)$$

Răspunsul indicial aperiodic se caracterizează numai prin durata regimului tranzitoriu t_s .

După cum este de așteptat, la realizarea anumitor performanțe ale sistemului (6.72), în conformitate cu (6.73) – (6.75), contribuie toți polii și toate zerourile lui $G(s)$, respectivă contribuție depinzînd de poziția lor în planul complex. Se trage în mod firesc concluzia că în general relația dintre calitatea răspunsului indicial și gradul de stabilitate nu este simplă, ea putînd fi puternic influențată de zerourile sistemului.

În numeroase cazuri este posibilă împărțirea polilor în două grupe:

- o grupă a polilor situați relativ aproape de originea planului complex, poli pe care îi vom nota cu α_u , și
- o grupă a polilor α_v , cu $\operatorname{Re} \alpha_v \ll \operatorname{Re} \alpha_u$ și unde α_u este un pol oarecare din prima grupă.

Polii α_μ se numesc *polii dominanți*, iar polii α_v se numesc *polii independenți ai sistemului*.

Influența unui pol îndepărtat asupra răspunsului indicial este de două feluri. Pe de o parte în $h(t)$, relația (6.73), există termeni de forma $A_v e^{\alpha_v t}$. Cum $\operatorname{Re} \alpha_v \ll \operatorname{Re} \alpha_\mu$, rezultă că termenii respectivi tind rapid la zero pentru $t \rightarrow \infty$ și ca atare pot fi neglijati. Pe de altă parte un pol îndepărtat α_v influențează termenii din $h(t)$ corespunzători polilor dominanți, deoarece α_v apare în expresia lui A_μ . Pentru $k = \mu$, în (6.75) există factorii $|\alpha_\mu/\alpha_v - 1| \approx 1$. Si în acest caz contribuția în $h(t)$ a polilor îndepărtați este neglijabilă.

Același lucru se poate afirma și despre contribuția *zerourilor independente*.

Aplicațiile în care se pot pune în evidență configurații dominante ale polilor și zerourilor sunt frecvente. Dintre acestea, tipică pentru sistemele automate este situația în care funcția de transfer a sistemului se caracterizează printr-o pereche de poli dominanți. În astfel de cazuri funcția de transfer (6.72) poate fi aproximată prin

$$G(s) \approx \frac{K\omega_n^2}{s^2 + 2\rho\omega_n s + \omega_n^2}, \quad (6.78)$$

unde $\alpha_{1,2} = \omega_n(-\zeta \pm j\sqrt{1-\zeta^2})$ este perechea de poli dominanți, ω_n – pulsăția naturală, ζ – factorul de amortizare și K – factorul de amplificare.

Răspunsul indicial al sistemului (6.78) are următoarea formă

$$h(t) = \begin{cases} K \left[1 - \frac{e^{-\zeta\omega_n t}}{\sqrt{1-\zeta^2}} \sin \left(\omega_n \sqrt{1-\zeta^2} t + \right. \right. \\ \left. \left. + \arctg \frac{\sqrt{1-\zeta^2}}{\zeta} \right) \right], & 0 \leq \zeta < 1, \\ K[1 - (1 + \omega_n t)] e^{-\zeta\omega_n t}, & \zeta = 1, \\ K \left[1 - \frac{e^{-\zeta\omega_n t}}{\sqrt{\zeta^2 - 1}} \operatorname{sh} \left(\omega_n \sqrt{\zeta^2 - 1} t + \right. \right. \\ \left. \left. + \operatorname{argth} \frac{\sqrt{\zeta^2 - 1}}{\zeta} \right) \right], & \zeta > 1. \end{cases} \quad (6.79)$$

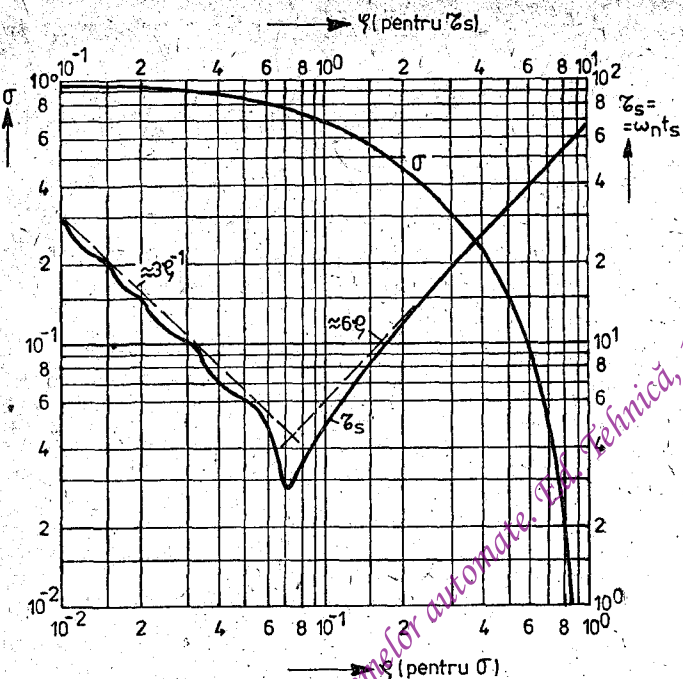


Fig. I.20. Dependența suprareglării și a duratei adimensionale a regimului tranzitoriu de factorul de amortizare.

În acest caz între indicatorii performanțelor σ și t_s , și localizarea polilor $\alpha_{1,2}$ există relații simple. Într-adevăr, din (6.79) se obțin

$$h = K h_{max} = K \left(1 + e^{-\frac{\pi \zeta}{\sqrt{1-\zeta^2}}}\right), \quad 0 \leq \zeta < 1, \quad (6.80)$$

iar din (6.76) rezultă

$$\sigma = e^{-\frac{\pi \zeta}{\sqrt{1-\zeta^2}}}, \quad 0 < \zeta < 1, \quad (6.81)$$

ac cărei grafic este reprezentat în fig. I.20.

Rezolvarea pe cale analitică, din punctul de vedere al necunoscutei t_s , a dublei inecuații (6.77), particularizată pentru (6.79), nu este posibilă. Soluția ei numerică pentru valori uzuale ale lui ζ este reprezentată grafic în fig. I.20.

Din examinarea curbelor din fig. I.20, se trage concluzia că, în funcție de performanțele dorite, polii dominanți ai sistemului trebuie să aibă

o anumită localizare în planul complex. De exemplu pentru realizarea duratei minime a regimului tranzitoriu, în condițiile în care $\omega_n = \text{constant}$, este necesar ca $\zeta = 0,707$.

Din problematica abordată în cadrul acestui paragraf rezultă că realizarea prin proiectare a unei anumite rezerve de stabilitate (printr-un anumit grad de stabilitate), a anumitor performanțe (prin anumite configurații poli-zerouri), a unei anumite robusteți (printr-o dependență slabă a proprietăților de stabilitate sau a calităților răspunsului indicial de modificările sau de incertitudinile parametrice și/sau structurale admisibile) sunt de o mare importanță practică. Ca urmare, aspectele esențiale legate de rezerva de stabilitate și de stabilitatea structurală vor fi abordate în mod specific și cu prilejul expunerii unor tehnici de analiză a stabilității.

6.4.4. Sisteme dinamice liniare discrete și invariante în timp

Analiza întreprinsă la § 6.3 pentru sistemele dinamice liniare continue și invariante în timp poate fi realizată, *mutatis mutandis*, și în cazul sistemelor dinamice liniare discrete și invariante în timp, deoarece definițiile controlabilității stării și a observabilității stării au caracter general.

Fie un sistem dinamic liniar discret și invariant în timp, descris de ecuațiile

$$x(k+1) = Ax(k) + Bu(k), \quad k \in \mathbb{N}, \quad (6.82)$$

$$y(k) = Cx(k) + Du(k), \quad (6.83)$$

unde $x \in \mathbb{R}^n$, $u \in \mathbb{R}^m$, $y \in \mathbb{R}^p$ și A , B , C și D sunt matrici constante de dimensiuni, adecvate.

Fie matricile

$$\mathcal{C} = [B, AB, A^2B, \dots, A^{n-1}B], \quad (6.84)$$

$$\mathcal{O} = \begin{bmatrix} C \\ CA \\ CA^2 \\ \vdots \\ CA^{n-1} \end{bmatrix}, \quad (6.85)$$

numite respectiv *matricea de controlabilitate* și *matricea de observabilitate* ale sistemului (6.82), (6.83).

Vom da în continuare principalele rezultate referitoare la relația dintre stabilitatea IMEM și stabilitatea asimptotică, omițind demonstrațiile aferente. Aceste demonstrații urmează căile utilizate anterior în cazul sistemelor dinamice liniare continue și invariante în timp.

Teorema 13. Sistemul dinamic (6.82), (6.83) este de stare complet controlabilă dacă și numai dacă

$$\text{rang } \mathcal{C} = n. \quad (6.86)$$

Teorema 14. Sistemul dinamic (6.82), (6.83) este de stare complet observabilă dacă și numai dacă

$$\text{rang } \mathcal{O} = n. \quad (6.87)$$

Teorema 15. Dacă sistemul dinamic (6.82), (6.83) este asimptotic stabil atunci el este stabil IMEM.

Teorema 16. Sistemul dinamic (6.82), (6.83) este stabil IMEM dacă și numai dacă toți polii matricii sale de transfer (v. 3.1.4) au modulul mai mic decât unitatea.

Teorema 17. Dacă sistemul dinamic (6.82), (6.83) este de stare complet controlabilă, de stare complet observabilă și stabil IMEM atunci el este asimptotic stabil.

Teorema 18. Dacă sistemul dinamic (6.82), (6.83) este stabil IMEM atunci partea sa de stare complet controlabilă și de stare complet observabilă este asimptotic stabilă.

Teorema 19. Dacă sistemul dinamic (6.82), (6.83) este stabil IMEM și părțile sale de stare necontrolabilă și/sau de stare neobservabilă sunt asimptotic stabilă atunci sistemul considerat este asimptotic stabil.

Matricea indicială a sistemului (6.82), (6.83) se definește, ca și în cazul sistemelor dinamice liniare continue și invariante în timp, ca fiind răspunsul la mărimea de intrare

$$u(k) = [1 \ 1 \ \dots \ 1]^T, \quad k \in \mathbb{N}, \quad (6.88)$$

și în condiții initiale nule. Înlocuind (6.88) în (3.18) și ținând seama de (3.17), răspunsul sistemului (6.82), (6.83) are expresia

$$y(k) = h(k) [1 \ 1 \ \dots \ 1]^T, \quad k \in \mathbb{N}, \quad (6.89)$$

unde

$$h(k) = \sum_{i=0}^{k-1} CA^{k-i-1} B + D, \quad k \in \mathbb{N}. \quad (6.90)$$

Definiția 5. Matricea $h(k)$, $k \in \mathbb{N}$, se numește *matricea indicială* a sistemului dinamic (6.82), (6.83).

Teorema 20. Sistemul dinamic (6.82), (6.83) este stabil IMEM dacă și numai dacă $\lim_{k \rightarrow \infty} h(k)$ există și este finită.

Și în cazul sistemelor dinamice liniare discrete și invariante în timp se poate pune în evidență o legătură între calitatea răspunsului indicial și localizarea polilor în interiorul cercului de rază unitate [K2]. În general polii apropiati de cercul de rază unitate, dar situați în interiorul său, determină răspunsuri indiciale slab amortizate. Prin analogie cu noțiunile introduse la 6.4.2 se pot defini și aici *gradul de stabilitate IMEM* și *rezerva de stabilitate IMEM* ca fiind distanța polilor celor mai apropiati și respectiv distanța minimă admisă a polilor în raport cu cercul de rază unitate. Pentru ca un sistem să posedă o anumită rezervă de stabilitate α_{min} , cu $0 < \alpha_{min} \leq 1$, trebuie că toți polii săi să fie situați în interiorul cercului de rază $1 - \alpha_{min}$.

6.4.5. Sisteme dinamice liniare variante în timp

Desi varianța în timp atrage după sine o creștere a complexității problematicii stabilității, care necesită și o nuanțare corespunzătoare a noțiunilor din sfera stabilității interne și stabilității externe, relația dintre stabilitatea asimptotică și stabilitatea IMEM, în contextul determinant al liniarității, rămîne, *mutatis mutandis*, în același cadru conturat în cazul sistemelor dinamice liniare invariante în timp. În ceea ce privește condițiile necesare și suficiente de completă controlabilitate a stării și respectiv de completă observabilitate a stării, se constată că ele se bazează pe matricea de tranziție a sistemului [K1] și, ca atare, nu oferă posibilitatea unei abordări nemijlocit parametrice decit în anumite cazuri particolare.

6.4.6. Aplicație: acordarea regulatoarelor după criteriul modulului

Vom examina în cele ce urmează unele consecințe ale acordării regulatoarelor, din cadrul sistemelor automate, pe baza criteriului modului-lui, [C1].

Fie sistemul automat cu o intrare și o ieșire din fig. I.21, în care $G_R(s)$ este funcția de transfer a regulatorului și

$$G_F(s) = \frac{K_f}{\prod_{k=1}^n (T_k s + 1) \prod_{i=1}^q (T_{pi} s + 1)} \quad (6.91)$$

este funcția de transfer a instalației automatizate (partea fixată a sistemului automat). În (6.91) K_f este factorul de amplificare, T_k , $k = 1, 2, \dots, n$, sunt constantele de timp importante (de valori relativ mari) și T_{pi} , $i = 1, 2, \dots, q$, sunt așa-numitele constante de timp parazite (între care se numără, de exemplu în cazul automatizării acționărilor electrice, constantele de timp ale filtrelor de netezire continue de traducție, timpul mort al redresoarelor comandate etc.) care satisfac neigualitatea

$$\sum_{i=1}^q T_{pi} \ll \min_k T_k. \quad (6.92)$$

Constantele de timp parazite sunt principial necompensabile, în sensul că prin compensarea constantei de timp a unui filtru de netezire, cu funcția de transfer $\frac{1}{T_p s + 1}$ printr-o componentă de tipul $T_p s + 1$ în regulator s-ar anula efectul de filtrare necesar din punct de vedere funcțional.

Sub ipoteza (6.92) se admite aproximarea

$$\prod_{i=1}^q (T_{pi} s + 1) \approx T_e s + 1, \quad (6.93)$$

unde

$$T_e = \sum_{i=1}^q T_{pi}. \quad (6.94)$$

În aceste condiții funcția de transfer (6.91) se aproximează prin

$$G_F(s) = \frac{K_f}{(T_e s + 1) \prod_{k=1}^n (T_k s + 1)}. \quad (6.95)$$

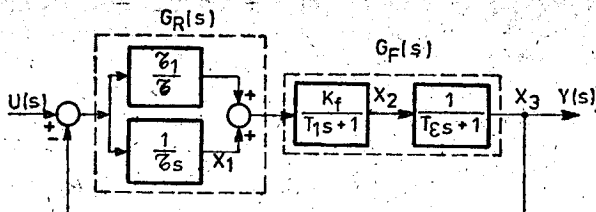


Fig. I.21. Pentru evidențierea unei consecințe a acordării regulațoarelor după criteriul modulului.

Conform criteriului modulului, funcția de transfer a regulatorului este de forma

$$G_R(s) = \frac{1}{\tau s} \prod_{k=1}^n (\tau_k s + 1), \quad (6.96)$$

unde

$$\tau_k = T_k, \quad k = 1, 2, \dots, n, \quad \tau = 2K_f T_e, \quad (6.97)$$

Funcția de transfer a sistemului închis, conform schemei bloc din fig. I.21, are expresia

$$G_0(s) = \frac{G_R(s) G_F(s)}{1 + G_R(s) G_F(s)} = \frac{\omega_n^2}{s^2 + \sqrt{2}\omega_n s + \omega_n^2}, \quad (6.98)$$

unde $\omega_n = 1/\sqrt{2} T_e$. Comparind (6.98) cu (6.78) rezultă că pentru sistem automat s-a obținut $\zeta = 0,707$, iar din fig. I.20 rezultă $\sigma\% = 4,3\%$ și respectiv $t_s = 4,1 T_e$. Aceasta înseamnă că prin (6.96), (6.97) se realizează un sistem automat stabil IMEM și, mai mult, sistemul considerat are un răspuns indicial optim din punctul de vedere al duratei regimului tranzitoriu.

În contextul acestui subcapitol trebuie să remarcăm faptul că regulatorul (6.96) și condițiile (6.97) de acordare a parametrilor săi conform criteriului modulului fac ca o parte a sistemului să devină necontrolabilă. Explicația constă în aceea că în funcția de transfer a sistemului deschis

$$G(s) = G_R(s) G_F(s), \quad (6.99)$$

ținând seama de (6.95)–(6.97), se produc o serie de simplificări între binoamele de forma $\tau_k s + 1$ și $T_k s + 1$, astfel că în final se obține

$$G(s) = \frac{1}{2T_e s(T_e s + 1)}. \quad (6.100)$$

Evident, în aceste circumstanțe reacția negativă nu mai poate restaura controlabilitatea completă a stării sistemului, ceea ce explică faptul că în transferul intrare-ieșire (6.98) constantele de timp importante T_k , $k = 1, 2, \dots, n$, nu mai au nici o influență.

Pentru a justifica afirmațiile de mai sus vom considera sistemul automat din fig. I.21, cu (6.95)–(6.97) și $n = 1$. Cu variabile de stare $X_1(s)$, $X_2(s)$ și $X_3(s)$ putem scrie următoarele ecuații

$$X_1(x) = \frac{1}{\tau s} [U(s) - Y(s)], \quad (6.101)$$

$$X_2(s) = \frac{K_f}{T_1 s + 1} \left\{ X_1(s) + \frac{\tau_1}{\tau} [U - Y(s)] \right\}, \quad (6.102)$$

$$X_3(s) = \frac{1}{T_e s + 1} X_2(s), \quad (6.103)$$

$$Y(s) = X_3(s). \quad (6.104)$$

Înlocuind (6.104) în (6.101) și (6.102) și trecind la domeniul timpului, cu condițiile inițiale $x_1(-0) = x_2(-0) = x_3(-0) = 0$ obținem

$$\begin{bmatrix} \dot{x}_1 \\ \dot{x}_2 \\ \dot{x}_3 \end{bmatrix} = \begin{bmatrix} 0 & 0 & -\frac{1}{\tau} \\ \frac{K_f}{T_1} & -\frac{1}{T_1} & -\frac{K_f \tau_1}{\tau T_1} \\ 0 & \frac{1}{T_e} & \frac{1}{T_e} \end{bmatrix} \begin{bmatrix} x_1 \\ x_2 \\ x_3 \end{bmatrix} + \begin{bmatrix} \frac{1}{\tau} \\ \frac{K_f \tau_1}{\tau T_1} \\ 0 \end{bmatrix} u, \quad (6.105)$$

$$y = [0 \ 0 \ 1] \begin{bmatrix} x_1 \\ x_2 \\ x_3 \end{bmatrix}. \quad (6.106)$$

Matricea de controlabilitate a acestui sistem are forma

$$C = \begin{bmatrix} \frac{1}{\tau} & 0 & -\frac{K_f \tau_1}{\tau^2 T_1 T_e} \\ \frac{K_f \tau_1}{\tau T_1} & \frac{K_f}{\tau T_1} \left(1 - \frac{\tau_1}{T_1}\right) & \frac{K_f}{\tau T_1^2} \left(\frac{\tau_1}{T_1} - \frac{K_f \tau_1^2}{\tau T_e} - 1\right) \\ 0 & \frac{K_f \tau_1}{\tau T_1 T_e} & \frac{K_f}{\tau T_1 T_e} \left(1 - \frac{\tau_1}{T_1} - \frac{\tau_1}{T_e}\right) \end{bmatrix} \quad (6.107)$$

și

$$\det \mathcal{C} = \frac{K_f^2 \tau_1}{\tau^3 T_1^2 T_e} \left(\frac{1}{T_e} - \frac{1}{\tau_1} \right) \left(\frac{\tau_1}{T_1} - 1 \right). \quad (6.108)$$

Pentru $\tau_1 = T_1$ rezultă $\det \mathcal{C} = 0$ și rang $\mathcal{C} = 2$, ceea ce înseamnă că sistemul este de stare parțial controlabilă. Aducind sistemul (6.105), (6.106), cu $\tau_1 = T_1$, la forma canonică diagonală, se poate vedea că partea necontrolabilă a sistemului corespunde valorii proprii $\lambda_1 = -1/T_1$. Acest fapt explică de ce subsistemul caracterizat prin valoarea proprie λ_1 nu participă la transferul intrare-ieșire și clarifică totodată consecințele de natură structural-parametrică ale aplicării criteriului modulului.

Mihai Voicu
Tehnici de analiză a stabilității sistemelor automate. Ed. Tehnică, 1981

Tehnici de analiză a stabilității sistemeelor automate liniare

În cadrul acestui capitol se vor expune principalele metode de analiză a stabilității asimptotice și a stabilității IMEM în cazul sistemelor automate liniare.

Mare parte din aceste metode aparțin teoriei clasice a stabilității și ele s-au aplicat cu succes în analiza și sinteza sistemelor automate liniare constante monovariabile (sisteme cu o mărime prescrisă, o perturbație și o mărime reglată) încă din perioada incipientă a automatizării.

După cum se va vedea pe parcursul acestui capitol, aplicarea metodelor expuse nu este limitată numai la sistemele automate monovariabile. Ele se pot aplica cu succes, în anumite situații, și în cazul sistemelor automate multivariable (sisteme cu mai multe intrări, mai multe ieșiri și mai multe bucle de reacție). Complexitatea acestor sisteme a impus însă elaborarea în ultimele două decenii a unor metode specifice de analiză a stabilității, care vor face obiectul capitolului IV.

1. Tehnici polinomiale

Această categorie de tehnici se aplică sistemelor dinamice liniare constante și se bazează pe utilizarea *polinomului caracteristic* — în cazul stabilității asimptotice (v. teoremele 6 și 8 de la I.5), sau pe utilizarea *polinomului polilor* — în cazul stabilității IMEM (v. teoremele 8 și 16 de la I.6).

În acest context problema stabilității (asimptotice sau IMEM) se încadrează în aceea mai generală a repartiției zerourilor unui polinom în planul complex.

O posibilitate de *analiză directă* a stabilității asimptotice sau a celei IMEM constă în determinarea numerică a zerourilor polinomului caracteristic sau ale polinomului polilor [D 1, 2], [S1], [V 1], [W 1,2]. Pe această bază se pot face aprecieri corespunzătoare privind atât gradul de stabilitate, cât și rezerva de stabilitate ale sistemului analizat. Determinarea numerică a zerourilor poate fi folosită, prin aplicarea repetată a procedurii numerice, și în cazul în care anumiți coeficienți ai polinomului sunt definiți pe anumite intervale. Este ușor de observat că pentru un număr mare de coeficienți definiți pe intervale relativ largi, acest procedeu conduce la un volum mare de calcule fără ca, în final, să se poată afirma cu certitudine că rezultatele reflectă exhaustiv proprietățile de stabilitate structurală ale sistemului analizat. Această concluzie se bazează pe faptul că, pentru calculul repetat al zerourilor polinomului respectiv, coeficienții săi vor lua succesiv doar un număr finit de valori din intervalele lor de definiție și pe faptul că relațiile dintre coeficienții unui polinom și zerourile sale sunt puternic neliniare (formulele lui Viète).

Un dezavantaj important al tehnicilor polinomiale, determinat de caracterul relațiilor dintre coeficienții unui polinom și zerourile sale, este acela că precizia rezultatelor este puternic influențată de precizia cu care au fost determinați coeficienții polinomului sistemului analizat. Conform formulelor lui Viète, erori foarte mici care afectează coeficienții unui polinom conduc la erori considerabile care afectează zerourile aceluia polinom. O analiză completă a stabilității asimptotice sau a celei IMEM pornește de la premsa că polinomul considerat are toți coeficienții definiți pe niște intervale determinate de erorile de care aceștia sunt afectați. După cum se vă vede mai jos, o astfel de analiză poate fi mai simplă prin *metode indirecte*, respectiv prin metode care nu presupun determinarea efectivă a rădăcinilor unui polinom.

1.1. Sisteme continue în timp

Intrucit tehnicele care se vor expune sunt aplicabile în egală măsură în studiul stabilității asimptotice ca și în studiul stabilității IMEM, se vor da mai întii o definiție și două rezultate echivalente respectiv cu *teorema 6* de la I.5 și cu *teorema 8* de la I.6, care vor permite o tratare unitară a celor două tipuri de stabilitate.

Definiția 1. Polinomul

$$P(s) = a_0 s^n + a_1 s^{n-1} + \dots + a_{n-1} s + a_n, \quad s \in \mathbb{C}, \quad (1.1)$$

cu $a_i \in \mathbb{C}$, $i = 0, 1, \dots, n$, și $a_0 \neq 0$, se numește *hurwitzian* dacă toate zerourile sale sunt situate în semiplanul $\operatorname{Re} s < 0$.

În continuare ne vom ocupa numai de polinomul de forma (1.1) cu coeficienți reali ($a_i \in \mathbb{R}$, $i = 0, 1, \dots, n$), urmând ca polinoamele cu coeficienți complecsi să fie studiate la III.1.3.3.

Teorema 1. Sistemul dinamic (I.5.3.2) este asimptotic stabil dacă și numai dacă polinomul caracteristic al matricei A este hurwitzian.

Teorema 2. Sistemul dinamic (I.6.36), (I.6.37) este stabil IMEM dacă și numai dacă polinomul polilor este hurwitzian.

Întrucât $a_0 \neq 0$, din (1.1), după împărțirea prin a_0 , se obține polinomul

$$\Delta(s) = s^n + \alpha_1 s^{n-1} + \dots + \alpha_{n-1} s + \alpha_n, \quad s \in \mathbb{C}, \quad \alpha_i = -\frac{a_i}{a_0}, \quad i = 1, \dots, n, \quad (1.2)$$

căre are aceleași zerouri ca și $P(s)$.

Vom demonstra mai întii o condiție necesară ca $\Delta(s)$ să fie hurwitzian.

Teorema 3. O condiție necesară ca $\Delta(s)$ să fie hurwitzian este

$$\alpha_i > 0, \quad i = 1, 2, \dots, n. \quad (1.3)$$

D. Dacă $\Delta(s)$ este hurwitzian atunci zerourile sale $\lambda_i \in \mathbb{C}$, $i = 1, \dots, n$, satisfac condițiile $\operatorname{Re} \lambda_i < 0$, $i = 1, \dots, n$. În plus, deoarece $\alpha_i \in \mathbb{R}$, $i = 1, \dots, n$, pentru orice zero complex λ_j , $\Delta(s)$ admite și zeroul complex conjugat $\bar{\lambda}_j$. În aceste condiții, conform formulelor lui Viète, putem scrie

$$\alpha_1 = -(\lambda_1 + \lambda_2 + \dots + \lambda_n) > 0$$

$$\alpha_2 = \lambda_1 \lambda_2 + \lambda_1 \lambda_3 + \dots + \lambda_{n-1} \lambda_n > 0$$

$$\alpha_3 = -(\lambda_1 \lambda_2 \lambda_3 + \lambda_1 \lambda_2 \lambda_4 + \dots + \lambda_{n-2} \lambda_{n-1} \lambda_n) > 0$$

.....

$$\alpha_n = (-1)^n \lambda_1 \lambda_2 \dots \lambda_n > 0. \quad \blacksquare$$

Condiția necesară (1.3), deosebit de simplă, este foarte utilă în aplicații deoarece ne permite să afirmăm că dacă $\Delta(s)$ are cel puțin un coefficient nepozitiv atunci el nu este hurwitzian.

1.1.1. Criteriul Nyquist-Mihailov

Acest criteriu se încadrează în categoria metodelor grafice și este frecvent utilizat în analiza sistemelor automate.

Fie γ un contur închis din planul s . După cum se știe, [A 1, 2], [S 2], prin transformarea $S = \Delta(s)$ conturul închis γ din planul s se transformă în conturul închis Γ din planul S . Dacă q este un punct interior al lui γ (adică este în domeniul situat la stînga lui γ cind acesta este parcurs în sens pozitiv) atunci $Q = \Delta(q)$ este un punct interior al lui Γ . Afirmația reciprocă este de asemenea adevărată, în sensul că dacă Q este un punct interior al lui Γ , atunci există punctele $q_i \in \mathbb{C}$, $i = 1, 2, \dots, n$, soluții ale ecuației $\Delta(q) = Q$, care sunt situate —toate— în interiorul lui γ .

Teorema 4 (Nyquist-Mihailov). Polinomul (1.2) este hurwitzian dacă și numai dacă hodograful ¹ $\Delta(j\omega)$, $\omega \in \mathbb{R}$, are originea ca punct interior.

D. Pentru obținerea hodografului $\Delta(j\omega)$, $\omega \in \mathbb{R}$, trebuie să se considere în planul s conturul închis reprezentat de axa imaginării (punctul de închidere se află la infinit), fig. II.1.

Suficiența. Dacă hodograful $\Delta(j\omega)$, $\omega \in \mathbb{R}$, are originea ca punct interior atunci ecuația $\Delta(s) = 0$, $s \in \mathbb{C}$, admete rădăcinile $\lambda_i \in \mathbb{C}$, $i = 1, \dots, n$, toate situate la stînga axei imaginare.

Necesitatea. Dacă $\Delta(s)$ este hurwitzian și $\lambda_i \in \mathbb{C}$, $i = 1, \dots, n$, sunt rădăcinile ecuației $\Delta(s) = 0$ atunci λ_i , $i = 1, \dots, n$, sunt situate toate la stînga axei imaginare. Rezultă de aici că originea planului S este situată la stînga hodografului $\Delta(j\omega)$ pentru ω luind valori de la $-\infty$ la $+\infty$.

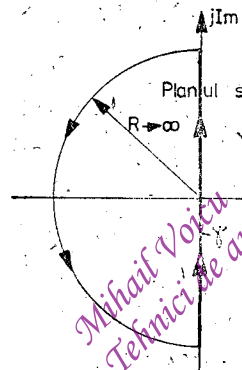


Fig. II.1. Conturul γ pentru teorema 4.

Exemplul 1.1. Fie sistemul automat cu schema bloc structurală din fig. I.21, în care

$$G_F(s) = \frac{8}{2s^2 + 34s + 1}, \quad G_R(s) = \frac{3}{8} + \frac{1}{4s}.$$

Să se analizeze stabilitatea IMEM a acestui sistem. Funcția de transfer a sistemului automat are expresia

$$G_0(s) = \frac{G_R(s) G_F(s)}{1 + G_R(s) G_F(s)} = \frac{3s + 2}{2(s^3 + 17s^2 + 2s + 1)}.$$

¹ Hodograful unui vector sau al unui fazor dependent de o variabilă $x \in I \subseteq \mathbb{R}$ este locul geometric al vîrfului său pentru $x \in I$.

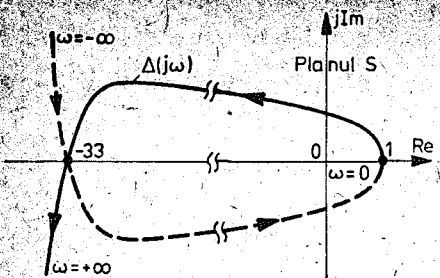


Fig. II.2. Hodograful $\Delta(j\omega)$ la exemplul 1.1.

Pentru analiza stabilității IMEM este necesar să se determine natura polinomului polilor

$$\Delta(s) = s^3 + 17s^2 + 2s + 1.$$

Pentru $s = j\omega$ se determină principale puncte ale hodografului $\Delta(j\omega)$, $\omega \geq 0$, după care se trasează prin puncte graficul respectiv (pentru $\omega < 0$ acesta este simetric, față de axa reală, cu ceea ce s-a obținut pentru $\omega > 0$); fig. II.2. Originea planului S este în interiorul conturului Γ , ceea ce înseamnă, conform teoremei 4, că sistemul automat analizat este stabil IMEM.

1.1.2. Criteriul Hurwitz

Pentru a putea demonstra acest criteriu într-un mod relativ simplu, vom expune mai întâi cîteva rezultate pregătitoare.

Fie polinomul

$$\Delta^*(s) = s^n - \alpha_1 s^{n-1} + \dots + (-1)^{n-1} \alpha_{n-1} s + (-1)^n \alpha_n, \quad s \in \mathbb{C}, \quad (1.4)$$

ale cărui zerouri sunt $-\bar{\lambda}_i$, $i = 1, 2, \dots, n$, unde $\bar{\lambda}_i$, $i = 1, 2, \dots, n$, sunt conjugatele zerourilor polinomului $\Delta(s)$.

Cu ajutorul polinoamelor $\Delta(s)$ și $\Delta^*(s)$ se definesc

$$\Delta_1(s) = (s + 2\alpha) \Delta(s) + s\Delta^*(s), \quad \alpha > 0, \quad s \in \mathbb{C}, \quad (1.5)$$

$$\Delta_2(s) = (-s + 2\alpha) \Delta(s) + s\Delta^*(s), \quad \alpha_1 > 0, \quad s \in \mathbb{C}. \quad (1.6)$$

Este evident, că $\Delta_1(s)$ este de grad $n + 1$. Vom arăta că $\Delta_2(s)$ este de grad $n - 1$. Într-adevăr, înlocuind (1.2) și (1.4) în (1.6), după calcule elementare, se obține

$$\Delta_2(s) = 2[\alpha_1^2 s^{n-1} + (\alpha_1 \alpha_2 - \alpha_3) s^{n-2} + \dots].$$

Pentru $s = j\omega$ din (1.5) se obține

$$\Delta_1(j\omega) = 2\alpha\Delta(j\omega) + j\omega[\Delta(j\omega) + \Delta^*(j\omega)], \quad \omega \in \mathbb{R}. \quad (1.7)$$

Dacă n este par atunci $\Delta^*(j\omega) = \overline{\Delta}(j\omega)$ și din (1.7) rezultă

$$\Delta_1(j\omega) = 2\alpha\Delta(j\omega) + 2j\omega \operatorname{Re} \Delta(j\omega), \quad \omega \in \mathbb{R}. \quad (1.8)$$

Hodograful $\Delta_1(j\omega)$, $\omega \in \mathbf{R}$, se obține din $\Delta(j\omega)$, $\omega \in \mathbf{R}$. Prin înmulțirea lui $\Delta(j\omega)$ cu 2α rezultă hodograful $2\alpha\Delta(j\omega)$, $\omega \in \mathbf{R}$; punctele hodografului $2\alpha\Delta(j\omega)$ sint apoi translate cu fazorul $2j\omega \operatorname{Re}\Delta(j\omega)$, colinear cu axa imaginäră și de modul variabil. Modulul acestui vector este nul pentru $\operatorname{Re}\Delta(j\omega) = 0$, adică atunci cînd hodograful $2\alpha\Delta(j\omega)$ intersectează axa imaginäră. În consecină punctele de intersecție ale hodografelor $2\alpha\Delta(j\omega)$ și $\Delta_1(j\omega)$ cu axa imaginäră coincid. Conform teoremei 4 $\Delta_1(s)$ este hurwitzian dacă și numai dacă $\Delta(s)$ este hurwitzian.

Dacă n este impar atunci $\Delta^*(j\omega) = -\overline{\Delta(j\omega)}$ și din (1.7) rezultă

$$\Delta_1(j\omega) = 2\alpha\Delta(j\omega) - 2\omega \operatorname{Im}\Delta(j\omega), \quad \omega \in \mathbf{R}. \quad (1.9)$$

De această dată hodograful $\Delta_1(j\omega)$, $\omega \in \mathbf{R}$, se obține prin translarea punctelor hodografului $2\alpha\Delta(j\omega)$, $\omega \in \mathbf{R}$, cu fazorul $2\omega \operatorname{Im}\Delta(j\omega)$, coliniar cu axa reală și de modul variabil, dar astfel încit hodografele $2\alpha\Delta(j\omega)$ și $\Delta_1(j\omega)$ au aceleasi puncte de intersecție cu axa reală.

Conform teoremei 4, $\Delta_1(s)$ este hurwitzian dacă și numai dacă $\Delta(s)$ este hurwitzian.

În mod analog, pentru $s = j\omega$ din (1.6) se obține

$$\Delta_2(j\omega) = 2\alpha_1\Delta(j\omega) + j\omega[\Delta^*(j\omega) - \Delta(j\omega)], \quad \omega \in \mathbf{R}. \quad (1.10)$$

Dacă n este par atunci $\Delta^*(j\omega) = \overline{\Delta(j\omega)}$ și din (1.10) rezultă

$$\Delta_2(j\omega) = 2\alpha_1\Delta(j\omega) + 2\omega \operatorname{Im}\Delta(j\omega), \quad \omega \in \mathbf{R}. \quad (1.11)$$

Dacă n este impar atunci $\Delta^*(j\omega) = -\overline{\Delta(j\omega)}$ și din (1.10) rezultă

$$\Delta_2(j\omega) = 2\alpha_1\Delta(j\omega) - 2j\omega \operatorname{Re}\Delta(j\omega), \quad \omega \in \mathbf{R}. \quad (1.12)$$

Raționind ca și în cazul lui $\Delta_1(s)$ se trage concluzia că $\Delta_2(s)$ este hurwitzian dacă și numai dacă $\Delta(s)$ este hurwitzian.

Polinoamele $\Delta_1(s)$ și $\Delta_2(s)$ pot fi utilizate pentru a studia natura polinomului $\Delta(s)$.

În primul caz se utilizează $\Delta_2(s)$, care este hurwitzian dacă și numai dacă $\Delta(s)$ este hurwitzian. Pentru a verifica dacă $\Delta(s)$ este hurwitzian se formează un sir de polinoame $\Delta_2(s)$, începînd cu $\Delta(s)$, după regula precizată prin (1.6), pînă se ajunge la un polinom de gradul 2. Pentru acesta se poate verifica foarte ușor dacă este sau nu hurwitzian. Dacă este hurwitzian atunci și polinomul precedent, de gradul 3, este hurwitzian. De aici rezultă că și polinomul de gradul 4 este hurwitzian s.a.m.d., rezultind respectiv că $\Delta(s)$ este hurwitzian.

În al doilea caz se utilizează $\Delta_1(s)$, cu ajutorul căruia se poate demonstra criteriul Hurwitz.

Fie matricea pătrată de ordinul n

$$H_n = \begin{bmatrix} \alpha_1 & 1 & 0 & 0 & 0 & 0 & \dots \\ \alpha_3 & \alpha_2 & \alpha_1 & 1 & 0 & 0 & \dots \\ \alpha_5 & \alpha_4 & \alpha_3 & \alpha_2 & \alpha_1 & 1 & \dots \\ \dots & \dots & \dots & \dots & \dots & \dots & \dots \end{bmatrix}, \quad (1.13)$$

numită *matricea Hurwitz* asociată polinomului $\Delta(s)$, în care pe diagonala principală apar coeficienții lui $\Delta(s)$, începînd cu α_1 , în succesiunea lor naturală și $\alpha_k = 0$ pentru toți $k > n$.

Teorema 5 (Hurwitz). O condiție necesară și suficientă ca $\Delta(s)$ să fie hurwitzian este ca

$$\det H_i > 0, \quad i = 1, 2, \dots, n. \quad (1.14)$$

D. Dacă $\Delta(s)$ este hurwitzian atunci $\frac{1}{2} \Delta_1(s)$ este de asemenea hurwitzian. Matricea Hurwitz asociată acestui polinom are forma

$$\begin{bmatrix} \alpha & 1 & 0 & 0 & \dots \\ \alpha\alpha_2 & \alpha\alpha_1 + \alpha_2 & \alpha & 1 & \dots \\ \alpha\alpha_4 & \alpha\alpha_3 + \alpha_4 & \alpha\alpha_2 & \alpha\alpha_1 + \alpha_2 & \dots \\ \dots & \dots & \dots & \dots & \dots \end{bmatrix}.$$

Minorii principali diagonali ai acestei matrici sunt $m_1 = \alpha$, $m_2 = \alpha^2 \det H_1$, $m_3 = \alpha^3 \det H_2$, ..., $m_n = \alpha^n \det H_{n-1}$, $m_{n+1} = \alpha^{n+1} \det H_n$.

Dacă se presupune că teorema 5 este adeverată pentru polinoame de gradul n atunci $m_i > 0$, $i = 1, 2, \dots, n+1$. Întrucît $\frac{1}{2} \Delta_1(s)$ este hurwitzian, rezultă că condiția (1.14) este necesară pentru polinoame de gradul $n+1$. Condiția (1.14) este și suficientă deoarece $\det H_i > 0$, $i = 1, 2, \dots, n$ este determinată de $m_i > 0$, $i = 1, 2, \dots, n+1$. Întrucît condiția (1.14) este adeverată pentru polinoame de gradul n , rezultă că $\Delta(s)$ este hurwitzian, ceea ce implică faptul că $\Delta_1(s)$ este hurwitzian. Așadar $m_i > 0$, $i = 1, 2, \dots, n+1$, a fost suficientă pentru aceasta.

Pînă aici am demonstrat că dacă (1.14) are loc pentru polinoame de gradul n atunci ea are loc și pentru polinoame de gradul $n+1$. Valabilitatea condiției (1.14) poate fi demonstrată direct pentru polinoame de gradul 2 și 3. Prin inducție matematică completă, prin treccerea de la gradul n la $n+1$, rezultă că teorema 5 este adeverată pentru polinoame de orice grad. ■

Exemplul 1.2. Fie sistemul automat de la *exemplul 1.1.* în care $G_F(s)$ are aceeași expresie și

$$G_R(s) = k + \frac{1}{\tau s}$$

este un regulator PI (proportional-integral) cu $k \geq 0$ și $\tau > 0$.

Să se determine valorile lui k și τ pentru care sistemul automat este stabil IMEM.

Funcția de transfer a sistemului automat are în acest caz expresia

$$G_0(s) = \frac{4 \left(ks + \frac{1}{\tau}\right)}{s^3 + 17s^2 + \left(\frac{1}{2} + 4k\right)s + \frac{4}{\tau}}$$

Aplicind polinomului polilor

$$\Delta(s) = s^3 + 17s^2 + \left(\frac{1}{2} + 4k\right)s + \frac{4}{\tau}$$

teorema 5 se obține

$$H_3 = \begin{bmatrix} 17 & 1 & 0 \\ 4/\tau & 4k + 1/2 & 17 \\ 0 & 0 & 4/\tau \end{bmatrix}$$

din care, conform condiției (1.14), rezultă

$$\tau > -\frac{8}{136k + 18}, \quad k \geq 0.$$

Un rezultat echivalent cu *teorema 5* este următorul.

Teorema 6 (Hermite). O condiție necesară și suficientă ca $\Delta(s)$ să fie hurwitzian este ca matricea simetrică

$$\tilde{H}_n = (\tilde{h}_{ij})_{ij=1, 2, \dots, n}, \quad (1.15)$$

unde

$$\tilde{h}_{ij} = \begin{cases} \sum_{k=0}^{i-1} (-1)^{i+k+1} \alpha_k \alpha_{i+j-k-1}, & \alpha_0 = 1, \quad i \geq j, \quad i+j - \text{par}, \\ 0, & i+j - \text{impar}, \end{cases} \quad (1.16)$$

cu $\tilde{h}_{ij} = \tilde{h}_{ji}$, să fie pozitiv definită, adică

$$\det \tilde{H}_i > 0, \quad i = 1, 2, \dots, n. \quad (1.17)$$

D. Se știe că \tilde{H}_n este pozitiv definită dacă și numai dacă toți minorii săi principali diagonali sunt pozitivi, respectiv dacă și numai dacă

(1.17) este adevarată (v. anexa D). Pentru a pune în evidență echivalenta dintre (1.17) și (1.14) facem observația că minorii principali diagonali ai matricii

$$\tilde{H}_n = \begin{bmatrix} \alpha_1 & 0 & \alpha_3 & 0 & \alpha_5 & \cdots \\ 0 & \alpha_1\alpha_2 - \alpha_3 & 0 & \alpha_1\alpha_4 - \alpha_5 & \cdots & \cdots \\ \alpha_3 & 0 & \alpha_2\alpha_3 - \alpha_1\alpha_4 + \alpha_5 & \cdots & \cdots & \cdots \\ 0 & \alpha_1\alpha_4 - \alpha_5 & \cdots & \cdots & \cdots & \cdots \\ \alpha_5 & \cdots & \cdots & \cdots & \cdots & \cdots \\ \vdots & \vdots & \vdots & \vdots & \vdots & \vdots \end{bmatrix} \quad (1.18)$$

au expresiile

$$\det \tilde{H}_1 = \det H_1, \quad (1.19)$$

$$\det \tilde{H}_i = \det H_{i-1} \det H_i, \quad i = 2, \dots, n.$$

Reamintim că dacă condiția (1.3) nu este satisfăcută atunci $\Delta(s)$ nu este huwitzian și în atare situație verificarea condițiilor (1.14) sau (1.17) nu mai are sens. Oricum, dacă (1.3) trebuie să aibă loc, este ușor de văzut, pe baza relațiilor dintre $\det H_{i-1}$ și $\det H_i$, că numărul de determinanți care trebuie calculați conform condiției (1.14) se reduce la jumătate. Se poate formula astfel următorul rezultat, pentru căruia demonstrație se poate consulta [G1].

Teorema 7 (Liénard-Chipart). O condiție necesară și suficientă ca $\Delta(s)$ să fie hurwitzian este ca să aibă loc unul din următoarele patru situri de inegalități

$$\begin{aligned} \alpha_n > 0, \alpha_{n-2} > 0, \dots; & \quad \det H_1 > 0, \det H_3 > 0, \dots, \\ \alpha_n > 0, \alpha_{n-2} > 0, \dots; & \quad \det H_2 > 0, \det H_4 > 0, \dots, \\ \alpha_n > 0, \alpha_{n-1} > 0, \alpha_{n-3} > 0, \dots; & \quad \det H_1 > 0, \det H_3 > 0, \dots, \\ \alpha_n > 0, \alpha_{n-1} > 0, \alpha_{n-3} > 0, \dots; & \quad \det H_2 > 0, \det H_4 > 0, \dots. \end{aligned} \quad (1.20)$$

1.1.3. Criteriul Routh

Un dezavantaj al teoremelor 5–7 este acela că apelează la calculul unor determinanți de ordin ridicat. O posibilitate de evitare a unui astfel de calcul constă în utilizarea schemei Routh.

Pentru simplificarea expunerii vom considera $n = 3$ în (1.2) și (1.13). Este ușor de verificat că

$$\begin{bmatrix} \alpha_1 & 1 & 0 \\ \alpha_3 & \alpha_2 & \alpha_1 \\ 0 & 0 & \alpha_3 \end{bmatrix} \begin{bmatrix} 1 & -1/\alpha_1 & -\alpha_1/(\alpha_3 - \alpha_1\alpha_2) \\ 0 & 1 & \alpha_1^2/(\alpha_3 - \alpha_1\alpha_2) \\ 0 & 0 & 1 \end{bmatrix} = \begin{bmatrix} r_{11} & 0 & 0 \\ r_{12} & r_{21} & 0 \\ r_{13} & r_{22} & r_{31} \end{bmatrix},$$

unde $r_{11} = \det H_1$, $r_{21} = \det H_2/\det H_1$, $r_{31} = \det H_3/\det H_2$.

Generalizând rezultatul de mai sus se scrie

$$H_n \cdot S = R, \quad (1.21)$$

unde H_n este matricea Hurwitz (1.13) asociată polinomului (1.2) și S, R sunt matrici de ordinul n triunghiulare (ca în cazul $n=3$), respectiv superior și inferior. Luând în considerare minorii principali diagonali din (1.21) se pot deduce relațiile:

$$r_{11} = \det H_1, \quad r_{ii} = \det H_i/\det H_{i-1}, \quad i = 2, \dots, n. \quad (1.22)$$

Aceste valori pot fi calculate, făcind uz numai de minori de ordinul 2, cu ajutorul schemei Routh:

$$\begin{array}{ccccccc} r_{01} & r_{02} & r_{03} & \cdots & \cdots & \cdots & \cdots \\ r_{11} & r_{12} & r_{13} & \cdots & \cdots & \cdots & \cdots \\ r_{21} & r_{22} & r_{23} & \cdots & \cdots & \cdots & \cdots \\ \cdots & \cdots & \cdots & \cdots & \cdots & \cdots & \cdots \end{array} \quad (1.23)$$

$$\boxed{r_{i-21}} \cdots \cdots \cdots \boxed{r_{i-2j}} \cdots \cdots \cdots \boxed{r_{i-2j+1}} \cdots \cdots \cdots$$

$$\boxed{r_{i-11}} \cdots \cdots \cdots \boxed{r_{i-1j}} \cdots \cdots \cdots \boxed{r_{i-1j+1}} \cdots \cdots \cdots$$

$$r_{i1} \cdots \cdots \cdots r_{ij} \cdots \cdots \cdots r_{ij+1}$$

unde

$$\begin{aligned} \{r_{01}, r_{02}, r_{03}, \dots\} &= \{-1, \alpha_2, \alpha_4, \dots\}, \\ \{r_{11}, r_{12}, r_{13}, \dots\} &= \{\alpha_1, \alpha_3, \alpha_5, \dots\} \end{aligned} \quad (1.24)$$

și

$$r_{ij} = -\frac{1}{r_{i-1,1}} \begin{vmatrix} r_{i-2,1} & r_{i-2,j+1} \\ r_{i-1,1} & r_{i-1,j+1} \end{vmatrix}, \quad i = 2, 3, \dots, n. \quad (1.25)$$

În conformitate cu (1.14) și (1.22) este evident adevărat următorul rezultat.

Teorema 8 (Routh). O condiție necesară și suficientă ca $\Delta(s)$ să fie hurwitzian este ca toate elementele primei coloane din schema Routh (1.23), cu (1.24), (1.25), să fie pozitive.

Exemplul 1.3. Fie un sistem automat cu polinomul caracteristic

$$\Delta(s) = s^4 + 2s^3 + 9s^2 + s + 4.$$

Să se studieze natura acestui polinom.

Se alcătuiește, în conformitate cu (1.23) – (1.25), următoarea schemă Routh

$$\begin{array}{cccc} 1 & & 9 & \\ 2 & & 1 & \\ \hline (2.9 - 1.1)/2 = 17/2 & & (2.4 - 0)/2 = 4 & \\ (17/2 - 2.4).2/17 = 1/17 & & & \\ (4/17 - 0).17 = 4 & & & \end{array}$$

Deoarece toți $r_{ii} > 0$ rezultă că polinomul $\Delta(s)$ este hurwitzian, ceea ce înseamnă că sistemul automat considerat este asymptotic stabil.

În încheierea acestui paragraf vom face cîteva observații privitoare la aplicarea efectivă a teoremelor 5 – 8.

a) Este posibil ca primul termen al polinomului analizat să aibă coeficientul diferit de 1, să presupunem $\alpha_0 > 0$. În această situație teoremele 5 – 8 rămîn valabile dacă în (1.13) și (1.24) se înlocuiește 1 (care îl precede, pe coloane în (1.13), pe α_2) cu α_0 , respectiv în (1.16) se consideră $\alpha_0 > 0$.

b) Dacă respectiv un $\det H_i$, $\det \tilde{H}_i$ sau r_{i1} este nepozitiv atunci nu mai este necesar să se continue calculele, deoarece în atare situație $\Delta(s)$ nu este hurwitzian. Dacă se continuă aceste calcule este posibil să se determine cîte zerouri ale lui $\Delta(s)$ sunt cu parte reală pozitivă și cîte sunt cu parte reală negativă. De exemplu, dacă nici un r_{i1} nu este nul atunci cele două numere sunt respectiv n_p și $n - n_p$, unde n_p este numărul variatiilor de semn în prima coloană a schemei Routh (1.23), cu (1.24), (1.25). Dacă un r_{i1} este nul atunci trebuie avute în vedere următoarele două cazuri:

- b.1) primul element al unei linii este nul;
- b.2) toate elementele unei linii sunt nule.

În ambele cazuri polinomul $\Delta(s)$ este nehurwitzian și are zerouri pe axa imaginată sau în semiplanul complex drept. Pentru a discunge asupra acestor situații se procedează în felul următor.

În cazul b.1) se aplică schema Routh polinomului $v^n \Delta(v^{-1})$, cu $v = s^{-1}$, ale cărui zerouri sunt $1/\lambda_i$, $i = 1, 2, \dots, n$, sau polinomului $(s + \alpha) \Delta(s)$, unde $\alpha > 0$ ($\alpha = 1$). Dacă în respectivele scheme Routh apar n_{p0} variații de semn în prima coloană atunci $\Delta(s)$ are n_{p0} zerouri cu parte reală nulă sau pozitivă și $n - n_{p0}$ zerouri cu parte reală negativă.

În cazul b.2) se înlocuiește s în $\Delta(s)$ cu $s + \epsilon$, unde $|\epsilon|$ este suficient de mic și se aplică schema Routh polinomului $\Delta(s + \epsilon)$, în care termenii ϵ^i , $i \geq 2$, se neglijază. Dacă pentru $\epsilon > 0$, oricăr de mic, în prima coloană a schemei Routh nu este nici o variație de semn și pentru $\epsilon < 0$ în respectiva coloană apar n_0 variații de semn atunci $\Delta(s)$ are n_0 zerouri pe axa imaginară și $n - n_0$ zerouri cu parte reală negativă. Dacă pentru $\epsilon > 0$, oricăr de mic, $\Delta(s + \epsilon)$ nu este hurwitzian atunci și $\Delta(s)$ nu este hurwitzian.

1.1.4. Domenii parametrice de stabilitate

După cum se știe, coeficienții polinomului caracteristic sau ai polinomului polilor sunt valori numerice și constante de material care reprezintă parametrii fizici ai sistemului. Din motive foarte diferite (tehnice, economice etc.) ne interesează să știm între ce limite se pot modifica parametrii unui sistem fără ca prin aceasta sistemul să-și piardă calitatele de stabilitate asimptotică sau IMEM.

După cum s-a văzut în cadrul *exemplului 1.2* pentru sistemele pînă la ordinul 3, cu doi parametri variabili, determinarea domeniului parametric de stabilitate (asimptotică sau IMEM) se poate realiza utilizînd condiția (1.14).

În cazul sistemelor de ordin ridicat se pune evident problema rezolvării unui sistem de n inecuații neliniare, ceea ce este în sine o problemă dificilă. Din acest motiv cercetările s-au orientat spre determinarea acelor valori ale parametrilor pentru care polinomul $\Delta(s)$ devine pentru prima oară nehurwitzian. Un polinom devine pentru prima oară nehurwitzian atunci cînd zerourile sale se deplasează în planul complex de la stînga la dreapta (în funcție de parametrii variabili) și cel puțin unul ajunge pe axa imaginară. Se poate arăta, [L1], că aceste valori se obțin prin rezolvarea, în raport cu parametrii variabili ai sistemului, a ecuațiilor critice

$$\alpha_n = 0, \quad (1.26)$$

$$\det H_{n-1} = 0. \quad (1.27)$$

Este evident că (1.26) atrage după sine faptul că $\Delta(s)$ are un zero în originea planului complex și reciproc. Pentru a justifica condiția (1.27) vom apela la formula lui Orlando, [B 2],

$$\det H_{n-1} = (-1)^{\frac{n(n-1)}{2}} \prod_{1 \leq i < j \leq n} (\lambda_i + \lambda_j), \quad (1.28)$$

în care λ_i , $i = 1, 2, \dots, n$, sunt zerourile polinomului $\Delta(s)$. Este ușor de observat că dacă λ_i și λ_j sunt două rădăcini imaginare conjugate atunci $\lambda_i + \lambda_j = 0$ și $\det H_{n-1} = 0$. Invers, dacă $\det H_{n-1} = 0$ atunci există λ_i, λ_j , cu $i \neq j$, astfel încât $\lambda_i + \lambda_j = 0$. De aici rezultă că λ_i, λ_j sunt imaginar conjugate.

Exemplul 1.4. Fie sistemul dinamic

$$\begin{bmatrix} \dot{x}_1 \\ \dot{x}_2 \\ \dot{x}_3 \end{bmatrix} = \begin{bmatrix} 0 & a+2 & 0 \\ -1 & 1 & -3 \\ b-1 & 1 & -2 \end{bmatrix} \begin{bmatrix} x_1 \\ x_2 \\ x_3 \end{bmatrix}, \quad a, b \in \mathbb{R}.$$

Să se determine în planul (a, b) domeniul parametric de stabilitate asimptotică. Pentru determinarea limitei domeniului de stabilitate asimptotică vom utiliza ecuațiile critice (1.26), (1.27).

Polinomul caracteristic are expresia

$$\Delta(s) = \begin{vmatrix} s & -(a+2) & 0 \\ 1 & s-1 & 3 \\ -(b-1) & -1 & s+2 \end{vmatrix} = s^3 + s^2 + (a+3)s + (a+2)(3b-1).$$

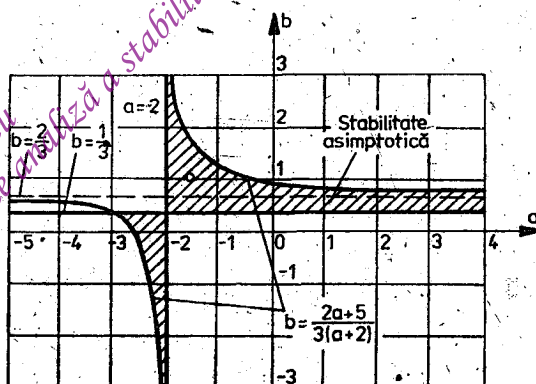


Fig. II.3. Domeniul parametric de stabilitate asimptotică la exemplul 1.4.

În conformitate cu (1.26), (1.27) putem scrie

$$\alpha_3 = (a + 2)(3b - 1) = 0$$

$$\det H_2 = \begin{vmatrix} 1 & 1 \\ (a+2)(3b-1) & a+3 \end{vmatrix} = -3ab + 2a - 6b + 5 = 0,$$

din care rezultă funcțiile

$$a = -2, \quad b = \frac{1}{3}, \quad b = \frac{2a+5}{3(a+2)},$$

ale căror grafice sunt reprezentate în fig. II.3. Domeniul de stabilitate asimptotică este cel hașurat. Pentru determinarea lui se consideră cîte un punct, respectiv cîte o pereche (a, b) în fiecare din zonele determinate de graficele celor trei funcții, pentru care se verifică condițiile (1.3) și (1.14). De exemplu pentru $a = -1,5$ și $b = 1$ se obține $\Delta(s) = s^3 + s^2 + 1,5s + 1$ și

$$H_3 = \begin{bmatrix} 1 & 1 & 0 \\ 1 & 1,5 & 1 \\ 0 & 0 & 1 \end{bmatrix}, \quad \det H_1 = 1 > 0, \quad \det H_2 = 1,5 > 0, \quad \det H_3 = 1,5 > 0.$$

În cazul în care numărul de parametri este mai mare ca doi determinarea domeniului parametric de stabilitate se poate face într-un spațiu corespunzător sau în mai multe plane parametrice.

Un alt procedeu de determinare a domeniului parametric de stabilitate este așa-numita descompunere \mathfrak{D} , [N1]. Vom expune concepția de bază a acestui procedeu considerind un polinom de gradul n , $\Delta(s; a, b)$, care depinde de parametrii $a, b \in \mathbb{R}$.

Ecuația $\Delta(s; a, b) = 0$ este o funcție implicită a legăturii dintre rădăcinile λ_i , $i = 1, 2, \dots, n$ și planul parametrilor a, b . Dacă se înlocuiește $s = j\omega$ și se rezolvă ecuația $\Delta(j\omega; a, b) = 0$, $\omega \in \mathbb{R}$, în raport cu a, b se determină acele puncte ale planului (a, b) cărora le corespond zerourile imaginare ale polinomului $\Delta(s; a, b)$. Așadar $\Delta(j\omega; a, b) = 0$, $\omega \in \mathbb{R}$, este o curbă limită L în planul (a, b) care împarte acest plan în două regiuni. Pentru o anumită regiune $\Delta(s; a, b)$ este hurwitzian, iar pentru complementara ei este nefurwitzian. Determinarea efectivă a naturii fiecărei regiuni constă în trasarea curbei limită L (și anume punct cu punct pentru o bună precizie). Se consideră apoi cîte o pereche (a, b) în fiecare din regiunile determinate pentru care se verifică condițiile (1.3), (1.14) sau echivalențele lui (1.14).

În cazul în care $\Delta(s; a, b)$ depinde liniar de a, b și aceștia sunt independenți între ei, descompunerea \mathfrak{D} se simplifică în ceea ce privește determinarea curbei limită L și a naturii regiunilor delimitate de ea, după cum se va vedea în cele ce urmează.

Dacă $\Delta(s; a, b)$ depinde liniar de a și b atunci pentru $s = j\omega$ curba limită L satisfacă ecuația

$$\Delta(j\omega; a, b) = \Delta_1(j\omega)a + \Delta_2(j\omega)b + \Delta_3(j\omega) = 0, \quad \omega \in \mathbb{R}, \quad (1.29)$$

unde

$$\begin{aligned} \Delta_1(j\omega) &= u_1(\omega) + jv_1(\omega), \\ \Delta_2(j\omega) &= u_2(\omega) + jv_2(\omega), \\ \Delta_3(j\omega) &= u_3(\omega) + jv_3(\omega) \end{aligned} \quad (1.30)$$

și $u_i, v_i, i = 1, 2, 3$, sunt niște polinoame care se determină adecvat din $\Delta(j\omega; a, b)$ în conformitate cu (1.29).

Inlocuind (1.30) în (1.29) se obține sistemul de ecuații liniare

$$\begin{cases} u_1(\omega)a + u_2(\omega)b + u_3(\omega) = 0 \\ v_1(\omega)a + v_2(\omega)b + v_3(\omega) = 0, \end{cases} \quad (1.31)$$

care sunt liniar independente, și deci pot fi utilizate pentru determinarea perechii (a, b) , dacă determinanții

$$d = \begin{vmatrix} u_1 & u_2 \\ v_1 & v_2 \end{vmatrix} \text{ și } d_1 = \begin{vmatrix} -u_3 & u_2 \\ -v_3 & v_2 \end{vmatrix} \text{ sau } d_2 = \begin{vmatrix} u_1 & -u_3 \\ v_1 & -v_3 \end{vmatrix}, \quad (1.32)$$

nu sunt simultan identic nuli. În aceste condiții din (1.31) se obține soluția

$$a(\omega) = \frac{d_1}{d} = \frac{u_2(\omega)v_3(\omega) - u_3(\omega)v_2(\omega)}{u_1(\omega)v_2(\omega) - u_2(\omega)v_1(\omega)}, \quad \omega \in \mathbb{R}. \quad (1.33)$$

$$b(\omega) = \frac{d_2}{d} = \frac{u_1(\omega)v_1(\omega) - u_1(\omega)v_3(\omega)}{u_1(\omega)v_2(\omega) - u_2(\omega)v_1(\omega)}, \quad \omega \in \mathbb{R}, \quad (1.34)$$

care reprezintă ecuațiile parametrice ale curbei limită L și care pot fi utilizate pentru trăsarea ei grafică. Ele reprezintă aplicația care transformă originea planului $\Delta(j\omega)$ în curba limită L din planul (a, b) . Punctelor de pe curba L le corespund rădăcini ale ecuației (1.29) situate pe axa imaginară a planului s .

În general L este formată din diverse segmente de dreaptă sau de curbe. Pentru $\omega = \pm\infty$ și $\omega = 0$ din (1.33), (1.34) se obțin așa-numitele drepte singulare dacă $\Delta(s) = 0$ admite rădăcina nulă pentru unii a, b (adică pentru $a_n = 0$ în (1.1)) sau rădăcina la infinit pentru alții a, b (adică $a_0 = 0$ în (1.1)). Dreptele singulare pot fi așadar determinate foarte ușor în planul (a, b) utilizând condițiile $a_n = 0$ și $a_0 = 0$ (dacă a_n și a_0 depind de a, b).

Pentru determinarea domeniului parametric de stabilitate (asimptotică sau IMEM) se utilizează *regula lui Nejmark*. Pentru aceasta se folosește determinantul d din (1.32) care pentru $\omega \in \mathbb{R}$ poate lua valori mai mici sau mai mari ca zero. Dacă pentru un interval $[\omega_1, \omega_2]$ avem $d > 0$, respectiv $d < 0$, atunci porțiunea corespunzătoare a curbei limită L se hașurează la stînga, respectiv la dreapta, cînd aceasta este parcursă pentru ω crescător. Întrucît d este în orice caz o funcție impară de ω , rezultă că atunci cînd ω parcurge mulțimea \mathbb{R} , curba L va ieși în evidență prin hașurul dublu situat pe o singură parte a sa. Curba L împarte planul în două regiuni. Domeniul de stabilitate se determină prin verificarea condițiilor (1.3), (1.14) pentru puncte interioare sau exterioare. Dacă anumite porțiuni de curbe sau drepte au rămas nshașurate, se poate sonda natura regiunii respective dînd valori corespunzătoare parametrilor a, b și verificînd aceleasi condiții (1.3), (1.14).

Exemplu 1.5. Fie sistemul cu polinomul polilor

$$\Delta(s) = s^4 + s^3 + (a+b)s^2 + (a-b)s + c; \quad a > 0, \quad b > 0, \quad c > 0.$$

Se cere să se determine domeniul parametric de stabilitate IMEM în planul (a, b) pentru $c = 2$.

Pentru $s = j\omega$ din $\Delta(s; a, b)$ se obține sistemul

$$\begin{cases} \omega^2 a + \omega^2 b = \omega^4 + 2 \\ \omega a - \omega b = \omega^3 \end{cases}$$

Rezolvînd acest sistem în raport cu a, b rezultă

$$\begin{cases} a = \frac{\omega^4 + 1}{\omega^2} \\ b = \frac{1}{\omega^2}, \quad \omega \in \mathbb{R}. \end{cases}$$

Prin eliminarea lui a între aceste ecuații se obține ecuația curbei limită L , de forma

$$a = \frac{b^2 + 1}{b}, \quad \text{cu } a > 0, \quad b > 0,$$

al cărei grafic este reprezentat în fig. II.4, a. Pe de altă parte

$$d = \begin{vmatrix} \omega^2 & \omega^2 \\ \omega & -\omega \end{vmatrix} = -2\omega^3, \quad \omega \in \mathbb{R},$$

Aplicînd regula lui Nejmark pentru $\omega \in (-\infty, 0]$ avem $d \geq 0$ și curba L se hașurează la stînga (deasupra); pentru $\omega \in [0, +\infty)$, avem $d \leq 0$ și curba L se hașurează la dreapta (tot deasupra).

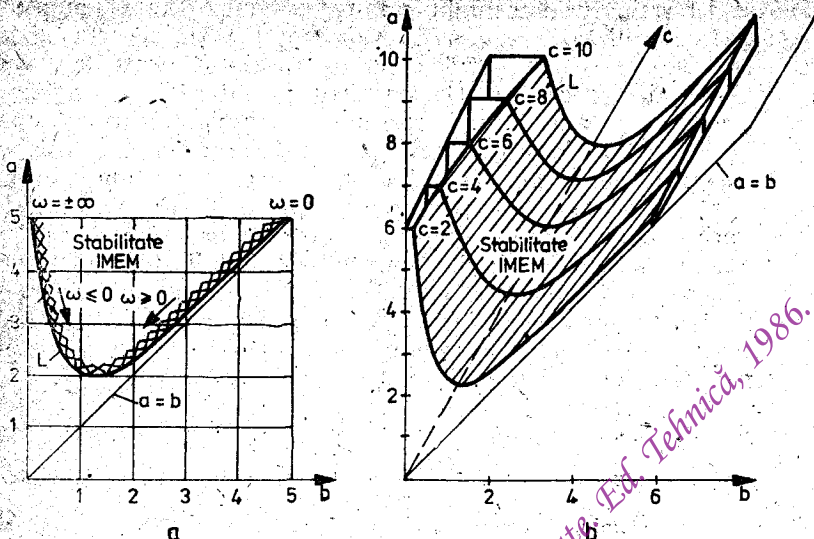


Fig. II.4. Domeniul parametric de stabilitate IMEM la exemplul 1.5:
a) $c = 2$, b) $c \in [2, 10]$

Domeniul parametric de stabilitate IMEM este ușor de determinat deoarece utilizând (1.3) rezultă $a + b > 0$ și $a - b > 0$.

Dacă ne interesează și influența coeficientului $c > 0$, se ține seama la determinarea domeniului de stabilitate și de al treilea parametru. După calcule similare cu cele mai de sus se obține ecuația suprafeței limite, de forma

$$a = b + \frac{c}{2b}, \quad a > 0, \quad b > 0, \quad c > 0,$$

a cărei reprezentare grafică este dată, în perspectivă, în fig. II.4, b.

După cum s-a arătat la I.6.4.2, gradul de stabilitate și rezerva de stabilitate au o importanță deosebită pentru funcționarea normală a unui sistem automat. Este de la sine înțeles că la alegerea parametrilor unui sistem trebuie să se considere și acest punct de vedere. De aceea este foarte indicat să se facă o parametrizare, în funcție de rezerva de stabilitate $\alpha_{min} \geq 0$, a curbelor din planul (a, b) . Aceste curbe nu mai sunt o imagine a axei imaginare din planul $s = -\alpha_{min}$ din respectivul plan. Si în acest caz se poate aplica descompunerea și anume polinomului $\Delta(s - \alpha_{min}; a, b)$. Vom ilustra modul de rezolvare a unei astfel de probleme cu ajutorul următorului exemplu.

Exemplul 1.6. Fie sistemul automat cu polinomul polilor

$$\Delta(s) = s^3 + as^2 + bs + 1.$$

Se cere să se determine domeniile parametrice corespunzătoare rezervelor de stabilitate $\alpha_{min} = 0$, $\alpha_{min} = 0,2$ și $\alpha_{min} = 0,4$.

Pentru $s = j\omega$ din $\Delta(s - \alpha_{min}; a, b) = 0$, procedind ca la exemplul 1.5 se obțin ecuațiile

$$\left\{ \begin{array}{l} a = \frac{2\alpha_{min}^3 + 2\alpha_{min}\omega^2 + 1}{\omega^2 + \alpha_{min}^2} \\ b = \frac{2\alpha_{min} + (\omega^2 + \alpha_{min}^2)}{\omega^2 + \alpha_{min}^2}, \quad \omega \in \mathbb{R}, \end{array} \right.$$

la care se adaugă dreapta singulară

$$b = \frac{1}{\alpha_{min}} - \alpha_{min}^2 + \alpha_{min}a; \quad \alpha_{min} \neq 0.$$

Aceasta se obține prin anularea termenului liber al polinomului $\Delta(j\omega - \alpha_{min}; a, b)$.

Imaginea grafică a domeniilor cerute este redată în fig. II.5. Este vizibil faptul că pe măsură ce rezerva de stabilitate crește domeniul parametric corespunzător se micșorează.

1.1.5. Invarianța proprietății Hurwitz

Într-o mare varietate de aplicații, proiectarea sistemelor automate se bazează pe cunoașterea modelului matematic. Este posibil ca în unele situații valorile reale ale coeficienților polinomului caracteristic sau ale polinomului polilor să difere datorită erorilor de determinare, de cele ale modelului matematic. De exemplu, dacă la determinarea experimentală a elementelor matricii A a sistemului erorile relative de apreciere se situează în zona de toleranță de $\pm 10\%$ atunci unii dintre coeficienții polinomului caracteristic corespunzător pot fi afectați de erori relative mai mari ca 100% . În consecință este de mare interes de a determina intervalele maxime, centrate pe valorile nominale, de variație a coeficienților unui polinom pentru care acesta își conservă proprietatea de a fi hurwitzian. [B3].

Se consideră polinomul (1.2) hurwitzian. Pentru a evidenția maniera diferită de perturbare a coeficienților α_i , $i = 1, 2, \dots, n$, se consideră o mulțime de ponderi nenegative p_i, \bar{p}_i , $i = 1, 2, \dots, n$. În aceste condiții se pot defini variațiile admisibile ale coeficienților după cum urmează.

Pentru orice $\epsilon > 0$, polinomul

$$\Delta_\epsilon(s) = s^n + \beta_1 s^{n-1} + \dots + \beta_{n-1} s + \beta_n, \quad s \in \mathbb{C}, \quad (1.35)$$

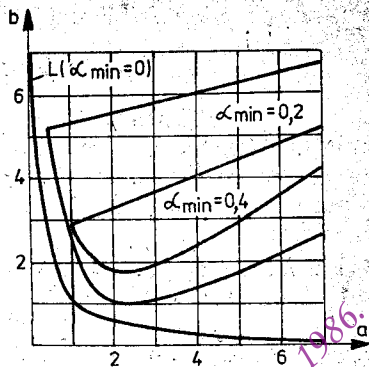


Fig. II.5. Domenii parametrice pentru diferite rezerve de stabilitate la exemplul 1.6.

131

se numește ϵ -admisibil dacă coeficienții β_i satisfac condițiile

$$\alpha_i - p_i \epsilon < \beta_i < \alpha_i + \bar{p}_i \epsilon, \quad i = 1, 2 \dots, n. \quad (1.36)$$

Fie P_ϵ mulțimea tuturor polinoamelor ϵ -admisibile asociate polinomului $\Delta(s)$. Se caută cea mai mare valoare a lui ϵ , adică ϵ_{max} , pentru care toate polinoamele din P_ϵ sunt hurwitziene. În aceste condiții valoarea ϵ_{max} poate fi considerată ca o măsură a robustății sistemului respectiv.

Fie $H_n(\beta_n, \beta_{n-1}, \dots, \beta_1)$ matricea Hurwitz asociată polinomului $\Delta_\epsilon(s)$. Se definesc matricile

$$Q_1(\epsilon) = H_n(\alpha_n + \bar{p}_n \epsilon, \alpha_{n-1} + \bar{p}_{n-1} \epsilon, \alpha_{n-2} - \bar{p}_{n-2} \epsilon, \alpha_{n-3} - \bar{p}_{n-3} \epsilon, \alpha_{n-4} + \bar{p}_{n-4} \epsilon, \alpha_{n-5} + \bar{p}_{n-5} \epsilon, \alpha_{n-6} - \bar{p}_{n-6} \epsilon, \alpha_{n-7} - \bar{p}_{n-7} \epsilon, \dots), \quad (1.37)$$

$$Q_2(\epsilon) = H_n(\alpha_n - \bar{p}_n \epsilon, \alpha_{n-1} - \bar{p}_{n-1} \epsilon, \alpha_{n-2} + \bar{p}_{n-2} \epsilon, \alpha_{n-3} + \bar{p}_{n-3} \epsilon, \alpha_{n-4} - \bar{p}_{n-4} \epsilon, \alpha_{n-5} - \bar{p}_{n-5} \epsilon, \alpha_{n-6} + \bar{p}_{n-6} \epsilon, \alpha_{n-7} + \bar{p}_{n-7} \epsilon, \dots), \quad (1.38)$$

$$Q_3(\epsilon) = H_n(\alpha_n - \bar{p}_n \epsilon, \alpha_{n-1} + \bar{p}_{n-1} \epsilon, \alpha_{n-2} + \bar{p}_{n-2} \epsilon, \alpha_{n-3} - \bar{p}_{n-3} \epsilon, \alpha_{n-4} - \bar{p}_{n-4} \epsilon, \alpha_{n-5} + \bar{p}_{n-5} \epsilon, \alpha_{n-6} + \bar{p}_{n-6} \epsilon, \alpha_{n-7} - \bar{p}_{n-7} \epsilon, \dots), \quad (1.39)$$

$$Q_4(\epsilon) = H_n(\alpha_n + \bar{p}_n \epsilon, \alpha_{n-1} - \bar{p}_{n-1} \epsilon, \alpha_{n-2} - \bar{p}_{n-2} \epsilon, \alpha_{n-3} + \bar{p}_{n-3} \epsilon, \alpha_{n-4} + \bar{p}_{n-4} \epsilon, \alpha_{n-5} - \bar{p}_{n-5} \epsilon, \alpha_{n-6} - \bar{p}_{n-6} \epsilon, \alpha_{n-7} + \bar{p}_{n-7} \epsilon, \dots). \quad (1.40)$$

Se notează cu $q_{ij}(\epsilon)$ minorul principal diagonal de ordinul j al matricii $Q_i(\epsilon)$ și cu

$$\epsilon_i^* = \min \{ \epsilon \geq 0 ; \text{ există } j \leq n \text{ cu } q_{ij}(\epsilon) \leq 0 \}. \quad (1.41)$$

În aceste condiții $\epsilon_{max} = \min \{ \epsilon_1^*, \epsilon_2^*, \epsilon_3^*, \epsilon_4^* \}$. Pentru demonstrația acestei afirmații se poate consulta [B3].

Exemplul 1.7. [B 3]: Fie un sistem automat cu polinomul caracteristic

$$\Delta(s) = s^4 + 5s^3 + 8s^2 + 8s + 3,$$

în care coeficienții sunt afectați de erori în mod uniform (adică $p_i = \bar{p}_i = 1$, $i = 1, 2, 3, 4$). Se cere să se determine ϵ_{max} .

În conformitate cu (1.37) – (1.40) putem scrie

$$Q_1(\epsilon) = \begin{bmatrix} 5-\epsilon & 1 & 0 & 0 \\ 8+\epsilon & 8-\epsilon & 5-\epsilon & 1 \\ 0 & 3+\epsilon & 8+\epsilon & 8-\epsilon \\ 0 & 0 & 0 & 3+\epsilon \end{bmatrix},$$

$$Q_2(\varepsilon) = \begin{bmatrix} 5 + \varepsilon & 1 & 0 & 0 \\ 8 - \varepsilon & 8 + \varepsilon & 5 + \varepsilon & 1 \\ 0 & 3 - \varepsilon & 8 - \varepsilon & 8 + \varepsilon \\ 0 & 0 & 0 & 3 - \varepsilon \end{bmatrix}$$

$$Q_3(\varepsilon) = \begin{bmatrix} 5 - \varepsilon & 1 & 0 & 0 \\ 8 + \varepsilon & 8 + \varepsilon & 5 - \varepsilon & 1 \\ 0 & 3 - \varepsilon & 8 + \varepsilon & 8 + \varepsilon \\ 0 & 0 & 0 & 3 - \varepsilon \end{bmatrix}$$

$$Q_4(\varepsilon) = \begin{bmatrix} 5 + \varepsilon & 1 & 0 & 0 \\ 8 - \varepsilon & 8 - \varepsilon & 5 + \varepsilon & 1 \\ 0 & 3 + \varepsilon & 8 - \varepsilon & 8 - \varepsilon \\ 0 & 0 & 0 & 3 + \varepsilon \end{bmatrix}.$$

Condițiile de pozitivitate a minorilor principali diagonali ai matricilor $Q_i(\varepsilon)$, $i = 1, 2, 3, 4$, conduc la următoarele inegalități

$$Q_1(\varepsilon): \quad \varepsilon < 5, \quad \varepsilon < 8, \quad \varepsilon^2 - 75\varepsilon + 181 > 0,$$

$$Q_2(\varepsilon): \quad \varepsilon < 3, \quad \varepsilon < 8, \quad \varepsilon^2 + 75\varepsilon + 181 > 0,$$

$$Q_3(\varepsilon): \quad \varepsilon < 3, \quad \varepsilon < 5, \quad -25\varepsilon^2 + 55\varepsilon + 181 > 0,$$

$$Q_4(\varepsilon): \quad \varepsilon < 8, \quad -25\varepsilon^2 - 55\varepsilon + 181 > 0.$$

Utilizând acum condiția (1.41) se obțin $\varepsilon_1 \approx 2,5$, $\varepsilon_2^* = 3$, $\varepsilon_3^* = 3$, $\varepsilon_4^* \approx 1,81$. Așadar $\varepsilon_{max} \approx 1,81$.

1.1.6. Stabilitatea structurală a sistemelor automate

La I.6.4.2 s-a definit noțiunea de stabilitate structurală. În opoziție cu această proprietate, se spune că un sistem este *structural instabil* dacă el este instabil pentru orice valori admisibile ale parametrilor săi. Spre deosebire de cazul sistemelor structural instabile, un sistem structural stabil are proprietatea că domeniul său parametric de stabilitate (asimptotică sau IMEM) nu este vid.

În precedentele două paragrafe s-a arătat modul în care se poate determina domeniul parametric de stabilitate al unui sistem oarecare. După cum s-a văzut, rezolvarea acestei probleme pentru sisteme de ordin superior și pentru un număr ridicat de parametri implică un efort de calcul considerabil. Este important în atare situații, înainte de orice calcule, să ne punem, în mod natural întrebarea dacă sistemul analizat poate fi structural stabil, respectiv dacă admite un domeniu parametric

de stabilitate nevid. Un răspuns efectiv la această întrebare este semnificativ în special pentru proiectantul de sisteme automate, deoarece, după cum se va vedea mai departe acesta poate constitui un ghid util în alegerea tipului de regulator care asigură stabilitatea structurală a sistemului automat.

Pentru un sistem automat monovariabil (cu o mărime prescrisă, o mărime reglată și eventual o perturbație), primul pas în rezolvarea temei de proiectare constă în alegerea *dispozitivului de reglare*, format dintr-un traductor, un element de prescriere, un comparator, un regulator, și un *element de execuție* — fig. II.6, a. Tipul de traductor și elementul de execuție se aleg în funcție de instalația automatizată (v. și exemplele de la I.1.4.7 și I.1.4.8). În ceea ce privește alegerea regulatorului, experiența acumulată, pînă în prezent indică pentru fiecare temă de proiectare, în funcție de nivelul tehnic atins, tipurile cele mai potrivite de reglatoare. Problema esențială care rămîne de rezolvat este aceea a alegerii parametrilor de acordare ai regulatorului astfel încît sistemul automat să realizeze performanțele impuse.

În mod obișnuit traductorul nu introduce întîrzieri, astfel că funcționarea sa se caracterizează printr-o funcție de transfer egală cu o constantă (sensibilitatea trădicatorului). În aceste condiții respectiva constantă, ca și funcția de transfer a elementului de execuție, se includ în ceea ce s-a numit *partea fixată a sistemului*. Se ajunge astfel la schema bloc structurală standard din fig. II.6, b (evident y și w diferă numai prin dimensiuni în comparație cu omologele lor din fig. II.6, a).

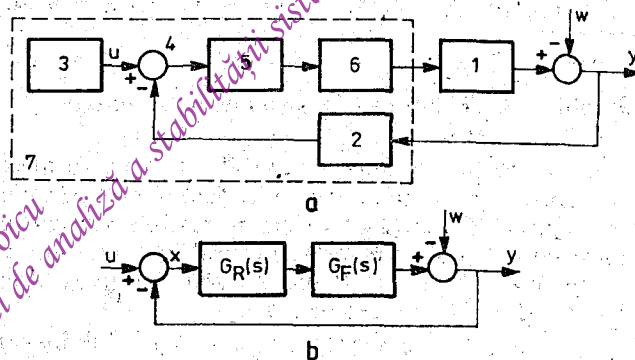


Fig. II.6. a — Structura unui sistem automat monovariabil: u — mărimea prescrisă; y — mărimea reglată; w — perturbație; 1 — instalația automatizată; 2 — traductorul; 3 — elementul de prescriere; 4 — comparatorul; 5 — regulatorul (eventual include 3 și 4); 6 — elementul de execuție; 7 — dispozitivul de automatizare. b — Schema bloc structurală standard a unui sistem automat continuu în timp: F — partea fixată; R — regulatorul.

Relația intrare-iesire, conform schemei din fig. II.6, b, are expresia

$$Y(s) = G_0(s) U(s) - G_{0w}(s) W(s), \quad (1.42)$$

în care

$$G_0(s) = \frac{G(s)}{1 + G(s)}, \quad (1.43)$$

este funcția de transfer a sistemului închis în raport cu mărimea prescrisă;

$$G_{0w}(s) = \frac{1}{1 + G(s)}, \quad (1.44)$$

este funcția de transfer a sistemului închis în raport cu perturbație și

$$G(s) = G_R(s) G_F(s) \quad (1.45)$$

este funcția de transfer a sistemului deschis.

Examinind expresiile (1.43) și (1.44) se desprinde concluzia că stabilitatea IMEM a sistemului, atât în raport cu $U(s)$ cît și cu $W(s)$, depinde de repartiția în planul complex a rădăcinilor ecuației caracteristice intrare-iesire a sistemului automat

$$1 + G(s) = 0. \quad (1.46)$$

Fie

$$G(s) = K \frac{Q(s)}{P(s)}, \quad (1.47)$$

în care K este factorul de amplificare al sistemului deschis, $Q(s)$ — un polinom de grad $m \geq 0$ și $P(s)$ — un polinom de grad $n > m$. Se presupune că $P(s)$ și $Q(s)$ sunt relații prime între ele. Vom da în continuare, fără demonstrație, următorul rezultat privitor la stabilitatea structurală a unui sistem automat monovariabil, [A 3, 4].

Teorema 9 (Aizerman-Gantmacher). Fie $Q(s)$ hurwitzian și $P(s)$ cu factorizarea

$$P(s) = s^p \prod_1^q (a_i s^2 + 1) \prod_1^r (b_j s - 1) R(s), \quad (1.48)$$

unde $R(s)$ este un polinom hurwitzian de grad $n - p$, cu $p = p + 2q + r$, și $a_i > 0$, $i = 1, 2, \dots, q$, $b_j > 0$, $j = 1, 2, \dots, r$.

O condiție necesară și suficientă ca sistemul automat cu structura din fig. II.6, b și (1.47) să fie structural stabil (IMEM) este satisfacerea următoarelor inegalități:

$$1^\circ p + r \leq m + 1$$

$$2^\circ m, n \text{ și } q \text{ conform tabelului}$$

	$m = 0$	$m - \text{par}$	$m - \text{impar}$
$p - \text{par}$	$n > 2p$	$m + n > 2p - 1$	$m + n > 2(p - 1)$
$p - \text{impar}$	$n > 2(p - 1)$	$m + n > 2(p - 1)$	$m + n > 2p - 1$

Exemplul 1.8. Se consideră podul rulant din fig. I.7, cu modelul matematic (I.1.66), (I.1.67) și cu funcția de transfer (I.1.69). Utilizând un motor electric de curent continuu, prevăzut cu reglaj automat de turatie și un reductor mecanic adecvat, se cere să se determine tipul de regulator care asigură stabilitatea structurală (IMEM) a sistemului automat de poziționare a apucătorului.

Dacă se folosește pentru acționare un motor electric de curent continuu prevăzut cu reglaj automat de turatie și cu un reductor mecanic de turatie adecvat atunci acest ansamblu poate fi aproximat satisfăcător, [B4], [F1], prin funcția de transfer

$$G_M(s) = \frac{k_M}{T_M s + 1},$$

în care k_M și T_M sunt constante cunoscute.

Pentru măsurarea poziției apucătorului se folosesc un traductor de poziție cu care se măsoară poziția căruciorului și un traductor de unghi cu care se măsoară unghiul de oscilație al pendulului reprezentat de cablu și apucător. Acest ansamblu de traductoare furnizează un semnal electric, proporțional cu poziția apucătorului, care poate fi caracterizat prin factorul de sensibilitate k_t .

În aceste circumstanțe funcția de transfer a părții fixate a sistemului este

$$G_F(s) = k_t G_M(s) G_P(s) = \frac{k_t k_M k_P}{s^2(T_P^2 s^2 + 1)(T_M s + 1)},$$

în care $G_P(s)$ are expresia (I.1.69).

Vom alege, conform teoremei 9, tipul de regulator astfel încât sistemul cu reacție inversă negativă să fie structural stabil (IMEM). Se observă că $p = 2$, $q = 1$, $r = 0$ și $\rho = 4$.

Tinând seama de condiția 1° se obține $2 \leq m + 1$. Se alege $m = 1$. Conform condiției 2° rezultă $1 + n \geq 2(4 - 1)$. Se alege $n = 6$. Cum $G_F(s)$ este deja de ordinul 5 rezultă că funcția de transfer a regulatorului poate fi de forma

$$G_R(s) = \frac{\tau s + 1}{Ts + 1}, \quad \tau > 0, \quad T > 0.$$

Așind în vedere că parametrii k_P , k_M , k_t , T_P și T_M sunt date și că numai τ și T sunt acordabili, ne propunem să verificăm dacă regulatorul adoptat poate asigura stabilitatea structurală (IMEM) a sistemului automat. De exemplu pentru $m_c = 1000$ kg, $m_a = 4000$ kg, $l = 10$ m, $g = 10$ m/s², $k_M = 100$ N/V, $T_M = 1$ s și $k_t = 1$ V/m, funcția de transfer a sistemului deschis are forma

$$G(s) = G_R(s) G_F(s) = \frac{\tau s + 1}{Ts + 1} \cdot \frac{0,1}{s^5 + s^4 + 5s^3 + 5s^2}.$$

Polinomul polilor are expresia:

$$\Delta(s) = Ts^6 + (T+1)s^5 + (5T+1)s^4 + 5(T+1)s^3 + 5s^2 + 0,1\tau s + 0,1.$$

Aplicând schema Routh obținem

$$\begin{array}{l} T \quad \quad \quad 5T+1 \quad \quad \quad 5 \quad \quad \quad 0,1 \\ T+1 \quad \quad \quad 5(T+1) \quad \quad \quad 0,1\tau \\ 1 \quad \quad \quad 5 - \frac{0,1\tau T}{T+1} \quad \quad \quad 0,1 \\ 0,1\tau T \quad \quad \quad 0,1(\tau - T - 1) \\ a = 5 + \frac{T - \tau + 1}{T} - \frac{0,1\tau T}{T+1} \quad \quad \quad 0,1 \\ b = 0,1(\tau - T - 1) - \frac{0,01\tau T}{a}. \end{array}$$

Avind în vedere că este dificilă utilizarea condițiilor $a > 0$ și $b > 0$ pentru determinarea domeniului parametric de stabilitate IMEM vom apela la metoda descompunerii.

Înlocuind $s = j\omega$ în $\Delta(s) = 0$ și explicitând pe τ și T se obțin următoarele ecuații parametrice ale curbei limită:

$$\left\{ \begin{array}{l} \tau = -\frac{10}{\omega^2}(\omega^6 - 4\omega^4 - 5\omega^2 + 0,1), \\ T = \frac{\omega^4 - 5\omega^2 + 0,1}{\omega^4(\omega^2 - 5)}. \end{array} \right.$$

Întrucât trebuie să aibă loc și condițiile $\tau > 0$, $T > 0$, curba limită L se poate construi foarte ușor, fig. II.7.

1.1.7. Metoda locului rădăcinilor

Problema esențială care se rezolvă prin metoda locului rădăcinilor este aceea a determinării, sub formă grafică, a dependenței rădăcinilor ecuației caracteristice intrare-iesire (1.46) a sistemului automat cu structura din fig. II.6, b de factorul de proporționalitate k al sistemului deschis, în condițiile în care funcția de transfer are forma

$$G(s) = G_R(s)G_F(s) = k \frac{M(s)}{N(s)}. \quad (1.49)$$

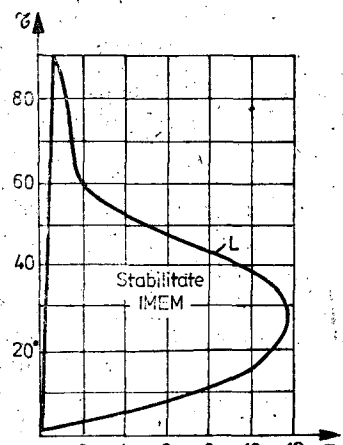


Fig. II.7. Domeniul parametric de stabilitate IMEM la exemplu 1.8.

Polinoamele $M(s)$ și $N(s)$ sunt relativ prime între ele și k este un parametru variabil.

În conformitate cu (1.46) și (1.49) rezultă polinomul polilor sistemului automat

$$\Delta(s) = N(s) + kM(s), \quad s \in \mathbb{C}. \quad (1.50)$$

Rezultatul pe care îl oferă metoda locului rădăcinilor este așa-numitul *loc al rădăcinilor*. Aceasta este locul geometric al zerourilor polinomului polilor $\Delta(s)$ (sau al rădăcinilor ecuației caracteristice intrare-iesire (1.46)) reprezentat grafic pentru $k \in \mathbb{R}_+$.

Exemplul 1.9. Se consideră un sistem automat de urmărire cu schema bloc structurală din fig. II. 6, b în care

$$G_R(s) = k_r, \quad G_F(s) = \frac{k}{s(Ts + 1)}.$$

Se cere să se determine locul rădăcinilor corespunzător acestui sistem.

Este ușor de văzut că ecuația caracteristică intrare-iesire a sistemului automat are forma

$$Ts^2 + s + k = 0, \quad k > k_{Mkr}.$$

Aceasta are rădăcinile

$$s_{1,2} = \begin{cases} \frac{-1 \pm \sqrt{1 - 4Tk}}{2T}, & 0 < k \leq \frac{1}{4T}, \\ \frac{-1 \pm j\sqrt{4Tk - 1}}{2T}, & k > \frac{1}{4T}. \end{cases}$$

Rezultă că pentru $k \in [0, 1/4T]$ locul rădăcinilor se află pe semiaxă reală negativă, cuprins între punctele $-1/T$ și 0 , iar pentru $(1/4T, +\infty)$ locul rădăcinilor este format de dreapta paralelă cu axa imaginară care trece prin punctul $(-1/2T, j0)$. Imaginea locului rădăcinilor este redată în fig. II.8. Cind parametrul k parcurge intervalul $[0, +\infty)$, locul rădăcinilor este parcurs în sensul indicat de săgeți.

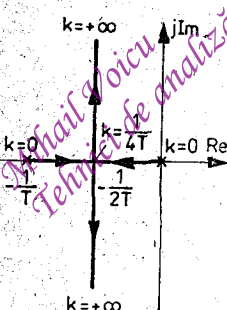
Privitor la stabilitate, fig. II.8 permite să se tragă concluzia că sistemul considerat este stabil IMEM pentru orice $k > 0$ și că gradul său de stabilitate nu poate fi mai mare ca $\alpha = 1/2T$, oricare ar fi $k > 0$.

Pentru a putea analiza proprietățile geometrice generale ale locului rădăcinilor vom presupune că $M(s)$ și $N(s)$ sunt factorizate după cum urmează:

$$M(s) = \prod_1^m (s - z_\alpha) \quad (1.51)$$

$$N(s) = \prod_1^n (s - p_\beta), \quad (1.52)$$

Fig. II.8. Locul rădăcinilor la exemplul 1.9.



cu $m \leq n$ și $z_\alpha \neq p_\beta$, $\alpha = 1, 2, \dots, m$, $\beta = 1, 2, \dots, n$, și cu mențiunea că z_α și p_β sunt reale sau complexe; dacă z_α (sau p_β) este complex atunci există și un \bar{z}_α (sau \bar{p}_β).

În aceste circumstanțe ecuația caracteristică intrare-ierire (1.46) are forma

$$k \frac{\prod_1^m (s - z_\alpha)}{\prod_1^n (s - p_\beta)} = -1, \quad s \in \mathbb{C}, \quad k \in \mathbb{R}_+. \quad (1.53)$$

Fie $s = Ae^{j\theta}$, $A \geq 0$, $\theta \in \mathbb{R}$ și z_α , p_β cunoscuți. Se pot defini următorii fazori

$$s - z_\alpha = A_{z_\alpha} e^{j\theta_{z_\alpha}}, \quad \alpha = 1, 2, \dots, m, \quad (1.54)$$

$$s - p_\beta = A_{p_\beta} e^{j\theta_{p_\beta}}, \quad \beta = 1, 2, \dots, n. \quad (1.55)$$

Înlocuind (1.54), (1.55) în (1.53) se obțin următoarele două ecuații:

$$k \frac{\prod_1^m A_{z_\alpha}}{\prod_1^n A_{p_\beta}} = 1, \quad k \in \mathbb{R}_+, \quad (1.56)$$

$$\sum_1^m \theta_{z_\alpha} - \sum_1^n \theta_{p_\beta} = (2i + 1)\pi, \quad i \in \mathbb{R}. \quad (1.57)$$

Proprietatea geometrică esențială a locului rădăcinilor este conținută de ecuația (1.57), care este independentă de k . Conform ecuației (1.57) se poate formula următorul enunț: *s aparține locului rădăcinilor dacă și numai dacă suma tuturor argumentelor fazorilor cu originea în zerourile lui $G(s)$ și virful în s minus suma tuturor argumentelor fazorilor cu originea în polii lui $G(s)$ și virful în s este un multplu impar de π .* Această afirmație sugerează o posibilitate de trasare grafică rapidă a locului rădăcinilor pentru orice $G(s)$, dat în forma (1.49) cu (1.51), (1.52). Ecuația (1.56) explicitată sub forma

$$k = \frac{\prod_1^n A_{p_\beta}}{\prod_1^m A_{z_\alpha}}, \quad (1.58)$$

este, în această situație, foarte utilă pentru parametrizarea locului rădăcinilor după valorile lui k .

Pentru aplicarea expeditivă a ecuației (1.53) la trăsarea locului rădăcinilor se utilizează următoarele zece reguli.

Regula 1. Pentru $k = 0$ rădăcinile ecuației (1.53) coincid cu polii lui $G(s)$, iar pentru $k = +\infty$, acestea coincid cu zerourile lui $G(s)$.

Intr-adevăr, eliminând numitorul în (1.53) și înlocuind $k = 0$ se obține $\prod_1^m (s - p_\beta) = 0$. De asemenea eliminând numitorul în (1.53), im-

părtind rezultatul prin k și făcind apoi $k \rightarrow +\infty$ se obține $\prod_1^m (s - z_\alpha) = 0$.

Din această regulă rezultă că pentru k crescător ramurile locului rădăcinilor pleacă din polii lui $G(s)$ și ajung în zerourile lui $G(s)$. După cum se știe, printre zerourile lui $G(s)$ se găsește și $|s| = +\infty$ ca zero de multiplicitate $n-m$. În consecință $n-m$ din ramurile locului rădăcinilor ajung în punctul de la infinit pentru $k = +\infty$.

Regula 2. Locul rădăcinilor este simetric față de axa reală a planului s .

Intr-adevăr, ecuația (1.53) este echivalentă cu o ecuație polinomială cu coeficienți reali, ceea ce înseamnă că pentru orice $k \in \mathbf{R}_+$, rădăcinile ei sunt reale sau complexe conjugate.

Regula 3. Un punct al axei reale aparține locului rădăcinilor dacă și numai dacă la dreapta sa, pe axa reală, se află un număr impar de zerouri și de poli ai lui $G(s)$, fiecare considerat cu ordinul său de multiplicitate.

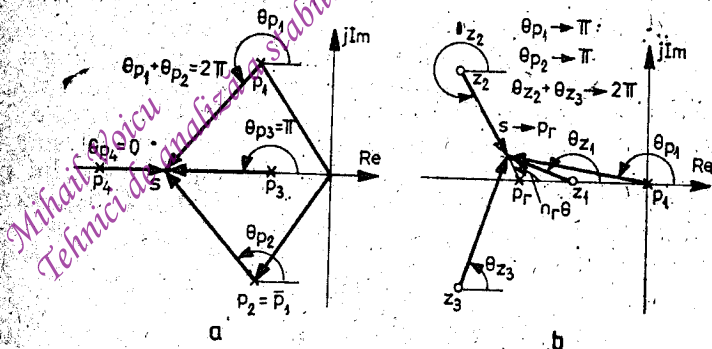


Fig. II.9. a — Locul rădăcinilor pe axa reală (regula 3);
b — Unghiul locului rădăcinilor la plecarea dintr-un pol real (regula 6).

Această regulă este o consecință directă a ecuației (1.57), fiind în fond o particularizare a ei pentru s situat pe axa reală. Dacă s , punct al locului rădăcinilor, este situat pe axa reală atunci contribuția în (1.57) a unei perechi de zerouri sau de poli complex conjugăți este 2π — fig. II.9,a. Dacă la dreapta (la stînga) lui s se află un zerou sau un pol atunci contribuția corespunzătoare în (1.57) este $\pi(0)$. Urmează că s , situat pe axa reală, aparține locului rădăcinilor exact atunci cînd numărul de zerouri și de poli de la dreapta lui s este impar, deoarece numai astfel condiția (1.57) poate fi satisfăcută.

Regula 4. Asimptotele celor $n-m > 0$ ramuri ale locului rădăcinilor care ajung în punctul de la infinit pentru $k = +\infty$, se intersecțează toate într-un punct al axei reale, numit *centru de greutate* al locului rădăcinilor, a cărui abscisă este

$$s_{cg} = \frac{1}{n-m} \left(\sum_1^n p_\beta - \sum_1^m z_\alpha \right), \quad n > m. \quad (1.59)$$

Direcțile celor $n-m$ asimptote sunt

$$\theta_k = \frac{2i+1}{n-m} \pi, \quad n > m, \quad i = 0, 1, \dots, n-m-1. \quad (1.60)$$

Pentru a justifica această regulă se scrie (1.53) sub forma

$$\frac{\prod_1^n (s - p_\beta)}{\prod_1^m (s - z_\alpha)} + k = 0, \quad n > m, \quad (1.61)$$

care pune în evidență faptul că pentru $k \rightarrow +\infty$ rezultă $|s| \rightarrow +\infty$.

Efectuind împărțirea în primul termen din (1.61), pentru k suficient de mare restul acestei împărțiri poate fi neglijat, astfel că (1.61) este satisfăcător aproximată de următoarea ecuație polinomială

$$s^{n-m} + \left(\sum_1^m z_\alpha - \sum_1^n p_\beta \right) s^{n-m-1} + \dots + k = 0, \quad n - m > 0. \quad (1.62)$$

Aceasta admite rădăcinile $s_i(k)$, $i = 1, 2, \dots, n-m$, al căror centru de greutate situat pe axa reală are abscisa

$$s_{cg} = \frac{1}{n-m} \sum_1^{n-m} s_i(k). \quad (1.63)$$

ținind seama de faptul că

$$\sum_1^{n-m} s_i(k) = - \left(\sum_1^m z_\alpha - \sum_1^n p_\beta \right), \quad (1.64)$$

din (1.63) rezultă imediat (1.59).

Pentru a demonstra relația (1.60) vom reține din (1.62), pentru k suficient de mare, numai primul și ultimul termen, adică

$$s^{n-m} + k = 0, \quad n > m, \quad (1.65)$$

din care rezultă

$$s_i(k) = k^{\frac{1}{n-m}} e^{\frac{2i+1}{n-m}\pi}, \quad i = 0, 1, \dots, n-m-1. \quad (1.66)$$

Pentru $k \rightarrow +\infty$ rezultă $|s_i(k)| \rightarrow +\infty$, dar cu argumentele specificate prin (1.60).

Regula 5. Dacă o porțiune a axei reale cuprinsă între două zerouri reale sau între doi poli reali ai lui $G(s)$ aparține locului rădăcinilor atunci pe ea se află două ramuri distincte care, pentru o anumită valoare a lui k , au un punct comun. Acesta corespunde unei rădăcini duble și se numește *punct de ramificare*. În cazul a doi poli reali, pentru k crescător, cele două ramuri părăsesc axa reală în punctul de ramificare. În cazul a două zerouri reale, pentru k crescător, cele două ramuri sănt continuarea pe axa reală a două ramuri care ajung pe ea în punctul de ramificare.

Abscisele x ale punctelor de ramificare sănt rădăcini ale ecuației

$$\sum_1^m \frac{1}{x - z_\alpha} - \sum_1^n \frac{1}{x - p_\beta} = 0, \quad x \in \mathbb{R}. \quad (1.67)$$

Această regula este o consecință a *reguli 1* și a *reguli 3*.

Pentru a ajunge la ecuația (1.67) se pornește de la faptul că ecuația $G(x) + 1 = 0$, unde x este abscisa punctului de ramificare, admite o rădăcină reală dublă, ceea ce implică $G'(x) = 0$. Din (1.49), cu (1.51), (1.52), prin logaritmare se obține

$$\ln G(x) = \ln k + \sum_1^m \ln(x - z_\alpha) - \sum_1^n \ln(x - p_\beta).$$

Derivînd această expresie și ținînd seama de $G(x) = -1$ și $G'(x) = 0$ se obține (1.67).

Este posibilă și existența unor puncte de ramificare complexe. Acestea se determină ca rădăcinii ale ecuației

$$\sum_1^m \frac{1}{s - z_\alpha} - \sum_1^n \frac{1}{s - p_\beta} = 0, \quad s \in \mathbb{C}. \quad (1.68)$$

În general, într-un punct de ramificare s_* intră r ramuri și ies r ramuri ale locului rădăcinilor. Valoarea lui r se determină din condițiile

$$G(s_*) + 1 = 0, \quad G'(s_*) = 0, \dots, \quad G^{(r-1)}(s_*) = 0, \quad G^{(r)}(s_*) \neq 0.$$

Regula 6. Dintr-un pol real, de multiplicitate n_r , al lui $G(s)$ pleacă exact n_r ramuri ale locului rădăcinilor. Unghiul dintre două ramuri alăturate este $2\pi/n_r$. Într-un zerou real, de multiplicitate m_r , al lui $G(s)$ ajung exact m_r ramuri ale locului rădăcinilor. Unghiul între două ramuri alăturate este $2\pi/m_r$.

Această regulă este o consecință a ecuației (1.57). Fie s un punct al locului rădăcinilor foarte apropiat de un pol real p_r , de multiplicitate n_r , al lui $G(s)$ — fig. II.9, b. Se știe că pentru $s \rightarrow p_r$, contribuția în (1.57) a zerourilor și polilor complex conjugați este un multiplu de 2π , în timp ce contribuția zerourilor și polilor reali este 0 pentru cei de la stânga și un multiplu de π pentru cei de la dreapta. Cum $n_r \theta$ este argumentul polului multiplu, rezultă că față de axa reală ramurile locului rădăcinilor care pleacă din p_r au fie unghiiurile $\theta_i = \frac{1}{n_r} 2i\pi$, $i = 0, 1, \dots, n_r - 1$, dacă numărul de zerouri și de poli reali de la dreapta este impar, fie $\theta_r = \frac{1}{n_r} (2i + 1)\pi$, $i = 0, 1, \dots, n_r - 1$, dacă respectivul număr este par. În ambele situații unghiul dintre două ramuri alăturate este $2\pi/n_r$.

Justificarea este asemănătoare pentru cazul unui zerou real multiplu al lui $G(s)$.

Regula 7. Dintr-un pol complex p_b , de multiplicitate n_b , pleacă exact n_b ramuri ale locului rădăcinilor sub unghiurile

$$\theta_{bi} = \frac{1}{n_b} \left[\sum_{\alpha=1}^m \arg(p_b - z_\alpha) - \sum_{\substack{\beta=1 \\ p_\beta \neq p_b}}^n \arg(p_b - p_\beta) - (2i + 1)\pi \right],$$

$$i = 0, 1, \dots, n_b - 1. \quad (1.69)$$

Într-un zerou complex z_α de multiplicitate m_α , al lui $G(s)$ intră exact m_α ramuri ale locului rădăcinilor sub unghiurile

$$\theta_{\alpha i} = -\frac{1}{m_\alpha} \left[\sum_{\substack{\beta=1 \\ z_\alpha \neq z_\beta}}^m \arg(z_\alpha - z_\beta) - \sum_{\beta=1}^n \arg(z_\alpha - p_\beta) - (2i+1)\pi \right].$$

$$i_\alpha = 0, 1, \dots, m_\alpha - 1. \quad (1.70)$$

Pentru demonstrație, care se bazează pe ecuația (1.57), se procedează ca la *regula 6*.

Regula 8. Dacă într-un punct de ramificare ajung r ramuri și din el pleacă r ramuri (în total $2r$ ramuri) atunci unghiul dintre două ramuri alăturate este π/r . În cazul unui punct de ramificare situat între doi poli reali sau între două zerouri reale avem $r = 2$, ceea ce înseamnă că unghiul dintre două ramuri alăturate este $\pi/2$.

Această regulă este o consecință imediată a ecuației (1.57). Demonstrația urmează după modelul de la *regula 6*.

Regula 9. Punctele de intersecție ale locului rădăcinilor cu axa imaginară și valoarea corespunzătoare a lui k se obțin prin rezolvarea ecuației

$$N(j\omega) + kM(j\omega) = 0, \quad \omega \in \mathbb{R}, \quad (1.71)$$

în care necunoscutele sunt ω și k .

Ecuația (1.71) s-a obținut din (1.50) înlocuindu-se $s = j\omega$.

O altă posibilitate de determinare mai întii a lui k și apoi a lui ω oferă schema Routh. Anulind elementele penultimei linii se obțin valorile lui k pentru care locul rădăcinilor intersectează axa imaginară. Dacă elementele antepenultimei linii sunt $a(k)$ și $b(k)$ atunci punctele de intersecție ale locului rădăcinilor cu axa imaginară sunt rădăcini ale ecuației

$$a(k)s^2 + b(k) = 0. \quad (1.72)$$

Regula 10. Locul rădăcinilor se parametrizează după valorile lui k cu ajutorul relației (1.58). În acest scop, pentru diverse puncte ale locului rădăcinilor, se măsoară direct pe grafic modulele A_{z_α} , $\alpha = 1, 2, \dots, m$, și A_{p_β} , $\beta = 1, 2, \dots, n$, și se înlocuiesc în (1.58), din care rezultă apoi valoarea lui k .

Exemplul 1.10. Se consideră problema de la *exemplul 1.9*, în care $G_F(s)$ este neschimbat și $G_R(s) = k_r(\tau s + 1)$ – un regulator PD (proporțional-derivativ). Se cere să se determine locul rădăcinilor sistemului automat de urmărire.

Funcția de transfer a sistemului deschis are forma

$$G(s) = k \frac{s + \frac{1}{\tau}}{s \left(s + \frac{1}{T} \right)}, \quad k = k_r k_M \frac{\tau}{T}.$$

Sistemul deschis are un zerou $z_1 = -1/\tau$ și doi poli $p_1 = 0$, $p_2 = -1/T$. O ramură a locului rădăcinilor ajunge în punctul de la infinit de-a lungul semiaxei reale negative.

Este necesar să se considere două cazuri.

a) $0 < \tau < T$, ceea ce înseamnă $z_1 < p_2$, fig. II. 10, a.

Segmentele dintre p_1 , p_2 și z_1 , $-\infty$ aparțin locului rădăcinilor. Pe fiecare segment se află cîte un punct de ramificare. Abscisele respective sunt rădăcini ale ecuației

$$\frac{1}{x + \frac{1}{\tau}} - \frac{1}{x} - \frac{1}{x + \frac{1}{T}} = 0.$$

Rezolvînd această ecuație se obține

$$p_1 < z_1 = -\frac{1}{\tau} + \sqrt{\frac{1}{\tau} \left(\frac{1}{\tau} - \frac{1}{T} \right)} < 0$$

$$x_2 = -\frac{1}{\tau} - \sqrt{\frac{1}{\tau} \left(\frac{1}{\tau} - \frac{1}{T} \right)} < z_1.$$

Unghiul dintre două ramuri succesive din x_1 sau din x_2 este $\pi/2$.

b) $\tau \geq T$, ceea ce înseamnă $p_2 \leq z_1 < p_1$, fig. II. 10, b.

Locul rădăcinilor este format numai din segmentele dintre p_1 , z_1 și p_2 , $-\infty$.

Comparînd acum rezultatul din fig. II. 8 cu cel din fig. II. 10 se trage concluzia că utilizarea în cadrul sistemului automat de urmărire a unui regulator PD poate avea un efect favorabil asupra gradului de stabilitate al sistemului, valoarea maximă posibilă a acestui grad fiind $|z_2|$ în cazul $\tau = T$, sau $1/\tau$ în cazul $\tau > T$ și nelimitată în cazul $\tau = T$.

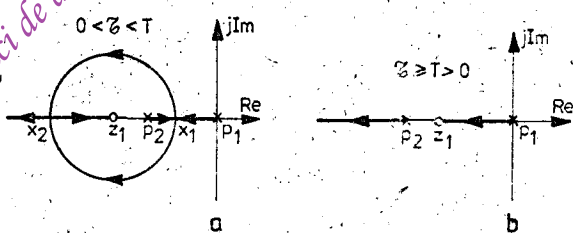


Fig. II. 10. Locul rădăcinilor la exemplul 1.10.

Exemplul 1.11. Se consideră problema de la *exemplul 1.8* cu un regulator

$$G_R(s) = k_r \frac{\tau s + 1}{Ts + 1}$$

și $G_F(s)$ neschimbat. Se știe, fig. II.7, că pentru $T = 2$, $\tau = 10$ și $k_r = 1$ sistemul automat de poziționare a apucătorului podului rulant este stabil IMEM. Se cere să se determine locul rădăcinilor acestui sistem.

Funcția de transfer a sistemului deschis are expresia

$$G(s) = G_R(s) G_F(s) = k \frac{s + 0,1}{s^2(s + 0,5)(s + 1)(s^2 + .5)}, \quad k = 0,5k_r.$$

Aveam $z_1 = -0,1$, $p_1 = p_2 = 0$, $p_3 = -0,5$, $p_4 = -1$, $p_{5,6} = \pm j\sqrt{5}$.

Numărul de ramuri la infinit este $n-m = 6-1 = 5$. Segmentele cuprinse între p_3 , z_1 și p_4 , $-\infty$ aparțin locului rădăcinilor.

Centrul de greutate al locului rădăcinilor are abscisa $-0,28$ și direcțiile celor cinci asimptote sunt $\theta_i = \pi(2i+1)/5$, $i = 0, \dots, 4$.

Din polul real dublu $p_1 = p_2 = 0$ pleacă două ramuri tangente la axa imaginară care tind la asimptotele cu $\theta_0 = 36^\circ$ și $\theta_4 = 324^\circ$. Din polii $p_5 = j\sqrt{5}$ și $p_6 = -j\sqrt{5}$, pleacă cîte o ramură respectiv sub unghiiurile $\theta_1 = 108^\circ$ și $\theta_3 = 252^\circ$. Locul rădăcinilor, cărui formă este dată în fig. II.11, nu are nici un punct de ramificare.

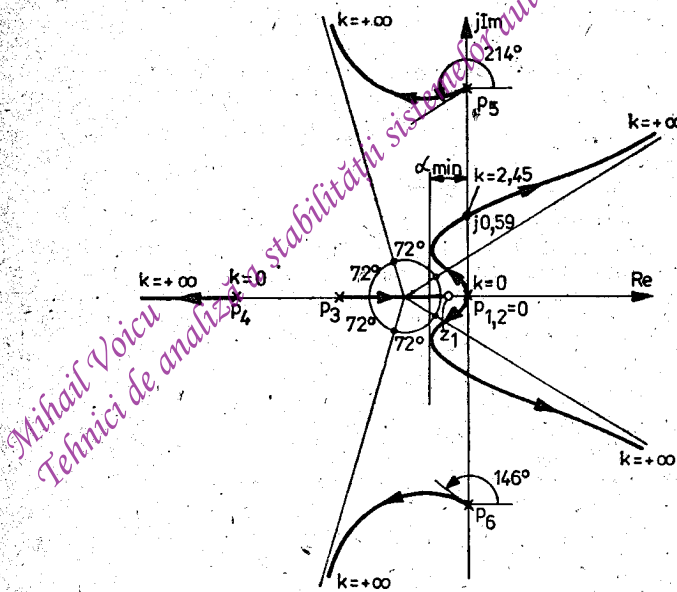


Fig. II.11. Locul rădăcinilor la *exemplul 1.11*.

Punctele de intersecție cu axa imaginara se determină cu ajutorul ecuației caracteristice intrare-iesire.

$$s^6 + 1,5 s^5 + 5,5 s^4 + 7,5 s^3 + 2,5 s^2 + ks + 0,1 k = 0,$$

în care se înlocuiește $s = j\omega$. După calcule elementare rezultă sistemul de ecuații

$$-\omega^6 + 5,5 \omega^4 - 2,5 \omega^2 + 0,1 k = 0$$

$$1,5 \omega^5 - 7,5 \omega^3 + k\omega = 0.$$

Rezolvând acest sistem se obțin soluțiile $k = 0$, $\omega = 0$, $\omega = \pm\sqrt{5}$ și $k = 2,45$, $\omega = \pm 0,59$. Întrucât $k = 0,5 k_r$ rezultă că sistemul automat de poziționare a apucătorului este stabil IMEM pentru $k_r \in (0, 4,9)$. Gradul de stabilitate IMEM nu poate depăși o anumită valoare α_{max} . Este vizibil că pentru $k_r > 4,9$ sistemul devine instabil, în primul rînd datorită faptului că locul rădăcinilor are două ramuri care penetrează în semiplanul drept. Acest inconvenient este legat de tipul de regulator utilizat. Dupa cum se va vedea la IV.2.1.3 prin utilizarea reacției după stare, este posibilă obținerea unui sistem automat de poziționare a apucătorului cu grad de stabilitate arbitrar.

1.1.8. Stabilizarea sistemelor automate

Prin vizuirea globală asupra dependenței zeroilor polinomului polilor de factorul de amplificare al sistemului deschis metoda locului rădăcinilor poate fi utilizată pentru stabilizarea IMEM a sistemelor automate monovariabile și, mai mult, se pot realiza performanțele impuse acestuia, privitoare la răspunsul său indicial.

Vom arăta în continuare, cu ajutorul unui exemplu, care este efectul introducerii unui zero, respectiv a unui pol suplimentar în funcția de transfer a sistemului deschis, asupra formei locului rădăcinilor.

Exemplul 1.12. Se consideră un sistem automat, cu schema din fig. II.6, b, în care

$$G(s) = G_R(s), G_F(s) = \frac{k}{s(s+2)(s+4)}.$$

Să se determine locul rădăcinilor și apoi să se studieze ce devine acesta dacă se introduce un zero, respectiv un pol suplimentar la -1 .

Aplicind regulile de trasare a locului rădăcinilor, pentru sistemul inițial locul rădăcinilor are imaginea din fig. II.12, a.

Prin introducerea unui zero la -1 în funcția de transfer a sistemului deschis aceasta devine

$$G(s) = \frac{k(s+1)}{s(s+2)(s+4)}.$$

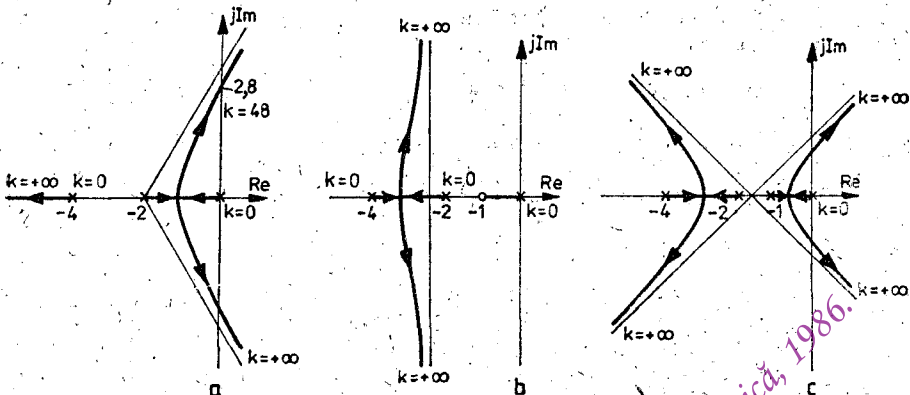


Fig. II. 12. Locul rădăcinilor la exemplul 1.12., (a); după introducerea unui zerou la -1 , (b) și după introducerea unui pol la -1 ; (c).

Locul rădăcinilor are forma din fig. II. 12, b. Se remarcă faptul că în acest fel s-a obținut un sistem automat stabil IMEM pentru orice $k \geq 0$. Aceasta se explică prin aceea că, pe de o parte, locul rădăcinilor s-a deplasat spre stînga (centrul de greutate s-a deplasat de la -2 la $-2,5$) și, pe de altă parte, prin reducerea numărului de ramuri care ajung în punctul de la infinit de la trei la două.

Trebuie să remarcăm faptul că nu orice zerou suplimentar are un astfel de efect. De exemplu dacă se introduce un zerou la -6 , abscisa centrului de greutate devine $s_{cg} = \frac{1}{2}(-2 - 4 + 6) = 0$, ceea ce este echivalent cu o deplasare spre dreapta a locului rădăcinilor. Dacă se introduce un zerou la stînga lui -6 , atunci $s_{cg} > 0$ și sistemul automat poate deveni instabil IMEM.

Prin introducerea unui pol la -1 în funcția de transfer a sistemului deschis, acesta devine

$$G(s) = \frac{k}{s(s+1)(s+2)(s+4)}$$

Locul rădăcinilor are forma din fig. II. 12, c. Se remarcă faptul că locul rădăcinilor se deplacează spre dreapta și că cresc numărul de ramuri care ajung în punctul de la infinit. Stabilitatea IMEM este influențată negativ, deoarece sistemul automat este acum stabil IMEM numai pentru $k \in (0, 14,5)$ (spre deosebire de situația inițială pentru care $k \in (0, 48)$).

Pentru a vedea cum se poate aplica metoda locului rădăcinilor în proiectarea sistemelor automate, vom face mai întîi unele precizări privitoare la modul în care trebuie formulată tema de proiectare și la etapele pe care le parcurge proiectantul în rezolvarea problemei stabilizării.

Prin tema de proiectare a unui sistem automat monovariabil trebuie să se precizeze întotdeauna următoarele date:

1° *Instalația tehnologică automatizată ca sistem* (ceea ce implică definirea mărimilor de intrare: comenzi și perturbații, a mărimilor de ieșire și a relațiilor dintre ele).

2° *Mărimile reglate*, adică acele mărimi ale instalației tehnologice care trebuie să aibă o evoluție prescrisă în conformitate cu anumite *mărimi prescrise* (constante sau variabile în timp).

3° *Performanțele* pe care trebuie să le realizeze sistemul automat în regim tranzitoriu și în regim staționar sau permanent, definite pe baza unor criterii de performanță (uzual se precizează anumite valori pentru indicatorii performanțelor definiți pe baza răspunsului indicial).

Pentru rezolvarea temei de proiectare se parcurg următoarele etape:

1° Se scriu ecuațiile care guvernează funcționarea părților componente ale sistemului și se determină schema bloc structurală a întregului sistem. Aceasta este baza procesului de proiectare. Se subîntellege că elementul de execuție și traductorul sunt determinate de însăși natură procesului automatizat.

2° Se analizează stabilitatea IMEM a sistemului automat (prevăzut cu tipul de regulator pe care experiența în domeniul 1-a impus ca fiind cel mai potrivit) și, eventual, se determină domeniul parametric de stabilitate.

3° Se realizează stabilizarea sistemului automat prin modificarea adecvată a parametrilor și, dacă este necesar, a structurii regulatorului, în scopul realizării performanțelor impuse.

Spre deosebire de alte metode de stabilizare a sistemelor automate liniare monovariabile, metoda locului rădăcinilor are avantajul esențial că permite să se țină seama de cerințe cantitative impuse răspunsului indicial al sistemului automat. Din punctul de vedere al stabilității IMEM răspunsului indicial se impun două condiții:

1° privitoare la suprareglarea σ , adică

$$\sigma \leq \sigma_{max}, \quad (1.73)$$

unde σ_{max} este suprareglarea maximă admisibilă, și

2° privitoare la durata t_s a regimului tranzitoriu, adică

$$t_s \leq t_{s\ max}, \quad (1.74)$$

unde $t_{s\ max}$ este durata maximă admisibilă a regimului tranzitoriu.

Vom presupune în cele ce urmează că sistemul automat poate fi caracterizat prin doi poli dominanți (v. I.6.4.3)

$$\lambda_{1,2} = \omega_n (-\zeta \pm j\sqrt{1-\zeta^2}), \quad 0 < \zeta < 1. \quad (1.75)$$

Intrucât suprareglarea σ depinde numai de factorul de amortizare ζ (v. fig. I.20) și că această dependență este de tip monoton descrescător, rezultă că (1.73) este echivalentă cu

$$\zeta \geq \zeta_{min}, \quad (1.76)$$

unde ζ_{min} este factorul de amortizare minim admisibil al polilor dominanți. Pentru $\zeta = \cos \Psi$, cu $-90^\circ < \Psi < 90^\circ$, condiția (1.76) este echivalentă cu

$$|\Psi| \leq \Psi_{max}, \quad (1.77)$$

unde Ψ_{max} definește sectorul maxim admisibil în care se pot afla polii dominanți ai sistemului, fig. II.13, conform condiției (1.73). Relația dintre Ψ_{max} și σ_{max} se poate stabili cu ajutorul relației dintre ζ_{min} și σ_{max} (v. relația I.6.81). După calcule elementare se obține

$$\cos \Psi_{max} = \frac{2,3 \lg \sigma_{max}}{\sqrt{9,86 + (2,3 \lg \sigma_{max})^2}}. \quad (1.78)$$

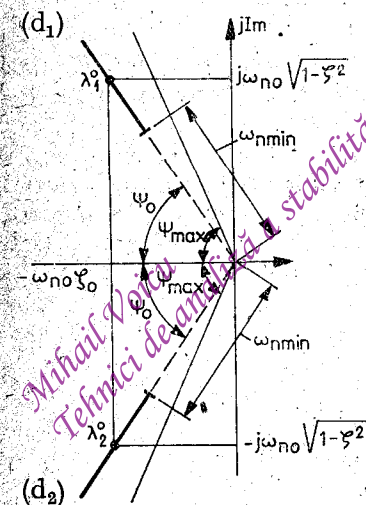


Fig. II.13. Poziția polilor dominanți care satisfac condițiile (1.73), (1.74).

Pentru realizarea unei rapidități cît mai mari a sistemului se alege soluția $\Psi_0 < \Psi_{max}$ (cu Ψ_0 cît mai apropiat de Ψ_{max} ; dacă dominantă polilor $\lambda_{1,2}$ are loc fără erori importante atunci se poate adopta $\Psi_0 = \Psi_{max}$), ceea ce corespunde la $\zeta_0 > \zeta_{min}$, fig. II.13 — semidreptele (d_1) și (d_2) .

Condiția (1.74) se ia în considerare cu ajutorul fig. I.20. Pentru ζ_0 deja adoptat se determină timpul de răspuns adimensional τ_{s0} . Timpul real de răspuns trebuie să satisfacă condiția

$$t_{s0} = \frac{\tau_{s0}}{\omega_{n0}} \leq t_{s,max} \quad (1.79)$$

unde ω_{n0} este pulsăția naturală corespunzătoare polilor dominanți, care se determină chiar din (1.79).

Se obține

$$\omega_{n0} \geq \frac{\tau_{s0}}{t_{smax}} = \omega_{nmin}, \quad (1.80)$$

unde ω_{nmin} este pulsăția naturală minimă admisibilă a polilor dominanți.

Întrucât $|\lambda_{1,2}| = \omega_n$ rezultă că ω_{n0} poate fi măsurat direct pe semidreptele (d_1) și (d_2) din fig. II.13. Conform condiției (1.80) polii dominanți adoptați

$$\lambda_{1,2}^0 = \omega_{n0}(-\zeta_0 \pm j\sqrt{1-\zeta_0^2}) \quad (1.81)$$

trebuie să se situeze pe porțiunile trasate cu linie continuă ale semidreptelor (d_1) și (d_2) . Valoarea lui ω_{n0} nu trebuie să fie totuși prea mare pentru ca polii (1.81) să nu-și piardă caracterul dominant.

Polii dominanți ai sistemului automat fiind stabiliți, se alege funcția de transfer a regulatorului, $G_R(s)$, astfel încit funcția de transfer a sistemului automat să poată fi caracterizat tocmai prin polii dominanți (1.81).

Vom ilustra cele de mai sus printr-un exemplu.

Exemplul 1.13. [F.1]. Se consideră un sistem automat cu

$$G_F(s) = \frac{12,5}{s(s+1)(s+2,5)}.$$

Se impun $\sigma_{max} \% = 17\%$ și $t_{smax} = 3s$.

Se cere să se determine funcția de transfer $G_R(s)$ a regulatorului care asigură realizarea performanțelor impuse.

Pentru $\sigma_{max} = 0,17$ din fig. I.20 și din (1.78) rezultă $\zeta_{min} \approx 0,5$ și $\Psi_{max} \approx 60^\circ$. Se adoptă $\zeta_0 = 0,5$ și $\Psi_0 = 60^\circ$. Din fig. I.20 se obține $\tau_{s0} = 6,25$ și conform condiției (1.80) în care $\omega_{nmin} = 6,25/3 \approx 2,1 s^{-1}$, se adoptă $\omega_{n0} = 2,2 s^{-1}$.

Așadar polii dominanți pe care ar trebui să-i aibă sistemul automat astfel încit condițiile impuse să fie satisfăcute sunt

$$\lambda_{1,2}^0 = 2,2 (-0,5 \pm j0,87).$$

Dacă se folosește un regulator P cu $G_R(s) = k_r$, atunci funcția de transfer a sistemului deschis are expresia

$$G(s) = \frac{k}{s(s+1)(s+2,5)}, \quad k = 12,5 k_r.$$

Locul rădăcinilor acestui sistem este reprezentat în fig. 14, a.

Se observă că oricare ar fi $k > 0$ sistemul automat nu poate avea poli în zonele admisibile AB și $A'B'$.

Stim de la exemplul 1.12 că dacă se introduc zerouri și/sau poli suplimentari în $G(s)$ locul rădăcinilor se deplasează spre stînga sau spre dreapta. În cazul de față este necesară o deplasare a locului rădăcinilor spre stînga, fără modificarea majoră a formei sale,

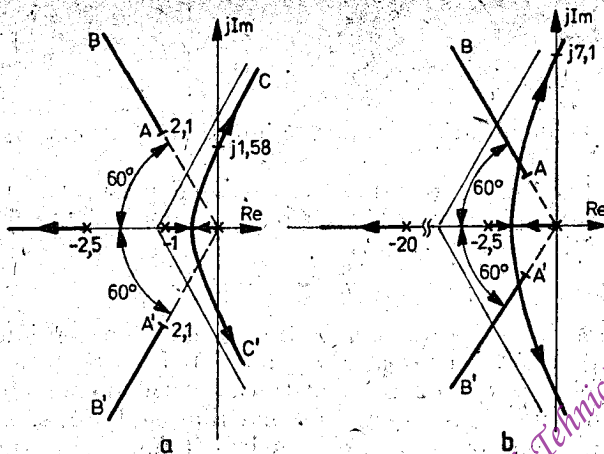


Fig. II.14. Locul rădăcinilor la exemplul 1.13, (a); după introducerea unui zero la -1 și a unui pol la -20 , (b).

astfel încit ramurile C și C' ale locului să intersecteze segmentele AB și respectiv $A'B'$, fig. II.14, a. Pentru aceasta este suficient să se introducă un zerou la -1 , care să compenseze polul -1 existent în $G_F(s)$ și un pol îndepărtat, de exemplu, la -20 , care să deplaseze suficient spre stînga locul rădăcinilor.

Așadar funcția de transfer a regulatorului este

$$G_R(s) = k \frac{s+1}{s+20},$$

unde k_r se va alege astfel încit sistemul automat să aibă polii dominantă $\lambda_{1,2}^0$.

În aceste condiții funcția de transfer a sistemului deschis este

$$G(s) = \frac{k}{s(s+2,5)(s+20)}, \quad k = 12,5 k_r,$$

și locul rădăcinilor corespunzătoare are forma din fig. II.14, b.

Pentru a fi siguri că locul rădăcinilor intersectează segmentele AB și $A'B'$ se rezolvă sistemul de ecuații

$$G(\alpha + j\beta) + 1 = 0$$

$$\beta = -\alpha \operatorname{tg} 60^\circ,$$

corespunzător intersecției dintre locul rădăcinilor și semidreapta OB . Se obține soluția $\alpha = -10/9$ și $\beta = 10\sqrt{3}/9$, ceea ce înseamnă $\omega_{n0} = \sqrt{\alpha^2 + \beta^2} = 2,2 \text{ s}^{-1}$, adică chiar valoarea adoptată a pulsării naturale corespunzătoare polilor dominantă. Valoarea lui k corespunzătoare respectivei intersecții se calculează cu relația $|G(\alpha + j\beta)| = 1$ din care se obține

$$k = |\alpha + j\beta| |\alpha + 2,5 + j\beta| |\alpha + 20 + j\beta| = 100.$$

Cum $k = 12,5 k_r$, rezultă $k_r = 8$.

O verificare prin simulare analogică sau numerică a soluției adoptate confirmă justitatea ei, în sensul că performanțele care se obțin sunt: $\sigma\% = 17\%$ și $t_s = 2,6$ s.

1.1.9. Aplicație: reglarea automată a unghiului polar al unui generator sincron

Unghiul polar al mașinii sincrone, care este definit ca decalajul unghiular dintre cimpul învărtitor rotoric și cimpul învărtitor statoric, depinde de valoarea curentului de excitație, de tensiunea la bornele și de puterea activă furnizată. În condiții normale de funcționare a mașinii sincrone ca generator, aceasta trebuie să furnizeze și o putere reactivă inductivă. Aceasta se obține prin supraexcitare, situație în care unghiul polar este relativ mic. Sunt posibile și regimuri în care generatorul trebuie să furnizeze putere reactivă capacitive. În acest caz excitația se reduce considerabil, ceea ce duce la creșterea unghiului polar. În lipsa unui reglaj automat adecvat, mașina sincronă funcționează stabil numai pînă la un unghi polar de 90° . Chiar dacă se păstrează o anumită rezervă față de această valoare, există pericolul că la acțiunea bruscă a unor perturbații (de exemplu variații ale puterii reactive absorbite de rețea), să se depășească limita de stabilitate și generatorul să iasă din sincronism. Acest inconvenient poate fi înălțat printr-o reglare automată a unghiului polar, care, nu numai că lărgeste domeniul de stabilitate pînă la 150° , dar asigură și o stabilizare a acesteia cu suprareglare admisibilă.

Schela bloc funcțională a sistemului automat de reglare a unghiului polar a unui generator sincron este reprezentată în fig. II.15, în care m_1 este momentul motor al turbinei; m_2 — momentul electromagnetic al generatorului; ω — viteza unghiulară; J — momentul de inerție rotoric al turbinei și generatorului; u_a — tensiunea la bornele generatorului; u_s — tensiunea proporțională cu unghiul polar δ , furnizată de traductorul de unghi polar; u_0 — tensiunea de prescriere a unghiului polar; u_1 — tensiunea de comandă a redresorului comandat și u_2, i_2 — tensiunea și curentul de excitație.

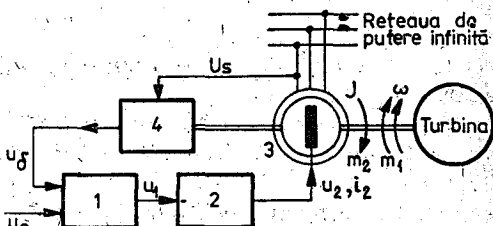


Fig. II.15. Schema bloc funcțională a sistemului de reglare automată a unghiului polar al unui generator sincron:

1 — regulator; 2 — redresorul comandat; 3 — generatorul sincron; 4 — traductorul de unghi polar.

Modelul matematic simplificat al generatorului sincron, în mărimi relative raportate la valorile lor nominale, [F1], este următorul

$$\frac{di_2}{dt} = c_2 \left(u_2 - i_2 + \frac{c_3}{\omega_n} \frac{d\delta}{dt} \sin \delta \right) \quad (1.82)$$

$$m_2 = c_1 i_2 \sin \delta \quad (1.83)$$

$$\frac{d^2\delta}{dt^2} = \omega_n c_4 (m_1 - m_2) - c_4 c_5 \frac{d\delta}{dt}, \quad (1.84)$$

în care

$$c_1 = \frac{p}{X_s}, \quad X_s = \omega_n L_s \frac{I_{sn}}{U_{sn}};$$

p este numărul de perechi de poli; X_s — reactanță relativă statorică; ω_n — viteza unghiulară nominală; L_s — inductivitatea statorică; U_{sn} și I_{sn} — valorile nominale ale tensiunii și curentului statoric;

$$c_2 = \frac{\omega_n}{\sigma X_r}, \quad X_r = \omega_n L_r \frac{I_{rn}}{U_{rn}}, \quad \sigma = 1 - \frac{M_{rs}}{L_r L_s};$$

X_r — reactanță relativă rotorică; σ — coeeficientul, de scăpare al cuplajului magnetic rotor-stator; L_r — inductivitatea rotorică; U_{rn} și I_{rn} — valorile nominale ale tensiunii și curentului rotoric; M_{rs} — inductivitatea mutuală rotor-stator;

$$c_3 = (1 - \sigma) X_r, \quad c_4 = \frac{\omega_n}{p T_p}, \quad T_p = \frac{2 J \omega_n^3}{3 U_{sn} I_{sn} p^2};$$

T_p — constanta de timp de pornire;

$$c_5 = \frac{\cos \varphi_n}{a_n};$$

$\cos \varphi_n$ — factorul de putere nominală și a_n — alunecarea în regim asincron la puterea nominală.

Ecuatiile (1.82), (1.83) sunt neliniare. Pentru a putea aplica tehniciile polinomiale vom liniariza aceste două ecuații în mai multe puncte de funcționare.

Pentru termenul neliniar $x = \delta \sin \delta$ putem scrie în mici abateri

$$\Delta x = \left(\frac{\partial x}{\partial \delta} \right)_0 \Delta \delta + \left(\frac{\partial x}{\partial \dot{\delta}} \right)_0 \Delta \dot{\delta} = \Delta \dot{\delta} \sin \delta_0, \quad (1.85)$$

deoarece $\dot{\delta}_0 = 0$.

Procedind asemănător pentru ecuația (1.83) obținem

$$\Delta m_2 = \left(\frac{\partial m_2}{\partial i_2} \right)_0 \Delta i_2 + \left(\frac{\partial m_2}{\partial \delta} \right)_0 \Delta \delta = c_1 (\Delta i_2 \sin \delta_0 + i_{20} \Delta \delta \cos \delta_0). \quad (1.86)$$

Înlocuind (1.85) în (1.82) și (1.83) cu (1.86), după calcule relativ simple care constau în aplicarea transformării Laplace și eliminarea transformatorilor mărimilor Δi_2 și Δm_2 , se obține ecuația

$$\mathcal{L}\{\Delta \delta\} = G_3(s) [-\mathcal{L}\{\Delta u_2\} + G_{31}(s) \mathcal{L}\{\Delta m_1\}], \quad (1.87)$$

în care

$$G_3(s) = \frac{k_3}{s^3 + a_1 s^2 + a_2 s + a_3}, \quad (1.88)$$

$$G_{31}(s) = k_{31}(s + b_1), \quad (1.89)$$

$$a_1 = c_2 + c_4 c_5, \quad a_2 = c_2 c_4 c_5 + c_1 c_2 c_3 c_4 \sin^2 \delta_0 + \omega_n c_1 c_4 i_{20} \cos \delta_0,$$

$$a_3 = \omega_n c_1 c_2 c_4 i_{20} \cos \delta_0, \quad k_3 = \omega_n c_1 c_2 c_4 \sin \delta_0, \quad b_1 = c_2,$$

$$k_{31} = 1/c_1 c_2 \sin \delta_0.$$

Având în vedere că redresorul comandat și traductorul de unghi polar sunt satisfăcător reprezentați prin funcțiile de transfer

$$G_2(s) = \frac{66,5}{s + 66,5}, \quad (1.90)$$

$$G_4(s) = \frac{100}{s + 100}, \quad (1.91)$$

rezultă că schema bloc structurală liniarizată a sistemului de reglare automată a unghiului polar are forma din fig. II.16. În această structură regulatorul $G_1(s)$ urmărează să se determine în condițiile în care $G_3(s)$

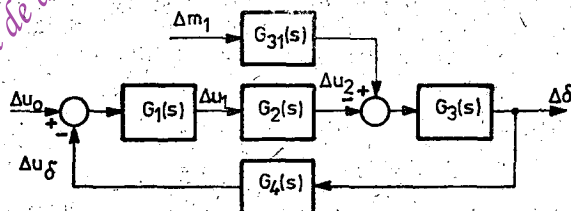


Fig. II.16. Schema bloc structurală liniarizată a sistemului de reglare automată a unghiului polar.

și $G_{31}(s)$ depind de punctul de funcționare al generatorului, în special de δ_0 și i_{20} . Acesta din urmă, conform cu (1.83), depinde de m_{10} prin relația

$$i_{20} = \frac{m_{20}}{c_1 \sin \delta_0} = \frac{m_{10}}{c_1 \sin \delta_0}.$$

Pentru un generator sincron caracterizat prin $p = 1$, $X_s = 1,7$, $\omega_n = 314 \text{ s}^{-1}$, $\sigma = 0,2$, $X_r = 1500$, $T_z = 2350 \text{ s}$, $\cos \varphi_n = 0,8$ și $a_n = 0,01$ și pentru punctele de funcționare $\delta_0 = 20^\circ$, $m_{10} = 0,8$; 60° , $0,2$; 90° , $0,2$; 120° , $0,2$, coeficienții și polii funcțiilor de transfer $G_3(s)$ și $G_{31}(s)$ au valorile din următorul tabel.

δ_0	m_{10}	i_{20}	a_1	a_2	a_3	k_3	b_1	G_{31}	p_1	p_2	p_3
20°	0,8	3,96	9,05	115,2	94	8,54	1,05	4,8	-0,87	$-4,52 + j9,72$	$-4,52 - j9,72$
60°	0,2	0,39	9,12	88,9	5,12	22,2	1,05	1,92	-0,071	$-4,55 + j8,26$	$-4,55 - j8,26$
90°	0,2	0,34	9,00	105,8	0	25,00	1,05	1,63	0	$-4,5 + j9,12$	$-4,5 - j9,12$
120°	0,2	0,39	9,12	79,7	-5,12	22,44	1,05	1,92	0,064	$-4,55 + j7,7$	$-4,55 - j7,7$

Din acest tabel este evident că odată cu creșterea lui δ_0 gradul de stabilitate IMEM a generatorului sincron se reduce. Pentru $\delta \geq 90^\circ$ acesta este instabil IMEM. Conform teoremei 9 este posibilă stabilizarea prin utilizarea unui regulator cu funcția de transfer

$$G_1(s) = k_1 \frac{s + b}{s + a}, \quad a \geq 0, \quad b > 0. \quad (1.92)$$

Exigențele legate de precizia sistemului automat în regim staționar impun ca regulatorul să aibă o comportare foarte apropiată de aceea a unui regulator PI (proporțional-integral). Acest lucru se obține pentru a apropiat de 0 și $b \gg a$, de exemplu pentru $a = 0,025$ și $b = 2,5$. În aceste condiții funcția de transfer a sistemului deschis, în $\delta_0 = 120^\circ$, $i_{20} = 0,2$, are expresia

$$G(s) = \frac{150 \cdot 822 k_1 (s + 2,5)}{(s + 0,025)(s + 66,5)(s + 100)(s - 0,062)(s^2 + 11,7s + 186,3)}. \quad (1.93)$$

Locul rădăcinilor, fig. II.17, are două puncte de ramificare, dintre care unul între polii $0,062$ și $-0,025$ și cinci ramuri care ajung în punctul de la infinit pentru $k = +\infty$. Impunând condiția ca rezerva de stabilitate să fie $\alpha_{min} = 1,5$ rezultă $k = 22,68$, $k_1 = (2 - 2,5) \cdot 10^4$, ceea ce înseamnă $k_1 \in [900, 1100]$. Din fig. II.17 se observă că pentru $k = 25\,000$ sistemul automat are două perechi de poli complex conjugați caracterizați prin $\Psi_0 = 60^\circ$, ceea ce înseamnă $\zeta = 0,5$. Așadar se poate adopta $k_1 = 1100$.

1.2. Sisteme discrete în timp

Tehnicile care se vor expune în continuare sunt aplicabile atât pentru studiul stabilității asimptotice, cit și pentru studiul stabilității IMEM. Conform teoremei 8 de la I.5 și teoremei 16 de la I.6 cele două tipuri de stabilitate depind de repartitia în planul complex a zero-urilor polinomului caracteristic, respectiv ale polinomului polilor, în raport cu cercul de rază unitate.

În scopul realizării unei tratări unitare a celor două tipuri de stabilitate vom începe expunerea cu o definiție și două teoreme care rezultă din aceasta și teorema 8 de la I.5 și respectiv teorema 16 de la I.6.

Definiția 2. Polinomul

$$\Delta(z) = a_n z^n + a_{n-1} z^{n-1} + \dots + a_1 z + a_0, \quad z \in \mathbb{C}, \quad (1.94)$$

cu $a_i \in \mathbb{R}$, $i = 0, 1, \dots, n$, și $a_0 > 0$, se numește convergent dacă toate zero-urile sale sunt situate în interiorul cercului $|z| = 1$.

Teorema 10. Sistemul dinamic (I.5.37) este asimptotic stabil dacă și numai dacă polinomul caracteristic al matricei A este convergent.

Teorema 11. Sistemul dinamic (I.6.82), (I.6.83) este stabil IMEM dacă și numai dacă polinomul polilor este convergent.

Ca și în cazul sistemelor continue vom demonstra mai întii o condiție necesară ca $\Delta(z)$ să fie convergent.

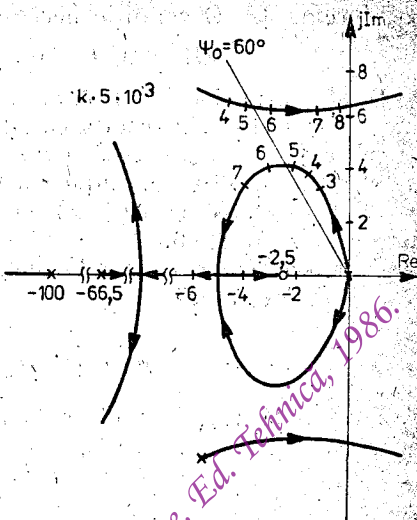


Fig. II.17. Locusul rădăcinilor sistemului de reglare automată a unghiului polar.

Teorema 12. O condiție necesară ca $\Delta(z)$ să fie convergent este ca

$$\Delta(1) > 0, \quad (-1)^n \Delta(-1) > 0, \quad a_0 > |a_n|. \quad (1.95)$$

D. Zerourile λ_i , $i = 1, 2, \dots, n$, ale polinomului $\Delta(z)$ satisfac condițiile $|\lambda_i| < 1$. De aici rezultă că $\Delta(z)$ -nu are nici un zerou pe axa reală pentru $x \leq -1$ și $x \geq 1$, ceea ce înseamnă că $\Delta(x)$ nu are nici o variație de semn respectiv în intervalele $(-\infty, -1]$ și $[1, +\infty)$. Așadar $(-1)^n \Delta(-\infty) > 0$ și $\Delta(+\infty) > 0$, ceea ce implică $(-1)^n \Delta(-1) > 0$ și respectiv $\Delta(1) > 0$.

Pentru a demonstra a treia inegalitate din (1.95) vom utiliza ultima formulă Viète, adică

$$\lambda_1 \lambda_2 \dots \lambda_n = (-1)^n \frac{a_n}{a_0}.$$

Trecind la valori absolute în această egalitate și ținând seama de faptul că $|\lambda_1| \cdot |\lambda_2| \cdot \dots \cdot |\lambda_n| < 1$ rezultă imediat și ceea ce a treia inegalitate.

1.2.1. Utilizarea transformării omografice

Există posibilitatea studierii stabilității asimptotice sau a celei IMEM a unui sistem discret în timp cu ajutorul tehniciilor polynomiale cunoscute de la sistemele continue în timp. În acest scop este necesară utilizarea unei transformări care stabilește o corespondență biunivocă între cercul de rază unitate din planul z și axa imaginară din planul s . O astfel de transformare este

$$s = \frac{z+1}{z-1}, \quad (1.96)$$

cunoscută sub numele de *transformarea omografică*.

Ea are proprietatea că transformă interiorul cercului unitate din planul z în semiplanul stîng din planul s .

Transformarea inversă are expresia

$$z = \frac{1-s}{1+s}. \quad (1.97)$$

Înlocuind (1.97) în (1.94) se obține

$$\tilde{\Delta}(s) = A_0 s^n + A_1 s^{n-1} + \dots + A_{n-1} s + A_n, \quad (1.98)$$

unde A_i , $i = 0, 1, 2, \dots, n$, sunt coeficienți determinabili. În virtutea proprietăților transformării omografice se poate enunța următorul rezultat.

Teorema 13. Polinomul $\Delta(z)$ este convergent dacă și numai dacă polinomul $\tilde{\Delta}(s)$ este hurwitzian.

Dacă este necesar să se tragă o concluzie privitoare la rezerva de stabilitate IMEM a unui sistem discret în timp atunci în $\Delta(z)$ se face schimbarea de variabilă $z \rightarrow rz$, $0 < r < 1$, ceea ce permite determinarea localizării zeroilor lui $\Delta(z)$ în raport cu cercul $|z| = r$. Rezerva de stabilitate se determină cu $\alpha_{\min} = 1 - r$.

1.2.2. Criteriul Schur-Cohn-Jury

Schur și Cohn au enunțat un criteriu de convergență a polinomului $\Delta(z)$, analog criteriului Hurwitz, care se bazează pe faptul că anumiți determinanți, ale căror elemente sunt coeficienții lui $\Delta(z)$, sunt pozitivi sau negativi, [F2].

Numărul acestor determinanți este $2n$. O simplificare importantă a fost introdusă de Jury [J 1], în sensul că numărul de determinanți necesari a fi calculați a fost redus la n . Vom da în continuare, fără demonstrație, acest rezultat.

Fie matricele

$$A_k = \begin{bmatrix} a_n & a_{n-1} & \cdots & a_{n-k+1} \\ 0 & a_n & \cdots & a_{n-k+2} \\ \vdots & \vdots & \ddots & \vdots \\ 0 & 0 & \cdots & a_n \end{bmatrix}, \quad B_k = \begin{bmatrix} a_{k-1} & \cdots & a_1 & a_0 \\ a_{k-2} & \cdots & a_0 & 0 \\ \vdots & \ddots & \vdots & \vdots \\ a_0 & \cdots & 0 & 0 \end{bmatrix} \quad (1.99)$$

și determinanții

$$c_k = \det(A_k + B_k), \quad d_k = \det(A_k - B_k), \quad k = 1, 2, \dots, n. \quad (1.100)$$

Teorema 14 (Schur-Cohn-Jury). O condiție necesară și suficientă ca polinomul $\Delta(z)$ să fie convergent este ca

$$c_2 \leq 0, \quad d_2 < 0, \quad c_4 > 0, \quad d_4 > 0, \quad c_6 < 0, \quad d_6 < 0, \dots, \quad (1.101)$$

pentru n par, și

$$c_1 > 0, \quad d_1 < 0, \quad c_3 < 0, \quad d_3 > 0, \quad c_5 > 0, \quad d_5 < 0, \dots, \quad (1.102)$$

pentru n impar.

Exemplul 1.14. Se consideră un sistem dinamic discret în timp al cărui polinom caracteristic este $\Delta(z) = z^2 + a_1z + a_2$. Să se determine în planul (a_1, a_2) domeniul parametric de stabilitate asimptotică și domeniile corespunzătoare situației zeroilor în interiorul cercurilor de raze $r = 0,8$, $r = 0,6$ și $r = 0,4$.

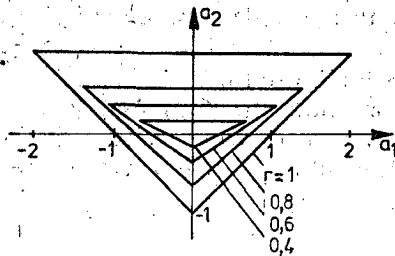


Fig. II. 18. Domenii parametrice pentru diferite rezerve de stabilitate la exemplul 1.14.

Pentru a găsi domeniul pentru care zerourile lui $\Delta(z)$ sunt situate în interiorul cercului $|z| = r$, $0 < r \leq 1$, vom face schimbarea de variabilă $z \rightarrow rz$. Se obține $\Delta(rz) = r^2 z^2 + ra_1 z + a_2$. Din condițiile $c_2 < 0$ și $d_2 < 0$ se obțin inecuațiile

$$\begin{cases} a_2 < 1 \\ a_2 > -a_1 - 1 \\ a_2 > a_1 - 1 \end{cases}$$

Domeniile corespunzătoare lui $r = 1$, $r = 0,8$, $r = 0,6$, $r = 0,4$ sunt reprezentate în fig. II. 18.

1.2.3. Criteriul Jury-Blanchard

Având în vedere dificultățile de calcul pe care le presupun condițiile (1.101) sau (1.102), s-au căutat rezultate echivalente mai simple, analoage criteriului Routh. Un astfel de rezultat a fost enunțat de Jury și Blanchard [J2], și reformulat apoi de alții autori în cîteva variante echivalente. Ideea de bază constă în construcția recursivă a unui sistem de polinoame care au toate același număr de zerouri în interiorul cercului $|z| = 1$. Rezultatul pe care se bazează procedeul de construcție este următorul.

Teorema 15 (Rouché). Fie $P(z)$ și $P_1(z)$ două polinoame care pentru $|z| = 1$ satisfac inegalitatea $|P(z)| > |P_1(z)|$. Atunci $P(z)$ și $P(z) + P_1(z)$ au același număr de zerouri în interiorul cercului $|z| = 1$.

D. Fie polinomul $Q(z) = P(z) + \epsilon P_1(z)$, cu $0 \leq \epsilon \leq 1$, ale cărui zerouri sunt funcții continue de ϵ . Pentru ϵ luind valori de la 0 la 1 aceste zerouri pleacă din zerourile lui $P(z)$ și ajung în cele ale lui $P(z) + P_1(z)$.

Pentru nici o valoare a lui ϵ nu există un zerou pe cercul $|z| = 1$, deoarece pe acesta ar avea loc $P(z) = -\epsilon P_1(z)$, adică $|P(z)| \leq |P_1(z)|$, ceea ce ar contrazice ipoteza. În aceste condiții pentru ϵ cresător de la 0 la 1, fiecare zerou al lui $P(z)$ situat în interiorul cercului $|z| = 1$ se deplasează spre un zerou al lui $P(z) + P_1(z)$ și în acest proces nu se poate ajunge pe cercul $|z| = 1$. Așadar, fiecărui zerou al lui $P(z)$ din interiorul cercului $|z| = 1$ îi corespunde un zerou al lui $P(z) + P_1(z)$ situat în interiorul același cerc. Întrucât pentru ϵ luând valori de la 1 la 0 are loc și implicația inversă, rezultă că teorema este adevărată. ■

Fie polinomul

$$D(z) = z^n \Delta\left(\frac{1}{z}\right) = a_n z^n + a_{n-1} z^{n-1} + \dots + a_1 z + a_0, \quad (1.103)$$

numit *polinomul transpus* al polinomului $\Delta(z)$, relația (1.94).

Cu polinoamele $\Delta(z)$ și $D(z)$ se construiește polinomul

$$\Delta_1(z) = a_0 \Delta(z) - a_n D(z) = b_0 z^n + b_1 z^{n-1} + \dots + b_{n-1} z, \quad (1.104)$$

unde

$$b_i = a_0 a_i - a_n a_{n-i}, \quad i = 0, 1, \dots, n-1.$$

Teorema 16. Polinomul $\Delta(z)$ este convergent dacă și numai dacă $a_0 > |a_n|$ și $\Delta_1(z)$ este convergent.

D. Polinomul $\Delta_1(z)$ poate fi exprimat și sub forma $\Delta_1(z, \epsilon) = a_0 [\Delta(z) - \epsilon D(z)]$, unde $\epsilon = a_n/a_0$. În orice punct al cercului $|z| = 1$ are loc $1/z = \bar{z}$ și deci $|D(z)| = |\Delta(\bar{z})| = |\bar{\Delta}(z)| = |\Delta(z)|$. Rezultă că pentru $|z| = 1$ are loc evaluarea

$$|\epsilon D(z)| = |\epsilon| |D(z)| = |\epsilon| |\Delta(z)|. \quad (1.105)$$

Suficiență. Întrucât $a_0 > |a_n|$ rezultă că $0 < |\epsilon| < 1$ și, din (1.105), obținem $|\epsilon D(z)| < \Delta(z)$. Dacă $\Delta_1(z)$ este convergent atunci, conform teoremei 12, $\Delta(z)$ este convergent.

Necesitatea. Dacă $\Delta(z)$ este convergent atunci, conform teoremei 12, $a_0 > |a_n|$ și $0 < |\epsilon| \leq 1$, respectiv $|\epsilon D(z)| < \Delta(z)$. În virtutea teoremei 15 $\Delta_1(z)$ este convergent. ■

Rezultatul precedent permite construcția recursivă a unui sistem de polinoame $\bar{\Delta}(z)$, $\Delta_1(z)$, $\Delta_2(z)$, ..., toate de gradul n , unde $\Delta_2(z)$ se

obține din $\Delta_1(z)$ așa cum $\Delta_1(z)$ s-a obținut din $\Delta(z)$ și.a.m.d. Coeficienții acestor polinoame se calculează conform schemei Jury-Blanchard:

	z^n	z^{n-1}	z^{n-2}	z^{n-i}	z^{n-t}	z^0
$\Delta(z)$	a_0	a_1	a_2	\dots	a_{n-i}	a_n
$D(z)$	a_n	a_{n-1}	a_{n-2}	\dots	a_i	a_0
$\Delta_1(z)$	b_0	b_1	b_2	\dots	b_{n-j-1}	b_{n-i}
$D_1(z)$	b_{n-1}	b_{n-2}	b_{n-3}	\dots	b_j	b_0
$\Delta_2(z)$	c_0	c_1	c_2	\dots		c_{n-2}
$D_2(z)$	c_{n-2}	c_{n-3}	c_{n-4}	\dots		c_0
$\Delta_{n-2}(z)$	e_0	e_1	e_2	\dots		
$D_{n-2}(z)$	e_2	e_1	e_0	\dots		
$\Delta_{n-1}(z)$	f_0	f_1	\dots			
$D_{n-1}(z)$	f_1	f_0	\dots			
$\Delta_n(z)$	g_0	\dots				
$D_n(z)$	g_0	\dots				

cu formulele

$$\begin{aligned}
 b_i &= a_0 a_i - a_n a_{n-i}, \quad i = 0, 1, \dots, n-1, \\
 c_j &= b_0 b_j - b_{n-j} b_{n-j-1}, \quad j = 0, 1, \dots, n-2, \\
 f_k &= e_0 e_k - e_2 e_{2-k}, \quad k = 0, 1, \\
 g_0 &= f_0^2 - f_1^2.
 \end{aligned} \tag{1.107}$$

Schema (1.106) în virtutea teoremei 17, ne conduce în mod firesc la următorul rezultat.

Teorema 17 (Jury-Blanchard). O condiție necesară și suficientă ca polinomul $\Delta(z)$ să fie convergent este ca

$$a_0 > |a_n|, \quad b_0 > |b_{n-1}|, \quad c_0 > |c_{n-2}|, \dots, f_0 > |f_1|. \tag{1.108}$$

D. Este evident că $\Delta(z)$ este convergent dacă și numai dacă $a_0 > |a_n|$ și $\Delta_1(z), \dots, \Delta_{n-1}(z)$ sint convergente. $\Delta_1(z)$ este convergent dacă și numai dacă $b_0 > |b_{n-1}|$ și $\Delta_2(z), \dots, \Delta_{n-1}(z)$ sint convergente. Continuind în acest mod se obține condiția necesară și suficientă (1.108). ■

Dacă un coeficient din prima coloană a schemei Raible (exclusiv a_0) este nul atunci este posibil ca $\Delta(z)$ să aibă zerouri pe cercul $|z| = 1$. Pentru a determina numărul n_1 al acestor zerouri se face în $\Delta(z)$ schimbarea de variabilă $z \rightarrow (1 + \varepsilon)z$, unde $|\varepsilon| > 0$ este un număr arbitrar de mic. Această schimbare se realizează foarte simplu dacă se face aproximarea $(1 + \varepsilon)^k z^k \approx (1 + k\varepsilon)z^k$, $k = 2, 3, \dots, n$. Considerind $\varepsilon > 0$ și apoi $\varepsilon < 0$, în prima coloană a schemei Raible (exclusiv a_0) a lui $\Delta(z, \varepsilon)$ se obțin $n_{\varepsilon+}$ și respectiv $n_{\varepsilon-}$ coeficienți pozitivi. Numărul n_1 de zerouri pe $|z| = 1$ ale lui $\Delta(z)$ este $n_1 = |n_{\varepsilon+} - n_{\varepsilon-}|$. În acest caz $n_0 = \min(n_{\varepsilon+}, n_{\varepsilon-})$ și $n_2 = n - n_0 - n_1$.

Exemplul 1.16. Se consideră un sistem dinamic discret în timp cu polinomul caracteristic $\Delta(z) = z^3 + 3,3 z^2 + 3z + 0,8$. Să se studieze stabilitatea internă a sistemului.

Schema Jury-Blanchard este următoarea:

	z^3	z^2	z^1	z^0
$\Delta(z)$	1	3,3	3	0,8
$D(z)$	0,8	3	3,3	1
$\Delta_1(z)$	0,36	0,9	0,36	
$D_1(z)$	0,36	0,9	0,36	
$\Delta_2(z)$	0	0		
$D_2(z)$	0	0		

Sistemul considerat nu este asymptotic stabil.

Pentru a determina repartitia zerourilor în raport cu cercul de rază unitate vom face schimbarea de variabilă $z \rightarrow (1 + \varepsilon)z$. Se obține $\Delta(z, \varepsilon) \approx (1 + 3\varepsilon)z^3 + 3,3(1 + 2\varepsilon)z^2 + 3(1 + \varepsilon)z + 0,8$. Schema Raible pentru acest polinom are forma

	z^3	z^2	z^1	z^0
$k_a = \frac{0,8}{1 + 3\varepsilon}$	$1 + 3\varepsilon$	$3,3(1 + 2\varepsilon)$	$3(1 + \varepsilon)$	0,8
$k_b = \frac{0,36 + 0,72\varepsilon}{0,36 + 6\varepsilon}$	$\frac{0,36 + 6\varepsilon}{1 + 3\varepsilon} = b'_0$	$\frac{0,9 + 14,1\varepsilon}{1 + 3\varepsilon} = c'_0$	$\frac{0,36 + 6,72\varepsilon}{1 + 3\varepsilon} = d'_0$	
$k_0 = 1,24$	$\frac{-0,52\varepsilon}{(0,36 + 6\varepsilon)(1 + 3\varepsilon)} = b'_0$	$\frac{0,27\varepsilon}{(0,36 + 6\varepsilon)(1 + 3\varepsilon)} = c'_0$	$\frac{-0,64\varepsilon}{(0,36 + 6\varepsilon)(1 + 3\varepsilon)} = d'_0$	

Din prima coloană a acestei scheme rezultă

$\varepsilon > 0$ implică $b'_0 > 0$, $c'_0 < 0$, $d'_0 > 0$,

$\varepsilon < 0$ implică $b'_0 > 0$, $c'_0 > 0$, $d'_0 < 0$.

Așadar $n_{\varepsilon+} = 2$ și $n_{\varepsilon-} = 1$. Urmează că $n_1 = 1$, $n_0 = 1$ și $n_2 = 1$. În aceste condiții sistemul considerat este instabil (intern).

1.2.4. Condiții suficiente de convergență

Procedeul recursiv care a condus la schema Jury-Blanchard sugerează o foarte interesantă și de mare simplitate condiție suficientă ca polinomul $\Delta(z)$ să fie convergent.

Teorema 20 (Kakeya). Dacă

$$a_0 > a_1 > \dots > a_{n-1} > a_n > 0, \quad (1.114)$$

atunci polinomul $\Delta(z)$ este convergent.

D. Din formulele (1.107) și din (1.114) rezultă

$$b_i = a_0 a_i - a_n a_{n-i} > a_0 a_{i+1} - a_n a_{n-i-1} = b_{i+1},$$

$$i = 0, 1, \dots, n-2,$$

$$c_j = b_0 b_j - b_{n-1} b_{n-j-1} > b_0 b_{j+1} - b_{n-1} b_{n-j-2} = c_{j+1},$$

$$j = 0, 1, \dots, n-3.$$

$$e_0 > e_1 > e_2,$$

$$f_0 > f_1,$$

ceea ce înseamnă că condiția (1.108) ca $\Delta(z)$ să fie convergent este satisfăcută.

Un alt rezultat interesant și util în aplicații este următorul.

Teorema 21. Dacă există un coeficient a_{n-r} , $0 \leq r \leq n$ astfel încât

$$|a_{n-r}| > |a_0| + \dots + |a_{n-r-1}| + |a_{n-r+1}| + \dots + |a_n| \quad (1.115)$$

atunci $\Delta(z)$ are exact r zerouri în interiorul cercului $|z| = 1$.

D. Pe cercul $|z| = 1$ putem face, conform ipotezei, următoarele evaluări

$$\begin{aligned} |\Delta(z) - a_{n-r} z^r| &= |a_0 z^n + \dots + a_{n-r-1} z^{r+1} + a_{n-r+1} z^{r-1} + \dots + a_n| \leq \\ &\leq |a_0| + \dots + |a_{n-r-1}| + |a_{n-r+1}| + \dots + |a_n| < |a_{n-r}| = |a_{n-r} z^r|. \end{aligned}$$

Conform teoremei 15 polinoamele $a_{n-r} z^r$ și $\Delta(z) - a_{n-r} z^r + a_{n-r} z^r = \Delta(z)$ au exact același număr r de zerouri în interiorul cercului $|z| = 1$. ■

O consecință imediată a teoremei precedente este următorul rezultat.

Teorema 22. Dacă

$$|a_0| > |a_1| + \dots + |a_n|, \quad (1.116)$$

atunci polinomul $\Delta(z)$ este convergent.

1.2.5. Metoda locului rădăcinilor

Această metodă se aplică exact după aceleași reguli ca în cazul sistemelor automate continue în timp. Ca și în acest caz sistemele automate monovariabile și discrete în timp pot fi reduse la schema bloc standard din fig. II.19, a.

Relația intrare-ieșire conform schemei din fig. II.19, a are expresia

$$Y(z) = G_0(z) U(z) - G_{0w}(z) W(z), \quad (1.117)$$

în care

$$G_0(z) = \frac{G(z)}{1 + G(z)} \quad (1.118)$$

este funcția de transfer în z a sistemului închis în raport cu mărimea prescrisă;

$$G_{0w}(z) = \frac{1}{1 + G(z)} \quad (1.119)$$

este funcția de transfer în z a sistemului închis în raport cu perturbația și

$$G(z) = G_R(z) G_F(z) \quad (1.120)$$

este funcția de transfer în z a sistemului deschis.

Examinând expresiile (1.118) și (1.119) rezultă că stabilitatea IMEM a sistemului automat, atât în raport cu $U(z)$ cât și cu $W(z)$, depinde de

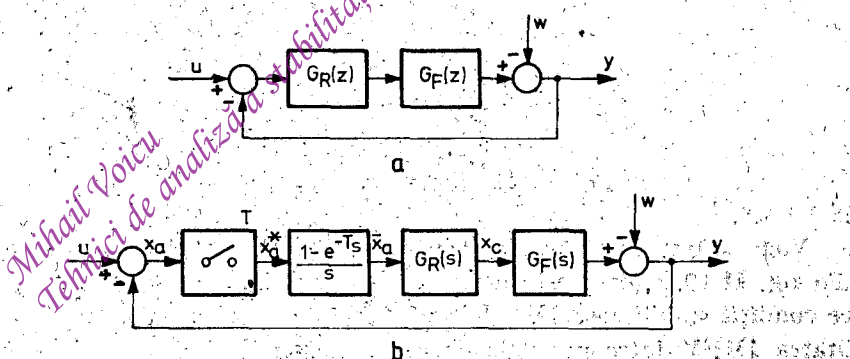


Fig. II.19. a – Schéma bloc structurală standard a unui sistem automat discret în timp; F – partea fixată; R – regulatorul.
b – Schéma bloc structurală a unui sistem automat discret în timp cu partea fixată continuă în timp.

repartiția în planul complex a rădăcinilor ecuației caracteristice intrare-iesire a sistemului automat

$$1 + G(z) = 0. \quad (1.121)$$

Prin ipoteză funcția de transfer în z a sistemului deschis are forma

$$G(z) = k \frac{\prod_{\alpha=1}^m (z - z_\alpha)}{\prod_{\beta=1}^n (z - p_\beta)}, \quad (1.122)$$

unde z_α , $\alpha = 1, 2, \dots, m$, sunt zerourile, p_β , $\beta = 1, 2, \dots, n$, sunt polii și $k \in \mathbb{R}_+$ este un parametru variabil al sistemului deschis.

Se presupune că $z_\alpha \neq p_\beta$, $\alpha = 1, 2, \dots, m$, $\beta = 1, 2, \dots, n$.

Locul rădăcinilor sistemului din fig. II.19, a este locul geometric al rădăcinilor ecuației caracteristice intrare-iesire (1.121) pentru $k \in \mathbb{R}_+$ variabilă parametrică. Evident, evaluarea locului rădăcinilor se face, în cazul sistemelor automate discrete în timp, prin raportare la cercul $|z| = 1$.

În ceea ce privește modul de determinare a funcției de transfer în z se poate consulta anexa B și exemplul de la I.1.4.8.

1.2.6. Stabilitatea IMEM între punctele de eșantionare

Rezultatele și tehniciile expuse pînă aici permit analiza stabilității sistemelor discrete în timp, dar numai pentru evoluții discrete în timp. În condițiile în care toate semnalele unui sistem sunt discrete în timp, o astfel de analiză oferă o imagine concludentă asupra proprietăților sale de stabilitate. Există numeroase situații în care o parte a unui sistem discret în timp este constituită de elemente cu evoluție continuă în timp. În această categorie de sisteme se încadrează sistemul automat studiat la I.1.4.8.

Vom arăta, în continuare, pentru cazul sistemelor cu structura din fig. II.19, b (care este o formă tipică pentru cea din fig. I.14), în ce condiții stabilitatea IMEM în punctele de eșantionare implică stabilitatea IMEM între punctele de eșantionare.

Reamintim că schema din fig. II.19, b este reductibilă la cea standard din fig. II.19, a, în care funcția de transfer în z a sistemului deschis se calculează cu

$$G(z) = \mathbb{Z} \left\{ \frac{1 - e^{-Ts}}{s} G_R(z) G_F(z) \right\} = (1 - z^{-1}) G_R(z) \mathbb{Z} \left\{ \frac{G_F(s)}{s} \right\}. \quad (1.123)$$

Indicații privind calculul transformatei $\mathbb{Z} \left\{ \frac{G_F(s)}{s} \right\}$ se găsesc în anexa B.

Teorema 23. Fie sistemul automat discret în timp cu schema din fig. II.19, b, stabil IMEM în punctele de eşantionare. Dacă partea continuă reprezentată de $G_F(s)$ are cel mult un pol în origine și ceilalți poli sunt toți situați în $\operatorname{Re} s < 0$ atunci sistemul automat discret în timp este stabil IMEM între punctele de eşantionare.

D. Dacă sistemul automat discret în timp este stabil IMEM, atunci pentru orice $u(t)$, $t \geq 0$, mărginit, toate mărimile intermediare ale sistemului, considerate ca siruri de eşantioane, sunt mărginite. Rezultă că x_a și x_o , care sunt funcții scară, sunt de asemenea mărginite. În ipoteze precizate pentru $G_F(s)$, urmează că și $y(t)$ este mărginită pentru orice $t \geq 0$, deoarece perioada de eşantionare T , care satisface teorema eşantionării, este finită.

Rezultatul demonstrat mai sus este o condiție suficientă de stabilitate IMEM între punctele de eşantionare. Ipotezele ei sunt îndeplinite în mareja majoritate a aplicațiilor, fapt care justifică, în respectivele aplicații, limitarea analizei numai la stabilitatea IMEM în punctele de eşantionare. În cazul în care ipoteza teoremei 23 privitoare la $G_F(s)$ nu este satisfăcută, analiza stabilității IMEM în punctele de eşantionare nu este suficientă. Pentru o analiză exhaustivă a stabilității IMEM se utilizează metoda transformatei z modificate sau a transformatei z divizate, [K 1].

1.2.7. Aplicație: reglarea automată discretă a temperaturii unui cuptor electric

Se consideră sistemul automat analizat ca exemplu la I.1.4.8. Se cere să se studieze posibilitățile de acordare a parametrilor k_r , T_r și T , care definesc algoritmul de reglare discretă, astfel încât sistemul automat să fie stabil IMEM.

Tinând seama de relația (1.1.48) de la I.1.4.8 rezultă că polinomul polilor are expresia

$$\Delta(z) = z^{\alpha+2} - (b + 1) z^{\alpha+1} + bz^\alpha + kz - ka, \quad (1.124)$$

unde

$$a = \frac{T_r}{T + T_r}, \quad b = e^{-\frac{T_c}{T_r}}, \quad k = \frac{1 - b}{a} k_r k_p k_i k_t, \quad \alpha = \frac{T_m}{T}. \quad (1.125)$$

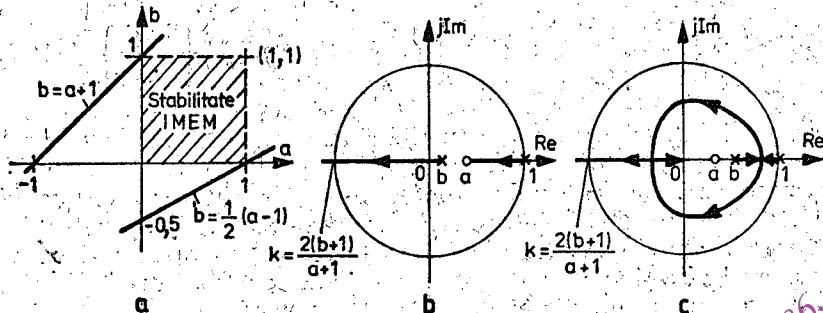


Fig. II.20. a - Domeniul parametric de stabilitate IMEM al sistemului de reglare automată a temperaturii ($\alpha = 0$, $k = 1$);
b - Locul rădăcinilor pentru $\alpha = 0$ și $a > b$;
c - Locul rădăcinilor, pentru $a \leq b$.

Pentru simplificarea determinării domeniului parametric de stabilitate, în condițiile în care $0 \leq a < 1$ și $0 < b \leq 1$, vom considera $k = 1$ și vom examina cazurile $\alpha = 0$ și $\alpha = 1$.

1° $\alpha = 0$ (timpul mort T_m este neglijabil în raport cu T). Polinomul (1.124) devine

$$\Delta(z) = z^2 - bz + b - a. \quad (1.126)$$

În conformitate cu rezultatele de la exemplul 1.14, putem scrie condițiile

$$\begin{cases} b < a + 1 \\ b > \frac{1}{2}(a - 1), \end{cases} \quad (1.127)$$

care permite delimitarea domeniului parametric de stabilitate IMEM, fig. II.20, a (cuprinde și pătratul $0 \leq a < 1$, $0 < b \leq 1$). Sistemul este stabil IMEM pentru orice $T > 0$, orice $T_r \geq 0$ și pentru $k = 1$.

Pentru a analiza influența factorului k , asupra stabilității IMEM se trasează locul rădăcinilor pentru $k \in \mathbf{R}_+$, fig. II.20, b, c. Rezultă că pentru $a \leq b$ există posibilități mai largi de plasare a zerourilor lui $\Delta(z)$ prin valori k adecvate.

2° $\alpha = 1$ ($T = T_m$). Polinomul (1.124) are forma

$$\Delta(z) = z^3 - (b+1)z^2 + (b+1)z - a. \quad (1.128)$$

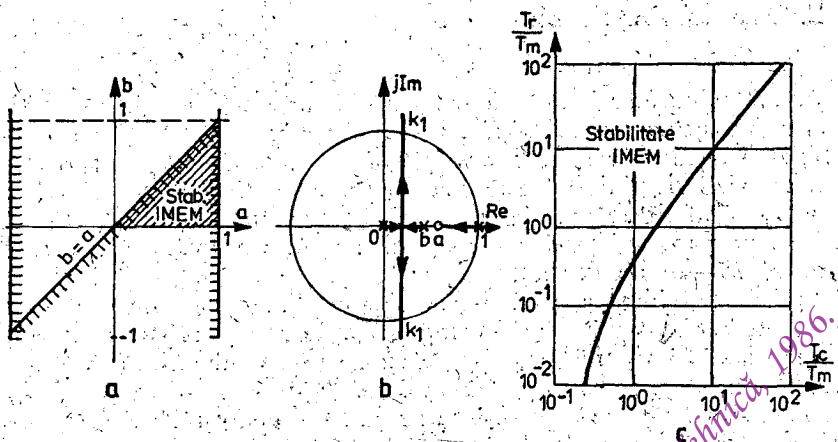


Fig. II.21. a – Domeniu parametric de stabilitate IMEM al sistemului de reglare automată a temperaturii ($\alpha = 1$ și $k = 1$);
b – Locul rădăcinilor pentru $\alpha = 1$ și $a > b$;
c – Domeniu parametric de stabilitate IMEM pentru $\alpha = 1$.

Utilizând schema Jury-Blanchard (1.106), cu (1.107), se obțin condițiile

$$\begin{aligned} -1 < a < 1 \\ a > b, \end{aligned} \quad (1.129)$$

iar domeniul parametric de stabilitate IMEM, cu restricțiile $0 < a < 1$ și $0 < b < 1$ este reprezentat în fig. II.21, a.

Locul rădăcinilor pentru $a > b$ este reprezentat în fig. II.21, b.

În ceea ce privește alegerea parametrilor T_r , T_c și k , se ține seama de (1.129) și de $k < k_1$, fig. II.21, b. Din inegalitatea $a > b$, în conformitate cu (1.125), $T = T_m$, se obține

$$2,3 \lg \left(1 + \frac{T_m}{T_r} \right) < \frac{T_m}{T_c}, \quad (1.130)$$

din care se poate determina T_r – fig. II.21, c.

Pentru alegerea lui k_r , ținând seama de (1.125), rezultă condiția

$$k_r < \frac{T_r k_1}{\frac{T_m}{(T_m + T_r)(1 - e^{-\frac{T_c}{T_m}}) k_p k_c k_t}}. \quad (1.131)$$

2. Tehnici matriceale

Aceste tehnici se aplică sistemelor dinamice liniare constante și se bazează pe utilizarea *matricii de evoluție* A a sistemului — în cazul stabilității asimptotice (v. *teoremele 6 și 8* de la I.5); sau pe utilizarea fie a matricii A , ținându-se seama de proprietățile de controlabilitate și de observabilitate a stării sistemului, fie a unor matrici pătratice asociate polinomului polilor — în cazul stabilității IMEM (v. *teoremele 7–11 și 15–19* de la I.6).

În fond stabilitatea unui sistem dinamic liniar constant este determinată de localizarea în planul complex a valorilor proprii ale matricii A , în cazul stabilității interne, sau de localizarea polilor matricii sale de transfer, în cazul stabilității externe. În aceste circumstanțe o *analiză directă* a stabilității asimptotice sau IMEM se poate realiza prin determinarea formei canonice diagonale (Jordan) a sistemului. O astfel de abordare constă în folosirea unor procedee de calcul numeric adecvate, [D 1, 2], [S 1], [V 1], [W 1, 2].

Ca și în cazul tehniciilor polinomiale, în afară de analiza directă a stabilității, s-au dezvoltat și *tehnici indirecte* prin care este posibilă determinarea regiunii din planul complex în care sunt localizate valorile proprii ale unei matrici, fără cunoașterea efectivă a respectivelor valori proprii.

Pentru a realiza o tratare relativ unitară a problemei stabilității în cazul sistemelor continue în timp și în cel al sistemelor discrete în timp, vom defini două noțiuni analoge cu noțiunile de polinom hurwitzian și de polinom convergent.

Definiția 1. Matricea A , reală de ordinul n , se numește hurwitziană dacă toate valorile ei proprii sunt situate în semiplanul $\text{Re } s < 0$.

Definiția 2. Matricea A , reală de ordinul n , se numește convergentă dacă toate valorile ei proprii sunt situate în interiorul cercului $|z| = 1$.

Pe baza acestor definiții se pot enunța două rezultate echivalente respectiv cu *teoremele 6 și 8* de la I.5.

Teoremă 1. Sistemul dinamic (I.5.32) este asimptotic stabil dacă și numai dacă matricea A este hurwitziană.

Teoremă 2. Sistemul dinamic (I.5.37) este asimptotic stabil dacă și numai dacă matricea A este convergentă.

Ca și în cazul tehniciilor polinomiale, considerăm utilă enunțarea unor condiții necesare ca matricea A să fie hurwitziană, respectiv convergentă. Pentru aceasta avem nevoie de un rezultat pregătitor, referitor

la relația dintre elementele diagonalei principale a unei matrici pătratice de ordinul n și coeficientul termenului de gradul $n-1$ al polinomului său caracteristic.

Fie A o matrice reală de ordin n , cu elementele a_{ij} , $i, j = 1, 2, \dots, n$, și cu polinomul caracteristic

$$\Delta(s) = s^n + a_1 s^{n-1} + \dots + a_{n-1} s + a_n, \quad s \in \mathbb{C}. \quad (2.1)$$

Teorema 3. Pentru orice matrice A are loc

$$a_1 = - \sum_{i=1}^n a_{ii}. \quad (2.2)$$

D. Se știe că polinomul caracteristic se determină, conform definiției, cu

$$\Delta(s) = \begin{vmatrix} s - a_{11} & -a_{12} & \dots & -a_{1n} \\ -a_{21} & s - a_{22} & \dots & -a_{2n} \\ \vdots & \vdots & \ddots & \vdots \\ -a_{n1} & -a_{n2} & \dots & s - a_{nn} \end{vmatrix}. \quad (2.3)$$

Demostrația se face prin inducție completă. Pentru $k = 1, 2, 3$, relația (2.2) are loc în mod evident. Pentru $k = n-1$ are loc prin ipoteză

$$\begin{vmatrix} s - a_{11} & -a_{12} & \dots & -a_{1n-1} \\ -a_{21} & s - a_{22} & \dots & -a_{2n-1} \\ \vdots & \vdots & \ddots & \vdots \\ -a_{n-11} & -a_{n-12} & \dots & s - a_{n-1n-1} \end{vmatrix} = s^{n-1} - \left(\sum_{i=1}^{n-1} a_{ii} \right) s^{n-2} + \dots \quad (2.4)$$

Rămîne de arătat că pentru $k = n$ are loc (2.2). Dezvoltînd determinantul (2.3) după elementele ultimei linii putem scrie

$$\Delta(s) = -(-1)^{n+1} a_{n1} M_{n1}(s) - (-1)^{n+2} a_{n2} M_{n2}(s) - \dots + (-1)^{2n} (s - a_{nn}) M_{nn}(s), \quad (2.5)$$

în care $M_{n1}(s), \dots, M_{nn-1}(s)$ sunt minorii corespunzători elementelor $-a_{n1}, \dots, -a_{nn-1}$, polinoame de grad cel mult $n-2$ în s , iar $M_{nn}(s)$ este minorul corespunzător elementului $(s - a_{nn})$, polinom de gradul $n-1$ în s , identic cu determinantul (2.4). În atare condiții din (2.5) rezultă

$$\Delta(s) = (s - a_{nn}) \left[s^{n-1} - \left(\sum_{i=1}^{n-1} a_{ii} \right) s^{n-2} + \dots \right] + \dots = s^n - \left(\sum_{i=1}^n a_{ii} \right) s^{n-1} + \dots,$$

ceea ce înseamnă că (2.2) este adevărată. ■

Pe baza teoremei 3 se pot demonstra următoarele două condiții necesare.

Teorema 4. O condiție necesară ca matricea A să fie hurwitziană este ca

$$\sum_{i=1}^n a_{ii} < 0. \quad (2.6)$$

Demonstrația este imediată și se bazează pe faptul că dacă A este hurwitziană atunci $a_1 > 0$ (teorema 3 de la subcap. 1).

Teorema 5. O condiție necesară ca matricea A să fie convergentă este ca

$$\left| \sum_{i=1}^n a_{ii} \right| < n. \quad (2.7)$$

Dacă A este convergentă atunci valorile ei proprii satisfac condițiile $|\lambda_i| < 1$, $i = 1, 2, \dots, n$. Conform primei formule Viète putem scrie

$$|a_1| \leq \sum_{i=1}^n |\lambda_i| < n,$$

de unde, ținând seama de (2.2), rezultă (2.7). ■

Examinind condițiile (2.6) și (2.7) rezultă că proprietatea unei matrici de a fi hurwitziană sau convergentă implică în mod necesar ca elementele diagonalei principale să aibă anumite proprietăți. Se va vedea în subcapitolul următor că această idee a fost folosită în scopul obținerii unor condiții suficiente, foarte bazate pe un anumit gen de dominantă a elementelor diagonalei principale, față de celelalte elemente ale matricei, în sensul liniilor sau al coloanelor.

2.1. Tehnici de localizare a valorilor proprii prin inegalități

Această categorie de tehnici permite evaluarea cu aproximatie, prin inegalități constituuite chiar cu elementele unei matrici pătratice, a unei regiuni din planul complex în care sunt situate valorile proprii ale respectivei matrici. Pentru a se putea decide dacă o matrice este hurwitziană sau convergentă trebuie ca regiunea de localizare să fie

situată în întregime în semiplanul $\operatorname{Re} s < 0$ sau respectiv în interiorul cercului $|z| = 1$. Din acest motiv rezultatele privitoare la stabilitatea asimptotică, care se pot formula pe baza unei atare evaluări, sunt condiții suficiente. Acest dezavantaj, după cum se va vedea mai jos, este parțial compensat de simplitatea inegalităților de evaluare a localizării valorilor proprii.

2.1.1. Discurile lui Gherșgorin

Fie A o matrice reală de ordin n , cu elementele a_{ij} , $i, j = 1, 2, \dots, n$, și fie discurile lui Gherșgorin, [G1],

$$D_i = \{s \in \mathbb{C} : |s - a_{ii}| \leq r_i\}, \quad i = 1, 2, \dots, n, \quad (2.8)$$

asociate matricii A , în care

$$r_i = \sum_{\substack{j=1 \\ j \neq i}}^n |a_{ij}|. \quad (2.9)$$

Teorema 6 (Gherșgorin). Fiecare valoare proprie a matricii A se află în cel puțin unul din discurile D_i , $i = 1, 2, \dots, n$.

D. După cum se stie (v. I.5.2.1), dacă λ este o valoare proprie a matricii A atunci există un vector propriu $v \neq 0$ astfel încât $Av = \lambda v$ sau, detaliat

$$\sum_{j=1}^n a_{ij}v_j = \lambda v_i, \quad i = 1, 2, \dots, n, \quad (2.10)$$

unde v_i sunt componentele vectorului v .

Fie $|v_k| = \max_{1 \leq j \leq n} |v_j|$. În aceste condiții pentru $i = k$ din (2.10) rezultă

$$\lambda - a_{kk} ||v_k|| = \left| \sum_{\substack{j=1 \\ j \neq k}}^n a_{kj}v_j \right| \leq \sum_{\substack{j=1 \\ j \neq k}}^n |a_{kj}| ||v_j|| \leq ||v_k|| r_k.$$

Întrucât $v \neq 0$, rezultă $|v_k| > 0$, ceea ce implică $|\lambda - a_{kk}| \leq r_k$, respectiv $\lambda \in D_k$. ■

Este evident că pentru o aceeași matrice A se poate defini, pe coloane, încă un set de discuri Gherșgorin.

$$D_j^T = \{s \in \mathbb{C} : |s - a_{jj}| \leq r_j^T\}, \quad j = 1, 2, \dots, n, \quad (2.11)$$

unde

$$r_i^T = \sum_{\substack{i=1 \\ i \neq j}}^n |a_{ij}| \quad (2.12)$$

(ceea ce constituie de fapt discurile lui Gherşgorin asociate matricii A^T), pentru care se poate formula următorul rezultat.

Teorema 7. Fiecare valoare proprie a matricii A se află în cel puțin unul din discurile D_j^T , $j = 1, 2, \dots, n$.

Fie

$$D = \bigcup_{i=1}^n D_i, \quad (2.13)$$

$$D^T = \bigcup_{j=1}^n D_j^T \quad (2.14)$$

și fie

$$\sigma(A) = \{s \in \mathbb{C}; s = \lambda_i, i = 1, 2, \dots, n\} \quad (2.15)$$

spectrul matricii A , unde λ_i , $i = 1, 2, \dots, n$, sunt valorile proprii ale matricii A .

Rezultatul esențial pentru localizarea valorilor proprii ale matricii A , care se obține direct din teoremele 6 și 7 constă în faptul că $\sigma(A) \subseteq D$ și $\sigma(A) \subseteq D^T$, ceea ce implică $\sigma(A) \subseteq D \cap D^T$, cu precizarea că egalitățile sunt posibile numai în cazul matricilor diagonale. În aceste condiții se pot enunța următoarele rezultate privitoare la natura matricii A .

Teorema 8. Dacă are loc unul din următoarele două seturi de inegalități

$$-a_{ii} > \sum_{\substack{j=1 \\ j \neq i}}^n |a_{ij}|, \quad i = 1, 2, \dots, n, \quad (2.16)$$

$$-a_{jj} > \sum_{\substack{i=1 \\ i \neq j}}^n |a_{ij}|, \quad j = 1, 2, \dots, n, \quad (2.17)$$

atunci matricea A este hurwitziană.

D. Dacă au loc inegalitățile (2.16) atunci $-a_{ii} > r_i$, $i = 1, 2, \dots, n$, ceea ce implică $\sigma(A) \subseteq D \subset \{s \in \mathbb{C}; \operatorname{Re} s < 0\}$. Acest lucru este suficient pentru ca A să fie hurwitziană. Demonstrația pornind de la (2.17) decurge în același mod. Să observăm în final că (2.16) sau (2.17) se pot utiliza numai dacă $a_{ii} < 0$, $i = 1, 2, \dots, n$.

În același fel se demonstrează și afirmația următoare.

Teorema 9. Dacă are loc unul din următoarele două seturi de inegalități

$$\sum_{j=1}^n |a_{ij}| < 1, \quad i = 1, 2, \dots, n, \quad (2.18)$$

$$\sum_{i=1}^n |a_{ij}| < 1, \quad j = 1, 2, \dots, n, \quad (2.19)$$

atunci matricea A este convergentă.

Să notăm și aici că (2.18) sau (2.19) se pot aplica numai dacă $|a_{ii}| < 1$, $i = 1, 2, \dots, n$.

Exemplul 2.1. Se consideră matricea

$$A = \begin{bmatrix} -5,1 & 1,5 & 0,3 & -2,2 \\ 0,4 & -3,2 & -1,9 & 0,2 \\ 0,6 & 2,1 & -4,1 & -0,7 \\ 0,2 & -0,4 & -1,2 & -2,2 \end{bmatrix}.$$

Să se determine regiunea $D \cap D^T$ în care sunt localizate valorile ei proprii.

În conformitate cu (2.8) și (2.11) se pot defini următoarele două seturi de discuri.

• Gherşgorin:

$$D : |s + 5,1| \leq 4; \quad |s + 3,2| \leq 2,5; \quad |s + 4,1| \leq 3,4; \quad |s + 2,2| \leq 1,8,$$

$$D^T : |s + 5,1| \leq 1,2; \quad |s + 3,2| \leq 4; \quad |s + 4,1| \leq 3,4; \quad |s + 2,2| \leq 3,1,$$

care sunt reprezentate în fig. II.22. Intersecția lor, reprezentată hașurat, este la stînga axei imaginare, ceea ce înseamnă că A este hurwitziană. Acest ultim rezultat se poate

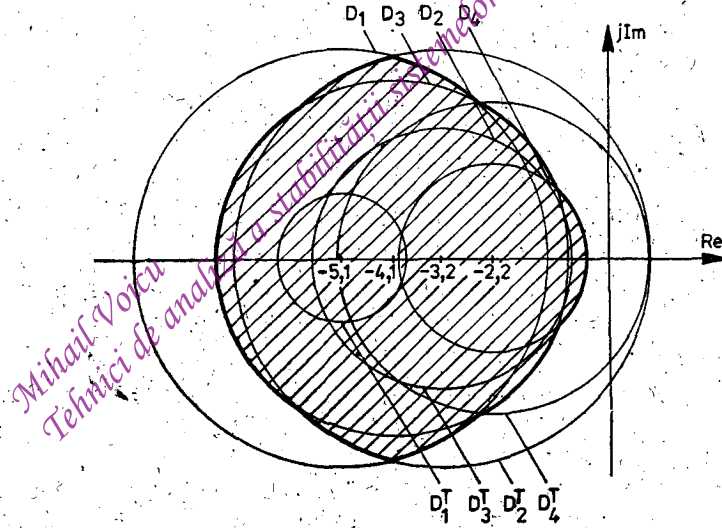


Fig. II.22: Regiunea de localizare a valorilor proprii
exemplul 2.1.

obține și cu teorema 8. Pentru (2.16) putem scrie într-adevăr $5,1 > 4; 3,2 > 2,5; 5,1 > 3,4; 2,2 > 1,8$.

O posibilitate de micșorare a regiunii $D \cap D^T$ constă în transformarea matricii A prin asemănare (conform relației (I.5.10)). Pentru ca volumul de calcule să nu crească prea mult se utilizează o transformare de forma

$$A_\alpha = \text{diag}(\alpha_1^{-1}, \dots, \alpha_n^{-1}) A \text{ diag}(\alpha_1, \dots, \alpha_n), \quad (2.20)$$

unde $\alpha_i > 0, i = 1, 2, \dots, n$, sunt niște numere care se determină astfel încât regiunea $D \cap D^T$ să fie cât mai mică posibil.

Este ușor de observat că elementele matricii A_α sunt $\frac{1}{\alpha_i} a_{ij}, j, i = 1, 2, \dots, n$. Întrucât matricile A și A_α au același spectru $\sigma(A)$ rezultă că teoremele 8 și 9 se pot aplica și matricii A_α , obținindu-se următoarele rezultate relative la natura matricii A .

Teorema 10. Dacă există numerele $\alpha_i > 0, i = 1, 2, \dots, n$, astfel încât să aibă loc unul din următoarele două seturi de inegalități

$$-a_{ii} > \frac{1}{\alpha_i} \sum_{\substack{j=1 \\ j \neq i}}^n |a_{ij}| \alpha_j, \quad i = 1, 2, \dots, n, \quad (2.21)$$

$$-a_{jj} > \alpha_j \sum_{\substack{i=1 \\ i \neq j}}^n |a_{ij}| \frac{1}{\alpha_i}, \quad j = 1, 2, \dots, n, \quad (2.22)$$

atunci matricea A este hurwitziană.

Teorema 11. Dacă există numerele $\alpha_i > 0, i = 1, 2, \dots, n$, astfel încât să aibă loc unul din următoarele două seturi de inegalități

$$\sum_{j=1}^n |a_{ij}| \alpha_j < \alpha_i, \quad i = 1, 2, \dots, n, \quad (2.23)$$

$$\sum_{i=1}^n |a_{ij}| \frac{1}{\alpha_i} < \frac{1}{\alpha_j}, \quad j = 1, 2, \dots, n, \quad (2.24)$$

atunci matricea A este convergentă.

Aplicarea practică a teoremelor 10 și 11 este legată de o dificultate majoră, și anume de determinarea numerelor $\alpha_i > 0, i = 1, 2, \dots, n$. După cum s-a arătat în [V 2, 3] existența unei soluții $\alpha_i > 0, i = 1, 2, \dots, n$, pentru oricare din sistemele de inecuații (2.21), (2.22) depinde

în exclusivitate de matricea A . Privitor la semnificația exactă a numerelor $\alpha_i > 0$, $i = 1, 2, \dots, n$, din punctul de vedere al evaluării răspunsului liber și al stabilizării sistemului $\dot{x} = Ax + Bu$ se pot consulta [V 4-8].

Pentru a enumera rezultatele demonstrează în [V 2, 3] în legătură cu existența unei soluții pentru oricare din sistemele (2.21), (2.22), respectiv pentru oricare din sistemele (2.23), (2.24), se definesc: matricea

$$\tilde{A} = \begin{bmatrix} |a_{11}| & |a_{12}| & |a_{13}| & \dots & |a_{1n}| \\ |a_{21}| & |a_{22}| & |a_{23}| & \dots & |a_{2n}| \\ \vdots & \vdots & \vdots & \ddots & \vdots \\ \vdots & \vdots & \vdots & \ddots & \vdots \\ |a_{n1}| & |a_{n2}| & |a_{n3}| & \dots & |a_{nn}| \end{bmatrix}, \quad (2.25)$$

ai cărei minori principali diagonali sunt \tilde{A}_i , $i = 1, 2, \dots, n$, și matricea

$$\tilde{A} = \begin{bmatrix} |a_{11}| - 1 & |a_{12}| & |a_{13}| & \dots & |a_{1n}| \\ |a_{21}| & |a_{22}| - 1 & |a_{23}| & \dots & |a_{2n}| \\ \vdots & \vdots & \vdots & \ddots & \vdots \\ \vdots & \vdots & \vdots & \ddots & \vdots \\ |a_{n1}| & |a_{n2}| & |a_{n3}| & \dots & |a_{nn}| - 1 \end{bmatrix}, \quad (2.26)$$

ai cărei minori principali diagonali sunt \tilde{A}_i , $i = 1, 2, \dots, n$.

Teorema 12. Dacă

$$(-1)^i \tilde{A}_i > 0, \quad i = 1, 2, \dots, n, \quad (2.27)$$

atunci matricea A este hurwitziană.

Teorema 13. Dacă

$$(-1)^i \tilde{A}_i > 0, \quad i = 1, 2, \dots, n, \quad (2.28)$$

atunci matricea A este convergentă.

Trebuie să observăm și aici că aplicarea condițiilor (2.27) și (2.28) este posibilă numai dacă $a_{ii} < 0$ și respectiv $|a_{ii}| < 1$, $i = 1, 2, \dots, n$.

Exemplul 2.2. Fie procesul de reinnoire cu piese de schimb, analizat la I.1.4.5, cu $n = 2$, descris de ecuația intrare-stare

$$\begin{bmatrix} x_0(k+1) \\ x_1(k+1) \\ x_2(k+1) \end{bmatrix} = \begin{bmatrix} 0 & 0 & 0 \\ p_0 & 0 & 0 \\ 0 & p_1 & 0 \end{bmatrix} \begin{bmatrix} x_0(k) \\ x_1(k) \\ x_2(k) \end{bmatrix} + \begin{bmatrix} 1 \\ 0 \\ 0 \end{bmatrix} u(k), \quad k \in \mathbb{N}.$$

Dacă aprovizionarea se face în funcție de numărul de piese care se înlocuiesc în anul k și anume în funcție de $(1 - p_0)x_0(k)$, $(1 - p_1)x_1(k)$ și $x_2(k)$ atunci legea de conducere a procesului poate fi de forma

$$u(k) = a[(1 - p_0)x_0(k) + (1 - p_1)x_1(k)] + bx_2(k),$$

unde $a, b > 0$.

Ce condiție trebuie să satisfacă a și b astfel încât sistemul să fie asimptotic stabil?

Cu legea de conducere adoptată matricea sistemului este

$$A = \begin{bmatrix} a(1-p_0) & a(1-p_1) & b \\ p_0 & 0 & 0 \\ 0 & p_1 & 0 \end{bmatrix},$$

pentru care

$$\tilde{A} = \begin{bmatrix} a(1-p_0) - 1 & a(1-p_1) & b \\ p_0 & -1 & 0 \\ 0 & p_1 & -1 \end{bmatrix}.$$

În conformitate cu (2.28) obținem condițiile

$$\begin{cases} a(1-p_0) - 1 < 0 \\ a(1-p_0) + ap_0(1-p_1) - 1 < 0 \\ a(1-p_0) + ap_0(1-p_1) + bp_0p_1 - 1 < 0, \end{cases}$$

din care, în baza faptului că $p_0p_1 < p_0$, rezultă

$$b < \frac{\frac{1}{1-p_0p_1}}{\frac{1-(1-p_0p_1)a}{p_0p_1}}.$$

2.1.2. Alte rezultate de tip inegalitate

S-a văzut mai sus că pe baza discurilor lui Gherșgorin se pot formula condiții suficiente de stabilitate. Numeroși autori, plecind de la discurile lui Gherșgorin, au obținut o serie de condiții de tip inegalitate, care pot furniza rezultate mai bune decât discurile lui Gherșgorin atât în ceea ce privește localizarea valorilor proprii, cât și în ceea ce privește stabilitatea asimptotică.

Vom da în continuare, fără demonstrație, cite două astfel de rezultate datorate lui Ostrowski, [C2], care pot fi mai bune decât respectiv teoremele 8 și 9.

Teorema 14. Dacă există γ , cu $0 \leq \gamma \leq 1$, astfel încât

$$-a_{kk} > \left(\sum_{\substack{j=1 \\ j \neq k}}^n |a_{kj}| \right)^\gamma \left(\sum_{\substack{i=1 \\ i \neq k}}^n |a_{ik}| \right)^{1-\gamma}, \quad k = 1, 2, \dots, n, \quad (2.29)$$

atunci matricea A este hurwitziană.

Teorema 15. Dacă există γ , cu $0 \leq \gamma \leq 1$, astfel încât

$$|a_{kk}| + \left(\sum_{j=1}^n |a_{kj}| \right)^\gamma \left(\sum_{i=1, i \neq k}^n |a_{ik}| \right)^{1-\gamma} < 1, \quad k = 1, 2, \dots, n, \quad (2.30)$$

atunci matricea A este convergentă.

Este ușor de observat că pentru $\gamma = 0$ și $\gamma = 1$ din (2.29) (2.30) se obțin (2.16) și respectiv (2.17) și (2.18) și respectiv (2.19):

Teorema 16. Dacă există numerele $k_i > 0$, $i = 1, 2, \dots, n$, cu $\sum_1^n 1/(k_i + 1) \leq 1$, și $p > 0$, $q > 0$ cu $1/p + 1/q = 1$, astfel încât să aibă loc unul din următoarele două seturi de inegalități

$$-a_{ii} > k_i^q \left(\sum_{\substack{j=1 \\ j \neq i}}^n |a_{ij}|^p \right)^{\frac{1}{p}}, \quad i = 1, 2, \dots, n, \quad (2.31)$$

$$-a_{jj} > k_j^q \left(\sum_{\substack{i=1 \\ i \neq j}}^n |a_{ij}|^p \right)^{\frac{1}{p}}, \quad j = 1, 2, \dots, n, \quad (2.32)$$

atunci matricea A este hurwitziană.

Teorema 17. Dacă există numerele $k_i > 0$, $i = 1, 2, \dots, n$, cu $\sum_1^n 1/(k_i + 1) \leq 1$, și $p > 0$, $q > 0$ cu $1/p + 1/q = 1$, astfel încât să aibă loc unul din următoarele două seturi de inegalități

$$|a_{ii}| + k_i^q \left(\sum_{\substack{j=1 \\ j \neq i}}^n |a_{ij}|^p \right)^{\frac{1}{p}} < 1, \quad i = 1, 2, \dots, n, \quad (2.33)$$

$$|a_{jj}| + k_j^q \left(\sum_{\substack{i=1 \\ i \neq j}}^n |a_{ij}|^p \right)^{\frac{1}{p}} < 1, \quad j = 1, 2, \dots, n, \quad (2.34)$$

atunci matricea A este convergentă.

Și în acest caz este ușor de observat că pentru $p = 1$ și $q = \infty$ din (2.31), (2.32) și (2.33), (2.34) se obțin respectiv (2.16), (2.17) și (2.18) (2.19).

Alte rezultate, similare cu cele enunțate prin teoremele 14–17, dar mai puțin avantajoase pentru aplicații, se pot formula pe baza inegalităților lui Bräuer și a inegalității lui Fan-Ky și Hoffmann, [C2].

Exemplul 2.3. Se consideră matricea

$$A = \begin{bmatrix} -4 & 0,5 & 0,7 & -1,2 \\ 1 & -6 & 1 & 1 \\ 0,5 & -1 & -3,8 & -3 \\ -1,5 & 0 & 1,5 & -4,4 \end{bmatrix}$$

Să se determine natura acestei matrici.

Dacă se aplică (2.27) se obțin $\tilde{A}_1 = -4 < 0$, $\tilde{A}_2 = 23,5 > 0$, $\tilde{A}_3 = -82,25 < 0$ și $\tilde{A}_4 = 186,51 > 0$, ceea ce înseamnă că A este hurwitziană. Dacă se aplică (2.29), pentru $\gamma = 0,4$ se obțin $4 > 2,74$; $6 > 1,98$; $3,8 > 3,67$; $4,5 > 4,17$. Aceasta înseamnă că spectrul $\sigma(A)$ este inclus în reuniunea următoarelor discuri $|s + 4| \leq 2,74$; $|s + 6| \leq 1,98$; $|s + 3,8| \leq 3,67$ și $|s + 4,5| \leq 4,17$.

2.2. Tehnici de localizare a valorilor proprii prin sirul puterilor unei matrici

Dacă un sistem dinamic este cunoscut sub forma ecuațiilor sale intrare-stare-iesire, este posibilă analiza stabilității fără determinarea polinomului caracteristic, cu ajutorul sirului puterilor unei matrici pătratice. Întrucât tehnicele care s-au dezvoltat pe această idee au la bază condiția necesară și suficientă (I.5.40), vom începe expunerea cu cazul sistemelor discrete în timp.

2.2.1. Sisteme discrete în timp

Teorema 18. O condiție necesară și suficientă ca matricea A să fie convergentă este ca

$$\lim_{k \rightarrow \infty} A^k = 0. \quad (2.35)$$

Pentru demonstrație se procedează ca în cazul teoremei 8 de la I.5.2.5, deoarece deosebirea dintre (I.5.40) și (2.35) este neesențială în situația în care A este o matrice cu elemente constante.

Convertirea condiției necesare și suficiente (2.35), care de altfel justifică și denumirea de *matrice convergentă* dată lui A (și polinomului ei caracteristic), într-un procedeu practic constă în următoarele. În primul rînd se extrage din sirul de matrici A^k , $k \in \mathbb{N}$, sub-sirul A^{2k} , $k \in \mathbb{N}$, care are aceleasi proprietăți ca sirul din care a fost extras, dar converge mai rapid la matricea nulă în cazul în care A este convergentă.

Practic acest lucru este realizabil foarte ușor deoarece se pot calcula succesiv $A^2 = A \cdot A$, $A^4 = A^2 \cdot A^2$, $A^8 = A^4 \cdot A^4$, $A^{16} = A^8 \cdot A^8$ etc., astfel că după un număr de numai 10 pași (adică 10 ridicări la puterea a două) se ajunge la A^{1024} . În al doilea rînd nu este necesar să se facă un număr prea mare de pași pentru a vedea dacă $\lim_{k \rightarrow \infty} A^{2^k} = 0$. Calculurile se pot intrerupe atunci cînd fiecare element $m_{ij}^{(k)}$, $i, j = 1, 2, \dots, n$, al matricei $M^{(k)} = A^{2^k}$ satisfac condiția

$$|m_{ij}^{(k)}| < \frac{1}{n}, \quad i, j = 1, 2, \dots, n. \quad (2.36)$$

Justificarea acestei condiții se bazează pe teorema 9. Este ușor de verificat că dacă are loc (2.36) atunci matricea $M^{(k)}$ satisfacă (2.18) sau (2.19), ceea ce înseamnă că $M^{(k)}$ și respectiv A sunt convergente.

Este evident că în locul condiției (2.36) se pot folosi drept condiții de stop și inegalitățile (2.18) sau (2.19), care sunt mai puțin restrictive ca (2.36).

Dacă dimpotrivă $\left| \sum_{i=1}^n m_{ii}^{(k)} \right| \geq n$, rezultă că $M^{(k)}$ nu satisfacă condiția necesară de convergență (2.7). În acest caz se trage concluzia că matricea A nu este convergentă.

Pentru a stabili dacă valorile proprii ale matricei A sunt situate în interiorul cercului $|z| = r$, $0 < r \leq 1$ procedeul de mai sus urmează să se aplice în același fel matricii A^T .

Exemplul 2.4. Fie matricea

$$A = \begin{bmatrix} 0,7 & 0,1 & -0,1 \\ -0,6 & 1,3 & -0,4 \\ -0,6 & 0,5 & 0,4 \end{bmatrix}.$$

Să se verifice dacă această matrice este convergentă.

Se observă că este satisfăcută condiția necesară de convergență (2.7), în timp ce condiția suficientă (2.28) nu se poate aplica deoarece $a_{22} = 1,3 > 1$.

Vom arăta că aplicind procedeul expus mai sus există un k pentru care are loc (2.36). Într-adevăr, calculind $M^{(k)} = A^{2^k}$, pentru $k = 4$ se obține

$$M^{(4)} = \begin{bmatrix} 0,05765 & 0,11012 & -0,11012 \\ -1,11846 & 1,02353 & -0,59307 \\ -1,11846 & 0,85576 & -0,42595 \end{bmatrix}.$$

În timp ce pentru $k = 5$ rezultă

$$M^{(5)} = \begin{bmatrix} 0,00001 & 0,00078 & -0,00078 \\ -0,10298 & 0,07022 & -0,03389 \\ -0,10298 & 0,06943 & -0,03509 \end{bmatrix}.$$

Așadar, $|m_{ij}^{(5)}| < \frac{1}{3}$, ceea ce înseamnă că matricea A este convergentă.

2.2.2. Sisteme continue în timp

După cum s-a arătat la I.5.2.1, ecuația caracteristică a matricii A se determină cu expresia

$$\det [Is - A] = 0. \quad (2.37)$$

Pentru a putea utiliza *teorema 18* și în cazul sistemelor continue în timp vom face în (2.37) schimbarea $s = (z + 1)/(z - 1)$ – transformarea omografică (1.96). În aceste condiții din (2.37) rezultă ecuația

$$\det \left[I \frac{z+1}{z-1} - A \right] = 0. \quad (2.38)$$

Eliminind numitorul în (2.38) și operând după cum se arată mai jos

$$\begin{aligned} \det [(I - A)z + (I + A)] &= \det [I - A] \det [Iz + (I - A)^{-1}(I + A)] = \\ &= \det (I - A) \det [Iz - (I - A)^{-1}(-I - A)], \end{aligned}$$

se obține

$$\det [Is - M] = 0, \quad (2.39)$$

în care

$$M = (I - A)^{-1}(-I - A). \quad (2.40)$$

Întrucât prin transformarea omografică se stabilește o corespondență biunivocă între semiplanul $\text{Re } s < 0$ și interiorul cercului $|z| = 1$, rezultă că matricea M poate fi utilizată pentru analiza naturii matricii A pe baza *teoremei 18*.

Teorema 19. O condiție necesară și suficientă ca matricea A să fie hurwitziană este ca M să fie convergentă.

O simplificare privind calculul matricei M se poate realiza în felul următor:

$$M = (I - A)^{-1}(I - A - 2I) = I - 2(I - A)^{-1}. \quad (2.41)$$

Trebue să remarcăm faptul că din punct de vedere practic inversarea matricei $I - A$ poate ridica o serie de dificultăți. O posibilitate de a evita inversarea matricei $I - A$ constă în a înlocui matricea A cu εA , unde $\varepsilon > 0$ este un scalar care se alege astfel încât $\|\varepsilon A\| < 1$. Întrucât A este hurwitziană dacă și numai dacă εA este hurwitziană, se poate folosi, pentru analiza naturii matricii A , în locul matricii M , matricea

$$M_\varepsilon = I - 2(I - \varepsilon A)^{-1}. \quad (2.42)$$

În situația în care $\|\varepsilon A\| < 1$, seria matriceală $\sum_{k=0}^{\infty} (\varepsilon A)^k$ este convergentă și are suma $(I - \varepsilon A)^{-1}$, deoarece $(\varepsilon A)^k \rightarrow 0$ pentru $k \rightarrow +\infty$. Ca urmare M_ε poate fi aproximată prin

$$M_\varepsilon \approx I - 2 \sum_{k=0}^m (\varepsilon A)^k. \quad (2.43)$$

Vâltoarea lui m se alege în funcție de precizia dorită. Să observăm și aici că dacă convergența seriei matriceale este slabă atunci pentru a realiza precizia dorită trebuie ca m să fie relativ mare.

Pentru a stabili dacă valorile proprii ale matricii A se află în semiplanul $\operatorname{Re} s < -\alpha$, $\alpha > 0$, procedeul expus mai sus se aplică în același mod matricii $A + \alpha I$.

Exemplul 2.5. Fie matricea

$$A = \begin{bmatrix} -1 & -2 & 2 \\ 3 & -7 & 5 \\ 3 & -4 & 2 \end{bmatrix}$$

Să se stabilească dacă această matrice este hurwitziană.

Să observă că este satisfăcută condiția necesară (2.6), dar condiția suficientă (2.27) nu se poate aplica deoarece $a_{33} = 2 > 0$.

Folosind (2.40) se obține

$$M = \begin{bmatrix} 0 & 1/2 & -1/2 \\ -1 & 5/3 & \pm 4/3 \\ -1 & 7/6 & -5/6 \end{bmatrix},$$

care satisfacă condiția necesară (2.6), dar căreia nu î se poate aplica condiția suficientă (2.28), deoarece $m_{22} = 5/3 > 1$. Procedind ca la exemplul 2.4 vom arăta că pentru M^4 condiția (2.36) este satisfăcută. Într-adevăr

$$M^2 = \begin{bmatrix} 0 & 0,25 & -0,25 \\ -0,33333 & 0,72222 & -0,61111 \\ -0,33333 & 0,47222 & -0,36111 \end{bmatrix}$$

și

$$M^4 = \begin{bmatrix} 0 & 0,0625 & -0,0625 \\ -0,03704 & 0,14969 & -0,13734 \\ -0,03704 & 0,08719 & -0,07484 \end{bmatrix}$$

pentru care $m_{ij}^{(4)} < 1/3$.

2.3. Tehnici bazate pe matrici asociate

2.3.1. Matricea companion a unui polinom

Rézultatele expuse în paragrafele precedente conduc în mod natural la problema localizării zerourilor polinomului polilor cu ajutorul unei matrici asociate acestuia. Se stie că polinomului (2.1) i se poate asocia matricea de tip Frobenius

$$A = \begin{bmatrix} 0 & 1 & 0 & \dots & 0 & 0 \\ 0 & 0 & 1 & \dots & 0 & 0 \\ \vdots & \vdots & \vdots & \ddots & \vdots & \vdots \\ 0 & 0 & 0 & \dots & 0 & 1 \\ -a_n & -a_{n-1} & -a_{n-2} & \dots & -a_2 & -a_1 \end{bmatrix}, \quad (2.44)$$

numită *matricea companion* a polinomului $\Delta(s)$, cu proprietatea

$$\Delta(s) = \det (Is - A). \quad (2.45)$$

Intr-adevăr, putem scrie succesiv:

$$\begin{aligned} \det (Is - A) &= \det \begin{bmatrix} s & -1 & 0 & \dots & 0 & 0 \\ 0 & s & 1 & \dots & 0 & 0 \\ \vdots & \vdots & \vdots & \ddots & \vdots & \vdots \\ 0 & 0 & 0 & \dots & s & -1 \\ -a_n & -a_{n-1} & -a_{n-2} & \dots & a_2 & s + a_1 \end{bmatrix} = \\ &= (-1)^{n+1} a_n M_{n1}(s) + (-1)^{n+2} a_{n-1} M_{n2}(s) + \dots + (-1)^{2n-1} a_2 M_{nn-1}(s) + \\ &\quad + (-1)^{2n} (s + a_1) M_{nn}(s), \end{aligned} \quad (2.46)$$

în care

$$M_{nk}(s) = (-1)^{n-k} s^{k-1}, \quad k = 1, 2, \dots, n, \quad (2.47)$$

sunt minorii matricii caracteristice $Is - A$ corespunzători elementelor ultimei sale linii. Înlocuind (2.47) în (2.46) se obține imediat (2.45), cu $\Delta(s)$ de forma (2.1).

Având în vedere faptul că matricea companion a unui polinom se construiește foarte ușor, rezultă că tehniciile bazate pe șirul puterilor unei matrici, expuse la 2.2 se pot aplica imediat.

Nu același lucru se poate afirma despre rezultatele de tip inegalitate de la 2.1. Într-adevăr, examinând rezultatele bazate pe discurile

lui Gherşgorin (v. 2.1.1) se trage concluzia că numai teorema 13 poate fi aplicată matricei (2.44), iar ceea ce se obține coincide cu teorema 22 de la 1.2.4, pentru $a_0 = 1$.

2.3.2. Partea simetrică a unei matrici

Pentru a obține rezultate privitoare la localizarea valorilor proprii într-o bandă verticală din planul complex se poate face uz de teorema următoare, valabilă pentru orice matrice A , reală de ordinul n , a cărei parte simetrică se determină cu relația

$$A_s = \frac{1}{2} (A + A^T). \quad (2.48)$$

Fie λ_i , $i = 1, 2, \dots, n$, valorile proprii ale matricii A și fie μ_{\min} , μ_{\max} valorile proprii minimă, respectiv maximă ale matricii A_s (valorile proprii ale oricărei matrice reale simetrice sunt toate reale, [B5], [G1]).

Teorema 20 (Bendixson). Pentru orice matrice A are loc

$$\mu_{\min} \leq \operatorname{Re} \lambda_i \leq \mu_{\max}, \quad i = 1, 2, \dots, n. \quad (2.49)$$

D. Fie forma hermitică (v. anexa D)

$$y = x^* A_s x, \quad x \in \mathbb{C}^n, \quad (2.50)$$

unde x^* este conjugatul transpus al vectorului x , și fie transformarea

$$x = V_s \tilde{x}, \quad (2.51)$$

unde V_s este matricea modală a matricii A_s . În cazul matricilor reale simetrice V_s este ortogonală, adică satisfac condiția $V_s^T = V_s^{-1}$, [B5].

Înlocuind (2.51) în (2.50) se obține

$$y = \tilde{x}^* V_s^{-1} A_s V_s \tilde{x} = \tilde{x}^* \operatorname{diag}(\mu_1, \mu_2, \dots, \mu_n) \tilde{x} = \sum_{j=1}^n \mu_j \tilde{x}_j \bar{\tilde{x}}_j, \quad (2.52)$$

în care μ_j , $j = 1, 2, \dots, n$, sunt valorile proprii ale matricii A_s și \tilde{x}_j , $j = 1, 2, \dots, n$, sunt componentele vectorului \tilde{x} și respectiv conjugatele lor.

Pe de altă parte, înlocuind (2.48) în (2.50) pentru $x = v$, unde v este vectorul propriu corespunzător valorii proprii λ (pentru simplificare nu mai scriem indicele i) a matricii A , putem scrie succesiv

$$\begin{aligned} y &= v^* \frac{1}{2} (A + A^T) v = \frac{1}{2} v^* A v + \frac{1}{2} v^* A^T v = \frac{1}{2} v^* \lambda v + \frac{1}{2} v^* \bar{\lambda} v = \\ &= v^* \frac{\lambda + \bar{\lambda}}{2} v = v^* v \operatorname{Re} \lambda. \end{aligned} \quad (2.53)$$

Pentru $\tilde{v} = V_s \tilde{v}$ în (2.53), ținind seama de faptul că $V_s^T V_s = V_s^{-1} V_s = I$ și pentru $\tilde{x} = \tilde{v}$ în (2.52) se obține egalitatea

$$(\operatorname{Re} \lambda) \sum_{j=1}^n \tilde{v}_j \bar{\tilde{v}}_j = \sum_{j=1}^n \mu_j \tilde{v}_j \bar{\tilde{v}}_j, \quad (2.54)$$

în care \tilde{v}_j și $\bar{\tilde{v}}_j$, $j = 1, 2, \dots, n$, sunt componentele vectorului \tilde{v} și respectivele conjugatele lor. Făcând acum în (2.54) majorarea $\mu_j \rightarrow \mu_{\max}$ și respectiv minorarea $\mu_j \rightarrow \mu_{\min}$, ambele pentru toți $j = 1, 2, \dots, n$, se obține imediat (2.49).

Rezultatul formulat prin *teorema 20* poate fi folosit pentru obținerea următoarelor condiții suficiente de stabilitate asimptotică.

Teorema 21. O matrice A , reală de ordinul n , este hurwitziană dacă

$$\mu_{\max} < 0. \quad (2.55)$$

Din punct de vedere practic, în locul *teoremei 21* este mai util următorul rezultat echivalent, în care prin A_{sk} vom nota minorii principali diagonali ai matricii A_s .

Teorema 22. O matrice A , reală de ordinul n , este hurwitziană dacă

$$(-1)^k A_{sk} > 0, \quad k = 1, 2, \dots, n. \quad (2.56)$$

D. Dacă A_s satisfacă (2.55) atunci ea este negativ definită. Conform criteriului lui Sylvester (anexă D) A_s este negativ definită dacă și numai dacă are loc (2.56).

Exemplul 2.6. Se consideră matricea

$$A = \begin{bmatrix} -1 & a \\ b & -1 \end{bmatrix}.$$

Să se determine în planul (a, b) domeniul în care (2.56) este satisfăcută și să se compare cu domeniul de stabilitate asimptotică și cu domeniul determinat cu (2.16).

Aveam

$$A_s = \begin{bmatrix} -1 & \frac{a+b}{2} \\ \frac{a+b}{2} & -1 \end{bmatrix}$$

și

$$A_{s1} = -1 < 0, \quad A_{s2} = 1 - \frac{1}{4}(a+b)^2 > 0,$$

din care rezultă $-2 < a + b < 2$, respectiv domeniul cuprins între dreptele paralele (d_1) și (d_2) din fig. II.23.

Pentru determinarea domeniului de stabilitate asimptotică se calculează

$\Delta(s) = \det(I_s - A) = s^2 + 2s + 1 - ab$ și se pune condiția $ab < 1$. Domeniul corespunzător este cuprins între arcele de hiperbolă (h_1) și (h_2) , fig. II.23.

În sfîrșit, folosind (2.16) rezultă

$-1 < a < 1$, $-1 < b < 1$; iar domeniul corespunzător este interiorul pătratului P , fig. II.23.

Concluzia care se desprinde din acest exemplu este că prin condiția suficientă (2.56) se obține un domeniu mai mic decât cel de stabilitate asimptotică (acestea coincid numai dacă însăși matricea A este simetrică), dar mai mare decât cel furnizat de condiția suficientă (2.16).

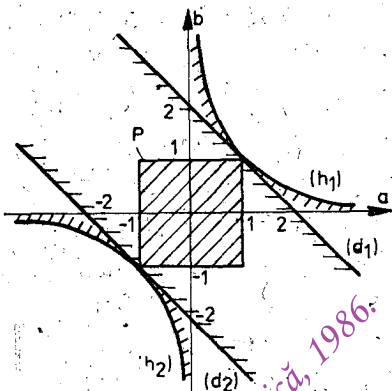


Fig. II.23. Comparatie la exemplul 2.6. între domeniul de stabilitate asimptotică și domenile obținute cu (2.16) și (2.56).

2.3.3. Matricea Hankel asociată unei fractii rătională

Fie fractia rătională

$$R(s) = \frac{Q(s)}{P(s)}, \quad s \in \mathbb{C}, \quad (2.57)$$

unde $P(s)$ și $Q(s)$ sunt două polinoame cu coeficienți reali, relativ prime între ele, cu grad $Q = m \leq \text{grad } P = n$.

Se știe că funcția $R(s)$ poate fi dezvoltată în serie de forma

$$R(s) = s_{-1} + s_0 s^{-1} + s_1 s^{-2} + \dots, \quad (2.58)$$

în care s_i , $i = -1, 0, 1, 2, \dots$, se numesc *parametrii Markov* ai fractiei $R(s)$. Cu ajutorul acestor parametri se definesc matricile de tip Hankel

$$H_R^{0k} = \begin{bmatrix} s_0 & s_1 & \dots & s_{k-1} \\ s_1 & s_2 & \dots & s_k \\ \vdots & \vdots & \ddots & \vdots \\ s_{k-1} & s_k & \dots & s_{2k-2} \end{bmatrix}, \quad H_R^{1k} = \begin{bmatrix} s_1 & s_2 & \dots & s_k \\ s_2 & s_3 & \dots & s_{k+1} \\ \vdots & \vdots & \ddots & \vdots \\ s_k & s_{k+1} & \dots & s_{2k-1} \end{bmatrix}, \quad (2.59)$$

numite *matricile Hankel de ordinul k* asociate fractiei $R(s)$.

Matricile (2.59) au fost utilizate pentru obținerea unor rezultate de stabilitate. De exemplu, separând în $\Delta(s)$, relația (2.1), polinoamele $\Delta_p(s)$ și $\Delta_i(s)$ conform ecuației

$$\Delta(s) = \Delta_p(z) + s\Delta_i(z), \quad z = s^2, \quad (2.60)$$

numite *partea pară* și respectiv *partea impară* a lui $\Delta(s)$, și înlocuind

$$P(z) = \Delta_p(z), Q(z) = \Delta_i(z) \quad (2.61)$$

să obține

$$R(z) = \frac{\Delta_i(z)}{\Delta_p(z)} = z_{-1} + z_0 z^{-1} - z_1 z^{-2} + z_2 z^{-3} - z_3 z^{-4} + \dots \quad (2.62)$$

În acest caz coeficienții z_i , $i = -1, 0, 1, 2, \dots$, se numesc *parametrii Markov* ai polinomului $\Delta(s)$. Matricile Hankel corespunzătoare au formele

$$H^{0k} = \begin{bmatrix} z_0 & z_1 & \dots & z_{k-1} \\ z_1 & z_2 & \dots & z_k \\ \vdots & \vdots & \ddots & \vdots \\ z_{k-1} & z_k & \dots & z_{2k-2} \end{bmatrix}, \quad H^{1k} = \begin{bmatrix} z_1 & z_2 & \dots & z_k \\ z_2 & z_3 & \dots & z_{k+1} \\ \vdots & \vdots & \ddots & \vdots \\ z_k & z_{k+1} & \dots & z_{2k-1} \end{bmatrix}. \quad (2.63)$$

Rezultatul de stabilitate, a cărui demonstrație este dată în [G1], are următoarea formulare.

Teorema 23 (Cebîșev-Markov-Gantmacher). Polinomul $\Delta(s)$ este hurwitzian dacă și numai dacă matricele reale simetrice H^{0k} și H^{1k} sunt pozitiv definite, unde $k = n/2$ sau $(n-1)/2$ după cum n este par sau impar; în ultimul caz există și condiția suplimentară $z_{-1} > 0$.

Un rezultat similar a fost formulat și pentru polinoame convergente [D3].

Exemplul 2.7. Se consideră polinomul

$$\Delta(s) = s^4 + 2s^3 + 9s^2 + s + 4.$$

Să se studieze natura acestui polinom.

Evident, putem face separarea

$$\Delta(s) = s^4 + 9s^2 + 4 + s(2s^2 + 1),$$

ceea ce înseamnă

$$\Delta_p(z) = z^2 + 9z + 4, \quad \Delta_i(z) = 2z + 1,$$

$$R(z) = \frac{2z + 1}{z^2 + 9z + 4} = 2z^{-1} - 17z^{-2} + 145z^{-3} - 1237z^{-4} + \dots$$

Matricile Hankel

$$H^{02} = \begin{bmatrix} 2 & 17 \\ 17 & 145 \end{bmatrix}, \quad H^{12} = \begin{bmatrix} 7 & 145 \\ 145 & 1235 \end{bmatrix}$$

fiind pozitiv definite, rezultă că $\Delta(s)$ este hurwitzian.

Deși, comparativ cu criteriul Hurwitz (teorema 5 de la 1.1.2), ordinul cel mai mare al determinanților care trebuie calculați în cazul teoremei 23 se reduce la jumătate, acest rezultat este mai puțin semnificativ pentru aplicații deoarece este legat de dificultatea majoră a calculării parametrilor Markov. Cu toate acestea, din punct de vedere teoretic, ideea asocierii matricilor (2.59) fracției $R(s)$, respectiv polinoamelor $P(s)$ și $Q(s)$ s-a dovedit semnificativă după cum se va vedea mai jos.

2.3.4. Matricea Hankel asociată unei perechi de matrice

Prin extensie, matricea Hankel a parametrilor Markov poate fi asociată și matricilor A , de ordinul n , și B , de ordinul m , considerind în (2.57)

$$P(s) = \det [I_n s - A], \quad (2.64)$$

$$Q(s) = \det [I_m s - B], \quad (2.65)$$

unde I_n și I_m sunt matricile unitate corespunzătoare.

Evident utilizarea matricilor (2.59), asociate de astă dată matricilor A și B , presupune calculul determinantelor din (2.64) și (2.65) și apoi a parametrilor Markov.

După cum s-a arătat recent, [D4], aceste dezavantaje pot fi evitate dacă matricile A și B sunt de tip *Hessenberg inferior normalize*, adică de forma

$$A = \begin{bmatrix} a_{11} & 1 & 0 & \dots & 0 \\ a_{21} & a_{22} & 1 & \dots & 0 \\ \vdots & \vdots & \vdots & \ddots & \vdots \\ a_{n-11} & a_{n-12} & a_{n-13} & \dots & 1 \\ a_{n1} & a_{n2} & a_{n3} & \dots & a_{nn} \end{bmatrix}, \quad B = \begin{bmatrix} b_{11} & 1 & 0 & \dots & 0 \\ b_{21} & b_{22} & 1 & \dots & 0 \\ \vdots & \vdots & \vdots & \ddots & \vdots \\ b_{n-11} & b_{n-12} & b_{n-13} & \dots & 1 \\ b_{n1} & b_{n2} & b_{n3} & \dots & b_{nn} \end{bmatrix}. \quad (2.66)$$

Prin definiție matricea reală simetrică

$$H_{AB} = [h_1 \ h_2 \ \dots \ h_n],$$

determinată după cum urmează:

$$\begin{aligned} w_n &= [0 \ 0 \ \dots \ 0 \ c]^T, \quad c \neq 0 \\ w_{n-1} &= -(A + b_{nn}I)w_n, \\ w_{n-2} &= -(A + b_{n-1,n-1}I)w_{n-1} - b_{n,n-1}w_n, \\ &\dots \\ w_1 &= -(A + b_{22}I)w_2 - b_{32}w_3 - \dots - b_{n2}w_n; \end{aligned} \quad (2.67)$$

$$h_1 = (A + b_{11}I)w_1 + \sum_{j=2}^{i=1} b_{j1}w_j, \quad (2.68)$$

$$h_{i+1} = (A - a_{ii}I)h_i - \sum_{k=1}^{i-1} a_{ik}h_k, \quad i = 1, 2, \dots, n-1,$$

se numește *matricea Hankel generalizată a parametrilor Markov*, asociată matricelor A și B , de tip Hessenberg inferior normalizate.

Faptul că H_{AB} reprezintă realmente o generalizare a matricilor (2.59) rezultă din faptul că, de exemplu, pentru A și B matrici de tip Frobenius, $P(s) = \det(Is - A)$ și $Q(s) = (-1)^n \det(Is + B)$ și $c = = (-1)^{n-1}s_{-1}$ din (2.67), (2.68) se obține $H_{AB} = H_B^n$, [D4].

Particularizând matricea B , și anume $B = A$, în [D4] s-a demonstrat următorul rezultat.

Teorema 24 (Datta). Matricea A , de tip Hessenberg inferior normalizată, este hurwitziană dacă și numai dacă matricea

$$S = WH_{AA} \quad (2.69)$$

este negativ definită, unde

$$W = [w_1 \ w_2 \ \dots \ w_n] \quad (2.70)$$

cu w_k , $k = 1, 2, \dots, n$, determinată cu (2.67).

Exemplul 2.8. Se consideră matricea de tip Hessenberg inferior normalizată

$$A = \begin{bmatrix} -1 & 1 & 0 \\ 2 & -2 & 1 \\ 3 & -4 & 1 \end{bmatrix}.$$

Se cere să se determine natura ei.

Utilizând relațiile (2.67), (2.68) obținem:

$$w_3 = \begin{bmatrix} 0 \\ 0 \\ 1 \end{bmatrix}, \quad w_2 = -\begin{bmatrix} 0 & -1 & 0 \\ 2 & -1 & 1 \\ 3 & -4 & 2 \end{bmatrix} \begin{bmatrix} 0 \\ 0 \\ 1 \end{bmatrix} = \begin{bmatrix} 0 \\ -1 \\ -2 \end{bmatrix},$$

$$w_1 = -\begin{bmatrix} -3 & 1 & 0 \\ 2 & -4 & 1 \\ 3 & -4 & -1 \end{bmatrix} \begin{bmatrix} 0 \\ -1 \\ -2 \end{bmatrix} + 4 \begin{bmatrix} 0 \\ 0 \\ 1 \end{bmatrix} = \begin{bmatrix} 1 \\ -2 \\ -2 \end{bmatrix}; \quad W = \begin{bmatrix} 1 & 0 & 0 \\ -2 & -1 & 0 \\ -2 & -2 & 1 \end{bmatrix};$$

$$h_1 = \begin{bmatrix} -2 & 0 & 0 \\ 3 & -1 & 1 \\ 3 & -4 & 0 \end{bmatrix} \begin{bmatrix} -1 \\ -2 \\ -2 \end{bmatrix} + 2 \begin{bmatrix} 0 \\ -1 \\ -2 \end{bmatrix} + 3 \begin{bmatrix} 0 \\ 0 \\ 1 \end{bmatrix} = \begin{bmatrix} -4 \\ 4 \\ 10 \end{bmatrix},$$

$$h_2 = \begin{bmatrix} 0 & 1 & 0 \\ 2 & -1 & 1 \\ 3 & -4 & 2 \end{bmatrix} \begin{bmatrix} -4 \\ 4 \\ 10 \end{bmatrix} = \begin{bmatrix} 4 \\ -2 \\ -8 \end{bmatrix},$$

$$h_3 = \begin{bmatrix} 1 & 1 & 0 \\ 2 & 0 & 1 \\ 3 & -4 & 3 \end{bmatrix} \begin{bmatrix} 4 \\ -2 \\ -8 \end{bmatrix} - 2 \begin{bmatrix} -4 \\ 4 \\ 10 \end{bmatrix} \begin{bmatrix} 10 \\ -8 \\ -24 \end{bmatrix}.$$

Așadar

$$H_{AA} = \begin{bmatrix} -4 & 4 & 10 \\ 4 & -2 & -8 \\ 10 & -8 & -24 \end{bmatrix}, \quad S = WH_{AA} = \begin{bmatrix} -4 & 4 & 10 \\ 4 & -6 & -12 \\ 10 & -12 & -28 \end{bmatrix}.$$

Condițiile ca S să fie negativ definită sunt:

$$\begin{aligned} (-1)(-4) &> 0, \\ (-1)^2 \begin{vmatrix} -4 & 4 \\ 4 & -6 \end{vmatrix} &= 8 > 0 \\ (-1)^3 \begin{vmatrix} -4 & 4 & 10 \\ 4 & -6 & -12 \\ 10 & -12 & -28 \end{vmatrix} &= -8 < 0, \end{aligned}$$

ceea ce înseamnă că matricea considerată este hurwitziană.

Rezultatul formulat prin *teorema 24* este important în primul rînd pentru aplicații, în cazul sistemelor continue de dimensiuni mari, deoarece nu pretinde determinarea polinomului caracteristic sau folosirea transformării omografice (v. 2.2.2.). Relațiile recurente (2.67), (2.68) nu ridică nici un fel de probleme din punctul de vedere al utilizării calculatorului numeric. De asemenea, determinarea faptului că matricea S este sau nu negativ definită este o chestiune, din punct de vedere numeric, complet rezolvată.

Aspectul aparent particular că *teorema 24* se referă numai la matrice de tip Hessenberg inferior normalizate nu constituie un dezavantaj, deoarece orice matrice *nederogatorică* (sau *ciclică*) poate fi redusă prin transformări elementare (ușor determinabile și algoritmizabile pentru utilizarea calculatorului numeric, [D 1, 2] [G 2], [S 1], [W 1, 2]) la o matrice asemenea de tip Hessenberg normalizată (cu elemente „1” pe codiagonală). O matrice A , de ordinul n , este *nederogatorică* dacă și numai dacă în șirul de polinoame (5.24) de la I.5.2.1 avem $\Delta_{n-1}(s) \equiv 1$, [G1], sau echivalent, este *ciclică* dacă și numai, dacă există un vector b , n -dimensional, astfel încit perechea (A, b) este complet controlabilă, [K1]. Matricile derogatorice sunt matrici cu valori proprii multiple în a căror formă canonica Jordan o aceeași valoare proprie apare în mai multe blocuri Jordan, aşa cum se exemplifică prin relația (5.19) de la I.5.2.1 sau la exemplul de la I.5.2.2. b. În aplicații astfel de matrici se întâlnesc numai rareori. Totuși, chiar și în cazul matricilor derogatorice se poate ajunge prin transformări elementare, [W 1], la matrice asemenea de tip *Hessenberg reduse* (cu unele elemente nule pe codiagonală), formate din submatrici *Hessenberg nereduse* (cu elemente nenule pe codiagonală). Evident, acestea din urmă sunt asemenea cu matrici Hessenberg normalizate, cărora li se poate aplica *teorema 24*.

3. Tehnici frecvențiale

Metoda frecvențială este prima metodă de analiză și de sinteză a sistemelor automate care s-a dezvoltat unitar și care s-a aplicat conșteient în perioada clasică a automatizării (anii '30-'50). Se poate afirma cu certitudine că marea majoritate a sistemelor automate de tip clasic existente astăzi în industrie sau în alte domenii au fost proiectate și realizate pe baza conceptelor și tehniciilor elaborate în cadrul metodei frecvențiale. Succesul aplicării acestei metode în proiectarea sistemelor automate liniare a determinat utilizarea ei, cu adaptările de rigoare, și pentru sistemele automate neliniare, obțininduse de asemenea rezultate remarcabile.

După o perioadă de penumbră, datorată dezvoltării metodei variabilelor de stare, metoda frecvențială revine în anii '80 cu vigoare în actualitate, dar la un nivel superior, și anume cu rezultate aplicabile sistemelor automate multivariabile. Explicația acestui fapt, nesurprinzător în dialectica dezvoltării științelor, constă în aceea că metoda frecvențială oferă soluții simple de proiectare pentru multe tipuri de sisteme automate utilizate în industrie. Aceste soluții asigură realizarea performanțelor impuse și proprietăți de robustețe, în condițiile în care parteua automatizată are un model matematic imprecis sau incert între anumite limite.

Baza matematică pe care s-a dezvoltat metoda frecvențială este constituită de transformarea Laplace, transformarea Fourier și teoria funcțiilor de variabilă complexă, iar în cadrul acesteia, de principiul argumentului.

3.1. Prinzipiuul argumentului

3.1.1. Integrala pe contur a derivatei logaritmice

Ric

$$G(s) = \frac{Q(s)}{P(s)}, \quad s \in \mathbb{C}, \quad (3.1)$$

funcția de transfer a unui sistem dinamic liniar monovariabil, în care $P(s)$ și $Q(s)$ sunt două polinoame cu coeficienți reali, relativ prime între ele și cu grad $Q(s) = m$, grad $P(s) = n$.

1° Fie γ un contur închis în planul complex C , în interiorul căruia $G(s)$ are m_γ zerouri și n_γ poli, considerindu-se și multiplicitatele lor. Principiul argumentului, care permite evaluarea variației totale a $\arg G(s)$, $s \in \gamma$, se deduce din următorul rezultat clasic din teoria funcțiilor de o variabilă complexă.

Teorema 1 (Cauchy). Funcția $G(s)$, conform ipotezei 1°, satisfacă relația

$$\int_{\gamma} \frac{G'(s)}{G(s)} ds = 2\pi j(m_\gamma - n_\gamma). \quad (3.2)$$

D. Fie z_i , de multiplicitate m_i , $i = 1, 2, \dots, \mu$, zerourile lui $G(s)$ în interiorul lui γ și p_k , de multiplicitate n_k , $k = 1, 2, \dots, v$, polii lui $G(s)$ în interiorul lui γ . Conform ipotezei 1° au loc egalitățile

$$\sum_{i=1}^{\mu} m_i = m_\gamma, \quad \sum_{k=1}^v n_k = n_\gamma.$$

Pentru

$$\frac{G'(s)}{G(s)} = \frac{d}{ds} [\ln G(s)], \quad (3.3)$$

numită și *derivată logaritmică* a lui $G(s)$, atât z_i cât și p_k sunt, după cum se va vedea imediat, singularități de tip pol simplu. Ca urmare, pentru evaluarea integralei pe contur din (3.2), se aplică teorema reziduurilor, [A 1,2], [S 2], și se obține

$$\int_{\gamma} \frac{G'(s)}{G(s)} ds = 2\pi j \left[\sum_{i=1}^{\mu} \text{Rez}_{\gamma}(z_i) + \sum_{k=1}^v \text{Rez}_{\gamma}(p_k) \right]. \quad (3.4)$$

Pe de altă parte, pentru z_i putem scrie

$$G(s) = (s - z_i)^{m_i} G_z(s),$$

unde $G_z(s)$ este o fracție care nu are pe z_i ca zero.

În aceste condiții se obține

$$\frac{G'(s)}{G(s)} = \frac{m_i}{s - z_i} + \frac{G'_z(z)}{G_z(s)},$$

ceea ce înseamnă că reziduul corespunzător lui z_i (pol simplu al funcției $G'(s)/G(s)$) este $\text{Rez}_{\gamma}(z_i) = m_i$. În consecință

$$\sum_{i=1}^{\mu} \text{Rez}_{\gamma}(z_i) = \sum_{i=1}^{\mu} m_i = m_\gamma. \quad (3.5)$$

De asemenea pentru p_k putem scrie

$$G(s) = \frac{1}{(s - p_k)^{n_k}} G_p(s),$$

unde $G_p(s)$ este o fracție care nu are pe p_k drept pol, ceea ce conduce la

$$\frac{G'(s)}{G(s)} = \frac{-n_k}{s - p_k} + \frac{G'_p(s)}{G_p(s)}.$$

Reziduul corespunzător lui p_k (pol simplu al funcției $G'(s)/G(s)$) este $\text{Rez}_\gamma(p_k) = -n_k$. Ca urmare

$$\sum_{k=1}^v \text{Rez}_\gamma(p_k) = - \sum_{k=1}^v n_k = -n_\gamma. \quad (3.6)$$

Înlocuind acum (3.5) și (3.6) în (3.4) se obține (3.2).

2º Se presupune în plus că $G(s)$ are \tilde{m}_γ zerouri și \tilde{n}_γ poli, considerindu-se și multiplicitățile lor, pe conturul γ .

Vom da în continuare fără demonstrație, un rezultat care ține seama și de această ipoteză.

Teorema 2 (Cauchy). Funcția $G(s)$, conform ipotezelor 1º și 2º, satisface relația

$$\int_\gamma \frac{G'(s)}{G(s)} ds = 2\pi j(m_\gamma - n_\gamma) + \pi j(\tilde{m}_\gamma - \tilde{n}_\gamma). \quad (3.7)$$

3.1.2. Variația totală a argumentului

Înlocuind (3.3) în (3.7) se obține

$$[\ln G(s)]_{s \in \gamma} = 2\pi j(m_\gamma - n_\gamma) + \pi j(\tilde{m}_\gamma - \tilde{n}_\gamma). \quad (3.8)$$

$G(s)$, fiind o funcție de variabilă complexă, poate fi explicitată sub forma

$$G(s) = |G(s)| e^{j \arg G(s)}. \quad (3.9)$$

Înlocuind (3.9) în (3.8) și împărțind apoi prin j rezultă

$$[\arg G(s)]_{s \in \gamma} = 2\pi(m_\gamma - n_\gamma) + \pi(\tilde{m}_\gamma - \tilde{n}_\gamma), \quad (3.10)$$

deoarece $[\ln |G(s)|]_{s \in \gamma} = 0$.

Relația (3.10) este expresia analitică a principiului argumentului. La o alegere convenabilă a conturului γ relația (3.10) poate fi folosită

pentru evaluarea variației totale a argumentului în funcție de numărul de zerouri și de poli ai lui $G(s)$ situați în semiplanul $\text{Re } s \geq 0$. Un astfel de contur este *conturul Nyquist* γ_N — fig. II.24.

Fie $m_{\gamma_N} = m_+$ și $n_{\gamma_N} = n_+$ numărul de zerouri și respectiv de poli ai lui $G(s)$ în $\text{Re } s > 0$. Fie de asemenea m_0 și n_0 numărul de zerouri finite și respectiv de poli finiți ai lui $G(s)$ pe $\text{Re } s = 0$. Se știe că $G(s)$ mai are în punctul de la infinit fie un zero de multiplicitate $|m - n|$ pentru $m < n$, fie un pol de aceeași multiplicitate pentru $m > n$. Întrucit $R \rightarrow \infty$, fig. II.24, rezultă că punctul de la infinit aparține conturului γ_N . Ca urmare $\tilde{m}_{\gamma_N} - \tilde{n}_{\gamma_N} = m_0 - n_0 - (m - n)$.

În aceste circumstanțe din (3.10) se obține

$$\arg G(j\omega) \Big|_{\begin{array}{l} \omega = +\infty \\ \omega = -\infty \end{array}} = 2\pi(n_+ - m_+) + \pi(n_0 - m_0) + \pi(m - n), \quad (3.11)$$

deoarece

$$\arg G(j\omega) \Big|_{\begin{array}{l} \omega = -\infty \\ \omega = +\infty \end{array}} = -\arg G(j\omega) \Big|_{\begin{array}{l} \omega = +\infty \\ \omega = -\infty \end{array}}.$$

Întrucit

$$\arg G(j\omega) \Big|_{\begin{array}{l} \omega = +\infty \\ \omega = -\infty \end{array}} = 2\arg G(j\omega) \Big|_{\omega = 0}, \quad (3.12)$$

din (3.11) se mai obține

$$\arg G(j\omega) \Big|_{\begin{array}{l} \omega = +\infty \\ \omega = 0 \end{array}} = \pi(n_+ - m_+) + \frac{\pi}{2}(n_0 - m_0) + \frac{\pi}{2}(m - n). \quad (3.13)$$

Precizăm că (3.12) este o consecință a proprietății $G(\bar{s}) = \bar{G}(s)$, $s \in \mathbb{C}$, (proprietatea de reflexie — valabilă numai pentru funcții $G(s)$ cu coeficienți reali) ceea ce, pentru $s = j\omega$, implică $G(-j\omega) = \bar{G}(j\omega)$, $\omega \geq 0$, respectiv $\arg G(-j\omega) = -\arg G(j\omega)$, $\omega \geq 0$.

3.1.3. Criteriul Cremer-Leonhard

Forma (3.13) a principiului argumentului poate fi aplicată imediat pentru obținerea unui rezultat de stabilitate asimptotică sau IMEM pentru sisteme continue în timp atunci cînd se cunoaște polinomul caracteristic sau polinomul polilor.

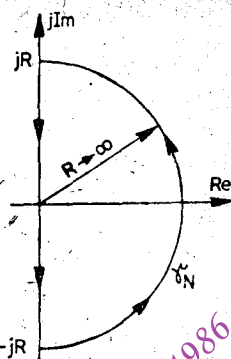


Fig. II.24. Conturul Nyquist.

Mihai Telesh, 1986. Ediția tehnologică a stabilitei sistemelor autonome.

Fie $\Delta(s)$ un polinom cu coeficienți reali, cu grad $\Delta(s) = r$.

Teorema 3 (Cremer-Leonhard). Polinomul $\Delta(s)$ este hurwitzian dacă și numai dacă

$$\arg \Delta(j\omega) \Big|_{\begin{array}{l} \omega=+\infty \\ \omega=0 \end{array}} = \frac{\pi}{2} r. \quad (3.14)$$

D. Fie $\Delta(s)$ cu r_+ zerouri în $\operatorname{Re} s > 0$ și r_0 zerouri pe $\operatorname{Re} s = 0$. În aceste condiții, conform principiului argumentului, putem scrie

$$\arg \Delta(j\omega) \Big|_{\begin{array}{l} \omega=+\infty \\ \omega=0 \end{array}} = -\pi r_+ - \frac{\pi}{2} r_0 + \frac{\pi}{2} r. \quad (3.15)$$

Suficiența. Dacă (3.14) este adevărată atunci $r_+ = 0$ și $r_0 = 0$, ceea ce înseamnă că $\Delta(s)$ este hurwitzian.

Necesitatea. Dacă $\Delta(s)$ este hurwitzian atunci $r_+ = 0$ și $r_0 = 0$. În aceste condiții din (3.15) rezultă (3.14). ■

Un rezultat echivalent cu acesta și care face uz de hodograful $\Delta(j\omega)$ a fost enunțat prin *teorema 4* de la 1.1.1. *Teorema 3* are calitatea că este mai precisă și că atare este mai eficientă în aplicații. Din acest punct de vedere poate fi mai util următorul enunț echivalent.

Teorema 4 (Cremer-Leonhard). Polinomul $\Delta(s)$ este hurwitzian dacă și numai dacă hodograful $\Delta(j\omega)$, $\omega \geq 0$ parcurge în sens pozitiv exact r cadrane.

Că exemplu de aplicare a *teoremelor 3 și 4* se poate revedea *exemplul 1.1* de la 1.1.1.

3.1.4. Semnificația lui $G(j\omega)$

Se consideră sistemul cu funcția de transfer $G(s)$ de forma (3.1), descris de relația intrare-iesire

$$Y(s) = G(s) U(s). \quad (3.16)$$

Mărimea de intrare este funcția sinusoidală

$$u(t) = \sin \omega_0 t, \quad t \geq 0,$$

și ne interesează să determinăm componenta de regim permanent $y_p(t)$, $t \geq 0$, a lui $y(t)$, $t \geq 0$.

Se știe că

$$U(s) = \mathcal{L} \{ \sin \omega_0 t \} = \frac{\omega_0}{s^2 + \omega_0^2}, \quad (3.17)$$

ceea ce, după înlocuirea în (3.16), conduce la

$$Y(s) = G(s) \frac{\omega_0}{s^2 + \omega_0^2}. \quad (3.18)$$

Pentru simplificarea calculelor se presupune că $s = \pm j\omega_0$ nu este nici zero și nici pol al funcției $G(s)$.

Componența de regim permanent $Y_f(s)$ se separă foarte ușor din $Y(s)$ deoarece, se știe, ea este formată din fracțiile simple corespunzătoare polilor lui $U(s)$. Aceștia sunt $s_{1,2} = \pm j\omega_0$.

Așadar

$$Y_f(s) = \frac{A_1}{s - j\omega_0} + \frac{A_2}{s + j\omega_0}, \quad (3.19)$$

în care, conform teoremei dezvoltării (v. anexa A),

$$A_{1,2} = \frac{\omega_0(Q \pm j\omega_0)}{\frac{d}{ds} [P(s)(s^2 + \omega_0^2)]_{s=\pm j\omega_0}} = \pm \frac{1}{2j} G(\pm j\omega_0). \quad (3.20)$$

Întrucit

$$G(\pm j\omega_0) = R(\omega_0) \pm jI(\omega_0), \quad (3.21)$$

unde $R(\omega_0)$ și $I(\omega_0)$ sunt partea reală și respectiv imaginară a lui $G(j\omega_0)$, prin înlocuirea lui (3.21) în (3.20) și apoi în (3.19), după calcule elementare, din (3.19) rezultă

$$Y_f(s) = R(\omega_0) \frac{\omega_0}{s^2 + \omega_0^2} + I(\omega_0) \frac{s}{s^2 + \omega_0^2}.$$

Funcția originală corespunzătoare este

$$y(t) = |G(j\omega_0)| \sin(\omega_0 t + \arg G(j\omega_0)), \quad (3.22)$$

în care

$$|G(j\omega_0)| = \sqrt{R^2(\omega_0) + I^2(\omega_0)}, \quad \arg G(j\omega_0) = \arctg \frac{I(\omega_0)}{R(\omega_0)}.$$

Rezultatul (3.22) pune în evidență faptul că în regim permanent sinusoidal mărimea de ieșire a unui sistem dinamic liniar constant monovariabil este o funcție sinusoidală de amplitudine egală cu modulul lui $G(j\omega_0)$ și de defazaj, în raport cu intrarea, egal cu argumentul lui $G(j\omega_0)$. Acest fapt remarcabil justifică introducerea următoarei noțiuni.

Definiția 1. Funcția $G(j\omega)$ care definește complet regimul permanent sinusoidal pentru $\omega \in \mathbb{R}$ al sistemului dinamic liniar constant monovariabil cu funcția de transfer $G(s)$ se numește *răspunsul la frecvență* al respectivului sistem.

Răspunsul la frecvență se obține relativ ușor, prin calcul sau experimental, și se utilizează practic sub două forme grafice: *locul de transfer* și *diagrama Bode*.

Locul de transfer este hodograful funcției $G(j\omega)$, $\omega \in \mathbb{R}$.

Diagrama Bode este o reprezentare carteziană a funcțiilor

$$A_{dB}(\omega) = 20 \lg |G(j\omega)|, \quad \omega \geq 0, \quad (3.23)$$

$$\varphi(\omega) = \arg G(j\omega), \quad \omega \geq 0, \quad (3.24)$$

de regulă pentru o scară logaritmică în baza 10 a pulsării ω . $A_{dB}(\omega)$ se numește *atenuarea răspunsului la frecvență* și se măsoară în deciBell (dB) și $\varphi(\omega)$ se numește *faza răspunsului la frecvență* și se măsoară în grade (mai rar în radiani). Utilizarea diagramei Bode este preponderentă, deoarece, adeseori, *caracteristica atenuare-frecvență* (3.23) și uneori și *caracteristica fază-frecvență* (3.24) pot fi aproximate prin segmente de dreaptă. Totodată, diagrama Bode permite evidențierea și utilizarea mai simplă a corelațiilor care există sau se dorește să existe, pe anumite benzi de frecvență, între atenuarea și faza răspunsului la frecvență.

3.2. Criteriul Nyquist

3.2.1. Utilizarea locului de transfer

Fie sistemul automat cu structura din fig. II.6, b, în care

$$G(s) = G_R(s)G_F(s) \quad (3.25)$$

este funcția de transfer a sistemului deschis, de forma (3.1), cu $m < n$. Funcții de transfer intrare-iesire și perturbație-iesire au respectiv expresiile

$$G_0(s) = \frac{G(s)}{F(s)}, \quad G_{0w}(s) = \frac{1}{F(s)}, \quad (3.26)$$

în care s-a notat

$$F(s) = 1 + G(s) = \frac{P(s) + Q(s)}{P(s)}. \quad (3.27)$$

Polii lui $G_0(s)$ și $G_{0\omega}(s)$ sunt de fapt zerourile lui $F(s)$, respectiv zerourile polinomului $P(s) + Q(s)$. În general $F(s)$ poate avea z_+ zerouri în $\text{Re } s > 0$ și z_0 zerouri pe $\text{Re } s = 0$. Polii lui $F(s)$ coincid cu polii lui $G(s)$, dintre care n_+ se află în $\text{Re } s > 0$ și n_0 pe $\text{Re } s = 0$. Punctul de la infinit nu este nici zero și nici pol pentru $F(s)$, deoarece $F(s)$ este raportul a două polinoame de grad n . În aceste condiții variația totală a argumentului lui $F(j\omega)$, $\omega \in \mathbb{R}$, se determină cu formula (3.11) și are expresia

$$\arg F(j\omega) \Big|_{\begin{array}{l} \omega=+\infty \\ \omega=-\infty \end{array}} = 2\pi(n_+ - z_+) + \pi(n_0 - z_0). \quad (3.28)$$

Conform teoremei 8 de la I.6.4.1 sistemul automat cu structura din fig. II.6, b este stabil IMEM dacă și numai dacă toți polii lui $G_0(s)$ și $G_{0\omega}(s)$, respectiv toate zerourile lui $F(s)$ sunt situate în semiplanul $\text{Re } s < 0$. În aceste circumstanțe putem enunța următorul rezultat.

Teorema 5 (Nyquist). Sistemul automat cu structura din fig. II.6, b este stabil IMEM dacă și numai dacă $F(s)$, definit prin (3.27), satisfacă condiția

$$\arg F(j\omega) \Big|_{\begin{array}{l} \omega=+\infty \\ \omega=-\infty \end{array}} = 2\pi n_+ + \pi n_0. \quad (3.29)$$

D. Suficiența. Dacă (3.29) este adeverată atunci din (3.28) rezultă $z_+ = 0$ și $z_0 = 0$, ceea ce este suficient pentru stabilitatea IMEM a sistemului automat.

Necesitatea. Dacă sistemul automat este stabil IMEM atunci $z_+ = 0$ și $z_0 = 0$. În aceste condiții din (3.28) rezultă (3.29).

Din punct de vedere practic, este mai util și mai simplu de aplicat un enunț echivalent al teoremei 5, care se bazează pe următoarea observație. Întrucât între $F(s)$ și $G(s)$ există relația (3.27), este suficient să se reprezinte hodograful $G(j\omega)$, $\omega \in \mathbb{R}$, celălalt hodograf, și anume $F(j\omega)$, $\omega \in \mathbb{R}$, rezultând automat față de o nouă origine, translată în punctul $(-1, j0)$, fig. II.25. Enunțul echivalent al teoremei 5 este următorul.

Teorema 6 (Nyquist). Sistemul automat cu structura din fig. II.6, b este stabil IMEM dacă și numai dacă locul de transfer al sistemului deschis (hodo-

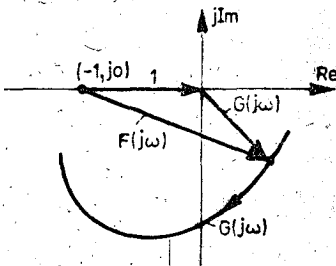


Fig. II.25. Determinarea lui $F(j\omega)$ din $G(j\omega)$.

graful $G(j\omega)$ înconjoară punctul $(-1, j0)$ în sens pozitiv de un număr de $\left(n_+ + \frac{1}{2} n_0\right)$ ori atunci cind ω variază de la $-\infty$ la $+\infty$.

S-a văzut că n_+ și n_0 sunt polii lui $G(s)$ în $\text{Re } s > 0$ și respectiv pe $\text{Re } s = 0$. Aceasta înseamnă că sistemul deschis, reprezentat de funcția de transfer $G(s)$, poate fi arbitrar instabil IMEM. Dacă are loc condiția (3.29) atunci prin introducerea reacției inverse conform fig. II.6, b, sistemul inchis corespunzător este stabil IMEM. Această calitate deosebit de importantă a reacției a mai fost pusă în evidență la 1.1.6 și la 1.1.8.

Un caz frecvent întâlnit în aplicații este acela în care sistemul deschis, reprezentat de funcția de transfer $G(s)$, are cel mult doi poli în semiplanul $\text{Re } s \geq 0$ și anume în origine ($s = 0$), ceea ce înseamnă că $n_+ = 0$ și $n_0 \leq 2$. În astfel de cazuri se aplică o formă particulară a teoremei 6.

Teorema 7 (Nyquist). Sistemul automat cu structură din fig. II.6, b, în care $G(s)$, definit prin (3.25), are cel mult doi poli în originea planului complex și restul de poli sunt toți în $\text{Re } s < 0$, este stabil IMEM dacă și numai dacă punctul $(-1, j0)$ este situat la stînga în afara locului de transfer $G(j\omega)$ atunci cind acesta este parcurs pentru ω luînd valori de la $-\infty$ la $+\infty$.

Atunci cind hodograful $G(j\omega)$ are o formă complicată este dificil să se determine la prima vedere dacă punctul $(-1, j0)$ este la stînga sau la dreapta locului de transfer $G(j\omega)$. Avind în vedere că hodograful $G(j\omega)$ este parcurs de la $\omega = -\infty$ la $\omega = +\infty$, deci în sens negativ pe conturul Nyquist — fig. II.24, rezultă că punctele situate la dreapta hodografului $G(j\omega)$, în sensul crescător al lui ω , sunt puncte interioare. Un procedeu expeditive de determinare a poziției punctului $(-1, j0)$ față de hodograful $G(j\omega)$ constă în hașurarea părții drepte a curbei $G(j\omega)$. Dacă punctul $(-1, j0)$ nu este într-o zonă hașurată atunci aceasta este în exteriorul hodografului $G(j\omega)$, respectiv la stînga sa atunci cind $G(j\omega)$ este parcurs pentru ω crescător.

Exemplu 3.1. Se consideră sistemul automat cu structura din fig. II.6, b și

$$G(s) = G_R(s)G_F(s) = \frac{4s^2 + 10s + 5}{s^3 + 2s^2 + s + 1}.$$

Se cere să se studieze stabilitatea IMEM a acestui sistem.

Folosind criteriul Hurwitz (teorema 5 de la 1.1.2) se trage concluzia că polinomul $s^3 + 2s^2 + s + 1$ este hurwitzian. În aceste condiții vom aplica teorema 7.

Locul de transfer $G(j\omega)$ are forma din fig. II.26, în care porțiunea trasată cu linie intreruptă corespunde lui $\omega < 0$ și, datorită proprietății de reflexie a lui $G(s)$, este sim-

trică cu $G(j\omega)$ pentru $\omega > 0$. Haşurind la dreapta hodograful $G(j\omega)$, $\omega \in \mathbb{R}$, se constată că punctul $(-1, j0)$ rămâne în afara și la stînga lui. Conform teoremei 7 sistemul automat considerat este stabil IMEM.

Exemplul 3.2. Se consideră sistemul automat din fig. II.6, b cu

$$G_R(s) = \frac{1}{s^\alpha}, \quad G_F(s) = \frac{s + 1}{s + 2}.$$

Se cere să se verifice dacă sistemul este stabil IMEM pentru $\alpha = 1$ și $\alpha = 2$.

Conform schemei din fig. II.6, b avem

$$G_\alpha(s) = \frac{s + 1}{s^\alpha(s + 2)} \text{ și } G_\alpha(j\omega) = \frac{j\omega + 1}{(j\omega)^\alpha(j\omega + 2)}$$

și locurile de transfer corespunzătoare sunt reprezentate în fig. II.27, a și b. Ambele hodografăe, $G_1(j\omega)$ și $G_2(j\omega)$, trec prin punctul de la infinit pentru $\omega = 0$. Examînînd poziția punctului $(-1, j0)$ se constată că pentru $\alpha = 1$ și $\alpha = 2$ sistemul considerat, conform teoremei 7, este stabil IMEM.

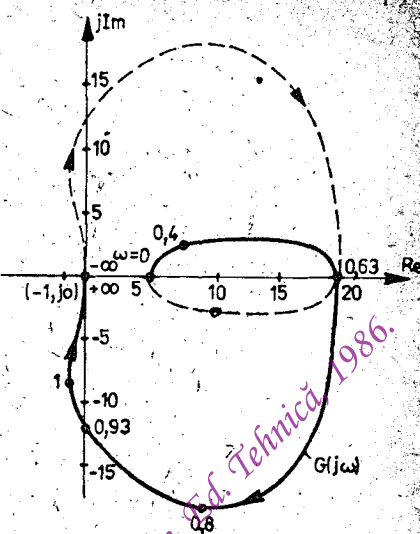


Fig. II.26: Locul de transfer al sistemului deschis la exemplul 3.1.

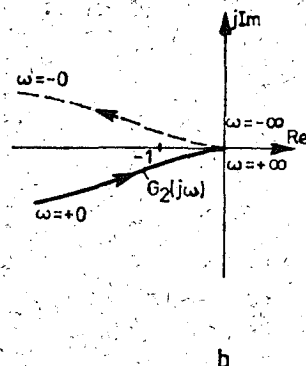
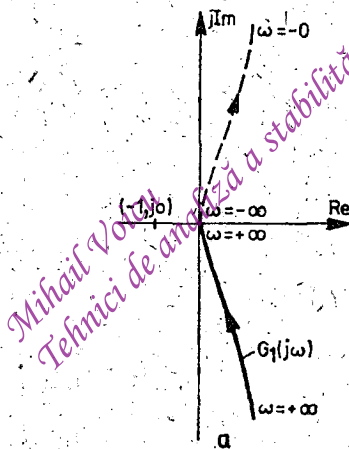


Fig. II.27. Locurile de transfer $G_1(j\omega)$ și $G_2(j\omega)$ la exemplul 3.2.

Un caz limită interesant este acela în care hodograful $G(j\omega)$ trece prin punctul $(-1, j0)$. Dacă așa stau lucrurile înseamnă că există valori ale variabilei $s = j\omega$ pentru care

$$G(j\omega) = -1,$$

respectiv $G_0(s)$ are poli pe $\text{Re } s = 0$. În atare circumstanțe sistemul automat cu structura din fig. II.6, b nu este stabil IMEM.

Din cele arătate pînă aici rezultă că punctul $(-1, j0)$ ocupă o poziție privilegiată relativ la stabilitatea IMEM a sistemului automat. Din acest motiv punctul $(-1, j0)$ se mai numește și *punct critic*. Intuitiv, este evident că în cazul sistemelor automate stable IMEM, cu cît locul de transfer $G(j\omega)$ este mai îndepărtat de punctul critic, cu atît sistemul respectiv are posibilități mai reduse de a deveni instabil IMEM la variația unora dintre parametrii săi.

Definiția 2. Pentru caracterizarea calității unui sistem automat liniar constant monovariabil se definește *stabilitatea relativă IMEM*, care se evaluează, conform fig. II.28, prin:

— *mărginea de amplificare*

$$m = \frac{1}{|G(j\omega_0)|}, \quad (3.30)$$

în care ω_0 este determinat prin $\arg G(j\omega_0) = -180^\circ$ și

— *mărginea de fază*

$$\gamma = \arg G(j\omega_1) + 180^\circ, \quad (3.31)$$

în care ω_1 este determinat prin $|G(j\omega_1)| = 1$, iar $\arg G(j\omega_1)$ este măsurat ca în fig. II.28 (și avînd, evident, o valoare negativă).

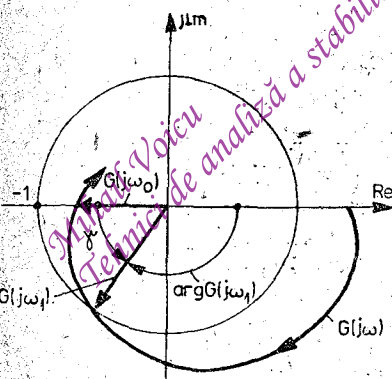


Fig. II.28. Definiția stabilității relative.

Spre deosebire de gradul de stabilitate IMEM, definit la I.6.4.2, care depinde numai de distribuția polilor lui $G_0(s)$ în planul complex, stabilitatea relativă IMEM depinde atât de distribuția polilor lui $G_0(s)$ (care coincid cu zerourile lui $F(s)$) cât și de cea a zerourilor lui $G_0(s)$ (care coincid cu zerourile lui $G(s)$).

Din acest punct de vedere stabilitatea relativă oferă o posibilitate, asemănătoare cu aceea asigurată de indicatorii performanțelor definiți pe baza răspunsului indicial (v. I.6.4.3), de apreciere a calităților unui sistem

automat, de această dată însă în regim permanent sinusoidal. Această facilitate și faptul că stabilitatea IMEM a unui sistem închis poate fi analizată pe baza cunoașterii locului de transfer al sistemului deschis (obținut prin calcul sau pe cale experimentală) constituie avantajele esențiale pe care le asigură tehniciile frecvențiale față de tehniciile polinomiale sau de cele matriceale.

S-a arătat că între răspunsul indicial și răspunsul la frecvență al unui sistem automat există relații bine definite, [V 9]. În acest context valorile recomandate pentru marginea de amplificare și marginea de căstig sint $m \geq 3$ și respectiv $\gamma \geq 30^\circ$.

Relațiile dintre indicatorii performanțelor definiți pe baza răspunsului indicial și anumiți parametri ai răspunsului la frecvență (printre care și stabilitatea relativă) au fost determinate pentru tipurile uzuale de funcții de transfer și au fost reproduse și în [V 9].

Satisfacerea valorilor recomandate ale stabilității relative se realizează, în fază de proiectare, prin alegerea regulatorului $G_R(s)$ cu structura și parametrii adecvați.

3.2.2. Aplicație: alegerea regulatorului unui sistem automat de urmărire

Se consideră sistemul automat de urmărire cu schema funcțional-tehnologică din fig. I.10 și schema bloc structurală din fig. I.11 (v. I.1.4.7).

Se cere să se determine parametrii k_0 , k și T ai regulatorului, astfel încât sistemul automat să aibă o stabilitate relativă IMEM la valori admisibile.

Pentru a examina în detaliu efectul regulatorului

$$G_R(s) = -k_0 \left(1 + \frac{k}{Ts + 1} \right) \quad (3.32)$$

asupra stabilității relative a sistemului de urmărire vom considera următoarele două cazuri.

a) $k_0 = 1$ și $k = 0$ ($R_1 = R_2$ și $R_3 = 0$, v. relațiile (I.1.131)), ceea ce înseamnă că

$$G_R(s) = -1. \quad (3.33)$$

Funcția de transfer a sistemului deschis are în acest caz forma

$$G_a(s) = G_R(s)G_{SM}(s)k_2k_1 = \frac{k_1k_2}{T_1s(T_2s + 1)}. \quad (3.34)$$

Pentru $k_1 = 0,05$, $T_1/k_2 = 0,5$, $T_2 = 0,05$ și $s = j\omega$ se obține

$$M_a(\omega) = |G_a(j\omega)| = \frac{2}{\omega\sqrt{\omega^2 + 400}} \quad (3.35)$$

$$\varphi_a(\omega) = \arg G_a(j\omega) = 270^\circ - \arctg \frac{\omega}{20}. \quad (3.36)$$

Locul de transfer $G_a(j\omega)$ este reprezentat în fig. II.29, a. Punctul $(-1, j0)$ este în exteriorul hodografului $G_a(j\omega)$. Conform teoremei 7 sistemul automat este stabil IMEM.

În ceea ce privește stabilitatea relativă, se constată că $m = \infty$ oricare ar fi $k_0 > 0$. Pentru $k_0 > 1$ se poate realiza $\gamma = 30^\circ - 50^\circ$.

În conformitate cu (3.31), (3.35) și (3.36) se obține

$$\begin{cases} k_0 M_a(\omega_1) = \frac{2k_0}{\omega_1 \sqrt{\omega_1^2 + 400}} = 1 \\ \varphi_a(\omega_1) = 180^\circ = 90^\circ - \arctg \frac{\omega_1}{20} = 30^\circ. \end{cases}$$

După calcule elementare, din acest sistem rezultă $\omega_1 = 20\sqrt{3}$ și $k_0 = 400\sqrt{3}$.

Pentru a vedea cît de bună este această soluție, să observăm că ecuația polilor sistemului automat este

$$T_1 T_2 s^2 + T_1 s + k_0 k_1 k_2 = 0.$$

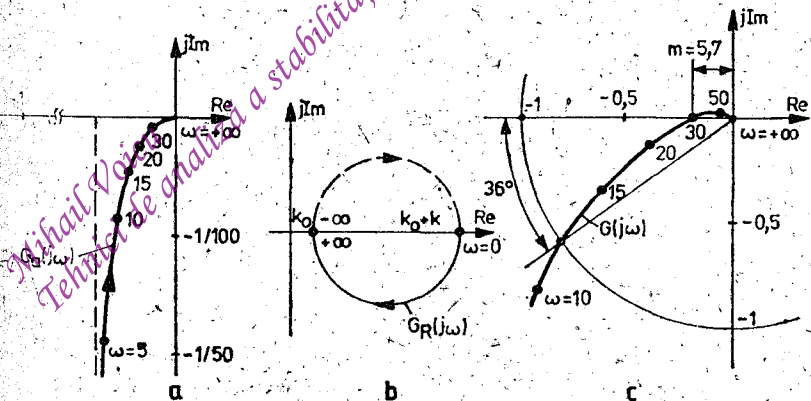


Fig. II.29. Locurile de transfer ale sistemului automat de urmărire:
a - al sistemului deschis pentru $k_0 = 1$, $k = 0$; b - al regulatorului (3.32); c - al sistemului deschis pentru $k_0 = 40$, $k = 3$, $T = 0,05$.

Pentru valorile numerice adoptate se obține pulsăția naturală

$$\omega_n = \sqrt{\frac{k_0 k_1 k_2}{T_1 T_2}} = 37 \text{ rad/s}$$

și factorul de amortizare

$$\zeta = \frac{1}{2 T_2 \omega_n} = 0,27.$$

Conform fig. I.20 rezultă o suprareglare $\sigma\% = 40\%$ și un timp de stabilizare la 5% $t_s = 0,3$ s. Evident, aceste performanțe se obțin numai pentru zona de liniaritate a amplificatorului de curent continuu. Rezultatele indică în mod clar că utilizarea unui regulator de forma $G_R(s) = -k_0$ nu conduce la rezultate acceptabile.

b) Pentru $k > 0$, ($R_3 > 0$, v. relațiile (I.1.131)), funcția de transfer a regulatorului are forma (3.32) și locul de transfer $G_R(j\omega)$, $\omega \in \mathbf{R}$, are imaginea din fig. II.29, b (s-a făcut abstracție de semnul „-“ din (3.32)) deoarece acesta este compensat de semnul „-“ din $G_{SM}(s)$, v. relația (I.1.122)).

Locul de transfer al sistemului deschis

$$G(j\omega) = G_R(j\omega)G_{SM}(j\omega)k_2k_1 = G_R(j\omega)G_a(j\omega), \quad \omega \in \mathbf{R},$$

se obține prin compunerea locurilor $G_a(j\omega)$ și $G_R(j\omega)$, fig. II.29, a și b, conform relațiilor

$$M(\omega) = |G(j\omega)| = M_R(\omega)M_a(\omega) \quad (3.37)$$

$$\varphi(\omega) = \arg G(j\omega) = \varphi_R(\omega) + \varphi_a(\omega), \quad (3.38)$$

în care

$$M_R(\omega) = G_R(\omega), \quad \varphi_R(\omega) = \arg G_R(\omega). \quad (3.39)$$

Este ușor de observat că efectul introducerii regulatorului $G_R(s)$ constă într-o rotire, în domeniul frecvențelor medii, în sens-negativ a locului $G_a(j\omega)$, ceea ce este favorabil realizării valorilor recomandate ale stabilității relative. Într-adevăr, pentru $k_0 = 40$, $k = 3$ și $T = 0,05$ s (la care se ajunge prin cîteva tatonări), locul de transfer al sistemului deschis are forma din fig. II.29, c.

Rezultatele care se obțin în acest caz sunt mult mai bune și anume $m = 5,7$ și $\gamma = 36^\circ$. Reținem totuși faptul că ele sunt urmarea unor tatonări bazate pe modificările posibile ale locului de transfer al sistemului deschis, dar fără un suport director cu caracter cantitativ pentru realizarea respectivelor modificări. Vom vedea la 3.2.4 că utilizarea diagramei Bode permite o rezolvare expeditivă atît a alegerii tipului de regulator, cît și a determinării parametrilor săi.

3.2.3. Sisteme cu timp mort

Există situații, cum ar fi reglarea automată a temperaturii cupoanelor industriale sau reglarea presiunii pe conducte de transport de fluid, în care partea fixată ($G_F(s)$ în fig. II.6, b) conține un element cu timp mort, caracterizat printr-un factor e^{-Ts} , $T > 0$. În astfel de cazuri funcția de transfer a sistemului deschis are forma

$$G(s) = \frac{Q(s)}{P(s)} e^{-Ts}, \quad s \in \mathbb{C}, \quad (3.40)$$

în care $P(s)$ și $Q(s)$ sunt polinoamele definite la (3.1). Aceasta înseamnă că numitorul funcției de transfer a sistemului închis are acum forma

$$F(s) = 1 + G(s) = \frac{P(s) + Q(s)e^{-Ts}}{P(s)}. \quad (3.41)$$

Spre deosebire de sistemele automate fără timp mort, numărătorul din (3.41) nu mai este un polinom, ci o funcție transcendentă. Această funcție are o infinitate de zerouri. Dintre acestea numai un număr finit sunt situate în $\operatorname{Re} s \geq 0$. Într-adevăr, deoarece pentru $\operatorname{Re} s \geq 0$

$$\lim_{s \rightarrow \infty} G(s) = 0,$$

rezultă că zerourile lui $F(s)$ în $\operatorname{Re} s \geq 0$ se află într-o anumită vecinătate a originii. Conform unui rezultat din teoria funcțiilor, $F(s)$ poate avea într-un domeniu finit cel mult un număr finit de zerouri. De asemenea $F(s)$ are în $\operatorname{Re} s \geq 0$ cel mult un număr finit de poli (zerourile lui $P(s)$).

În aceste condiții este evident că lui $F(s)$ îi se poate aplica principiul argumentului în scopul obținerii unor rezultate de stabilitate IMEM. Prăcind că la 3.2.1, rezultatul care se obține este conform următorului enunț.

Teorema 8. Teoremele 5, 6 și 7 sunt valabile și în cazul în care $G(s)$ este de forma (3.40).

Exemplu 3.3. Se consideră un sistem automat, cu

$$G(s) = \frac{k}{s} e^{-Ts}, \quad k > 0, \quad T > 0.$$

Se cere să se determine în planul parametrilor (k, T) domeniul de stabilitate IMEM a sistemului.

Avenim

$$G(j\omega) = \frac{k}{j\omega} e^{-jT\omega} = -\frac{k}{\omega} (\sin T\omega + j \cos T\omega).$$

Conform teoremei 8 condiția de stabilitate IMEM este

$$\min_{\omega} \operatorname{Re} G(j\omega) = \min_{\omega} \left(-\frac{k}{\omega} \sin T\omega \right) > -1$$

pentru ω determinată de

$$\operatorname{Im} G(j\omega) = -\frac{k}{\omega} \cos T\omega = 0, \quad \omega > 0.$$

Din ultima ecuație rezultă $T\omega_i = (2i + 1)\pi/2$, $i = 0, 1, 2, \dots$, ceea ce conduce la

$$\min_i \left(-\frac{2kT}{(2i + 1)\pi} \right) > -1.$$

Soluția acestei inecuații este evident $kT < \pi/2$, iar domeniul corespunzător de stabilitate IMEM are imaginea din fig. II.30.

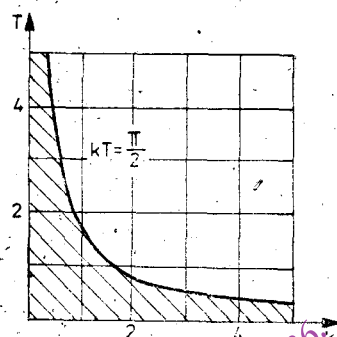


Fig. II.30. Domeniu parametric de stabilitate IMEM la exemplul 3.3.

3.2.4. Utilizarea diagramei Bode

Forma cea mai generală, și totodată cea mai simplă ca exprimare, a criteriului Nyquist este *teorema 6*, cu extinderea corespunzătoare de la *teorema 8*. După cum s-a arătat la 3.1.4, diagrama Bode poate fi aproximată, de regulă, prin segmente de dreaptă. Vom arăta în continuare că utilizarea diagramei Bode este foarte avantajoasă atât în analiza stabilității IMEM, cât și mai ales, în proiectarea sistemelor automate stable IMEM.

În cele ce urmează vom avea în vedere sisteme automate a căror funcție de transfer în circuit deschis este de forma

$$G(s) = \frac{k}{s^\alpha} \frac{b_m s^m + \dots + 1}{a_n s^n + \dots + 1} e^{-Ts}, \quad (3.42)$$

în care $k > 0$, $\alpha = 0, 1, 2$, $m < n + \alpha$, $a_i > 0$, $i = 1, 2, \dots, n$, $b_j > 0$, $j = 1, 2, \dots, m$, $T \geq 0$ și polinoamele $b_m s^m + \dots + 1$ și $a_n s^n + \dots + 1$ sunt relativ prime între ele.

Întrucit în majoritatea situațiilor care intervin în aplicații ipotezele *teoremei 7*, cu extinderea de la *teorema 8*, sunt îndeplinite, ne vom ocupa de formularea unui rezultat de stabilitate IMEM în cazul în care $G(s)$ nu are nici un pol în $\operatorname{Re} s > 0$ (adică polinomul $a_n s^n + \dots + 1$ este hurwitzian).

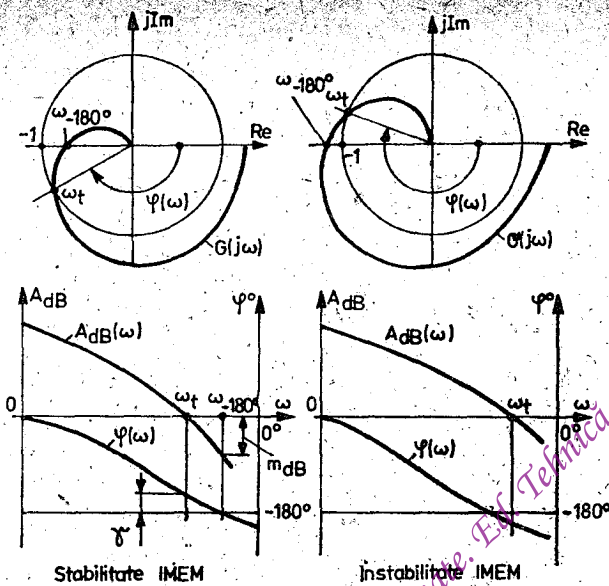


Fig. II.31. Analiza stabilității IMEM cu ajutorul diagramei Bode.

Cele două situații posibile — stabilitate și instabilitate IMEM — sunt ilustrate în fig. II.31. Pulsăția ω_t , la care locul de transfer $G(j\omega)$ tăie cercul de rază unitate, respectiv la care atenuarea $A_{dB}(\omega)$ tăie axa de 0_{dB} se numește *pulsăția de tăiere* a sistemului deschis. În conformitate cu teorema 7, cu extinderea corespunzătoare de la teorema 8, putem enunță fără demonstrație următorul rezultat.

Teorema 9. Sistemul automat cu structura din fig. II.6, b, în care $G(s)$, definit prin (3.25), este de forma (3.42) și nu are nici un pol în $\text{Re } s > 0$, este stabil IMEM dacă și numai dacă la frecvența de tăiere ω_t , caracteristica fază-frecvență se află deasupra liniei corespunzătoare lui -180° .

Determinarea stabilității relative cu ajutorul diagramei Bode este foarte simplă și ea constă în a măsura $A_{dB}(\omega_{-180^\circ})$, în care ω_{-180° este definit prin $\varphi(\omega_{-180^\circ}) = -180^\circ$, și $\varphi(\omega_t)$. Marginea de amplificare exprimată în dB este

$$m_{dB} = |A_{dB}(\omega_{-180^\circ})|, \quad (3.43)$$

iar marginea de fază se determină cu

$$\gamma = \varphi(\omega_t) - (-180^\circ). \quad (3.44)$$

Valorile recomandate sunt $m_{dB} = 10 \div 20$ dB și $\gamma = 30^\circ \div 50^\circ$.

Exemplul 3.4. Se consideră sistemul automat cu

$$G(s) = \frac{k}{s(0,05s + 1)(0,2s + 1)}, \quad k > 0.$$

Să se determine valorile lui k pentru care sistemul automat corespunzător este stabil IMEM.

Întrucât k este necunoscut vom trasa caracteristica atenuare-frecvență $A_{dB}(\omega)$ pentru $k = 1$. Conform definiției (3.23) avem

$$A_{dB}(\omega) = -20 \lg \omega - 20 \lg \sqrt{0,05\omega^2 + 1} - 20 \lg \sqrt{0,2\omega^2 + 1}.$$

Se observă că $A_{dB}(\omega)$ poate fi aproximată după cum urmează

$$A_{dB}(\omega) = \begin{cases} -20 \lg \omega & 0 < \omega < 5, \\ -20 \lg \omega - 20 \lg (0,2\omega) & 5 \leq \omega < 20, \\ -20 \lg \omega - 20 \lg (0,2\omega) - 20 \lg (0,05\omega), & 20 \leq \omega < +\infty \end{cases}$$

Aceasta, pentru o scară logarithmică a pulsărilor, reprezintă o linie frântă formată din trei segmente de dreaptă. Punctele de fringere sunt situate la $\omega_1 = 1/0,2 = 5$ și $\omega_2 = 1/0,05 = 20$, care se numesc *pulsări de fringere*. Caracteristica $A_{dB}(\omega)$ aproximativă are forma din fig. II.32 (linia frântă). Caracteristica $A_{dB}(\omega)$ exactă (curba trasată cu linie subțire) diferă de cea aproximativă pentru $\omega \in [3,30]$, dar diferențele nu depășesc 3 dB.

Caracteristica $\varphi(\omega)$, conform definiției (3.24), are expresia

$$\varphi(\omega) = -90^\circ - \arctg(0,2\omega) - \arctg(0,05\omega)$$

și este trasată cu linie întreruptă în fig. II.32.

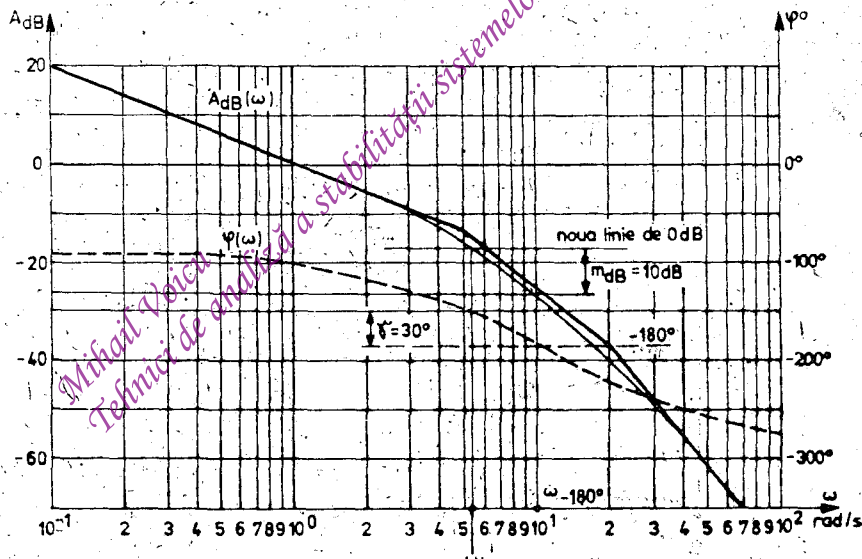


Fig. II.32. Diagrama Bode la exemplul 3.4.

Pentru a-l determina pe k să observăm că dacă $k \neq 1$ atunci linia de 0 dB va ocupa în fig. II.32 o altă poziție și anume $-20 \lg k$. Pentru a asigura stabilitatea IMEM a sistemului inchis, conform teoremei 9, nouă linie de 0 dB nu poate coborî mai jos de nivelul limită $L_{dB} = -27,5$ dB. Așadar, $k_{dB} = 20 \text{ kg}$ $k < 27,5$ dB, ceea ce înseamnă $0 < k < 12,37$. Pentru a obține o margine de amplificare de 10 dB, nouă linie de 0 dB se coboară numai pînă la $-17,5$ dB, ceea ce înseamnă $k_{dB} = 17,5$ dB, respectiv $k = 7,5$. În acest caz $\omega_t = 5,25 \text{ rad/s}$ și $\gamma = 30^\circ$.

3.2.5. Aproximarea funcției de transfer a sistemului deschis

Utilizarea descrierii intrare-iesire, în sprijnul unei funcții de transfer, spre deosebire de descrierea intrare-stare-iesire, permite, pe baza răspunsului la frecvență, aproximarea sistemelor prin funcții de transfer de ordin redus, care pot fi manipulate, mai ales în proiectare, mult mai ușor. De exemplu un sistem cu funcția de transfer

$$G(s) = \frac{(0,5 s + 1)(0,19 s + 1)(0,167 s + 1)}{(0,4 s + 1)(0,294 s + 1)(0,133 s + 1)}$$

are o caracteristică $A_{dB}(\omega) = 20 \lg G(j\omega) \approx 0$ și poate fi aproximată prin funcția de transfer $G(s) = 1$. În descrierea intrare-stare-iesire (sistemul este de ordinul trei) posibilitatea unei atare aproximări nu este ușor de pus în evidență.

S-au elaborat numeroase procedee de aproximare a sistemelor prin modele matematice de ordin redus, [L2], [R1], care pot fi utilizate și pentru analiza stabilității sistemelor automate.

Vom expune în continuare un procedeu de analiză a stabilității IMEM a sistemelor automate pentru care se știe că răspunsul indicial al sistemului deschis este aperiodic și cu timp mort, fig. II.33, a. Aproxima-

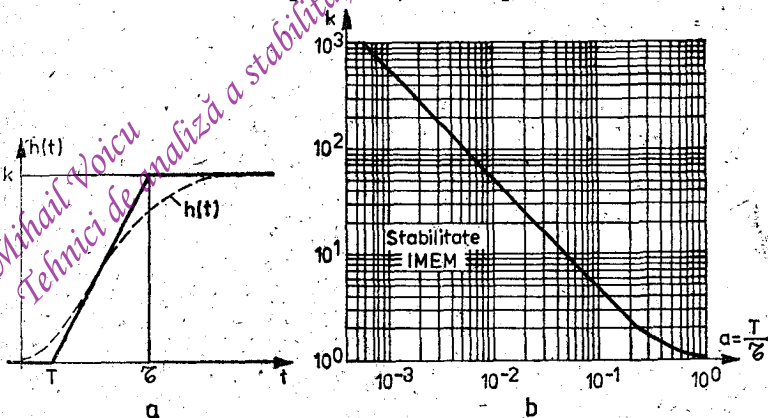


Fig. II.33. a – Aproximarea răspunsului indicial al sistemului deschis;
b – Domeniul parametric de stabilitate IMEM.

marea constă în înlocuirea curbei $h(t)$ cu linia frântă trasată cu linie continuă. Punctele ei de frângere definesc timpul mort T , constanta de timp totală τ și factorul de amplificare k . Conform fig. II.33, a putem scrie

$$h(t) \approx \begin{cases} 0, & t < T, \\ \frac{k}{\tau - T}(t - T), & T \leq t < \tau, \\ k, & \tau \leq t, \end{cases} \quad (3.45)$$

în care

$$\frac{k}{\tau - T} = \max_t \left\{ \frac{dh(t)}{dt} \right\}. \quad (3.46)$$

Aplicând transformarea Laplace în (3.45) se obține

$$H(s) \approx \frac{k}{(\tau - T)s^2} (e^{-Ts} - e^{-\tau s}). \quad (3.47)$$

Functia de transfer a sistemului deschis este

$$G(s) = s H(s) \approx \frac{k}{(\tau - T)s} (e^{-Ts} - e^{-\tau s}). \quad (3.48)$$

Pentru $s = j\omega$, înlocuind $e^x = \cos x + j \sin x$, după calcule elementare se obțin

$$u(\omega) = \operatorname{Re} G(j\omega) \approx \frac{2k}{(\tau - T)\omega} \sin \frac{\tau - T}{2} \omega \cos \frac{\tau + T}{2} \omega, \quad (3.49)$$

$$v(\omega) = \operatorname{Im} G(j\omega) \approx \frac{2k}{(\tau - T)\omega} \sin \frac{\tau - T}{2} \omega \sin \frac{\tau + T}{2} \omega. \quad (3.50)$$

Condiția de stabilitate IMEM a sistemului automat este ca prima intersecție a locului de transfer $G(j\omega)$ cu semiaxa reală să aibă loc la dreapta punctului $(-1, j0)$. Aceasta este echivalent cu

$$\min_{\omega} u(\omega) > -1 \quad (3.51)$$

pentru ω determinat de

$$v(\omega) = 0, \quad \omega > 0. \quad (3.52)$$

Din (3.50) și (3.52), ținind seama de (3.51), se obține

$$\omega_1 = \frac{2\pi}{\tau + T}$$

și apoi

$$\min_{\omega} u(\omega) = -\frac{k(\tau + T)}{\pi(\tau - T)} \sin \pi \frac{\tau - T}{\tau + T} \quad (3.53)$$

Înlocuind (3.53) în (3.51) și introducind notația $a = \frac{T}{\tau}$ se obține condiția de stabilitate IMEM (Küpfmüller)

$$\frac{1}{k} > \frac{1+a}{\pi(1-a)} \sin \pi \frac{1-a}{1+a}, \quad (3.54)$$

care permite și determinarea domeniului parametric de stabilitate IMEM a sistemului automat — fig. II.33, b.

3.3. Corecția sistemelor automate

3.3.1. Condiții impuse sistemului automat

Expresia „corecția unui sistem automat” este tradițional consacrată în cadrul metodei frecvențiale și are același sens cu expresia „stabilizarea unui sistem automat” întrebunțată deja în cadrul acestui capitol (v. 1.1.8).

Pentru realizarea efectivă a corecției unui sistem automat este necesară formularea condițiilor de bază pe care acesta trebuie să le satisfacă.

1° Sistemul automat trebuie să fie stabil IMEM atât în raport cu mărimea prescrisă, cât și cu perturbația.

2° Sistemul automat trebuie să realizeze o anumită exactitate în regim staționar.

Aceasta înseamnă că în regim staționar abaterea

$$x = u - y \quad (3.55)$$

trebuie să fie nulă sau satisfăcător de mică.

Relația dintre mărimea prescrisă și abatere, conform fig. II.6, b, în transformate Laplace, are forma

$$X(s) = \frac{1}{1 + G(s)} U(s), \quad (3.56)$$

în care $G(s)$, definit prin (3.25), are forma (3.42).

Dacă $u(t) = \sigma(t)$, respectiv $U(s) = \mathcal{L}\{\sigma(t)\} = \frac{1}{s}$, atunci, aplicind teorema valorii finale (v. anexa A), abaterea staționară are expresia

$$x(+\infty) = \lim_{s \rightarrow \infty} s X(s) = \frac{1}{1 + G(0)} = \begin{cases} \frac{1}{1 + k}, & \alpha = 0 \\ 0, & \alpha = 1/2. \end{cases} \quad (3.57)$$

Se trage concluzia că o abatere staționară satisfăcător de mică, atât în raport cu mărimea prescrisă cît și cu perturbatia, se obține dacă $G(s)$ are poli în origine (elemente integratoare în regulator sau în partea fixată a sistemului automat) sau dacă factorul de amplificare în circuit deschis este suficient de mare.

O problemă nouă care se ridică acum este aceea că, într-o anumită măsură, condițiile 1° și 2° sunt contradictorii deoarece introducerea unui element integrator în circuitul deschis, sau creșterea factorului de amplificare k împrimă sistemului închis o tendință spre instabilitate. Explicația acestui fapt constă în aceea că prin creșterea factorului de amplificare locul de transfer $G(j\omega)$ ajunge să înconjoare punctul $(-1, j0)$, iar prin introducerea unui pol în origine, datorită efectului de rotație cu -90° introdus de acesta, este posibil de asemenea ca locul de transfer $G(j\omega)$ să înconjoare punctul $(-1, j0)$.

Oricum, soluția adoptată pentru satisfacerea condiției 2° nu trebuie să negligeze condiția 1°. Cu alte cuvinte stabilitatea IMEM a sistemului automat este esențială și, mai mult, este necesară asigurarea unei anumite rezerve de stabilitate IMEM. Se poate astfel formula următoarea condiție.

3° Răspunsul indicial în raport cu mărimea prescrisă trebuie să fie suficient de amortizat.

Pentru satisfacerea acestei condiții se ține seama de valorile recomandate ale marginii de amplitudine și marginii de fază — relațiile (3.43), (3.44). În ipotezele admise pentru $G(s)$ (v. relația (3.42)), se poate arăta că dacă la frecvența de tăiere ω_t panta caracteristicii $A_{dB}(\omega)$, pe un domeniu suficient de larg de pulsări, este cel mult -20 dB/decadă atunci, pentru o valoare admisibilă a marginii de fază, rezultă și o valoare admisibilă a marginii de amplitudine (v. exemplul 3.4).

În atare condiții se poate folosi ca măsură a stabilității relative, respectiv a amortizării răspunsului indicial, numai marginea de fază γ . Experiența acumulată pînă în prezent arată că un răspuns indicial în raport cu mărimea prescrisă cu suprareglare acceptabilă și suficient de bine amortizat se obține pentru $\gamma = 50^\circ \div 80^\circ$. Pentru ca răspunsul indicial în raport cu perturbația să fie acceptabil trebuie ca $\gamma > 30^\circ$.

Satisfacerea condițiilor $1^\circ - 3^\circ$ nu este suficientă pentru realizarea performanțelor impuse sistemului automat. La fel de importantă ca și precedentele este și următoarea condiție.

4° Sistemul automat trebuie să răspundă suficient de rapid atît la variația mărimii prescrise, cît și la variația perturbației.

În mod logic, un sistem automat are un răspuns rapid numai dacă sistemul deschis corespunzător are și el această proprietate.

În ipotezele admise pentru $G(s)$ (precizate la relația (3.42) și, în continuare), sistemul deschis se comportă ca un filtru trece-jos. Pentru a vedea de care parametru frecvențial depinde rapiditatea sistemului automat vom aproxima răspunsul la frecvență $G(j\omega)$ cu acela al unui filtru ideal trece-jos. Un astfel de filtru se definește prin

$$G_i(j\omega) = M_i(\omega) e^{-j\varphi_i(\omega)}, \quad \omega \in \mathbf{R}, \quad (3.58)$$

în care

$$M_i(\omega) = \begin{cases} M_0, & |\omega| \leq \omega_t, \\ 0, & |\omega| > \omega_t, \end{cases} \quad (3.59)$$

$$\varphi_i(\omega) = -T\omega, \quad \omega \in \mathbf{R}, \quad (3.60)$$

și ω_t este pulsăția de tăiere, iar $T \geq 0$ este timpul mort al filtrului ideal.

Răspunsul indicial al filtrului se calculează după cum urmează (v. definiția 4 și relația (6.70) de la I.6.4.2)

$$g_i(t) = \int_{-\infty}^{+\infty} g_i(\tau, 0) \sigma(t - \tau) d\tau = \int_{-\infty}^t g_i(\tau, 0) d\tau, \quad t \in \mathbf{R}. \quad (3.61)$$

Răspunsul la impuls $g_i(t, 0)$ se determină cu ajutorul transformantei inverse Fourier

$$\begin{aligned} g_i(t, 0) &= \frac{1}{2\pi} \int_{-\infty}^{+\infty} G_i(j\omega) e^{j\omega t} d\omega = \frac{M_0}{2\pi} \int_{-\omega_t}^{\omega_t} e^{j\omega(t-T)} d\omega = \\ &= \frac{M_0}{\pi} \int_0^{\omega_t} \cos \omega(t-T) d\omega = \frac{M_0}{\pi} \frac{\sin(t-T)\omega_t}{t-T}, \quad t \in \mathbf{R}. \end{aligned} \quad (3.62)$$

Rapiditatea răspunsului filtrului ideal trece-jos se poate aprecia prin panta maximă a lui $h(t)$, adică prin

$$\max_t h'_i(t) = \max_t g_i(t) = \frac{1}{\pi} M_0 \omega_i. \quad (3.63)$$

Se trage concluzia că răspunsul indicial al filtrului ideal trece-jos este cu atât mai rapid cu cât pulsăția sa de tăiere este mai mare și cu cât factorul de amplificare este mai mare. Această relație între rapiditatea răspunsului pe de o parte și pulsăția de tăiere și factorul de amplificare pe de altă parte rămîne valabilă, calitativ, și pentru filtrele reale trece-jos.

De regulă pulsăția de tăiere ω_t a sistemului deschis poate fi crescută prin creșterea factorului său de amplificare k . Acest lucru se explică prin aceea că o creștere a lui k determină întotdeauna o ridicare a caracteristicii atenuare-frecvență a sistemului deschis în raport cu nivelul de 0 dB.

Este evident acum că condițiile 3° și 4° sunt într-o anumită măsură contradictorii. S-a văzut că ω_t poate fi crescut prin creșterea factorului de amplificare al sistemului deschis. Aceasta însă trage după sine reducerea marginii de fază, respectiv reducerea amortizării răspunsului indicial al sistemului automat.

3.3.2. Corecția în domeniul frecvențelor

În conformitate cu cele arătate pînă aici realizarea corecției sistemelor automate constă în parcurgerea următorilor pași.

1° Determinarea schemei bloc structurale cu toți parametrii părții fixate.

2° Determinarea diagramei Bode a părții fixate.

3° Determinarea regulatorului adecvat care asigură satisfacerea condițiilor 1°—4° de la 3.3.1.

4° Simularea (analogică sau numerică) a sistemului automat în scopul verificării și îmbunătățirii soluției adoptate. Acest pas este necesar îndeosebi atunci cînd sistemul automat î se impun condiții cantitative privitoare la suprareglare, timpul de răspuns sau precizia în regim staționar.

Ne vom referi în continuare la pasul 3° în care are loc propriu-zis corecția sistemului automat.

Utilizarea diagramei Bode în scopul corecției unui sistem automat constă în aplicarea următoarelor procedee

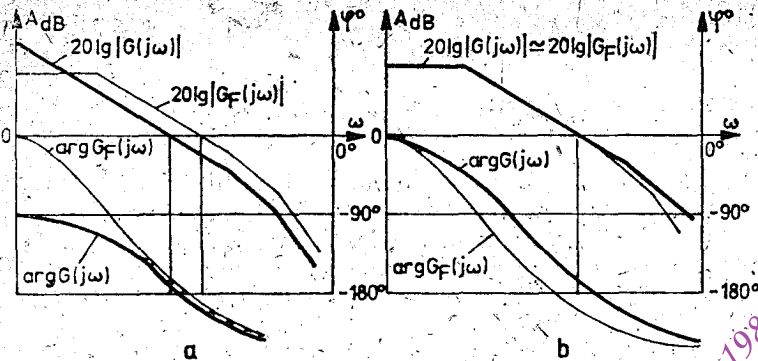


Fig. II.34. a — Corecția prin coborârea caracteristicii $A_{dB}(\omega)$;
b — Corecția prin ridicarea caracteristicii $\varphi(\omega)$.

1° Coborârea caracteristicii $A_{dB}(\omega)$ — fig. II.34, a.

Prin aceasta pulsătia de tăiere se deplasează spre stînga, ceea ce duce la creșterea marginii de fază. Este posibil ca totodată sistemul automat să devină prea lent.

2° Ridicarea caracteristicii $\varphi(\omega)$ — fig. II.34, b.

Prin aceasta este posibilă creșterea marginii de fază cu menținerea aproximativ constantă a pulsătiei de tăiere.

3° Combinarea procedeelor 1° și 2°.

Vom arăta în continuare că utilizând:

- un regulator PI cu funcția de transfer

$$G_R(s) = k_r \frac{1 + \tau_1 s}{s}, \quad k_r > 0, \tau_1 > 0, \quad (3.64)$$

- un regulator PD real, cu funcția de transfer

$$G_R(s) = k_r \frac{1 + \tau_2 s}{1 + \tau_0 s}, \quad k_r > 0, \tau_2 \gg \tau_0 > 0, \quad (3.65)$$

- un regulator PID real, cu funcția de transfer

$$G_R(s) = k_r \frac{(1 + \tau_1 s)(1 + \tau_2 s)}{s(1 + \tau_0 s)}, \quad k_r > 0, \tau_1 \geq \tau_2 \gg \tau_0 > 0, \quad (3.66)$$

se aplică procedele 1°—3°.

Diagrama Bode a regulatorului PI este reprezentată în fig. II.35, a. În mod obișnuit τ_1 se ia egal cu cea mai mare constantă de timp T_1 a părții fixate. Se elimină astfel prin simplificare factorul $T_1 s + 1$ de

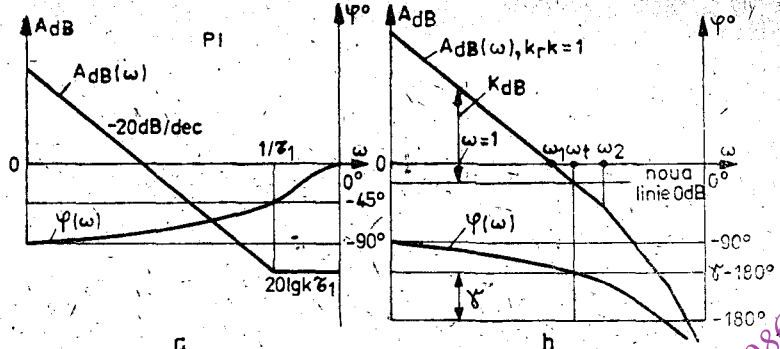


Fig. II.35. a - Diagrama Bode a regulatorului PI;
b - Corectia cu regulatorul PI.

la numitorul lui $G_F(s)$. Acest lucru este avantajos deoarece factorul $T_1 s + 1$ produce o scădere a fazei cu pînă la 90° . Eliminarea lui este echivalentă cu o ridicare a caracteristicii fază-frecvență. Ea este cu atît mai eficientă cu cît T_1 este mai mare și are o influență favorabilă în zonă pulsăției de tăiere. În cazul în care $G_F(s)$ are mai multe constante de timp mari, de valori apropiate, se adoptă $\tau_1 > T_1$. Astfel scăderea rapidă a fazei datorită factorilor $(T_1 s + 1)(T_2 s + 1) \dots$ de la numitorul lui $G_F(s)$ este mai bine compensată prin factorul $\tau_1 s + 1$ de la numărătorul lui $G_R(s)$.

După ce s-a ales τ_1 se trasează pentru sistemul deschis caracteristica $A_{dB}(\omega)$, pentru $k_r k = 1$, și caracteristica $\varphi(\omega)$, fig. II.35, b. Se trasează o orizontală la valoarea $\gamma = -180^\circ$, unde γ este marginea de fază impusă, și se determină pulsăția de tăiere ω_t , la căre s-a produs intersecția dintre respectivă orizontală și caracteristica $\varphi(\omega)$. ω_t este pulsăția de tăiere a sistemului deschis, iar pentru determinarea lui k , nu rămîne decit să se coboare linia de 0 dB astfel încît aceasta să intersecteze caracteristica $A_{dB}(\omega)$ exact la pulsăția de tăiere ω_t - fig. II.35, b. Caracteristica $A_{dB}(\omega)$ are o porțiune, la frecvențe joase, cu panta -20 dB/decada, determinată de factorul $k_r k/s$ din funcția de transfer a sistemului deschis. Pentru $\omega = 1$ se determină K_{dB} pe caracteristica $A_{dB}(\omega)$, fig. 35, b, și apoi se calculează

$$\lg k_r = \frac{1}{20} K_{dB} - \lg k_f. \quad (3:67)$$

Diagrama Bode a regulatorului PID ideal ($\tau_0 = 0$) este reprezentată în fig. II.36, a (trasată cu linie subțire). Acest tip de regulator se deo-

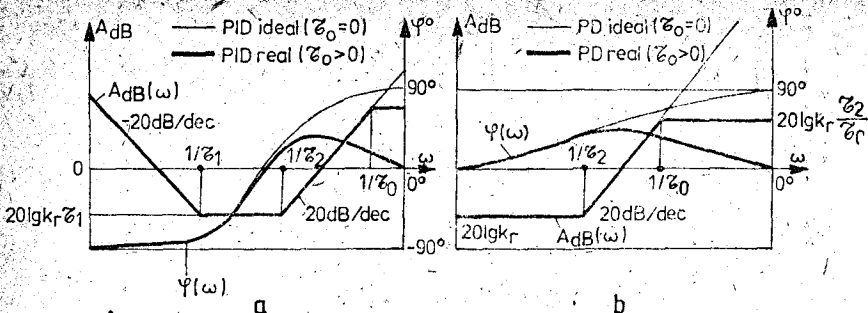


Fig. II.36. Diagrama Bode a regulatoarelor PID (a) și PD (b).

sebește de regulatorul PI prin prezența a încă unui factor $(1 + \tau_2 s)$ în funcția sa de transfer. Prin acesta este posibilă o ridicare suplimentară a caracteristicii $\varphi(\omega)$. Aceasta înseamnă că pentru aceeași margine de fază, respectiv aceeași amortizare, este posibilă o plasare mult la dreapta a pulsăiei de tăiere, comparativ cu ceea ce este posibil cu un regulator PI. De asemenea este posibil ca la o menținere neschimbată a pulsăiei de tăiere să se crească marginea de fază, ceea ce înseamnă că la o aceeași rapiditate se poate obține o amortizare mai bună decit în cazul regulatorului PI.

Diagrama Bode a regulatorului PID real este reprezentată în aceeași fig. II.36, a (cu linie groasă). În mod obișnuit se adoptă $\tau_1 = T_1$ și $\tau_2 = T_2$, unde T_1 și T_2 sunt constantele de timp cele mai mari ale părții fixate. În continuare se procedează ca și în cazul regulatorului PI, adică se trasează caracteristicile $A_{dB}(\omega)$ și $\varphi(\omega)$ ale sistemului deschis, pentru $k, k_r = 1$. În funcție de marginea de fază γ impusă se determină pulsăia de tăiere ω_t și apoi τ_0 . Constanta de timp τ_0 , introdusă în mod sistematic de regulatorul real, are un efect nefavorabil asupra performanțelor sistemului. Pentru ca efectul ei să fie cît mai redus, valoarea lui τ_0 trebuie să fie cît mai mică posibil (evident există o limită inferioară determinată de principiul de funcționare și de tehnologia de realizare a regulatorului).

Diagrama Bode a regulatorului PD (real și ideal) este reprezentată în fig. II.36, b. Se adoptă $\tau_2 = T_1$, unde T_1 este cea mai mare constantă de timp a părții fixate și k_r se alege astfel încit să se realizeze marginea de fază impusă.

Exemplul 3.5. Se consideră sistemul automat cu schema bloc structurală din fig. II.6, b, în care

$$G_F(s) = \frac{0,1}{(25s + 1)(6s + 1)(1,2s + 1)}.$$

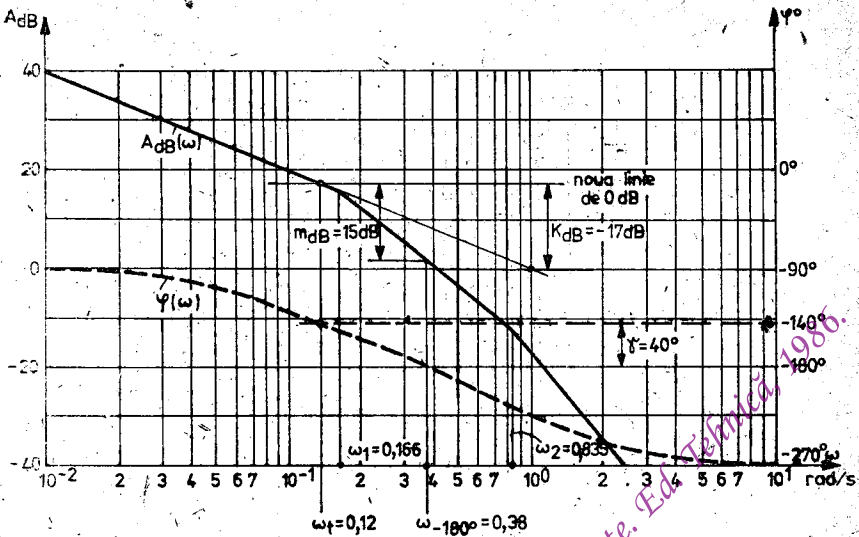


Fig. II.37. Corecția cu regulatorul PI la exemplul 3.5.

Se cere să se determine parametrii unui regulator PI și apoi ai unui regulator PID astfel incit stabilitatea relativă să fie $\gamma = 40^\circ$ și $m_{dB} \geq 10$ dB.

Funcția de transfer a regulatorului PI are expresia (3.64). Se adoptă $\tau_1 = 25$. În acest fel funcția de transfer a sistemului deschis este

$$G(s) = \frac{k}{s(6s + 1)(1,2s + 1)}, \quad k = 0,1 \cdot k_r.$$

Pentru $k = 1$ diagrama Bode are forma din fig. II. 37. Se observă că sistemul automat este instabil. Așadar pentru a realiza stabilitatea IMEM va trebui să ridicăm linia de 0 dB. Pentru $\gamma = 40^\circ$ rezultă $\omega_t = 0,12$ rad/s. Noua linie de 0 dB este mai sus cu 17 dB față de cea veche. Conform relației (3.67) rezultă $\lg k_r = 0,15$, respectiv $k_r = 1,4$ și $m_{dB} = 15$ dB.

Funcția de transfer a regulatorului PID are expresia (3.66). Se adoptă $\tau_1 = 25$ și $\tau_2 = 6$. În aceste condiții funcția de transfer a sistemului deschis este

$$G(s) = \frac{k}{s(1,2s + 1)}, \quad k = 0,1 \cdot k_r.$$

Diagrama Bode, pentru $k = 1$, este reprezentată în fig. II.38.

Pentru $\gamma = 40^\circ$ rezultă $\omega_t = 1$ rad/s. Noua linie de 0 dB este mai jos cu 3 dB față de cea veche. Conform relației (3.67) rezultă $\lg k_r = 1,15$, respectiv $k_r = 14$ și $m_{dB} = +\infty$.

Este evident că pentru o aceeași margine de fază regulatorul PID asigură o rapiditate mai mare ($\omega_t = 1$ rad/s) a sistemului automat decât regulatorul PI($\omega_t = 0,12$ rad/s).

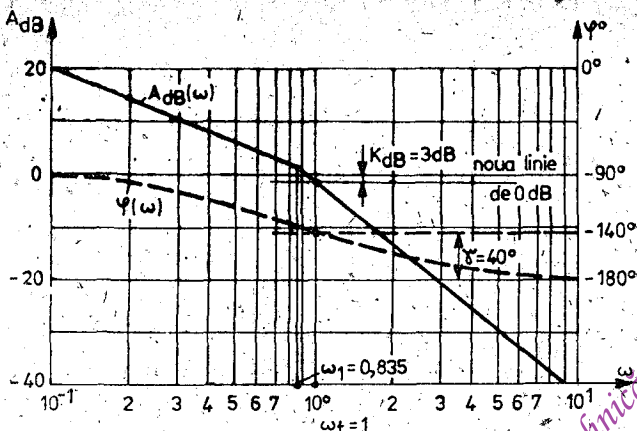


Fig. II.38. Corecția cu regulatorul PID la exemplul 3.5.

3.3.3. Reglarea în cascadă

Introducerea unei reacții negative suplimentare este unul din cele mai puternice mijloace pentru realizarea stabilizării unui sistem automat, mai ales în cazul în care partea fixată a sistemului are o funcție de transfer de ordin ridicat.

Structura de bază a unui astfel de sistem este reprezentată în fig. II.39. Corecția sistemului se realizează în felul următor. Regulatorul $G_{R1}(s)$ se alege astfel încit circuitul închis interior să poată fi aproximat printr-o funcție de transfer de ordinul 1. În general acest lucru este posibil utilizând un regulator PID. În aceste condiții pentru circuitul închis principal alegerea regulatorului $G_{R2}(s)$ se face între tipurile P sau PI; componenta D în regulatorul circuitului principal este mai puțin uzuală, datorită faptului că o atare componentă face sistemul sensibil la perturbații aleatoare. Pentru ambele regulatoare alegerea parametrilor se realizează prin procedeele de corecție în domeniul frecvențelor sau cu ajutorul metodei locului rădăcinilor. Prin faptul că partea fixată a sistemului a fost împărțită în două și că folosind două regulatoare

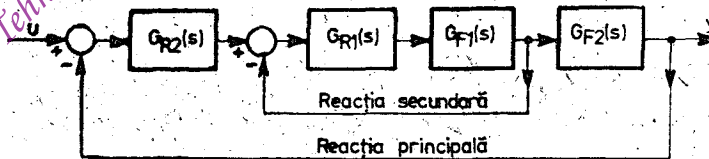


Fig. II.39.. Schema bloc structurală a reglării în cascadă.

adecvate este posibilă compensarea a mai mult de două constante de timp din partea fixată, reglarea în cascadă poate asigura o stabilizare mult mai bună în comparație cu utilizarea unei singure reacții inverse.

3.4. Sisteme automate discrete în timp

Pentru a vedea în ce măsură răspunsul la frecvență este utilizabil pentru studiul stabilității sistemelor automate discrete în timp, este necesară o adaptare corespunzătoare a modului de evaluare a variației totale a argumentului.

3.4.1. Criteriul Nyquist pentru sisteme discrete

Se consideră sistemul automat cu schema bloc structurală din fig. II.19, b, descris de ecuațiile (1.117)–(1.120) și (1.123).

Fie funcția de transfer a sistemului deschis de forma

$$G(z) = \frac{Q(z)}{P(z)}, \quad (3.68)$$

în care $P(z)$ și $Q(z)$ sunt două polinoame relativ prime între ele cu grad $Q = m < \text{grad } P = n$.

Se știe că stabilitatea IMEM a sistemului automat discret în timp depinde de distribuția în raport cu cercul de rază unitate a polilor lui $G_0(z)$ și $G_{0w}(z)$, respectiv a zerourilor funcției

$$F(z) = 1 + G(z). \quad (3.69)$$

În general $F(z)$ poate avea z_1 zerouri pe cercul de rază unitate și z_2 zerouri în afara cestui cerc. Polii lui $F(z)$ coincid cu polii lui $G(z)$; n_1 dintre acești se află pe cercul de rază unitate și n_2 în afara respectivului cerc. În aceste circumstanțe, folosind principiul argumentului (v. 3.1.2) pentru cazul cind conturul γ este cercul de rază unitate (sensul de parcurgere este negativ pentru ca domeniul $|z| > 1$ să constituie interiorul conturului) se poate scrie

$$[\arg F(z)]_{z \in \gamma} = 2\pi(z_2 - n_2) + \pi(z_1 - n_1). \quad (3.70)$$

Intrucit cercul γ este descris de ecuația

$$z = e^{j\theta}, \quad -\pi < \theta \leq \pi, \quad (3.71)$$

din (3.70) se obține

$$\arg F(z) \Big|_{\theta=0}^{+\pi} = -2\pi(z_2 - n_2) - \pi(z_1 - n_1). \quad (3.72)$$

Schimbarea de semn din (3.72) se explică prin aceea că s-a schimbat sensul de parcurgere a cercului γ (în (3.70) cercul era parcurs de la π la $-\pi$, adică în sens negativ, în timp ce în (3.72) el este parcurs de la $-\pi$ la π , respectiv în sens pozitiv).

Conform teoremei 16 de la I.6, sistemul automat cu structura din fig. II.19, b este stabil IMEM dacă și numai dacă toți polii lui $G_0(z)$ și $G_{0\omega}(z)$, respectiv toate zerourile lui $F(z)$ sunt situate în interiorul cercului $|z| < 1$. Ca și în cazul sistemelor automate continue în timp putem enunța următoarele rezultate.

Teorema 10. Sistemul automat cu structura din fig. II.19, b este stabil IMEM dacă și numai dacă $F(z)$, definit prin (3.70) și (3.69), satisfacă condiția

$$\arg F(e^{j\theta}) \Big|_{\theta=0}^{+\pi} = 2\pi n_2 + \pi n_1. \quad (3.73)$$

D. Suficiența. Dacă (3.73) este adeverată atunci din (3.72) rezultă $z_2 = 0$ și $z_1 = 0$, ceea ce este suficient pentru stabilitatea IMEM.

Necesitatea. Dacă sistemul automat este stabil IMEM atunci $z_2 = 0$ și $z_1 = 0$. În aceste condiții din (3.72) rezultă (3.73). ■

Relația dintre $F(z)$ și $G(z)$ conduce în mod natural la următorul enunț echivalent al teoremei 10.

Teorema 11. Sistemul automat cu structura din fig. II.19, b este stabil IMEM dacă și numai dacă hodograful $G(e^{j\theta})$ al sistemului deschis înconjoră punctul $(-1, j0)$ în sens pozitiv de un număr de $\left(n_2 + \frac{1}{2}n_1\right)$ ori atunci când θ variază de la $-\pi$ la π .

În aplicații se preferă o altă formă a teoremei 11 care se bazează pe introducerea variabilei frecvențiale ω prin $\theta = T\omega$, unde T este perioada de eşantionare, și pe definirea funcției

$$G^*(j\omega) = G(z) \Big|_{z=e^{jT\omega}}, \quad -\frac{\pi}{T} < \omega < \frac{\pi}{T}. \quad (3.74)$$

Teorema 12. Sistemul automat cu structura din fig. II.19, b este stabil IMEM dacă și numai dacă hodograful $G^*(j\omega)$ al sistemului deschis

înconjoară punctul $(-1, j0)$ în sens pozitiv de un număr de $\left(n_2 + \frac{1}{2} n_1\right)$ ori atunci cind ω variază de la $-\pi/T$ la π/T .

Comparind teoremele 6 și 12 se observă că ele sint în esență asemănătoare. Singura deosebire se referă la intervalul de variație al pulsării ω . În cazul de față intervalul de valori ale lui ω este finit deoarece $G^*(j\omega)$ este o funcție periodică de perioadă $2\pi/T$, fapt ușor de verificat cu ajutorul definiției (3.74).

Se trage concluzia că aplicarea criteriului Nyquist, atât sub forma locului de transfer cât și sub aceea a diagramei Bode, rămâne principal aceeași ca și la sistemele automate continue. Mai mult, noțiunea de stabilitate relativă se definește în același fel și procedeile de corecție cu ajutorul diagramei Bode ne schimbă.

Exemplul 3.6. Se consideră sistemul automat discret în timp cu

$$G(z) = \frac{1,5(z - 0,8)}{z(z - 1)(z - 0,6)}$$

Se cere să se analizeze dacă sistemul automat este stabil IMEM.

Pentru $z = e^{jT\omega} = \cos T\omega + j\sin T\omega$ rezultă

$$G^*(j\omega) = \frac{1,5(\cos T\omega - 0,8 + j\sin T\omega)}{\cos 3T\omega - 1,6 \cos 2T\omega + 0,6 \cos T\omega + j(\sin 3T\omega - 1,6 \sin 2T\omega + 0,6 \sin T\omega)},$$

din care se obțin

$$\begin{aligned} M^*(\omega) &= 1,5 \sqrt{\frac{(\cos T\omega - 0,8)^2 + \sin^2 T\omega}{(\cos 3T\omega - 1,6 \cos 2T\omega + 0,6 \cos T\omega)^2 + (\sin 3T\omega - 1,6 \sin 2T\omega + 0,6 \sin T\omega)^2}} = \\ &= 1,5 \sqrt{\frac{1,64 - 1,6 \cos T\omega}{3,92 - 5,12 \cos T\omega + 1,2 \cos^2 T\omega}}, \end{aligned}$$

$$\varphi^*(\omega) = \text{arc tg } \frac{\sin T\omega}{\cos T\omega - 0,8} - \text{arctg } \frac{\sin 3T\omega - 1,6 \sin 2T\omega + 0,6 \sin T\omega}{\cos 3T\omega - 1,6 \cos 2T\omega + 0,6 \cos T\omega}.$$

Hodograful $G^*(j\omega)$ are forma din fig. II.40. Se stie că $G(z)$ are un pol pe cercul de rază unitate. Așadar $n_1 = 1$ și $n_2 = 0$. Conform relației (3.73) variația totală a argumentului $\varphi^*(\omega)$ față de punctul $(-1, j0)$ trebuie să fie π . Conform fig. II.40 această variație este -3π , ceea ce înseamnă că sistemul automat considerat este instabil IMEM.

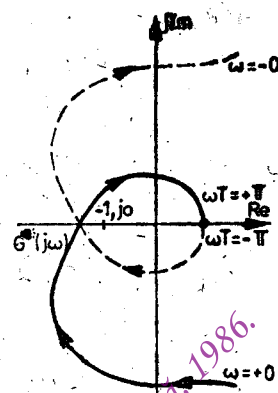


Fig. II.40. Hodograful $G^*(j\omega)$ la exemplul 3.6.

rămîn principial ne-

Tehnici de analiză a stabilității sistemelor automate neliniare

Majoritatea lucrărilor din domeniul sistemelor automate au ca obiect de studiu sistemele automate liniare. Acest fapt ar putea sugera ideea falsă că sistemele automate neliniare constituie cazuri speciale, abateri de la cazul general liniar. Realitatea fizico-tehnică contrazice categoric o astfel de prezumție. Sistemele automate reale sunt de regulă neliniare, variante în timp și, în multe cazuri, cu parametrii distribuiți în spațiu.

Sistemele automate liniare reprezintă, aşadar, cazul particular la care se ajunge prin idealizări, simplificări și aproximății ale fenomenelor reale. Este posibil ca rezultatele care se obțin în astfel de condiții să fie satisfăcătoare, în sensul unei bune concordanțe între teorie și experiment.

Există însă numeroase situații în care obținerea unui model matematic liniar presupune aproximății inaceptabile, atât principal, cit și ca urmare a unor neconcordanțe flagrante între teorie și experiment. Pentru astfel de sisteme a fost necesară elaborarea unor metode noi, în care s-a ținut seama în primul rînd de caracterul neliniar al modelelor matematice. Metode de o asemenea factură s-au formulat și dezvoltat relativ independent în diverse domenii ale științei, pornindu-se de la idei radical diferite. Din acest motiv teoria sistemelor automate neliniare se prezintă ca un conglomerat de metode mai mult sau mai puțin adaptate între ele, fiecare având o anumită sferă de aplicabilitate. Singurul lor element unificator este acela că toate, într-un fel sau altul, au ca scop și *analiza stabilității* sistemelor automate neliniare.

Elementele neliniare care pot fi puse în evidență în cadrul sistemelor automate se împart în două categorii:

- *esențiale* sau deliberat introduse;
- *neesențiale* sau accidentale.

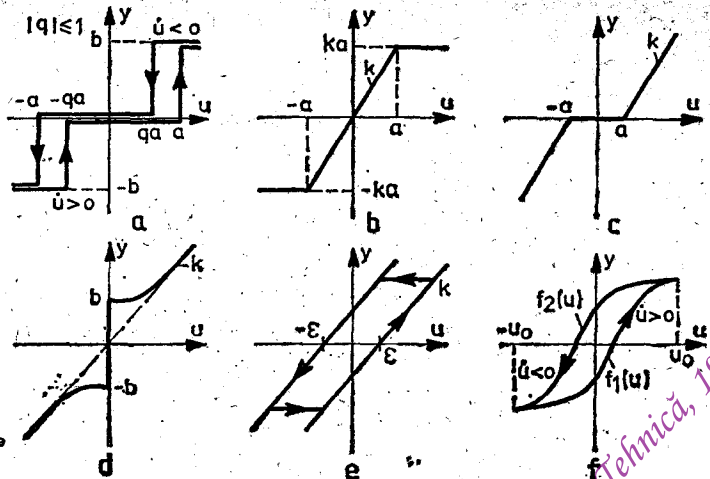


Fig. III.1. Neliniarități:

a – releu; b – saturăție; c – zonă de insensibilitate; d – frecare uscată; e – joc în angrenaje; f – histerezis.

O neliniaritate esențială este un element indispensabil pentru realizarea unei anumite relații intrare-iesire. Ca exemple de neliniarități esențiale se pot cita elementele de tip releu, fig. III.1, a, frecvent utilizate ca regulatoare în cadrul sistemelor automate.

Neliniaritățile neesențiale nu sunt intenționat introduse, au un caracter natural și în general sunt nedorite. Într-o primă aproximare liniarizarea lor nu trebuie să conducă la neconcordanțe prea mari între teorie și experiment. Ca exemple de neliniarități, neesențiale se pot aminti: saturăția, zona de insensibilitate; jocul în angrenaje, frecarea uscată și histerezisul mecanic, termic sau magnetic – fig. III.1, b–f.

În mod obișnuit se admite că sistemele neliniare satisfac ipoteza de separabilitate. Această ipoteză se referă la faptul că respectivul sistem poate fi discretizat structural într-un subsistem liniar și un subsistem neliniar fără memorie (univalent – fig. III.1, b–d).

Analiza și sinteza sistemelor automate neliniare se realizează prin numeroase procedee particulare, care în parte se sprijină pe ipoteza de separabilitate și care pot fi grupate în următoarele metode:

- metoda liniarizării
- metoda funcției de descriere
- metoda planului stărilor
- metoda liniarizării pe porțiuni
- metoda directă Liapunov

- metode analitice
- metode numerice.

Trebuie remarcat faptul că majoritatea metodelor se sprijină pe idei și concepte din teoria sistemelor automate liniare. De exemplu metoda liniarizării, aplicată deja la II.1.1.9, permite utilizarea tehnicilor de analiză a stabilității specifice sistemelor automate liniare. Evident, rezultatele obținute sunt valabile numai pentru o vecinătate a punctului de funcționare pentru care s-a făcut liniarizarea.

Pentru analiza stabilității sistemelor automate neliniare monovariabile, semnificative s-au dovedit metoda funcției de descriere, metoda planului stărilor și în mod deosebit metoda directă Liapunov. Toate trei fac obiectul prezentului capitol. Pentru o informare completă și asupra celorlalte metode recomandăm consultarea lucrărilor [B 6, 7].

1. Tehnici bazate pe funcția de descriere

Metoda funcției de descriere este în fond o metodă de liniarizare, și anume în domeniul frecvențelor. Această metodă este aplicabilă unei clase largi de neliniarități, dar se aplică în special în cazul neliniarităților descrise de funcții discontinue, pentru care liniarizarea bazată pe formula lui Taylor este inoperantă.

1.1. Metoda celor două locuri

1.1.1. Definiția funcției de descriere

Ipotezele în care vom defini funcția de descriere a unui element neliniar cu o intrare și o ieșire sint următoarele:

1° relația intrare-ieșire este descrisă de

$$y = f(u), \quad (1.1)$$

unde f este o funcție continuă și monotonă pe porțiuni, univalentă sau polivalentă, avind cel mult discontinuități de prima specă (condițiile lui Dirichlet);

2° neliniaritatea (1.1) este simetrică față de originea planului u, y ;

3° dacă u este periodică în timp atunci y este de asemenea periodică, de aceeași perioadă cu u ;

4° în structura sistemului automat neliniar monovariabil elementul neliniar precede un subsistem liniar cu o caracteristică atenuare-

frecvență de tipul filtru trece-jos, cu o pantă mai mare sau egală cu 40 dB/decadă în zona pulsăiei de căiere.

Aceste ipoteze sunt satisfăcute în majoritatea cazurilor care intervin în aplicații. Dacă se renunță la ipotezele 2° și 3° atunci se iau în considerare și neliniarități nesimetrice, [F3], și neliniarități care produc subarmonici [G3]. În principiu partea liniară poate fi atât continuă, cât și discretă în timp. În al doilea caz metoda funcției de descriere devine relativ laborioasă și din acest motiv este mai puțin utilizată în aplicații. În cele ce urmează ne vom referi numai la cazul sistemelor cu parte liniară continuă în timp.

Fie

$$u(t) = A \sin \omega t, \quad t \in \mathbb{R}; \quad A \geq 0, \quad \omega \geq 0. \quad (1.2)$$

În ipotezele 1°–3° $y(t)$ poate fi exprimat prin următoarea serie Fourier

$$y(t) = \sum_{n=1}^{\infty} (A_n \sin n\omega t + B_n \cos n\omega t), \quad t \in \mathbb{R}, \quad (1.3)$$

în care

$$A_n = \frac{2}{\pi} \int_0^{\pi} f(A \sin \omega t) \sin n\omega t d(\omega t), \quad n = 1, 2, \dots, \quad (1.4)$$

$$B_n = \frac{2}{\pi} \int_0^{\pi} f(A \sin \omega t) \cos n\omega t d(\omega t), \quad n = 1, 2, \dots, \quad (1.5)$$

sunt coeficienții Fourier ai iesirii $y(t)$.

În ipoteza 4° și pentru ω situat în zona pulsăiei de căiere a părții liniare, armonice superioare din (1.3) au un efect neglijabil în cadrul sistemului automat. În aceste condiții (1.3) poate fi aproximată prin

$$y(t) \approx y_1(t) = A_1 \sin \omega t + B_1 \cos \omega t, \quad t \in \mathbb{R}, \quad (1.6)$$

unde $y_1(t)$ este fundamentala lui $y(t)$.

Pentru stabilirea unui formalism asemănător cu cel utilizat la metoda frecvențială (v. II.3) vom transpune relațiile (1.2) și (1.6) în complex. Putem scrie

$$u(t) = \operatorname{Im} U(A, j\omega) = \operatorname{Im} A e^{j\omega t}, \quad t \in \mathbb{R}, \quad (1.7)$$

$$y_1(t) = \operatorname{Im} Y_1(A, j\omega) = \operatorname{Im} \sqrt{A_1^2(A) + B_1^2(A)} e^{j\omega t} e^{j\operatorname{arctg} \frac{B_1(A)}{A_1(A)}}, \quad t \in \mathbb{R}. \quad (1.8)$$

Definiția 1. Se numește *funcția de descriere* a elementului neliniar (1.1), sub ipotezele 1°—4°, raportul

$$N(A) = \frac{Y_1(A, j\omega)}{U(A, j\omega)}, \quad A \in \mathbf{R}_+. \quad (1.9)$$

Tinând seama de (1.7) și (1.8) funcția de descriere are expresia

$$N(A) = \frac{1}{A} [A_1(A) + jB_1(A)] = \frac{1}{A} \sqrt{A_1^2(A) + B_1^2(A)} e^{j \operatorname{arctg} \frac{B_1(A)}{A_1(A)}}, \quad A \in \mathbf{R}_+. \quad (1.10)$$

În aplicații se utilizează și *funcția de descriere invers negativă*

$$N_i(A) = -\frac{1}{N(A)}, \quad A \in \mathbf{R}_+. \quad (1.11)$$

Hodograful $N_i(A)$, $A \in \mathbf{R}_+$, se numește *locul de descriere invers negativ* al elementului neliniar (1.1).

Notind cu

$$N_R(A) = \operatorname{Re} N(A), \quad N_I(A) = \operatorname{Im} N(A), \quad (1.12)$$

din (1.6), tinând seama de (1.2) și (1.10), rezultă

$$y(t) \approx N_R(A)u(t) - \omega N_I(A) \int_0^t u(t)dt + AN_I(A). \quad (1.13)$$

Prezența integralei în relația intrare-ieșire (1.13) pune în evidență faptul că elementul neliniar are o „memorie”, simbolizată de partea imaginară $N_I(A)$ a funcției de descriere. Acest fenomen apare numai în cazul nelinierătilor polivalente, după cum se va vedea din rezultatul următor.

Teorema 1. Fie o neliinearitate bivalentă definită prin (fig. III.1, f.)

$$f(u) = \begin{cases} f_1(u), & \text{pentru } u > 0, \\ f_2(u), & \text{pentru } u < 0, \end{cases} \quad (1.14)$$

astfel încât

$$f_1(u) \leq f_2(u), \quad \text{pentru } |u| < u_0. \quad (1.15)$$

$$f_1(u) = f_2(u), \quad \text{pentru } |u| \geq u_0. \quad (1.16)$$

Atunci

$$N_I(A) = -\frac{S}{\pi A^2}, \quad A \geq a_0. \quad (1.17)$$

unde S este aria cuprinsă între graficele funcțiilor $f_1(u)$ și $f_2(u)$.

D. În conformitate cu relațiile (1.15), (1.10) și (1.12) se poate calcula $N_I(A)$ după cum urmează

$$\begin{aligned} N_I(A) &= \frac{1}{\pi A} \int_0^{2\pi} f(A \sin \omega t) \cos \omega t d(\omega t) = \\ &= \frac{1}{\pi A^2} \left[\int_0^{\pi/2} f(A \sin \omega t) A \cos \omega t d(\omega t) + \right. \\ &\quad \left. + \int_{\pi/2}^{3\pi/2} f(A \sin \omega t) A \cos \omega t d(\omega t) + \int_{3\pi/2}^{2\pi} f(A \sin \omega t) A \cos \omega t d(\omega t) \right] = \\ &= -\frac{1}{\pi A^2} \int_{-A}^A [f_2(u) - f_1(u)] du = -\frac{S}{\pi A^2}. \end{aligned}$$

Exemplul 1.1. Graficul neliniarității de tip relu în care s-au introdus unele notări care permit și studiul unor cazuri particulare, este reprezentat în fig. III. 1, a. Cazurile particulare posibile sunt următoarele:

- a) relu bipozitional pentru $q = 1$ și $a > 0$;
- b) relu bipozitional cu histerezis pentru $q = -1$ și $a > 0$;
- c) relu tripozitional pentru $q = 1$ și $a > 0$;
- d) relu tripozitional cu histerezis pentru $|q| < 1$ și $a > 0$.

Se cere să se determine funcția de descriere și locul de descriere invers negativ al acestei neliniarități.

În conformitate cu (1.4), (1.10), (1.12) putem scrie

$$N_R(A) = \frac{2}{\pi A} \int_0^{\pi} y(t) \sin \omega t d(\omega t) = \frac{2b}{\pi A} \int_{\alpha_1}^{\alpha_2} \sin \alpha d\alpha = \frac{2b}{\pi A} (\cos \alpha_1 - \cos \alpha_2).$$

Cu

$$\sin \alpha_1 = \frac{a}{A}, \quad \cos \alpha_1 = \sqrt{1 - \frac{a^2}{A^2}},$$

$$\sin \alpha_2 = q \frac{a}{A}, \quad \cos \alpha_2 = \sqrt{1 - q^2 \frac{a^2}{A^2}},$$

rezultă că partea reală a funcției de descriere are forma

$$N_R(A) = \frac{2b}{\pi A} \left(\sqrt{1 - \frac{a^2}{A^2}} + \sqrt{1 - q^2 \frac{a^2}{A^2}} \right), \quad A \geq a.$$

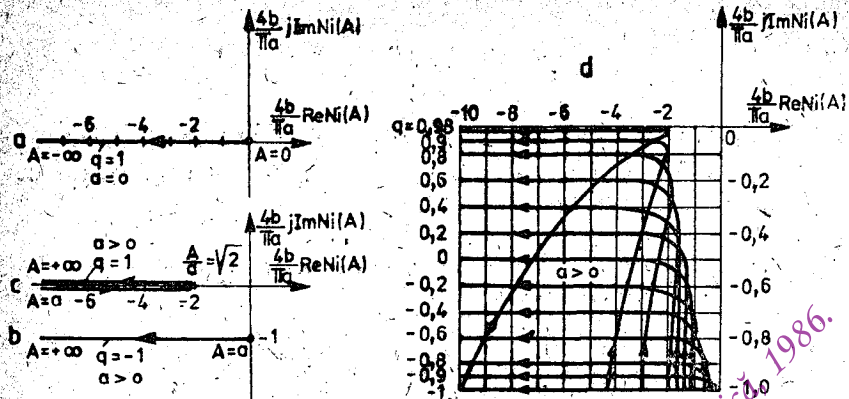


Fig. III.2. Locus de descriere invers negativ al neliniarității de tip relet (exemplul 1.1):
 a – relet bipozitional; b – relet bipozitional cu histerezis; c – relet tripozitional;
 d – relet tripozitional cu histerezis.

Pentru partea imaginată a funcției de descriere, conform relației (1.17), rezultă

$$N_I(A) = -\frac{2ab}{\pi A^2} (1 - q) \geq a.$$

Pentru particularizările considerate mai sus se obțin următoarele expresii:

a) $N(A) = \frac{4b}{\pi A}, \quad N_t(A) = -\frac{\pi}{4b} A, \quad A > 0;$

b) $N(A) = \frac{4ab}{\pi A^2} \left(\sqrt{\frac{A^2}{a^2} - 1} + j \right), \quad N_t(A) = -\frac{\pi a}{4b} \left(\sqrt{\frac{A^2}{a^2} - 1} + j \right), \quad A > a;$

c) $N(A) = \frac{4ab}{\pi A^2} \sqrt{\frac{A^2}{a^2} - 1}, \quad N_t(A) = -\frac{\pi A^2}{4ab} \frac{1}{\sqrt{\frac{A^2}{a^2} - 1}}, \quad A > a;$

d) $N(A) = \frac{2ab}{\pi A^2} \left(\sqrt{\frac{A^2}{a^2} - 1} + \sqrt{\frac{A^2}{a^2} - q^2} - j(1 - q) \right),$

$$N_t(A) = -\frac{\pi A^2}{4ab} \frac{\sqrt{\frac{A^2}{a^2} - q^2 + j(1 - q)}}{\frac{A^2}{a^2} - q^2 + \sqrt{\left(\frac{A^2}{a^2} - 1\right)\left(\frac{A^2}{a^2} - q^2\right)}}, \quad A \geq a.$$

Lociurile de descriere invers negative sunt reprezentate în fig. III.2.

1.1.2. Calculul aproximativ al funcției de descriere

Dacă neliniaritatea (1.1) este univalentă atunci, sub ipoteza 2°, ea este o funcție impară. Ca atare coeficientul A_1 din (1.10) se poate calcula și cu formula

$$A_1 = \frac{2}{\pi} \int_{-\pi/2}^{\pi/2} f(A \sin \omega t) \sin \omega t d(\omega t). \quad (1.18)$$

Făcind substituțiile $x = \sin \omega t$ și $g(x) = xf(A'x)$, din (1.18) se obține, [T1],

$$A_1 = \frac{2}{\pi} \int_{-1}^1 \frac{g(x)}{\sqrt{1-x^2}} dx \approx \frac{1}{3} \left[g(1) + 2g\left(\frac{1}{2}\right) + 2g\left(-\frac{1}{2}\right) + g(-1) \right],$$

ceea ce înseamnă

$$A_1 \approx \frac{2}{3} \left[f(A) + f\left(\frac{A}{2}\right) \right]. \quad (1.19)$$

Întrucit în cazul neliniarităților univalente $N_r(A) = 0$ (v. teorema 1), din (1.10) și (1.19) rezultă

$$N(A) = N_r(A) \approx \frac{2}{3A} \left[f(A) + f\left(\frac{A}{2}\right) \right]. \quad (1.20)$$

Expresia (1.20), pe lîngă simplitate, oferă posibilitatea determinării unei neliniarități $f(u)$ atunci cînd se cunoaște funcția de descriere $N(A)$.

Intr-adevăr, presupunind că amplitudinea intrării u ia succesiv valoările $A, \frac{1}{2}A, \frac{1}{2^2}A, \dots, \frac{1}{2^n}A$, din (1.20) se obține următorul sir de egalități

$$\frac{3}{2}AN(A) = f(A) + f\left(\frac{A}{2}\right),$$

$$-\frac{3}{2^2}AN\left(\frac{A}{2}\right) = -f\left(\frac{A}{2}\right) - f\left(\frac{A}{2^2}\right),$$

$$\frac{3}{2^3}AN\left(\frac{A}{2^2}\right) = f\left(\frac{A}{2^2}\right) + f\left(\frac{A}{2^3}\right),$$

$$(-1)^n \frac{3}{2^{n+1}} AN\left(\frac{A}{2^n}\right) = (-1)^n f\left(\frac{A}{2^n}\right) + (-1)^n f\left(\frac{A}{2^{n+1}}\right),$$

Sunind relatiile de mai sus membru cu membru se obtine

$$f(A) = \sum_{n=0}^{\infty} (-1)^n \frac{3A}{2^{n+1}} N\left(\frac{A}{2^n}\right), \quad (1.21)$$

deoarece, pe lîngă o serie de reduceri de termeni, are loc și $f\left(\frac{A}{2^{n+1}}\right) \rightarrow 0$ pentru $n \rightarrow +\infty$ (f este funcție impară).

În aplicații sunt suficienți primii cîțiva termeni pentru a determina o neliniaritate f pe baza cunoașterii funcției sale de descriere (după cum se va arăta la *exemplul 1.3*).

Procedeul de calcul aproximativ al funcției de descriere prezentat mai sus a fost extins și pentru neliniarități polivalente (uzual bivalente) și asimetrice, [C3].

1.1.3. Structura unui sistem automat neliniar

Analogaile dintre noțiunile de răspuns la frecvență și de funcție de descriere permit tratarea sistemelor automate neliniare monovariabile în manieră cunoscută de la sistemele automate liniare. Ca și acolo, sistemele automate neliniare pot fi descompuse structural în subsisteme. Unele sunt liniare, iar altele sunt neliniare. În situații în care subsistemele neliniare pot fi reduse la o singură neliniaritate, *schema bloc structurală tipică* a unui sistem automat neliniar are forma din fig. III.3, a.

Pentru cele ce urmează vom presupune că partea liniară, pe lîngă ipoteza 4° de la 1.1.1, mai satisface următoarele ipoteze:

1° are cel mult un pol pe axa imaginată și anume $s = 0$, iar restul polilor sunt toți în semiplanul $\text{Re } s < 0$;

2° părțile de stare necontrolabilă și/sau neobservabilă sunt asymptotic stabilă;

3° conține eventual și un element cu timp mort.

Dacă $\bar{u}_0 = \text{const.}$ atunci evoluția sistemului, conform fig. III.3, a, are loc în jurul unui punct de funcționare caracterizat prin ecuațiile

$$\begin{cases} y_0 = G(p) v_0 \\ v_0 = f(u_0) \\ u_0 = \bar{u}_0 - y_0. \end{cases} \quad (1.22)$$

Fig. III.3. Schema bloc structurală tipică (a) și standard (b) a unui sistem automat cu o singură neliniaritate.

în care $G(s)$ este funcția de transfer a părții liniare a sistemului și $p = \frac{d}{dt}$ este operatorul de derivare introdus formal prin înlocuirea variabilei s în $G(s)$. Pentru miciile abateri Δu , Δv și Δy ale mărimilor u , v și y în jurul valorilor u_0 , v_0 și y_0 putem scrie ecuațiile

$$\begin{cases} y_0 + \Delta y = G(p) (v_0 + \Delta v) \\ v_0 + \Delta v = f(u_0 + \Delta u) \\ u_0 + \Delta u = \bar{u}_0 - y_0 - \Delta y. \end{cases} \quad (1.23)$$

Tinând seama de (1.22), ecuațiile (1.23) devin

$$\begin{cases} \Delta y = G(p) \Delta v \\ \Delta v = \Delta f(\Delta u) \\ \Delta u = -\Delta y, \end{cases} \quad (1.24)$$

unde s-a notat

$$\Delta f(\Delta u) = f(u_0 + \Delta u) - f(u_0). \quad (1.25)$$

Pe baza ecuațiilor (1.24) schema bloc din fig. III.3, a poate fi adusă la forma reprezentată în fig. III.3, b, numită *forma standard* asociată punctului de funcționare $(\bar{u}_0, u_0, v_0, y_0)$.

1.1.4. Oscilații întreținute

Se remarcă imediat că sistemul automat din fig. III.3, b, descris de ecuațiile (1.24), se caracterizează prin starea de echilibru $\Delta y = 0$ (respectiv $\Delta y = 0$ este soluția ecuațiilor (1.24)).

Vom presupune că pentru punctul de funcționare $(\bar{u}_0, u_0, v_0, y_0)$ aceasta este singura stare de echilibru posibilă.

În afara acestei soluții este posibil ca ecuațiile (1.24) să admită și *soluții periodice*, respectiv *oscilații întreținute* în jurul punctului de funcționare $(\bar{u}_0, u_0, v_0, y_0)$, după cum se va vedea din rezultatul următor.

Teorema 2. Sistemul automat neliniar cu structura din fig. III.3, b și în ipotezele 1°–4° de la 1.1.1 și 1°–3° de la 1.1.3, este sediul unor oscilații întreținute dacă și numai dacă

$$N(A) G(j\omega) + 1 = 0, \quad A > 0, \quad \omega > 0. \quad (1.26)$$

D. Necessitatea. Dacă sistemul automat, respectiv ecuațiile (1.24) admit o soluție periodică, atunci, datorită efectului de filtru trece-jos al partii liniare, la intrarea elementului neliniar preponderentă este fundamentală.

$$\Delta u_1(t) = A \sin \omega t, \quad t \in \mathbb{R}. \quad (1.27)$$

În aceste condiții, trecind la mărimi complexe, din ecuațiile (1.24) la nivelul fundamentalelor, rezultă

$$\begin{cases} \Delta Y_1(A, j\omega) = G(j\omega) \Delta V_1(A, j\omega) \\ \Delta V_1(A, j\omega) = N(A) \Delta U_1(A, j\omega) \\ \Delta U_1(A, j\omega) = -\Delta Y_1(A, j\omega). \end{cases}$$

Eliminind $\Delta V_1(A, j\omega)$ și $\Delta Y_1(A, j\omega)$ între ecuațiile de mai sus se obține

$$[N(A) G(j\omega) + 1] \Delta U_1(A, j\omega) = 0. \quad (1.28)$$

Intrucit $\Delta U_1(A, j\omega) \neq 0$, din (1.28) rezultă (2.26).

Suficiența. Dacă are loc (1.26), atunci există cel puțin o pereche $A > 0$, $\omega > 0$ care definește fundamentala (1.27) a mărimii Δu , ceea ce înseamnă că sistemul automat neliniar este sediul unor oscilații întreținute. ■

Ecuația (1.26), care, prin analogie cu cazul liniar, este *ecuația caracteristică* a sistemului automat neliniar, se numește *ecuația balanței armonice*. Această ecuație, în general complexă, este echivalentă cu ecuațiile reale

$$\begin{cases} N_R(A) = -\operatorname{Re} G^{-1}(j\omega) \\ N_I(A) = -\operatorname{Im} G^{-1}(j\omega). \end{cases} \quad (1.29)$$

În cazul neliniarității univalente funcția de descriere este reală, astfel că ecuațiile (1.29) au forma particulară

$$\begin{cases} N(A) = -\operatorname{Re} G^{-1}(j\omega) \\ \operatorname{Im} G^{-1}(j\omega) = 0 \quad (\text{sau } \operatorname{Im} G(j\omega) = 0), \end{cases} \quad (1.30)$$

situatie în care din a doua ecuație se calculează pulsăriile oscilațiilor întreținute (așadar determinate numai de partea liniară a sistemului automat), iar din prima ecuație se calculează amplitudinile corespunzătoare ale fundamentalelor.

Dacă $N(A)$ și $G(j\omega)$ au expresii complicate este dificil de găsit pe cale analitică soluțiile ecuațiilor (1.29). În astfel de cazuri se utilizează procedee grafice.

Pentru rezolvarea pe cale grafică a ecuației (1.26) aceasta se scrie sub forma

$$G(j\omega) = N_i(A), \quad (1.31)$$

unde $N_i(A)$ este funcția de descriere inversă negativă a neliniarității $\Delta f(\Delta u)$. Se reprezintă în același plan hodografic $G(j\omega)$; $\omega \geq 0$ și $N_i(A)$, $A \geq 0$; punctele lor de intersecție corespund oscilațiilor întreținute ale sistemului automat nelinier — fig. III.4. Această metodă, foarte utilă pentru obținerea unei imagini globale asupra existenței soluțiilor periodice, este cunoscută sub numele de *metoda celor două locuri*.

Exemplul 1.2. Se consideră sistemul automat cu structura din fig. III.3, b, în care $\Delta f(\Delta u) = b \operatorname{sgn} \Delta u$ (releu bipozitional) și $G(s) = (s^3 + a_1 s^2 + a_2 s + a_3)^{-1}$, cu $a_1 > 0$, $a_2 > 0$ și $a_3 \geq 0$.

Se cere să se studieze existența soluțiilor periodice și în caz afirmativ să se determine pulsăriile și amplitudinile fundamentalelor.

Funcția de descriere a neliniarității de tip relu bipozitional a fost determinată la exemplul 1.1. (a) și locul de descriere inversă negativă a fost reprezentat în fig. III.2, a. Aplicind metoda celor două locuri — fig. III.5, rezultă că există o singură oscilație întreținută, oricare ar fi parametrii releului și oricare ar fi parametrii părții liniare. În virtutea ecuațiilor (1.30) putem scrie

$$\frac{4b}{\pi A} = -\operatorname{Re}(-j\omega^3 - a_1\omega^2 + ja_2\omega + a_3),$$

$$\operatorname{Im}(-j\omega^3 - a_1\omega^2 + ja_2\omega + a_3) = 0,$$

din care rezultă $\omega_1 = \sqrt{a_2}$ și $A_1 = \frac{45}{\pi(a_1 a_2 - a_3)}$.

Din condiția $A_1 > 0$ rezultă $a_1 a_2 - a_3 > 0$; aceasta înseamnă că dacă $a_3 > 0$ atunci partea liniară trebuie să fie stabilă IMEM (conform teoremei 5 de la II. 1.1.2). Fundamentala oscilației întreținute este

$$\Delta u_1(t) = \frac{4b}{\pi(a_1 a_2 - a_3)} \sin \sqrt{a_2} t, \quad t \in \mathbb{R}.$$

Exemplul 1.3. Se consideră sistemul automat nelinier cu structura din fig. III.3, b, în care $G(s) = 0.4 (s^3 + s^2 + s)^{-1}$.

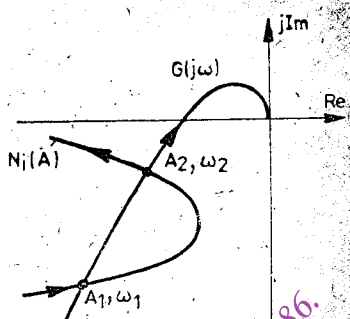


Fig. III.4. Metoda celor două locuri.

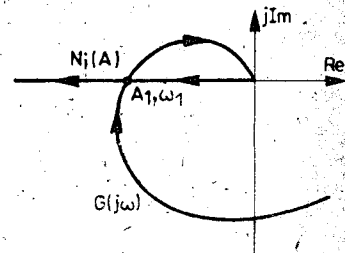


Fig. III.5. Aplicarea metodei celor două locuri la exemplul 1.2.

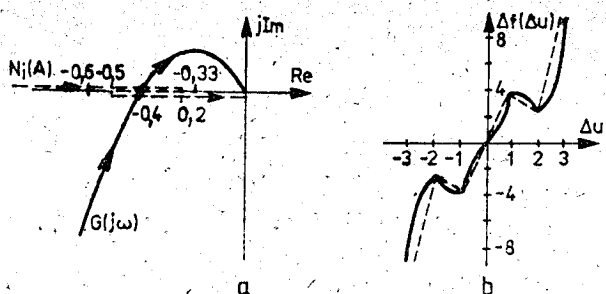


Fig. III.6. Aplicarea metodei celor două locuri (a) și graficul neliniarității (b) la exemplul 1.3.

Se cere să se determine neliniaritatea univalentă $\Delta f(\Delta u)$ astfel încit sistemul automat să admită trei oscilații întreținute.

Întrucât neliniaritatea este univalentă, locul de descriere invers negativ se va situa pe semiaxă reală negativă a planului celor două locuri. În același plan, locul de transfer $G(j\omega) = 0,4(-j\omega^3 - \omega^2 + j\omega)^{-1}$, fig. III.6, a, intersectează semiaxă reală negativă în punctul $(-0,4, j0)$ corespunzător pulsării $\omega_1 = 1$. În aceste condiții forma posibilă a locului de descriere invers negativ este cea trasată cu linie intreruptă în fig. III.6, a, corespunzător tabelului

A	0	0,5	1	1,5	2	2,5	4	-5	10	∞
$N_i(A)$	$-\infty$	-0,66	-0,33	-0,4	-0,5	-0,4	-0,25	-0,2	-0,1	0
$N(A)$	0	1,5	3	2,5	4	3	4	5	10	∞

Se asigură astfel trei soluții periodice, toate de aceeași pulsare $\omega_1 = 1$, dar de amplitudini (pe fundamentală) $A_1 = 0,83$, $A_2 = 1,5$ și $A_3 = 2,5$.

Utilizând formula (1.21) cu numai primii patru termeni se obține pentru neliniaritatea căutată următorul tabel de corespondență

A	0	0,5	1	1,5	2	2,5	3	4	5	10	∞
$\Delta f(A)$	0	0,825	3,6	3,3	2,34	5,58	9,8	21,4	31,6	117	∞

căruii ii corespunde graficul din fig. III.6, b (trasat cu linie continuă). Pentru realizarea ei practică se poate recurge la aproximarea printr-o linie poligonă (trasată cu linie intreruptă).

1.2. Stabilitatea oscilațiilor întreținute

Caracterizarea oscilațiilor întreținute din punctul de vedere al stabilității lor necesită un studiu mai aprofundat în sensul nuanțelor posibile, corespunzătoare celor prin care se poate caracteriza un punct de echilibru.

1.2.1. Oscilații limită

Vom presupune că în sistemul automat neliniar cu structura din fig. III.3, b s-a instalat un regim de oscilații întreținute și că, într-un mod oarecare, este posibilă perturbarea de scurtă durată a amplitudinii lor, în sensul creșterii sau în sensul scăderii. În funcție de evoluția în timp a soluțiilor, ulterioră perturbării, se disting următoarele trei cazuri.

Definiția 2. Oscilația limită se numește *limită stabilă* dacă după perturbarea de scurtă durată, atât în sensul creșterii, cât și al scăderii amplitudinii ei, cu creșterea timpului soluția revine la forma precedentă perturbării.

Definiția 3. Oscilația întreținută se numește *limită instabilă* dacă după perturbarea de scurtă durată, atât în sensul creșterii cât și al scăderii amplitudinii ei, cu creșterea timpului soluția nu mai revine la forma precedentă perturbării.

Definiția 4. Oscilația întreținută se numește *limită semistabilă*, sau concret *stabilă (instabilă) la stînga și respectiv instabilă (stabilă) la dreapta*, dacă după perturbarea de scurtă durată, în sensul scăderii și respectiv al creșterii amplitudinii ei, cu creșterea timpului, soluția revine (nu revine) și respectiv nu revine (revine) la forma precedentă perturbării.

1.2.2. Regula lui Loeb

O oscilație întreținută, oricare ar fi națura ei, se caracterizează prin existența unei perechi $A_0 > 0$, $\omega_0 > 0$, soluție a ecuației balantei armonice (1.26). O perturbare a ei la $t = 0$ are ca efect variația amplitudinii de la A_0 la $A_0 + \Delta A$ și a pulsării de la ω_0 la $\omega_0 + \Delta\omega$. Apare astfel o nouă oscilație care nu mai este riguros periodică, deoarece este afectată de o amortizare ζ pozitivă sau negativă. Expresia acestei oscilații, la nivelul fundamentalui, este

$$\Delta y_1(t) = \text{Im} (A_0 + \Delta A) e^{-\zeta t} e^{j(\omega_0 + \Delta\omega)t}, \quad t \in \mathbb{R}_+. \quad (1.32)$$

Conform definițiilor 2 și 3 și relației (1.32), oscilația întreținută este limită stabilă dacă

$$\Delta A \zeta > 0 \quad (1.33)$$

și este limită instabilă dacă

$$\Delta A \zeta < 0. \quad (1.34)$$

Pentru a converti condițiile (1.33) și (1.34) în niște condiții utilizabile practic pornim de la faptul că înainte de perturbare era sătisfăcută ecuația (1.26), adică

$$N(A_0) G(j\omega_0) + 1 = 0, \quad (1.35)$$

și că după perturbare, pentru $|\Delta A|$, $|\Delta\omega|$ și $|\zeta|$ suficient de mici, are loc

$$N(A_0 + \Delta A) G[j(\omega_0 + \Delta\omega + j\zeta)] + 1 = 0, \quad (1.36)$$

respectiv

$$X(A_0 + \Delta A, \omega_0 + \Delta\omega + j\varphi) + jY(A_0 + \Delta A, \omega_0 + \Delta\omega + j\zeta) = 0. \quad (1.37)$$

unde

$$\begin{cases} X(A, \omega) = -N_{iR}(A) + G_R(\omega) \\ Y(A, \omega) = -N_{iI}(A) + G_I(\omega) \end{cases} \quad (1.38)$$

cu

$$N_{iR}(A) = \operatorname{Re} N_i(A), \quad N_{iI}(A) = \operatorname{Im} N_i(A), \quad (1.39)$$

$$G_R(\omega) = \operatorname{Re} G(j\omega), \quad G_I(\omega) = \operatorname{Im} G(j\omega). \quad (1.40)$$

În ipoteza că funcțiile $X(A, \omega)$ și $Y(A, \omega)$ sunt derivabile într-o vecinătate a punctului (A_0, ω_0) se poate aplica în (1.37) formula creșterilor finite, ceea ce conduce la

$$\begin{aligned} & \left(\frac{\partial X}{\partial A} \right)_{A_1} \Delta A + \left(\frac{\partial X}{\partial \omega} \right)_{\omega_1} (\Delta\omega + j\zeta) + j \left(\frac{\partial Y}{\partial A} \right)_{A_1} \Delta A + \\ & + j \left(\frac{\partial Y}{\partial \omega} \right)_{\omega_1} (\Delta\omega + j\zeta) = 0, \end{aligned} \quad (1.41)$$

unde s-a ținut seama de faptul că ecuației (1.35), cu notările (1.38) – (1.40), îi corespunde ecuația

$$X(A_0, \omega_0) + jY(A_0, \omega_0) = 0$$

și $A_1 = A_0 + \alpha\Delta A$, $\omega_1 = \omega_0 + \beta(\Delta\omega + j\zeta)$ cu $0 < \alpha < 1$, $0 < \beta < 1$.

Efectuind calculele în (1.41), anulind părțile reală și imaginară și apoi eliminând $\Delta\omega$ între aceste ecuații se obține

$$S_1 \Delta A = \left[\left(\frac{\partial X}{\partial \omega} \right)_{\omega_1}^2 + \left(\frac{\partial Y}{\partial \omega} \right)_{\omega_1}^2 \right] \zeta, \quad (1.42)$$

unde

$$S_1 = \left(\frac{\partial X}{\partial A} \right)_{A_1} \left(\frac{\partial Y}{\partial \omega} \right)_{\omega_1} - \left(\frac{\partial X}{\partial \omega} \right)_{\omega_1} \left(\frac{\partial Y}{\partial A} \right)_{A_1}. \quad (1.43)$$

Conform condițiilor (1.33), (1.34) și relației (1.42) oscilația întreținută este limită stabilă dacă $S_1 > 0$ și limită instabilă dacă $S_1 < 0$. Această afirmație rămîne valabilă și pentru $\Delta A \rightarrow 0$, $\Delta \omega \rightarrow 0$, $\zeta \rightarrow 0$ și respectiv $S_1 \rightarrow S_0$, unde, cu notările (1.38)–(1.40).

$$S_0 = \left(\frac{dG_R}{d\omega} \right)_{\omega_0} \left(\frac{dN_{tR}}{dA} \right)_{A_0} - \left(\frac{dG_I}{d\omega} \right)_{\omega_0} \left(\frac{dN_{iR}}{dA} \right)_{A_0}, \quad (1.44)$$

ceea ce ne permite să formulăm următorul enunț.

Regula 1 (Loeb). Oscilația întreținută caracterizată prin perechea (A_0, ω_0) , soluție a ecuației (1.26), este:

- limită stabilă dacă $S_0 > 0$;
- limită instabilă dacă $S_0 < 0$;
- limită semistabilă dacă $S_0 = 0$.

Aplicarea acestei reguli presupune desigur calculul expresiei (1.44). O posibilitate de evitare a calculului celor patru derive din (1.44) se bazează pe observația că produsul vectorial al vectorilor

$$\bar{v}_G = \left(\frac{dG_R}{d\omega} \right)_{\omega_0} \bar{i} + \left(\frac{dG_I}{d\omega} \right)_{\omega_0} \bar{j},$$

$$\bar{v}_N = \left(\frac{dN_{tR}}{dA} \right)_{A_0} \bar{i} + \left(\frac{dN_{iR}}{dA} \right)_{A_0} \bar{j},$$

ținind seama de (1.44), este

$$\bar{v}_G \times \bar{v}_N = |\bar{v}_G| |\bar{v}_N| \sin(\bar{v}_G, \bar{v}_N) \bar{k} = \begin{vmatrix} \bar{i} & \bar{j} & \bar{k} \\ \left(\frac{dG_R}{d\omega} \right)_{\omega_0} & \left(\frac{dG_I}{d\omega} \right)_{\omega_0} & 0 \\ \left(\frac{dN_{tR}}{dA} \right)_{A_0} & \left(\frac{dN_{iR}}{dA} \right)_{A_0} & 0 \end{vmatrix} = S_0 \bar{k},$$

unde \bar{i} , \bar{j} , \bar{k} sunt versorii spațiului euclidian tridimensional.

Avind în vedere că \bar{v}_G și \bar{v}_N sunt vectorii tangenți la hodograful $G(j\omega)$ și respectiv la hodograful $N_t(A)$ în punctul lor de intersecție, caracterizat de perechea (A_0, ω_0) , și că sensul pozitiv al vectorului produs vectorial se obține atunci cînd unghiul dintre \bar{v}_G și \bar{v}_N este cuprins între 0

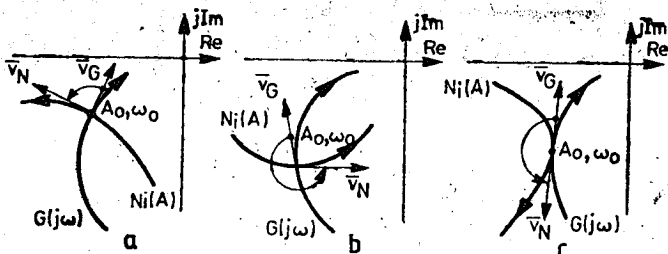


Fig. III.7. Natura oscilațiilor întreținute:
a – limită stabilă; b – limită instabilă; c – limită semistabilă.

și π (măsurat în sens pozitiv), regula 1 poate fi reformulată după cum urmează.

Regula 2 (Loeb). Oscilația întreținută caracterizată prin perechea (A_0, ω_0) , soluție a ecuației (1.26), este:

– limită stabilă, dacă pornind din punctul de intersecție al celor două locuri pe hodograful $G(j\omega)$ pentru ω crescător, hodograful $N_i(A)$ pentru A crescător rămîne la stînga – fig. III.7, a;

– limită instabilă, dacă pornind din punctul de intersecție al celor două locuri pe hodograful $G(j\omega)$ pentru ω crescător, hodograful $N_i(A)$ pentru A crescător rămîne la dreapta – fig. III.7, b;

– limită semistabilă, dacă în punctul de intersecție al celor două locuri hodografele $G(j\omega)$ și $N_i(A)$ sunt tangente – fig. III.7, c.

Evident, regula 2 poate fi folosită fără nici un fel de calcule, cu condiția ca să se fi trasat hodografele $G(j\omega)$ și $N_i(A)$ și constă numai în evaluarea poziției relative a celor două locuri în zonele punctelor lor de intersecție.

Exemplul 1.4. Se consideră sistemul automat de la exemplul 1.3.

Se cere să se determine natura celor trei oscilații întreținute.

Conform fig. III.6 a și reguli 2 numai oscilația caracterizată prin $\omega_1 = 1$ și $A_1 = 1,5$ este limită stabilă în timp ce celelalte două sunt limită instabile. Aceste constatări permit și o caracterizare mai detaliată a proprietăților sistemului. De exemplu dacă funcționarea sistemului are loc la oscilația limită stabilă, orice perturcare a acesteia, cu $0,83 < A < 2,5$, este urmată de revenirea la oscilația limită stabilă. Dacă $A < 0,83$ atunci pentru $t \rightarrow \infty$, $A \rightarrow 0$. Dacă $A > 2,5$ atunci pe tru $t \rightarrow \infty$, $A \rightarrow \infty$.

Din cele puse în evidență la exemplul 1.4 se trage concluzia că dacă cele două locuri au mai multe puncte de intersecție, nici unul dintre ele nefiind de tangentă, atunci, în mod logic, natura oscilațiilor întreținute, de exemplu, în ordinea crescătoare a amplitudinilor, este cea redată în fig. III.8, a, b. Dacă există și puncte de tangentă ale celor două locuri atunci oscilațiile semistabile sunt stable la dreapta, dacă se situează

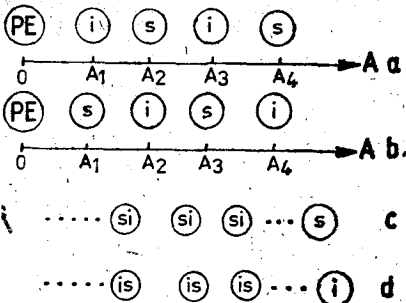


Fig. III.8. Succesiunea oscilațiilor limită:
 s — stabil; i — instabil; si — stabil la stînga și instabil la dreapta; is — instabil la stînga și stabil la dreapta; PE — punctul de echilibru.

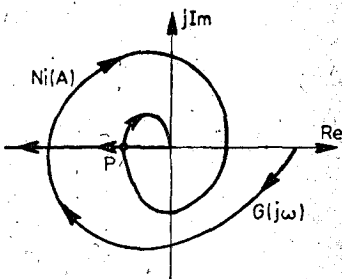


Fig. III.9. „Defecțiunea” regulii lui Loeb.

la stînga unei oscilații instabile, fig. III.8, c și instabile la dreapta, dacă se situează la stînga unei oscilații stabile, fig. III.8, d.

Oscilațile limită stabile, numite și *autooscilații*, sunt fenomene neliniare tipice. Ele nu au corespondent în cazul sistemelor automate liniare și nu pot fi, principial, produse decît cu ajutorul sistemelor automate neliniare.

Aplicarea *regulilor 1 și 2* pentru determinarea naturii oscilațiilor trebuie să se facă cu circumspectie, deoarece ele pot da rezultate eronate în cazul punctelor de intersecție ale celor două locuri situate în interiorul spiralei locului de transfer $G(j\omega)$. Un exemplu concluziv în acest sens este acela pentru care neliniaritatea este un relee bipozițional și partea liniară, stabilă IMEM, este de forma

$$G(s) = (s^7 + a_1 s^6 + a_2 s^5 + \dots + a_7)^{-1}.$$

Folosind metoda celor două locuri, avînd în vedere și fig. III.2, a, se obține imaginea din fig. III.9. Așadar sunt posibile două oscilații întreținute și, conform *regulii 2*, ambele sunt oscilații limită stabile, ceea ce nu este plauzibil. În realitate, aşa cum arată rezultatele obținute prin simulare, oscilația corespunzătoare punctului P din fig. III.9 este limită semistabilă (stabilă la stînga și instabilă la dreapta).

Cu acest prilej mai facem observația că dacă ipoteza 4° de la 1.1.1 nu este satisfăcută sau în sistem apar oscilații întreținute de pulsări mult mai mici ca pulsări de tăiere a părții liniare atunci rezultatele care se obțin cu ajutorul ecuației balanței armonice (1.26) sunt afectate de erori importante.

1.3. Stabilitatea asimptotică a sistemelor automate neliniare

1.3.1. Criteriul Kochenburger

Desigur că existența unor oscilații întreținute într-un sistem automat neliniar denotă faptul că respectivul sistem nu este global asimptotic stabil în punctul de funcționare considerat. Metoda celor două locuri, prin analogie cu cazul liniar, permite o extensie naturală a criteriului Nyquist și pentru cazul sistemelor automate neliniare.

Teorema 3 (Kochenburger). Sistemul automat neliniar cu structura din fig. III. 3, b și în ipotezele 1°–4° de la 1.1.1 și 1°–3° de la 1.1.3 are soluția $\Delta y = 0$, corespunzătoare punctului de funcționare $(\bar{u}_0, u_0, v_0, y_0)$, global asimptotic stabilă dacă și numai dacă la parcurgerea locului de transfer $G(j\omega)$, în sensul crescător al lui ω , locul de descriere invers negativ $N_r(A)$ rămâne la stînga și complet în afara sa.

Rolul punctului critic $(-1, j0)$ este jucat aici de locul de descriere invers negativ $N_r(A)$. Din acest motiv $N_r(A)$ se mai numește și *locul critic* al sistemului automat neliniar.

Spre desoebire de criteriul Nyquist, în cazul de față nu se poate afirma nimic despre stabilitatea IMEM a sistemului automat deoarece $\bar{u}_0 = \text{constant}$ și sistemul se află într-o stare de echilibru. Reamintim că stabilitatea IMEM presupune că mărimea de intrare este orice funcție de timp, mărginită în normă.

Evident, în legătură cu stabilitatea asimptotică a sistemului automat neliniar se poate afirma următorul rezultat.

Teorema 4. Sistemul automat neliniar cu structura din fig. III.3, b și în ipotezele 1°–4° de la 1.1.1 și 1°–3° de la 1.1.3 este asimptotic stabil dacă și numai dacă pentru orice punct de funcționare $(\bar{u}_0, u_0, v_0, y_0)$ soluția $\Delta y = 0$ este global asimptotic stabilă.

1.3.2. Aplicație: stabilitatea asimptotică a unui sistem automat de urmărire

Pentru sistemul automat de urmărire de la I.1.4.7 s-a ales la III.3.2.2 un regulator, în ipoteza că toate elementele sistemului automat sunt liniare, astfel încît acesta să fie stabil IMEM cu o anumită stabilitate relativă. Ne propunem să verificăm dacă neliniaritatea de tip joc în

angrenaje — fig. III.1, e, care caracterizează reductorul Rm , influențează stabilitatea asimptotică a sistemului automat de urmărire..

Funcția de descriere a nelinierității de tip joc în angrenaje, cu notările din fig. III.1, e, are expresia, [B 6],

$$N(A) = \frac{k}{\pi} \left[\frac{\pi}{2} + \arcsin \left(1 - \frac{2\varepsilon}{A} \right) + 2 \left(1 - \frac{2\varepsilon}{A} \right) \sqrt{\frac{\varepsilon}{A} - \frac{\varepsilon^2}{A^2}} + \right. \\ \left. + j4 \left(\frac{\varepsilon^2}{A^2} - \frac{\varepsilon}{A} \right) \right]. \quad (1.45)$$

Hodografele $N_i(A)$, $A \geq 0$, și $G(j\omega)$, $\omega \geq 0$ (pentru aplicarea metodei celor două locuri) au formele din fig. III.10. Întrucât raportul de transmisie k_2 al reductorului Rm a fost inclus în funcția de transfer a sistemului deschis $G(s)$ se consideră $k = 1$, ceea ce corespunde situației în care locul critic $N_i(A)$ trece prin punctul $(-1, j0)$. În acest caz, conform teoremelor 3 și 4 sistemul automat de urmărire este asimptotic stabil. Dacă raportul de transmisie crește și anume de k ori atunci locul critic $N_i(A)$ se deplasează omotetic spre dreapta, ajungindu-se pentru $k = 2$, la un punct de tangență între locul critic $N_i(A)$ (trasat cu linie punct în fig. III.10) și locul de transfer $G(j\omega)$. De aici se trage concluzia că sistemul automat de urmărire este asimptotic stabil pentru $0 < k < 2$. Pentru $k \geq 2$ în sistem apar oscilații întreținute de pulsări și ampli-

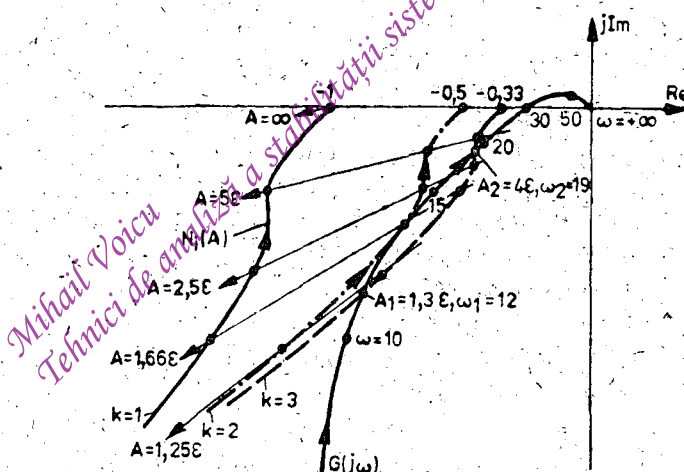


Fig. III. 10. Cele două locuri în cazul unui sistem automat de urmărire cu nelinieritate de tip joc.

tudini (pe fundamentală) bine definite. De exemplu pentru $k = 3$ apar oscilațiile întreținute $1,3\epsilon \sin 12t$ și $4\epsilon \sin 19t$. Prima este limită instabilă, în timp ce a doua este limită stabilă.

1.3.3. Criteriul Bilharz

Ecuația balanței armonice (1.26) mai poate fi utilizată pentru studiul stabilității asimptotice pe baza localizării rădăcinilor ei în planul complex.

Tinind seama că

$$G(s) = \frac{Q(s)}{P(s)}, \quad (1.46)$$

unde $P(s)$ și $Q(s)$ sunt două polinoame relativ prime între ele, ecuația (1.26), în care s-a înlocuit $j\omega = s$, are aceleași rădăcini ca și polinomul

$$\Delta(s, A) = P(s) + N(A) Q(s). \quad (1.47)$$

Teorema 5. Sistemul automat neliniar cu structura din fig. III. 3, b și în ipotezele 1°—4° de la 1.1.1 și 1°, 2° de la 1.1.3 are soluția $\Delta y = 0$, corespunzătoare punctului de funcționare $(\bar{u}_0, u_0, v_0, y_0)$, global asimptotic stabilă dacă și numai dacă polinomul (1.47) este hurwitzian pentru orice $A > 0$.

Teorema 6. Sistemul automat neliniar cu structură din fig. III.3, b și în ipotezele 1°—4° de la 1.1.1 și 1°, 2° de la 1.1.3 este asimptotic stabil dacă și numai dacă pentru orice punct de funcționare $(\bar{u}_0, u_0, v_0, y_0)$ polinomul (1.47) este hurwitzian pentru orice $A > 0$.

În cazul neliniarităților multivalente $N(A)$ este o funcție complexă ceea ce înseamnă că polinomul (1.47) are în general coeficienți complecsi. Pentru aplicarea tehniciilor polinomiale clasice (criteriile Hurwitz, Routh etc.) au fost necesare extinderi adecvate. Vom enunța în continuare, fără a da o demonstrație, o generalizare a criteriului Hurwitz (v. teorema 5 de la II.1.1.2), [B.8].

Fie

$$\Delta(s) = s^n + (a_{R1} + ja_{I1}) s^{n-1} + (a_{R2} + ja_{I2}) s^{n-2} + \dots + (a_{Rn} + ja_{In}), \quad (1.48)$$

în care a_{Ri} , a_{ii} , $i = 1, 2, \dots, n$, sunt numere reale, și matricea Bilharz de ordinul $2n$ asociată polinomului $\Delta(s)$,

$$B_{2n} = \begin{bmatrix} 1 & a_{11} & -a_{R2} & -a_{I3} & a_{R4} & a_{I5} & -a_{R6} & -a_{I7} & \dots \\ 0 & a_{R1} & a_{I2} & -a_{R3} & -a_{I4} & a_{R5} & a_{I6} & -a_{R7} & \dots \\ 0 & 1 & a_{R1} & -a_{K2} & -a_{R3} & a_{R4} & a_{I5} & -a_{R6} & \dots \\ 0 & 0 & a_{R1} & a_{I2} & -a_{R3} & -a_{I3} & a_{R5} & a_{I6} & \dots \\ 0 & 0 & 1 & a_{I1} & -a_{R2} & -a_{I3} & a_{R4} & a_{I5} & \dots \\ 0 & 0 & 0 & a_{R1} & a_{I2} & -a_{R3} & -a_{I4} & a_{R5} & \dots \\ \vdots & \vdots \end{bmatrix} \quad (1.49)$$

în care $a_{Ri} = a_{ii} = 0$ pentru $i > n$.

Teorema 7 (Bilharz). Polinomul (1.48) este hurwitzian dacă și numai dacă

$$\det B_{2k} > 0, \quad k = 1, 2, \dots, n. \quad (1.50)$$

O extindere asemănătoare s-a dat și metodei locului rădăcinilor (v. II. 1.1.7). Utilizarea ei, ca și a celorlalte tehnici polinomiale, este totuși limitată datorită complicațiilor de calcul pe care le introduce dependența rădăcinilor ecuației (1.2) de amplitudinea A .

Exemplul 1.5. Se consideră sistemul automat de urmărire cu structura din fig. III. 3, b în care neliniaritatea este un releu cu caracteristica din fig. III. 1, a și partea liniară (amplificatorul și servomotorul) este descrisă de funcția de transfer $G(s) = \frac{1}{s(s+1)}$.

Se cere să se determine parametrii releului pentru care sistemul automat de urmărire este asimptotic stabil.

Funcția de descriere a fost determinată la exemplul 1.1 (d). În conformitate cu (1.47)

$$\Delta(s, A) = s^2 + s + \alpha - j\beta,$$

unde

$$\alpha = \frac{2ab}{\pi A^2} \left(\sqrt{\frac{A^2}{a^2} - 1} + \sqrt{\frac{A^2}{a^2} - q^2} \right), \quad \beta = \frac{2ab(1-q)}{\pi A^2}, \quad A \geq a.$$

Matricea Bilharz corespunzătoare polinomului $\Delta(s, A)$ are forma

$$B_4 = \begin{bmatrix} 1 & 0 & -\alpha & 0 \\ 0 & 1 & -\beta & 0 \\ 0 & 1 & 0 & -\alpha \\ 0 & 0 & 1 & -\beta \end{bmatrix}$$

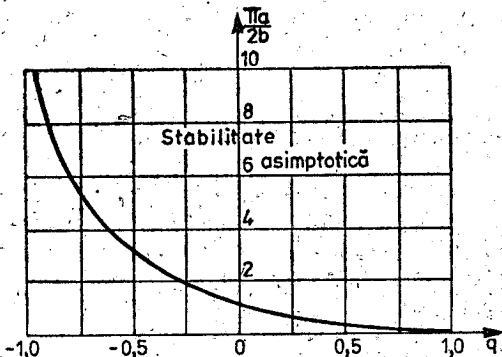


Fig. III. 11. Domeniu parametric de stabilitate asimptotică la exemplul 1.5.

este monoton crescătoare pentru $A \geq a$, rezultă că ultima inegalitate are loc pentru orice $A \geq a$ dacă și numai dacă ea are loc pentru $A = a$. Aceasta conduce la rezultatul

$$a > \frac{2b}{\pi} (1-q) \sqrt{\frac{1-q}{1+q}}, \quad |q| < 1.$$

Domeniul corespunzător de stabilitate asimptotică este reprezentat în fig. III. 11.

1.3.4. Stabilitatea asimptotică în mic

Conform ecuațiilor (1.24) un sistem automat neliniar cu structura din fig. III.3, b se caracterizează prin starea de echilibru $\Delta y = 0$, corespunzătoare punctului de funcționare $(\bar{u}_0, u_0, v_0, y_0)$. S-a văzut la 1.3.1 și la 1.3.3 în ce condiții această stare de echilibru este global asimptotic stabilă.

În situația în care în sistem există oscilații limită, în funcție de natura celei mai apropiate de starea de echilibru $\Delta y = 0$, respectiv a celei de amplitudinea $A_1 > 0$ cea mai mică, soluția $\Delta y = 0$ poate fi caracterizată după cum urmează:

a) soluția $\Delta y = 0$ este instabilă dacă și numai dacă oscilația de amplitudine A_1 este stabilă sau stabilă la stînga (semistabilă), fig. III.8, b, c.;

b) soluția $\Delta y = 0$ este *asimptotic stabilă în mic* și anume pentru $0 < A < A_1$ dacă și numai dacă soluția de amplitudine A_1 este instabilă sau instabilă la stînga (semistabilă), fig. III. 8, a, d.

În ambele cazuri amplitudinea A_1 se poate determina prin metoda celor două locuri, iar natura oscilației întreținute se poate determina cu regula lui Loeb. În cazul b) acest lucru este echivalent cu determinarea

și conform condiției (1.50) rezultă $B_a = 1 > 0$ și $B_s = \alpha - \beta^2 > 0$. Cu notațiile utilizate, ultima inegalitate este echivalentă cu

$$\sqrt{\frac{A^2}{a^2} - 1} + \\ + \sqrt{\frac{A^2}{a^2} - q^2} > \frac{2ab}{\pi A^2} (1-q)^2,$$

care trebuie să fie satisfăcută pentru orice $A \geq a$.

Întrucât expresia

$$A^2 \left(\sqrt{\frac{A^2}{a^2} - 1} + \sqrt{\frac{A^2}{a^2} - q^2} \right)$$

este monoton crescătoare pentru $A \geq a$, rezultă că ultima inegalitate are loc pentru orice $A \geq a$ dacă și numai dacă ea are loc pentru $A = a$. Aceasta conduce la rezultatul

$$a > \frac{2b}{\pi} (1-q) \sqrt{\frac{1-q}{1+q}}, \quad |q| < 1.$$

Domeniul corespunzător de stabilitate asimptotică este reprezentat în fig. III. 11.

Conform ecuațiilor (1.24) un sistem automat neliniar cu structura din fig. III.3, b se caracterizează prin starea de echilibru $\Delta y = 0$, corespunzătoare punctului de funcționare $(\bar{u}_0, u_0, v_0, y_0)$. S-a văzut la 1.3.1 și la 1.3.3 în ce condiții această stare de echilibru este global asimptotic stabilă.

În situația în care în sistem există oscilații limită, în funcție de natura celei mai apropiate de starea de echilibru $\Delta y = 0$, respectiv a celei de amplitudinea $A_1 > 0$ cea mai mică, soluția $\Delta y = 0$ poate fi caracterizată după cum urmează:

a) soluția $\Delta y = 0$ este instabilă dacă și numai dacă oscilația de amplitudine A_1 este stabilă sau stabilă la stînga (semistabilă), fig. III.8, b, c.;

*b) soluția $\Delta y = 0$ este *asimptotic stabilă în mic* și anume pentru $0 < A < A_1$ dacă și numai dacă soluția de amplitudine A_1 este instabilă sau instabilă la stînga (semistabilă), fig. III. 8, a, d.*

În ambele cazuri amplitudinea A_1 se poate determina prin metoda celor două locuri, iar natura oscilației întreținute se poate determina cu regula lui Loeb. În cazul b) acest lucru este echivalent cu determinarea

domeniului $|\Delta y| < A_1$ pentru care soluția $\Delta y = 0$ este asymptotic stabilă. Astfel, pentru sistemul de la exemplul 1.2 soluția $\Delta y = 0$ este instabilă deoarece singura oscilație întreținută este limitată stabilă, fig. III.5. În schimb sistemul de la exemplul 1.3 are soluția $\Delta y = 0$ asymptotic stabilă în mic și anume pentru $|\Delta y| < 0,83$, deoarece oscilația de amplitudinea cea mai mică $A_1 = 0,83$ este limitată instabilă, fig. III.6, a. Și în cazul sistemului de urmărire de la 1.3.2, pentru $k = 3$ soluția $\Delta y = 0$ este asymptotic stabilă pentru $|\Delta y| < 1,3\epsilon$, deoarece oscilația întreținută de amplitudine $A_1 = 1,3\epsilon$ este limitată instabilă, fig. III.10.

1.4. Problema stabilizării

1.4.1. Posibilități de stabilizare

În cazul sistemelor automate neliniare monovariabile există, principal, două căi pentru realizarea stabilizării:

- introducerea în mod deliberat a unei neliniarități;
- introducerea unor elemente de corecție liniare.

Ambele posibilități sunt ilustrate prin schema bloc structurală din fig. III.12, în care $N_c(A)$ este funcția de descriere a elementului corector neliniar și $G_{c1}(j\omega)$, $G_{c2}(j\omega)$ sunt răspunsurile la frecvență ale elementelor de corecție liniare. Conform acestei scheme ecuația balanței armonice are forma

$$G_{c1}(j\omega) G_{c2}(j\omega) N_c(A) G_{c1}(j\omega) G(j\omega) N(A) + 1 = 0. \quad (1.51)$$

Dacă se adoptă

$$N_c(A) = N(A) \quad (1.52)$$

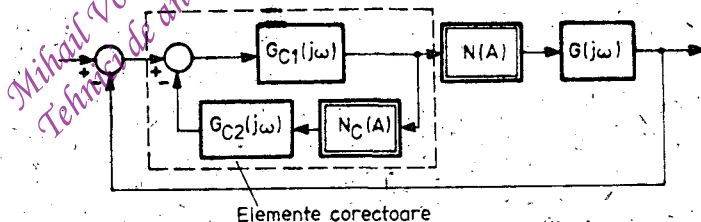


Fig. III.12. Posibilități de realizare a stabilizării unui sistem automat neliniar.

atunci din (1.51) rezultă

$$G_{c1}(j\omega) [G_{c2}(j\omega) + G(j\omega)] N(A) + 1 = 0, \quad (1.53)$$

ceea ce permite alegerea adecvată a elementelor de corecție liniare.

Dacă se adoptă

$$G_{c2}(j\omega) = G(j\omega) \quad (1.54)$$

atunci din (1.51) se obține

$$G_{c1}(j\omega) G_{c2}(j\omega) [N_c(A) + N(A)] + 1 = 0, \quad (1.55)$$

ceea ce permite alegerea unei neliniarități adecvate pentru realizarea performanțelor impuse.

În sfîrșit, dacă se adoptă

$$N_c(A) = 1 - N(A), \quad G_{c2}(j\omega) = G(j\omega) \quad (1.56)$$

din (1.51) rezultă

$$G_{c1}(j\omega) G_{c2}(j\omega) + 1 = 0, \quad (1.57)$$

ceea ce este echivalent cu o compensare a neliniarității $N(A)$ și transformarea sistemului într-un sistem automat liniar.

1.4.2. Utilizarea diagramei Bode

Având în vedere aspectul frecvențial al metodei funcției de descriere, orientarea spre utilizarea diagramei Bode atât pentru analiza stabilității cît și pentru rezolvarea problemei stabilizării a fost pe deplin naturală.

Pentru mai multă flexibilitate în manipularea diagramei Bode funcția de descriere se pune sub forma

$$N(A) = k_n N_n(\alpha), \quad \alpha = \frac{A}{a}, \quad (1.58)$$

unde k_n este un coeficient de normare, a este un parametru al neliniarității, α este amplitudinea normată și $N_n(\alpha)$ este funcția de descriere normată.

Înlocuind (1.58) în (1.26) se obține

$$N_n(A) G_n(j\omega) + 1 = 0, \quad (1.59)$$

unde

$$G_n(j\omega) = k_n G(j\omega) \quad (1.60)$$

este răspunsul la frecvență normată al părții liniare a sistemului automat.

În mod evident ecuația (1.59) este echivalentă cu

$$20 \lg |G_n(j\omega)| = -20 \lg |N_n(A)|, \quad (1.61)$$

$$\arg G_n(j\omega) = (2k + 1)\pi - \arg N_n(A), \quad k \in \mathbf{Z}. \quad (1.62)$$

Dacă neliniaritatea este univalentă atunci $\arg N_n(A) = 0$ și ecuația (1.62) devine

$$\arg G_n(j\omega) = (2k + 1)\pi, \quad k \in \mathbf{Z}. \quad (1.63)$$

Determinarea oscilațiilor întreținute constă în următoarele. Din diagrama Bode a părții liniare se obțin pulsăurile ω_k pentru care $\arg G_n(j\omega)$ ia valorile $-\pi, -3\pi, \dots$, și apoi se măsoară atenuările corespunzătoare $20 \lg |G_n(j\omega_k)|$. În continuare urmează să se verifice dacă există valori ω_k pentru care are loc (1.61), unde $\omega = \omega_k$. Pentru aceasta se reprezintă grafic funcția

$$f(\alpha) = -20 \lg |N_n(\alpha)| \quad (1.64)$$

și se determină valorile ω_k pentru care

$$f(\omega_k) = 20 \lg |G_n(j\omega_k)|. \quad (1.65)$$

Pentru realizarea corecției în domeniul frecvențelor se procedează ca și în cazul sistemelor automate liniare (v. paragraful următor).

În cazul neliniarităților polivalente (uzual bivalente) utilizarea diagramei Bode nu facilitează în nici un fel rezolvarea sistemului de ecuații (1.61), (1.62). O alternativă este aceea care constă în trasarea în același sistem de axe rectangulare a graficelor funcțiilor $20 \lg |G_n(j\omega)|$ funcție de $\arg G_n(j\omega)$ și $-20 \lg |N_n(A)|$ funcție de $\arg |N_n(A)|$ (diagrama Nichols) și determinarea oscilațiilor întreținute pe baza punctelor de intersecție ale celor două grafice.

1.4.3 Aplicație: stabilizarea unui sistem automat de reglare a temperaturii

Se consideră sistemul automat de reglare a temperaturii cu schema bloc structurală din fig. III.12, în care

$$G(s) = \frac{0,128 e^{-5s}}{s(10s + 1)(5s + 1)}$$

și $N(A)$ este un regulator nelinier cu saturatie (neliniaritate accidentală), a cărui funcție de descriere, cu notațiile din fig. III.1, b, este, [B6],

$$N(A) = \frac{2k}{\pi} \left(\arcsin \frac{a}{A} + \frac{a}{A} \sqrt{1 - \frac{a^2}{A^2}} \right), \quad A \geq a. \quad (1.66)$$

Introducind $\alpha = \frac{A}{a}$ și coeficientul de normare $k_n = k = 2,5$, conform relației (1.64) avem

$$f(\alpha) = -20 \lg \frac{2}{\pi} \left(\arcsin \frac{1}{\alpha} + \frac{1}{\alpha} \sqrt{1 - \frac{1}{\alpha^2}} \right), \quad \alpha \geq 1, \quad (1.67)$$

al cărei grafic este reprezentat în fig. III.13, a.

Răspunsul la frecvență normată are expresia

$$G_n(j\omega) = \frac{0,32 e^{-5j\omega}}{j\omega(10j\omega + 1)(5j\omega + 1)}, \quad (1.68)$$

și diagrama Bode corespunzătoare este reprezentată în fig. III.13, b.

Ne propunem să analizăm stabilitatea sistemului și dacă este necesar să realizăm o corecție cu elementul liniar $G_{e1}(s)$ ($N_e(A) = 0$ sau $G_{e2}(s) = 0$).

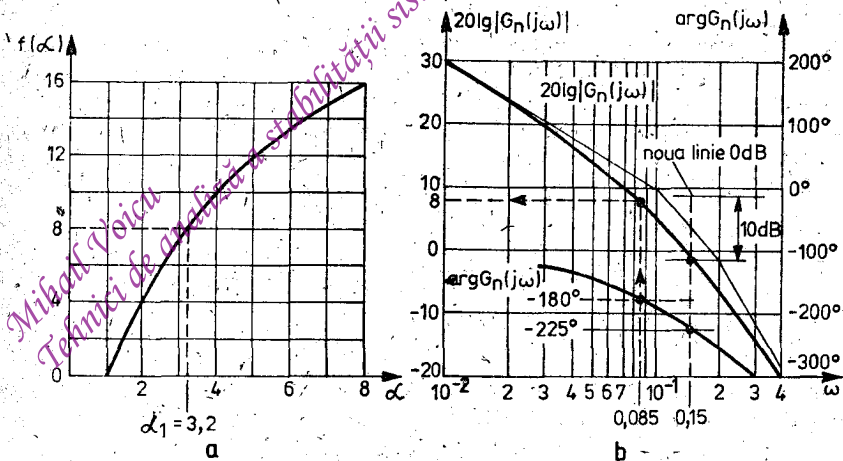


Fig. III.13. a — Funcția $f(\alpha)$, relația (1.67), a neliniarității de tip saturatie (fig. III.1,b);
b — Diagrama Bode a părții liniare, relația (1.68).

Din fig. III.13, b rezultă $\omega_1 = 0,085$ și $20 \lg |G_n(j\omega_1)| = 8$. Din fig. III.13, a, pentru $f(\alpha_1) = 8$, rezultă $\alpha_1 = 3,2$, ceea ce înseamnă $A_1 = 3,2$ a. Așadar sistemul este sediul oscilației limită stabile $3,2 a \times \sin 0,085 t$. Ca urmare starea de echilibru $\Delta y = 0$ este instabilă.

Pentru stabilizarea sistemului există două posibilități.

a) Coborârea caracteristicii $20 \lg G_n(j\omega)$ sau echivalent ridicarea liniei de 0 dB. De exemplu prin ridicarea noii linii de 0 dB deasupra nivelului de 8 dB vom avea $20 \lg |G_n(j\omega_1)| < 0$ și cum $f(\alpha) > 0$, apariția oscilațiilor întreținute nu mai este posibilă.

b) Ridicarea caracteristicii $\arg G_n(j\omega)$ în domeniul frecvențelor medii (zona pulsăției de tăiere a părții liniare) astfel încât ω_1 să se deplaseze spre dreapta, într-un domeniu în care $20 \lg G_n(j\omega) < 0$. În cazul de față acest lucru poate fi realizat cu ajutorul unui element PD care la frecvențe medii realizează o ridicare a caracteristicii $\arg G_n(j\omega)$ cu aproximativ 45° (v. fig. II.36, b). De exemplu pentru un element de corecție cu funcția de transfer $G_{c1}(s) = k_r(7s + 1)$ se obține $\omega_1 = 0,15$ (la intersecția cu orizontală de -225° , fig. III.13, b), căreia, pentru $k_r \leq 0,7$ îi corespunde $20 \lg |G_n(j\omega)| < 0$. O valoare $k_r \leq 0,7$ este echivalentă cu o ridicare a liniei de 0 dB. De exemplu pentru ridicarea acesteia cu 10 dB trebuie să aibă loc

$$20 \lg k_r \sqrt{(7 \omega_1)^2 + 1} = 20 \lg k_r + 20 \lg \sqrt{2} = -10,$$

de unde rezultă $k_r = 0,224$.

2. Metoda planului stărilor

Un sistem dinamic se numește *autonom* dacă el este invariант în timp și liber.

În conformitate cu noțiunile introduse la I.3 și I.4 un sistem dinamic autonom este descris de o ecuație diferențială de forma

$$\dot{x} = f(x), \quad t \in \mathbf{R}, \quad x \in \mathbf{R}^n. \quad (2.1)$$

Soluțiile unui sistem dinamic autonom au proprietatea de invarianță în raport cu translațiile temporale. Dacă $x(t)$ este o soluție a ecuației (2.1) cu domeniul $I \subseteq \mathbf{R}$ și codomeniul $X_I = x(I) \subseteq \mathbf{R}^n$ atunci $x(t + \tau)$, pentru orice $\tau \in \mathbf{R}$, este de asemenea soluție cu același codomeniu dar cu domeniul $\{t \in \mathbf{R}; t + \tau \in I\}$. Această afirmație este adevărată în virtutea faptului că

$$\dot{x}(t + \tau) = f[x(t + \tau)], \quad t + \tau \in I, \quad \tau \in \mathbf{R}.$$

Dacă pentru fiecare punct din $\mathbf{R} \times X_I$, există o soluție unică atunci toate soluțiile pe $\mathbf{R} \times X_I$ se obțin prin translarea în timp a uneia dintre respectivele soluții. În aceste condiții mulțimea $\mathbf{R} \times \mathbf{R}^n$ este divizată în submulțimi și în fiecare submulțime toate soluțiile se obțin prin translarea în timp a unei soluții din respectiva submulțime. Soluțiile care aparțin unei submulțimi $\mathbf{R} \times X_I$ formează o familie care are proprietatea că este complet caracterizată de o soluție oarecare care face parte din ea.

Exemplul 2.1. Fie sistemul dinamic autonom

$$\dot{x} = \frac{1}{2}(x^2 - 1), \quad t \in \mathbf{R}, \quad x \in \mathbf{R}.$$

Să se determine submulțimile $\mathbf{R} \times X_I$ ale sistemului și comportarea familiilor de soluții în vecinătatea punctelor de echilibru. Separind variabilele în ecuația de mai sus, după integrare, se obține

$$\left| \frac{x(t) - 1}{x(t) + 1} \right| = Ce^t, \quad C = \text{const.}$$

Din studiul semnului funcției din membrul stîng rezultă că sistemul are trei submulțimi de divizare $\mathbf{R} \times X_{I_i}$, $i = 1, 2, 3$, cu $X_{I_1} = (-\infty, -1)$, $X_{I_2} = (-1, 1)$ și $X_{I_3} = (1, +\infty)$.

Punctele de echilibru ale sistemului sunt $x = -1$ și $x = 1$. Avînd în vedere graficul funcției $f(x) = \frac{1}{2}(x^2 - 1)$, respectiv variația semnului ei pentru $x \in \mathbf{R}$, fig. III. 14, rezultă că familiile de soluții reprezentate pe dreapta de stare (sistemul este de ordinul unu), au imaginea și sensurile de evoluție în timp conform fig. III. 14, jos.

Din exemplul de mai sus se trage concluzia că între natura punctului de echilibru și sensurile traectoriilor de stare în vecinătatea sa există o relație directă.

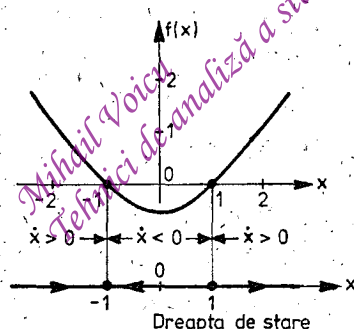


Fig. III.14. Traiectoriile de stare la exemplul 2.1.

În cazul sistemului de la *exemplul 2.1* punctul de echilibru $x = -1$ este asimptotic stabil și, avînd în vedere că traectoriile de stare (familiile de soluții) converg către acest punct, se numește *punct de atracție* sau *atractor*. Punctul de echilibru $x = 1$ este instabil și, din motive evidente din fig. III.14, b, se numește *punct de repulsie* sau *repulsor*.

Cele expuse pînă aici, cu referire și la sistemul de la *exemplul 2.1*, pun în evidență ideile de bază ale *metodei planului stărilor*, care are calitatea că poate aduce informații prețioase privitoare la proprietă-

tile interne ale sistemului și în special privitoare la stabilitatea punctelor de echilibru. Întrucât aplicarea efectivă se bazează pe reprezentări grafice (ca în fig. III.14, b) utilizarea metodei planului stărilor este naturală și comodă în primul rînd în cazul sistemelor dinamice autonome de ordinul unu și doi. Ea se poate aplica și sistemelor de ordin superior, dar de regulă în combinație cu alte metode, [F3].

2.1. Sisteme dinamice autonome de ordinul doi

2.1.1. Portretul de stare

Fie sistemul dinamic autonom de ordinul doi

$$\begin{cases} \dot{x}_1 = f_1(x_1, x_2), & t \in \mathbb{R}, \\ \dot{x}_2 = f_2(x_1, x_2), & (x_1, x_2) \in \mathbb{R}^2. \end{cases} \quad (2.2)$$

Pentru $f_1(x_1, x_2) \neq 0$ din cele două ecuații (2.2) se obține

$$\frac{dx_2}{dx_1} = f(x_1, x_2), \quad (2.3)$$

în care $f(x_1, x_2) = f_2(x_1, x_2)/f_1(x_1, x_2)$, ceea ce este echivalent cu eliminarea timpului între ecuațiile (2.2).

În ipoteza că $f(x_1, x_2)$ este continuă și lipschitziană (v. I.2.2), ecuația (2.3) admite o soluție unică

$$x_2 = x_{20} + \int_{x_{10}}^{x_1} f(x, x_2) dx, \quad (x_{10}, x_{20}) \in \mathbb{R}^2, \quad (2.4)$$

care satisfac condițiile initiale $x_1(t_0) = x_{10}$, $x_2(t_0) = x_{20}$, $t_0 \in \mathbb{R}$.

Din punctul de vedere al analizei stabilității sistemului (2.2), care în cazul de față se bazează pe reprezentarea grafică a soluției (2.4) pentru diverse condiții initiale (x_{10}, x_{20}) , este necesar să se parcurgă următorii trei pași.

1º Se determină punctele de echilibru $(a_1, a_2) \in \mathbb{R}^2$, soluții ale sistemului de ecuații

$$\begin{cases} f_1(a_1, a_2) = 0 \\ f_2(a_1, a_2) = 0. \end{cases} \quad (2.5)$$

2º Se trasează în planul (x_1, x_2) trajectoarele de stare (2.4) corespunzătoare celor mai reprezentative puncte (x_{10}, x_{20}) (în raport cu punc-

tele de echilibru) și se marchează prin săgeți sensul lor de parcurgere pentru t cresător.

3º Se stabilește natura fiecărui punct de echilibru în funcție de sensurile de parcurgere a traекторiilor din vecinătatea sa.

Definiția 1. Imaginea grafică obținută conform punctelor 1º și 2º se numește *portretul de stare* al sistemului (2.2).

Realizarea pasului 2º, care de regulă este mai dificilă, este posibilă urmând trei căi principale.

a) Integrarea ecuațiilor (2.2) sau a ecuației (2.3), finalizate cu obținerea unei soluții explicitate analitic.

b) Integrarea ecuațiilor (2.2.) sau a ecuației (2.3) prin metode grafo-analitice.

c) Integrarea ecuațiilor (2.2) sau a ecuației (2.3) prin metode numerice.

Exemplul 2.2. Fie sistemul dinamic autonom

$$\begin{cases} \dot{x}_1 = 2x_1 - x_1^2 \\ \dot{x}_2 = -x_2 + x_1 x_2 \end{cases}$$

Să se determine portretul de stare al sistemului.

Din sistemul de ecuații algebrice

$$\begin{cases} 2x_1 - x_1^2 = 0 \\ -x_2 + x_1 x_2 = 0 \end{cases}$$

rezultă că sistemul are două stări de echilibru și anume $(0,0)$ și $(2,0)$.

Făcind raportul celor două ecuații diferențiale, aşa cum s-a procedat la (2.3), se obține

$$\frac{dx_2}{dx_1} = \frac{-x_2 + x_1 x_2}{2x_1 - x_1^2}, \quad x_1 \neq 0, \quad x_1 \neq 2.$$

care este o ecuație diferențială cu variabile separabile.

După calcule elementare se obține ecuația

$$\frac{dx_2}{x_2} = \frac{1}{2} \left(\frac{1}{2-x_1} - \frac{1}{x_1} \right) dx_1$$

a cărei soluție este

$$x_2^2 = \frac{A}{|x_1(2-x_1)|}, \quad x_1 \neq 0, \quad x_1 \neq 2, \quad A = \text{const.}$$

În plus, pentru $x_1 = 0$ și $x_1 = 2$ din care cea de a doua ecuație a sistemului se obține

$$\begin{cases} x_1 = 0 \\ |x_2| = Be^{-t} \end{cases} \quad \begin{cases} x_1 = 2 \\ |x_2| = Ce^{t} \end{cases}$$

$$B, C = \text{const.}$$

Portretul de stare, conform soluțiilor determinate are imaginea din fig. III.15. Sensurile de parcurgere a traectoriilor rezultă din semnele funcțiilor $f_1(x_1, x_2)$ și $f_2(x_1, x_2)$, pentru $(x_1, x_2) \in \mathbb{R}^2$, respectiv din semnele derivatelor \dot{x}_1 și \dot{x}_2 . Pe această bază se pot stabili intervalele de monotonie ale variabilelor $x_1(t)$ și $x_2(t)$. De exemplu pentru $x_2 > 0$ și $x_1 \in \mathbb{R}$ avem următoarea situație:

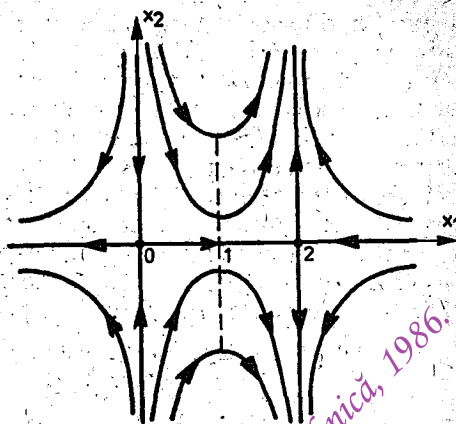


Fig. III.15. Portretul de stare la exemplul 2.2.

$x_1 \in$	$(-\infty, 0)$	$(0, 1)$	$(1, 2)$	$(2, \infty)$
\dot{x}_1, \dot{x}_2	$\dot{x}_1 < 0, \dot{x}_2 < 0$	$\dot{x}_1 > 0, \dot{x}_2 < 0$	$\dot{x}_1 > 0, \dot{x}_2 > 0$	$\dot{x}_1 < 0, \dot{x}_2 > 0$
x_1, x_2	$x_1 \downarrow, x_2 \downarrow$	$x_1 \uparrow, x_2 \downarrow$	$x_1 \uparrow, x_2 \uparrow$	$x_1 \downarrow, x_2 \uparrow$

Pentru $x_2 < 0$ și $x_1 \in \mathbb{R}$ se schimbă în mod corespunzător numai semnele lui \dot{x}_2 .

În cazul în care obținerea soluției analitice a ecuațiilor (2.2) sau a ecuației (2.3) nu este posibilă se folosesc metode grafo-analitice sau metode numerice. O expunere exhaustivă asupra acestor metode a fost dată în [B6]. Ne vom opri în continuare pe scurt la una dintre metodele grafo-analitice larg utilizată în aplicații.

2.1.2 Metoda izoclineelor

În conformitate cu (2.3) raportul $m = \frac{dx_2}{dx_1}$ este panta traectoriei de stare în punctul $(x_1, x_2) \in \mathbb{R}^2$. Pentru $m = \text{const.}$ ecuația implicită $f(x_1, x_2) = m$ este ecuația unei curbe numită, avind în vedere semnificația lui m , curbă izoclină.

Pentru diferite valori $m \in \mathbb{R}$ se reprezintă în planul (x_1, x_2) o familie de curbe izocline ale sistemului (2.2). Fiecare curbă izoclină se distinge prin panta m a trajectoriilor de stare care este aceeași, în punctele care îi aparțin, pentru toate trajectoriile de stare care o intersecțează. Pentru a evidenția acest lucru și a-l folosi apoi pentru construcția portretului de stare, pe fiecare curbă izoclină se trasează din loc în loc, mici segmente orientate (corespunzător semnelor funcțiilor $f_1(x_1, x_2)$ și $f_2(x_1, x_2)$) de pantă m . Pentru orice punct inițial, diferit de punctele de echilibru, trajectoria corespunzătoare se trasează astfel ca în punctele ei de intersecție cu curbele izocline panta să coincidă, la fiecare intersecție, cu panta segmentelor orientate ale respectivei curbe izocline.

Exemplul 2.3: Se consideră sistemul dinamic autonom

$$\begin{cases} \dot{x}_1 = x_1^2 \\ \dot{x}_2 = x_2(2x_1 - x_2). \end{cases}$$

Se cere să se construiască portretul de stare prin metoda izocinelor

Punctul de echilibru este $(0,0)$.

Ecuatia familiei de curbe izocline este

$$\frac{x_2(2x_1 - x_2)}{x_1^2} = m, \quad x_1 \neq 0,$$

din care rezultă

$$x_2 = x_1 [1 \pm \sqrt{1 - m}], \quad m \leq 1.$$

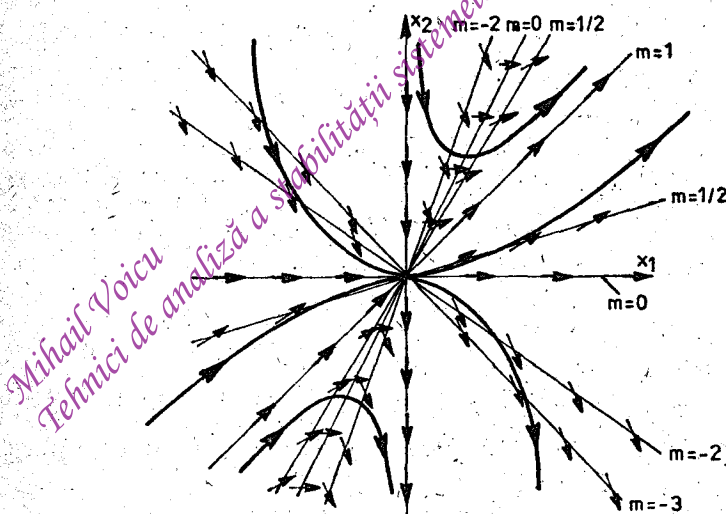


Fig. III. 16. Portretul de stare la exemplul 2.3 (metoda izocinelor).

Din valori lui m se obține următoarea familie de curbe izocline:

$$m = 0 \quad x_2 = 0 \text{ și } x_2 = 2x_1$$

$$m = 0,5 \quad x_2 = (1 \pm 1/\sqrt{2})x_1$$

$$m = 1 \quad x_2 = x_1$$

$$m = -2 \quad x_2 = (1 \pm \sqrt{3})x_1$$

$$m = -3 \quad x_2 = -x_1 \text{ și } x_2 = 3x_1$$

Care se reprezintă în planul (x_1, x_2) , fiecare distingându-se prin segmentele orientate de pantă m . Orientarea se determină foarte simplu deoarece $\dot{x}_1 = x_1^2 > 0$ pentru orice $x_1 \neq 0$.

Portretul de stare care se obține este reprezentat în fig. III.16.

2.1.3. Cazul sistemelor liniare

Examinînd portretele de stare din fig. III.15 și III.16 se trage concluzia că punctele de echilibru ale respectivelor sisteme nu sunt nici atracțori și nici repulsori. Pentru caracterizarea lor este necesară o nuanțare topologică suplimentară. Vom face acest lucru cu ajutorul sistemelor liniare autonome de ordinul doi, pentru care s-a realizat la I.5.2 o analiză detaliată a stabilității.

Fie un sistem dinamic liniar autonom de ordinul doi descris de ecuația matriceală

$$\begin{bmatrix} \dot{x}_1 \\ \dot{x}_2 \end{bmatrix} = \begin{bmatrix} a_{11} & a_{12} \\ a_{21} & a_{22} \end{bmatrix} \begin{bmatrix} x_1 \\ x_2 \end{bmatrix}, \quad t \in \mathbb{R}, \quad (x_1, x_2) \in \mathbb{R}^2, \quad (2.6)$$

în care a_{11}, \dots, a_{22} , numere reale, sunt elementele matricii A .

S-a arătat la I.5.2.1, că dacă V este matricea modală a matricii A atunci prin relația $J = V^{-1}AV$ ea este asemenea cu una din matricile canonice

$$\begin{bmatrix} \lambda_1 & 0 \\ 0 & \lambda_2 \end{bmatrix} \text{ pentru } \lambda_1 \neq \lambda_2, \quad (2.7)$$

$$\begin{bmatrix} \lambda_0 & 0 \\ 0 & \lambda_0 \end{bmatrix} \text{ sau } \begin{bmatrix} \lambda_0 & 1 \\ 0 & \lambda_0 \end{bmatrix} \text{ pentru } \lambda_1 = \lambda_2 = \lambda_0, \quad (2.8)$$

unde λ_1, λ_2 sunt valorile proprii ale matricii A .

Definiția 2. Sistemul (2.6) se numește *simplu* dacă $\det A \neq 0$. Dacă $\det A = 0$ atunci el se numește *nesimplu*.

În cazul în care sistemul (2.6) este simplu el admite un singur punct de echilibru și anume $(0, 0)$. Se știe că natura acestui punct de echili-

bru depinde de localizarea în planul complex a valorilor proprii λ_1 și λ_2 . Din acest punct de vedere se disting mai multe cazuri.

a) **Sistem simplu, valori proprii reale și distințte.** În acest caz sistemul (2.6) este echivalent cu forma sa canonică diagonală

$$\begin{bmatrix} \dot{y}_1 \\ \dot{y}_2 \end{bmatrix} = \begin{bmatrix} \lambda_1 & 0 \\ 0 & \lambda_2 \end{bmatrix} \begin{bmatrix} y_1 \\ y_2 \end{bmatrix}, \quad t \in \mathbb{R}, \quad (y_1, y_2) \in \mathbb{R}^2. \quad (2.9)$$

Variabilele y_1, y_2 se mai numesc *variabile proprii* și axele Oy_1 și Oy_2 se numesc *axe ale proprii* ale sistemului. De exemplu pentru

$$V = \begin{bmatrix} a & b \\ c & d \end{bmatrix}, \quad ad - bc \neq 0, \quad (2.10)$$

ecuațiile axelor Ox_1, Ox_2 au expresiile

$$\begin{cases} ay_1 + by_2 = 0 & (Ox_2) \\ cy_1 + dy_2 = 0 & (Ox_1) \end{cases}$$

ceea ce ne permite să le figurăm în sistemul rectangular de axe Oy_1, Oy_2 .

Făcind raportul celor două ecuații din (2.9) se obține

$$\frac{dy_2}{dy_1} = \frac{\lambda_2 y_2}{\lambda_1 y_1},$$

care prin integrare ne furnizează soluția

$$y_2 = C_1(y_1)^{\frac{\lambda_2}{\lambda_1}}, \quad C_1 = \text{const.} \quad (2.11)$$

a.1) Dacă $\lambda_{1,2} < 0$ atunci pentru $t \rightarrow \infty$ avem $|y_1| \rightarrow 0$ și $|y_2| \rightarrow 0$. Traiectoriile de stare converg către punctul de echilibru $(0, 0)$, fig. III.17,a. Sistemul este asimptotic stabil și se spune că punctul de echilibru este *nod atractor* (sau *nod stabil*).

a.2) Dacă $\lambda_{1,2} > 0$ atunci pentru $t \rightarrow \infty$ avem $|y_1| \rightarrow \infty$ și $|y_2| \rightarrow \infty$, fig. III.17, b. Sistemul este instabil și se spune că punctul de echilibru este *nod repulsor* (sau *nod instabil*).

a.3) Dacă $\lambda_1 > 0$ și $\lambda_2 < 0$ atunci pentru $t \rightarrow \infty$ avem $|y_1| \rightarrow \infty$ și $|y_2| \rightarrow 0$. Ca și în cazurile a.1) și a.2) axele Oy_1 și Oy_2 sunt și ele traiectorii. Spre deosebire de cazurile precedente axele Oy_1 și Oy_2 sunt singurele traiectorii care trec prin punctul de echilibru. Datorită acestei situații speciale traiectoriile reprezentate de axele proprii se numesc *separatoare* (una este stabila — Oy_2 și cealaltă este instabilă — Oy_1).

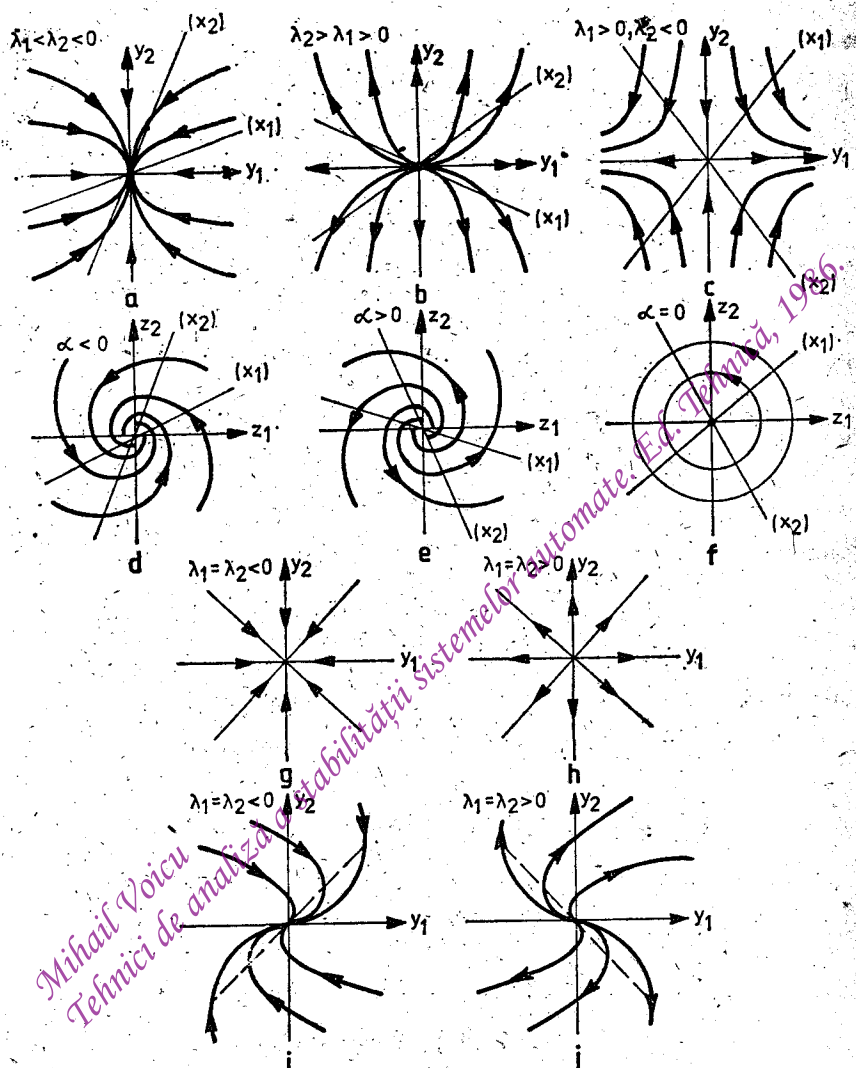


Fig. III.17. Natura punctului de echilibru al sistemului liniar de ordinul doi simplu:
 a — nod atractor; b — nod repulsor; c — sa; d — focar atractor; e — focar repulsor; f — centru; g, i — nod atractor; h, j — nod repulsor.

Celelalte traiectorii au separatoarele ca asymptote, fig. III.17, c. Sistemul este instabil și se spune, având în vedere forma traiectoriilor de stare în vecinătatea originii, că punctul de echilibru este *șa*.

b) **Sistem simplu, valori proprii complex conjugate.** Fie $\lambda_{1,2} = \alpha \pm j\beta$, cu $\alpha \in \mathbb{R}$ și $\beta > 0$. În acest caz variabilele proprii y_1, y_2 sunt complexe conjugate. Folosind transformarea

$$\begin{bmatrix} z_1 \\ z_2 \end{bmatrix} = \frac{1}{2} \begin{bmatrix} 1 & 1 \\ -j & j \end{bmatrix} \begin{bmatrix} y_1 \\ y_2 \end{bmatrix}$$

sistemul (2.9) se aduce la următoarea formă

$$\begin{bmatrix} \dot{z}_1 \\ \dot{z}_2 \end{bmatrix} = \begin{bmatrix} \alpha & -\beta \\ \beta & \alpha \end{bmatrix} \begin{bmatrix} z_1 \\ z_2 \end{bmatrix}, \quad t \in \mathbb{R}, \quad (z_1, z_2) \in \mathbb{R}^2. \quad (2.12)$$

Ecuațiile axelor Ox_1 și Ox_2 , ținând seama și de (2.10), au expresiile

$$\begin{cases} z_1 \operatorname{Re} a - z_2 \operatorname{Im} a = 0 & (Ox_2) \\ z_1 \operatorname{Re} c - z_2 \operatorname{Im} c = 0 & (Ox_1). \end{cases}$$

Făcind raportul ecuațiilor scalare din (2.12) se obține

$$\frac{dz_2}{dz_1} = \frac{\beta z_1 + \alpha z_2}{\alpha z_1 - \beta z_2}, \quad (2.13)$$

care se integrează prin introducerea coordonatelor polare

$$\begin{cases} z_1 = r \cos \theta \\ z_2 = r \sin \theta. \end{cases} \quad (2.14)$$

După calcule relativ simple din (2.13) și (2.14) rezultă

$$\frac{dr}{d\theta} = \frac{\alpha}{\beta} r,$$

a cărei soluție este

$$r = C_2 e^{\frac{\alpha}{\beta} \theta}, \quad C_2 = \text{const.} \quad (2.15)$$

b.1) Dacă $\alpha < 0$ atunci pentru $t \rightarrow \infty$ avem $r \rightarrow 0$. Traiectoriile de stare converg către punctul de echilibru $(0, 0)$, fig. III.17, d. Sistemul este asimptotic stabil și se spune că punctul de echilibru este *focar atrător* (sau *focar stabil*).

b.2) Dacă $\alpha > 0$ atunci pentru $t \rightarrow \infty$ avem $r \rightarrow \infty$, fig. III.17, e. Sistemul este instabil și se spune că punctul de echilibru este *focar repulsor* (sau *focar instabil*).

b.3) Dacă $\alpha = 0$ atunci $r = C_2$ pentru orice $\theta \in \mathbb{R}$, respectiv pentru orice $t \in \mathbb{R}$. Sistemul este simplu stabil, variabilele y_1, y_2 sunt funcții periodice sinusoidale de perioadă $2\pi/\beta$ și traectoriile de stare sunt curbe inchise (cercuri), fig. III.17, f. Se spune că punctul de echilibru este *centru*.

c) **Sistem simplu, valori proprii reale și egale.** În acest caz matricea A a sistemului este asemenea cu matricea J care poate avea formele (2.8). Dacă matricea J este diagonală atunci, în conformitate cu (2.11), în care $\lambda_1 = \lambda_2 = \lambda_0 \neq 0$, traectoriile de stare sunt descrise de ecuația

$$y_2 = C_1 y_1. \quad (2.16)$$

c.1) Dacă $\lambda_0 < 0$ atunci pentru $t \rightarrow \infty$ avem $|y_1| \rightarrow 0$ și $|y_2| \rightarrow 0$, fig. III.17, g. Sistemul este asimptotic stabil și punctul de echilibru este *nod atractor* (sau *nod stabil*).

c.2) Dacă $\lambda_0 > 0$ atunci pentru $t \rightarrow \infty$ avem $|y_1| \rightarrow \infty$ și $|y_2| \rightarrow \infty$, fig. III.17, h. Sistemul este instabil și punctul de echilibru este *nod repulsor* (sau *nod instabil*).

Dacă matricea J este de tip Jordan atunci forma canonica a sistemului (2.6) este

$$\begin{bmatrix} \dot{y}_1 \\ \dot{y}_2 \end{bmatrix} = \begin{bmatrix} \lambda_0 & 1 \\ 0 & \lambda_0 \end{bmatrix} \begin{bmatrix} y_1 \\ y_2 \end{bmatrix}, \quad t \in \mathbb{R}, \quad (y_1, y_2) \in \mathbb{R}^2. \quad (2.17)$$

Integrind acest sistem se obține

$$\begin{cases} y_1(t) = (C_3 + C_4 t) e^{\lambda_0 t}, \\ y_2(t) = C_4 e^{\lambda_0 t}, \end{cases} \quad t \in \mathbb{R}, \quad C_3, C_4 \text{ — constante.}$$

Eliminând t între aceste ecuații se obține

$$y_1 = \left(C_5 + \frac{1}{\lambda_0} \ln |y_2| \right) y_2, \quad C_5 = \frac{C_3}{C_4} - \frac{1}{\lambda_0} \ln |C_4|. \quad (2.18)$$

c.3) Dacă $\lambda_0 < 0$ atunci pentru $t \rightarrow \infty$ avem $|y_1| \rightarrow 0$ și $|y_2| \rightarrow 0$, fig. III.17, i. Sistemul este asimptotic stabil și punctul de echilibru este *nod atractor* (sau *nod stabil*).

c.4) Dacă $\lambda_0 > 0$ atunci pentru $t \rightarrow \infty$ avem $|y_1| \rightarrow \infty$ și $|y_2| \rightarrow \infty$, fig. III.17, j. Sistemul este instabil și punctul de echilibru este *nod repulsor* (sau *nod instabil*).

d) Sistem nesimplu, valori proprii reale

Sistemul (2.7) are în acest caz cel puțin o valoare proprie nulă. Ca urmare sistemul de ecuații

$$\begin{cases} a_{11}x_1 + a_{12}x_2 = 0 \\ a_{21}x_1 + a_{22}x_2 = 0 \end{cases} \quad (2.19)$$

în afară de soluția banală $x_1 = 0, x_2 = 0$, admite și soluții nebaneale.

d.1) Dacă rang $A = 1$, respectiv $\lambda_1 \neq 0$ și $\lambda_2 = 0$, atunci sistemul (2.19) admite o simplă infinitate de soluții nebaneale. În acest caz există o infinitate de puncte de echilibru, toate situate pe dreapta $y_1 = 0$.

d.2) Dacă rang $A = 0$; respectiv $\lambda_1 = \lambda_2 = 0$, atunci sistemul (2.19) admite o dublă infinitate de soluții nebaneale. În acest caz toate punctele din planul stărilor sunt puncte de echilibru.

Din cele expuse pînă aici rezultă că în cazul unui sistem dinamic liniar de ordinul doi simplu, punctul de echilibru $(0, 0)$ poate fi de următoarele patru tipuri calitative principale: *attractor* (sistem asimptotic stabil), *centru* (sistem simplu stabil), *repulsor* și *sâr* (sistem instabil).

În mod corespunzător toate tipurile de portrete de stare se reduc de asemenea la patru tipuri principale, aflate într-o strînsă corelație cu cele patru tipuri calitative principale de puncte de echilibru. Vom vedea în cele ce urmează că această *topologie* este semnificativă și pentru sistemele dinamice neliniare autonome de ordinul doi.

2.2. Sisteme dinamice neliniare de ordinul doi

2.2.1. Portret de stare local și global

Fie $x_0 \in \mathbb{R}^2$ și $r > 0$. Multimea definită prin discul

$$V = \{x \in \mathbb{R}^2; ||x - x_0|| < r\}$$

se numește *vecinătate* a punctului x_0 .

O parte a portretului de stare a unui sistem cuprins într-o vecinătate V a lui x_0 se numește *restricția* la V a portretului de stare.

În cazul sistemelor dinamice neliniare de ordinul doi se utilizează frecvent restricții ale *portretului de stare global*. O astfel de restricție, care poate fi oricît de mică, se numește *portret de stare local* în x_0 .

Definiția 3. Două sisteme dinamice de ordinul doi se numesc *calitativ echivalente* dacă între portretele lor de stare există o bijecție continuă care conservă sensurile de parcursere a traiectoriilor de stare.

Fie o restricție a portretului de stare la vecinătatea V a originii în cazul sistemului liniar simplu (2.6). Există o vecinătate $V' \subseteq V$ astfel încit restricția portretului de stare la vecinătatea V' a originii este calitativ echivalentă cu portretul de stare global al aceluiași sistem. Această *echivalență calitativă* justifică de fapt afirmația că tipul calitativ al portretului de stare este determinat de tipul calitativ al punctului de echilibru, afirmație care a fost concluzia la care s-a ajuns la sfîrșitul paragrafului precedent.

Sistemele dinamice neliniare de ordinul doi pot avea mai mult de un punct de echilibru. În astfel de cazuri portretele de stare locale nu determină întotdeauna portretul de stare global.

2.2.2. Liniarizarea în jurul unui punct de echilibru

Fie $(a_1, a_2) \in \mathbb{R}^2$ un punct de echilibru al sistemului (2.2). Folosind formula lui Taylor și ținând seama și de (2.5), funcțiile $f_1(x_1, x_2)$ și $f_2(x_1, x_2)$, în ipoteza că sunt derivabile, pot fi exprimate după cum urmează

$$f_i(x_1, x_2) = \frac{\partial f_i}{\partial x_1} \Big|_{a_1, a_2} (x_1 - a_1) + \frac{\partial f_i}{\partial x_2} \Big|_{a_1, a_2} (x_2 - a_2) + R_i(x_1, x_2), \quad i = 1, 2, \quad (2.20)$$

unde resturile $R_i(x_1, x_2)$ satisfac condițiile

$$\lim_{r \rightarrow 0} \frac{1}{r} R_i(x_1, x_2) = 0, \quad i = 1, 2,$$

cum $r = [(x_1 - a_1)^2 + (x_2 - a_2)^2]^{1/2}$.

Introducind coordonatele locale

$$\begin{cases} y_1 = x_1 - a_1 \\ y_2 = x_2 - a_2 \end{cases}$$

și înlocuind (2.20) în (2.2) se obține

$$\begin{cases} \dot{y}_1 = a_{11}y_1 + a_{12}y_2 + R_1(y_1 + a_1, y_2 + a_2) \\ \dot{y}_2 = a_{21}y_1 + a_{22}y_2 + R_2(y_1 + a_1, y_2 + a_2), \end{cases} \quad (2.21)$$

în care

$$a_{ij} = \frac{\partial f_i}{\partial x_j} \Big|_{a_1, a_2}, \quad i, j = 1, 2,$$

și cu care se formează matricea A .

Sistemul

$$\begin{cases} \dot{y}_1 = a_{11}y_1 + a_{12}y_2 \\ \dot{y}_2 = a_{21}y_1 + a_{22}y_2 \end{cases} \quad (2.22)$$

se numește *partea liniară* a sistemului (2.21).

Definiția 4. Punctul de echilibru $y_1 = 0, y_2 = 0$ al sistemului (2.21) se numește *simplu* dacă partea sa liniară (2.22) este un sistem simplu, respectiv dacă $\det A \neq 0$. Dacă $\det A = 0$ punctul de echilibru se numește *nesimplu*.

Teorema 1 (a liniarizării). Fie sistemul (2.2) cu punctul de echilibru simplu $(0,0)$. Atunci într-o vecinătate a originii portretul de stare este calitativ echivalent cu portretul de stare al părții sale liniare, cu condiția ca pentru partea liniară punctul de echilibru să nu fie centru.

Acest rezultat, a cărui demonstrație este dată în [H3], este deosebit de important pentru că stă la baza analizei stabilității sistemelor dinamice neliniare cu ajutorul părților lor liniare, cu excepția cazului cind acesta din urmă are originea punct de echilibru de tip centru.

Tipurile de puncte de echilibru pentru care **teorema 1** este adeverată și anume atrator, repulsor și să se numesc puncte de echilibru *hiperbolică*. Echivalența calitativă în cazul punctelor de echilibru hiperbolice între un sistem dinamic neliniar și partea sa liniară ne permite să extindem topologia punctelor de echilibru introduse la 2.1.3 în cazul sistemelor dinamice liniare simple (nod, focar etc.), și pentru sistemele dinamice neliniare. Această proprietate a punctelor de echilibru hiperbolice decurge din caracterul special al bijectiei din **definiția 3**, în sensul că pentru vecinătăți suficient de mici ale punctului de echilibru respectivă bijecție este foarte apropiată de aplicația identică.

Exemplul 2.4. Se consideră sistemele

$$\begin{cases} \dot{x}_1 = -x_2 + x_1(x_1^2 + x_2^2) \\ \dot{x}_2 = x_1 - x_2(x_1^2 - x_2^2) \end{cases}$$

și

$$\begin{cases} \dot{x}_1 = -x_2 - x_1(x_1^2 + x_2^2) \\ \dot{x}_2 = x_1 - x_2(x_1^2 + x_2^2). \end{cases}$$

Să se construiască portretele de stare locale și să se compare cu portretele corespunzătoare ale părților lor liniare.

Punctul de echilibru al ambelor sisteme este $(0,0)$.

Folosind coordonatele polare $x_1 = r \cos \theta$, $x_2 = r \sin \theta$ cele două sisteme se aduc la formele

$$\begin{cases} \dot{r} = r^3 \\ \dot{\theta} = 1 \end{cases} \quad \text{și} \quad \begin{cases} \dot{r} = -r^3 \\ \dot{\theta} = 1. \end{cases}$$

Portretele de stare corespunzătoare sunt reprezentate în fig. III. 18, a și b și, evident, ele nu sunt calitativ echivalente.

Utilizând formula lui Taylor se constată că ambele sisteme au aceeași parte liniară:

$$\begin{cases} \dot{x}_1 = -x_2 \\ \dot{x}_2 = x_1. \end{cases}$$

Punctul de echilibru al părții liniare este centru, fig. III. 17, f, adică situația exceptată de teorema 1. În acest caz pe baza părții liniare nu se pot face nici un fel de afirmații privitor la tipul punctului de echilibru al sistemului dinamic neliniar corespunzător.

Din punctul de vedere al stabilității, pe baza teoremei 1 se pot face următoarele afirmații.

Teorema 2. Punctul de echilibru $y_1 = 0$, $y_2 = 0$ al sistemului (2.21) este asymptotic stabil dacă și numai dacă partea sa liniară (2.22) este asymptotic stabilă.

Teorema 3. Punctul de echilibru $y_1 = 0$, $y_2 = 0$ al sistemului (2.21) este instabil dacă și numai dacă partea sa liniară (2.22) este instabilă.

În cazul în care $(0, 0)$ este un centru al părții liniare, teorema 1 nu permite să facem vreo afirmație despre natura punctului de echilibru al sistemului (2.21). În acest caz se folosește noțiunea de *indice de stabilitate*, [A5], care se calculează după cum urmează:

1° Pentru sistemul (2.21), cu originea punct de echilibru de tip centru, se determină matricea

$$P = V \begin{bmatrix} j & 1 \\ -j & 1 \end{bmatrix},$$

în care V este matricea modală a sistemului (2.22), prin care se realizează transformarea (v. și 2.1.3. b)

$$P^{-1}AP = \frac{1}{2} \begin{bmatrix} -j & j \\ 1 & 1 \end{bmatrix} \begin{bmatrix} j\beta & 0 \\ 0 & -j\beta \end{bmatrix} \begin{bmatrix} j & 1 \\ -j & 1 \end{bmatrix} = \begin{bmatrix} 0 & \beta \\ -\beta & 0 \end{bmatrix}, \quad \beta > 0.$$

A este matricea sistemului (2.22) și are valorile proprii $\pm j\beta$.

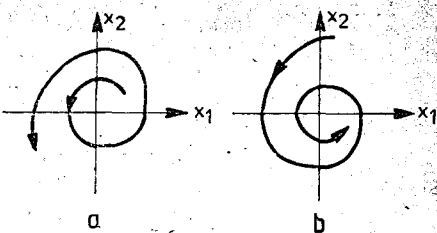


Fig. III.18. Portretul de stare la exemplul 2.4:

a - focar repulsor; b - focar atractor.

1996

2º Se transformă sistemul (2.21) folosind schimbarea de variabile de stare.

$$\begin{bmatrix} y_1 \\ y_2 \end{bmatrix} = P \begin{bmatrix} z_1 \\ z_2 \end{bmatrix}$$

și se obține

$$\begin{cases} \dot{z}_1 = Z_1(z_1, z_2) \\ \dot{z}_2 = Z_2(z_1, z_2). \end{cases}$$

3º Se calculează indicile de stabilitate

$$I = \beta(Z_{111}^1 + Z_{122}^1 + Z_{112}^2 + Z_{222}^2) + Z_{11}^1 Z_{11}^2 - Z_{11}^1 Z_{12}^1 + \\ + Z_{11}^2 Z_{12}^2 + Z_{22}^2 Z_{12}^2 - Z_{22}^1 Z_{12}^1 - Z_{22}^1 Z_{22}^2,$$

în care

$$Z_{jk}^i = \frac{\partial^2 Z_i}{\partial z_j \partial z_k}(0, 0), \quad Z_{jkm}^i = \frac{\partial^3 Z_i}{\partial z_j \partial z_k \partial z_m}(0, 0),$$

$$i, j, k, m = 1, 2.$$

Teorema 4. Dacă punctul de echilibru $(0, 0)$ al sistemului (2.22) este centru și $I < 0$ atunci punctul de echilibru $(0, 0)$ al sistemului (2.21) este asimptotic stabil.

Intrucât rezultatele enunțate prin teoremele 2, 3 și 4 se bazează pe partea liniară a unui sistem dinamic neliniar, stabilitatea asimptotică sau instabilitatea punctului de echilibru sunt valabile pentru o anumită vecinătate a sa. Determinarea acestei vecinătăți sau a unei părți a ei este posibilă prin trasarea efectivă a portretului de stare global.

Având în vedere că polinomul caracteristic al sistemului (2.22) are forma

$$\Delta(s) = s^2 + \alpha_1 s + \alpha_2,$$

în care $\alpha_1 = -(a_{11} + a_{22})$ și $\alpha_2 = a_{11}a_{22} - a_{12}a_{21}$, și că natura zero-urilor lui $\Delta(s)$ depinde de discriminantul $\alpha_1^2 - 4\alpha_2$ și de semnele coeficienților α_1, α_2 , este posibilă o clasificare a tipurilor de puncte de echilibru ale sistemului (2.22) și implicit ale sistemului (2.21), în condițiile teoremelor 2, 3 și 4, fig. III.19.

Teorema 1 permite și clarificarea noțiunii de separatoare introdusă la 2.1.3. a.3. Separatoarea este o traекторie care intră într-un (sauiese dintr-un) punct de echilibru, tangent la o direcție radială fixă.

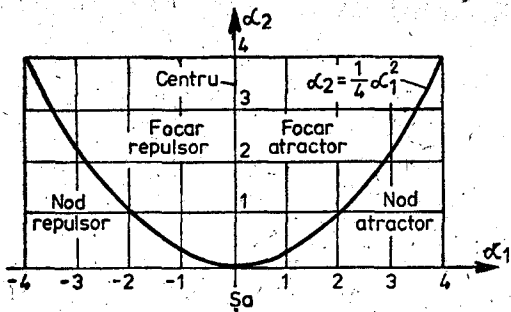


Fig. III.19. Clasificarea în planul (α_1, α_2) a tipurilor de puncte de echilibru ale părții liniare (2.22) a sistemului (2.21).

Tangentele la separatoarele părții liniare în punctul de echilibru sunt de asemenea tangente la separatoarele sistemului neliniar corespunzător.

Exemplu 2.5. Se consideră sistemul

$$\begin{cases} \dot{x}_1 = x_1 + 4x_2 + e^{x_1}, \\ \dot{x}_2 = -x_2 - x_2 e^{x_1}. \end{cases}$$

Se cere să se determine separatoarele în portretul de stare al părții liniare și apoi în portretul de stare al sistemului.

Punctul de echilibru al sistemului este $(0,0)$. Partea sa liniară este descrisă de ecuațiile

$$\begin{cases} \dot{x}_1 = 2x_1 + 4x_2, \\ \dot{x}_2 = -2x_2. \end{cases}$$

ale cărei valori proprii sunt $\lambda_{1,2} = \pm 2$. Punctul de echilibru este de tip sa și portretul de stare este reprezentat în fig. III.20, a. Separatoarele sunt chiar axele proprii ale sistemului (v. 2.1.3, a, 3) ale căror direcții sint definite de $V^{-1}x = 0$. Întrucit $V = \begin{bmatrix} 1 & -1 \\ 0 & 1 \end{bmatrix}$ și $V^{-1} = \begin{bmatrix} 1 & 1 \\ 0 & 1 \end{bmatrix}$ rezultă că ecuațiile separatoarelor sint $x_1 + x_2 = 0$ (stabilă) și $x_2 = 0$ (instabilă).

Separatoarele sistemului neliniar sunt, în general, traiectorii curbe. În cazul de față dreapta $x_2 = 0$ este de asemenea separatoare instabilă. Cealaltă separatoare, de această dată stabilă, este o curbă tangentă în origine la dreapta $x_1 + x_2 = 0$, și situată sub ea. Ultimul fapt rezultă din aceea că $dx_2/dx_1 > -1$ pentru $x_1 < 0$ și $dx_2/dx_1 < -1$ pentru $x_1 > 0$. Portretul de stare local al sistemului neliniar, în punctul de echilibru $(0, 0)$, este reprezentat în fig. III.20, b.

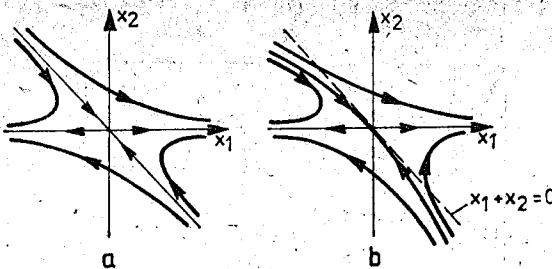


Fig. III.20. Portretele de stare la *exemplul 2.5.*

Dacă punctul de echilibru $y_1 = 0, y_2 = 0$ al sistemului (2.21) este nesimply atunci partea sa liniară (2.22) are o simplă infinitate de puncte de echilibru situate pe o dreaptă, sau o dublă infinitate de puncte de echilibru situate în tot planul stărilor. În acest caz între portretul de stare al sistemului neliniar și portretul de stare al parții sale liniare pot exista diferențe calitative foarte mari. Ceea ce este caracteristic pentru sistemele cu puncte de echilibru nesimplete este faptul că în portretul de stare apar întotdeauna curbe ale punctelor de echilibru nesimplete.

Exemplul 2.6. Se consideră sistemul

$$\begin{cases} \dot{x}_1 = x_2 (x_2 - x_1^2) \\ \dot{x}_2 = -x_1 (x_2 - x_1^2) \end{cases}$$

Se cere să se determine portretul de stare al sistemului.

Sistemul se caracterizează prin punctele de echilibru situate pe parabola $x_2 = x_1^2$. Făcind raportul ecuațiilor sistemului se obține

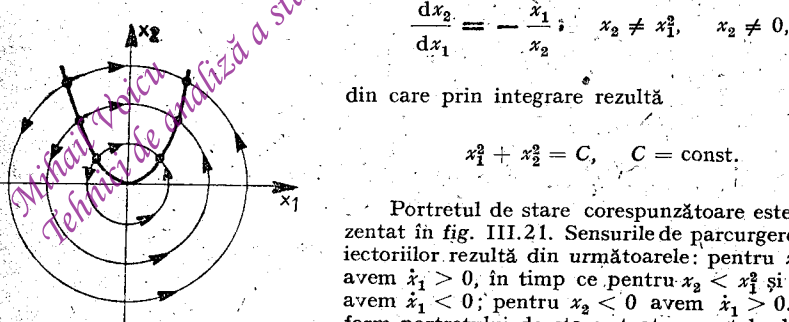


Fig. III.21. Portretul de stare la *exemplul 2.6.*

Portretul de stare corespunzătoare este reprezentat în fig. III.21. Sensurile de parcursere a traiectoriilor rezultă din următoarele: pentru $x_2 > x_1^2$ avem $\dot{x}_1 > 0$, în timp ce pentru $x_2 < x_1^2$ și $x_2 > 0$ avem $\dot{x}_1 < 0$; pentru $x_2 < 0$ avem $\dot{x}_1 > 0$. Conform portretului de stare, toate punctele de echilibru situate pe arcul de parabolă din primul quadrant sunt simplu stabile.

2.2.3. Cicluri limită

S-a văzut la 2.1.3.b.3, fig. III.17, f, că în portretul de stare al unui sistem este posibilă existența unor traекторii închise. Ele corespund unor soluții periodice ale sistemului dinamic. Ca și în subcapitolul precedent vom aborda prin metoda planului stărilor atât existența, cât și natura soluțiilor periodice ale unui sistem dinamic neliniar de ordinul doi.

Fie C_0 o curbă închisă în \mathbf{R}^2 . Multimea W , de formă inelară, care conține curba C_0 se numește o *vecinătate inelară* a curbei C_0 .

Definiția 5. O traectorie închisă C_0 din portretul de stare se numește *ciclu limită* dacă există o vecinătate a ei W care nu mai conține alte traectorii închise.

În conformitate cu această definiție traectoriile închise care înconjoară un punct de echilibru de tip centru nu sunt cicluri limită deoarece oricără de mică ar fi vecinătatea W ea mai conține cel puțin încă o traectorie închisă (v. fig. III.17, f).

Exemplul 2.7. Se consideră sistemul

$$\begin{cases} \dot{x}_1 = x_2 + x_1(1 - \sqrt{x_1^2 + x_2^2}) \\ \dot{x}_2 = -x_1 + x_2(1 - \sqrt{x_1^2 + x_2^2}) \end{cases}$$

Folosind coordonatele polare să se arate că sistemul are un ciclu limită.

Introducind coordonatele polare $x_1 = r \cos\theta$, $x_2 = r \sin\theta$ din ecuațiile sistemului se obține

$$\begin{cases} \dot{r} = r(1 - r) \\ \dot{\theta} = -1. \end{cases}$$

Evident $r(t) = 1$, $\theta(t) = -t$ este o soluție periodică a sistemului corespunzătoare traectoriei închise C_0 : $x_1^2 + x_2^2 = 1$. Această traectorie este un ciclu limită deoarece pentru $0 < r < 1$ avem $\dot{r} > 0$, iar pentru $r > 1$ avem $\dot{r} < 0$, ceea ce înseamnă că atît traectoriile din interiorul, cât și cele din exteriorul lui C_0 sunt spirale care converg la C_0 , fig. III.22, a, respectiv că C_0 este singura traectorie închisă din planul stărilor. Având în vedere caracterul traectoriilor din vecinătatea lui C_0 se poate afirma că ciclul limită C_0 este stabil.

Definiția 6. Un ciclu limită C_0 se numește *stabil (attractor)* dacă traectoriile din vecinătatea ei, atît dintr-o parte cât și din cealaltă parte a lui C_0 , tind la C_0 pentru $t \rightarrow \infty$, fig. III.22, a.

Definiția 7. Un ciclu limită C_0 se numește *instabil (repulsor)* dacă traectoriile din vecinătatea ei, atît dintr-o parte cât și din cealaltă parte a lui C_0 , se îndepărtează de C_0 pentru $t \rightarrow \infty$, fig. III.22, b.

Definiția 8. Un ciclu limită C_0 se numește *semistabil* dacă traectoriile din vecinătatea ei, dintr-o parte tind la C_0 , iar din cealaltă parte se îndepărtează de C_0 , ambele pentru $t \rightarrow \infty$, fig. III.22, c.

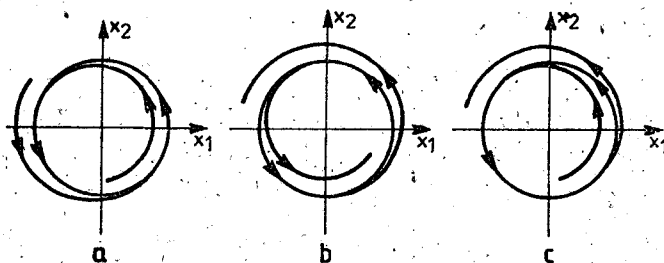


Fig. III.22. Cicluri limită:
a — stabil; b — instabil; c — semistabil.

Ceea ce este caracteristic portretului de stare care conține un ciclu limită stabil (instabil) este faptul că se poate determina o vecinătate W astfel încât toate traectoriile de stare, cu excepția ciclului limită, intră în (ies din) W atunci cind $t \rightarrow \infty$. Această proprietate, consecință directă a definițiilor 6 și 7, conduce la următorul rezultat, [A5].

Teorema 5 (Poincaré-Bendixson). Fie $T(x_{10}, x_{20})$ o traectorie de stare a sistemului (2.2), corespunzătoare punctului inițial (x_{10}, x_{20}) , care este conținută pentru $t \geq t_0$ în întregime într-o mulțime mărginită $D \subset \mathbf{R}^2$. Atunci pentru $t \rightarrow \infty$ traectoria $T(x_{10}, x_{20})$ tinde fie la un punct de echilibru, fie la un ciclu limită.

Acest rezultat, pentru a fi eficient în aplicații, a pus în evidență necesitatea unei abordări globale a problemei existenței și naturii ciclurilor limită. Ea are în vedere următoarele două aspecte importante:

- tratarea operatorială a evoluției soluției sistemului (2.2) în sensul că aceasta reprezintă o transformare a planului \mathbf{R}^2 în el însuși;
- evidențierea unor mulțimi în planul stărilor din care nu ieșe nici o traectorie de stare.

Soluția $(x_1(t), x_2(t)) \in X \subseteq \mathbf{R}^2$ a sistemului (2.2), care satisfac condiția initială $(x_{10}, x_{20}) \in X$ precizează evoluția punctului de stare care la $t = t_0$ se află în (x_{10}, x_{20}) . Această idee poate fi formalizată în modul următor.

Definiția 9. Aplicația $\Phi_t: X \rightarrow X$ care transformă pe $x_0 = (x_{10}, x_{20})$ în $x(t) = (x_1(t), x_2(t))$, adică $x(t) = \Phi_t(x_0)$, se numește *fluxul* sau *operatorul de evoluție* al sistemului (2.2).

În cazul sistemului liniar (2.6) operatorul de evoluție are expresia matriceală

$$\Phi_t = e^{At - t_0},$$

unde A este matricea coeficienților sistemului. El coincide cu matricea de tranziție a sistemului, introdusă la I.2.1.3 și explicitată la I.5.2.3.

Definiția 10. O submulțime $D \subset \mathbf{R}^2$ se numește *mulțime pozitiv invariantă* pentru sistemul (2.2) dacă pentru orice punct $x_0 \in D$ traectoria $x(t) = \Phi_t(x_0)$ rămâne în D pentru toți $t \geq t_0 = 0$.

Un rezultat de existență a ciclurilor limită, care se obține imediat din teorema 5 și definiția 10 este următorul.

Teorema 6. Dacă o submulțime D , închisă și mărginită este pozitiv invariantă pentru sistemul (2.2) și în D nu există nici un punct de echilibru atunci în D există un ciclu limită.

Desigur că aplicarea *teoremei 6* este legată de dificila problemă a determinării unei mulțimi pozitiv invariante. Rezultate generale în acest sens au fost deja publicate în [C4], [M1], [P2, 3]. Un rezultat aplicabil unor sisteme de ordinul n neautonome cu D funcție de timp și de forma unui hiperparalelipiped a fost prezentat în [P3]. Vom da acest rezultat pentru cazul sistemului (2.2) și o mulțime dreptunghiulară

$$D(t) = \{(x_1, x_2) \in \mathbf{R}^2; \quad \alpha_1(t) \leq x_1 \leq \beta_1(t), \quad \alpha_2(t) \leq x_2 \leq \beta_2(t)\}, \quad t \in \mathbf{R}_+, \quad (2.23)$$

cu $\alpha_i(t)$ și $\beta_i(t)$, $i = 1, 2$, funcții diferențiable.

Teorema 7. (Pavel-Voicu). Mulțimea $D(t)$ este pozitiv invariantă pentru sistemul (2.2) dacă și numai dacă

$$\begin{cases} f_1(\alpha_1(t), x_2) \geq \alpha_1(t) \\ f_1(\beta_1(t), x_2) \leq \beta_1(t), \end{cases} \quad (2.24)$$

$$\begin{cases} f_2(x_1, \alpha_2(t)) \geq \alpha_2(t) \\ f_2(x_1, \beta_2(t)) \leq \beta_2(t) \end{cases} \quad (2.25)$$

pentru toți $(x_1, x_2) \in D(t)$ și toti $t \in \mathbf{R}_+$.

Utilizarea practică a *teoremei 7* poate fi mai comodă dacă sistemul (2.2) este exprimat în coordinate polare. Fie pentru aceasta

$$\begin{cases} x_1 = a_1 + r \cos \theta \\ x_2 = a_2 + r \sin \theta \end{cases} \quad (2.26)$$

unde $(a_1, a_2) \in \mathbf{R}^2$ este un anumit punct din plan și $(r, \theta) \in \mathbf{R}^2$ sint coordonatele polare.

Introducind (2.26) în (2.2) și explicitând derivatele r și θ se obține

$$\begin{cases} \dot{r} = g_1(r, \theta), & t \in \mathbf{R}_+, \\ \dot{\theta} = g_2(r, \theta), & (r, \theta) \in \mathbf{R}^2, \end{cases} \quad (2.27)$$

în care

$$\left\{ \begin{array}{l} g_1(r, \theta) = f_1(a_1 + r \cos \theta, a_2 + r \sin \theta) \cos \theta + \\ \quad + f_2(a_1 + r \cos \theta, a_2 + r \sin \theta) \sin \theta \\ g_2(r, \theta) = \frac{1}{r} [f_2(a_1 + r \cos \theta, a_2 + r \sin \theta) \cos \theta - \\ \quad - f_1(a_1 + r \cos \theta, a_2 + r \sin \theta) \sin \theta]. \end{array} \right. \quad (2.28)$$

Întrucît, de regulă, ne interesează determinarea unei multimi pozitiv invariante de formă inelară în planul (x_1, x_2) se consideră

$$D_i(t) = \{(r, \theta) \in \mathbf{R}^2; r_1(t) \leq r \leq r_2(t)\}, \quad t \in \mathbf{R}_+, \quad (2.29)$$

în care $r_1(t)$ și $r_2(t)$ sunt funcții diferențiabile. Din modul în care a fost definit D_i rezultă evident că $\theta \in \mathbf{R}$.

Aplicind teorema 7 sistemului (2.27) și mulțimii (2.29) se obține următorul rezultat util în aplicații.

Teorema 8. Mulțimea $D_i(t)$ este pozitiv invariantă pentru sistemul (2.27) dacă și numai dacă

$$\left\{ \begin{array}{l} g_1(r_1(t), \theta) \geq r_1(t) \\ g_1(r_2(t), \theta) \leq r_2(t) \end{array} \right. \quad (2.30)$$

pentru toți $\theta \in \mathbf{R}$ și toți $t \in \mathbf{R}_+$.

Exemplul 2.8. Se consideră sistemul

$$\left\{ \begin{array}{l} \dot{x}_1 = x_2 \\ \dot{x}_2 = -x_1 + x_2(1 - ax_1^2 - bx_2^2). \end{array} \right.$$

Să se determine parametrii $a > 0$ și $b > 0$ astfel încât sistemul să admită o mulțime pozitiv invariantă de formă unui inel circular.

Întrucît sistemul are originea ca punct unic de echilibru vom folosi transformarea (2.26) cu $a_1 = a_2 = 0$. Se obține

$$\left\{ \begin{array}{l} \dot{r} = r \sin^2 \theta (1 - ar^2 \cos^2 \theta - br^2 \sin^2 \theta) \\ \dot{\theta} = -1 + \frac{1}{2} \sin 2\theta (1 - ar^2 \cos^2 \theta - br^2 \sin^2 \theta). \end{array} \right.$$

Pentru $r_1 = \text{const.}$ și $r_2 = \text{const.}$ cu $0 < r_1 \leq r_2$ conform teoremei 8 trebuie să aibă loc

$$\left\{ \begin{array}{l} r_1 \sin^2 \theta (1 - ar_1^2 \cos^2 \theta - br_1^2 \sin^2 \theta) \geq 0 \\ r_2 \sin^2 \theta (1 - ar_2^2 \cos^2 \theta - br_2^2 \sin^2 \theta) \leq 0 \end{array} \right.$$

pentru toți $\theta \in \mathbf{R}$.

Acest sistem de inecuații este satisfăcut pentru $\theta = k\pi$, $k \in \mathbb{Z}$. Pentru $\theta \neq k\pi$, $k \in \mathbb{Z}$, mai trebuie să aibă loc

$$r_1^2 \leq \frac{1}{a \cos^2 \theta + b \sin^2 \theta}, \quad r_2^2 \geq \frac{1}{a \cos^2 \theta + b \sin^2 \theta}.$$

Pentru $a < b$ avem $r_1^2 \leq b^{-1}$ și $r_2^2 \geq a^{-1}$. Pentru $a > b$ avem $r_1^2 \leq a^{-1}$ și $r_2^2 \geq b^{-1}$. În sfîrșit, pentru $a = b$ se obține $r_1^2 \leq a^{-1} \leq r_2^2$. În toate cazurile D_i este mulțime pozitiv invariantă, care conform teoremei 6, conține ciclul limită stabil $ax_1^2 + bx_2^2 = 1$.

Un alt rezultat util în aplicații este următorul.

Teorema 9 (Liénard). Fie un sistem dinamic descris prin ecuațiile

$$\begin{cases} \dot{x} = v \\ \dot{v} = -g(x) - f(x)v \end{cases} \quad (2.31)$$

și fie

$$F(x) = \int_0^x f(s) ds, \quad G(x) = \int_0^x g(s) ds. \quad (2.32)$$

Dacă

1° $f(x)$ este funcție pară, cu $F(x) < 0$ pentru $x \in (0, a)$ și $g(x)$ este funcție impară cu $xg(x) > 0$ pentru $x \neq 0$,

2° $|F(x)| \rightarrow \infty$ pentru $|x| \rightarrow \infty$ și $G(x) \rightarrow \infty$ pentru $x \rightarrow \infty$,

3° $F(x)$ are numai zerourile $x=0$ și $x=a>0$ și este monoton crescătoare pentru $x > a$ atunci sistemul considerat admite exact un ciclu limită stabil în interiorul căruia se găsește originea care este focal instabil.

În sfîrșit, la fel de util în unele aplicații este următorul rezultat de non-existență a ciclurilor limită.

Teorema 10 (Bendixson). Fie D o regiune simplu conexă din \mathbb{R}^2 , în care sistemul (2.2) are proprietatea

$$\frac{\partial f_1(x_1, x_2)}{\partial x_1} + \frac{\partial f_2(x_1, x_2)}{\partial x_2} = \text{semn constant}. \quad (2.33)$$

Atunci sistemul (2.2) nu are nici o traекторie închisă în întregime continuă în D .

D. Dacă $P(x_1, x_2)$ și $Q(x_1, x_2)$ au deriveate partiale continue într-o regiune simplu conexă $D \subset \mathbb{R}^2$ mărginită de o curbă C_0 simplu închisă atunci, conform formulei lui Stokes, [S2], are loc

$$\oint_{C_0} P dx_1 + Q dx_2 = \iint_D \left(\frac{\partial Q}{\partial x_1} - \frac{\partial P}{\partial x_2} \right) dx_1 dx_2. \quad (2.34)$$

Se presupune prin absurd că C_0 , care mărginește D , este un ciclu limită al sistemului (2.2). Pentru orice $(x_1, x_2) \in C_0$ are loc $f_1(x_1, x_2) dx_2 - f_2(x_1, x_2) dx_1 = 0$. Pentru $P = -f_2$ și $Q = f_1$ din (2.34) rezultă

$$\oint_{C_0} f_1 dx_2 - f_2 dx_1 = \iint_D \left(\frac{\partial f_1}{\partial x_1} + \frac{\partial f_2}{\partial x_2} \right) dx_1 dx_2 = 0,$$

ceea ce este în contradicție cu (2.33). ■

Exemplul 2.9. Se consideră sistemul de la exemplul 2.8 și se cere să se determine parametrii $a, b \in \mathbb{R}$ astfel încât să nu existe nici un ciclu limită în tot planul de stare. Conform condiției (2.33) trebuie să aibă loc

$$1 - ax_1^2 - bx_2^2 = \text{semn constant}$$

pentru orice $(x_1, x_2) \in \mathbb{R}^2$. Se observă că pentru $a < 0$ și $b < 0$ condiția impusă este satisfăcută. Cum punctul de echilibru $(0,0)$ este un focar instabil, rezultă că soluția $x_1 = 0, x_2 = 0$ este global instabilă.

2.2.4. Aplicație: oscilator electronic RC

Se consideră un amplificator electronic cu reacție după ieșire printr-o rețea RC, fig. III.23. Caracteristica statică a amplificatorului, care prezintă fenomenul de saturare, se explică prin polinomul de gradul trei

$$u_e = k_1 u_i - k_3 u_i^3. \quad (2.35)$$

În ipoteza că rezistența de intrare a amplificatorului este foarte mare ($R_i = +\infty$) și rezistența de ieșire este foarte mică ($R_o \approx 0$), se cere să se determine condițiile în care sistemul considerat generează oscilații stabile.

Cu notările din fig. III.23 putem scrie ecuațiile:

$$u_e = \frac{1}{C_1} \int_0^t i \, dt + R_1 i + R_2 i_R, \quad (2.36)$$

$$u_i = R_2 i_R = \frac{1}{C_2} \int_0^t i_C \, dt, \quad (2.37)$$

$$i = i_R + i_C. \quad (2.38)$$

Introducând variabila $x = u_i$ și eliminând u_e, i, i_R și i_C între ecuațiile (2.35)–(2.38) se obține ecuația

$$\ddot{x} + (2\zeta\omega_n + \alpha x^2) \dot{x} + \omega_n^2 x = 0, \quad (2.39)$$

Fig. III.23. Oscilator electronic RC.

în care

$$\begin{cases} \omega_n = \frac{1}{\sqrt{R_1 R_2 C_1 C_2}} \\ \zeta = \frac{R_1 C_1 + R_2 C_2 + R_2 C_1 - k_1 R_2 C_1}{2 \sqrt{R_1 R_2 C_1 C_2}} \\ \alpha = \frac{3 k_3}{R_1 C_2} \end{cases} \quad (2.40)$$

Ecuatia (2.39) este de tip Van der Pol și este echivalentă cu următoarea reprezentare de stare

$$\begin{cases} \dot{x} = v \\ \dot{v} = -\omega_n^2 x - (2\zeta\omega_n + \alpha x^2)v \end{cases} \quad (2.41)$$

Întrucit teorema 9 garantazeaza existența a exact unui ciclu limită stabil, să observăm că dacă $\zeta < 0$ atunci avem

1° $f(x) = 2\zeta\omega_n + \alpha x^2; \quad F(x) = 2\zeta\omega_n x + \frac{\alpha x^3}{3};$

$F(x) < 0$ pentru $0 < x < a = \sqrt[3]{6|\zeta||\omega_n/\alpha|}$;

$g(x) = \omega_n^2 x; \quad xg(x) > 0$ pentru $x \neq 0$;

2° $|F(x)| \rightarrow \infty$ pentru $|x| \rightarrow \infty$ și $G(x) = \frac{1}{2} \omega_n^2 x^2 \rightarrow \infty$ pentru $|x| \rightarrow \infty$;

3° $F(a) = 0$ și $F'(x) > 0$ pentru $x > a$.

Rezultă că sistemul considerat are un ciclu limită stabil, a cărui formă și parametri se pot determina prin metoda izocinelor. Să mai observăm în final că realizarea condiției $\zeta < 0$, conform relației a două din (2.40), implică

$$k_1 > k_{10} = 1 + \frac{R_1}{R_2} + \frac{C_2}{C_1}, \quad (2.42)$$

care este de fapt condiția ca sistemul să intre în regim de autooscilații.

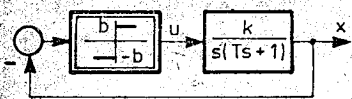


Fig. III.24. Servomecanism cu regulator de tip releu.

2.2.5. Aplicație: servomecanism cu regulator de tip releu

Se consideră servomecanismul cu schema bloc structurală din fig. III.24, în care neliniaritatea este de tip releu bipozițional. Cu notațiile din figură se pot scrie ecuațiile

$$X(s) = \frac{k}{s(Ts + 1)} U(s), \text{ cu } u = \begin{cases} -b, & x > 0 \\ +b, & x < 0, \end{cases}$$

sau

$$T\ddot{x} + \dot{x} = -kb \operatorname{sgn} x. \quad (2.43)$$

Introducind și variabila $v = \dot{x}$, din (2.43) se obține

$$\begin{cases} \dot{x} = v \\ \dot{v} = -\frac{kb \operatorname{sgn} x + v}{T} \end{cases}$$

sau

$$\frac{dv}{dx} = -\frac{kb \operatorname{sgn} x + v}{Tv}. \quad (2.44)$$

Prin operații elementare ecuația (2.44) se aduce la forma

$$dx = -T dv + T kb \frac{dv}{v + kb \operatorname{sgn} x} \operatorname{sgn} x.$$

Pentru $x < 0$, prin integrare se obține

$$x = -Tv - Tk b \ln(-v + kb) + C_1, \quad v < kb, \quad (2.45)$$

iar pentru $x > 0$, procedînd asemănător, rezultă

$$x = -Tv + Tk b \ln(v + kb) + C_2, \quad v > -kb. \quad (2.46)$$

Avind în vedere faptul că releul comută atunci cînd x schimbă de semn, rezultă că pentru $x < 0$ sistemul evoluează pe o traectorie din familia (2.45), iar pentru $x > 0$ pe o traectorie din familia (2.46). Urmează că planul stăriilor este format prin alipirea semiplanelor $x < 0$ și $x > 0$, fiecare cu familia sa de traectorii, după axa $x = 0$ care este linia de comutare. Pe această dreaptă se trece de pe traectoriile (2.45) pe traectoriile (2.46) și viceversa, în mod succesiv, fig. III.25, a. Sensul de

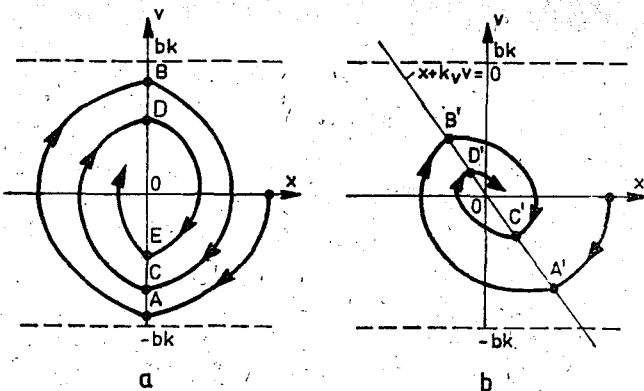


Fig. III.25. a — Portretul de stare al sistemului din fig. III.24;
b — Reducerea oscilațiilor prin rotirea dreptei de comutare.

parcursgere a traectoriilor este cel indicat prin săgeți (în semiplanul $v < 0$, x este descrescător, iar în semiplanul $v \geq 0$, x este crescător). Întrucât familiile de traectorii (2.45) și (2.46) au proprietatea că șirul $|OA|, |OB|, |OC|, |OD|, |OE|$ etc. (fig. III.25, a) este monoton descrescător, rezultă că orice traectorie de stare situată în $|v| < kb$ converge către origine (focar stabil).

Calitatea evoluției stării către origine nu este satisfăcătoare datorită numărului ridicat de oscilații. Pentru a evidenția o posibilitate de reducere a numărului de oscilații să observăm că, geometric, o rotire în sens pozitiv a dreptei de comutare poate avea efectul dorit. Justificarea se bazează pe faptul că de această dată șirul $|OA'|, |OB'|, |OC'|, |OD'|$ etc. (fig. III.25, b) converge mult mai repede la zero. Dacă ecuația noii drepte de comutare este

$$x + k_v v = 0, \quad k_v > 0,$$

atunci pentru realizarea efectivă a comutării pe această dreaptă sistemul va trebui să fie guvernăt, în locul ecuației (2.43), de ecuația

$$T\ddot{x} + \dot{x} = -kb \operatorname{sgn}(x + k_v \dot{x}).$$

Aceasta înseamnă că pe calea directă a sistemului, înainte de releu, trebuie să se introducă un regulator PD cu funcția de transfer $G_c(s) = 1 + k_v s$. Aparent, o valoare k_v cît mai mare ar trebui să asigure în aceeași măsură reducerea oscilațiilor sistemului. Există totuși o limită superioară a lui k_v determinată de apariția regimului alunecător, [B6], [U1].

2.2.6. Bifurcația Hopf

Bifurcația unui sistem dinamic este legată de faptul că variațiile anumitor parametri ai sistemului, sub influența unor perturbații externe, pot produce modificări calitative importante ale portretului de stare. De exemplu în cazul oscillatorului RC de la 2.2.4, variația factorului de amplificare k_1 în jurul valorii k_{10} (relația (2.42)) face ca punctul de echilibru $(0, 0)$ să se transforme din focar stabil, pentru $k_1 < k_{10}$, în focar instabil, pentru $k_1 > k_{10}$. Schimbarea calitativă a portretului de stare se produce la $k_1 = k_{10}$ și se spune că sistemul are o *bifurcație* la k_{10} . Să mai observăm că partea liniară a sistemului (2.41) are valorile proprii $\omega_n (\zeta \pm j\sqrt{1 - \zeta^2})$, care devin $\pm j\omega_n$ pentru $k_1 = k_{10}$. Se spune că sistemul (2.41) are o *bifurcație Hopf* pentru $k_1 = k_{10}$, [C5], [M2].

În legătură cu bifurcația Hopf și cu posibilitatea apariției unui ciclu limită la variația unui parametru $k \in \mathbb{R}$ poate fi util următorul rezultat, a cărui demonstrație se găsește în [M2].

Teorema 11. Fie sistemul

$$\begin{cases} \dot{x}_1 = f_1(x_1, x_2, k), & t \in \mathbb{R}_+, \\ \dot{x}_2 = f_2(x_1, x_2, k), & (x_1, x_2) \in \mathbb{R}^2, \quad k \in \mathbb{R}, \end{cases} \quad (2.47)$$

care are un punct de echilibru în $(0, 0)$ pentru orice k . Valorile proprii $\lambda_1(k)$ și $\lambda_2(k)$ ale părții liniare a sistemului (2.47) sunt pur imaginare pentru $k = k_0$.

Dacă

$$\frac{d}{dk} \operatorname{Re}[\lambda_{1,2}(k)]_{k=k_0} > 0 \quad (2.48)$$

și originea este un punct de echilibru asimptotic stabil pentru $k = k_0$ atunci:

- 1° $k = k_0$ este un punct de bifurcație al sistemului;
- 2° există $k_1 < k_0$ astfel încât pentru $k \in (k_1, k_0)$ originea este focar stabil;
- 3° există $k_2 > k_0$ astfel încât pentru $k \in (k_0, k_2)$ originea este focar instabil înconjurat de un ciclu limită ale cărui dimensiuni cresc cu creșterea lui k .

Este relativ ușor de verificat că oscilatorul electronic RC are o bifurcație la $k_1 = k_{10}$. Într-adevăr (2.48) are loc în mod evident. Pentru a arăta că pentru $k_1 = k_{10}$ punctul de echilibru al sistemului (2.41) este asimptotic stabil se folosește *teorema 4* (indicele de stabilitate pentru $k_1 = k_{10}$ este $I = -2\alpha/\omega_n < 0$).

3. Metoda directă Liapunov

3.1. Sisteme dinamice neliniare autonome și continue în timp

În cadrul acestui subcapitol ne vom ocupa în primul rînd de sisteme dinamice de forma

$$\dot{x} = f(x), \quad t \in \mathbf{R}_+, \quad x \in \mathbf{R}^n, \quad (3.1)$$

cu condiția initială $x(t_0) = x_0$ și punctul de echilibru $x = 0$.

Rezultatele care se vor expune au fost extinse prin adaptări corespunzătoare și la cazul sistemelor neautonome și/sau discrete în timp. Astfel de cazuri vor fi luate în considerare cu prilejul tratării noțiunii de *stabilitate absolută*, introdusă în teoria sistemelor automate neliniare ca parte a unui sistem de concepție generat de metoda directă Liapunov.

3.1.1. Definiții

În esență metoda directă Liapunov, [L3], se bazează pe generalizarea noțiunii de energie. De exemplu în cazul sistemului mecanic din fig. I.15 punctul A_1 este un punct de echilibru asimptotic stabil. Justificarea de ordin strict fizic a acestei afirmații constă în aceea că energia totală a bilei B atinge un minim relativ V_{\min} în A_1 și în orice punct nu prea îndepărtat de A_1 , dar diferit de acesta, au loc inegalitățile $V - V_{\min} > 0$ și $\dot{V} \leq 0$, ceea ce înseamnă că mișcarea bilei B are loc către punctul A_1 (aperiodic sau oscilatoriu amortizat).

Pornind de la această idee se asociază sistemului (3.1) o funcție $V: \mathbf{R}^n \rightarrow \mathbf{R}$ cu următoarele proprietăți:

1° Derivatele $\frac{\partial V}{\partial x_i}$, $i = 1, 2, \dots, n$, unde x_i sunt componentele lui x ,

există și sunt continue pentru $\|x\| \leq K$, $K > 0$.

2° $V(x)$ este pozitiv definită, adică $V(0) = 0$ și $V(\dot{x}) > 0$ pentru $\|x\| \leq K$, cu $x \neq 0$.

3° $\dot{V}(x)$ este negativ semidefinită, adică $\dot{V}(0) = 0$ și $\dot{V}(x) \leq 0$ pentru $\|x\| \leq K$, cu $x \neq 0$.

Proprietatea 3° se poate înlocui cu următoarea mai tare.

4° $\dot{V}(x)$ este negativ definită, adică $\dot{V}(0) = 0$ și $\dot{V}(x) < 0$ pentru $\|x\| \leq K$, cu $x \neq 0$.

Prin $\dot{V}(x)$ se înțelege

$$\begin{aligned}\dot{V}(x) &= \frac{\partial V}{\partial x_1} \dot{x}_1 + \dots + \frac{\partial V}{\partial x_n} \dot{x}_n = [\text{grad } V(x)]^T \dot{x} = \\ &= [\text{grad } V(x)]^T f(x),\end{aligned}\quad (3.2)$$

în care

$$\text{grad } V(x) = \left[\frac{\partial V}{\partial x_1} \dots \frac{\partial V}{\partial x_n} \right]^T \quad (3.3)$$

este vectorul gradient al funcției scalare $V(x)$; (3.2) justifică afirmația că $V(x)$ este o funcție asociată sistemului (3.1).

Definiția 1. O funcție $V(x)$ care satisfacă $1^\circ - 3^\circ$ se numește *funcție Liapunov slabă*.

Definiția 2. O funcție $V(x)$ care satisfacă 1° , 2° și 4° se numește *funcție Liapunov tare*.

3.1.2. Criterii de stabilitate și de instabilitate

Teorema 1 (Liapunov). Punctul de echilibru $x = 0$ al sistemului (3.1) este stabil dacă există o funcție Liapunov slabă.

D. Se presupune prin absurd că deși există o funcție Liapunov slabă, $x = 0$ nu este stabil, adică pentru $\|x_0\| < \delta$ există un $t_1 > t_0$ astfel încât $\|x(t_1)\| \geq \epsilon$ cu $\epsilon > 0$ dat.

În virtutea proprietăților $1^\circ - 3^\circ$ există o funcție $\varphi(r)$, unde r este lungimea razei vectoare în \mathbb{R}^n , cu proprietățile: $\varphi(0) = 0$ și $0 \leq r_1 < r_2 \leq K$ implică $\varphi(r_1) < \varphi(r_2)$, dar astfel încât

$$V(x) \geq \varphi(\|x\|). \quad (3.4)$$

Fie x_0 astfel ales încât să aibă loc simultan

$$\|x_0\| < \delta = \epsilon, \quad V(x_0) < \varphi(\epsilon). \quad (3.5)$$

Acest lucru este posibil pentru x_0 suficient de apropiat de origine deoarece $\varphi(\epsilon) > 0$, $V(0) = 0$ și $V(x)$ este continuă. Întrucât $\dot{V} \leq 0$, urmează că $V(x(t_1)) \leq V(x_0)$ pentru $t_1 > t_0$ sau, ținând seama de (3.5),

$$V(x(t_1)) < \varphi(\epsilon). \quad (3.6)$$

Dar pentru $t_1 > t_0$ avem $\|x(t_1)\| > \varepsilon$ și din (3.4) rezultă $V(x(t_1)) \geq \varphi(\|x(t_1)\|) \geq \varphi(\varepsilon)$, ceea ce contrazice (3.6). ■

Teorema 2 (Liapunov). Punctul de echilibru $x = 0$ al sistemului (3.1) este asimptotic stabil dacă există o funcție Liapunov tare.

D. Conform teoremei 1 $x = 0$ este stabil. Mai rămâne de arătat că dacă are loc 4° atunci $\lim_{t \rightarrow \infty} \|x(t)\| = 0$ pentru orice x_0 cu $\|x_0\| < \delta$.

Se presupune prin absurd că, deși $V(x)$ este negativ definită, $\lim_{t \rightarrow \infty} \|x(t)\| \neq 0$, adică există un $0 < \varepsilon_1 < \varepsilon$ (ε din definiția 1 de la I.4.2.1) astfel încât

$$\|x(t)\| > \varepsilon_1, \quad t > t_1 > t_0. \quad (3.7)$$

Întrucât $\dot{V}(x)$ este pozitiv definită, există o funcție $\psi(r)$ cu proprietăile $\psi(0) = 0$ și $0 \leq r_1 < r_2 \leq K$ implică $\psi(r_1) < \psi(r_2)$, dar astfel încât

$$\dot{V}(x) \leq -\psi(\|x\|). \quad (3.8)$$

Tinând seama de (3.7) și de faptul că $-\psi(r)$ este strict descrescătoare, din (3.8) rezultă că

$$\dot{V}(x(t)) < -\psi(\varepsilon_1), \quad t > t_1. \quad (3.9)$$

Se integrează (3.9) de la t_1 la t . Rezultă $V(x(t)) < V(x(t_1)) - \psi(\varepsilon_1)$, $(t - t_1)$, $t > t_1$, adică pentru $t > t_1 + V(x(t_1))/\psi(\varepsilon_1)$ avem $V(x(t)) < 0$, ceea ce contrazice faptul că $V(x)$ este pozitiv definită. Conform ipotezelor 2° și 4° $V(x(t))$ este pozitivă și descrescătoare, astfel că pentru $t \rightarrow \infty$ ea are o limită nenegativă. În consecință $\lim_{t \rightarrow \infty} \dot{V}(x(t)) = 0$, dar

întrucât $\dot{V}(x)$ este negativ definită, aceasta are loc numai dacă $\lim_{t \rightarrow \infty} \|x(t)\| = 0$. ■

Pentru $n = 2$ este foarte simplu de dat o interpretare geometrică teoremei 2 în planul stărilor.

Conform teoremei 2 trebuie să aibă loc $V(x_1, x_2) > 0$; $\dot{V}(x_1, x_2) < 0$ pentru $x \neq 0$; $|x| \leq K$ și $V(0, 0) = 0$; $\dot{V}(0, 0) = 0$. În consecință funcția $z = V(x_1, x_2)$ poate fi reprezentată în planul stărilor prin curbe de nivel constant, fig. III.26, care au dimensiuni din ce în ce mai reduse pe măsură ce z scade. Dacă γ este o traекторie de stare oarecare din vecinătatea originii, pentru un punct P de intersecție cu o curbă

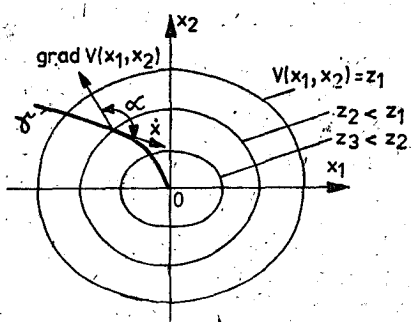


Fig. III.26. Interpretarea geometrică a teoremei 2.

Condiția (3.10) implică $\alpha \in \left(\frac{\pi}{2}, \frac{3\pi}{2}\right)$, ceea ce înseamnă că vectorul \dot{x} este

permanent orientat spre interiorul oricărei curbe de nivel constant. Ca urmare pentru $t \rightarrow \infty$ punctul P se deplasează pe curba γ spre originea planului de stare, ceea ce implică faptul că originea este punct de echilibru asimptotic stabil.

Pentru cazurile în care $V(x)$ este funcție Liapunov slabă dar $V(x) = 0$ numai pe traectorii banale din $\|x\| \leq K$ (cum ar fi puncte de echilibru izolate sau unele axe ale spațiului stărilor) este util următorul rezultat, [B 9].

Teorema 3 (Barbașin-Krasovski). Dacă există o funcție Liapunov slabă dar astfel încât $V(x)$ nu este identic nulă pe orice traectorie nebanală a sistemului (3.1) atunci punctul de echilibru $x = 0$ este asimptotic stabil.

Întrucât metoda directă Liapunov produce în principiu numai condiții suficiente de stabilitate sau stabilitate asimptotică, înseamnă că rezultatele din teoremele 1—3 sunt valabile numai pentru o regiune a planului stărilor. Cu alte cuvinte respectivele rezultate sunt rezultate de stabilitate sau de stabilitate asimptotică în mic.

Definiția 3. Dacă o regiune X_{sa} din spațiul stărilor, definită prin $V(x) \leq \text{constant}$, unde $V(x)$ este o funcție Liapunov tare, este închisă și mărginită atunci X_{sa} este o regiune de stabilitate asimptotică în spațiul stărilor.

Este evident că determinarea unei regiuni de stabilitate asimptotică X_{sa} depinde de alegerea funcției $V(x)$, urmând ca pentru funcții Lia-

de nivel constant are loc $\dot{V}(x_1, x_2) < 0$. Conform relației (3.2), în care se explicitează produsul scalar, pentru punctul P are loc

$$\dot{V}(x_1, x_2) = \left[\left(\frac{\partial V}{\partial x_1} \right)^2 + \left(\frac{\partial V}{\partial x_2} \right)^2 \right]^{1/2} \times \\ \times (\dot{x}_1^2 + \dot{x}_2^2)^{1/2} \cos \alpha < 0, \quad (3.10)$$

unde α este unghiul dintre vectorul gradient, care este normal la curba de nivel constant în punctul P și vectorul viteza \dot{x} al punctului de stare P de pe traectoria γ .

Con-

ditiona (3.10) implică $\alpha \in \left(\frac{\pi}{2}, \frac{3\pi}{2}\right)$, ceea ce înseamnă că vectorul \dot{x} este

permanent orientat spre interiorul oricărei curbe de nivel constant. Ca urmare pentru $t \rightarrow \infty$ punctul P se deplasează pe curba γ spre originea planului de stare, ceea ce implică faptul că originea este punct de echilibru asimptotic stabil.

Pentru cazurile în care $V(x)$ este funcție Liapunov slabă dar $V(x) = 0$ numai pe traectorii banale din $\|x\| \leq K$ (cum ar fi puncte de echilibru izolate sau unele axe ale spațiului stărilor) este util următorul rezultat, [B 9].

Teorema 3 (Barbașin-Krasovski). Dacă există o funcție Liapunov slabă dar astfel încât $V(x)$ nu este identic nulă pe orice traectorie nebanală a sistemului (3.1) atunci punctul de echilibru $x = 0$ este asimptotic stabil.

Întrucât metoda directă Liapunov produce în principiu numai condiții suficiente de stabilitate sau stabilitate asimptotică, înseamnă că rezultatele din teoremele 1—3 sunt valabile numai pentru o regiune a planului stărilor. Cu alte cuvinte respectivele rezultate sunt rezultate de stabilitate sau de stabilitate asimptotică în mic.

Definiția 3. Dacă o regiune X_{sa} din spațiul stărilor, definită prin $V(x) \leq \text{constant}$, unde $V(x)$ este o funcție Liapunov tare, este închisă și mărginită atunci X_{sa} este o regiune de stabilitate asimptotică în spațiul stărilor.

Este evident că determinarea unei regiuni de stabilitate asimptotică X_{sa} depinde de alegerea funcției $V(x)$, urmând ca pentru funcții Lia-

punov tari diferite să se obțină X_{sa} diferite. În aceste condiții se poate da o formă echivalentă definiției 4 de la I.4.2.3.

Definiția 4. Dacă $x = 0$ este un punct de echilibru asimptotic stabil al sistemului (3.1) atunci mulțimea X_a a tuturor stărilor inițiale x_0 pentru care traекторiile corespunzătoare converg către origine pentru $t \rightarrow \infty$ se numește *mulțimea de atracție* a sistemului (3.1), corespunzătoare punctului de echilibru $x = 0$.

Regiunile de stabilitate asimptotică X_{sa} sunt părți ale mulțimii de atracție X_a . Determinarea mulțimii de atracție sau a unor părți ale ei are o importanță practică deosebită, deoarece în acest fel se pot preciza limitele funcționării normale ale unui sistem. Problema în sine este relativ complexă, deoarece presupune construcția unei funcții Liapunov tari în condițiile în care *definiția 2* nu precizează vreun procedeu pentru o astfel de construcție.

Desigur că din punct de vedere practic este de dorit ca $X_a = \mathbb{R}^n$, respectiv ca starea de echilibru să fie global asimptotic stabilă. Pentru aceasta este necesară satisfacerea unei condiții suplimentare, după cum rezultă din afirmația următoare.

Teorema 4. Punctul de echilibru $x = 0$ al sistemului (3.1) este global asimptotic stabil dacă el este asimptotic stabil și dacă există o funcție Liapunov cu proprietatea

$$\lim_{\|x\| \rightarrow +\infty} V(x) = +\infty. \quad (3.11)$$

Exemplul 3.1. Se consideră sistemul

$$\begin{cases} \dot{x}_1 = -x_1^3 - 2x_1x_2^2 \\ \dot{x}_2 = x_1^2x_2 - x_2^3. \end{cases}$$

Folosind funcția $V(x_1, x_2) = x_1^2 + x_1^2x_2^2 + x_2^4$ să se studieze natura punctului de echilibru $(0,0)$ al sistemului.

Vom arăta că $V(x)$ este o funcție Liapunov tare. Proprietățile 1° și 2° de la 3.1.1. sunt evident realizate. Pentru 4° avem

$$\begin{aligned} \dot{V}(x_1, x_2) &= (2x_1 + 2x_1x_2^2)\dot{x}_1 + (2x_1^2x_2 + 4x_2^3)\dot{x}_2 = \\ &= -2x_1^4 - 4x_1^2x_2^2 - 2x_1^2x_2^4 - 4x_2^6, \end{aligned}$$

care este negativ definită. În plus $V(x_1, x_2)$ satisfacă și condiția (3.11). Așadar punctul de echilibru este global asimptotic stabil.

În lipsa unor condiții necesare și suficiente de stabilitate sau de stabilitate asimptotică sunt deosebit de utile în aplicații și rezultate de instabilitate, [L3], [C6], [B10].

Teorema 5 (Liapunov). Fie o funcție $V(x)$ cu $V(0) = 0$ și cu derivatele parțiale de ordinul întâi continue. Dacă există o vecinătate, care conține originea, în care $V(x)$ este pozitiv definită și $\dot{V}(x)$ (pentru sistemul (3.11)) este pozitiv definită atunci punctul de echilibru $x = 0$ al sistemului este instabil.

Teorema 6 (Cetaev). Fie o funcție $V(x)$ cu $V(0) = 0$ și cu derivatele parțiale de ordinul întâi continue. Dacă $V(x) = 0$ pe frontieră unei regiuni X_0 care are originea ca punct de frontieră și dacă $V(x)$ și $\dot{V}(x)$ (pentru sistemul (3.1)) sunt ambele pozitiv definite în X_0 atunci punctul de echilibru $x = 0$ al sistemului (3.1) este instabil.

Teorema 7. a. Fie o funcție $V(x)$ cu $V(0) = 0$ și cu derivatele parțiale de ordinul întâi continue. Dacă există o vecinătate care conține originea în care $V(x)$ ia valori negative în unele puncte și dacă $\dot{V}(x)$ (pentru sistemul (3.1)) este negativ semidefinită atunci punctul de echilibru $x = 0$ al sistemului (3.1) nu este asimptotic stabil.

b. Dacă $\dot{V}(x)$ (pentru sistemul (3.1)) este negativ definită atunci punctul de echilibru $x = 0$ al sistemului (3.1) este instabil.

c. Dacă $V(x)$ și $\dot{V}(x)$ (pentru sistemul (3.1)) sunt ambele negativ definite atunci punctul de echilibru $x = 0$ al sistemului (3.1) este complet instabil.

Exemplul 3.2. Se consideră sistemul

$$\begin{cases} \dot{x}_1 = x_1^2 - x_2^2 \\ \dot{x}_2 = -2x_1x_2. \end{cases}$$

Folosind funcția $V(x_1, x_2) = 3x_1x_2^2 - x_1^3$ să se studieze natura punctului de echilibru al sistemului.

Punctul de echilibru este $x_1 = x_2 = 0$. Să observăm mai întâi că există puncte într-o vecinătate a originii pentru care $V(x_1, x_2) < 0$, de exemplu pentru $x_1 = 1$ și $x_2 = 0,5$. Pe de altă parte $\dot{V}(x_1, x_2) = (3x_2^2 - 3x_1^2)\dot{x}_1 + 6x_1x_2\dot{x}_2 = -3(x_1^2 + x_2^2)^2 < 0$ pentru orice $(x_1, x_2) \in \mathbb{R}^2$, cu $x_1 \neq 0$ și $x_2 \neq 0$. Conform teoremei 7. b punctul de echilibru este instabil.

3.1.3. Cazul sistemelor dinamice liniare constante

Fie un sistem dinamic liniar constant de forma

$$\dot{x} = Ax, \quad t \in \mathbb{R}_+, \quad x \in \mathbb{R}^n, \quad (3.12)$$

în care A este o matrice pătratică constantă.

În acest caz, după cum se va vedea imediat, se poate utiliza ca funcție Liapunov tare forma pătratică (v. anexa D)

$$V(x) = x^T P x, \quad x \in \mathbb{R}^n, \quad (3.13)$$

în care P este o matrice reală simetrică și pozitiv definită.

Teorema 8. Punctul de echilibru $x = 0$ al sistemului (3.12) este asimptotic stabil dacă și numai dacă pentru orice matrice Q , reală și pozitiv definită, soluția P a ecuației Liapunov

$$PA - A^T P = -Q \quad (3.14)$$

este pozitiv definită.

D. Suficiența. Dacă P , soluție a ecuației (3.14), este pozitiv definită (v. anexa D) atunci $V(x)$, relația (3.13), este o formă pătratică pozitiv definită. Pe de altă parte

$$\dot{V}(x) = \dot{x}^T P x + x^T P \dot{x} = x^T (A^T P + PA) x \leq x^T Q x$$

este o formă pătratică negativ definită. Conform teoremei 2 punctul de echilibru este asimptotic stabil.

Necesitatea. Dacă $x = 0$ este asimptotic stabil atunci matricea A este hurwitziană (v. definiția 1 de la II.2). În aceste condiții matricea simetrică și pozitiv definită

$$P = \int_0^\infty e^{At} Q e^{At} dt \quad (3.15)$$

este soluția ecuației Liapunov (3.14). ■

3.1.4. Stabilitatea în primă aproximatie

Rezultatul din paragraful precedent constituie un prim pas spre conturarea unor procedee de construcție a unei funcții Liapunov.

Fie un sistem dinamic de forma

$$\dot{x} = Ax + g(x), \quad t \in \mathbb{R}_+, \quad x \in \mathbb{R}^n, \quad (3.16)$$

unde $g(x)$ este o funcție vectorială neliniară (cu termeni Taylor de grad mai mare ca unu), cu $g(0) = 0$. Se spune că sistemul (3.12) este *aproximația liniară* a sistemului (3.16).

Utilizând funcția (3.13), pe baza teoremei 2, se obțin următoarele rezultate.

Theoremă 9. Punctul de echilibru $x = 0$ al sistemului (3.16) este asimptotic stabil dacă el este asimptotic stabil pentru aproximarea liniară (3.12).

D. Fie funcția (3.13), în care P este soluția ecuației (3.14). Derivând în raport cu timpul în (3.13) obținem

$$\begin{aligned}\dot{V}(x) &= \dot{x}^T Px + x^T P \dot{x} = x^T (A^T P + PA)x + 2g^T(x)Px = \\ &= -x^T Qx + 2g^T(x)Px.\end{aligned}$$

Întrucât $g(x)$ conține termeni de grad mai mare sau egal cu doi (în cazul unei aproximări polinomiale) rezultă că termenul $g^T(x)Px$ conține termeni de grad mai mare sau egal cu trei. Acest lucru implică faptul că pentru x suficient de apropiat de origine $\dot{V}(x) < 0$, ceea ce înseamnă că $V(x)$ este o funcție Liapunov tare. Conform teoremei 2 $x = 0$ este asimptotic stabil pentru (3.16). ■

În același mod se demonstrează și următoarea afirmație.

Theoremă 10. Punctul de echilibru $x = 0$ al sistemului (3.16) este instabil dacă el este instabil pentru aproximarea liniară (3.12).

3.2. Tehnici de construcție a unei funcții Liapunov

S-a văzut în ultimele două paragrafe cum se poate utiliza o formă pătratică ca funcție Liapunov în cazul sistemelor liniare sau în cazul aproximării liniare a unui sistem. În acest ultim caz, dacă matricea A are valori proprii simple pe axa imaginată, cu ajutorul aproximării liniare nu se poate face nici o afirmație privitoare la sistemul neliniar.

Pentru aplicarea teoremelor 1 și 2 trebuie să se răspundă mai întâi la următoarele două întrebări:

1° În ce condiții există o funcție Liapunov?

2° Dacă există o funcție Liapunov, cum poate fi ea determinată în scopul aplicării teoremelor 1 și 2?

Un răspuns la prima întrebare, a cărui demonstrație este dată în [H4], este următorul.

Theoremă 11. Dacă punctul de echilibru $x = 0$ al sistemului (3.1) este asimptotic stabil și matricea jacobiană

$$J(x) = \begin{bmatrix} \frac{\partial f_1}{\partial x_1} & \dots & \frac{\partial f_1}{\partial x_n} \\ \vdots & \ddots & \vdots \\ \frac{\partial f_n}{\partial x_1} & \dots & \frac{\partial f_n}{\partial x_n} \end{bmatrix} \quad (3.17)$$

a funcției $f(x)$ este continuă într-un domeniu $X_V \subseteq \mathbf{R}^n$ atunci există pe X_V o funcție Liapunov tare pentru sistemul (3.1).

În legătură cu cea de a doua întrebare vom prezenta în continuare cîteva metode de construcție a unei funcții Liapunov.

3.2.1. Metoda Krasovski, [K3].

Fie B o matrice simetrică pozitiv definită, cu elemente reale constante. Cu B și $J(x)$, relația (3.17), se construiește matricea simetrică

$$M(x) = \frac{1}{2} [J^T(x)B + BJ(x)], \quad x \in X_V, \quad (3.18)$$

a cărei cea mai mare valoare proprie este $\mu(x)$.

Teorema 12. Dacă există o matrice B astfel încît $\mu(x) < -c$, $c > 0$, pentru orice $x \in X_V$ atunci punctul de echilibru $x = 0$ al sistemului (3.1) este asimptotic stabil. Dacă $\mu(x) < -c$ are loc pentru orice $x \in \mathbf{R}^n$ atunci $x = 0$ este global asimptotic stabil.

D. Părțile reale ale valorilor proprii ale matricii $BJ(x)$ sunt cuprinse între valorile proprii cea mai mică și cea mai mare ale matricii $M(x)$ (v. teorema 20 de la II.2.3.2), respectiv sunt mai mici ca $-c$. Urmează că pentru $x \in X_V$ avem $|\det BJ(x)| \geq c^n$, ceea ce înseamnă că funcția $w(x) = |\det J(x)|$ are un minimum pozitiv α pe X_V . Funcția

$$V(x) = f^T(x)Bf(x) \quad (3.19)$$

este pozitiv definită și

$$\dot{V}(x) = \dot{x}^T J^T(x) B f(x) + f^T(x) B J(x) \dot{x} = 2 f^T(x) M(x) f(x)$$

este negativ definită. Ca urmare $x = 0$ este asimptotic stabil.

Pentru a arăta că $V(x) \rightarrow \infty$ pentru $\|x\| \rightarrow \infty$ pînă de la $df = w(x) dx \geq \alpha dx$ care prin integrare conduce la

$$\int df \geq \alpha \int dx.$$

Aceasta înseamnă că pentru $\|x\| \rightarrow \infty$ cel puțin o componentă a lui $f(x)$ crește nemărginit, respectiv că $V(x)$ este nemărginită. În concluzie $x = 0$ este global asimptotic stabil. ■

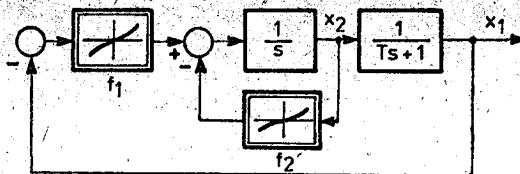


Fig. III.27. Schema bloc structurală a sistemului automat de la exemplul 3.3.

Exemplul 3.3. Se consideră sistemul automat cu structura din fig. III.27, ale căruia ecuații sint

$$\begin{cases} \dot{x}_1 = -\frac{1}{T}x_1 + \frac{1}{T}x_2 \\ \dot{x}_2 = -f_1(x_1) - f_2(x_2). \end{cases}$$

Ce condiție trebuie să îndeplinească neliniaritățile f_1 și f_2 , astfel încit punctul de echilibru $x_1 = x_2 = 0$ să fie global asymptotic stabil?

Considerind $B = I$ în (3.18) putem scrie

$$M(x) = \begin{bmatrix} -\frac{1}{T} & \frac{1}{2} \left[\frac{1}{T} - f'_1(x_1) \right] \\ \frac{1}{2} \left[\frac{1}{T} - f'_1(x) \right] & -f'_2(x_2) \end{bmatrix}.$$

Condiția ca această matrice să fie negativă definită este

$$f'_2(x_2) > \frac{T}{4} \left[\frac{1}{T} - f'_1(x) \right]^2, \quad (x_1, x_2) \in \mathbb{R}^2.$$

Evident, aceasta este o condiție suficientă de stabilitate asimptotică globală a stării de echilibru. Ea poate fi îmbunătățită într-o oarecare măsură prin alegerea unei matrice B adecvate.

3.2.2. Metoda Ingwerson, [I3]

Această metodă se bazează tot pe utilizarea matricii jacobiene (3.17) a sistemului (3.1) și constă în parcurgerea următorilor pași.

1° Se rezolvă ecuația matriceală de tip Liapunov

$$J^T(x)P(x) + P(x)J(x) = -Q, \quad (3.20)$$

unde Q este o matrice reală, constantă, simetrică și pozitiv (semi)definită.

2° Cu ajutorul matricii simetrice $P(x)$ se formează o nouă matrice $\bar{P}(x)$ ale cărei elemente \bar{p}_{ij} au proprietatea că depind numai de x_i și x_j , deoarece prin definiție

$$\bar{p}_{ij}(x_i, x_j) = \bar{p}_{ji}(x_i, x_j) = p_{ij}(0, \dots, 0, x_i, 0, \dots, 0, x_j, 0, \dots, 0),$$

$$i, j = 1, \dots, n, \quad (3.21)$$

unde $p_{ij} = p_{ji}$ sunt elementele matricii $P(x)$.

3° Se formează vectorul gradient al funcției scalare $V(x)$, deocamdată necunoscută, ale cărui componente sunt

$$g_i(x) = [\text{grad } V(x)]_i = \sum_{j=1}^n \int_0^{x_j} \bar{p}_{ij}(x_i, x_j) dx_j, \quad i = 1, 2, \dots, n. \quad (3.22)$$

Se știe că, [S2], un vector oarecare este gradientul unei funcții scalare dacă și numai dacă $\text{rot grad } V(x) = 0$, ceea ce este echivalent cu

$$\frac{\partial g_i}{\partial x_j} = \frac{\partial g_j}{\partial x_i}, \quad i, j = 1, 2, \dots, n. \quad (3.23)$$

Înlocuind (3.22) în (3.23) și ținând seama de (3.21) se constată că (3.23) este satisfăcută.

4° Se determină $V(x)$ prin integrarea produsului $[\text{grad } V(x)]^T dx$ pe o curbă oarecare din \mathbf{R}^n . Întrucât valoarea integralei în acest caz nu depinde de curba aleasă, [S2], se poate scrie

$$V(x) = \int_0^{x_1} g_1(x_1, 0, \dots, 0) dx_1 + \int_0^{x_2} g_2(x_1, x_2, 0, \dots, 0) dx_2 + \dots + \\ + \int_0^{x_n} g_n(x_1, x_2, \dots, x_n) dx_n. \quad (3.24)$$

5° Se aplică teoremele 1—7 în mod adecvat și anume în funcție de modul în care sunt definite $V(x)$ și $\dot{V}(x)$.

Exemplul 3.4. Se consideră sistemul

$$\begin{cases} \dot{x}_1 = x_2 \\ \dot{x}_2 = -ax_1 - x_1^2 - bx_2, \quad a > 0, \quad b > 0. \end{cases}$$

Să se construiască o funcție Liapunov și să se determine natura punctului de echilibru $x_1 = x_2 = 0$.

Ecuatia de tip Liapunov (3.20) are in acest caz forma

$$\begin{bmatrix} 0 & -2x_1 - a \\ 1 & -b \end{bmatrix} \begin{bmatrix} p_{11} & p_{12} \\ p_{12} & p_{22} \end{bmatrix} + \begin{bmatrix} p_{11} & p_{12} \\ p_{12} & p_{22} \end{bmatrix} \begin{bmatrix} 0 & 1 \\ -2x_1 - a & -b \end{bmatrix} = \\ = \begin{bmatrix} 0 & 0 \\ 0 & -2b \end{bmatrix}.$$

in care Q s-a ales pozitiv semidefinită. Soluția corespunzătoare este

$$P(x) = \bar{P}(x) = \begin{bmatrix} 2x_1 + a & 0 \\ 0 & 1 \end{bmatrix}.$$

Conform relației (3.22) componentele vectorului gradient sunt

$$g_1 = \int_0^{x_1} (2x_1 + a) dx_1 = x_1^2 + ax_1$$

$$g_2 = \int_0^{x_2} dx_2 = x_2.$$

În continuare, cu (3.24), se obține

$$V(x_1, x_2) = \int_0^{x_1} (x_1^2 + ax_1) dx_1 + \int_0^{x_2} x_2 dx_2 = \frac{1}{3} x_1^3 + \frac{1}{2} ax_1^2 + \frac{1}{2} x_2^2,$$

care este pozitiv definită într-o regiune X_0 suficient de mică care conține originea. Întrucât

$$\dot{V}(x_1, x_2) = g_1 \dot{x}_1 + g_2 \dot{x}_2 = -bx_2^2$$

este negativ semidefinită, dar $x_2 = 0$ nu este traectorie a sistemului, conform teoremei 3 punctul de echilibru este ásimptotic stabil.

3.2.3. Metoda Schultz-Gibson, [S3]

Conform definitiilor (1)2, $\dot{V}(x)$ de forma (3.2) trebuie să fie negativ (semi)definită. În aceste circumstanțe se definește

$$\text{grad } V(x) = \begin{bmatrix} g_1 \\ g_2 \\ \vdots \\ g_n \end{bmatrix} = \begin{bmatrix} a_{11}x_1 + a_{12}x_2 + \dots + a_{1n}x_n \\ a_{21}x_1 + a_{22}x_2 + \dots + a_{2n}x_n \\ \vdots \\ a_{n1}x_1 + a_{n2}x_2 + \dots + a_{nn}x_n \end{bmatrix} \quad (3.25)$$

unde a_{ij} sunt funcții de x_1, \dots, x_n și urmează să se aleagă astfel încit să fie satisfăcute condițiile:

1° $\dot{V}(x)$ să fie negativ (semi)definită;

2º grad $V(x)$ să reprezinte gradientul unei funcții scalare, ceea ce este echivalent cu (3.23).

3º O dată a_{ij} , determine, respectiv g_i cunoscute, se folosește (3.24) pentru determinarea funcției $V(x)$.

Exemplul 3.5. Se consideră un reactor atomic cu extractie constantă de putere, descris de ecuațiile

$$\begin{cases} \dot{x}_1 = -\frac{\alpha}{\tau} x_2 \\ \dot{x}_2 = \frac{1}{\varepsilon} (e^{x_1} - 1), \end{cases}$$

unde $P(t) = e^{x_1(t)}$ este puterea instantanee; x_2 este temperatura, $\alpha > 0$ este un coefficient de temperatură, $\varepsilon > 0$ este capacitatea calorică și $\tau > 0$ este viața medie a unui neutron.

Să cere să se determine natura punctului de echilibru $x_1 = x_2 = 0$.

Cu $g_1 = a_{11}x_1 + a_{12}x_2$ și $g_2 = a_{21}x_1 + a_{22}x_2$ avem

$$\dot{V}(x) = -\frac{\alpha}{\tau} a_{11}x_1 x_2 - \frac{\alpha}{\tau} a_{12}x_2^2 + \frac{1}{\varepsilon} a_{21}(e^{x_1} - 1)x_1 + \frac{1}{\varepsilon} a_{22}(e^{x_1} - 1)x_2.$$

Se aleg $a_{12} = a_{21} = 0$, $a_{22} = 1$ și $a_{11} = \frac{\tau}{\varepsilon \alpha x_1} (e^{x_1} - 1)$ și se obține $\dot{V}(x_1, x_2) = 0$

pentru $(x_1, x_2) \in \mathbb{R}^2$ și $g_1 = \frac{\tau}{\varepsilon \alpha} (e^{x_1} - 1)$, $g_2 = x_2$, pentru care $\frac{\partial g_1}{\partial x_2} = \frac{\partial g_2}{\partial x_1} = 0$.

Folosind acum (3.24), rezultă

$$V(x_1, x_2) = \int_0^{x_1} \frac{\tau}{\varepsilon \alpha} (e^{x_1} - 1) dx_1 \int_0^{x_2} x_2 dx_2 = \frac{\tau}{\varepsilon \alpha} (e^{x_1} - x_1 - 1) + \frac{1}{2} x_2^2,$$

care este pozitiv definită pentru $(x_1, x_2) \in \mathbb{R}^2$. Conform teoremei 1 starea de echilibru este stabilă.

3.2.4. Determinarea mulțimii de atracție

Dacă se aplică definiția 4 în cazul unui sistem de ordinul doi rezultă că în planul stărilor frontieră mulțimii de atracție X_a este formată în întregime din traекторii de stare. Într-adevăr, fie Γ frontieră lui X_a , P un punct al ei și γ o traectorie care trece prin P . Evident Γ și γ nu se intersectează deoarece în caz contrar există $Q \in \gamma$ astfel încât $Q \in \Gamma$ și originea se află de părți opuse față de Γ , ceea ce contrazice faptul că X_a este mulțimea de atracție și Γ frontieră ei. De asemenea este imposibil ca γ să fie tangentă la Γ dinspre interior în punctul P deoarece, în caz contrar, γ nu poate fi continuă în P . În concluzie

este o parte a lui Γ . Dacă γ este un ciclu limită atunci $\Gamma = \gamma$; în celelalte cazuri Γ este un poligon format din traectorii de stare sau o curbă închisă formată numai din puncte de echilibru. Aceste concluzii rămân valabile, *mutatis mutandis*, și în cazul sistemelor de ordinul n .

După cum s-a mai arătat, părți ale mulțimii de atracție pot fi determinate cu ajutorul unei funcții Liapunov adeevate.

Fie $V(x)$ o funcție pozitivă definită într-o regiune $X \subset \mathbb{R}^n$ și fie S o hipersuprafață închisă în întregime conținută în X și cu următoarele proprietăți:

1° originea este în interiorul lui S ;

2° $\dot{V}(x) = 0$ pentru $x \in S$;

3° pentru $x \neq 0$ $\dot{V}(x) < 0$ dacă x este în interiorul lui S și $\dot{V}(x) > 0$ dacă x este în exteriorul lui S ;

4° hipersuprafața $V(x) = c = \text{const.}$, închisă prin ipoteză, se găsește în întregime în interiorul lui S .

Atunci $V(x) \leq c$ este o submulțime a mulțimii de atracție, deoarece pentru orice punct al ei are loc teorema 2 pentru sistemul (3.1).

Dacă S este constituită în întregime din traectorii de stare ale sistemului (3.1) atunci S este frontiera mulțimii de atracție.

Exemplul 3.6. Se consideră sistemul

$$\begin{cases} \dot{x}_1 = -x_1 + x_2^2 \\ \dot{x}_2 = x_1^2 - x_2. \end{cases}$$

Se cere să se evalueze mulțimea sa de atracție.

Sistemul are punctele de echilibru $(0,0)$ și $(1,1)$. Utilizând partea liniară a sistemului se constată că $(0,0)$ este nod stabil și $(1,1)$ este să. Conform teoremei 10 de la 2.2.3, sistemul nu are nici o traectorie închisă în planul stărilor. Traекторia $x_1 = x_2$ trece prin punctele de echilibru. Întrucât $P(1,1)$, fig. III.28, este să rezultă că mai există și traectoriile $P'P$ și $P''P$ care converg către P , tangent în P la separatoarea $x_1 + x_2 = 2$ a părții liniare, care reprezintă de fapt separatoarea portretului de stare. În conformitate cu cele de mai sus, $P'P'$ este frontiera mulțimii de atracție a sistemului.

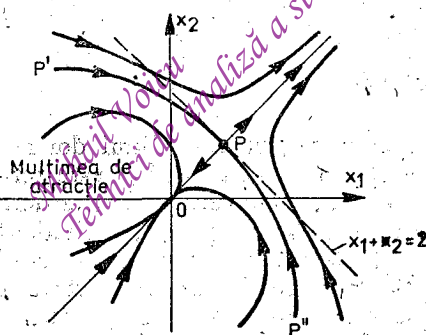


Fig. III.28. Portretul de stare la exemplul 3.6.

Ideile expuse mai sus au condus la o metodă de construcție a unei funcții Liapunov care permite determinarea exactă a mulțimii de atracție (*metoda Zubov*, [Z2]).

Se consideră sistemul (3.1) și o mulțime $X \subseteq \mathbf{R}^n$ simplu conexă care conține o vecinătate a originii. Rezultatul următor este o condiție suficientă ca $X \equiv X_a$.

Teorema 13 (Zubov). Fie $V(x)$ și $W(x)$ două funcții scalare cu următoarele proprietăți:

1° $V(x)$ este definită, continuă și pozitiv definită pe X și satisface inegalitatea $0 < V(x) < 1$ pentru $x \in X$, $x \neq 0$;

2° $W(x)$ este definită pentru orice x finit, continuă și pozitiv definită;

3° Pentru $x \in X$ are loc

$$\dot{V}(x) = -W(x)[1 - V(x)]\sqrt{1 + \|f(x)\|^2}; \quad (3.26)$$

4° Dacă $x \in X$ și x tinde la frontieră lui X (sau pentru X nemărginită $\|x\| \rightarrow \infty$) atunci $V(x) \rightarrow 1$.

Atunci X este exact mulțimea de atracție X_a a sistemului (3.1).

D. Ipotезele 1°–3° asigură stabilitatea asimptotică a punctului de echilibru $x = 0$. Se introduce o nouă variabilă independentă prin

$$ds = \sqrt{1 + \|f(x)\|^2} dt, \quad (3.27)$$

unde ds este lungimea elementului de arc de traiectorie, fără ca aceasta să schimbe natura punctului de echilibru $x = 0$. Din (3.26) și (3.27) rezultă

$$\frac{dV(x)}{ds} = -W(x)[1 - V(x)],$$

care prin integrare conduce la

$$1 - V[x(s(t))] = [1 - V(x_0)] e^{\int_0^{s(t)} W[x(s)] ds}. \quad (3.28)$$

Dacă $x_0 \in X$ atunci $\lim_{t \rightarrow \infty} x(t) = 0$. Dacă $x_0 \notin X_a$ atunci, $\int_0^t W(x(s)) ds$

fiind nemărginită, pentru $t \rightarrow \infty$ exponențiala din (3.28) crește nemărginit, respectiv $1 - V[x(s(t))] \rightarrow +\infty$, ceea ce contrazice ipoteza 1°. În concluzie $X \equiv X_a$.

O consecință imediată a teoremei 13 este următorul rezultat care permite determinarea exactă a mulțimii de atracție.

Teorema 14. Fie $W(x)$ în ipotezele teoremei 13 și $V(x)$ pozitiv definită, cu $0 \leq V(x) \leq 1$, $x \in X$, și

$$[\text{grad } V(x)]^T f(x) = -W(x)[1 - V(x)]\sqrt{1 + \|f(x)\|^2}. \quad (3.29)$$

Atunci frontiera mulțimii de atracție este definită de ecuația

$$V(x) = 1. \quad (3.30)$$

Exemplul 3.7. Se consideră sistemul dinamic

$$\begin{cases} \dot{x}_1 = -x_1 + 2kx_1^2x_2, & k \in \mathbb{R}, \\ \dot{x}_2 = -x_2. \end{cases}$$

Se cere să se determine mulțimea de atracție a sistemului.

Conform ecuației (3.29), în care ultimul factor din membrul drept poate fi omis dacă soluția sistemului este definită pentru $t \in \mathbb{R}_+$, și pentru $W(x_1, x_2) = 2(x_1^2 + x_2^2)$, putem scrie

$$\frac{\partial V}{\partial x_1}(-x_1 + 2kx_1^2x_2) + \frac{\partial V}{\partial x_2}(-x_2) = -2(x_1^2 + x_2^2)[1 - V(x)].$$

Soluția acestei ecuații este:

$$V(x_1, x_2) = 1 - e^{-\varphi(x_1, x_2)}, \quad \varphi(x_1, x_2) = \frac{x_1^2}{1 - kx_1x_2} + x_2^2.$$

Folosind ecuația (3.30) se obține

$$kx_1x_2 = 1, \quad (x_1, x_2) \in \mathbb{R}^2,$$

care este frontiera mulțimii de atracție.

3.2.5. Aplicație: sistem automat asimptotic stabil pentru o clasă de neliniarități

Se consideră sistemul automat neliniar cu structura din fig. III.29, în care

$$G(s) = \frac{1}{s(s^2 + as + b)}, \quad a > 0, \quad b > 0, \quad (3.31)$$

și $f(y)$ este o neliniaritate oarecare cu $f(0) = 0$. Ne propunem să determinăm condițiile pe care trebuie să le îndeplinească neliniaritatea astfel încât punctul de echilibru $y = 0$ să fie global asimptotic stabil.

Conform schemei bloc din fig. III.29, a și funcției de transfer (3.31) ecuația diferențială a sistemului are expresia

$$\ddot{y} + a\dot{y} + b\ddot{y} = -f(y). \quad (3.32)$$

Introducind variabilele de stare $x_1 = y$, $x_2 = \dot{y}$ și $x_3 = \ddot{y}$ din (3.32) se obține

$$\begin{cases} \dot{x}_1 = x_2 \\ \dot{x}_2 = x_3 \\ \dot{x}_3 = -g(x_1)x_1 - bx_2 - ax_3, \end{cases} \quad (3.83)$$

în care prin

$$g(x_1) = \frac{f(x_1)}{x_1} \quad (3.34)$$

s-a notat factorul de amplificare neliniar.

Vom construi o funcție Liapunov prin metoda Schultz-Gibson. În conformitate cu (3.2) și (3.25), pe baza ecuațiilor (3.33) putem scrie

$$\dot{V}(x_1, x_2, x_3) = (a_{11}x_1 + a_{12}x_2 + a_{13}x_3)x_2 + (a_{21}x_1 + a_{22}x_2 + a_{23}x_3)x_3 + (a_{31}x_1 + a_{32}x_2 + a_{33}x_3)(-g(x_1)x_1 - bx_2 - ax_3).$$

Alegind $a_{12} = a_{21}$, $a_{23} = a_{32}$ și $a_{13} = a_{31}$ și efectuând calculele în expresia de mai sus se obține

$$\begin{aligned} \dot{V}(x_1, x_2, x_3) = & -a_{13}x_1^2g(x_1) - (ba_{23} - a_{12})x_2^2 - (aa_{33} - a_{23})x_3^2 - \\ & - (ba_{13} + a_{23}g(x_1) - a_{11})x_1x_2 - (aa_{23} + ba_{33} - a_{13} - a_{22})x_2x_3 - \\ & - (aa_{13} + a_{33}g(x_1) - a_{12})x_1x_3. \end{aligned} \quad (3.35)$$

Pentru simplificare și în vederea satisfacerii condițiilor (3.23) se adoptă $a_{11} = ag(x_1) + b^2$, $a_{12} = ab$, $a_{13} = b$, $a_{22} = a^2 + b$, $a_{23} = a$, $a_{33} = 2$, astfel că din (3.35) rezultă

$$\dot{V}(x_1, x_2, x_3) = -[bx_1^2g(x_1) + ax_3^2 + 2x_1x_3g(x_1)],$$

care mai poate fi pusă și sub forma

$$\dot{V}(x_1, x_2, x_3) = -\frac{1}{a}(ab - g(x_1))x_1^2g(x_1) - a\left(\frac{x_1}{a}g(x_1) + x_3\right)^2. \quad (3.36)$$

Se trage concluzia că $\dot{V}(x_1, x_2, x_3)$ este negativ semidefinită pentru $g(x_1) \leq ab$.

Utilizând acum (3.24) vom determina funcția $\dot{V}(x_1, x_2, x_3)$. Cu particularizările adoptate pentru a_{ij} , $i, j = 1, 2, 3$, avem

$$g_1 = [ag(x_1) + b^2]x_1 + abx_2 + bx_3$$

$$g_2 = abx_1 + (a^2 + b)x_2 + ax_3$$

$$g_3 = bx_1 + ax_2 + 2x_3,$$

care satisfac (3.23), astfel că din (3.24) rezultă

$$\begin{aligned} V(x_1, x_2, x_3) &= a \int_0^{x_1} xg(x) dx + \frac{1}{2} b^2 x_1^2 + abx_1 x_2 + \frac{1}{2} (a^2 + b) x_2^2 + \\ &+ bx_1 x_3 + ax_2 x_3 + x_3^2 = a \int_0^{x_1} xg(x) dx + \frac{1}{2} x^T M x, \end{aligned}$$

în care $x = [x_1 \ x_2 \ x_3]^T$ și

$$M = \begin{bmatrix} b^2 & ab & b \\ ab & a^2 + b & a \\ b & a & 2 \end{bmatrix}$$

Funcția $V(x_1, x_2, x_3)$ este pozitiv definită dacă

$$g(x_1) > 0, \quad x_1 \in \mathbb{R}, \quad x_1 \neq 0, \quad (3.37)$$

și dacă matricea M este pozitiv definită. Utilizând criteriul Sylvester (v. anexa D) rezultă că M este pozitiv definită pentru orice $a > 0$, $b > 0$. În concluzie $V(x_1, x_2, x_3)$ este o funcție Liapunov slabă.

Examinând (3.36) se observă că pentru

$$g(x_1) < ab, \quad x_1 \in \mathbb{R}, \quad (3.38)$$

$\dot{V}(x_1, x_2, x_3)$ se poate anula pentru $x_1 = 0$ și $x_3 = 0$. Întrucât acestea, conform ecuațiilor (3.33), implică $x_2 = 0$, ținând seama de teoremele 3 și 4, rezultă că punctul de echilibru $x_1 = x_2 = x_3 = 0$ este global asymptotic stabil. Din (3.34), (3.37) și (3.38) se trage concluzia că rezultatul obținut are loc pentru orice neliniaritate $u = f(y)$ care satisfac condiția de sector, fig. III.29, b,

$$0 < \frac{f(x_1)}{x_1} < ab = K, \quad x_1 \neq 0. \quad (3.39)$$

Având în vedere faptul că (3.39) este o condiție suficientă se pune întrebarea dacă se pot găsi condiții mai bune decât aceasta. Un rezultat

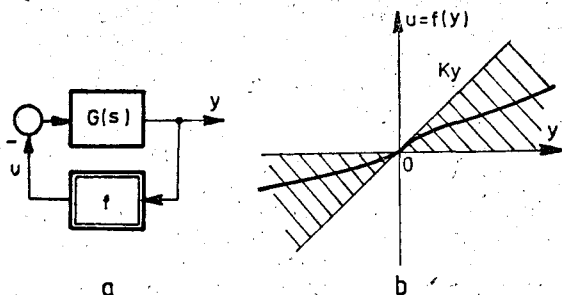


Fig. III.29. a – Structura sistemului automat neliniar pentru abordarea stabilității absolute;
b – Nelinieritatea de tip sector $[0, K]$.

remarcabil în legătură cu condiția de sector (3.39) se obține în cazul în care $f(x_1)$ este liniară, adică în fig. III.29, a avem

$$u = ky, \quad k = \text{const.}$$

Tinând seama de (3.31) ecuația polilor sistemului automat este

$$s^3 + as^2 + bs + k = 0.$$

Aplicind criteriul Hurwitz (teorema 5 de la II.1.1.2) se obține condiția necesară și suficientă de stabilitate asimptotică

$$0 < k < K.$$

Așadar sectorul $(0, K)$, fig. III.29, b, este sectorul maximal în care sistemul automat liniar este asimptotic stabil, motiv pentru care se mai numește și *sectorul Hurwitz*.

Concluzia acestei aplicații este că dacă sectorul adoptat pentru $f(x_1)$ este mai mare decât sectorul Hurwitz atunci, în mod sigur, stabilitatea asimptotică globală a punctului de echilibru nu mai are loc pentru *orice* nelinieritate din sector (ea poate avea loc eventual pentru *anumite* nelinierități). Dacă condiția (3.39) are loc numai pentru $|x_1| < c; c \geq 0$, nu se mai pot face afirmații privitoare la stabilitatea asimptotică globală, dar se pot obține rezultate de stabilitate asimptotică în mic.

3.3. Stabilitatea absolută

Din punctul de vedere al aplicațiilor ne interesează, mai ales în rezolvarea unor probleme de proiectare, determinarea unor condiții de stabilitate asimptotică globală pentru o clasă largă de nelinierități.

O astfel de clasă de neliniarități, semnificativă pentru aplicații, naturală din punct de vedere conceptual (punctul de plecare a fost *conjectura lui Aizerman*, [A6]; v. și 3.3.4) și deosebit de productivă în planul rezultatelor de stabilitate, este

$$C_{[0, K]} = \{f \in \bar{C}^{\circ}; \quad 0 \leq \frac{f(y)}{y} \leq K, \quad y \neq 0\}, \quad K > 0, \quad (3.40)$$

unde \bar{C}° este mulțimea funcțiilor scalare reale, continue pe porțiuni. Se spune că neliniaritățile din $C_{[0, K]}$ satisfac condiția de sector $[0, K]$, fig. III.29, b.

În afara clasei $C_{[0, K]}$ se mai definesc, în mod asemănător și pentru motive care vor fi clarificate în cele ce urmează, și clasele $C_{[\epsilon, K]}$, unde $\epsilon > 0$ este un număr arbitrar de mic, $C_{(0, K)}$ și $C_{(0, +\infty)}$.

Clasele de neliniarități definite mai sus și necesitatea ca sistemul automat cu schema bloc structurală din fig. III.29, a, în care $G(s)$ este funcția de transfer a părții liniare, să se caracterizeze prin soluția $y = 0$ global asimptotic stabilă au condus la formularea conceptului din definiția următoare.

Definiția 5. Sistemul automat cu structura din fig. III.29, a se numește *absolut stabil* dacă soluția $y = 0$ este global asimptotic stabilă pentru orice $f \in C_{[0, K]} (C_{[\epsilon, K]}, C_{(0, K)} \text{ sau } C_{(0, +\infty)})$.

3.3.1. Problema lui Lurie

O abordare clasică în spiritul *definiției 5* a fost problema lui Lurie, [L 4], care a avut la origine o problemă de proiectare din domeniul aviației. Pe scurt această problemă a constat în următoarele.

Fie (A, b, c) o realizare minimală (de ordinul n) a funcției $G(s)$, fracție ratională cu gradul numitorului mai mare ca gradul numărătorului (aceasta înseamnă că perechea (A, b) este complet controlabilă, perechea (A, c) este complet observabilă și $G(s) = c(I_s - A)^{-1}b$). În aceste condiții, conform fig. III.29, a, ecuațiile sistemului automat sint

$$\begin{aligned} \dot{x} &= Ax - bu, \quad t \in \mathbb{R}_+, \quad x \in \mathbb{R}^n, \\ y &= cx, \quad y \in \mathbb{R}, \\ u &= f(y), \quad u \in \mathbb{R}, \end{aligned} \quad (3.41)$$

în care f este o funcție continuă situată în sectorul $(0, +\infty)$.

Utilizându-se o funcție Liapunov de forma

$$V(x, y) = x^T P x + \int_0^y f(y) dy, \quad (3.42)$$

în care P este o matrice reală pozitiv definită, se pot demonstra următoarele rezultate.

Teorema 15. O condiție necesară și suficientă ca $V(x, y)$, asociată sistemului (3.41), cu A matrice hurwitziană și f funcție continuă situată în sectorul $(0, +\infty)$ să fie o funcție Liapunov tare este ca

$$cb > \left(Pb - \frac{1}{2} A^T c^T \right)^T Q^{-1} \left(Pb - \frac{1}{2} A^T c^T \right), \quad (3.43)$$

unde $Q = -(PA + A^T P)$ este o matrice reală pozitiv definită.

Teorema 16. Dacă matricea A este hurwitziană, $\int_0^{+\infty} f(y) dy$ este divergentă și inegalitatea (3.43) este satisfăcută atunci sistemul (3.41) este absolut stabil.

Chestiunea care trebuia efectiv rezolvată era aceea a determinării elementelor matricii linie c , de reacție după starea părții liniare, care asigură stabilitatea absolută a sistemului automat. O rezolvare riguroasă este posibilă prin utilizarea transformărilor canonice Lurie-Letov, [C 3]. O cale mai simplă pentru obținerea unei soluții constă în a fixa pentru produsul cb o anumită valoare $r > 0$, adică $cb = r$, și a adopta factorizarea $Q = R^T R$, unde R este o matrice patratică nesingulară. În aceste condiții, inecuația (3.43) admite soluția

$$c = 2(b^T P + \sqrt{r} v^T R) A^{-1},$$

în care v este un vector arbitrar, cu $v^T v < 1$.

3.3.2. Criteriul Popov

În prima sa formă, criteriul Popov, [P 4], a dat o rezolvare total diferită, și anume în domeniul frecvențelor, a problemei lui Lurie și totodată în ipoteze mai largi, în sensul că $G(s)$ poate avea un pol în origine, restul polilor fiind situați în $\operatorname{Re} s < 0$. Ulterior domeniul de aplicabilitate s-a largit și anume pentru neliniarități din $C_{[0, K]}$, $C_{[e, K]}$ etc., și număr arbitrar de poli în origine, stabilindu-se conexiuni cu metoda directă Liapunov.

Fie sistemul automat neliniar cu schema bloc structurală din fig. III.29, în care funcția de transfer a subsistemului liniar, de stare complet controlabilă și complet observabilă, are forma

$$G(s) = \frac{1}{s^\alpha} \frac{b_m s^m + \dots + b_1 s + 1}{a_n s_n + \dots + a_1 s + 1}. \quad (3.44)$$

Coefficienții a_i, b_j sunt numere reale; $\alpha = 0, 1, 2, \dots$ și $\alpha + n > m$. Coeficientul de amplificare s-a considerat 1, urmărind ca factorul de amplificare al buclei să fie luat în considerare în neliniaritatea $f(y)$.

Din punctul de vedere al distribuției polilor lui $G(s)$ în planul complex se disting următoarele două cazuri.

a) *Cazul principal*: toți polii lui $G(s)$ sunt situați în semiplanul $\text{Re } s < 0$.

b) *Cazul critic*: cel puțin un pol se află pe axa imaginară $\text{Re } s = 0$, iar restul polilor sunt situați în semiplanul $\text{Re } s < 0$.

Rațiunea acestei distincții își are originea în modul în care a fost definită clasa de neliniarități $C_{[0, K]}$. Este evident că dacă sectorul adoptat este $[0, K]$ atunci este posibil să se aleagă $f(y) \equiv 0$, ceea ce înseamnă că sistemul din fig. III.29, a este deschis, funcționalitatea fiindu-i asigurată numai de partea liniară. În cazul critic partea liniară nu poate fi asimptotic stabilă și ca urmare nu se poate pune problema stabilității absolute în cazul sectorului $[0, K]$. Pentru eliminarea acestui inconvenient în cazul critic se va avea în vedere clasa de neliniarități $C_{[\varepsilon, K]}$, unde $\varepsilon > 0$ este arbitrar de mic. Abordarea în acest mod a cazului critic implică necesitatea asigurării stabilității asimptotice globale pentru cazul $f(y) = \varepsilon y$ (cazul liniar), cu $\varepsilon > 0$ arbitrar de mic.

Definiția 6. Sistemul automat neliniar cu schema bloc din fig. II.29, a, cu $G(s)$ în cazul critic și $f(y) = \varepsilon y$, se numește ε -stabil dacă el este asimptotic stabil pentru $\varepsilon > 0$ arbitrar de mic.

Pentru cazurile uzuale ($\alpha = 1, 2$) condițiile ca sistemul automat cu structura din fig. III.29, a să fie ε -stabil sunt ușor de realizat.

Dacă $\alpha = 1$ locul de transfer $\varepsilon G(j\omega)$ începe, pentru $\omega = +0$, la $-\infty$ și pentru $\varepsilon > 0$ arbitrar de mic punctul $(-1, j0)$ rămâne în afara și la stînga locului de transfer. Conform teoremei 7 de la II.3.2.1, sistemul automat este ε -stabil.

Dacă $\alpha = 2$, pentru $s = j\omega$ din (3.44) rezultă

$$G(j\omega) = -\frac{1}{\omega^2} \frac{(1 + b_2\omega^2 + b_4\omega^4 - \dots) + j(b_1\omega - b_3\omega^3 + b_5\omega^5 - \dots)}{(-a_2\omega^2 + a_4\omega^4 - \dots) + j(a_1\omega - a_3\omega^3 + a_5\omega^5 - \dots)},$$

care pentru $\omega > 0$ foarte mic poate fi aproximată prin

$$G(j\omega) \approx -\frac{1}{\omega^2} \frac{1 + jb_1\omega}{1 + ja_1\omega} = -\frac{1}{\omega^2} \frac{1 + a_1b_1\omega^2 + j\omega(b_1 - a_1)}{1 + a_1^2\omega^2}.$$

Este vizibil că pentru $\omega > 0$ foarte mic avem

$$\text{Re } \varepsilon G(j\omega) \approx -\frac{\varepsilon}{\omega^2}, \quad \text{Im } \varepsilon G(j\omega) \approx -\varepsilon \frac{b_1 - a_1}{\omega}.$$

Pentru ca sistemul să fie ϵ -stabil, respectiv pentru satisfacerea condițiilor din teorema 7 de la II.3.2.1, este necesar și suficient ca

$$a_1 < b_1. \quad (3.45)$$

Înainte de a enunța criteriul Popov să justificăm de ce $G(s)$ nu poate avea poli în semiplanul $\operatorname{Re} s > 0$.

Dacă $G(s)$ ar avea poli în $\operatorname{Re} s > 0$ atunci, pentru $f(y) = \epsilon y$, locul rădăcinilor sistemului cu structura din fig. III.29, a ar avea ramuri în $\operatorname{Re} s > 0$, care, pentru $\epsilon > 0$ arbitrar de mic, nu pot părăsi respectivul semiplan. Ca urmare, pentru $f \in C_{[\epsilon, K]}$ nu se poate pune problema stabilității absolute a sistemului automat.

Teorema 17 (Popov). Fie sistemul automat neliniar cu structura din fig. III.29, a, în care $G(s)$ satisfac ipotezele specificate. și $f \in C_{[0, K]}$ — în cazul principal, în care este posibil și $K = +\infty$, sau $f \in C_{[\epsilon, K]}$ — în cazul critic, în care sistemul este ϵ -stabil și K este finit. Atunci sistemul automat neliniar este absolut stabil dacă există $q \in \mathbb{R}$ astfel încât are loc inegalitatea

$$\operatorname{Re} [(1 + jq\omega) G(j\omega)] > -\frac{1}{k}, \quad \omega \geq 0. \quad (3.46)$$

Pentru demonstrația acestei condiții suficiente de stabilitate absolută indicăm consultarea lucrării [P 4].

În cazul critic pentru $K = +\infty$ s-a demonstrat următorul rezultat, [A 7].

Teorema 18. Fie sistemul automat neliniar cu structura din fig. III.29, a în care $G(s)$ are un pol în origine ($\alpha = 1$), restul polilor fiind în semiplanul $\operatorname{Re} s < 0$ și $f \in C_{[0, +\infty)}$.

Atunci sistemul automat neliniar este absolut stabil dacă există $q \in \mathbb{R}$ astfel încit are loc inegalitatea

$$\operatorname{Re} [(1 + jq\omega) G(j\omega)] \geq 0, \quad \omega \geq 0. \quad (3.47)$$

Criteriul Popov a fost extins, [P 5], și pentru cazul în care $G(s)$ conține un element cu timp mort.

Teorema 19. Fie sistemul automat neliniar cu structura din fig. III.29, a în care partea liniară este $G(s) e^{-Ts}$, $T > 0$, cu $G(s)$ în cazul principal și f este continuă cu $f \in C_{[0, K]}$.

Atunci sistemul automat neliniar este absolut stabil dacă există $q > 0$ astfel încit are loc inegalitatea (3.46).

Alte rezultate aplicabile sistemelor cu timp mort se găsesc în [R 2].

Exemplul 3.8. Se consideră sistemul automat neliniar cu structura din fig. III.29, a cu $f \in C_{(0, +\infty)}$ și

$$G(s) = \frac{b_1 s + 1}{s(a_1 s + 1)}, \quad a_1 > 0, \quad b_1 > 0.$$

Se cere să se studieze dacă sistemul este absolut stabil.

În acest caz se poate aplica teorema 18. În conformitate cu (3.47) putem scrie

$$\frac{qa_1 b_1 \omega^2 + q + b_1 - a_1}{a_1^2 \omega^2 + 1} \geq 0, \quad \omega \geq 0.$$

Alegind $q \geq \max(0, a_1 - b_1)$ inegalitatea de mai sus are loc pentru orice $\omega \geq 0$, ceea ce înseamnă că sistemul considerat este absolut stabil pentru $f \in C_{(0, +\infty)}$.

Forma inegalităților (3.46) și (3.47) a readus în mod natural în actualitate noțiunea de *funcție real pozitivă* (utilizată din deceniul 4 în teoria circuitelor electrice), care la rîndul ei a contribuit la introducerea noțiunii de hiperstabilitate (v. IV.3.1).

Definiția 7. Fracția rațională $F(s)$ se numește real pozitivă dacă
1° nu are nici un pol în $\operatorname{Re} s > 0$;

2° polii de pe axa imaginară (atunci cind există) sunt simpli și reziduurile corespunzătoare sunt reale și pozitive;

3° $\operatorname{Re} F(j\omega) \geq 0$ pentru toți $\omega \geq 0$.

Teorema 20. Fie sistemul automat neliniar cu structura din fig. III.29, a în care f este continuă și $f \in C_{(0, \infty)}$.

Atunci sistemul automat neliniar este absolut stabil dacă există $q \in \mathbb{R}$ astfel încât funcția

$$F(s) = (1 + qs) G(s) + \frac{1}{K} \quad (3.48)$$

este real pozitivă.

Două demonstrații diferite al acestei teoreme se găsesc în [S.4] și respectiv în [W.3].

În aplicații este deci necesar să se verifice condițiile 1°, 2° și 3° din definiția 7. Condiția 3° este asemănătoare cu (3.46) și (3.47). Se poate demonstra că 1° și 2° sunt echivalente cu condiția ca polinomul $P(s) + Q(s)$ să fie hurwitzian, unde $F(s) = Q(s)/P(s)$; pentru $F(s)$ de forma (3.48) această condiție trebuie să aibă loc pentru același q pentru care condiția 3° este satisfăcută.

3.3.3. Forma grafică a criteriului Popov

Efectuind calculele în membrul stîng al inegalității (3.46) pentru $G(j\omega) = \operatorname{Re} G(j\omega) + j \operatorname{Im} G(j\omega)$ se obține

$$\operatorname{Re} G(j\omega) - q\omega \operatorname{Im} G(j\omega) > -\frac{1}{K}. \quad (3.49)$$

Introducînd variabilele

$$v = \operatorname{Re} G(j\omega), \quad w = \omega \operatorname{Im} G(j\omega), \quad \omega \geq 0, \quad (3.50)$$

se definește hodograful

$$G_P(j\omega) = \operatorname{Re} G(j\omega) + j\omega \operatorname{Im} G(j\omega), \quad \omega \geq 0, \quad (3.51)$$

numit *locul Popov*, și dreapta

$$v - qw + \frac{1}{K} = 0, \quad (3.52)$$

numită *dreaptă Popov*.

Dacă inegalitatea (3.49) are loc atunci cu (3.50) ea devine

$$v - qw + \frac{1}{K} > 0. \quad (3.53)$$

Dreapta Popov are panta $1/q$ și tăieturile $(-1/K, 0)$ și $(0, 1/Kq)$, fig. III.30. Punctele din planul (v, w) situate la dreapta dreptei Popov satisfac inegalitatea (3.53).

Pentru verificarea grafică a condiției (3.49) se procedează în modul următor: se trasează în planul (v, w) locul Popov (3.51) și în punctul $(-1/K, 0)$ se trasează o dreaptă Popov de pantă $1/q$ astfel încât locul Popov să rămîne în întregime la dreapta ei fig. III.30; dacă și celelalte ipoteze din *teorema 17* sunt satisfăcute atunci sistemul automat neliniar considerat este absolut stabil.

Este evident că punctul $(-1/K, 0)$ fiind dat pot exista o infinitate de drepte Popov pentru care locul Popov rămîne complet la dreapta lor. Dacă nu există o dreaptă Popov, respectiv nu există nici un $q \in \mathbb{R}$, astfel încât locul

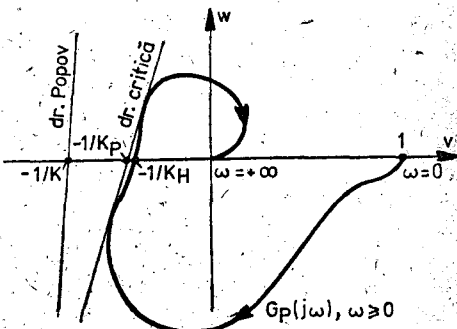


Fig. III.30. Forma grafică a criteriului Popov.

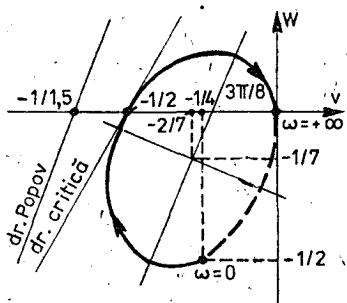


Fig. III.31. Aplicarea criteriului Popov la exemplul 3.9.

Popov să rămînă în întregime la dreapta, teorema 17 nu se poate aplica, dar aceasta nu implică faptul că sistemul automat neliniar considerat nu poate fi absolut stabil (condiția (3.49) nu este și necesară).

Exemplul 3.9. Se consideră sistemul automat neliniar cu structura din fig. III.29, a în care $f \in C[\epsilon, 1.5]$ și

$$G(s) = \frac{1}{s(s^2 + s + 2)}.$$

Se cere să se afle dacă sistemul este absolut stabil.

În conformitate cu (3.50) și (3.51) locul Popov este descris de ecuațiile parametrice:

$$v = -\frac{1}{(\omega^2 - 2)^2 + \omega^2}, \quad w = \frac{\omega^3 - 2}{(\omega^2 - 2)^2 + \omega^2}, \quad \omega \geq 0.$$

Eliminând $\omega^2 = 2 - w/v$ între aceste ecuații se obține

$$2v^2 + w^2 - vw + v = 0,$$

care reprezintă ecuația unei elipse cu centru în punctul $(-2/7, -1/7)$, cu axa mare rotită cu $3\pi/8$ care trece prin punctele $(0, -1/7)$ și $(-1/2, 0)$, fig. III.31. În aceste condiții prin punctul $(-1/1.5, 0)$ se pot duce o infinitate de drepte Popov. Întrucît sistemul este și ϵ -stabil, conform teoremei 17 sistemul automat considerat este absolut stabil.

Cu ajutorul inegalității (3.46) sau pe cale grafică se poate determina valoarea maximă K_P a lui K pentru care dreapta Popov este tangentă la locul Popov, fig. III.30.

Aceasta se numește *dreapta critică*. Întrucît pentru dreapta critică condiția (3.49) nu are loc pentru toți $\omega \geq 0$ rezultă că neliniaritatea se poate situa în sectorul $[0, K_P]$ sau $[\epsilon, K_P]$, numit *sectorul Popov*. În cazul critic sectorul Popov poate fi și $[\epsilon, K_P]$, dar numai dacă locul Popov nu trece prin punctul $(-1/K_P, 0)$, [A 7]. În cazul sistemului de la exemplul 3.9 sectorul Popov este $[\epsilon, 2)$, fig. III.31.

Procedeul de verificare grafică expus mai sus se poate aplica și în cazul teoremelor 18–20. În cazul teoremei 18 dreapta Popov trece prin originea planului (v, w) . În cazul teoremei 20 trebuie să se verifice condițiile 1°, 2° și 3° din definiția 7. Condiția 3° fiind asemănătoare cu (3.46), procedura de verificare grafică rămîne în fond aceeași, cu deosebirea că dreapta Popov poate fi și tangentă la locul Popov.

3.3.4. Conjectura Aizerman

Procedind ca în finalul aplicației de la 3.2.5 vom considera $f(y) = ky$, $k \geq 0$, adică în fig. III.29, a $u = ky$. Sistemul automat fiind liniar, pentru studiul stabilității se poate aplica criteriul Hurwitz (teorema 5 de la II.1.1.2) sau criteriul Nyquist (teorema 7 de la II.3.2.1). Tăietura hodografului $\operatorname{Re} G(j\omega)$, $\omega \geq 0$, pe semiaxă reală negativă (așadar pentru $\operatorname{Im} G(j\omega_0) = 0$) este $kG(j\omega_0) = k \operatorname{Re} G(j\omega_0) = -k/K_H$, unde $K_H = -1/\operatorname{Re} G(j\omega_0)$. Având în vedere ipotezele pe care le satisfacă $G(s)$, aplicind criteriul Nyquist, rezultă că pentru stabilitatea absolută, în cazul $f(y) = ky$ este necesar și suficient ca $-1 < -k/K_H$, respectiv

$$k < K_H. \quad (3.54)$$

Evident constanta K_H definește sectorul $[0, K_H]$, respectiv $[\varepsilon, K_H]$, numit, în virtutea proprietăților sale, *sectorul Hurwitz*.

Având în vedere modul în care a fost definit K_H , rezultă că el poate fi pus în evidență și cu ajutorul locului Popov. Într-adevăr, pentru $\operatorname{Im} G(j\omega_0) = 0$ în (3.51) se obține $G_P(j\omega_0) = \operatorname{Re} G(j\omega_0) = -1/K_H$, ceea ce înseamnă că tăietura locului Popov pe semiaxă reală are abscisa $-1/K_H$, fig. III.30.

Dacă sistemul automat neliniar trebuie să fie absolut stabil atunci, în mod evident, el trebuie să fie absolut stabil și în cazul particular $f(y) = ky$. Se trage concluzia că (3.54) este o condiție necesară de stabilitate absolută, sau cu alte cuvinte sectorul $[0, K]$ (respectiv $[\varepsilon, K]$) nu poate fi nici într-un caz mai mare ca sectorul Hurwitz $[0, K_H]$ (respectiv $[\varepsilon, K_H]$).

Pornind de la faptul că pentru unele sisteme automate neliniare cu $G(s)$ de ordin redus sectorul maxim de stabilitate absolută coincide cu sectorul Hurwitz (în sensul $\sup [0, K] = K_H$, respectiv $\sup [\varepsilon, K] = K_H$), Aizerman [A 6], a enunțat următoarea conjectură: *sectorul maximal de stabilitate absolută coincide întotdeauna cu sectorul Hurwitz*. După cum s-a arătat ulterior, această afirmație este adevărată numai în unele cazuri cum ar fi: $G(s)$ de ordinul doi, de ordinul trei cu cel mult un zero finit, de ordinul patru fără zerouri finite și cu poli complex conjugati suficient de îndepărtați de axa imaginară, de ordin oarecare cu toți polii reali negativi și fără zerouri finite. În toate aceste cazuri studiul stabilității absolute se poate face cu ajutorul criteriului Nyquist și anume în sensul determinării sectorului Hurwitz. Dacă $[0, K] \subset [0, K_H]$, respectiv $[\varepsilon, K] \subset [\varepsilon, K_H]$ atunci sistemul automat considerat este absolut stabil.

Exemplul 3.10. Să se verifice conjectura Aizerman pentru sistemul de la *exemplul 3.9*.

Conform fig. III.31 tăietura locului Popov $G_P(j\omega)$, respectiv a locului de transfer $G(j\omega)$ pe semiaxa reală negativă are loc în punctul $(-1/2, 0)$, ceea ce înseamnă $K_H = 2$. Întrucât prin același punct trece și dreapta critică, rezultă $K_P = 2$. Sectorul Popov coincide cu sectorul Hurwitz; se trage concluzia că sectorul Hurwitz este sectorul maxim de stabilitate absolută, ceea ce implică valabilitatea conjecturii Aizerman.

3.3.5. Criteriul cercului

O extensie a criteriului Popov s-a realizat prin considerarea clasei de funcții

$$C_{[K_1, K_2]} = \left\{ f \in \bar{C}^o; \quad K_1 \leq \frac{f(y)}{y} \leq K_2, \quad y \neq 0 \right\},$$

unde $K_1 < K_2$ sunt două constante reale, pentru care se poate formula o definiție asemănătoare cu *definția 5*.

Problema stabilității absolute a sistemului automat nelinier cu structura din fig. III.29, a a fost abordată în două moduri.

Primul constă în transformarea schemei bloc din fig. III.29, a prin introducerea variabilei

$$\tilde{u} = u - K_1 y \quad (3.55)$$

și a neliniarității

$$\tilde{f}(y) = f(y) - K_1 y, \quad (3.56)$$

care satisfac condiția

$$\tilde{f} \in C_{[0, K_2 - K_1]} \text{ sau } \tilde{f} \in C_{[\varepsilon, K_2 - K_1]}.$$

Întrucât

$$Y(s) = -G(s) U(s), \quad (3.57)$$

prin introducerea relației (3.55), luată în transformate Laplace, în (3.57) se obține

$$Y(s) = \tilde{G}(s) \tilde{U}(s), \quad (3.58)$$

unde

$$\tilde{G}(s) = \frac{G(s)}{1 + K_1 G(s)}. \quad (3.59)$$

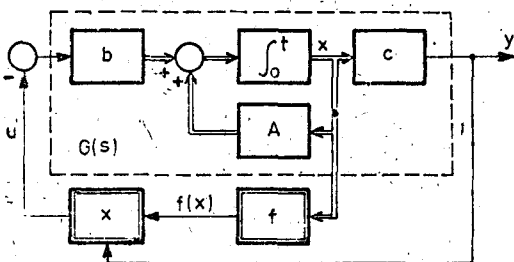


Fig. III.32. Structura sistemului automat neliniar pentru teorema 21 (criteriul cercului).

În acest fel s-a obținut un nou sistem automat neliniar cu schema bloc structurală de forma celei din fig. III.29, a, dar în care partea liniară este (3.59) și partea neliniară are expresia (3.56) cu condiția de sector $[0, K_2 - K_1]$ sau $[\varepsilon, K_2 - K_1]$. Pe această cale problema stabilității absolute pentru clasa de neliniarități $C_{[K_1, K_2]}$ se reduce la aplicarea teoremelor 17–20.

Al doilea mod de abordare este legat de o modificare structurală în schema bloc a sistemului automat neliniar și anume: pentru $G(s)$ se consideră realizarea minimală de ordinul n .

$$\dot{x} = Ax - bu, \quad t \in \mathbb{R}_+, \quad x \in \mathbb{R}^n, \quad (3.60)$$

$$y = cx, \quad y \in \mathbb{R}, \quad (3.61)$$

iar reacția neliniară este de forma, fig. III.32,

$$u = f(x) y, \quad (3.62)$$

unde $f(x)$ este o funcție scalară de starea x și satisfacă condiția

$$K_1 < f(x) < K_2, \quad x \in \mathbb{R}^n. \quad (3.63)$$

Teorema 21. Fie sistemul automat neliniar cu structura din fig. III.32 în care partea liniară este descrisă de (3.60), (3.61), cu $G(s) = c(I_s - A)^{-1}b$, și partea neliniară este de forma (3.62), cu (3.63).

Atunci sistemul automat neliniar are punctul de echilibru $y = 0$ global asymptotic stabil dacă funcția

$$F(s) = \frac{K_2 G(s) + 1}{K_1 G(s) + 1} \quad (3.64)$$

este real pozitivă.

Foarte interesantă este forma grafică a teoremei 21, care justifică de altfel și numele sub care este, cunoscută.

Din condiția 3° a definiției 7; ținând seama de (3.64), se obține

$$\operatorname{Re} \frac{K_2 G(j\omega) + k}{K_1 G(j\omega) + 1} \geq 0, \quad \omega \geq 0. \quad (3.65)$$

Înlocuind mai sus $G(j\omega) = v(\omega) + jw(\omega)$, după calcule relativ simple, rezultă inecuația

$$K_1 K_2 (v^2 + w^2) + (K_1 + K_2)v + 1 \geq 0. \quad (3.66)$$

Din punct de vedere geometric, în planul (v, w) , inecuația (3.66) reprezintă un disc circular D cu centrul

$$C(-(K_1 + K_2)/2K_1 K_2, j0), \quad (3.67)$$

de rază $r = (K_2 - K_1)/2K_1 K_2$ și care are punctele $(-1/K_1, j0)$ și $(-1/K_2, j0)$ diametral opuse.

Condiția (3.66) este echivalentă cu aceea că locul de transfer $G(j\omega)$, $\omega \geq 0$, să rămână în întregime în exteriorul discului D dacă $K_1 K_2 > 0$ și să fie în întregime situat în interiorul discului D dacă $K_1 K_2 < 0$.

În afara de condiția 3° mai trebuie să fie satisfăcute și condițiile 1° și 2° din definiția 7. După cum s-a arătat, acestea pot fi înlocuite cu aceea

ca polinomul $G(s) + \frac{1}{K_1} + G(s) + \frac{1}{K_2}$ să fie hurtwitzian. Întrucât ze-

rourile acestui polinom coincid cu polii fracției

$$\frac{G(s)}{\frac{K_1 + K_2}{2K_1 K_2} + G(s)}$$

se poate aplica criteriul Nyquist (teorema 6 de la II.3.2.1) utilizând tot hodograful $G(j\omega)$. Condițiile 1° și 2° din definiția 7 sunt satisfăcute dacă și numai dacă locul de transfer $G(j\omega)$ înconjoară punctul C , relația (3.67),

în sens pozitiv de $\left(n_+ + \frac{1}{2} n_0\right)$ ori atunci cind ω crește de la $-\infty$ a $+\infty$,

unde n_+ și n_0 sunt numerele de poli ai lui $G(s)$ în semiplanul $\operatorname{Re} s > 0$ și respectiv pe axa $\operatorname{Re} s = 0$.

Având în vedere toate aceste caracterizări de natură grafică se poate enunța o formă echivalentă a teoremei 21.

Teorema 22 (criteriul cercului). Fie sistemul automat neliniar cu structura din fig. III.32, în care partea liniară este descrisă de (3.60), (3.61),

cu $G(s) = c(I_s - A)^{-1}b$ și avind n_+ poli în $\operatorname{Re} s > 0$, respectiv n_0 poli pe $\operatorname{Re} s = 0$, și partea neliniară este de forma (3.62), cu (3.63). Atunci sistemul automat neliniar are punctul de echilibru $y=0$ global asimptotic stabil dacă locul de transfer $G(j\omega)$ înconjoară centrul discului (3.66) în sens pozitiv de $\left(n_+ + \frac{1}{2}n_0\right)$ ori atunci cînd ω variază de la $-\infty$ la $+\infty$ și pentru $K_1K_2 > 0$ ($K_1K_2 < 0$) este complet în exteriorul (interiorul) discului (3.66).

Criteriul cercului constituie, într-un anumit sens, o generalizare a criteriului Nyquist deoarece pentru $K_2 \rightarrow K_1$ primul reproduce partea suficientă a celui de al doilea.

Teorema 22 rămîne valabilă și pentru cazul în care funcția f depinde și de timp și ea se aplică în special pentru determinarea constantelor K_1 și K_2 , care dau o formă concretă condiției (3.63), prin trasarea în planul locului de transfer $G(j\omega)$, dacă este posibil, a unor cercuri cu centrul pe axa reală astfel încît să fie satisfăcute condițiile *teoremei 22*.

Exemplul 3.11. Se consideră un servosistem de poziționare cu structura din fig. III.32 în care $G(s) = \frac{1}{s(s+a)}$, cu $a > 0$ și neliniaritatea (traductorul de poziție) se caracterizează prin sensibilitatea

$$f(y, \dot{y}) = k + \varepsilon g(y, \dot{y}).$$

Funcția $g(y, \dot{y})$, care satisfacă condiția de mărginire

$$g(y, \dot{y}) \leq 1, \quad (y, \dot{y}) \in \mathbb{R}^2,$$

evidențiază erorile sistematice, constructive și aleatoare pe care le introduce în regim dinamic traductorul de poziție.

Se cere să se determine în planul parametrilor $k > 0$ și $\varepsilon \in \mathbb{R}$ domeniul pentru care $y = 0$ este global asimptotic stabilă.

Locul de transfer $G(j\omega)$, $\omega \in \mathbb{R}$ este reprezentat în fig. III.33. Toate cercurile care se pot trasa la stînga verticalei $-1/a^2$ pot avea diametre arbitrar de mari. Asimptota însăși este un cerc de diametru infinit. În aceste condiții $y = 0$ este global asimptotic stabilă dacă $0 < f(y, \dot{y}) < a^2$. Această dublă inegalitate este satisfăcută pentru $k > |\varepsilon|$ și $k < a^2 - |\varepsilon|$, cu $|\varepsilon| < a^2$, domeniul D' în fig. III.34.

Pentru cercurile care pot fi tangente la locul de transfer $G(j\omega)$ diametrele cresc pe măsură ce centrele lor se îndepărtează de origine, spre stînga. Considerind $K_1 = k - |\varepsilon|$ și $K_2 = k + |\varepsilon|$ și ținînd seama că

$$v(\omega) = \operatorname{Re} G(j\omega) = -\frac{1}{\omega^2 + a^2}, \quad w(\omega) = \operatorname{Im} G(j\omega) = -\frac{a}{\omega(\omega^2 + a^2)},$$

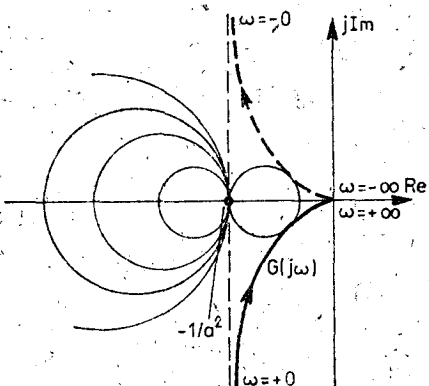


Fig. III.33. Aplicarea criteriului cercului la exemplul 3.11.

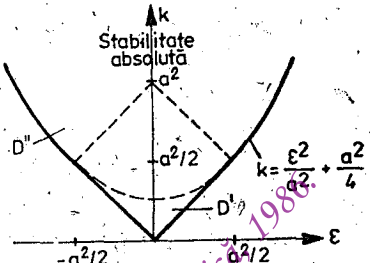


Fig. III.34. Domeniu parametric de stabilitate absolută la exemplul 3.11.

din (3.66) rezultă

$$\omega^4 + (a^2 - 2k)\omega^2 + k^2 - \epsilon^2 \geq 0, \quad \omega \in \mathbb{R}.$$

Această inecuație este satisfăcută pentru orice $\omega \in \mathbb{R}$ dacă și numai dacă $k \geq \epsilon^2/a^2 + a^2/4$. Întrucât de fapt $K_1 < f(y) < K_2$, rezultă că domeniul corespunzător este $k > \epsilon^2/a^2 + a^2/4$, domeniul D' în fig. III.34. Soluția căutată este în mod evident $D' \cup D''$, fig. III.34.

3.3.6. Criteriul Popov pentru sisteme discrete

Schema bloc structurală a unui sistem automat neliniar discret are în principiu forma din fig. III.29, a, în care partea liniară conține structural și un element de eșantionare-memorare cu perioada T (v. I.1.4.8). Ca urmare partea liniară se caracterizează prin funcția de transfer în z $G(z)$ sau prin $G^*(s) = G(z)|_{z=e^{Ts}}$ (v. anexa B).

Prinul rezultat care a extins criteriul Popov la cazul sistemelor discrete este următorul, [T 2].

Teorema 23 (Tipkin). Fie sistemul automat neliniar cu structura din fig. III.29, a în care partea liniară este descrisă de $G^*(s)$, corespunzătoare funcției de transfer $G(s)$ care are toți polii în $\text{Re } s < 0$, și $f \in C_{(0,K)}$.

Atunci sistemul automat neliniar este absolut stabil dacă

$$\operatorname{Re} G^*(j\omega) + \frac{1}{K} > 0, \quad \omega \in \left[0, \frac{2\pi}{T}\right]. \quad (3.68)$$

Este evident că acest rezultat este, într-un anume sens, și o extindere a criteriului Nyquist pentru sisteme discrete (v. teorema 12 de la II.3.4.1).

Pentru cazul în care $G(s)$ are poli și în $\operatorname{Re} s > 0$ s-a obținut un rezultat de stabilitate absolută, dar pentru $f \in C_{(K_1, K_2)}$. Condiția frecvențială (3.68) se aplică acum funcției

$$\tilde{G}^*(s) = \frac{G^*(s)}{1 + K_1 G^*(s)},$$

care se obține exact în același mod în care a fost obținută funcția (3.59) și anume prin introducerea variabilei

$$\tilde{u}^*(t) = u^*(t) - K_1 y^*(t)$$

și a neliniarității

$$\tilde{f}(y^*) = f(y^*) - K_1 y^*.$$

În acest fel $\tilde{f} \in C_{(0, K)}$, unde $K = K_2 - K_1$.

Dacă $G(s)$ nu are poli în $\operatorname{Re} s > 0$, K_1 este posibil să fie arbitrar de mic ceea ce înseamnă că se poate considera sectorul $(0, K)$ și să se aplique condiția frecvențială (3.68).

Exemplu 3.12 Se consideră un servosistem de poziționare în care partea liniară conține un servomotor cu funcția de transfer $G(s) = \frac{1}{s(s+a)}$, cu $a > 0$, precedat

de un element de eșantionare cu perioada T , și partea neliniară este $f \in C_{(K_1, K_2)}$.

Se cere să se determine constantele K_1, K_2 .

După cum se știe funcția de transfer în z corespunzătoare lui $G(s)$ este (v. anexa B)

$$G(z) = \frac{(1 - e^{-aT}) z}{a(z - 1)(z - e^{-aT})}.$$

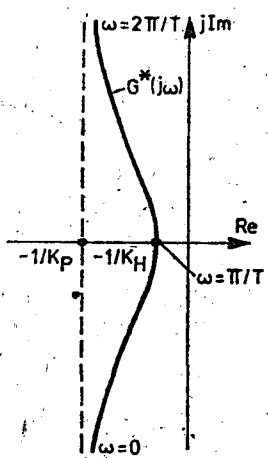


Fig. III.35. Aplicarea criteriului Tipkin la exemplul 3.12.

Întrucât

$$\min_{0 \leq \omega \leq \pi} \operatorname{Re} G^*(j\omega) = \operatorname{Re} G^*(j\omega)|_{\omega=0} = -\frac{1}{a} \left(\frac{1}{2} + \frac{(\cos T\omega - e^{-aT}) e^{-aT}}{1 + e^{-2aT} - 2e^{-aT} \cos T\omega} \right) |_{\omega=0} = -\frac{1 + e^{-aT}}{2a(1 - e^{-aT})} = -\frac{1}{K_P},$$

din (3.68) se obține

$$K_2 < K_P < K_H.$$

3.4.7. Stabilitatea absolută pe componente

Se consideră sistemul dinamic descris de ecuația

$$\dot{x} = f(t, x), \quad t \in \mathbf{R}_+, \quad x \in \mathbf{R}^n, \quad (3.69)$$

cu condiția inițială $x(t_0) = x_0$ și punctul de echilibru $x = 0$.

În conformitate cu atributele uzuale ale sistemelor dinamice se poate afirma că starea x a sistemului (3.69) trebuie să evolueze, de regulă, numai într-o submulțime compactă (închisă și mărginită) $X \subset \mathbf{R}^n$. O caracterizare în acest sens a sistemelor dinamice liniare constante pe baza metodei invariantei de flux, [P 3-4], a făcut obiectul lucrărilor [V 2-8]. Vom arăta în continuare că este posibilă extinderea respectivei caracterizări și pentru sistemul neliniar (3.69) [V 13].

Pentru abordarea problemei de mai sus și pentru prezentarea rezultatelor într-o formă concisă se fac mai întii cîteva convenții privitoare la notații și se definesc elementele necesare tratării problemei propuse. Fie $v = (v_i)$ și $w = (w_i)$ doi vectori din \mathbf{R}^n . Se notează prin $|v|$ vectorul cu componentele $|v_i|$ și prin $v \leq w$ ($v < w$) sau prin $v \geq w$ ($v > w$) inegalitățile $v_i \leq w_i$ ($v_i < w_i$) sau respectiv $v_i \geq w_i$ ($v_i > w_i$), $i = 1, \dots, n$. Fie $V \subset \mathbf{R}^n$ o submulțime compactă și fie $z = (z_1, \dots, z_n)$ un anumit punct din V . Se notează prin \mathcal{C}_v^z operatorul care fixează pe $\varphi: \mathbf{R}^n \rightarrow \mathbf{R}^n$ în $z \in V$ de o manieră diagonală, adică $\mathcal{C}_v^z\{\varphi(v)\} = [\varphi_1(z_1, v_2, \dots, v_n), \dots, \varphi_i(v_1, \dots, v_{i-1}, z_i, v_{i+1}, \dots, v_n), \dots, \varphi_n(v_1, \dots, v_{n-1}, z_n)]^T$. Se mai notează prin $\max \mathcal{C}_v^z\{\varphi(v)\}$, $v \in V$, vectorul cu componentele $\max \varphi_i(v_1, \dots, z_i, \dots, v_n)$, $i = 1, \dots, n$, $v \in V$.

Fie $\gamma: \mathbf{R}_+ \rightarrow \mathbf{R}^n$ o funcție diferențială cu componentele γ_i și $\gamma(t) > 0$, $t \in \mathbf{R}_+$, și hiperintervalul dependent de timp

$$X(t) = \{v \in \mathbf{R}^n; |v| \leq \gamma(t)\}, \quad t \in \mathbf{R}_+. \quad (3.70)$$

Întrucît vom studia evoluția stării sistemului (3.69) în $X(t)$ sub aspectul stabilității, se impune ca $\gamma(t)$ să aibă proprietatea

$$\lim_{t \rightarrow \infty} \gamma(t) = 0. \quad (3.71)$$

Definiția 8. Punctul de echilibru $x = 0$ al sistemului (3.69) se numește *asimptotic stabil pe componentă în raport cu $\gamma(t)$* (ASC γ) dacă pentru orice $t_0 \in \mathbf{R}_+$ și pentru orice $x_0 \in X(t_0)$ răspunsul sistemului satisfac condiția

$$|x(t)| \leq \gamma(t), \quad t \geq t_0. \quad (3.72)$$

În condițiile în care funcția f din (3.69) satisfac condițiile de existență și de unicitate de la I.2.2 și în conformitate cu [P 3] $x = 0$ este ASC γ dacă și numai dacă $X(t)$ este invariантă pentru sistemul (3.69), respectiv dacă și numai dacă

$$\lim_{h \rightarrow 0} h^{-1} d(v + hf(t; v); X(t)) = 0 \quad (3.73)$$

pentru orice $(t, x_0) \in \mathbf{R}_+ \times X(t_0)$. Prin $d(v; V)$ s-a notat distanța de la $v \in \mathbf{R}^n$ la submulțimea $V \subset \mathbf{R}^n$.

Teorema 24. Punctul de echilibru $x = 0$ al sistemului (3.69) este ASC γ dacă și numai dacă

$$\max_{\substack{i \geq 0 \\ |v| \leq \gamma}} [\mathcal{C}_v^{\pm \gamma} \{\pm f(t, v)\} - \dot{\gamma}(t)] \leq 0. \quad (3.74)$$

D. În virtutea formei particulare a hiperintervalului (3.70) rezultă că (3.73) este echivalentă cu

$$\begin{aligned} -\gamma(t) - h\dot{\gamma}(t) - hr(h) &\leq v + hf(t, v) + hr(h) \leq \\ &< \gamma(t) + h\dot{\gamma}(t) + h\bar{r}(h), \end{aligned} \quad (3.75)$$

pentru orice $(t, v) \in \mathbf{R}_+ \times X(t)$, pentru $h > 0$, suficient de mic, și pentru anumite funcții $\gamma: \mathbf{R}_+ \rightarrow \mathbf{R}^n$, $r: \mathbf{R}_+ \rightarrow \mathbf{R}^n$ și $\bar{r}: \mathbf{R}_+ \rightarrow \mathbf{R}^n$, cu $\gamma(h) \rightarrow 0$, $r(h) \rightarrow 0$ și $\bar{r}(h) \rightarrow 0$ pentru $h \searrow 0$.

Înlocuind v succesiv în (3.75) cu $(\pm\gamma_1(t), v_2, \dots, v_n)$, ..., $(v_1, \dots, v_{i-1}, \pm\gamma_i(t), v_{i+1}, \dots, v_n)$, ..., $(v_1, \dots, v_{n-1}, \pm\gamma_n(t))$ și simplificind prin $h > 0$ rezultă că (3.75) este echivalentă cu

$$\mathcal{C}_v^{\pm\gamma}\{\pm f(t, v)\} \leq \dot{\gamma}(t) \quad (3.76)$$

pentru orice $(t, v) \in \mathbf{R}_+ \times X(t)$, în care semnele care preced pe γ și f trebuie să coincidă. În aceste circumstanțe este evident că (3.76) este echivalentă cu (3.74). ■

Este ușor de observat că inegalitatea (3.72), sub condiția (3.71), poate fi îndeplinită numai dacă punctul de echilibru $x = 0$ este asimptotic stabil. În consecință inegalitatea (3.74) este o condiție suficientă de *stabilitate asimptotică* a punctului $x = 0$. Mai mult, mulțimea

$$X_{AS} = \{v \in \mathbf{R}^n; |v| \leq \max_{\mathbf{R}_+} \gamma(t)\}$$

este una din *regiunile de stabilitate asimptotică* a punctului de echilibru $x = 0$ al sistemului (3.69).

În acest context, evident, se poate pune și problema *stabilității asimptotice globale pe componente* a punctului de echilibru $x = 0$. Se pot identifica mai multe posibilități de definire consistentă a ei. Una dintre cele mai simple și naturale este următoarea.

Definiția 9. În definiția 8 se înlocuiește $\gamma(t)$ cu $\rho\gamma(t)$, $\rho \geq 1$. Sistemul dinamic (3.69) se numește *ASC γ* ($x = 0$ este *global ASC γ*) dacă $x = 0$ este *ASC γ* pentru orice $\rho \geq 1$.

Teorema 25. Sistemul dinamic (3.69) este *ASC γ* dacă și numai dacă

$$\max_{\substack{t \geq 0 \\ |\dot{v}| \leq \gamma \\ \rho \geq 1}} \left[\frac{1}{\rho} \mathcal{C}_v^{\pm\gamma}\{\pm f(t, \rho v)\} - \dot{\gamma}(t) \right] \leq 0. \quad (3.77)$$

Ca și mai sus, este evident că (3.77) este o condiție suficientă de *stabilitate asimptotică globală* a punctului $x = 0$.

Rezultatul enunțat prin teorema 25 generalizează cea ce s-a obținut în [V 2-3] pentru sistemul

$$\ddot{x} = Ax, \quad t \in \mathbf{R}_+, \quad x \in \mathbf{R}^n, \quad (3.78)$$

în care \bar{A} este o matrice $(n \times n)$ reală, cu elemente constante. Forma particulară corespunzătoare a teoremei 25 este următoarea.

Teorema 26. (Voicu). Sistemul dinamic (3.78) este ASC γ dacă și numai dacă

$$\max_{\mathbf{R}_+} [\bar{A}\gamma(t) - \dot{\gamma}(t)] \leq 0. \quad (3.79)$$

Privitor la notația \bar{A} amintim că ea a fost definită la II.2.1.1, relația (2.25).

După cum s-a arătat în [V 2–3], pentru sistemul (3.79), stabilitatea asimptotică pe componente este echivalentă cu *stabilitatea exponentială asimptotică pe componente*. Definițiile acestui tip de stabilitate și caracterizările corespunzătoare ale sistemului (3.69) sunt următoarele.

Definiția 10. Punctul de echilibru $x = 0$ al sistemului (3.69) se numește EASC ($E = \text{exponențial}$) dacă există $\alpha > 0$ (vector) și $\beta > 0$ (scalar) astfel încât pentru orice $t_0 \in \mathbf{R}_+$ și pentru orice x_0 , cu $|x_0| \leq \alpha$, răspunsul sistemului satisfacă inegalitatea

$$|x(t)| \leq \alpha e^{-\beta(t-t_0)}, \quad t \geq t_0. \quad (3.80)$$

Definiția 11. În definiția 10 se înlocuiește α cu $\rho\alpha$, $\rho \geq 1$. Sistemul dinamic (3.69) se numește EASC ($x = 0$ este *global EASC*) dacă $x = 0$ este EASC pentru orice $\rho \geq 1$.

Teorema 27. Punctul de echilibru $x = 0$ al sistemului (3.69) este EASC dacă și numai dacă

$$\max_{\substack{t \geq 0 \\ |v| \leq \alpha}} [e^{\beta t} \mathcal{C}_v^{\pm \alpha} \{ \pm f(t, v e^{-\beta t}) \}] \leq -\beta\alpha. \quad (3.81)$$

Teorema 28. Sistemul dinamic (3.69) este EASC dacă și numai dacă

$$\max_{\substack{t \geq 0 \\ |v| \leq \alpha \\ \rho \geq 1}} \left[\frac{1}{\rho} e^{\beta t} \mathcal{C}_v^{\pm \alpha} \{ \pm f(t, \rho v e^{-\beta t}) \} \right] \leq -\beta\alpha. \quad (3.82)$$

Pentru a introduce în mod natural noțiunea de *stabilitate absolută pe componente* vom prezenta, în conformitate cu [V 2–3], o caracterizare a sistemului (3.78) în legătură cu definiția 11.

Teorema 29. Pentru sistemul dinamic (3.78) următoarele condiții sunt echivalente:

1° Sistemul (3.78) este EASC;

2° $\bar{A}\alpha \leq -\beta\alpha$;

$$3^{\circ} \quad 0 < \beta \leq \min_i \left(-a_{ii} - \frac{1}{\alpha_i} \sum_{\substack{j=1 \\ j \neq i}}^n |a_{ij}| \alpha_j \right),$$

unde a_{ij} și α_j , $i, j = 1, \dots, n$, sunt elementele lui A și respectiv componentele lui α ;

$$4^{\circ} \quad \bar{A}\alpha < 0;$$

5° $-\bar{A}$ este o M -matrice (definiția lui $-\bar{A}$ ca M -matrice este $-\bar{A}\alpha > 0$);

$$6^{\circ} \quad \bar{A} \text{ este hurwitziană};$$

$$7^{\circ} \quad \bigcup_{i=1}^n G_i(A_\alpha) \subset \{s \in \mathbb{C}; \operatorname{Re} s < 0\},$$

unde $G_i(A_\alpha)$ sunt discurile lui Gherșgorin asociate matricii A_α (v. II.2.1.1, relația (2.20));

$$8^{\circ} \quad (-1)^k \bar{A}_k > 0, \quad k = 1, \dots, n,$$

unde \bar{A}_k sunt minorii principali diagonali ai matricii \bar{A} ;

$$9^{\circ} \quad (-\bar{A})^{-1} \geq 0 \text{ (toate elementele sunt nenegative).}$$

Forma de inegalitate a condiției (3.82) sugerează o posibilitate de abordare a problemei stabilității sistemelor dinamice neliniare matriceale

$$\dot{x} = F(t, x) x, \quad t \in \mathbb{R}_+, \quad x \in \mathbb{R}^n, \quad (3.83)$$

în care $F(t, x)$ este o matrice $(n \times n)$ continuă și adekvat mărginită.

Pentru scopurile noastre mărginirea lui $F(t, x)$ trebuie înțeleasă în sensul următor: există $\alpha > 0$ (vector), $\beta > 0$ (scalar) și o matrice constantă A astfel încât

$$\mathcal{C}_v^{\pm\alpha} \{F(t, \rho v e^{\pm\theta t})\} \leq \bar{A}, \quad t \in \mathbb{R}_+, \quad |v| \leq \alpha, \quad \rho \geq 1, \quad (3.84)$$

în care $\mathcal{C}_v^{\pm\alpha}$ se aplică fiecărui coloană a matricii \bar{F} și inegalitatea între matrici are semnificația de inegalitate între perechile omoloage de elemente ale matricilor.

Evident există o clasă nevidă $\mathfrak{F}\bar{A}$ de matrici $F(t, x)$ care satisfac (3.84). În aceste condiții sistemul (3.78) se numește \mathcal{C} -majorantul liniar pe componente al sistemului (3.83).

Definiția 12. Sistemul dinamic (3.83) se numește *absolut stabil pe componente* dacă el este EASC pentru orice $F \in \mathfrak{F}\bar{A}$.

Theoremă 30. Sistemul dinamic (3.83) este absolut stabil pe componente dacă și numai dacă \mathcal{C} -majorantul liniar pe componente (3.78) este EASC.

D. Suficiența. Se observă mai întii că pentru $t \in \mathbf{R}_+$, $|v| \leq \alpha$, $\rho \geq 1$ și $F \in \mathcal{F}_{\bar{A}}$ putem scrie

$$\begin{aligned} \mathcal{C}_v^{\pm\alpha} \{ \pm F(t, \rho v e^{-\beta t}) v \} &\leq \mathcal{C}_v^{\pm\alpha} \{ \bar{F}(t, \rho v e^{-\beta t}) \alpha \} = \\ &= \mathcal{C}_v^{\pm\alpha} \{ \bar{F}(t, \rho v e^{-\beta t}) \alpha \} \leq \bar{A} \alpha. \end{aligned} \quad (3.85)$$

Dacă (3.78) este EASC, atunci, în conformitate cu (3.85), și cu 2° de la teorema 29, se poate scrie

$$\mathcal{C}_v^{\pm\alpha} \{ \pm F(t, \rho v e^{-\beta t}) v \} \leq \bar{A} \alpha \leq -\beta \alpha$$

pentru $t \geq 0$, $|v| \leq \alpha$, $\rho \geq 1$ și $F \in \mathcal{F}_{\bar{A}}$. Având în vedere teorema 28 (aplicată sistemului (3.83)) și definiția 12 rezultă că sistemul (3.83) este absolut stabil pe componente.

Necesitatea este evidentă dacă se adoptă $F(t, x) = \bar{A}$. ■

Pentru o clasă de sisteme dinamice de forma (3.83), care descriu anumite procese tehnico-economice, ecologice, biologice (farmacocinetice) sau circuite cu tranzistoare, prin aplicarea metodei directe Liapunov, Šiljak a studiat stabilitatea asimptotică conectivă, [S 5]. Definind clasa de matrici $\mathfrak{M}_{\bar{A}}$ pentru care $F(t, x) \in \bar{A}$, $t \in \mathbf{R}_+$, $x \in \mathbf{R}^n$, în [S 5] se dă o caracterizare a sistemului (3.83) în termenii „stabilității exponentiale absolute și conective” conform căreia starea sistemului poate fi evaluată prin

$$\|x(t)\| \leq k e^{-\varepsilon(t-t_0)}, \quad t \geq t_0, \quad (3.86)$$

unde $\|\cdot\|$ este normă euclidiană, $k > 0$ (dependent de componentele lui α) și $0 < \varepsilon \leq \beta_{\max}$. În acest context trebuie să remarcăm că dacă (3.83) este absolut stabil pe componente atunci el este și exponential absolut și conectiv stabil deoarece evaluarea temporală detaliată (3.80) implică evaluarea (3.86). Cu toate acestea clasa $\mathcal{F}_{\bar{A}}$ este mai largă decât clasa $\mathfrak{M}_{\bar{A}}$. Pentru justificarea acestei afirmații vom examina un exemplu.

Exemplul 3.13. Se consideră (3.83) cu $n=1$ și $\bar{A}=-1$. Pentru $F(t, x) = -e^{2t}|x|$ avem $F \notin \mathfrak{M}_{-1}$ deoarece $-e^{2t}|x| \leq 0$, $t \in \mathbf{R}_+$, $x \in \mathbf{R}$, adică $F \in \mathfrak{M}_0$; evident \mathfrak{M}_0 nu poate fi o clasă pentru care (3.83) este exponential absolut și conectiv stabil. În același timp pentru $\alpha=1$ și $\beta=1$ avem $F \in \mathfrak{F}_{-1}$ deoarece $-\rho e^{2t}e^{-t} \leq -1$, $t \in \mathbf{R}_+$, $\rho \geq 1$. Realmente, soluția Cauchy a sistemului $\dot{x} = -e^{2t}|x|$ este $x(t) = 2x_0/[2 + |x_0|(e^{2t} - e^{2t_0})]$, $t \geq t_0 \geq 0$, și ea satisfacă condiția $|x| \leq \rho e^{-(t-t_0)}$, $t \geq t_0 \geq 0$, pentru orice $|x_0| \leq \rho$, $\rho \geq 1$, adică sistemul considerat este EASC.

Tehnici de analiză a stabilității sistemele automate multivariabile

1. Sisteme automate multivariabile liniare

În capitolele II și III s-au avut în vedere în primul rînd sistemele automate monovariabile. Metodele de analiză a stabilității expuse acolo se aplică, în anumite condiții, și sistemelor automate multivariabile. Precizăm că prin sisteme automate multivariabile se înțeleg sistemele cu mai mult de o mărime reglată și cu mai mult de un circuit de reacție negativă.

Faptul că astfel de sisteme se întâlnesc tot mai frecvent în practica inginerescă și că metodele de analiză și de sinteză dezvoltate pentru sistemele automate monovariabile nu conduc întotdeauna la rezultatele scontante sau nu se pot aplica în formele lor originare a avut ca urmare elaborarea unor metode specifice sistemelor automate multivariabile.

Ca exemple de sisteme automate multivariabile se pot aminti următoarele:

— Reglarea automată a unui bloc turbină-generator sincron funcționând în regim insular, situație în care se reglează frecvența și tensiunea.

— Reglarea automată a unui generator de abur. În acest caz este vorba despre un sistem cu un număr mare de mărimi reglate și de reacții. Principalele mărimi reglate sunt: debitul de combustibil, debitul de aer de ardere, depresiunea în focar, conținutul de oxid de carbon în gazele arse, nivelul apei în tambur și presiunea aburului produs.

— Reglarea automată a unei coloane de distilare, situație în care, obișnuit, se reglează nivelul și temperatura unui fluid.

— Climatizarea automată în spații de locuit sau în spații în care se aplică tehnologii speciale. În acest caz se reglează temperatura și umiditatea aerului.

Pentru a putea aprecia complexitatea problemelor care se pun la reglarea automată a unor sisteme multivariabile vom examina un exemplu simplu.

Exemplul 1.1. Se consideră sistemul cu schema funcțional-tehnologică din fig. IV. 1, a, care se folosește pentru a realiza amestecul a două lichide miscibile. Se presupune că temperaturile lor, θ_1 și θ_2 , sunt constante, cu $\theta_1 < \theta_2$. Debitele q_1 și q_2 pot fi modificate prin ventilele V_1 și V_2 , respectiv prin mărimile corespunzătoare de comandă v_1 și v_2 . Mărimile regulate ale sistemului sunt temperatura θ și debitul q ale amestecului de fluide. Evident, această reglare poate avea loc numai prin comenziile v_1 și v_2 pe baza măsurării adecvate a mărimilor θ și q .

Față de un regim de funcționare dat, pentru miciile abateri staționare ale tuturor mărimilor putem scrie

$$\Delta\theta_s = k_{11} \Delta v_{1s} + k_{12} \Delta v_{2s}$$

$$\Delta q_s = -k_{21} \Delta v_{1s} + k_{22} \Delta v_{2s},$$

unde $k_{ij} > 0$, $i, j = 1, \dots, 4$, și indicele s pune în evidență faptul că relațiile de mai sus se referă la regimul staționar.

Comportarea în regim dinamic a sistemului diferă de cea corespunzătoare regimului staționar. Variatiile Δv_1 și Δv_2 își manifestă efectul asupra lui $\Delta\theta$ cu anumite întârzieri caracterizate prin constantele de timp T_1 și T_2 . Asupra lui Δq variatiile Δv_1 și Δv_2 nu se manifestă cu întârziere atât timp cât fluidele în cauză sunt incompresibile. În aceste condiții, în transformate Laplace, sistemul considerat este descris de ecuațiile

$$\Delta\theta(s) = \frac{k_{11}}{T_1 s + 1} \Delta V_{1s}(s) + \frac{k_{12}}{T_2 s + 1} \Delta V_{2s}(s)$$

$$\Delta q(s) = -k_{21} \Delta V_{1s}(s) + k_{22} \Delta V_{2s}(s).$$

Schema bloc structurală a sistemului este reprezentată în fig. IV. 1, b (numai conexiunile traseate cu linie continuă). Ceea ce rezultă cu evidență din această schemă este

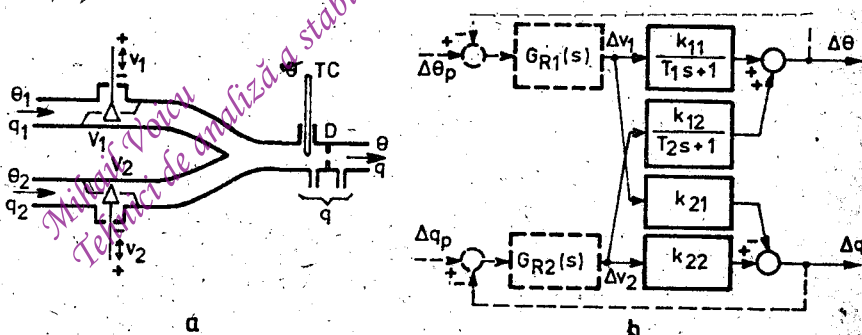


Fig. IV. 1. Sistem pentru amestecarea a două lichide:

a — schema funcțional-tehnologică; V_1, V_2 — ventile; TC — termometru; D — diafragmă;
b — schema bloc structurală a sistemului cu reglare automată de temperatură și de debit.

faptul că Δv_1 și Δv_2 influențează simultan mărimile reglate $\Delta\theta$ și Δq . Acest fapt se datorează cuplajului intern al sistemului.

Conform schemei din fig. IV.1, b, $G_{R1}(s)$ este regulatorul de temperatură și $G_{R2}(s)$ este regulatorul de debit. Pentru $\Delta\theta > 0$ primul regulator determină răcirea amestecului de lichide prin creșterea debitului q_1 al lichidului mai rece, iar pentru $\Delta q > 0$ cel de al doilea regulator determină reducerea debitului q_2 al lichidului mai cald. Este foarte clar că cele două regulatoare nu pot acționa independent. Orice variații, atât ale temperaturii θ cât și ale debitului q , atrag după sine acționarea ambelor regulatoare datorită cuplajului intern al sistemului.

1.1. Tehnici de localizare a polilor

1.1.1. Determinantul caracteristic

Schema bloc structurală standard a unui sistem automat multi-variabil are forma din fig. IV.2, în care $G_F(s)$ este matricea de transfer a părții fixate (elementele de execuție, instalația automatizată și traducătoarele) și $G_R(s)$ este matricea de transfer a regulatoarelor. Elementele acestor matrici sunt fracții raționale.

Conform fig. IV.2 ecuațiile care descriu funcționarea sistemului sint

$$Y(s) = G_F(s)W(s), \quad (1.1)$$

$$W(s) = G_R(s)U(s), \quad (1.2)$$

$$U(s) = V(s) - Y(s), \quad (1.3)$$

în care u , y , $v \in \mathbb{R}^m$ și w are dimensiuni arbitrară și matricele $G_R(s)$ și $G_F(s)$ au dimensiuni adecvate.

Relația intrare- ieșire se obține eliminind $U(s)$ și $W(s)$ între ecuațiile (1.1)–(1.3). Putem scrie succesiv

$$\begin{aligned} Y(s) &= G_F(s)G_R(s)[V(s) - Y(s)], \\ [I_m + G_F(s)G_R(s)]Y(s) &= G_F(s)G_R(s)V(s), \end{aligned} \quad (1.4)$$

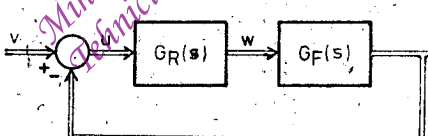


Fig. IV.2. Schema bloc structurală a unui sistem automat multi-variabil.

în care I_m este matricea unitate de ordinul m .

Din (1.4) rezultă

$$Y(s) = G_0(s)V(s), \quad (1.5)$$

în care s-a notat cu

$$G_0(s) = [I_m + G(s)]^{-1}G(s) \quad (1.6)$$

matricea de transfer a sistemului automat, iar în (1.6)

$$G(s) = G_F(s)G_R(s) \quad (1.7)$$

este matricea de transfer a sistemului deschis.

Precizăm că la explicitarea lui $Y(s)$ din ecuația (1.4) s-a presupus că

$$F(s) = \det [I_m + G(s)] \neq 0, \quad s \in \mathbb{C}, \quad (1.8)$$

fapt care asigură existența inversei $[I_m + G(s)]^{-1}$ pentru $s \in \mathbb{C}$ exceptând zerourile lui $F(s)$.

Fie $P_0(s)$ numitorul comun al tuturor minorilor matricii $G_0(s)$. Conform celor arătate la I.6.4.1, $P_0(s)$ este polinomul polilor sistemului automat. În legătură cu stabilitatea IMEM, pe baza definiției 1 și a teoremei 2 de la II.1.1 se poate formula următorul rezultat.

Teorema 1. Sistemul automat multivariabil cu structura din fig. IV.2 este stabil IMEM dacă și numai dacă polinomul polilor $P_0(s)$ este hurwitzian.

Exemplul 1.2. Pentru sistemul de la exemplul 1.1 se dau $k_{11} = k_{12} = 2$, $k_{21} = k_{22} = 1$, $T_1 = 2$, $T_2 = 1$ și $G_{R1}(s) = \frac{a}{s}$, $G_{R2}(s) = b$, cu $a > 0$ și $b > 0$. Se cere să se determine în planul parametrilor a , b domeniul de stabilitate IMEM.

Conform schemei din fig. IV.1, b și relației (1.7) avem

$$G(s) = \begin{bmatrix} \frac{k_{11}}{T_1 s + 1} & \frac{k_{12}}{T_2 s + 1} \\ -k_{21} & k_{22} \end{bmatrix} \begin{bmatrix} G_{R1}(s) & 0 \\ 0 & G_{R2}(s) \end{bmatrix} = \begin{bmatrix} \frac{2a}{s(2s + 1)} & \frac{2b}{s + 1} \\ -\frac{a}{s} & b \end{bmatrix}.$$

În continuare, ținând seama de (1.6), obținem

$$G_0(s) = \frac{1}{F(s)} \begin{bmatrix} \frac{2a(b+1)}{s(2s+1)} + \frac{2ab}{s(s+1)} & \frac{2b}{s+1} \\ -\frac{a}{s} & b + \frac{2ab}{s(s+1)} + \frac{2ab}{s(2b+1)} \end{bmatrix},$$

în care

$$F(s) = \frac{b+1}{s(s+1)(2s+1)} \left[2s^3 + 3s^2 + \left(1 + \frac{6ab+2a}{b+1} \right)s + \frac{2a(2b+1)}{b+1} \right].$$

Inlocuind $F(s)$ în $G_0(s)$ și efectuind calculele se obține

$$G_0(s) = \frac{1}{2(b+1)P_0(s)} \begin{bmatrix} 2a[(3b+1)s+2b+1] & 2bs(2s+1) \\ -a(s+1)(2s+1) & b[2s^3 + 3s^2 + (6a+1)s + 4a] \end{bmatrix},$$

în care

$$P_0(s) = s^3 + \frac{3}{2}s^2 + \left(\frac{1}{2} + \frac{3ab+a}{b+1} \right)s + \frac{a(2b+1)}{b+1}$$

este polinomul polilor sistemului automat.

Matricea Hurwitz asociată polinomului $P(s)$ este

$$H_3 = \begin{bmatrix} \frac{3}{2} & 1 & 0 \\ \frac{a(2b+1)}{b+1} & \frac{1}{2} + \frac{3ab+a}{b+1} & \frac{3}{2} \\ 0 & 0 & \frac{a(2b+1)}{b+1} \end{bmatrix}.$$

Conform teoremei 5 de la II. 1.2 și ținând seama de faptul că $a > 0, b > 0$, condiția de stabilitate IMEM este

$$\frac{3}{4} + \frac{3(3ab+a)}{2(b+1)} - \frac{a(2b+1)}{b+1} > 0,$$

din care se obține $3 + \frac{2a(5b+1)}{b+1} > 0$. Pentru $a > 0, b > 0$ această inegalitate este satisfăcută, ceea ce înseamnă că sistemul considerat este stabil IMEM.

În afara acestui rezultat, exemplul considerat pune în evidență un fapt remarcabil și anume că zerourile lui $P_0(s)$ coincid cu zerourile lui $F(s)$ deoarece

$$F(s) = \frac{2(b+1)}{s(s+1)(2s+1)} P_0(s).$$

Cum $F(s)$ se calculează mult mai ușor decât $P_0(s)$, utilizarea lui $F(s)$ pentru analiza stabilității se impune în mod natural. Este ușor de verificat că în cazul sistemelor automate monovariabile zerourile lui $F(s)$ coincid întotdeauna cu cele ale lui $P_0(s)$. În virtutea acestui fapt $F(s)$ se numește *determinantul caracteristic intrare-ieșire* al sistemului automat multivariabil.

Desigur trebuie să ne întrebăm în ce măsură afirmația „zerourile lui $F(s)$ coincid cu zerourile lui $P_0(s)$ ” este adevărată în general. Pentru a vedea concret ce relație mai poate exista între $F(s)$ și $P_0(s)$ se consideră următorul exemplu.

Exemplul 1.3. Fie un sistem automat multivariabil cu

$$G(s) = \begin{bmatrix} \frac{1}{s} & \frac{1}{s-2} \\ 0 & \frac{1}{s} \end{bmatrix}.$$

Se cere să se determine $F(s)$ și $P_0(s)$ și să se analizeze stabilitatea IMEM a sistemului.

Aveam

$$F(s) = \det \begin{bmatrix} 1 + \frac{1}{s} & \frac{1}{s-2} \\ 0 & 1 + \frac{1}{s} \end{bmatrix} = \frac{(s+1)^2}{s^2}.$$

Pe de altă parte, conform relației (1.6), putem scrie

$$G_0(s) = \begin{bmatrix} \frac{s+1}{s} & \frac{1}{s-2} \\ 0 & \frac{s+1}{s} \end{bmatrix}^{-1} \begin{bmatrix} \frac{1}{s} & \frac{1}{s-2} \\ 0 & \frac{1}{s} \end{bmatrix} = \begin{bmatrix} \frac{1}{s+1} & \frac{s^2}{(s+1)^2(s-2)} \\ 0 & \frac{1}{s+1} \end{bmatrix}$$

Urmează că

$$P_0(s) = (s+1)^2(s-2),$$

ceea ce înseamnă că zerourile lui $F(s)$ coincid numai cu o parte dintr-o mulțimea de zerouri a lui $P_0(s)$. Evident, sistemul considerat nu este stabil IMEM deoarece $P_0(s)$ nu este hurwitzian.

Pentru a vedea din ce motiv sunt posibile diferențele puse în evidență între mulțimea zerourilor lui $F(s)$ și mulțimea zerourilor lui $P_0(s)$ fie

$$\dot{x} = Ax + Bu, \quad t \in \mathbf{R}, \quad x \in \mathbf{R}^n, \quad u \in \mathbf{R}^m, \quad (1.9)$$

$$y = Cx + Du, \quad y \in \mathbf{R}^m, \quad (1.10)$$

o reprezentare intrare-stare-iesire a sistemului deschis din fig. IV.2, în care A, B, C, D sunt matrice de dimensiuni adecvate. Evident,

$$G(s) = C(I_n s - A)^{-1} B + D, \quad (1.11)$$

în care I_n este matricea unitate de ordinul n .

Conform schemei bloc structurale din fig. IV.2 la ecuațiile (1.9), (1.10) se mai adaugă ecuația comparatorului

$$u = v - y. \quad (1.12)$$

Pentru a obține reprezentarea intrare-stare-iesire a sistemului automat se înlocuiește (1.12) în (1.9), (1.10) după care se elimină y din prima, folosind-o pe a două.

După calcule relativ simple se obțin ecuațiile

$$\dot{x} = A_0 x + B_0 v, \quad (1.13)$$

$$y = C_0 x + D_0 v, \quad (1.14)$$

în care

$$\begin{aligned} A_0 &= A - B(I_m + D)^{-1}C, \\ B_0 &= B[I_m - (I_m + D)^{-1}D], \\ C_0 &= (I_m + D)^{-1}C, \\ D_0 &= (I_m + D)^{-1}D. \end{aligned} \quad (1.15)$$

Evident, se presupune că $\det(I_m + D) \neq 0$.

Fie

$$\Delta(s) = \det(I_n s - A) \quad (1.16)$$

polinomul caracteristic al sistemului deschis și

$$\Delta_0(s) = \det(I_n s - A_0) \quad (1.17)$$

polinomul caracteristic al sistemului automat multivariabil.

Lema 1. (Hsu-Chen). Între $F(s)$, $\Delta(s)$ și $\Delta_0(s)$ există relația

$$\frac{F(s)}{F(\infty)} = \frac{\Delta_0(s)}{\Delta(s)}, \quad (1.18)$$

unde $F(\infty) = \det(I_m + D) \neq 0$.

D. Pe baza relațiilor (1.8), (1.11) putem scrie

$$F(s) = \det[I_m + C(I_n s - A)^{-1}B + D]. \quad (1.19)$$

Utilizând o formulă a lui Schur (v. anexa E), (1.19) poate fi pusă sub forma

$$F(s) = \frac{1}{\Delta(s)} \det \begin{bmatrix} I_n s - A & B \\ -C & I_m + D \end{bmatrix}.$$

Făcind apoi un artificiu de calcul, aşa cum se arată mai jos,

$$F(s) = \frac{1}{\Delta(s)} \det \begin{bmatrix} I_n & -B(I_m + D)^{-1} \\ 0 & I_m \end{bmatrix} \det \begin{bmatrix} I_n s - A & B \\ -C & I_m + D \end{bmatrix},$$

după înmulțirea determinantelor se obține

$$\begin{aligned} F(s) &= \frac{1}{\Delta(s)} \det \begin{bmatrix} I_n s - A + B(I_m + D)^{-1}C & 0 \\ -C & I_m + D \end{bmatrix} = \\ &= \frac{1}{\Delta(s)} \det [I_n s - A + B(I_m + D)^{-1}C] \det [I_m + D]. \end{aligned} \quad (1.20)$$

Tinind seama de prima relație din (1.15), de (1.17) și de faptul că

$$F(\infty) = \lim_{s \rightarrow \infty} F(s) = \det(I_m + D) \neq 0, \quad (1.24)$$

din (1.20) rezultă imediat (1.18). ■

Rezultatul (1.18) evidențiază legătura care există între valorile proprii ale sistemului deschis, valorile proprii ale sistemului închis și zerourile determinantului caracteristic intrare-iesire al sistemului automat. Este posibil ca $\Delta_0(s)$ și $\Delta(s)$ să aibă zerouri comune și acest fapt explică de ce unele dintre zerourile lui $\Delta_0(s)$ nu pot fi în același timp zerouri ale lui $F(s)$. Cauzele care determină existența unor zerouri comune pentru $\Delta(s)$ și $\Delta_0(s)$ sunt legate, după cum se va arăta în continuare, de proprietățile interne ale sistemului deschis.

Lema 2. Toate valorile proprii ale părților de stare necontrolabilă și/sau neobservabilă ale sistemului deschis din fig. IV.2 sunt zerouri comune ale polinoamelor $\Delta_0(s)$ și $\Delta(s)$.

D. Utilizând forma canonica Kalman (v. I.6.3.5), conform definițiilor (1.16) și (1.17), obținem

$$\Delta(s) = \det(I_1 s - A_{11}) \det(I_2 s - A_{22}) \det(I_3 s - A_{33}) \det(I_4 s - A_{44}), \quad (1.22)$$

$$\begin{aligned} \Delta_0(s) &= \det(I_1 s - A_{11}) \det[I_2 s - A_{22} + \\ &+ B_2(I_m + D)^{-1} C_2] \det(I_3 s - A_{33}) \det(I_4 s - A_{44}), \end{aligned} \quad (1.23)$$

în care A_{11} , A_{33} și A_{44} sunt matricile de evoluție ale subsistemelor de stare necontrolabilă și/sau neobservabilă, componente ale sistemului deschis, și A_{22} , B_2 , C_2 sunt matricile care definesc subsistemul de stare complet controlabilă și de stare complet observabilă. Examinând polinoamele (1.22) și (1.23) rezultă evident că toate valorile proprii ale matricilor A_{11} , A_{33} , A_{44} sunt în același timp zerouri comune ale polinoamelor $\Delta_0(s)$ și $\Delta(s)$. ■

Înlocuind (1.22) și (1.23) în (1.18) și făcind simplificările posibile în această fază se obține

$$\frac{F(s)}{F(\infty)} = \frac{\Delta_{20}(s)}{\Delta_2(s)}, \quad (1.24)$$

în care

$$\Delta_{20}(s) = \det[I_2 s - A_{22} + B_2(I_m + D)^{-1} C_2], \quad (1.25)$$

$$\Delta_2(s) = \det[(I_2 s - A_{22})]. \quad (1.26)$$

Desigur că nu avem nici un motiv să afirmăm că polinoamele $\Delta_{20}(s)$ și $\Delta_2(s)$ sunt întotdeauna relativ prime între ele. După cum vom arăta eu ajutorul unui exemplu este posibil ca $\Delta_{20}(s)$ și $\Delta_2(s)$ să aibă zerouri comune deși subsistemul caracterizat prin A_{22} , B_2 și C_2 este de stare complet controlabilă și de stare complet observabilă.

Exemplul 1.4. Fie sistemul automat multivariabil de la *exemplul 1.3* cu sistemul deschis descris de

$$\begin{bmatrix} \dot{x}_1 \\ \dot{x}_2 \\ \dot{x}_3 \end{bmatrix} = \begin{bmatrix} 0 & 0 & 0 \\ 0 & 0 & 0 \\ 0 & 0 & 2 \end{bmatrix} \begin{bmatrix} x_1 \\ x_2 \\ x_3 \end{bmatrix} + \begin{bmatrix} 1 & 0 \\ 0 & 1 \\ 0 & 1 \end{bmatrix} \begin{bmatrix} u_1 \\ u_2 \end{bmatrix},$$

$$\begin{bmatrix} y_1 \\ y_2 \end{bmatrix} = \begin{bmatrix} 1 & 0 & 1 \\ 0 & 1 & 0 \end{bmatrix} \begin{bmatrix} x_1 \\ x_2 \\ x_3 \end{bmatrix}.$$

Se cere să se determine $\Delta_2(s)$, $\Delta_{20}(s)$ și $F(s)$.

Mai întii vom observa că sistemul deschis dat prin ecuațiile de mai sus este de stare complet controlabilă și de stare complet observabilă deoarece rang $C = 3$ și rang $\Theta = 3$. În aceste condiții avem

$$\Delta_2(s) = \Delta(s) = s^2(s - 2),$$

$$\tilde{A}_0 = \begin{bmatrix} 0 & 0 & 0 \\ 0 & 0 & 0 \\ 0 & 0 & 2 \end{bmatrix} - \begin{bmatrix} 1 & 0 \\ 0 & 1 \\ 0 & 1 \end{bmatrix} \begin{bmatrix} 1 & 0 & 1 \\ 0 & 1 & 0 \end{bmatrix} = \begin{bmatrix} -1 & 0 & -1 \\ 0 & -1 & 0 \\ 0 & -1 & 2 \end{bmatrix},$$

$$\Delta_{20}(s) = \Delta_0(s) = (s + 1)^2(s - 2).$$

Așadar

$$\frac{F(s)}{F(\infty)} = \frac{(s + 1)^2}{s^2},$$

rezultat care s-a mai obținut și la *exemplul 1.3*.

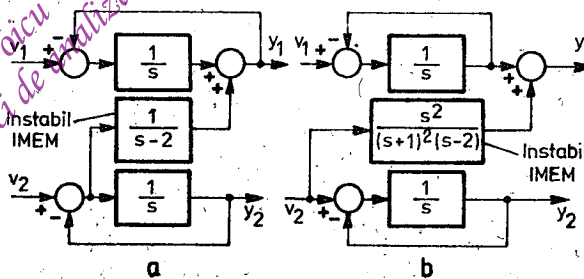


Fig. IV.3. Sistem automat cu cuplaj intern incomplet (*exemplul 1.4*).

Pentru a răspunde la întrebarea de ce $s = 2$ nu se află printre zerourile lui $F(s)$, vom reprezenta schema bloc structurală a sistemului automat – fig. IV.3, a, ținind seama de expresia matricială de transfer a sistemului deschis dată la *exemplul 1.3*. Se remarcă faptul că cuplajul intern este incomplet și că printr-o transfigurare simplă se ajunge la schema bloc structurală din fig. IV.3, b, în care există o conexiune intrare- ieșire printr-un subsistem instabil IMEM.

Faptele prezentate mai sus ne permit să formulăm următorul rezultat privitor la posibilitatea utilizării determinantului caracteristic $F(s)$ în analiza stabilității IMEM a sistemelor automate multivariabile.

Teorema 2. Fie sistemul automat multivariabil cu structura din fig. IV.2 și cu toate elementele sistemului deschis stabile IMEM sau dacă nu toate sunt stabile IMEM atunci toate cele instabile IMEM contribuie în $F(s)$. Sistemul automat considerat este stabil IMEM dacă și numai dacă toate zerourile determinantului caracteristic sunt situate în semiplanul $\text{Re } s < 0$ al planului complex.

1.1.2. Criteriul Rosenbrock

Ceea ce este tipic pentru studiul stabilității IMEM a sistemelor automate monovariabile este faptul că rezultatele de stabilitate deliberat obținute pentru această categorie de sisteme permit caracterizarea sistemului închis ca stabil sau instabil IMEM, pe baza cunoașterii funcției de transfer a sistemului deschis. Dacă în cadrul analizei stabilității unui sistem automat acest aspect pare a fi mai puțin important, pentru sinteza sistemelor automate (stabilizare, corecție) el este esențial. Motivul, după cum rezultă din cele expuse la II.1.1.6, II.1.1.7 și II.3.3 este acela că stabilizarea unui sistem automat constă în modificarea structurii și/sau parametrilor unei părți a sistemului deschis (în speță a regulatorului). Desigur că, în virtutea acestei rațiuni, obținerea unor rezultate de același tip și pentru sistemele automate multivariabile este pe deplin naturală. Mai mult, un atare lucru este și posibil dacă avem în vedere *teorema 2*.

Un rezultat care a deschis o perspectivă în sensul generalizării criteriului Nyquist se bazează pe următoarea definiție, [O 1].

Definiția 1. O matrice oarecare M , patratică de ordinul n , cu elementele m_{ij} , $i, j = 1, 2, \dots, n$, se numește diagonal dominantă pe linii dacă există un θ_i , cu $0 < \theta_i < 1$, $i = 1, 2, \dots, n$, astfel încit

$$\theta_i |m_{ii}| \geq \sum_{\substack{j=1 \\ j \neq i}}^n |m_{ij}|, \quad i = 1, 2, \dots, n. \quad (1.27)$$

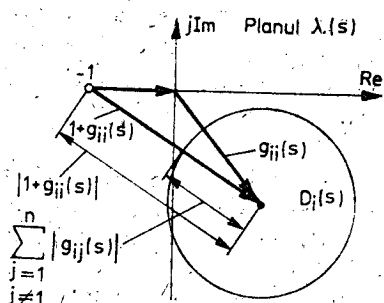


Fig. IV.4. Interpretarea geometrică a relației (1.12).

Fie $g_{ij}(s)$, $i, j = 1, 2, \dots, m$, elementele matricii $G(s)$. Pentru a utiliza condițiile (1.27) în cazul matricii $G(s)$ se definesc discurile lui Gherșgorin asociate liniilor matricii $G(s)$

$$D_i(s) = \{\lambda(s) \in \mathbb{C} ; |\lambda(s) - g_{ii}(s)| \leq \sum_{\substack{j=1 \\ j \neq i}}^m |g_{ij}(s)|\}, \quad s \in \mathbb{C},$$

$$i = 1, 2, \dots, m. \quad (1.28)$$

Dacă s parcurge un contur închis γ atunci fiecare disc $D_i(s)$ se deplasează în mod corespunzător în planul $\lambda(s)$, acoperind o anumită „bandă” în respectivul plan.

Definiția 2. Multimile

$$B_i = \bigcup_{s \in \gamma_N} D_i(s), \quad i = 1, 2, \dots, m, \quad (1.29)$$

unde γ_N este conturul Nyquist (v. fig. II.24), se numesc *benzile Gherșgorin* asociate liniilor matricei $G(s)$.

Cu aceste elemente pregătitoare putem enunța și demonstra următorul rezultat.

Teorema 3 (Rosenbrock). Sistemul automat multivariabil cu structura din fig. IV.2 este stabil IMEM dacă sistemul deschis este stabil IMEM și toate benzile Gherșgorin B_i , $i = 1, 2, \dots, m$, ale matricii $G(s)$ nu înconjoară punctul $(-1, j0)$.

D. Fie în planul $\lambda(s)$ discul $D_i(s)$, fig. IV. 4. Pentru un $s \in \gamma_N$ discul $D_i(s)$ este o parte a benzii B_i . Întrucât banda B_i nu înconjoară punctul $(-1, j0)$ din planul $\lambda(s)$, rezultă că pentru orice $s \in \gamma_N$ discul $D_i(s)$ satisfacă, conform fig. IV. 4, următoarea relație geometrică

$$|1 + g_{ii}(s)| > \sum_{\substack{j=1 \\ j \neq i}}^m |g_{ij}(s)|, \quad i = 1, 2, \dots, m. \quad (1.30)$$

În aceste circumstanțe matricea

$$\underline{G}(s) = \begin{bmatrix} 1 & \frac{g_{12}(s)}{1 + g_{11}(s)} & \dots & \frac{g_{1m}(s)}{1 + g_{11}(s)} \\ \frac{g_{21}(s)}{1 + g_{22}(s)} & 1 & \dots & \frac{g_{2m}(s)}{1 + g_{22}(s)} \\ \vdots & \vdots & \ddots & \vdots \\ \frac{g_{m1}(s)}{1 + g_{mm}(s)} & \frac{g_{m2}(s)}{1 + g_{mm}(s)} & \dots & 1 \end{bmatrix} \quad (1.31)$$

este diagonal dominantă pe linii.

Fie $\lambda_i(s)$, $i = 1, 2, \dots, m$, valorile proprii ale matricii $\underline{G}(s)$. Discurile lui Gherșgorin asociate lui $\underline{G}(s)$ (pe linii) sunt

$$D_i(s) = \{\lambda(s) \in \mathbb{C}; |\lambda(s) - 1| \leq \frac{1}{|1 + g_{ii}(s)|} \sum_{\substack{j=1 \\ j \neq i}}^m |g_{ij}(s)|\}, \quad s \in \mathbb{C}, \quad (1.32)$$

$$i = 1, 2, \dots, m.$$

Se știe că (v. II.2.1.1).

$$\{\lambda_1(s), \lambda_2(s), \dots, \lambda_m(s)\} \subseteq \bigcup_{i=1}^m D_i(s). \quad (1.33)$$

Întrucât $\underline{G}(s)$ este diagonal dominantă rezultă că discurile $D_i(s)$, toate cu centrele în punctul $(1, j\omega)$, au razele subunitare. Dacă $D_{max}(s)$ este discul de rază maximă (dintre discurile D_i , $i = 1, 2, \dots, m$) atunci $\lambda_i(s) \in D_{max}(s)$, $i = 1, 2, \dots, m$ pentru orice $s \in \mathbb{C}$. Pentru $s \in \gamma_N$ valorile proprii $\lambda_i(s)$, $i = 1, 2, \dots, m$, parcurg niște curbe închise care sunt continute toate în $D_{max}(s)$ și deci nu înconjoară originea planului $\lambda(s)$. Conform principiului argumentului (v. II.3.1) aceasta înseamnă că

$$\arg \det \underline{G}(j\omega) \Big|_{\omega=-\infty}^{+\infty} = \arg \prod_{i=1}^m \lambda_i(j\omega) \Big|_{\omega=-\infty}^{+\infty} = \sum_{i=1}^m \arg \lambda_i(j\omega) \Big|_{\omega=-\infty}^{+\infty} = 0. \quad (1.34)$$

Pe de altă parte determinantul caracteristic $F(s)$, care, conform ipotezelor prezentei teoreme și conform teoremei 2, poate fi utilizat pentru studiul stabilității IMEM a sistemului automat monovariabil, admite factorizarea (v. relația (1.8))

$$F(s) = \prod_{i=1}^m [1 + g_{ii}(s)] \det \underline{G}(s), \quad (1.35)$$

ceea ce, ținând seama de (1.34), implică

$$\begin{aligned} \arg F(j\omega) \Big|_{\omega=-\infty}^{+\infty} &= \arg \prod_{i=1}^m [1 + g_{ii}(j\omega)] \Big|_{\omega=-\infty}^{+\infty} + \arg \det G(j\omega) \Big|_{\omega=-\infty}^{+\infty} = \\ &= \sum_{i=1}^m \arg [1 + g_{ii}(j\omega)] \Big|_{\omega=-\infty}^{+\infty}. \end{aligned} \quad (1.36)$$

Întrucât $g_{ii}(s)$, $i = 1, 2, \dots, m$, nu au poli în semiplanul $\operatorname{Re} s \geq 0$ și benzile B_i , $i = 1, 2, \dots, m$, nu înconjoară punctul $(-1, j0)$, rezultă că

$$\arg [1 + g_{ii}(j\omega)] \Big|_{\omega=-\infty}^{+\infty} = 0, \quad i = 1, 2, \dots, m. \quad (1.37)$$

Înlocuind (1.37) în (1.36), se obține

$$\arg F(j\omega) \Big|_{\omega=-\infty}^{+\infty} = 0, \quad (1.38)$$

ceea ce înseamnă că determinantul caracteristic nu are nici poli și nici zerouri în semiplanul $\operatorname{Re} s \geq 0$. Conform teoremei 2 sistemul considerat este stabil IMEM.

Exemplul 1.5. Se consideră un sistem automat multivariabil cu

$$G(s) = \begin{bmatrix} \frac{1}{s+1} & \frac{a}{s+3} \\ \frac{b}{s+3} & \frac{1}{s+2} \end{bmatrix}, \quad a, b \in \mathbb{R}.$$

Se cere să se determine în planul (a, b) domeniile de stabilitate IMEM conform teoremetelor 2 și 3.

Tinând seama de (1.8) putem scrie

$$F(s) = \det \begin{bmatrix} 1 + \frac{1}{s+1} & \frac{a}{s+3} \\ \frac{b}{s+3} & 1 + \frac{1}{s+2} \end{bmatrix} = \frac{s^3 + 9s^2 + (27 - ab)s + 27 - ab}{(s+1)(s+3)^2}.$$

Aplinind criteriul Hurwitz polinomului de la număratorul lui $F(s)$ (v. teorema 5 de la II, § 1.2) obținem

$$H_3 = \begin{bmatrix} 9 & 1 & 0 \\ 27 - ab & 27 - ab & 9 \\ 0 & 0 & 27 - ab \end{bmatrix},$$

din care rezultă condiția necesară și suficientă de stabilitate IMEM

$$ab < 27.$$

Imaginea domeniului corespunzător acestei inecuații este reprezentată în fig. IV.5.

Imaginile benzilor Gherșgorin sunt date în fig. IV.6. După cum rezultă din demonstrația teoremei 3 condiția ca benzile Gherșgorin ale matricii $G(s)$ pentru $a \neq 1$ și $b \neq 1$ să nu înconjoare punctul $(-1, j0)$ implică (1.30). În cazul de față aceasta înseamnă că

$$\left| 1 + \frac{1}{j\omega + 1} \right| > \left| \frac{a}{j\omega + 3} \right|, \quad \left| 1 + \frac{1}{j\omega + 2} \right| > \left| \frac{b}{j\omega + 3} \right|, \quad \omega \in \mathbb{R},$$

de unde rezultă

$$|a| < \min_{\omega \in \mathbb{R}} \sqrt{\frac{(\omega^2 + 4)(\omega^2 + 9)}{\omega^2 + 1}} \approx 4,56, \quad |b| < \min_{\omega \in \mathbb{R}} \frac{\omega^2 + 9}{\sqrt{\omega^2 + 4}} \approx 4,47.$$

Domeniul corespunzător acestei soluții este reprezentat în aceeași fig. IV.5.

După cum rezultă și din exemplul 1:5, teorema 3 este o condiție suficientă de stabilitate IMEM. În situația în care ipotezele ei nu sunt îndeplinite (un caz frecvent este acela în care $G(s)$ are poli în origine) nu se poate face nici o afirmație privitoare la stabilitatea IMEM.

Este ușor de observat că pentru o aceeași matrice $G(s)$ se mai poate defini un set de benzi B_i^T , $i = 1, 2, \dots, m$, având ca bază coloanele lui $G(s)$, respectiv considerind matricea $G^T(s)$. Întrucât $R(s) = \det [I_m + G(s)] = \det [I_m + G^T(s)]$ rezultă că se poate face și următoarea afirmație.

Teorema 4. Sistemul automat multivarabil cu structura din fig. IV.2 este stabil IMEM dacă sistemul deschis este stabil IMEM și toate ben-

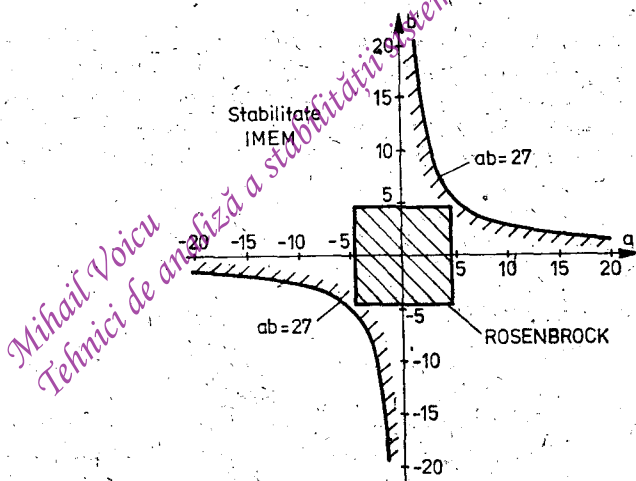


Fig. IV.5. Domeniu parametric de stabilitate IMEM la exemplul 1.5.

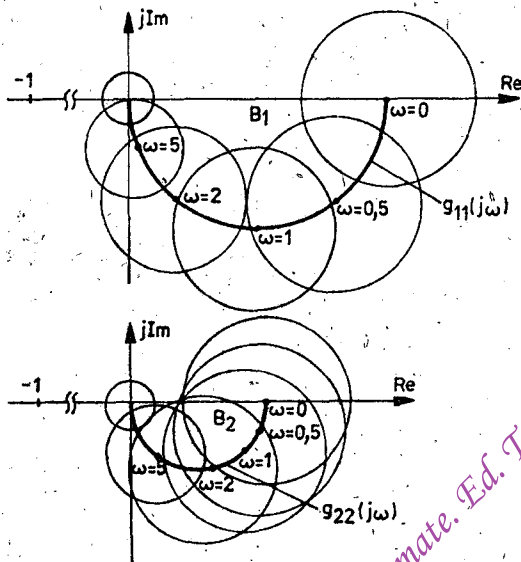


Fig. IV.6. Benzile Gherşgorin la exemplul 4.5.

zile Gherşgorin B_i^T , $i = 1, 2, \dots, m$, ale matricii $G(s)$ nu înconjoară punctul $(-1, j0)$.

Faptul că rezultatul de mai sus largeste efectiv posibilitățile de aplicare a criteriului Rosenbrock se poate vedea utilizindu-l în cazul *exemplului 1.5*. Fără a mai fi necesare calcule, și anume pe baza simetriei matricii $G(s)$ și a rezultatelor deja obținute, se trage concluzia că $|a| < 4,47$ și $|b| < 4,56$. Aceasta înseamnă de fapt că $|a| < 4,56$ și $|b| < 4,56$.

1.2. Tehnici afrecvențiale

1.2.1. Funcțiile caracteristice

Problema esențială care trebuie rezolvată pentru generalizarea criteriului Nyquist este aceea a determinării, pe baza matricii $G(s)$, a celor funcții scalare $q(s)$ care conțin informații cît mai complete privitoare la stabilitatea IMEM, așa cum sint ele conținute de polinomul polilor $P_0(s)$ sau de determinantul caracteristic $F(s)$ (în condițiile *teoremei 2*). Se realizează astfel, ca în cazul criteriului Rosenbrock, o comprimare a informației conținute de matricea de transfer $G(s)$.

Definiția 3. Funcțiile $q_i(s)$, $s \in \mathbb{C}$, $i = 1, 2, \dots, m$, soluții ale ecuației

$$\det [q(s) I_m - G(s)] = 0, \quad (1.39)$$

se numesc funcțiile caracteristice ale sistemului deschis, conform schemei bloc structurale din fig. IV.2.

În sens strict ecuația (1.39) nu este altceva decât ecuația caracteristică a matricii $G(s)$ și $q_i(s)$, $i = 1, 2, \dots, m$, sunt valorile ei proprii. În virtutea acestui fapt putem scrie

$$\det [q(s) I_m - G(s)] = \prod_{i=1}^m [q(s) - q_i(s)].$$

Pentru $q(s) = -1$ din rezultatul de mai sus se obține

$$(-1) \det [I_m + G(s)] = (-1)^m \prod_{i=1}^m [1 + q_i(s)].$$

Așadar, conform definiției (1.8),

$$F(s) = \prod_{i=1}^m [1 + q_i(s)], \quad (1.40)$$

ceea ce înseamnă că funcțiile caracteristice $q_i(s)$, $i = 1, 2, \dots, m$, conțin, în totalitatea lor, aceleasi informații ca și determinantul caracteristic $F(s)$.

În general membrul stîng al ecuației (1.39) poate fi factorizat sub forma unui produs de polinoame ireductibile, după cum urmează

$$\det [q(s) I_m - G(s)] = \prod_{i=1}^p [a_{k_0} q^r(s) + a_{k_1} q^{r-1}(s) + \dots + a_{k_r}], \quad (1.41)$$

unde $r \geq 1$, $p \leq m$ și a_{ki} , $k = 1, 2, \dots, p$, $i = 1, 2, \dots, r$, sunt funcții de s . Înlocuind (1.41) în (1.39) rezultă că funcțiile caracteristice se pot determina ca rădăcini ale ecuațiilor

$$a_{k_0} q^r(s) + a_{k_1} q^{r-1}(s) + \dots + a_{k_r} = 0, \quad k = 1, 2, \dots, p. \quad (1.42)$$

Exemplu 1.6.

$$G(s) = \frac{1}{1,25(s+1)(s+2)} \begin{bmatrix} 5s-2 & 2s-1 \\ 3s-18 & s-8 \end{bmatrix}.$$

Se cere să se determine funcțiile caracteristice ale sistemului. Utilizând (1.39) se obține

$$q^2(s) - \frac{6s-10}{1,25(s+1)(s+2)} q(s) - \frac{s^2+3s+2}{[1,25(s+1)(s+2)]^2} = 0$$

ale cărei rădăcini sunt

$$q_{1,2}(s) = \frac{3s - 5 \pm \sqrt{d(s)}}{1,25(s + 1)(s + 2)}, \quad d(s) = (3s - 5)^2 + s^2 + 3s + 2.$$

1.2.2. Criteriul Nyquist generalizat

După cum este de așteptat, formularea unui rezultat de stabilitate IMEM prin generalizarea criteriului Nyquist (v. teorema 6 de la II.3.2.1) se bazează pe utilizarea conturului Nyquist γ_N (v. fig. II.24), care se parcurge în sens orar (negativ). În acest fel domeniul frecvențelor ω (axa imaginată) este parcurs de la $-\infty$ la $+\infty$.

Spre deosebire de cazul sistemelor monovariabile, în cazul sistemelor automate multivariabile conturul γ_N este parcurs pe n suprafete Riemann, care sunt într-o strânsă corelație cu polinoamele ireductibile din (1.41). Trecerea de pe o suprafață Riemann pe alta are loc în puncte de ramificare s pentru care funcțiile caracteristice $q_i(s)$, $i = 1, 2, \dots, r$, sunt egale între ele, respectiv pentru acei s pentru care ecuațiile (1.42) au fiecare cîte r rădăcini identice. După cum se știe o ecuație oarecare din (1.42) are exact r rădăcini identice dacă și numai dacă discriminantul ei

$$d(s) = \det \begin{vmatrix} a_0 & a_1 & \cdots & a_r \\ a_0 & \cdots & \cdots & a_{r-1} & a_r & 0 \\ \vdots & & & \ddots & & \vdots \\ 0 & & & a_0 & \cdots & a_r \\ & & & a_0 & \cdots & 2a_{r-2} & a_{r-1} \\ & & & a_0 & \cdots & & & 0 \\ & & & & & & & & 0 \\ & & & & & & & & a_0 & (r-1)a_1 & \cdots & a_{r-1} \end{vmatrix} \quad (1.43)$$

este nul. Pentru simplificarea scrierii, în (1.43) s-a renunțat la indicele k . Suprafetele Riemann sunt suprafete plane suprapuse legate în punctele de ramificare prin tăieturi paralele cu axa reală sau cu axa imaginată.

Exemplul 1.7. Să se determine suprafetele Riemann și contururile Nyquist pentru cele două funcții caracteristice de la exemplul 1.6.

Discriminantul, calculat deja la exemplul 1.6, este

$$d(s) = 10s^2 - 27s + 27$$

și se anulează pentru $s_{1,2} = 1,35 \pm j, 0,94$. Suprafetele Riemann corespunzătoare și modul în care este parcurs conturul Nyquist sunt redate în fig. IV.7, pentru cazul în

care tăieturile trece prin punctul de la infinit. De fiecare dată cind se ajunge la o tăietură se schimbă și planul în care este situat conturul Nyquist.

O altă posibilitate de realizare a tăieturii este aceea de a o face direct între punctele de ramificare. În acest caz nu mai au loc schimbări de plan la parcursarea conturului Nyquist deoarece acesta nu se intersecțează cu tăietura.

Definiția 4. Hodografele $q_i(j\omega)$, $\omega \in \mathbb{R}$, $i = 1, 2, \dots, m$, ale funcțiilor caracteristice ale matricii $G(s)$ constituie *locul caracteristic* (locul Nyquist) al sistemului deschis.

Locul caracteristic reprezintă o generalizare naturală a locului de transfer al sistemului deschis în cazul sistemelor automate monovariabile.

Trasarea locului caracteristic se face de regulă punct cu punct pe baza unor proceduri numerice în care se parcurg următorii cinci pași:

- 1° Se alege o anumită valoare a pulsăiei ω ;
- 2° Se calculează elementele matricei $G(j\omega)$;
- 3° Se determină valorile proprii $q_i(j\omega)$, $i = 1, 2, \dots, m$, ale matricei $G(j\omega)$;
- 4° Se memorează valorile proprii $q_i(j\omega)$, $i = 1, 2, \dots, m$;
- 5° Se repetă pașii 1°–4° și pentru alte valori ale pulsăiei ω și se trasează, pe baza unor subrute de sortare și interpolare, cu linie continuă hodografele $q_i(j\omega)$, $i = 1, 2, \dots, m$.

Theoremă 5 (Mac Farlane-Postlethwaite). Fie sistemul automat multiplu cu structura din fig. IV.2, care în circuit deschis are n_+ poli în semiplanul $\text{Re } s > 0$ și n_0 poli pe $\text{Re } s = 0$, dar astfel încât toate elementele instabile IMEM contribuie în $F(s)$. Sistemul automat considerat este stabil IMEM dacă și numai dacă:

- 1° locul caracteristic al matricei $G(s)$ înconjoară punctul $(-1, j0)$ în sens pozitiv de un număr de n_+ ori atunci cind ω variază de la $-\infty$ la $+\infty$;

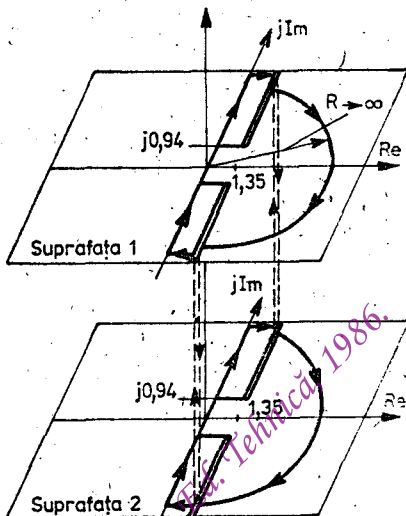


Fig. IV.7. Suprafetele Riemann la exemplul 1.7.

2º numărul de ramuri ale locului caracteristic care se închid prin punctul de la infinit este egal cu n_0 .

O altă formă a criteriului Nyquist generalizat, utilă în cazul în care matricea de transfer a sistemului deschis este $kG(s)$, unde $k \in \mathbb{R}$ este un parametru (factorul de amplificare), este următoarea.

Teorema 6 (Mac Farlane-Postlethwaite). Fie sistemul automat multivariabil cu structura din fig. IV.2, care în circuit deschis, caracterizat prin $kG(s)$, are n_+ poli în semiplanul $\operatorname{Re} s > 0$ și n_0 poli pe $\operatorname{Re} s = 0$; dar astfel încât toate elementele instabile IMEM contribuie în $F(s)$. Sistemul automat considerat este stabil IMEM dacă și numai dacă:

1º locul caracteristic corespunzător matricei $G(s)$ înconjoară punctul $(-\frac{1}{k}, j0)$ în sens pozitiv de un număr de n_+ ori atunci cind ω variază de la $-\infty$ la $+\infty$;

2º numărul de ramuri ale locului caracteristic care se închid prin punctul de la infinit este egal cu n_0 .

Exemplul 1.8. Se consideră sistemul automat multivariabil cu structura din fig. IV.2, în care

$$G_R(s) = \begin{bmatrix} k & 0 \\ 0 & k \end{bmatrix}, \quad G_F(s) = \frac{2}{1,25(s+1)(s+2)} \begin{bmatrix} s-1 & s \\ -6 & s-2 \end{bmatrix}.$$

Se cere să se determine valorile lui k pentru care sistemul automat este stabil IMEM.

Folosind (1.39) pentru $k = 1$ se obține ecuația

$$q^2(s) - \frac{2s+3}{1,25(s+1)(s+2)} q(s) + \frac{s^2+3s+2}{[1,25(s+1)(s+2)]^2} = 0,$$

ale cărei soluții sunt

$$q_{1,2}(s) = \frac{s-1,5 \pm \sqrt{d(s)}}{1,25(s+1)(s+2)}, \quad d(s) = (s-1,5)^2 - (s^2+3s+2).$$

Rezolvând ecuația $d(s) = 0$ se obțin punctele de ramificare $s_{1,2} = 1/24$. Suprafețele Riemann corespunzătoare sunt reprezentate în fig. IV.8.

Locul caracteristic al sistemului deschis, pentru $k = 1$, are forma din fig. IV.9. Întrucit toți polii sistemului deschis sunt situați în $\operatorname{Re} s < 0$, conform teoremei 6, locul caracteristic al sistemului deschis (trasat pentru $k = 1$) nu trebuie să înconjoare punctul critic $(-\frac{1}{k}, j0)$. Dacă punctul critic parcurge întreaga axă reală, situațiile care se obțin sunt conforme tabelului următor.

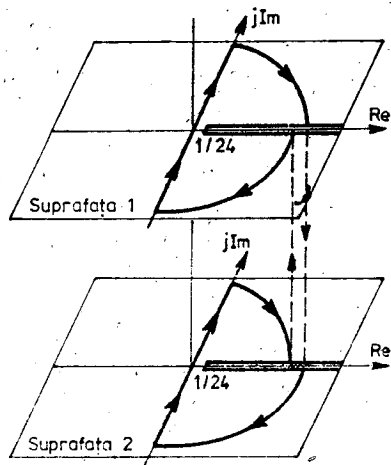


Fig. IV.8. Suprafetele Riemann la exemplul 1.8.

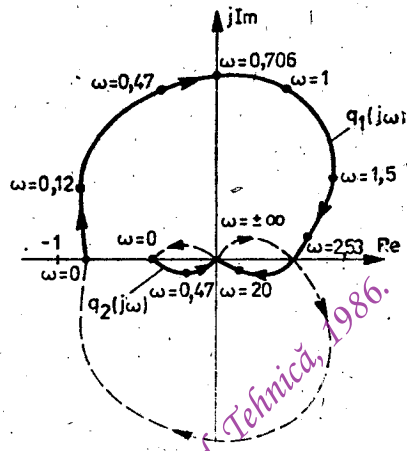


Fig. IV.9. Locul caracteristic la exemplul 1.8 ($k = 1$).

Poziția punctului critic	Nr. de înconjurări ale punctului critic	Valorile lui k	Sistemul este
$-\infty \leq -\frac{1}{k} < -0,8$	0	$0 \leq k < 1,25$	stabil IMEM
$-\frac{1}{k} = -0,8$	locul trece prin punctul critic	$k = 1,25$	instabil IMEM
$-0,8 < -\frac{1}{k} < -0,4$	1	$1,25 < k < 2,5$	instabil IMEM
$-\frac{1}{k} = -0,4$	locul trece prin punctul critic	$k = 2,5$	instabil IMEM
$-0,4 < -\frac{1}{k} < 0$	0	$2,5 < k < +\infty$	stabil IMEM
$-\frac{1}{k} = 0$	locul trece prin punctul critic	$k = +\infty$	instabil IMEM
$0 < -\frac{1}{k} < 0,533$	2	$-\infty < k < -1,875$	instabil IMEM
$-\frac{1}{k} = 0,533$	locul trece prin punctul critic	$k = -1,875$	instabil IMEM
$0,533 < -\frac{1}{k} \leq +\infty$	0	$-1,875 < k \leq 0$	stabil IMEM

1.2.3. Aplicație: servomecanism de precizie

În cazul servomecanismelor de poziționare realizate cu servomotoare electrice rotative, între axul servomotorului electric și mecanismul poziționat se interpusă în mod necesar un reductor mechanic cu roți dințate prin care se reduce turăția, cu creșterea corespunzătoare a momentului mechanic util. Este un fapt bine cunoscut că jocurile mecanice ale reductorului pot afecta într-o bună măsură precizia de poziționare a servomecanismului.

Există aplicații, cum ar fi acționarea roboților sau poziționarea antenelor direcționale, [F1], în care precizia de poziționare este o condiție esențială. Pentru eliminarea influenței jocului reductoarelor mecanice cu roți dințate se pot folosi acționări cu două servomotoare care lucrează în sensuri opuse. În fig. IV.10, a se reprezintă schema funcțională a celor două acționări. Servomotoarele se caracterizează prin momentul de inerție J și mecanismul acționat prin momentul de inerție J . Prin inter-

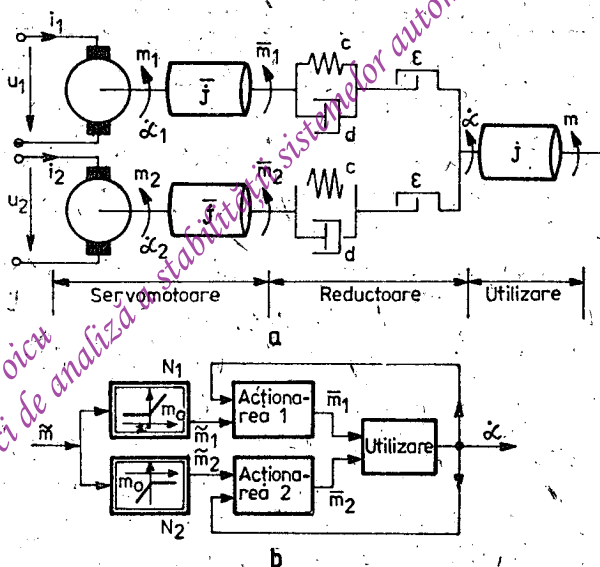


Fig. IV.10. a – Schema funcțională a unei acționări cu două servomotoare;

b – Principiul pretensionării pentru eliminarea jocului.

mediul reductoarelor mecanice, caracterizate prin coeficientul de torsionă elastică c , coeficientul de frecare viscoasă d și jocul în angrenaje ϵ , cele două servomotoare acționează în opoziție. Eliminarea efectivă a efectului jocului se obține prin pretensionarea reductoarelor conform schemei funcționale din fig. IV.10, b. Comanda acționărilor se face prin blocurile neliniare N_1 și N_2 , care au tocmai rolul de a fixa valoarea cuplului m_0 de pretensionare. Valoarea prescrisă \tilde{m} pentru reglarea turăției se aplică prin blocurile N_1 și N_2 . La $\tilde{m} = 0$, datorită formei caracteristicilor blocurilor N_1 și N_2 , cele două servomotoare sunt comandate prin m_0 și $-m_0$, ceea ce asigură pretensionarea reductoarelor și prin aceasta eliminarea efectului jocului din angrenajele lor. Pentru $\tilde{m} \neq 0$ axul de ieșire se va rota într-un sens sau în celălalt, în funcție de semnul lui \tilde{m}), dar la reversare sau la oprire efectul jocului nu va mai fi prezent.

Această soluție privind eliminarea efectului jocului din angrenajele reductoarelor mecanice are dezavantajul că în cazul unei excitări nesimetrice a servomotoarelor de curent continuu este posibilă apariția unor oscilații sau chiar a instabilității.

Un procedeu de stabilizare a unui atare sistem constă în introducerea a două circuite de reacție inversă și anume după semisuma și după semidiferența vitezelor unghiulare ale celor două servomotoare.

Schema bloc structurală a instalației automatizate este reprezentată în fig. IV.11. Întrucât jocul a fost eliminat prin pretensionarea reduc-

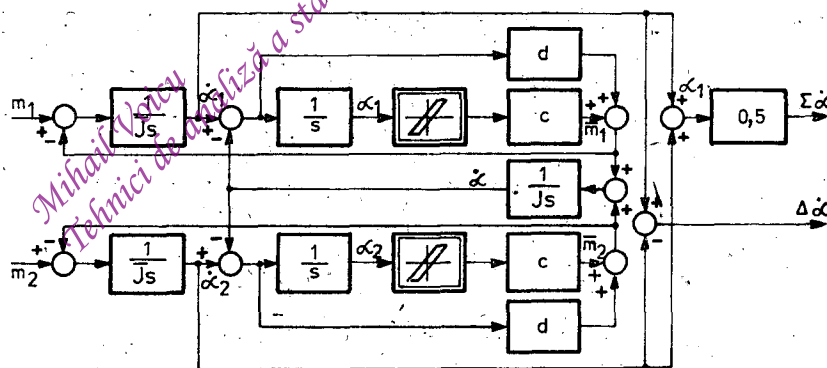


Fig. IV.11. Schema bloc structurală a acționării unui servomecanism de precizie.

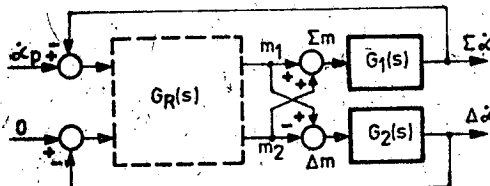


Fig. IV.12. Schema bloc structurală a reglării automate a semisumei și semidiferenței turatiilor în cazul servomecanismului de precizie.

toarelor, sistemul poate fi considerat liniar și ca atare poate fi redus prin transfigurări la forma mai simplă din fig. IV.12, în care

$$G_1(s) = \frac{k_1(b_2 s^2 + b_1 s + 1)}{s(a_2 s^2 + a_1 s + 1)}, \quad (1.44)$$

$$k_1 = \frac{1}{J + 2\bar{J}}, \quad a_1 = \frac{d}{c}, \quad a_2 = \frac{\bar{J}J}{c(J + 2\bar{J})}, \quad b_1 = a_1, \quad b_2 = \frac{J}{2c}, \quad (1.45)$$

$$G_2(s) = \frac{k_2 s}{c_2 s^2 + c_1 s + 1}. \quad (1.46)$$

$$k_2 = \frac{1}{c}, \quad c_1 = a_1, \quad c_2 = \frac{J}{2c}. \quad (1.47)$$

rezolvă instalația automatizată și $G_R(s)$ este matricea de transfer a regulatorului.

Pentru valorile numerice $k_1 = 0,33$, $a_1 = b_1 = c_1 = 4$, $a_2 = 0,5$, $b_2 = 1$, $k_2 = 20$, $c_2 = 1$ și un regulator de forma

$$G_R(s) = \begin{bmatrix} k & 0 \\ 0 & k \end{bmatrix}, \quad (1.48)$$

matricea de transfer a sistemului are expresia

$$\begin{aligned} G(s) &= \begin{bmatrix} G_1(s) & G_1(s) \\ G_2(s) & -G_2(s) \end{bmatrix} \begin{bmatrix} k & 0 \\ 0 & k \end{bmatrix} = \\ &= \begin{bmatrix} \frac{k(s^2 + 4s + 1)}{0,3s(0,5s^2 + 4s + 1)} & \frac{k(s^2 + 4s + 1)}{0,3s(0,5s^2 + 4s + 1)} \\ \frac{20ks}{s^2 + 4s + 1} & \frac{20ks}{s^2 + 4s + 1} \end{bmatrix}. \end{aligned} \quad (1.49)$$

Polii acestei matrici sunt zerourile polinomului

$$s(s^2 + 4s + 1)(0,5s^2 + 4s + 1)$$

și anume $s_1 = 0$, $s_2 = -0,267$, $s_3 = -3,732$, $s_4 = -0,535$, $s_5 = -7,64$.

Deci $G(s)$ are un singur pol pe axa imaginară. Utilizând ecuația (1.39), pentru $k = 1$, se obțin funcțiile caracteristice

$$q_{1,2}(s) = \frac{-p_2 \pm \sqrt{p_2^2 - 4p_1p_3}}{2p_1}, \quad (1.50)$$

unde

$$p_1(s) = 0,3s(0,5s^2 + 4s + 1)(s^2 + 4s + 1)$$

$$p_2(s) =$$

$$= 6s^2(0,5s^2 + 4s + 1) - (s^2 + 4s + 1)^2 \quad (1.51)$$

$$p_3(s) = 40s(s^2 + 4s + 1).$$

Locul caracteristic în cazul $k = 1$ are forma din fig. IV.13. Dacă punctul critic parcurge întreaga axă reală situațiile care se obțin sint cuprinse în tabelul următor.

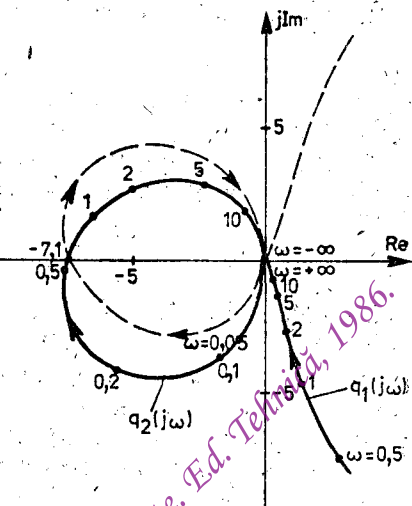


Fig. IV.13. Locul caracteristic al sistemului din fig. IV.12.

Pozitia punctului critic	Nr. de inconjurari ale punctului critic	Valorile lui k	Sistemul este
$-\infty < -\frac{1}{k} < -7,1$	0	$0 \leq k < 0,138$	stabil IMEM
$-\frac{1}{k} = -7,1$	locul trece prin punctul critic	$k = 0,138$	instabil IMEM
$-7,1 < -\frac{1}{k} < 0$	2	$0,138 < k < +\infty$	instabil IMEM
$-\frac{1}{k} = 0$	locul trece prin punctul critic	$k = +$	instabil IMEM
$0 < -\frac{1}{k} < +\infty$	1	$-\infty < k < 0$	instabil IMEM

La aplicarea teoremei 6 s-a ținut seama și de condiția 2°, care este satisfăcută de sistemul considerat, deoarece locul caracteristic are o singură ramură care se închide prin punctul de la infinit.

2. Problema stabilizării

Stabilizarea sistemelor automate liniare multivariable poate fi abordată pe două cai, și anume: prin utilizarea reprezentării intrare-stare-ieșire și prin utilizarea reprezentării intrare-ieșire. În ambele situații se folosește același procedeu: reacția, care poate fi după stare sau după ieșire.

2.1. Reacția după stare

Din punctul de vedere al aplicațiilor, este fréquentă situația în care matricea de evoluție A a unui sistem dinamic liniar constant (continuu sau discret în timp) nu posedă în mod natural proprietățile de stabilitate cerute de funcționalitatea concretă și/sau de destinația sistemului.

În cazul utilizării reprezentării intrare-stare-ieșire, cea mai simplă posibilitate de modificare a localizării valorilor proprii ale unui sistem constă în introducerea unei reacții proportionale după starea sa. Întrucât formal problema stabilizării se rezolvă analog atât pentru sistemele continue, cât și pentru cele discrete în timp, ne vom referi în continuare numai la cazul sistemelor continue în timp.

Fie sistemul dinamic liniar invariant și continuu în timp:

$$\dot{x} = Ax + Bu, \quad t \in \mathbb{R}_+, \quad x \in \mathbb{R}^n, \quad u \in \mathbb{R}^m, \quad (2.1)$$

$$y = Cx, \quad y \in \mathbb{R}^p, \quad (2.2)$$

și legea de reglare

$$u = -Kx + Mv, \quad v \in \mathbb{R}^q, \quad (2.3)$$

unde K este matricea reacției după stare, v este noua mărime de intrare și M este o matrice prin care se poate realiza o anumită relație intrare-iesire impusă în regim staționar.

Înlocuind (2.3) în (2.1) se obține

$$\dot{x} = (A - BK)x + BMv, \quad (2.4)$$

ceea ce înseamnă că matricea de evoluție a noului sistem (2.4), (2.2), a cărui structură este reprezentată în fig. IV.14, este $A - BK$.

Definiția 1. Sistemul dinamic (1.31), (1.32) se numește *stabilizabil* dacă există o matrice K astfel încât sistemul (2.4), (2.2) să fie asimptotic stabil.

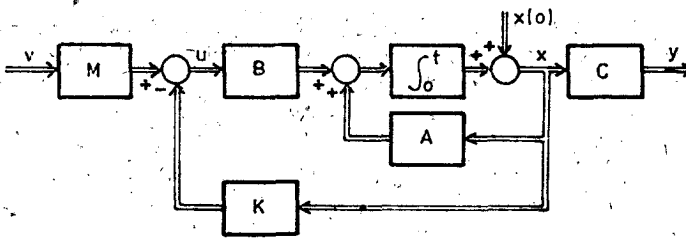


Fig. IV.14. Structura sistemului cu reacție după stare (ecuațiile (2.1)–(2.3)).

Se remarcă de la bun început că, întrucât matricea

$$F = A - BK \quad (2.5)$$

trebuie să satisfacă anumite condiții relative la stabilitatea asimptotică a sistemului, este de așteptat ca existența matricii K să depindă într-un mod specific de perechea de matrici A, B .

1° Polinomul caracteristic al matricii F este dat (evident, el este hurwitzian în cazul sistemelor continue în timp sau convergent în celor discrete în timp). În această situație stabilizarea unui sistem dinamic liniar constituie un caz particular al unei probleme mai generale, și anume a *alocării valorilor proprii*, [W 4].

2° Matricea F este dată (evident, ea este hurwitziană sau convergentă, după caz). În această situație stabilizarea unui sistem dinamic liniar constituie o problemă de existență a unei soluții K a ecuației matriceale (2.5).

2.1.1. Alocarea valorilor proprii

Fie

$$\mathcal{C} = [B, AB, A^2B, \dots, A^{n-1}B] \quad (2.6)$$

matricea de controlabilitate a sistemului (2.1), (2.2) (sau a perechii de matrici A, B). S-a arătat că perechea A, B este complet controlabilă dacă și numai dacă rang $\mathcal{C} = n$ (v. I. 6.3.2).

Fie

$$\Delta_F(s) = s^n + a_1s^{n-1} + \dots + a_{n-1}s + a_n, \quad s \in \mathbb{C}, \quad (2.7)$$

un polinom oarecare cu coeficienți reali.

Teorema 1 (Wonham). Dacă perechea A, B este complet controlabilă atunci pentru orice polinom $\Delta_F(s)$ există o matrice F astfel încit F are ca polinom caracteristic pe $\Delta_F(s)$.

D. Pentru simplificarea demonstrației vom considera $m = 1$, ceea ce înseamnă că B este o matrice $n \times 1$ (sistemu are o singură intrare scalară) și K este o matrice $1 \times n$.

Vom arăta mai întii că dacă $\mathcal{C} = n$ atunci, folosind transformarea

$$\tilde{x} = Px, \quad (2.8)$$

cu

$$P = \begin{bmatrix} W_n \\ W_n A \\ \vdots \\ W_n A^{n-1} \end{bmatrix}, \quad (2.9)$$

în care W_n este ultima linie a matricii \mathcal{C}^{-1} , sistemul (2.1) poate fi adus la forma sa canonică controlabilă

$$\tilde{x} = \begin{bmatrix} 0 & 1 & 0 & \cdots & 0 \\ 0 & 0 & 1 & \cdots & 0 \\ \vdots & \vdots & \vdots & \ddots & \vdots \\ 0 & 0 & 0 & \cdots & 1 \\ -\alpha_n & -\alpha_{n-1} & \alpha_{n-2} & \cdots & -\alpha_1 \end{bmatrix} \tilde{x} + \begin{bmatrix} 0 \\ 0 \\ \vdots \\ 0 \\ 1 \end{bmatrix} u. \quad (2.10)$$

Constantele α_i , $i = 1, 2, \dots, n$, în conformitate cu II.2.3.1, sunt coeficienții polinomului caracteristic al matricii A .

Pentru a putea folosi transformarea (2.8) trebuie ca $\det P \neq 0$. Demonstrația acestui fapt constă în a presupune că există constantele c_i , $i = 1, 2, \dots, n$, astfel încit

$$c_1 W_n + c_2 W_n A + \dots + c_n W_n A^{n-1} = 0. \quad (2.11)$$

Multiplicând în (2.11) la dreapta cu $B \neq 0$ se obține

$$c_1 W_n B + c_2 W_n A B + \dots + c_n W_n A^{n-1} B = 0. \quad (2.12)$$

Având în vedere că $\mathcal{C}^{-1} \mathcal{C} = I$, că W_n este ultima linie a lui \mathcal{C}^{-1} și că \mathcal{C} are forma (2.6) rezultă că $W_n A^{i-1} B = 0$, $i = 1, 2, \dots, n-1$. Ca urmare, din (2.12) se obține $c_n = 0$.

Multiplicând din nou în (2.11) la dreapta cu $AB \neq 0$ se obține

$$c_1 W_n A B + c_2 W_n A^2 B + \dots + c_{n-1} W_n A^{n-1} B = 0. \quad (2.13)$$

În aceleasi condiții, avem $W_n A^i B = 0$, $i = 1, 2, \dots, n-2$, ceea ce din (2.13), implică $c_{n-1} = 0$.

Continuind în acest mod se trage concluzia că $c_i = 0$, $i = 1, 2, \dots, n$, ceea ce înseamnă că liniile matricii P , relația (2.9), sunt liniar independente.

Folosind transformarea (2.8) ecuația (2.1) devine

$$\tilde{x} = \tilde{A}\tilde{x} + \tilde{B}u,$$

în care

$$\tilde{A} = PAP^{-1} = \begin{bmatrix} W_n \\ W_n A \\ \vdots \\ W_n A^{n-1} \end{bmatrix} AP^{-1} = \begin{bmatrix} W_n A \\ W_n A^2 \\ \vdots \\ W_n A^n \end{bmatrix} P^{-1},$$

$$\tilde{B} = PB = \begin{bmatrix} W_n \\ W_n A \\ \vdots \\ W_n A^{n-1} \end{bmatrix} B = \begin{bmatrix} W_n B \\ W_n AB \\ \vdots \\ W_n A^{n-1} B \end{bmatrix}.$$

Dacă p_k este coloana k a matricii P^{-1} atunci, ținând seama de faptul că $PP^{-1} = I$ și că P are forma (2.9), elementele matricilor \tilde{A} și \tilde{B} sint

$$W_n A^i p_k = \begin{cases} 0, & k=1, 2, \dots, i, i+2, \dots, n, \\ 1, & k=i+1, \end{cases}$$

$$i = 1, 2, \dots, n-1,$$

$$W_n A^n p_k = -\alpha_{n-k+1}, \quad k = 1, 2, \dots, n,$$

și, respectiv,

$$W_n A^{i-1} B = \begin{cases} 0, & i=1, 2, \dots, n-1, \\ 1, & i=n, \end{cases}$$

de unde rezultă că \tilde{A} și \tilde{B} au formele specificate în (2.10).

În aceste condiții putem scrie succesiv

$$F = A - BK = P^{-1} \tilde{A}P - P^{-1} \tilde{B}K = P^{-1}(\tilde{A} - \tilde{B}K)P, \quad (2.14)$$

unde

$$\tilde{K} = [\tilde{k}_n \tilde{k}_{n-1} \dots \tilde{k}] = KP^{-1}. \quad (2.15)$$

Tinind seama de formele concrete ale matricilor \tilde{A} , \tilde{B} și \tilde{K} , din (2.14) rezultă că F este asemenea cu matricea de tip Frobenius

$$\tilde{F} = \begin{bmatrix} 0 & 1 & 0 & \cdots & 0 \\ 0 & 0 & 1 & \cdots & 0 \\ \vdots & \vdots & \vdots & \ddots & \vdots \\ 0 & 0 & 0 & \cdots & 1 \\ -\alpha_n - k_n & -\alpha_{n-1} - k_{n-1} & -\alpha_{n-2} - k_{n-2} & \cdots & -\alpha_1 - k_1 \end{bmatrix} \quad (2.16)$$

ceea ce înseamnă:

$$\det(Is - F) = \det(Is - \tilde{F}) = s^n + (\alpha_1 + \tilde{k}_1)s^{n-1} + \cdots + \alpha_n + \tilde{k}_n \quad (2.17)$$

Acum este evident că teorema este adevărată deoarece pentru orice $\Delta_F(s)$ de forma (2.7) există $\tilde{k}_i = a_i - \alpha_i$, $i = 1, 2, \dots, n$, respectiv $K = \tilde{K}P$ (v. relația (2.15)) astfel încât $\det(Is - F) = \Delta_F(s)$. ■

Demonstrația constructivă a teoremei 1 pune în evidență și un procedeu de calcul al matricii K . Evident, problema esențială în cadrul acestui procedeu rămîne determinarea formei canonice controlabile a sistemului (2.1), (2.2). Proceduri numerice de determinare a formei canonice controlabile și de alocare a valorilor proprii sunt expuse de exemplu în [V 1].

În ceea ce privește calculul matricii M , să observăm că matricea de transfer a sistemului (2.4), (2.2) are forma

$$G(s) = C[Is - (A - BK)]^{-1}BM. \quad (2.18)$$

După cum se știe relația intrare-ieșire în regim staționar este determinată de $G(0)$. Dacă $G(0)$ trebuie să aibă o anumită formă atunci din ecuația matricială

$$C(BK - A)^{-1}BM = G(0) \quad (2.19)$$

se determină soluția M care asigură realizarea efectivă a respectivului $G(0)$. Dacă matricea $C(BK - A)^{-1}B$ nu este pătratică atunci pentru rezolvarea ecuației (2.19) se folosește noțiunea de *matrice inversă generalizată*, [B 11] în același mod în care va fi folosită la 2.1.2.

Pe baza teoremei 1 se obține imediat următorul rezultat privitor la problema stabilizării.

Teorema 2. Dacă sistemul (2.1), (2.2) este de stare complet controlabilă atunci el este stabilizabil.

D. Întrucît perechea A , B este complet controlabilă, conform teoremei 1, există \tilde{K} astfel încât F are ca polinom caracteristic un polinom de gradul n cu coeficienți arbitrari. Impunând condiția ca acest polinom să fie hurwitzian (cu zerouri impuse sau cu coeficienți impuși) — în cazul

sistemelor continue în timp, sau convergent în cazul sistemelor discrete în timp, rezultă că sistemul (2.4), (2.2) este asimptotic stabil.

Exemplul 2.1. Se consideră un ascensor de mină, cu schema funcțional-tehnologică din fig. IV.15, a și cu schema bloc din fig. IV.15, b, în care

$$G_1(s) = \frac{k_1}{T_1 s + 1}, \quad k_1 = 10, \quad T_1 = 10,$$

$$G_2(s) = \frac{k_2 \omega_0^2}{s^2 + \omega_0^2}, \quad k_2 = 5, \quad \omega_0 = 0,1,$$

sunt funcțiile de transfer a sistemului de acționare (prevăzut cu reglaj automat de turăție) și a ansamblului sarcină-contragreutate-cablui (ω_0 este pulsăriția naturală a acestui ansamblu, determinată de masa lui și de elasticitatea cablului).

Se cere să se stabilizeze acest sistem prin alocarea valorilor proprii în $-0,1$, soluție care asigură un răspuns indicial aperiodic.

Pentru determinarea ecuației intrare-stare se introduc variabilele $x_1 = \omega$, $x_2 = v$, $x_3 = \dot{v}$, $x_4 = h$. În aceste circumstanțe, ținând seama de fig. IV.15, b, putem scrie ecuațiile

$$X_1(s) = \frac{k_1}{T_1 s + 1} U(s), \quad X_2(s) = \frac{k_2 \omega_0^2}{s^2 + \omega_0^2} X_1(s),$$

$$X_3(s) = s \dot{X}_2(s), \quad X_4(s) = \frac{1}{s} X_2(s).$$

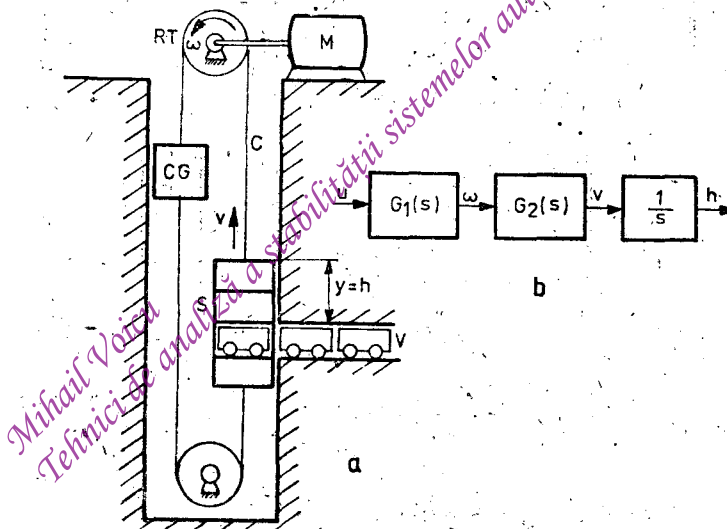


Fig. IV.15. a – Schema funcțional-tehnologică a unui ascensor de mină: M – motorul de acționare; RT – roata de tracțiune; S – sarcina; V – vagonet; C – cablul sarcinii; CG – contragreutate; b – Schema bloc structurală a sistemului.

Acesta le corespunde în domeniul timpului următoarea ecuație intrare-stare

$$\dot{x} = \begin{bmatrix} -1/T_1 & 0 & 0 & 0 \\ 0 & 0 & 1 & 0 \\ k_2 \omega_0^2 & -\omega_0^2 & 0 & 0 \\ 0 & 1 & 0 & 0 \end{bmatrix} x + \begin{bmatrix} k_1/T_1 \\ 0 \\ 0 \\ 0 \end{bmatrix} u,$$

în care $x = [x_1 \ x_2 \ x_3 \ x_4]^T$ este vectorul de stare al sistemului.

Determinantul matricii de controlabilitate este

$$\det C = -k_1^4 k_2^3 \omega_0^8 T_1^{-4} = -125 \cdot 10^{-6},$$

ceea ce înseamnă că sistemul considerat este de stare complet controlabilă. Pentru valorile numerice date ultima linie a inversei matricii de controlabilitate este $W_4 = [0 \ 0 \ 0 \ 20]$.

Utilizând transformarea (2.8) în care

$$P = \begin{bmatrix} 0 & 0 & 0 & 20 \\ 0 & 20 & 0 & 0 \\ 0 & 0 & 20 & 0 \\ 1 & -0,2 & 0 & 0 \end{bmatrix}, \quad P^{-1} = \begin{bmatrix} 0 & 0,01 & 0 & 1 \\ 0 & 0,05 & 0 & 0 \\ 0 & 0 & 0,05 & 0 \\ 0,05 & 0 & 0 & 0 \end{bmatrix},$$

se obține forma canonica controlabilă (2.10) cu

$$\tilde{A} = \begin{bmatrix} 0 & 1 & 0 & 0 \\ 0 & 0 & 1 & 0 \\ 0 & 0 & 0 & 1 \\ 0 & -10^{-3} & -10^{-2} & -10^{-1} \end{bmatrix}, \quad \tilde{B} = \begin{bmatrix} 0 \\ 0 \\ 0 \\ 1 \end{bmatrix}.$$

Pentru valorile proprii impuse rezultă un polinom caracteristic $\Delta_F(s) \doteq (s + 0,1)^4 = s^4 + 0,4s^3 + 0,06s^2 + 0,004s + 0,0001$, ceea ce implică $k_1 = 0,3$, $k_2 = 0,05$, $k_3 = 0,003$, $k_4 = 0,0001$.

Matricea de reacție după stare rezultă din $K = \tilde{K}P = [\tilde{k}_4 \ \tilde{k}_3 \ \tilde{k}_2 \ \tilde{k}_1] P = [0,3 \ 0,1 \ 0,002]$.

2.1.2. Existența soluției ecuației (2.5)

O altă posibilitate de a aborda existența și determinarea unei matrici K în problema stabilizării constă în a rezolva ecuația matriceală (2.5), în care K este necunoscută și A , B , F sunt matrici date. Soluția

se bazează pe folosirea inversei generalizate a unei matrici (în cazul de față B). Definiția corespunzătoare este: orice matrice B^g care satisfac condiția

$$BB^gB = B \quad (2.20)$$

nu numește o *inversă generalizată* a matricii B , [B 1].

În aceste circumstanțe ecuația (2.5) admite o soluție în condițiile următoarei afirmații.

Teorema 3. Ecuația (2.5) admite o soluție

$$K = B^g(A - F) + (I_m - B^gB)Z, \quad (2.21)$$

în care I_m este matricea unitate de ordinul m și Z este o matrice $m \times n$ reală arbitrară, dacă și numai dacă are loc condiția de consistență

$$(BB^g - I_n)(A - F) = 0, \quad (2.22)$$

în care I_n este matricea unitate de ordinul n .

Demonstrația este imediată și constă în a verifica faptul că (2.21) este soluție a ecuației (2.5) dacă și numai dacă are loc (2.22); evident, se tine seama și de definiția (2.20).

În conformitate cu (2.22) rezultă că ecuația (2.5) nu admite o soluție pentru orice F . Aceasta înseamnă că alegerea lui F nu este în întregime arbitrară, în sensul că anumite elemente ale sale sunt determinate de perechea A, B în timp ce altele pot fi arbitrar. Acest lucru rămâne valabil și în condițiile teoremei 1, care poate fi demonstrată folosind condiția (2.22).

În cazul în care rang $B = m$ (uzual $m \leq n$), matricea B admite o mulțime de inverse generalizate la stînga B^g , care satisfac condiția

$$B^gB = I_m. \quad (2.23)$$

Dintre acestea cel mai simplu de calculat este inversa Moore-Penrose

$$B^+ = (B^T B)^{-1} B^T. \quad (2.24)$$

Înlocuind (2.24) în (2.21) și (2.22) soluția și, respectiv, condiția de consistență devin

$$K = (B^T B)^{-1} B^T(A - F), \quad (2.25)$$

$$[B(B^T B)^{-1} B^T - I_n](A - F) = 0. \quad (2.26)$$

Comparativ cu modul de determinare a matricii K pus în evidență la demonstrația teoremei 1, care presupune determinarea formei canonice controlabile a sistemului, utilizarea ecuațiilor (2.25), (2.26) (sau (2.21), (2.22) în cazul rang $B < m$) poate asigura, în unele situații, rezolvarea mai simplă a problemei stabilizării.

Aspectul esențial al utilizării soluției (2.25) (sau (2.21)) este acela al alegerii acelei matrici F , compatibilă cu condiția de consistență (2.26) (sau 2.22), care are proprietățile de stabilitate asimptotică impuse. Ca soluții parțiale ale acestui aspect al problemei se pot cita [L 5], [V4]. Se poate aprecia că o soluționare satisfăcătoare privind alegerea matricii F se obține pe baza rezultatelor din [G 4] privitoare la localizarea zerourilor unui polinom sau a valorilor proprii ale unei matrici într-o anumită regiune algebrică a planului complex.

2.1.3. Aplicație: stabilizarea unui pod rulant

Se consideră podul rulant de la I.1.4.3, descris de ecuațiile liniarizate (I.1.66), (I.1.67). Se folosește pentru acționare un motor electric de curent continuu prevăzut cu reglaj automat de turăție și cu un redusor mecanic adevarat. Acest ansamblu este descris de ecuația

$$\dot{x}_5 = -\frac{1}{T_M} x_5 + \frac{k_M}{T_M} u, \quad (2.27)$$

în care x_5 este forța de tracțiune (notată cu u în (I.1.66)) dezvoltată de sistemul de acționare, u este tensiunea de comandă și k_M , T_M sunt factorul de amplificare, respectiv constanta de timp ale acestui subsistem.

Se cere să se stabilizeze sistemul descris de ecuațiile (I.1.66), (2.27), (I.1.67) printr-o reacție proporțională adevarată după stare.

Reunind ecuațiile (I.1.66), (I.1.67) (în care se face schimbarea $u \rightarrow x_5$) cu ecuația (2.27) pentru valorile numerice considerate la exemplul 1.8 de la II.1.1.6 se obțin următoarele ecuații ale sistemului

$$\begin{bmatrix} x_1 \\ x_2 \\ x_3 \\ x_4 \\ x_5 \end{bmatrix} = \begin{bmatrix} 0 & 1 & 0 & 0 & 0 \\ 0 & 0 & 40 & 0 & 10^{-3} \\ 0 & 0 & 0 & 1 & 0 \\ 0 & 0 & -5 & 0 & -10^{-4} \\ 0 & 0 & 0 & 0 & -1 \end{bmatrix} \begin{bmatrix} x_1 \\ x_2 \\ x_3 \\ x_4 \\ x_5 \end{bmatrix} + \begin{bmatrix} 0 \\ 0 \\ 0 \\ 0 \\ 100 \end{bmatrix} u, \quad (2.28)$$

$$y = [1 \ 0 \ 10 \ 0 \ 0] \begin{bmatrix} x_1 \\ x_2 \\ x_3 \\ x_4 \\ x_5 \end{bmatrix}. \quad (2.29)$$

S-a arătat la *exemplul 1.8* de la II.1.1.6 că acest sistem este instabil IMEM. S-a arătat de asemenea în [V 10] că deși sistemul este stabilizabil prin procedee clasice nu este posibilă obținerea unor performanțe acceptabile. Acest aspect major privitor la calitatea reglării automate se poate rezolva într-un mod simplu și satisfăcător prin alocarea valorilor proprii. Aplicarea acestui procedeu este posibilă deoarece, după calculul matricii de controlabilitate, se constată că rang $C = 5$ și conform *teoremei 2* sistemul considerat este stabilizabil.

Întrucât ecuațiile sistemului sunt „foarte aproape” de forma sa canonica controlabilă, vom determina elementele matricii K prin calcul direct. Într-adevăr, folosind (2.5) se obține

$$F = \begin{bmatrix} 0 & 1 & 0 & 0 & 0 \\ 0 & 0 & 40 & 0 & 10^{-3} \\ 0 & 0 & 0 & 1 & 0 \\ 0 & 0 & -5 & 0 & -10^{-4} \\ -100k_5 & -100k_4 & -100k_3 & -100k_2 & -100k_1 - 1 \end{bmatrix}.$$

cu

$$\Delta_F(s) = \det (Is - F) = s^5 + (100k_1 + 1)s^4 + 100k_2s^3 + \\ + 100k_3s^2 + 100k_4s + 100k_5. \quad (2.30)$$

Pentru determinarea parametrilor k_1, \dots, k_5 ne propunem să alocăm valorile proprii în felul următor: $\lambda_{1,2,3} = -1$ și $\lambda_{4,5}$ să fie dominantă și să asigure o suprareglare de 5% și un timp de răspuns la 5% de 15 s. Conform fig. I.20 rezultă $\zeta = 0,707$ și $\omega_n = 0,2$ (din $\omega_n 15 \approx 3$). Aceasta înseamnă că $\lambda_{4,5} = \omega_n(-\zeta \pm \sqrt{1-\zeta^2}) = -0,1414 \pm j0,1414$. Așadar trebuie să avem

$$\Delta_F(s) = (s + 1)^3(s^2 + 0,2828s + 0,04) = \\ = s^5 + 3,2828s^4 + 3,8885s^3 + 1,9685s^2 + 0,4028s + 0,04. \quad (2.31)$$

Identificând coeficienții literali din (2.30) cu cei numerici din (2.31) se obține

$$K = [0,4 \ 4,028 \ 1448,56 \ 151,42 \ 0,0428].$$

2.1.4 Estimarea stării

În rezolvarea problemei stabilizării prin reacția după stare s-a presupus în mod tacit că toate componentele stării sistemului (2.1), (2.2) sunt direct măsurabile, ceea ce a permis formularea legii de reglare după stare (2.3).

În numeroase situații, semnificative din punct de vedere practic, nu toate componentele vectorului de stare al unui sistem sunt direct măsurabile sau dacă ele sunt măsurabile, numărul și costul traductoarilor necesare nu justifică implementarea legii de reglare (2.3). În astfel de cazuri se poate proceda în două moduri:

1° Să se estimeze cu ajutorul unui sistem dinamic suplimentar, special introdus, toate componentele vectorului de stare al sistemului care urmează să fie stabilizat;

2° Să se utilizeze o lege de reglare mai complicată bazată pe măsurarea unui număr redus de mărimi dependente de componentele stării (de exemplu, măsurind mărimea de ieșire).

Ne vom ocupa în continuare de prima modalitate.

Un sistem dinamic cu ajutorul căruia se obține o aproximare a stării unui alt sistem dinamic se numește *estimator de stare*.

Până în prezent s-au pus în evidență numeroase posibilități de definire matematică și de realizare practică a estimatoarelor de stare, [L 6], [H 5]. O calitate definitorie comună a acestora, în afară de aceea că toate asigură estimarea stării sau a altor mărimi ale unui sistem, este că toate sunt sisteme dinamice asimptotic stabile. Prima definiție a unui estimator asimptotic de stare a fost următoarea.

Definiția 2 (Luenberger). Se numește *estimator asimptotic de stare* al sistemului (2.1) (2.2) un sistem dinamic liniar constant dat prin ecuația

$$\hat{x} = (A - LC)\hat{x} + Bu + Ly, \quad t \in \mathbb{R}_+, \quad \hat{x} \in \mathbb{R}^n, \quad \hat{x}(0) = 0, \quad (2.32)$$

cu proprietatea

$$\lim_{t \rightarrow \infty} [x(t) - \hat{x}(t)] = 0, \quad (2.33)$$

unde L este o matrice $(n \times p)$.

Pentru a vedea în ce condiții există matricea L , vom evalua eroarea de estimare

$$x_e = x - \hat{x} \quad (2.34)$$

folosind (2.1), (2.2) și (2.32). Se obține

$$\dot{x}_e = (A - LC)x_e,$$

ceea ce înseamnă că L trebuie ales (dacă există) astfel încât matricea $A - LC$ să fie hurwitziană, în cazul sistemelor dinamice liniare invariante și continue în timp, sau să fie convergentă în cazul sistemelor dinamice liniare invariante și discrete în timp. Prin analogie cu cazul stabilizării unui sistem dinamic liniar constant se poate formula următoarea definiție.

Definiția 3. Sistemul dinamic (2.1), (2.2) se numește *detectabil* dacă există un estimator asimptotic de stare, respectiv dacă există o matrice L astfel încât sistemul (2.32) să fie asimptotic stabil.

Detectabilitatea sistemului (2.1), (2.2) depinde de observabilitatea perechii (A, C) , respectiv de rangul matricii de observabilitate

$$\mathcal{O} = \begin{bmatrix} C \\ CA \\ \vdots \\ CA^{n-1} \end{bmatrix}. \quad (2.35)$$

Pe baza dualismului *stabilizabilitate=detectabilitate* se poate enunța următorul rezultat.

Teorema 4. Dacă sistemul (2.1), (2.2) este de stare complet observabilă atunci el este detectabil.

D. Întrucât perechea (A, C) este complet observabilă rezultă că perechea (A^T, C^T) este complet controlabilă. În virtutea teoremei 2 există o matrice L^T astfel încât $A^T - C^T L^T$ să fie hurwitziană – în cazul sistemelor continue în timp, sau convergentă – în cazul sistemelor discrete în timp. Întrucât matricile $A^T - C^T L^T$ și $A - LC$ au aceeași natură rezultă că teorema este adevarată. ■

Dualismul *stabilizabilitate=detectabilitate* (și în subsidiar *controlabilitate-observabilitate*) sugerează și modul de construcție efectivă a matricii L , și anume prin alocarea valorilor proprii sau prin rezolvarea ecuației matriceale $LC = A - F$, unde F este o matrice cu proprietăți de stabilitate impuse. În ceea ce privește proprietățile de stabilitate ale matricii A nu se formulează nici o prescripție, ceea ce înseamnă că din acest punct de vedere, ea poate fi arbitrară.

În ipoteza că sistemul (2.1), (2.2) este stabilizabil și detectabil problema stabilizării sale se poate rezolva prin implementarea legii de reglare

$$u = -K\hat{x} + Mv, \quad (2.36)$$

care este de același tip cu (2.3) dar în care s-a înlocuit x cu \hat{x} furnizat de sistemul (2.32). Structura ansamblului astfel obținut are imaginea din fig. IV.16.

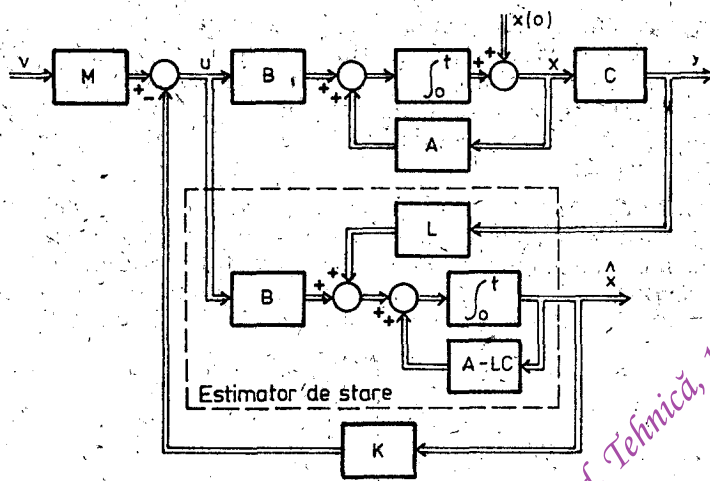


Fig. IV.16. Structura sistemului cu reacție după starea estimată (ecuațiile (2.1), (2.2), (2.32), (2.36)).

În aplicații alegerea matricii L se face astfel încât valorile proprii ale matricii $A - LC$ să fie situate suficient de mult la stînga valorilor proprii ale matricii A . O astfel de alegere asigură, după cum este de așteptat, o anulare rapidă a erorii de estimare (2.34). În ceea ce privește alegerea matricii K , se procedează ca la 2.1.1 sau 2.1.2. Aceste afirmații sunt justificate de următoarea teoremă de separare a valorilor proprii ale sistemului din fig. IV.16.

Teorema 5. Polinomul caracteristic al sistemului (2.1), (2.2), (2.32), (2.36) este egal cu produsul polinoamelor caracteristice ale matricilor $A - BK$ și $A - LC$.

D. Înlocuind (2.36) în (2.1) și apoi (2.2), (2.36) în (2.32) se obțin ecuațiile

$$\dot{x} = Ax - BK\hat{x} + BMv$$

$$\hat{x} = (A - LC)\hat{x} + LCx - BK\hat{x} + BMv,$$

Substituind $\hat{x} = x - x_e$ (v. (2.34)) în ecuațiile de mai sus se obține pentru sistemul considerat următoarea ecuație intrare-stare

$$\begin{bmatrix} \dot{x} \\ \dot{x}_e \end{bmatrix} = \begin{bmatrix} A - BK & BK \\ \dots & \dots \\ 0 & A - LC \end{bmatrix} \begin{bmatrix} x \\ x_e \end{bmatrix} + \begin{bmatrix} BM \\ \dots \\ 0 \end{bmatrix} v, \quad (2.37)$$

în care vectorul de stare de ordinul $2n$ este format din x și x_e . Folosind o formulă a lui Schur (v. anexa E) se constată că

$$\det \begin{bmatrix} Is - (A - BK) & -BK \\ \cdots & \cdots \\ 0 & Is - (A - LC) \end{bmatrix} = \det [Is - (A - BK)] \times \det [Is - (A - LC)],$$

adică ceea ce trebuia de demonstrat. ■

Exemplul 2.2. Pentru ascensorul de mină de la *exemplul 2.1* se consideră

$$y = [0 \ 0 \ 0 \ 1] x.$$

Se cere să se determine un estimator de stare cu valorile proprii localizate în $-0,5$. Determinanțul matricii de observabilitate este

$$\det \Theta = -k_2 \omega_0^2 = -0,05,$$

ceea ce înseamnă că sistemul este de stare complet observabilă.

Fie

$$L = [l_1 \ l_2 \ l_3 \ l_4]^T,$$

unde l_i , $i = 1, \dots, 4$, urmează să se determine astfel încât matricea

$$F = A - LC = \begin{bmatrix} -0,1 & 0 & 0 & -l_1 \\ 0 & 0 & 1 & -l_2 \\ 0,05 & -0,01 & 0 & -l_3 \\ 0 & 1 & 0 & -l_4 \end{bmatrix}$$

să aibă polinomul caracteristic

$$\Delta_F(s) = (s + 0,5)^4 = s^4 + 2s^3 + 1,5s^2 + 0,5s + 0,0625.$$

Pentru matricea F de mai sus se obține

$$\det [Is - F] = \begin{bmatrix} s + 0,1 & 0 & 0 & l_1 \\ 0 & s & -1 & l_2 \\ -0,05 & 0,01 & s & l_3 \\ 0 & -1 & 0 & s + l_4 \end{bmatrix} = s^4 + (l_4 + 0,1)s^3 +$$

$$+ (0,1l_4 + l_2 + 0,01)s^2 + (0,01l_4 + l_3 + 0,1l_2 + 0,001)s + 0,001l_4 +$$

$$+ 0,1l_3 + 0,05l_1.$$

Identificând coeficienții celor două polinoame se obține soluția $l_1 = 0,512$, $l_2 = 1,3$, $l_3 = 0,35$, $l_4 = 1,9$.

2.2. Reacția după ieșire

2.2.1. Reacția proporțională după ieșire

Este firesc să ne întrebăm în ce măsură este posibilă stabilizarea sistemului (2.1), (2.2) utilizând o lege de reglare de forma

$$u = -Ky + Mv, \quad v \in \mathbb{R}^q, \quad (2.38)$$

adică o reacție după ieșire, evitîndu-se în acest fel utilizarea unui estimator de stare.

Un rezultat relativ la această problemă a fost demonstrat în [D5] și are următorul enunț.

Teorema 6. Dacă sistemul (2.1), (2.2) este de stare complet controlabilă, de stare complet observabilă și $\text{rang } B = m$, $\text{rang } C = p$ atunci există o matrice K pentru aproape orice pereche (B, C) , astfel încît sistemul (2.1), (2.2), (2.38) să posede $r = \min(n, m + p - 1)$ valori proprii localizate oricără de aproape de r valori proprii prescrise.

S-a arătat în [F4] că este posibilă și o alcătire a tuturor valorilor proprii. Fie s un număr complex și mulțimile $M_1(s) = \{v \in \mathbb{R}^n; (A - sI)v \in D(B)\}$, $M_2(s) = \{w \in \mathbb{R}^p; (A^T - sI)w \in D(C^T)\}$, unde $D(\cdot)$ este domeniul operatorului liniar definit de matricea (\cdot) .

Teorema 7. Există o matrice K astfel încât matricea $A - BKC$ să aibă valorile proprii s_i , $i = 1, \dots, n$, dacă și numai dacă există vectorii $v_i \in M_1(s_i)$ și $w_i \in M_2(s_i)$, cu $w_i^T v_i = \delta_{ij}$ (simbolii lui Kronecker), $i, j = 1, \dots, n$, astfel încât $\bar{s}_a = v_b$, $\bar{w}_a = w_b$ dacă $s_a = s_b$.

Utilizarea reacției proporționale după ieșire nu asigură întotdeauna stabilizarea dorită a sistemului (2.1), (2.2). În astfel de cazuri se pot urma numeroase alte căi, [I 2], dintre care vom aminti următoarele două.

1º Utilizarea criteriilor Rosenbrock sau Nyquist generalizat (Mac Farlane-Postlethwaite), posibilitate ilustrată anterior prin *exemplul 1.5* și aplicația de la 1.2.3.

2º Decuplarea sistemului deschis, respectiv transformarea sistemului deschis, prin introducerea unor subsisteme adecvate, în m sisteme total decuplate între ele și rezolvarea problemei stabilizării prin metodele cunoscute de la sistemele monovariabile. Există numeroase procedee de realizare a decuplării. Cel mai simplu dintre ele este procedeul decuplării serie formulat încă din 1949 de către Boksenbom și Hood [apud P1].

2.2.2. Decuplarea serie

Se consideră sistemul automat multivariabil cu structura din fig. IV.2, în care $w \in \mathbb{R}^m$, ceea ce înseamnă că $G_R(s)$ și $G_F(s)$ sunt matrici pătratice de ordinul m .

Obiectivul esențial al decuplării serie este acela al determinării unei matrici $G_R(s)$ astfel încât matricea $G(s) = G_F(s)G_R(s)$ să fie o matrice diagonală de forma

$$G(s) = \text{diag} [R_1(s)G_{F1}(s), \dots, R_m(s)G_{Fmm}(s)], \quad (2.39)$$

în care $G_{Fi}(s)$, $i = 1, 2, \dots, m$, sunt elementele diagonalei principale a matricii $G_F(s)$ și $R_i(s)$, $i = 1, 2, \dots, m$, sunt funcțiile de transfer ale regulatoarelor sistemelor monovariabile obținute, cu ajutorul cărora se va rezolva problema stabilizării prin metode specifice sistemelor automate monovariabile.

Așadar trebuie să aibă loc egalitatea

$$G_F(s)G_R(s) = \text{diag} [R_1(s)G_{F11}(s), \dots, R_m(s)G_{Fmm}(s)], \quad (2.40)$$

din care se obține

$$G_R(s) = G_F^{-1}(s) \text{ diag} [R_1(s)G_{F11}(s), \dots, R_m(s)G_{Fmm}(s)]. \quad (2.41)$$

Notind cu

$$G_D(s) = G_F^{-1}(s) \text{ diag} [G_{F11}(s), \dots, G_{Fmm}(s)] \quad (2.42)$$

aceea parte a regulatorului $G_R(s)$ care realizează decuplarea și cu

$$R(s) = \text{diag} [R_1(s), \dots, R_m(s)] \quad (2.43)$$

regulatorul propriu-zis, rezultă că (2.41) are forma

$$G_R(s) = G_D(s)R(s), \quad (2.44)$$

ceea ce înseamnă că sistemul cu structura din fig. IV.2 are acum structura din fig. IV.17, a, care este echivalentă cu cea din fig. IV.17, b.

Exemplul 2.3. Se consideră servomecanismul de poziționare de la 1.2.3, a cărui schema bloc pentru partea de reglare automată a turatiei este reprezentată în fig. IV.12. Se vrea să se rezolve problema stabilizării prin procedeul decuplării serie.

Examinând schema bloc din fig. IV.12 rezultă că sistemul are o parte decuplată (constituită din $G_1(s)$ și $G_2(s)$) și o parte cuplată (constituită din cele două sumatoare). Partea cuplată se caracterizează prin matricea de transfer

$$M = \begin{bmatrix} 1 & 1 \\ 1 & -1 \end{bmatrix}$$

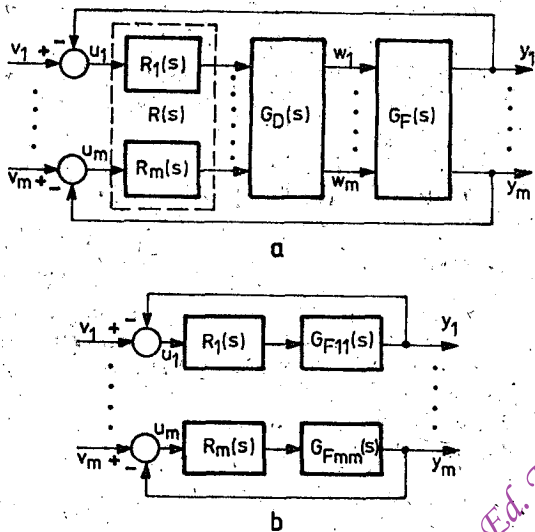


Fig. IV.17. Schema bloc structurală a unui sistem automat multivarabil decuplat:

a — $G_D(s)$ — matricea de transfer decuplantă; $R_1(s), \dots, R_m(s)$ — regulațoare; b — schema bloc structurală echivalentă.

În aceste circumstanțe decuplarea se realizează cu ajutorul unui regulator (2.44) de forma

$$G_R(s) = M^{-1}R(s) = \frac{1}{2} \begin{bmatrix} 1 & 1 \\ 1 & -1 \end{bmatrix} \begin{bmatrix} R_1(s) & 0 \\ 0 & R_2(s) \end{bmatrix}.$$

Structura sistemului decuplat este reprezentată în fig. IV.18. Se obțin astfel două sisteme automate monovariabile ale căror funcții de transfer în circuit deschis, pentru valorile numerice de la 1.2.3 și $R_1(s) = k_1$, $R_2(s) = k_2$, au expresiile

$$G^1(s) = \frac{1}{2} R_1(s) G_1(s) = \frac{k_1 (s^2 + 4s + 1)}{0,6 s(0,5s^2 + 4s + 1)}$$

$$G^2(s) = \frac{1}{2} R_2(s) G_2(s) = \frac{10 k_2 s}{s^2 + 4s + 1}.$$

Aplicând criteriul Hurwitz (teorema 5 de la II.1.1.2) polinoamelor polilor

$$P_0^1(s) = 0,3 s^3 + (k_1 + 2,4) s^2 + (4 k_1 + 0,6) s + k_1$$

$$P_0^2(s) = s^3 + (10 k_2 + 4) s + 1$$

se obțin condițiile de stabilitate IMEM $k_1 \in (0, +\infty)$, $k_2 \in (-0,4, +\infty)$.

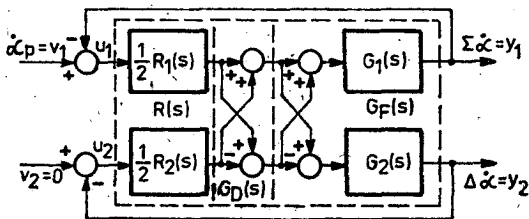


Fig. IV.18. Schema bloc structurală a sistemului automat multivariabil decuplat de la exemplul 2.3.

3. Sisteme automate multivariabile neliniare

3.1. Hiperstabilitatea

3.1.1. Structura sistemului automat multivariabil

Se consideră sistemul automat multivariabil neliniar cu schema bloc structurală din fig. IV.19, în care $G(s)$ este matricea de transfer a părții liniare și $F(t, y)$ este o funcție vectorială neliniară, dependență de timp. În situația în care $v, u, w \in \mathbb{R}^m$, $y \in \mathbb{R}^n$ sint vectori m -dimensionali, matricea $G(s)$ este pătratică.

Fie

$$\dot{x} = Ax + Bu, \quad t \in \mathbb{R}_+, \quad x \in \mathbb{R}^n, \quad u \in \mathbb{R}^m, \quad (3.1)$$

$$y = Cx + Du, \quad y \in \mathbb{R}^m, \quad (3.2)$$

o reprezentare intrare-stare- ieșire a părții liniare, cu proprietatea că perechea (A, B) este complet controlabilă și perechea (A, C) este complet observabilă, reprezentare numită *realizare minimală* a matricii $G(s)$.

Neliniaritatea $w = F(t, y)$ satisfacă inegalitatea de tip Popov



Fig. IV.19. Schema bloc structurală a unui sistem automat multivariabil neliniar.

$$\eta(t_0, t_1) = \int_{t_0}^{t_1} y^T(t)w(t)dt \geq -\gamma_0^2 \text{ pentru toți } t_1 \geq t_0, \quad (3.3)$$

unde γ_0 este o constantă dependentă de condițiile initiale și independentă de t_1 .

Relațiile care descriu sistemul din fig. IV.19 sunt următoarele

$$Y(s) = G(s) U(s), \quad (3.4)$$

$$u = v - w, \quad (3.5)$$

$$w = F(t, y). \quad (3.6)$$

Întrucit noțiunea de hiperstabilitate se sprijină pe aceea de stabilitate internă, este necesar ca sistemul considerat să fie liber, adică $v = 0$. Dacă $v \neq 0$, dar cunoscut, prin schimbările $\tilde{w} = w - v$ și $\tilde{F}(t, y) = F(t, y) - v$, ecuațiile (3.5), (3.6) devin

$$u = -\tilde{w} \quad (3.7)$$

$$\tilde{w} = \tilde{F}(t, y), \quad (3.8)$$

ceea ce înseamnă că sistemul (3.4), (3.7), (3.8) este liber.

3.1.2. Definiții și condiții de hiperstabilitate

Conceptul de hiperstabilitate introdus în [P6] se concretizează în următoarele două definiții.

Definiția 1. Sistemul automat cu structura din fig. IV.19 se numește *hiperstabil* dacă are o stare de echilibru global stabilă pentru orice neliinearitate (3.6) care satisfacă inegalitatea (3.3).

Definiția 2. Sistemul automat cu structura din fig. IV.19 se numește *asimptotic hiperstabil* dacă are o stare de echilibru global asimptotic stabilă pentru orice neliinearitate (3.6) care satisfacă inegalitatea (3.3).

Întrucit condițiile de hiperstabilitate și hiperstabilitate asimptotică pretind ca partea liniară a sistemului cu structura din fig. IV.19 să poșede anumite proprietăți, vom da în continuare încă două definiții în acest sens.

Definiția 3. Matricea $G(s)$ se numește *real pozitivă* dacă:

- 1° nu are nici un pol în semiplanul $\operatorname{Re} s > 0$;
- 2° polii de pe axa imaginară (atunci cînd există) sunt simpli și matricea hermitică a reziduurilor corespunzătoare este pozitiv semidefinită;
- 3° $G(j\omega) + G^T(-j\omega)$ este o matrice hermitică pozitiv semidefinită (v. anexa E) pentru $\omega \in \mathbb{R}$, exceptînd acei ω_p pentru care $j\omega_p$ sunt poli ai matricii $G(s)$.

Definiția 4. Matricea $G(s)$ se numește *strict real pozitivă* dacă:

- 1° Nu are nici un pol în semiplanul $\operatorname{Re} s \geq 0$;

2º $G(j\omega) + G^T(-j\omega)$ este o matrice hermitică pozitiv definită (v. anexa E) pentru toți $\omega \in \mathbb{R}$.

Cu aceste elemente pregătitoare se pot enunța următoarele rezultate, pentru a căror demonstrație recomandăm consultarea lucrării [P6].

Teorema 1. O condiție necesară și suficientă ca sistemul automat cu structura din fig. IV.19 să fie hiperstabil este ca matricea de transfer $G(s)$ să fie real pozitivă.

Un rezultat echivalent cu acesta, dar care se referă la realizarea minimală (3.1), (3.2), este următorul.

Teorema 2. O condiție necesară și suficientă ca sistemul automat cu structura din fig. IV.19 să fie hiperstabil este ca să existe matricile P , simetrică și pozitiv definită, și Q , simetrică și pozitiv semidefinită, astfel încât

$$PA + A^T P = -Q \quad (\text{ecuația Liapunov}) \quad (3.9)$$

și matricea

$$M = \begin{bmatrix} Q & S \\ S^T & R \end{bmatrix} \quad (3.10)$$

să fie pozitiv semidefinită, în care

$$S = C^T - PB \quad (3.11)$$

$$R = D + D^T \quad (3.12)$$

În termenii teoremei 2 se poate explicita o condiție de tip inegalitate pentru partea liniară a sistemului automat. Într-adevăr, ținând seama de (3.1), (3.2), putem scrie succesiv

$$\begin{aligned} \int_{t_0}^{t_1} y^T(t) u(t) dt &= \frac{1}{2} x^T(t) Px(t) \Big|_{t_0}^{t_1} + \int_{t_0}^{t_1} [(Cx + Du)^T u - \dot{x}^T Px] dt = \\ &= \frac{1}{2} x^T(t) Px(t) \Big|_{t_0}^{t_1} + \frac{1}{2} \int_{t_0}^{t_1} [-x^T(PA + A^T P)x + 2x^T(C^T - PB)u + \\ &\quad + u^T(D + D^T)u] dt = \frac{1}{2} x^T(t) Px(t) \Big|_{t_0}^{t_1} + \frac{1}{2} \int_{t_0}^{t_1} [x^T Qx + x^T Su + \\ &\quad + u^T S^T x + u^T Ru] dt = \frac{1}{2} x^T(t) Px(t) \Big|_{t_0}^{t_1} + \frac{1}{2} \int_{t_0}^{t_1} [x^T u^T] M \begin{bmatrix} x \\ u \end{bmatrix} dt \geq \\ &\geq -\frac{1}{2} x^T(t_0) Px(t_0), \end{aligned}$$

deoarece P este pozitiv definită și M este pozitiv semidefinită.

În virtutea relațiilor (3.3) și (3.5), în care $v = 0$, rezultă că partea liniară a sistemului din fig. IV.19 satisfacă dubla inegalitate

$$-\frac{1}{2} x^T(t_0) P x(t_0) \leq \int_{t_0}^{t_1} y^T(t) u(t) dt \leq \gamma_0^2, \quad t_1 > t_0.$$

Exemplul 3.1. Fie sistemul automat neliniar cu partea liniară

$$G(s) = \begin{bmatrix} \frac{1}{s+1} & \frac{a}{s} \\ b & \frac{1}{s+3} \end{bmatrix}.$$

Să se determine parametrii $a, b \in \mathbb{R}$ astfel încât sistemul automat să fie hiperstabil. Matricea $G(s)$ are un pol simplu $s = 0$ pe axa imaginară și matricea corespunzătoare a reziduurilor este

$$\begin{bmatrix} 0 & a \\ 0 & 0 \end{bmatrix}.$$

Această matrice este pozitiv semidefinită numai pentru $a = 0$, deoarece pentru $a \neq 0$ ea nu este simetrică. În continuare, matricea

$$G(j\omega) + G^T(-j\omega) = \begin{bmatrix} \frac{2}{\omega^2 + 1} & b \\ b & \frac{6}{\omega^2 + 9} \end{bmatrix}$$

trebuie să fie pozitiv semidefinită, fapt care are loc numai dacă $b = 0$.

Teorema 3. O condiție necesară și suficientă ca sistemul automat cu structura din fig. IV.19 să fie asimptotic hiperstabil este ca matricea de transfer $G(s)$ să fie strict real pozitivă.

Exemplul 3.2. Fie sistemul automat neliniar cu partea liniară

$$G(s) = \begin{bmatrix} \frac{1}{s+1} & \frac{a}{s+2} \\ \frac{a}{s+2} & \frac{1}{s+1} \end{bmatrix}.$$

Să se determine parametrul $a \in \mathbb{R}$ astfel încât sistemul automat să fie asimptotic hiperstabil.

Matricea

$$G(j\omega) + G^T(-j\omega) = \begin{bmatrix} \frac{2}{\omega^2 + 1} & \frac{4a}{\omega^2 + 4} \\ \frac{4a}{\omega^2 + 4} & \frac{2}{\omega^2 + 1} \end{bmatrix}$$

este pozitiv definită dacă și numai dacă

$$|a| < \min_{\omega \in \mathbb{R}} \frac{\omega^2 + 4}{2(\omega^2 + 1)} = \lim_{\omega \rightarrow \pm\infty} \frac{\omega^2 + 4}{2(\omega^2 + 1)} = \frac{1}{2}.$$

Sistemele hiperstabile au proprietatea remarcabilă că la conectarea lor în paralel sau într-o structură cu reacție negativă se obțin de asemenea sisteme hiperstabile. Această proprietate nu are loc la conectarea în serie a sistemelor hiperstabile, [P6].

3.2. Sisteme autoadaptive hiperstabile

O aplicație remarcabilă a teoriei hiperstabilității o constituie sinetza comenzi de autoadaptare a unui sistem automat pe baza erorii dintre starea unui *model de referință* și starea *sistemului ajustabil*, fig. IV.20, [F5], [L7].

3.2.1. Procedeul de autoadaptare

Pentru explicarea schemei bloc structurale din fig. IV.20 și implicit a procedeului de autoadaptare se pornește de la ecuația modelului de referință

$$\dot{x}_m = A_m x + B_m u, \quad t \in \mathbb{R}_+, \quad x \in \mathbb{R}^n, \quad (3.13)$$

și a sistemului ajustabil

$$\dot{x} = A(e, t)x + B(e, t)u, \quad t \in \mathbb{R}_+, \quad x \in \mathbb{R}^n, \quad (3.14)$$

unde

$$e = x_m - x \quad (3.15)$$

este eroarea între starea modelului și a sistemului ajustabil.

În aceste condiții ecuația diferențială a erorii are expresia

$$\dot{e} = A_m e + [A_m - A(e, t)]x + [B_m - B(e, t)]u. \quad (3.16)$$

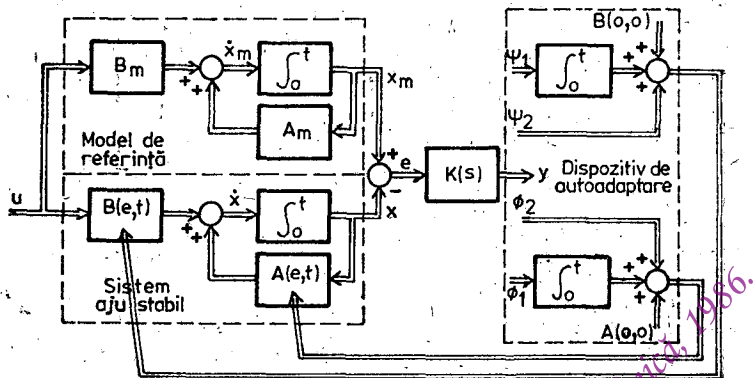


Fig. IV.20. Structura sistemului autoadaptiv hiperstabil.

Condiția de stabilitate asimptotică globală

$$\lim_{t \rightarrow \infty} e(t) = 0,$$

care trebuie să aibă loc pentru orice $e(0)$, orice $A_m - A(e, t)$ și orice $B_m - B(e, t)$; implică faptul că atunci cind $u \neq 0$ trebuie să aibă loc $x \neq 0$ și $x_m \neq 0$. De aici rezultă că mecanismul de autoadaptare trebuie să conțină un element integrator care să memoreze $A(e, t)$ și $B(e, t)$ pentru $e(t) = 0$. În virtutea acestui fapt se poate scrie

$$A(e, t) = A(0, 0) + \int_0^t \Phi_1[y(\tau), \tau] d\tau + \Phi_2[y(t), t], \quad t \geq 0, \quad (3.17)$$

$$B(e, t) = B(0, 0) + \int_0^t \Psi_1[y(\tau), \tau] d\tau + \Psi_2[y(t), t], \quad t \geq 0, \quad (3.18)$$

unde Φ_1 și Ψ_1 realizează memorarea și Φ_2 și Ψ_2 se anulează pentru $y = 0$. Funcțiile matricele Φ_1 , Φ_2 și Ψ_1 , Ψ_2 , deocamdată necunoscute, urmează să se determine pe baza condiției de hiperstabilitate asimptotică a întregului sistem.

Mărimea y este ieșirea unui element corector liniar cu matricea de transfer $K(s)$. Aceasta se introduce deoarece partea liniară a sistemului autoadaptiv trebuie să îndeplinească condiția de reală pozitivitate strictă impusă de teorema 3. Întrucât este posibil ca matricea de transfer a părții liniare să nu îndeplinească condițiile cerute, se alege un astfel de $K(s)$ încât respectivele condiții să fie satisfăcute.

3.2.2. Sinteză comenziilor de autoadaptare

Pentru realizarea sintezei se parcurg următorii trei pași.

1° Se transfigurează schema bloc structurală din fig. IV. 20 astfel încât să se pună în evidență, conform schemei bloc structurale din fig. IV.19, partea liniară și partea neliniară. Acest lucru este posibil introducând funcția

$$v(t) = [A_m - A(e, t)]x + [B_m - B(e, t)]u. \quad (3.19)$$

În aceste condiții partea liniară a sistemului este descrisă de ecuațiile

$$\begin{aligned} \dot{e} &= A_m e + v \\ Y(s) &= K(s) E(s), \end{aligned} \quad (3.20)$$

iar partea neliniară, ținând seama de (3.17) și (3.18), de ecuația

$$\begin{aligned} w(t) &= \left\{ \int_0^t \Phi_1[y(\tau), t] d\tau + \Phi_2[y(t), t] + A(0, 0) - A_m \right\} x(t) + \\ &+ \left\{ \int_0^t \Psi_1[y(\tau), t] d\tau + \Psi_2[y(t), t] + B(0, 0) - B_m \right\} u(t). \end{aligned} \quad (3.21)$$

Reacția se realizează prin

$$v = -w. \quad (3.22)$$

Schema bloc structurală corespunzătoare ecuațiilor (3.19) – (3.22) este reprezentată în fig. IV.21.

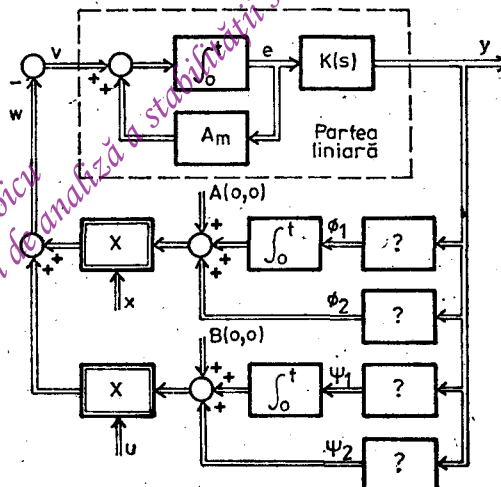


Fig. IV.21. O formă echivalentă a sistemului din fig. IV.20.

2º Se determină partea neliniară (blocurile marcate cu ? în fig. IV.21) rezolvând inecuația integrală (3.3), în care $w(t)$ are expresia (3.21). Pentru determinarea funcțiilor Φ_1 , Φ_2 și Ψ_1 , Ψ_2 se descompune inecuația (3.3), cu (3.21), în următoarele patru inecuații integrale parțiale:

$$\int_0^{t_1} y^T(t) \left\{ \int_0^t \Phi_1[y(\tau), t] d\tau + A(0, 0) - A_m \right\} x(t) dt \geq -\gamma_1^2; \quad (3.23)$$

$$\int_0^t y^T(t) \Phi_2[y(t), t] x(t) dt \geq -\gamma_2^2; \quad (3.24)$$

$$\int_0^{t_1} y^T(t) \left\{ \int_0^t \Psi_1[y(\tau), t] d\tau + B(0, 0) - B_m \right\} u(t) dt \geq -\gamma_3^2; \quad (3.25)$$

$$\int_0^{t_1} y^T(t) \Psi_2[y(t), t] u(t) dt \geq -\gamma_4^2; \quad (3.26)$$

cu condiția ca $\gamma_1^2 + \gamma_2^2 + \gamma_3^2 + \gamma_4^2 \leq \gamma_0^2$; evident, s-a considerat $t_0 = 0$.

În viziunea unei implementări cît mai simple a comenziilor de autoadaptare se caută pentru (3.23)–(3.26) soluții de forma

$$\Phi_1[y(\tau), t] = M_A y(\tau) [N_A x(\tau)]^T, \quad (3.27)$$

$$\Psi_1[y(\tau), t] = M_B y(\tau) [N_B u(\tau)]^T, \quad (3.28)$$

$$\Phi_2[y(t), t] = P_A y(t) [Q_A x(t)]^T, \quad (3.29)$$

$$\Psi_2[y(t), t] = P_B y(t) [Q_B u(t)]^T, \quad (3.30)$$

unde M_A , N_A , M_B , N_B și P_A , Q_A , P_B , Q_B sunt matrici constante adecvat alese.

Înlocuind (3.27), (3.29) și (3.28), (3.30) respectiv în (3.17) și (3.18) se obțin comenziile de autoadaptare

$$A(e, t) = A(0, 0) + M_A \int_0^t y(\tau) x^T(\tau) d\tau N_A^T + P_A y(t) x^T(t) Q_A^T, \quad t \geq 0, \quad (3.31)$$

$$B(e, t) = B(0, 0) + M_B \int_0^t y(\tau) u^T(\tau) d\tau N_B^T + P_B y(t) u^T(t) Q_B^T, \quad t \geq 0. \quad (3.32)$$

Având în vedere forma relațiilor (3.31), (3.32), se spune că s-a realizat o autoadaptare de tip PI.

Se mai poate arăta că inecuațiile integrale (3.24) și (3.26) admit și soluțiile

$$\Phi_2[y(t), t] = [\operatorname{sgn} y(t)] [Q_A x(t)]^T, \quad (3.33)$$

$$\Psi_2[y(t), t] = [\operatorname{sgn} y(t)] [Q_B u(t)]^T, \quad (3.34)$$

ceea ce duce la modificări corespunzătoare în expresiile comenzilor de autoadaptare și anume

$$A(e, t) = A(0, 0) + M_A \int_0^t y(\tau) x^T(\tau) d\tau M_A^T + \\ + [\operatorname{sgn} y(t)] x^T(t) Q_A^T, \quad t \geq 0, \quad (3.35)$$

$$B(e, t) = B(0, 0) + M_B \int_0^t y(\tau) u^T(\tau) d\tau M_B^T + \\ + [\operatorname{sgn} y(t)] u^T(t) Q_B^T, \quad t \geq 0. \quad (3.36)$$

Având în vedere forma relațiilor (3.35), (3.36) se spune că s-a realizat o autoadaptare de tip RI (releu + integral).

3º Se determină elementul de corecție $K(s)$ astfel încât partea liniară a sistemului cu structura din fig. IV.21, descrisă de matricea de transfer

$$G_K(s) = K(s)(s - A_m)^{-1}, \quad (3.37)$$

să fie strict real pozitivă (teorema 3 și definiția 4).

În final, facem observația că vectorul oricare e poate fi de dimensiuni mai mici decât dimensiunea lui x_m (sau x), în sensul că el poate fi obținut prin compararea numai a anumitor componente omoloage ale vectorilor x_m și x , după cum se arată în exemplul următor.

3.2.3. Aplicație: sistem de urmărire autoadaptiv hiperstabil

Se consideră sistemul automat de urmărire cu schema bloc structurală din fig. IV.22, în care $T = \text{const.}$, k_v este un parametru variabil în funcție de perturbațiile externe și k_x este un parametru ajustabil care trebuie modificat astfel încât $k_x k_v \approx 1$.

Adoptând un model de referință cu funcția de transfer

$$G_m(s) = \frac{1}{Ts^2 + s + 1} \quad (3.38)$$

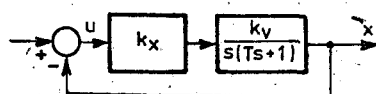


Fig. IV.22. Schema bloc structurală a unui sistem automat de urmărire.

ne propunem să sintetizăm o comandă autoadaptivă de ajustare a parametrului k_x pentru realizarea scopului propus.

Întrucât funcția de transfer a sistemului ajustabil este

$$G_0(s) = \frac{k_x k_v}{Ts^2 + s + k_x k_v} \approx \frac{k_x k_v}{Ts^2 + s + 1} \quad (3.39)$$

în care aproximarea făcută nu introduce erori prea mari dacă $|k_x|$ este suficient de mare, [C7], ecuația diferențială a erorii

$$e = x_m - x$$

este

$$T\ddot{e} + \dot{e} + e = (1 - k_x k_v) u.$$

Comanda autoadaptivă are forma

$$k_x k_{v0} = k_{x0} k_{v0} + \int_0^t \Psi[y(\tau), t] d\tau \quad (3.40)$$

unde $k_{v0} = \text{const.}$ pe durata procesului de ajustare.

Introducind notația

$$v(t) = (1 - k_x k_{v0}) u(t)$$

și ținând seama de (3.3) cu $w = -v$, se ajunge la inecuația

$$\int_0^{t_1} u(t) y(t) \left\{ \int_0^t \Psi[y(\tau), t] d\tau + k_{x0} k_{v0} - 1 \right\} dt \geq -\gamma_0^2, \quad t_1 > 0,$$

a cărei cea mai simplă soluție este

$$\Psi[y(\tau), t] = k_0 u(\tau) y(\tau), \quad k_0 \geq (k_{x0} k_{v0} - 1)^2 / 2\gamma_0^2. \quad (3.41)$$

În aceste condiții din (3.40) și (3.41) rezultă

$$k_x = k_{x0} + \frac{k_0}{k_{v0}} \int_0^t u(\tau) y(\tau) d\tau. \quad (3.42)$$

Partea liniară a sistemului este descrisă de funcția de transfer

$$G_K(s) = \frac{1}{Ts^2 + s + 1} K(s). \quad (3.43)$$

Adoptînd

$$K(s) = a + bs \quad (3.44)$$

din condiția $\operatorname{Re} G_K(j\omega) > 0$, $\omega \in \mathbf{R}$, se obține

$$\frac{a + (b - aT) \omega^2}{(1 - T\omega^2)^2 + \omega^2} > 0, \quad \omega \in \mathbf{R},$$

care este satisfăcută pentru $b > aT$, $a > 0$.

Vom remarcă în final că legea de autoadaptare (3.42) și elementul de corecție PD (3.44) se obțin exact în aceeași formă dacă se face o sinteză pe baza metodei directe Liapunov, [C7].

Transformarea Laplace

Definiția 1. Fie $f(t)$ o funcție de variabilă reală, numită *funcție original*, care satisface următoarele condiții: 1° $f(t) = 0$, $t < 0$; 2° $f(t)$ este derivabilă pe porțiuni; 3° există $M > 0$ și $a \in \mathbb{R}$ astfel încât $|f(t)| \leq M e^{at}$, $t \geq 0$. Funcția de variabilă complexă

$$F(s) = \int_0^\infty f(t)e^{-st} dt = \mathcal{L}\{f(t)\}$$

se numește *transformata Laplace* sau *funcția imagine* a funcției $f(t)$.

Teoreme importante. Fie

$$F(s) = \mathcal{L}\{f(t)\}, \quad G(s) = \mathcal{L}\{g(t)\}.$$

1. Liniaritatea

$$\mathcal{L}\{c_1 f(t) + c_2 g(t)\} = c_1 F(s) + c_2 G(s), \quad c_1, c_2 \in \mathbb{R}. \quad (\text{A.1})$$

2. Transformata derivatei originalului

$$\mathcal{L}\{f'(t)\} = sF(s) - f(-0).$$

În general

$$\mathcal{L}\{f^{(k)}(t)\} = s^k F(s) - s^{k-1} f(-0) - \dots - f^{(k-1)}(-0). \quad (\text{A.2})$$

Prin $f^{(k)}(t)$, $k = 1, 2, \dots$, s-a notat derivata generalizată (în sens distribuții) de ordinul k a funcției $f(t)$ și

$$f^{(k)}(-0) = \lim_{t \nearrow 0} f^{(k)}(t).$$

3. Transformata integralei originalului

$$\mathcal{L}\left\{\int_0^t f(t) dt\right\} = \frac{1}{s} F(s).$$

În general

$$\mathcal{L}\left\{\int_0^{t_n} \dots \int_0^t f(t) dt^n\right\} = \frac{1}{s^n} F(s).$$

4. Transformata translatei originalului

$$\mathcal{L}\{f(t - \tau)\} = e^{-\tau s} F(s), \quad \tau \in \mathbb{R}.$$

5. Translata imaginii

$$\mathcal{L}\left\{ f(t) e^{\alpha t} \right\} = F(s - \alpha), \quad \alpha \in \mathbb{R}.$$

6. Transformata produsului de conoluție

$$\mathcal{L}\left\{ \int_0^t f(\tau) g(t - \tau) d\tau \right\} = \mathcal{L}\left\{ \int_0^t f(t - \tau) g(\tau) d\tau \right\} = F(s) G(s).$$

7. Valoarea inițială

Dacă există $f(+0) = \lim_{t \rightarrow 0} f(t)$ atunci

$$f(+0) = \lim_{s \rightarrow \infty} sF(s).$$

8. Valoarea finală

Dacă există $f(+\infty) = \lim_{t \rightarrow +\infty} f(t)$ atunci

$$f(+\infty) = \lim_{s \rightarrow 0} sF(s).$$

9. Teorema dezvoltării

Dacă $F(s) = Q(s)/P(s)$, unde $P(s)$ și $Q(s)$ sunt două polinoame relativ prime între ele, cu grad $P = n >$ grad $Q = m$, atunci

$$f(t) = \sum_{i=1}^r \sum_{j=1}^{q_i} \frac{K_{ij}}{(q_i - j)!} t^{q_i - j} e^{s_i t},$$

în care

$$K_{ij} = \frac{1}{(j-1)!} \left\{ \frac{d^{j-1}}{ds^{j-1}} [(s - s_i)^{q_i} F(s)] \right\}_{s=s_i},$$

$$i = 1, \dots, r, \quad j = 1, \dots, q_i,$$

și s_i , $i = 1, \dots, r$, sunt polii distincți, fiecare de multiplicitate q_i , ai funcției $F(s)$, cu $q_1 + \dots + q_r = n$.

Noțiunea de funcție de transfer. Fie un sistem dinamic liniar continuu și invariant în timp, descris de ecuația diferențială ordinată cu coeficienți constanți

$$a_n^{(n)} y^{(n)} + a_{n-1}^{(n-1)} y^{(n-1)} + \dots + a_0 y = b_m^{(m)} u^{(m)} + b_{m-1}^{(m-1)} u^{(m-1)} + \dots + b_0 u, \quad t \geq 0 \quad (A.3)$$

cu condițiile

$$u(t) = 0, \quad y(s) = 0, \quad t < 0. \quad (A.4)$$

Aplicind (A.1) și (A.2) pentru (A.3), sub condițiile (A.4), se obține

$$Y(s) = G(s)U(s),$$

în care:

$$\begin{aligned} Y(s) &= L\{y(t)\}, \quad U(s) = L\{u(t)\}, \\ G(s) &= \frac{b_m s^m + b_{m-1} s^{m-1} + \dots + b_0}{a_n s^n + a_{n-1} s^{n-1} + \dots + a_0} = \frac{Y(s)}{U(s)}. \end{aligned} \quad (\text{A.5})$$

Definiția 2. Funcția $G(s)$, de forma (A.5), care definește relația *intrare-iesire* a sistemului (A.3) în domeniul funcțiilor imagine, se numește *funcție de transfer* a respectivului sistem.

ANEXA B

Transformarea \mathcal{Z}

După cum s-a văzut la I.1.4.8 în procesul de δ-esantionare, din funcția $f(t)$, continuu variabilă, se obține seria de impulsuri Dirac

$$f^*(t) = \sum_{k=0}^{\infty} f_k \delta(t - kT),$$

unde T este perioada de esantionare, $f_k = \lim_{t \rightarrow kT} f(t)$, $k = 0, 1, 2, \dots$, și $f(t)$ este o funcție original (anexa A).

Transformata Laplace a funcției $f^*(t)$ are expresia

$$F^*(s) = \sum_{k=0}^{\infty} f_k e^{-ks}. \quad (\text{B.1})$$

Introducind variabila complexă $z = e^{Ts}$ din (B.1) se obține

$$F(z) = \sum_{k=0}^{\infty} f_k z^{-k}.$$

Definiția 1. Funcția de variabilă complexă $F(z) = \mathbb{Z}\{f^*(t)\} = \mathcal{L}\{f^*(t)\}$, $s = \frac{1}{T} \ln z$, se numește transformata \mathbb{Z} a seriei de impulsuri $f^*(t)$.

Intrucât seria de impulsuri se obține din $f(t)$, se mai poate scrie $\mathbb{Z}\{f(t)\} = F(z)$, dar nu trebuie să se piardă din vedere că pentru a se putea determina $F(z)$ trebuie să se obțină mai întâi $f^*(t)$ sau sirul de valori f_k , $k = 0, 1, 2, \dots$. În aplicații poate fi mai avan-tajoasă această ultimă posibilitate, după cum se va vedea din următoarele două exemplă.

Exemple

a) Pentru $f(t) = \sigma(t)$ – funcția treaptă unitară, avem $f_k = 1$, $k = 0, 1, 2, \dots$, și $F(z) = 1 + z^{-1} + z^{-2} + \dots$. Aceasta este o serie geometrică infinită cu rația z^{-1} . Pentru $|z| > 1$ ea este convergentă și are suma $\mathbb{Z}\{\sigma(t)\} = z/(z - 1)$.

b) Pentru $f(t) = e^{at}$, $t \geq 0$, cu $a \in \mathbb{C}$, avem $f_k = e^{akT}$, $k = 0, 1, 2, \dots$,

$$\text{și } F(z) = \sum_{k=0}^{\infty} (e^{aT} z^{-1})^k = \frac{z}{z - e^{aT}}, \quad |z| > e^{aT}.$$

Teoreme importante. Fie

$$F(z) = \mathbb{Z}\{f(t)\}, \quad G(z) = \mathbb{Z}\{g(t)\}.$$

1. Liniaritatea

$$\mathbb{Z}\{c_1 f(t) + c_2 g(t)\} = c_1 F(z) + c_2 G(z), \quad c_1, c_2 \in \mathbb{R}. \quad (\text{B.2})$$

2. Transformata translatei originalului

$$\begin{aligned} \mathbb{Z}\{f(t - mT)\} &= z^{-m} \left[F(z) + \sum_{k=1}^m f_{-k} z^k \right], \quad m \in \mathbb{N}, \\ \mathbb{Z}\{f(t + mT)\} &= z^m \left[F(z) - \sum_{k=0}^{m-1} f_k z^{-k} \right], \quad m \in \mathbb{N}. \end{aligned} \quad (\text{B.3})$$

3. Teorema amortizării

$$\mathbb{Z}\{f(t) e^{at}\} = F(e^{-aT} z), \quad a \in \mathbb{C}.$$

4. Transformata „diferențială” originalului

$$\mathbb{Z}\{f(t) - f(t - T)\} = \frac{z - 1}{z} F(z) - f_{-1},$$

$$\mathbb{Z}\{f(t + T) - f(t)\} = (z - 1) F(z) - f_0 z.$$

5. Transformata „integralei” originalului

$$\mathbb{Z}\left\{ \sum_{i=0}^k f_i \right\} = \frac{z}{z - 1} F(z).$$

6. Transformata produsului de conveoluție

$$\mathcal{Z} \left\{ \sum_{i=0}^k f_i g_{k-i} \right\} = F(z) G(z).$$

7. Valoarea initială

Dacă există $f_0 = \lim_{t \rightarrow 0} f(t)$, atunci

$$f_0 = \lim_{z \rightarrow \infty} F(z).$$

8. Valoarea finală

Dacă există $f(+\infty) = \lim_{t \rightarrow \infty} f(t)$, atunci

$$f(+\infty) = \lim_{z \rightarrow 1} (z - 1) F(z).$$

Noțiunea de funcție de transfer în z. Fie un sistem dinamic liniar discret și invariant în timp descris de ecuația cu diferențe cu coeficienți constanti

$$a_n y(t - nT) + a_{n-1} y(t - (n-1)T) + \dots + a_0 y(t) = \\ = b_m u(t - mT) + b_{m-1} u(t - (m-1)T) + \dots + b_0 u(t), \quad t = kT, \quad k \in \mathbb{N}, \quad (B.4)$$

cu condițiile

$$u(t) = 0, \quad y(t) = 0, \quad t < 0. \quad (B.5)$$

Aplicind (B.2) și (B.3) pentru (B.4), sub condițiile (B.5), se obține

$$Y(z) = G(z) U(z),$$

în care

$$Y(z) = \mathcal{Z}\{y(t)\}, \quad U(z) = \mathcal{Z}\{u(t)\},$$

$$G(z) = \frac{b_0 + b_1 z^{-1} + \dots + b_m z^{-m}}{a_0 + a_1 z^{-1} + \dots + a_n z^{-n}} = \frac{Y(z)}{U(z)}. \quad (B.6)$$

Definiția 2. Funcția $G(z)$, de forma (B.6), care definește relația *intrare-iesire* a sistemului (B.4), se numește *funcția de transfer în z a respectivului sistem*.

Tabel de transformate \mathcal{Z} și de transformate Laplace uzuale

$f(t)$	$F(z) = \mathcal{Z}\{f(t)\}$	$F(s) = \mathcal{L}\{f(t)\}$
$\delta(t)$	1	1
$\sigma(t)$	$\frac{z}{z - 1}$	$\frac{1}{s}$
t	$\frac{Tz}{(z - 1)^2}$	$\frac{1}{s^2}$

t^n	$Tz \frac{z^{n-1} + \dots}{(z-1)^{n+1}}$	$\frac{n}{s^{n+1}}$
e^{-at}	$\frac{z}{z - e^{-aT}}$	$\frac{1}{s + a}$
$\sin \omega t$	$\frac{z \sin \omega T}{z^2 - 2z \cos \omega T + 1}$	$\frac{\omega}{s^2 + \omega^2}$
$\cos \omega t$	$\frac{z - \cos \omega T}{z^2 - 2z \cos \omega T + 1}$	$\frac{s}{s^2 + \omega^2}$
$e^{-at} \sin \omega t$	$\frac{z e^{-aT} \sin \omega T}{z^2 - 2ze^{-aT} \cos \omega T + e^{-2aT}}$	$\frac{\omega}{s^2 + 2as + \omega^2 + a^2}$
$e^{-at} \cos \omega t$	$z \frac{z - e^{-aT} \cos \omega T}{z^2 - 2ze^{-aT} \cos \omega T + e^{-2aT}}$	$\frac{s + a}{s^2 + 2as + \omega^2 + a^2}$
$t^{n-1} e^{-aT}$	$T^{n-1} z e^{-aT} \frac{z^{n-2} + \dots}{(z - e^{-aT})^n}$	$\frac{(n-1)}{(s + a)^n}$

Calculul transformantei \mathcal{Z} cu ajutorul transformatei Laplace. Tabelul de mai sus sugerează posibilitatea determinării transformantei \mathcal{Z} cu ajutorul transformantei Laplace. Acest lucru este indicat mai ales atunci cind se dispune de tabele de transformate Laplace detaliații și atunci cind sistemul studiat conține elemente de transfer liniare invariante și continue în timp.

Dacă $F(s)$ este o fracție ratională este posibilă dezvoltarea ei în fracții simple. Conform tabelului de transformate \mathcal{Z} de mai sus fiecare fractie simplă în s îi corespunde o anumită transformată \mathcal{Z} . Pe baza acestei corespondențe determinarea lui $F(z)$ nu implică calcule complicate.

De exemplu pentru $F(s) = \frac{1}{s(s+a)}$ putem scrie

$$F(z) = \mathcal{Z}\{F(s)\} = \mathcal{Z}\left\{\frac{1}{as} - \frac{1}{a(s+a)}\right\} = \frac{1}{a} \left[\mathcal{Z}\left\{\frac{1}{s}\right\} - \mathcal{Z}\left\{\frac{1}{s+a}\right\} \right] =$$

$$= \frac{1}{a} \left(\frac{z}{z-1} - \frac{z}{z-e^{-aT}} \right) = \frac{(1-e^{-aT})z}{a(z-1)(z-e^{-aT})}.$$

Pentru $F(s) = e^{-T_m s} G(s)$ conform anexei A putem scrie

$F(s) = \mathcal{Z}\{g(t-T_m)\}$. Dacă $T_m = \alpha T$, $\alpha \in \mathbb{N}$, atunci, conform cu (B.3), obținem

$$F(z) = \mathcal{Z}\{F(s)\} = \mathcal{Z}\{g(t-\alpha T)\} = z^{-\alpha} G(z),$$

în condițiile în care $g(t) = 0$, $t < 0$.

Pentru o documentare completă asupra transformărilor Laplace și \mathcal{Z} se pot consulta [A 2], [D 7], [N 2], [S 2], [J 2], [K 2], [K 4].

Spații vectoriale (liniare) normate

Definiția 1. O mulțime X are structură de spațiu vectorial (liniar) peste un corp K dacă $(X, +)$ este grup comutativ și aplicația $\varphi : K \times X \rightarrow X$, numită operatie binară externă și notată multiplicativ ("."), satisfac următoarele condiții: 1^o $\alpha \cdot (x + y) = \alpha \cdot x + \alpha \cdot y$; 2^o $(\alpha + \beta) \cdot x = \alpha \cdot x + \beta \cdot x$; 3^o $(\alpha\beta) \cdot x = \alpha \cdot (\beta x)$; 4^o $1 \cdot x = x$ (este elementul unitar din K), oricare ar fi $x, y \in X$ și oricare ar fi $\alpha, \beta \in K$. Elementele din X se numesc *vectori*, iar elementele din K se numesc *scalar*. Operația binară externă se numește *înmulțire cu un scalar*.

Definiția 2. Elementele x_1, x_2, \dots, x_n ale unui spațiu vectorial X se numesc *liniar independente* dacă din $\alpha_1 x_1 + \alpha_2 x_2 + \dots + \alpha_n x_n = 0$ rezultă $\alpha_i = 0$, $i = 1, \dots, n$. În caz contrar elementele x_1, x_2, \dots, x_n se numesc *liniar dependente*.

Definiția 3. O submulțime $X_b \subseteq X$ a unui spațiu vectorial se numește *bază* dacă fiecare $x \in X$ se exprimă unicivoc printr-o combinație liniară $x = \alpha_1 x_1 + \alpha_2 x_2 + \dots + \alpha_n x_n$ a unui număr finit de elemente $x_1, x_2, \dots, x_n \in X_b$. $\alpha_1, \alpha_2, \dots, \alpha_n$ se numesc *coordonatele vectorului* x .

Teorema 1. Orice spațiu vectorial are o bază X_b . Fiecare bază X_b din X este formată din elemente liniar independente.

Teorema 2. Dacă un spațiu vectorial X are o bază finită X_b atunci oricare altă bază X'_b are același număr de elemente ca și X_b . Acest număr se numește dimensiunea spațiului vectorial X .

Definiția 4. O funcție reală $\|\cdot\| : X \rightarrow \mathbb{R}$ se numește *normă* dacă satisfac condițiiile: 1^o $\|x\| > 0$ oricare ar fi $x \in X$, cu $x \neq 0$; 2^o $\|\alpha \cdot x\| = |\alpha| \|x\|$ oricare ar fi $x \in X$ și oricare ar fi $\alpha \in K$; 3^o $\|x + y\| \leq \|x\| + \|y\|$ oricare ar fi $x, y \in X$; în cazul normelor de matrice se mai adaugă 4^o $\|xy\| \leq \|x\| \cdot \|y\|$ oricare ar fi $x, y \in X$.

Definiția 5. Un spațiu vectorial normat $(X, \|\cdot\|)$ este un spațiu vectorial în care s-a definit o normă.

Exemple de norme

a) Norme de vectori

$$\|x\| = \sqrt{\sum_{i=1}^n |\xi_i|^2}, \quad \|x\| = \left(\sum_{i=1}^n |\xi_i|^2 \right)^{1/2}, \quad \|x\| = \max_{1 \leq i \leq n} |\xi_i|.$$

b) Norme de matrici

$$\|A\| = \max_k \sum_{i=1}^m |a_{ik}|, \|A\| = \max_i \sum_{k=1}^n |a_{ik}|, \|A\| = \max_{i, k} |a_{ik}|,$$

$$\|A\| = \left(\sum_{i, k=1}^{m, n} |a_{ik}|^2 \right)^{1/2}.$$

Prin ξ_i , $i = 1, \dots, n$, și a_{ik} , $i = 1, \dots, m$, $k = 1, \dots, n$, s-au notat respectiv componentele lui x și elementele matricii A .

ANEXA D

Forme pătratice și hermitice. Criteriul Sylvester

Fie A o matrice reală de ordinul n , simetrică.
Prin definiție

$$y = x^T A x, \quad x \in \mathbb{R}^n, \quad (\text{D.1})$$

este o formă pătratică și A este matricea formei pătratice.

Definiția 1. Forma pătratică (D.1) și, respectiv, matricea A sunt *pozitiv definite* dacă $y > 0$ pentru $x \neq 0$ și $y = 0$ pentru $x = 0$.

Forma pătratică (D.1) și, respectiv, matricea A sunt *negativ definite* dacă $-y$ și, respectiv, $-A$ sunt pozitiv definite.

Definiția 2. Forma pătratică (D.1) și, respectiv, matricea A sunt *pozitiv semidefinite* dacă $y \geq 0$ pentru $x \neq 0$ și $y = 0$ pentru $x = 0$.

Forma pătratică (D.1) și, respectiv, matricea A sunt *negativ semidefinite* dacă, y și, respectiv, matricea $-A$ sunt pozitiv semidefinite.

Definiția 3. Forma pătratică (D.1) și, respectiv, matricea A sunt *nedefinite* dacă (D.1) nu satisfac condițiile *Definițiilor 1 și 2*.

Criteriul Sylvester, [B 5], [C 8], [G 1], [K 5]. Forma pătratică (D.1) și, respectiv, matricea A sunt:

1º pozitiv definite dacă și numai dacă toți minorii principali diagonali ai matricii A sunt pozitivi;

2º negativ definite dacă și numai dacă toți minorii principali diagonali ai matricii A sunt, cei de ordin impar – negativi, iar cei de ordin par – pozitivi;

3º pozitiv semidefinite dacă și numai dacă $\det A = 0$ și toți minorii principali diagonali sunt nenegativi;

4º negativ semidefinite dacă și numai dacă $\det A = 0$ și toți minorii principali diagonali sunt, cei de ordin impar – nepozitivi, iar cei de ordin par – nenegativi;

5º nedefinite dacă și numai dacă nu au loc condițiile 1º – 4º.

Fie A o matrice complexă de ordinul n cu proprietatea $A = A^*$, unde $(\cdot)^*$ reprezintă operația de conjugare și transpunere. Matricea A se numește *matrice hermitică*. Prin definiție

$$y = x^* A x, \quad x \in \mathbb{C}^n; \quad (\text{D.2})$$

este o formă *hermitică*.

Întrucât y ia valori pe \mathbb{R} , definițiile 1–3 se extind în mod corespunzător și pentru D.2). În acest caz se poate aplica criteriul *Sylvester*, care își păstrează valabilitatea.

ANEXA E

O formulă a lui Schur

Fie M o matrice patratică de ordinul n , cu partitioarea

$$M = \begin{bmatrix} M_{11} & M_{12} \\ \vdots & \ddots \\ M_{21} & M_{22} \end{bmatrix},$$

în care M_{11} este o matrice patratică de ordinul m , cu $\det M_{11} \neq 0$; M_{22} este o matrice patratică de ordinul $n - m$ ($n > m$) și M_{12}, M_{21} sunt matrici de dimensiuni adecvate.

În aceste condiții are loc

$$\det M = \det M_{11} \det (M_{22} - M_{21} M_{11}^{-1} M_{12}). \quad (\text{E.1})$$

Demonstrarea acestei formule se bazează pe calculul determinantului produsului de matrici

$$\begin{bmatrix} M_{11}^{-1} & \dots & 0 \\ \vdots & \ddots & \vdots \\ -M_{21} M_{11}^{-1} & \dots & I_{n-m} \end{bmatrix} \begin{bmatrix} M_{11} & M_{12} \\ \vdots & \ddots \\ M_{21} & M_{22} \end{bmatrix}, \quad (\text{E.2})$$

în care I_{n-m} este matricea unitate de ordinul $n - m$.

Întradevar, trecind la determinanți în (E.2) se obține

$$\det M_{11}^{-1} \det M = \det \begin{bmatrix} I_m & M_{11}^{-1} M_{12} \\ \vdots & \ddots & \ddots \\ 0 & M_{22} - M_{21} M_{11}^{-1} M_{12} \end{bmatrix}, \quad (\text{E.3})$$

unde I_m este matricea unitate de ordinul m . După calcule elementare, din (E.3) se obține (E.1).

Schema analizei stabilității sistemelor automate.

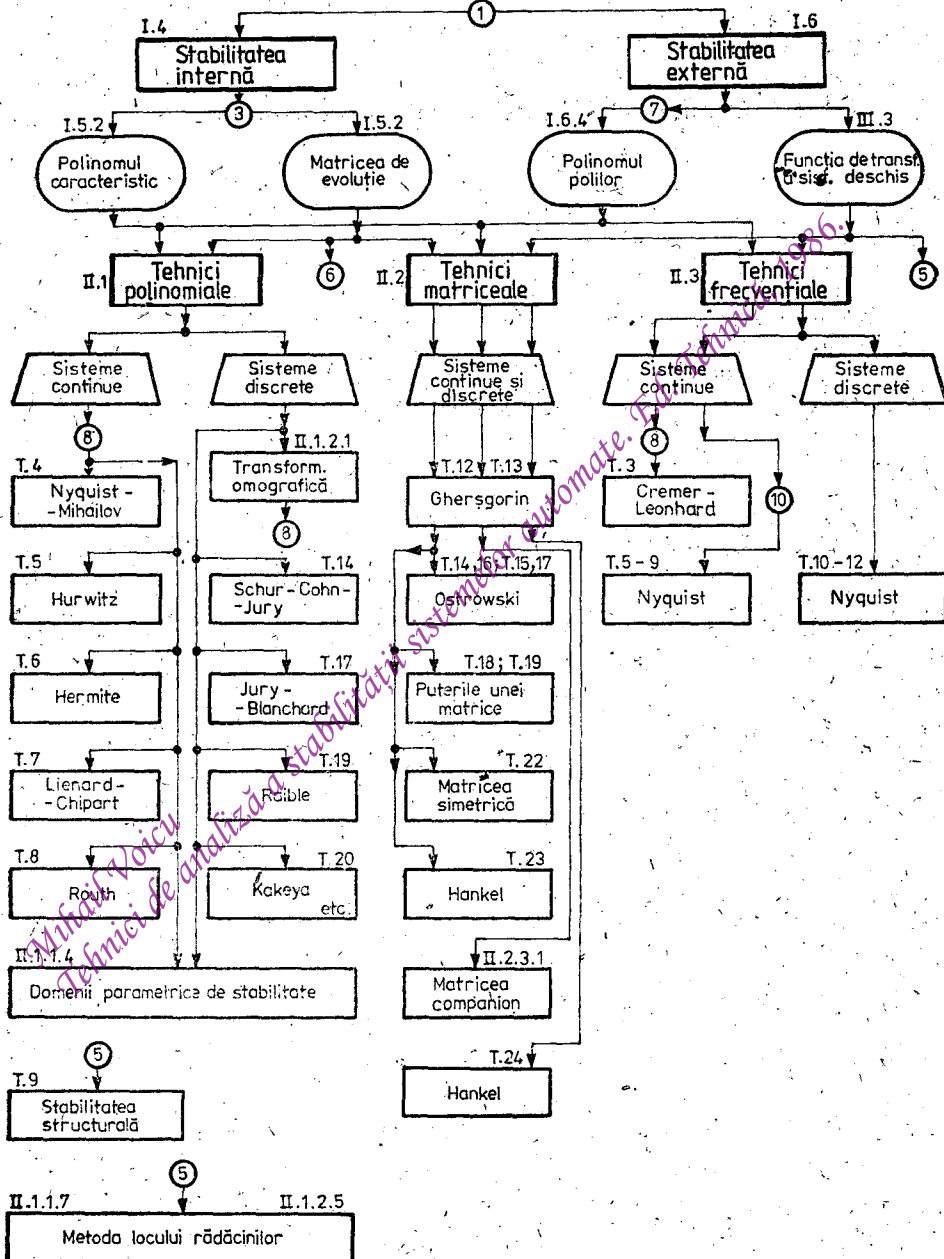
Această schemă este o structură ierarhică de tip graf orientat (arborescent cu legături între ramuri) și reprezintă o imagine globală a conținutului cărții. Ea constituie un suport util pentru evidențierea conexiunilor și confluențelor existente între concepțele și rezultatele din sfera stabilității și, în acest context, pentru facilitarea unui studiu sistematic al tehniciilor de analiză a stabilității sistemelor automate, care permite abordarea cheștiunilor de detaliu în condițiile menținerii unei vederi de ansamblu asupra întregului sistem de concepte și rezultate din cuprinsul cărții. Totodată, pentru cititorul familiarizat cu conținutul cărții sau cu problematica stabilității sistemelor automate, schema alăturată poate constitui un ghid util în utilizarea respectivelor concepțe și rezultate.

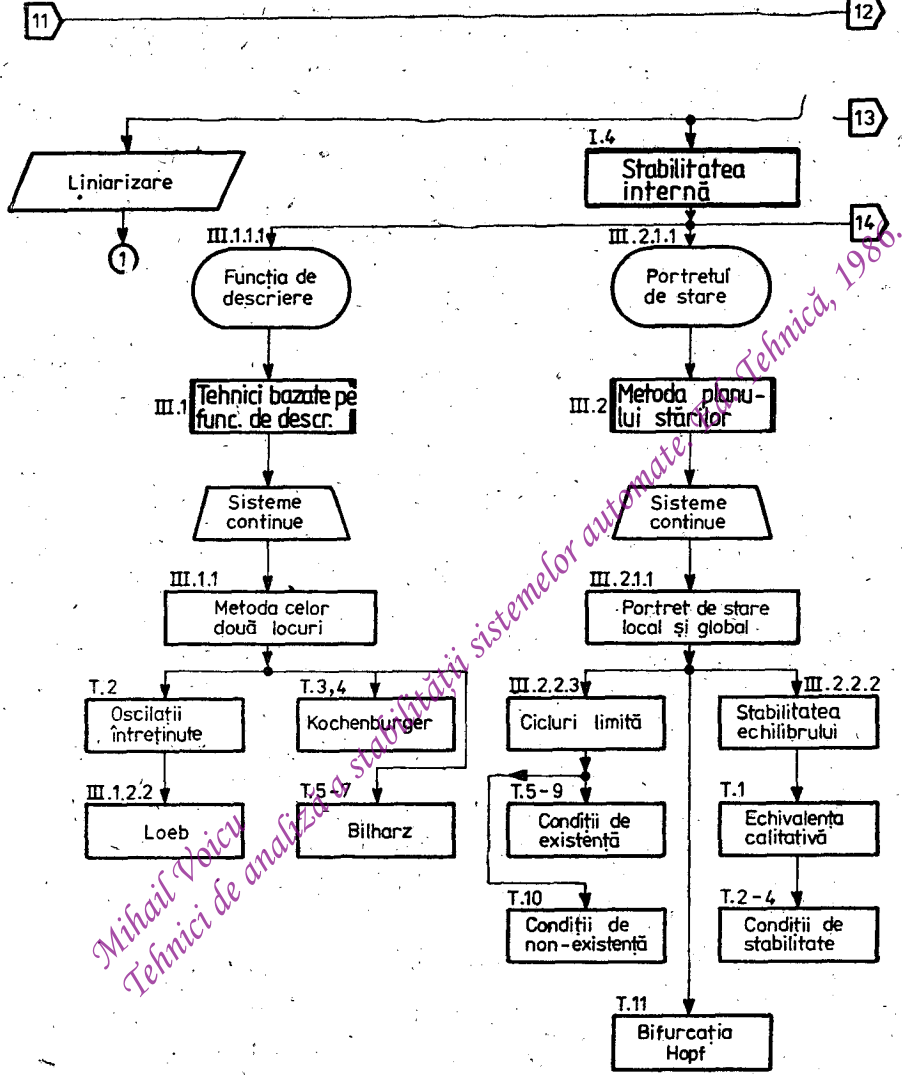
Evident, această schemă nu este exhaustivă și ea poate fi completată și cu alte rezultate existente în bogata literatură consacrată stabilității sistemelor automate.

Se remarcă cu ușurință că nivelele ierarhice din cadrul schemei se disting prin formele diferite ale blocurilor, conexiunile între ramuri sunt marcate prin cercuri numeroase și blocurile care se referă la rezultate din cuprinsul cărții sunt însoțite de trimeri corespunzătoare la subcapitole, paragrafe și teoreme.

Mihai Voicu
Tehnici de analiză a stabilității sistemelor automate
1986.

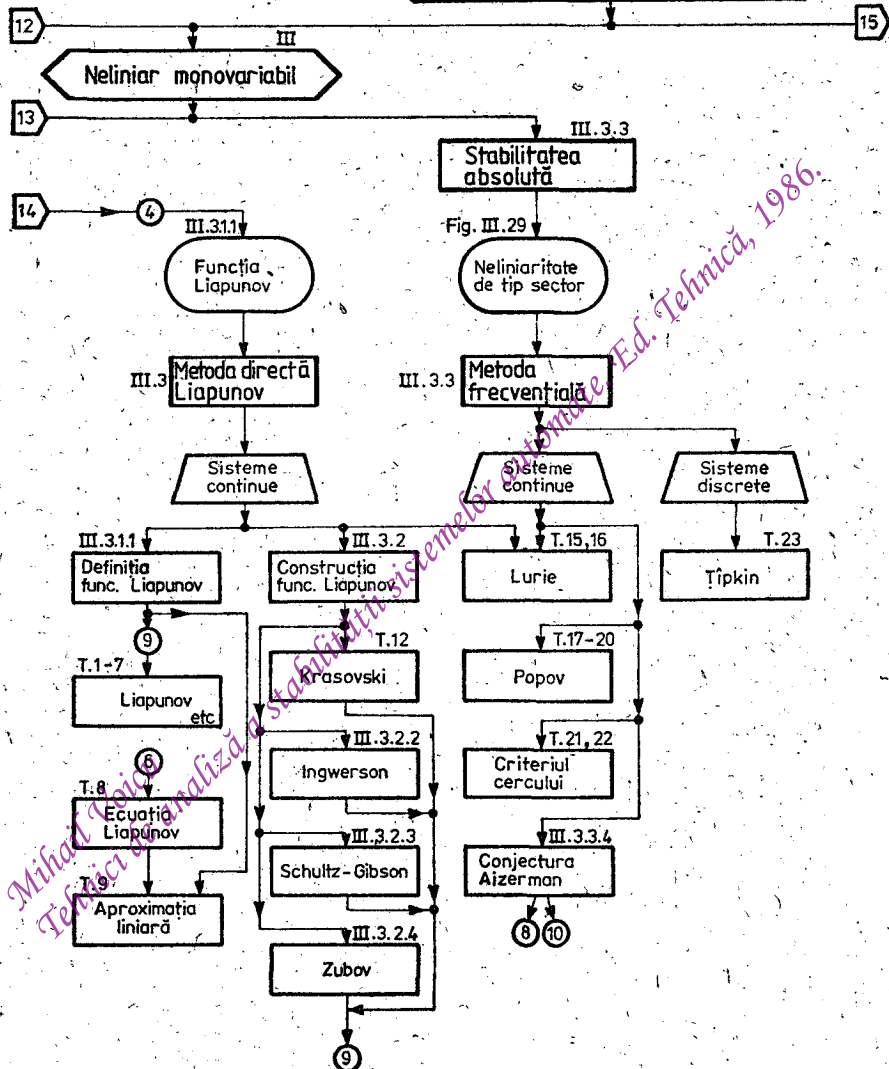
Liniar monovariabil



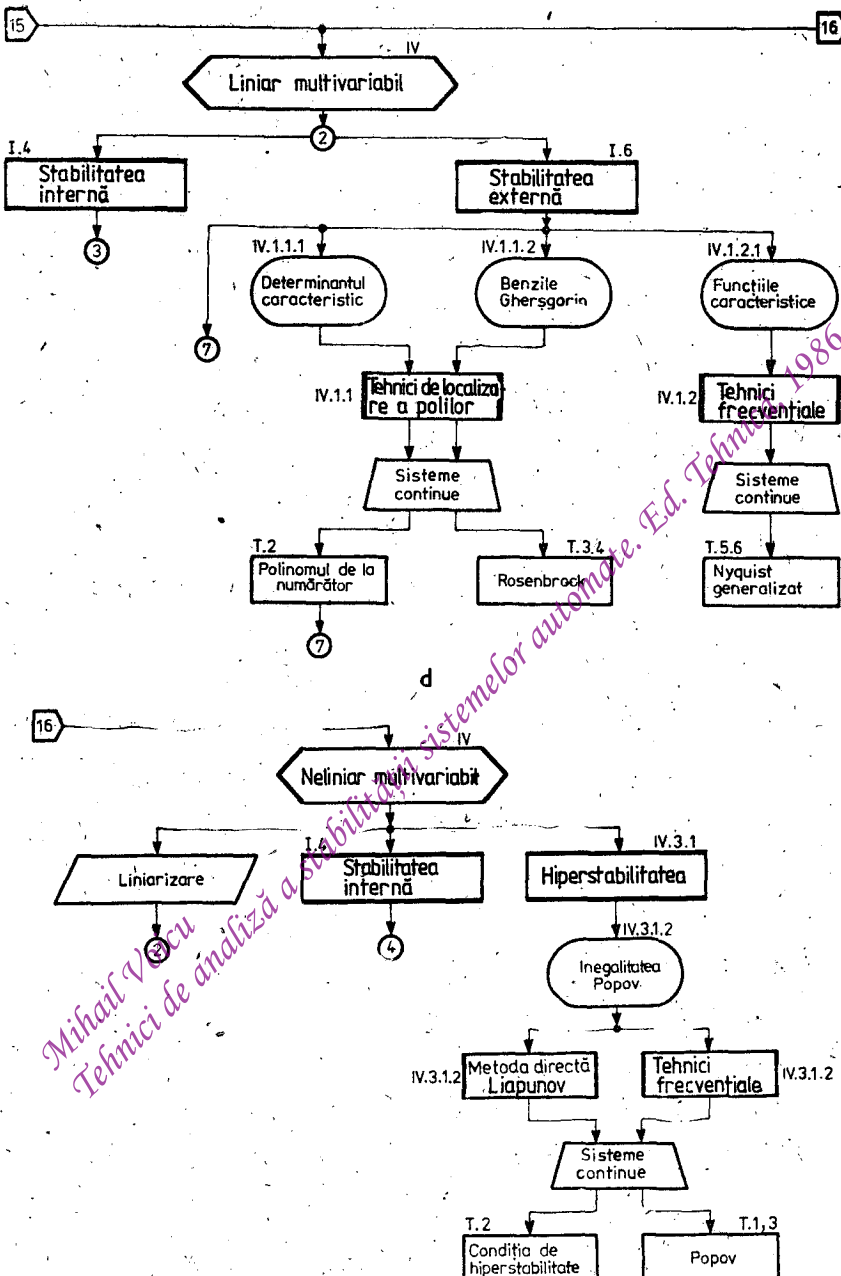


b

Modelul matematic al sistemului automat



Mihai Boica - Analiza Stabilității Sistemelor
Teorie și Aplicații Ed. Tehnică, 1986.



Bibliografie

- A.
1. Angheluță, T. Curs de teoria funcțiilor de variabilă complexă. Ed. Tehnică, București, 1957.
 2. Angot, A. Complemente de matematici. Ed. Tehnică, București, 1961.
 3. Aizerman, M. A., Gantmacher, F. R. Uslovja suschestovaniya oblasti ustoychivosti dlja odnokonturnoi sistemî avtomaticheskogo regulirovaniya. Prikl. mat. i meh., 1, 1954.
 4. Aizerman, M. A. Teorja avtomaticheskogo regulirovaniya. Nauka, Moskva, 1966.
 5. Arrowsmith, K. D., Place, M. C. Ordinary Differential Equations. Chapman & Hall, London, 1982.
 6. Aizerman, M. A. O shodimosti protessa regulirovaniya posle bol'shîh nacialnih otklonenii. Avt. i telemeh., 7 (1946), 2–3, 148–169.
 7. Aizerman, M. A., Gantmacher, F. R. Die absolute Stabilität von Regelsystemen. R. Oldenbourg, München, 1965.
 8. Amann, H. Gewöhnliche Differentialgleichungen. Gruyter, Berlin, 1983.
- B.
1. Bulucea, C., Vais, M., Profeta, H. Circuite integrate liniare. Ed. Tehnică, București, 1975.
 2. Barnett, S. Polynomials and Linear Control Systems. Dekker, New York, 1983.
 3. Barmish, B. R. Invariance of the Hurwitz property for polynomials with perturbed coefficients. IEEE Trans. AC-29 (1984), 10, 935–936.
 4. Becker, C., Litz, L., Siffling, G. Regelungstechnik, Übungsbuch. AEG – Telefunken, Berlin, 1982.
 5. Bellman, R. Introduction to Matrix Analysis. McGraw, New York, 1960.
 6. Belea, C. Automatică neliniară. Ed. Tehnică, București, 1984.
 7. Belea, C. Teoria sistemelor: sisteme neliniare. Ed. Did. și Ped., București, 1985.
 8. Bihara, H. Bemerkung zu einem Satze von Hurwitz. ZAMM, 24 (1944), 77–82.
 9. Barbasin, E. A., Krasovski, N. N. Ob ustoychivosti dvijenia v těle. Dokl. Akad. Nauk., 86 (1952), 13, 453–456.
 10. Barnett, S. Introduction to Mathematical Control Theory. Clarendon, Oxford, 1975.
 11. Boulliou, T. L., Odell, P. L. Generalized Inverse Matrices. Wiley, New York, 1971.
 12. Bejan, I., Balaban, G. Automatizări și telecomenzi în electroenergetică. Ed. Did. și Ped., București, 1976.
 13. Budian, N. Automatizări și telecomenzi. Ed. Did. și Ped., București, 1968.
 14. Brocket, R. W. Finite Dimensional Linear Systems. Wiley, New York, 1970.
- C.
1. Călin, S. Regulatoare automate. Ed. Did. și Ped., București, 1976.
 2. Cernețhi, V. I., Diduk, G. A., Potapenko, A. A. Metode matematice și algoritmi în studiu sistemelor automate. Ed. Tehnică, București, 1973.
 3. Csaki, F. Modern Control Theories. Akad. Kiado, Budapest, 1972.

- Mărturie de la statutul de membru din 1974
4. Crandall, M. G. A generalization of Peano's existence theorem and flow invariance. Proc. AMS, 36 (1972), 151–155.
 5. Cronin, J. Differential Equations. Dekker, New York, 1980.
 6. Cetaey, N. G. The Stability of Motion. Pergamon, Oxford, 1961.
 7. Călin, S., Belea, C. Sisteme automate adaptive și optimale. Ed. Tehnică, București, 1971.
 8. Creangă, I., Haimovici, C. Algebră liniară. Ed. Did. și Ped., București, 1962.
 9. Corduneanu, A. Ecuații diferențiale cu aplicații în electrotehnica. Facla, Timișoara, 1981.
 - D. 1. Dongara, I. I., Bunch, J. R., Moler, C. B., Stewart, C. W. LINPACK, User's Guide. SIAM, Philadelphia, 1979.
 2. Dodescu, Gh. Metode numerice în algebră. Ed. Tehnică, București, 1979.
 3. Datta, N. B. Generalized Hankel matrices of Markov parameters and their application to control problems. Lin. Algebra and Appl., 62 (1984), 139–154.
 4. Datta, N. B. Applications of Hankel matrices of Markov parameters to the solutions of the Routh – Hurwitz and Schur – Cohn problems. J. Math. Anal. Appl., 68 (1979), 276–290.
 5. Davison, E. J., Wang, S. H. On pole assignment in linear multivariable systems using output feedback. IEEE Trans. AC-20 (1975), 516–518.
 6. Dumitrasche, I. Tehnica reglării automate. Ed. Did. și Ped., București, 1980.
 7. Doetsch, C. Handbuch der Laplace Transformation, I – III. Birkhäuser, Basel, 1950 – 1956.
 8. Dransfield, P., Haber, F. D. Instruire programată în metoda locului rădăcinilor. Ed. Tehnică, București, 1980.
 - F. 1. Föllinger, O. Regelungstechnik. AEG – Telefunken, Berlin, 1980.
 2. Föllinger, O. Lineare Abtastsysteme. Oldenbourg, München, 1974.
 3. Föllinger, O. Nichtlineare Regelungen. Oldenbourg, München, 1970 (ediția I); 1979 (ediția II).
 4. Fletcher, L. R. On pole placement in linear multivariable systems with direct feedthrough: I. Theoretical considerations, Int. J. Control, 33, (1981), 739–749; II. Computational consideration, Int. J. Control, 33 (1981), 1147–1154.
 5. Faure, P., Clarget, M., Germain, F. Opérateurs rationnels positifs. Dunod, Paris, 1979.
 - G. 1. Gantmacher, F. R. Teoria matrit. Nauka, Moskva, 1966.
 2. Gourlay, R. A., Watson, H. G. Computational Methods for Matrix Eigenproblems. Wiley, New York, 1973.
 3. Gibson, J. E. Sisteme automate neliniare. Ed. Tehnică, București, 1967.
 4. Gutman, S., Jury, I. E. A general theory for matrix root-clustering in sub-regions of complex plane. IEEE Trans. AC-26 (1981), 4, 853–863.
 5. Göldner, K., Kubik, S. Nichtlineare Systeme der Regelungstechnik. Technik, Berlin, 1978.
 - H. 1. Haimovici, A. Ecuații diferențiale și ecuații integrale. Ed. Did. și Ped., București, 1965.
 2. Hautus, M. L. J. Optimal control of differential systems with discontinuous right-hand side. Ph. D. Thesis, Techn. University, Eindhoven, 1970.
 3. Hartman, P. Ordinary Differential Equations. Wiley, New York, 1964.
 4. Hahn, W. Stability of Motion. Springer, Berlin, 1967.
 5. Hautus, M. L. J. Strong detectability and observers. Lin. Algebra and Appl., 50 (1983), 353–368.
 6. Hăngăruț, M. Automatica. Ed. Did. și Ped., București, 1971.
 7. Hormann, K. Direkte Methoden der Stabilitätsprüfung. Technik, Berlin, 1975.

- Mihai Toma - Curs de teoria sistemelor dinamice. Ed. Tehnică, 1980.
- I. 1. Ionescu, Vl. Sisteme liniare. Ed. Acad. RSR, Bucureşti, 1973.
 - 2. Ionescu, Vl. Sinteza structurală a sistemelor liniare. Ed. Acad. RSR, Bucureşti, 1979.
 - 3. Ingwerson, R. D. A modified Lyapunov method for nonlinear stability analysis. Trans. IRE AC-6 (1961), 199–210.
 - 4. Jakubovici, V. A. Absoliutnaja ustoicivost' nelineinj reguliruemij sistem v criticeskij sluchajah. Avt. i telemeh., 24 (1963), 3, 273–282; 24 (1964), 6, 655–668; 25 (1965), 5.
 - 5. Ionescu, Vl. Teoria sistemelor; sisteme liniare. Ed. Did. și Ped., Bucureşti, 1985.
 - J. 1. Jury, E. I. A simplified stability criterion for linear discrete systems. Proc. IRE, 50 (1962), 1493–1500.
 - 2. Jury, E. I. Theory and Application of the z - Transforme Method. Wiley, New York, 1964.
 - K. 1. Kalman, R. E., Falb, P. L., Arbib, M. A. Teoria sistemelor dinamice. Ed. Tehnică, Bucureşti, 1976.
 - 2. Kuo, B. C. Sisteme automate cu eşantionare. Ed. Tehnică, Bucureşti, 1966.
 - 3. Krasovski, N. N. O globalnoi ustoicivosti sistem nelineinj differențialnih uravnenii. Prikl. mat. i meh. 18 (1954), 735–737.
 - 4. Kuo, B. C. Digital Control Systems. Holt-Sauders, New York, 1981.
 - 5. Kurosh, A. Higher Algebra. Mir, Moscow, 1980.
 - 6. Kokotovic, V. P. Control theory in the 80's: trends in feedback design. 9th World Congress of IFAC, Budapest, 2–6 July, 1984.
 - L. 1. Lehnigk, S. H. Stability Theorems for Linear Motions with an Introduction to Liapunov's Direct Method. Prentice-Hall, New Jersey, 1966.
 - 2. Litz, L. Reduktion der Ordnung linearer Zustandsraummodelle mittels modaler Verfahren. Hochschul Verlag, Stuttgart, 1979.
 - 3. Liapunov, A. M. Problème général de la stabilité du mouvement. Ann. Fac. Sci., Toulouse, 9 (1947).
 - 4. Lurie, E. A. Einige nichtlineare Probleme aus der Theorie der selbsttätigen Regelung. Akad. Verlag, Berlin, 1957.
 - 5. Lovass-Nagy, V., O'Kennon, R. M., Rabson, G. Pole assignment using matrix generalized inverses. Int. J. Syst. Sci., 12 (1981), 3, 383–392.
 - 6. Luenberger, G. D. Observing the state of linear system. IEEE Trans. AC-11 (1964), 2, 74–80.
 - 7. Landau, D. I., Courtel, B. Design of multivariable adaptive model following control systems. Automatica, 10 (1974), 483–494.
 - 8. Lefschetz, S. Stability of nonlinear control systems. Academic Press, New York, 1965.
 - 9. Leipholz, H. Stability Theory. Academic Press, New York, 1970.
 - 10. Luenberger, G. D. Introduction to Dynamic Systems. Wiley, New York, 1979.
 - 11. Lunze, J. Robust Multivariable Feedback Control. Akad. der Wiss. der DDR, ZKI-Inf. 3/84, 1–101.
 - M. 1. Martin jr., R. H. Differential equations on closed subsets of a Banach space. Trans. AMS, 179 (1973), 399–414.
 - 2. Marsden, J. E., McCracken, M. The Hopf Bifurcation and Its Applications. Appl. Math. Sci., vol. 19, Springer, Berlin, 1976.
 - N. 1. Nejmark, I. J. Ob apredelenii parametrov, pri kotorih sistema avtomaticheskogo regulirovaniya ustoiciva. Avt. i telemeh., 1943, 3.
 - 2. Nixon, F. Handbook of the Laplace Transformation. Tables and Exemples. Prentice-Hall, New Jersey, 1960.
 - O. 1. Ostrowski, M. A. Notes on bounds for determinants with dominant principal diagonals. Proc. AMS, 3 (1952), 26–30.

- Mărtinărești și înțelegeri
- F. 1. Postlethwaite, I., Mac Farlane, J. G. A. A Complex Variable Approach to the Analysis of Linear Multivariable Feedback Systems. Springer, Berlin, 1979.
 - 2. Pavel, N., Vrabie, I. Differential equations associated with continuous and dissipative time-dependent domain operators. Lecture Notes in Math., 737, Springer, Berlin, 1979, 236–250.
 - 3. Pavel, H. N. Differential Equations, Flow Invariance and Applications. Pitman, Boston, 1984.
 - 4. Popov, V. M. Criterii de stabilitate pentru sisteme neliniare de reglare automată bazate pe utilizarea transformatei Laplace. Stud. și cercetări de energ., 9 (1959), 1, 119–135.
 - 5. Popov, V. M., Hajanay, A. Ob ustoicivosti nelineinih sistem avtomaticheskogo regulirovania s zapazdiavajuscim argumentom. Avt. i telemeh., 23 (1962), 7.
 - 6. Popov, V. M. Hiperstabilitatea sistemelor automate. Ed. Acad. RSR, București, 1966. Hyperstability of Automatic Control Systems. Springer, Berlin, 1973.
 - 7. Popov, V. M. Ob absolutnoi ustoicivosti nelineinih sistem avtomaticheskogo regulirovania. Avt. i telemeh., 22 (1961), 961–979.
 - 8. Popov, V. M. Kriterii kacestva nelineinih reguliruemih sistem. 1-Kongr. AFAK, Izd. AN SSSR, Moskva, 1961.
 - 9. Porter, B. Synthesis of Dynamical Systems. Nelson, London, 1969.
 - 10. Parks, C. P., Hahn, V. Stabilitätstheorie. Springer, Berlin, 1981.
 - R. 1. Roth, H. Ein neues Verfahren zur Ordnungsreduktion und Reglerentwurf auf der Basis der reduzierten Modells. VDI, Düsseldorf, 1984.
 - 2. Răsvan, Vl. Stabilitatea absolută a sistemelor automate cu întârziere. Ed. Acad. RSR, București, 1975.
 - 3. Rosenbrock, H. H. State Space and Multivariable Theory. Nelson London, 1970.
 - S. 1. Smith, B. T., Boyle, J. M., Dongara, J. I., Garbow, B. S., Ikebe, Y., Klema, V. C., Moler, C. B. Matrix Eigensystem Routines. EISPACK Guide. Springer, Berlin, 1976.
 - 2. Sabac, I. Matematici speciale. Ed. Did. și Ped. București, 1965.
 - 3. Schätz, G. D., Gibson, E. J. The variable gradient method for generating Ljapunov functions. Trans. AIEE, 81 (1962), 203–210.
 - 4. Siljak, D. D. Nonlinear Systems. Wiley, New York, 1969.
 - 5. Siljak, D. D. Connective stability of competitive equilibrium. Automatica, 11 (1975) 389–400.
 - 6. Savin, Gh., Rosman, H. Circuite electrice neliniare și parametrice. Ed. Tehnică, București, 1973.
 - 7. Sebastian, L. Automatica, Ed. Did. și Ped., București, 1974.
 - T. 1. Tsypkin, Ya. Z. Über den Zusammenhang zwischen des Kennlinie eines nicht-linearen Gliedes und seiner Beschreibungsfunktion. Regelungstechnik, 6 (1958), 285.
 - 2. Tsypkin, Ya. Z. Absolutnii ustoicivosti polojenia ravnovenia i protsessov v nelineinih sistemah. Avt. i telemeh., 24 (1963), 12, 1601–1615.
 - 3. Truxal, G. J. Automatic Fedback Control System Synthesis. McGraw, New York, 1955.
 - 4. Teodorescu, D. Sisteme automate deterministe. Ed. Tehnică, București, 1984.
 - U. 1. Utkin, V. I. Sliding Modes. Mir, Moscow, 1982.
 - 2. Unbehauen, R. Systemtheorie. Oldenbourg, München, 1983.
 - V. 1. Varga, A., Sima, V. BIMAS – A basic mathematical package for computer – aided systems analysis and design. 9th World Congress of IFAC, Budapest, July 2–6, 1984, Preprints, VIII, 202–207.
 - 2. Voicu, M. Componentwise asymptotic stability of linear constant dynamical systems. IEEE Trans. AC-29 (1984), 10, 937–939.

- Mihail Voicu
Tehnici de analiză a sistemelor de control
3. *Voicu, M.* Free response characterization via flow invariance. 9th World Congress of IFAC, Budapest, July 2—6, 1984, Preprints, V, 12—17.
 4. *Voicu, M.* On the determination of the linear state feedback matrix. 5th Int. Conf. on Control Syst. and Comp. Sci., Polytech. Inst. of Bucharest, June 8—11, 1983, I, 119—123.
 5. *Voicu, M.* Evolution on control and state hyperintervals. 6th Int. Conf. on Control Syst. and Comp. Sci., Politech. Inst. of Bucharest, May 22—25, 1985, I, 81—83.
 6. *Voicu, M.* Gerschgorin'sche Kreise und die komponentenweise Stabilisierung. Bul. Inst. politehn. Iași, 1985, 45—50.
 7. *Voicu, M.* Ein Anwendungsbeispiel der komponentenweisen Stabilisierung. Bul. Inst. politehn. Iași, 1985, 57—60.
 8. *Voicu, M.* Structural properties of the spatial manipulating systems in connection with the state and control constraints. IFAC Symposium on Robot Control, Barcelona, November 6—8, 1985, Preprints, 425—428.
 9. *Vazaca, Cr.* Analiza și sinteza sistemelor automate liniare. Ed. Acad. RSR, București, 1961.
 10. *Voicu, M., Păstrăvanu, O.* Stabilizarea sistemelor automate cu obiect instabil IMEM; studiu de caz. Sesiunea șt. a Fac. de electrot., Iași, 16—17 mai 1986, vol. III, 127—134.
 11. *Voicu, M.* Stabilitatea sistemelor dinamice. Lucrare de diplomă, Facultatea de matematică, Univ. „Al. I. Cuza”, Iași, 1977.
 12. *Voicu, M.* Teoria sistemelor. Inst. Politehnic, Iași, 1980.
 13. *Voicu, M.* On the application of the flow-invariance method in control theory and design 10th World Congress of IFAC, München.
- W.**
1. *Wilkinson, J. H.* The Algebraic Eigenvalue Problem. Oxford Univ. Press, 1965.
 2. *Wilkinson, J. H., Reinsch, C.* Handbook for Automatic Computation. Springer, Berlin, 1971.
 3. *Willems, J. L.* Stability Theory of Dynamical Systems. Nelson, London, 1970.
 4. *Wonham, M. W.* On pole assignment in multiinput controllable linear systems. IEEE Trans. AC-12 (1967), 660—665.
- Z.**
1. *Zamfirescu, M., Oprescu, I.* Automatizarea cupoarelor industriale. Ed. Tehnică, București, 1971.
 2. *Zubov, V.* Mathematical Methods of the Study of Automatic Control. Academic Press, New York, 1962.
 3. *Zyplkin, J. S.* Theorie der linearen Impulssysteme. Oldenbourg, München, 1967.
 4. *Zoubov, V.* Théorie de la commande. Mir, Moscou, 1978.

Sistemul de serii și colecții în automatică-informatică-electronică-management

BIBLIOTECĂ DE AUTOMATICĂ-INFORMATICĂ-ELECTRONICĂ-MANAGEMENT

I. Seria FUNDAMENTE

- Teme cuprinzătoare, reprezentative.
- Formalism matematic cu expunere concisă, riguroasă, dar accesibilă.
- Trăducerile de mare notorietate.
- Lucrări originale ale profesorilor, cercetătorilor, specialiștilor români de prestigiu.
- Abordare multidisciplinară, sistemică.

II. Seria PRACTICĂ

- Tematici teoretico-aplicative.
- Situații tipice în proiectare, tehnologie.
- Material tabelar și grafic.
- Îndrumar al activității după criterii metodice și eficiente.

III. Seria INITIERE

- Informare-instruire în domenii noi ce depășesc pregătirea clasică.
- Introduceri adresate specialiștilor; un ciclu separat de ABC-uri pentru cadre medii sau nespecialiști.
- Tratare sugestivă, grafică, cu aparat matematic accesibil.
- Sistematizarea preocupărilor ulterioare.

IV. Seria AUTOMATICĂ-MANAGEMENT-CALCULATOARE (AMC)

- Reflectarea evenimentelor vieții tehnico-științifice: congrese, manifestări internaționale etc.
- Ciclu de instruire.

- Articole de sinteză originale și traduse, teme cu dezvoltare ex-plozivă
- Abordarea sistemică a celor trei domenii tematice
- Articole cu bibliografii ample, idexabile multiplu
- Auxiliar prețios de cultură tehnică modernă

V. Colecția AUTOMATICĂ-INFORMATICĂ

- Monografii succinte
- Documentare adincită, variată
- Teme conturate
- Instrumente de lucru

VI. Seria ELECTRONICĂ APLICATĂ

- Profil similar cu colecția anterioară

VII. Colecția RADIO și TELEVİDEO

- Cărți cu volum mic, în tiraj de masă, pentru radioamatori, constructori, automați și ciberneticieni.

Mihail Voicu
Tehnici de analiză a stabilității sistemelor automate. Ed. Tehnică, 1986.

● Izvorată din mecanica clasică, problema stabilității sistemelor dinamice a evoluat ascendent pe o traectorie care intersectează variate discipline științifice, culminând cu automatica, domeniu în care capătă o deplină maturitate alături de o maximă generalitate.

● Pe parcursul evoluției sale, stabilitatea a constituit o permanentă provocare teoretică, prilejuind o continuă extindere a sferei de cuprindere a analiticului și o rafinare corespunzătoare a puterii de predicție a acestuia.

● În prezent, stabilitatea și-a cucerit recunoașterea statutului de concept nodal, ca punct de confluență al cunoașterii teoretice cu praxisul ingineresc.

● Punând sub control dinamica proceselor, automatica este ea însăși rezultatul de cerințe foarte severe privind evoluția echilibrului ansamblului. Prin focalizarea unui vast aparat matematic, automatica reușește portretizări ale dinamicii proceselor într-un cadru de maximă generalitate și semnificație pentru stabilitatea acestora.

● Cadrul normativ pe care stabilitatea sistemelor automate îl prezintă practicii ingineresti se finalizează în criterii eficiente de sinteză și acordare, fără de care proiectarea unor arhitecturi complexe de sisteme mecanice, electrice, electronice sau combinații ale acestora nu ar fi posibilă, iar funcționalitatea lor ar fi precară.

EDITURA

TEHNICĂ



● Lucrarea de față, consacrată în totalitate problematicii stabilității (ceea ce constituie o premieră în literatură noastră), se remarcă printr-o maximă concizie, putere de selecție și consecvență în centrarea pe obiectivele proprii automaticii.

● Cu acurateță și într-un context aplicativ sănt prezентate un mare număr de tehnici, metode și algoritmi de calcul referitor la analiza stabilității sistemelor automate mono- și multivariabile liniare, neliniare, continue sau discrete.

● Modul de tratare pune în evidență calitatea și dozajul fin al argumentării, în cadrul căreia intuirea inginerescă este întotdeauna recuperată în fața fundamentării deductive.

● Solidar cu derularea conținutului, aspectul metodologic-operational al analizei sau sintezei stabilității este fixat printr-un lot numeros de exemple numerice extrase din practica inginerescă, tratate comparativ priu mai multe tehnici și proceduri.

● Dacă anexele tind să conferi un caracter autonom lucrării, trimiterile bibliografice stabilesc conexiunile acesteia într-un context bibliografic relevant.

● Ultima anexă surprinde deosebit de sugestiv conținutul lucrării sub forma unei scheme logice care sistematizează sinoptic întreaga matrice a relațiilor dintre concepție-metode-rezultate, permisând un ghidaj de tip sistem expert în alegerea căilor celor mai eficiente de atac pentru rezolvarea unor probleme concrete.

● Lucrarea se adresează inginerilor automațiști din concepție-proiectare, precum și celor din exploatare, constituind totodată – prin claritatea expunerii – un excelent manual pentru pregătire sau reciclare în automată. Dat fiind portabilitatea metodologiei de analiză și sinteză a stabilității expuse în lucrare pentru diferite domenii ale tehnicii, ea este utilă interdisciplinar ingineriei de proiectare din întreg profilul mecanic și electric.